

Ричард
ФЕЙНМАН

Роберт
ЛЕЙТОН

Мэтью
СЭНДС



**ЗАДАЧИ
К ФЕЙНМАНОВСКИМ
ЛЕКЦИЯМ
ПО ФИЗИКЕ**

Новое переработанное
и дополненное издание



ЛАБОРАТОРИЯ

ПИЛОТ

ЗАДАЧИ
К ФЕЙНМАНОВСКИМ ЛЕКЦИЯМ
ПО ФИЗИКЕ

Exercises for
The Feynman

LECTURES ON
PHYSICS

NEW MILLENNIUM EDITION

Richard Feynman,
Robert Leighton, Matthew Sands, et al.

Edited by
Michael A. Gottlieb and Rudolf Pfeiffer

BASIC BOOKS

A Member of the Perseus Books Group
New York

Ричард Фейнман

Роберт Лейтон

Мэтью Сэндс

ЗАДАЧИ К ФЕЙНМАНОВСКИМ ЛЕКЦИЯМ ПО ФИЗИКЕ

под редакцией М. А. Готтлиба и Р. Пфайффера

Электронное издание

Перевод с английского С. А. Иванова

под редакцией канд. физ.-мат. наук И. Я. Иццоки



Москва
Лаборатория знаний
2016

УДК 530.1
ББК 22.3
Ф36

Фейнман Р.

Ф36 Задачи к Фейнмановским лекциям по физике [Электронный ресурс] / Р. Фейнман, Р. Лейтон, М. Сэндс ; под ред. М. А. Готтлиба и Р. Пфайффера ; пер. с англ. С. А. Иванова ; под ред. И. Я. Иццоки. — Эл. изд. — Электрон. текстовые дан. (1 файл pdf : 402 с.). — М. : Лаборатория знаний, 2016. — Систем. требования: Adobe Reader XI ; экран 10".

ISBN 978-5-00101-423-2

Первое в России полное собрание задач и упражнений к знаменитым Фейнмановским лекциям по физике из наиболее важных областей физики — от механики Ньютона до теории относительности и квантовой механики. Данное издание дополнено рядом новых задач, а также ответами/решениями, которые полностью отсутствовали в предыдущих изданиях.

УДК 530.1
ББК 22.3

Деривативное электронное издание на основе печатного аналога: Задачи к Фейнмановским лекциям по физике / Р. Фейнман, Р. Лейтон, М. Сэндс ; под ред. М. А. Готтлиба и Р. Пфайффера ; пер. с англ. С. А. Иванова ; под ред. И. Я. Иццоки. — М. : Лаборатория знаний, 2016. — 399 с. : ил. — ISBN 978-5-906828-75-0.

Публикуется с разрешения издательства BASIC BOOKS,
an imprint of PERSEUS BOOKS, INC. (США)
при содействии Агентства Александра Корженевского (Россия)

В соответствии со ст. 1299 и 1301 ГК РФ при устранении ограничений, установленных техническими средствами защиты авторских прав, правообладатель вправе требовать от нарушителя возмещения убытков или выплаты компенсации

© 2014 by California
Institute of Technology,
Michael A. Gottlieb, and
Rudolf Pfeiffer
© Лаборатория знаний, 2016

ISBN 978-5-00101-423-2

Оглавление

Предисловие	7
Задачи к тому I	9
Введение	11
Глава 1. Атомы в движении.....	13
Глава 2. Закон сохранения энергии, статика.....	16
Глава 3. Законы Кеплера и гравитация.....	28
Глава 4. Кинематика.....	32
Глава 5. Законы Ньютона.....	38
Глава 6. Закон сохранения импульса.....	44
Глава 7. Векторы	48
Глава 8. Нерелятивистская теория столкновений двух тел в трех измерениях	52
Глава 9. Силы	61
Глава 10. Потенциалы и поля	68
Глава 11. Единицы измерений и размерности	75
Глава 12. Релятивистская кинематика и динамика, эквивалентность массы и энергии покоя	78
Глава 13. Релятивистские энергия и импульс.....	80
Глава 14. Вращение в двух измерениях, центр масс.....	83
Глава 15. Угловой момент (момент импульса), момент инерции	88
Глава 16. Вращение в трех измерениях	95
Глава 17. Гармонический осциллятор, линейные дифференциальные уравнения	107
Глава 18. Алгебра	117
Глава 19. Вынужденные колебания с затуханием.....	120
Глава 20. Геометрическая оптика	131
Глава 21. Электромагнитное излучение: интерференция	137
Глава 22. Электромагнитное излучение: дифракция	141
Глава 23. Электромагнитное излучение: преломление, дисперсия, поглощение	146
Глава 24. Электромагнитное излучение: радиационное затухание, рассеяние.....	147
Глава 25. Электромагнитное излучение: поляризация	149
Глава 26. Электромагнитное излучение: релятивистские эффекты.....	152
Глава 27. Квантовые явления: волны, частицы и фотоны.....	155
Глава 28. Кинетическая теория газов	159
Глава 29. Принципы статистической механики	163
Глава 30. Применение кинетической теории: равновесное распределение	167
Глава 31. Применение кинетической теории: явления переноса	169
Глава 32. Термодинамика	173
Глава 33. Примеры из термодинамики.....	178
Глава 34. Волновое уравнение, звук.....	182
Глава 35. Линейные волновые системы: биения, собственные колебания.....	185
Глава 36. Фурье-анализ волн.....	189
Задачи к тому II	191
Введение	193
Глава 37. Электромагнетизм	195
Глава 38. Дифференциальный расчет векторных полей	197
Глава 39. Интегральное исчисление векторов.....	200

Глава 40. Электростатика	202
Глава 41. Применение закона Гаусса.....	204
Глава 42. Электрическое поле в различных физических условиях.....	208
Глава 43. Электрическое поле в различных физических условиях (продолжение).....	213
Глава 44. Электростатическая энергия	214
Глава 45. Диэлектрики.....	216
Глава 46. Внутренняя структура диэлектриков.....	219
Глава 47. Электростатические аналогии.....	221
Глава 48. Магнитостатика	223
Глава 49. Магнитное поле в различных ситуациях.....	226
Глава 50. Векторный потенциал	229
Глава 51. Законы индукции	230
Глава 52. Решения уравнений Максвелла в пустом пространстве.....	235
Глава 53. Решения уравнений Максвелла с токами и зарядами	236
Глава 54. Цепи переменного тока	240
Глава 55. Объемные резонаторы.....	248
Глава 56. Волноводы.....	249
Глава 57. Электродинамика в релятивистском случае.....	253
Глава 58. Лоренцевы преобразования полей	255
Глава 59. Энергия и импульс поля.....	258
Глава 60. Электромагнитная масса.....	261
Глава 61. Движение зарядов в электрическом и магнитном полях	262
Глава 62. Показатель преломления плотных веществ	264
Глава 63. Отражение от поверхностей.....	265
Глава 64. Магнетизм вещества.....	266
Глава 65. Парамагнетизм и магнитный резонанс.....	267
Глава 66. Ферромагнетизм.....	268
Глава 67. Упругость.....	270
Глава 68. Течение «сухой» воды	272
Глава 69. Течение «мокрой» воды	273

Задачи к тому III 275

Введение	277
Глава 70. Амплитуды вероятности	279
Глава 71. Тождественные частицы	284
Глава 72. Единичный спин	289
Глава 73. Спин одна вторая.....	291
Глава 74. Зависимость амплитуд от времени	296
Глава 75. Гамильтонова матрица	297
Глава 76. Аммиачный мазер.....	300
Глава 77. Другие системы с двумя состояниями.....	301
Глава 78. Еще системы с двумя состояниями.....	302
Глава 79. Сверхтонкое расщепление уровней в водороде.....	304
Глава 80. Распространение волн в кристаллической решетке.....	305
Глава 81. Полупроводники.....	308
Глава 82. Приближение независимых частиц	310
Глава 83. Зависимость амплитуд от положения	312
Глава 84. Момент импульса.....	315
Глава 85. Атом водорода и периодическая таблица.....	318

Приложения321

Приложение А. Единицы измерений и их размерности	323
Приложение Б. Физические постоянные и величины (средние).....	325
Приложение В. Ответы к задачам	329

Предисловие

Настоящее издание представляет собой полный сборник задач к «Фейнмановским лекциям по физике». Этот сборник был подготовлен с использованием трех источников: «Задачника к начальной физике» Лейтона и Вогта (Эдисон-Уэсли, 1969) и двух томов «Задачника к Фейнмановским лекциям по физике», предназначенного для Калифорнийского технологического института, сокращенно «Калтех» (Эдисон-Уэсли, 1964–1965). Исходный задачник был значительно модернизирован: формулировки и решения задач были уточнены и исправлены с использованием современных единиц измерения, дополнены аккуратными выполненными рисунками и полностью перезагружены в программе «L^AT_EX». Задачи для томов II и III лекций были дополнены несколькими новыми проблемами и теперь приводятся с ответами/решениями, чего не было в предыдущих изданиях. В этом издании впервые в одной книге представлены задачи ко всем трем томам «Фейнмановских лекций по физике», причем впервые все задачи даны с тщательно подготовленным комплектом ответов.

Публикуемые здесь задачи давались студентам Калтеха в качестве обязательных домашних заданий и контрольных работ в программе двухлетнего вводного курса физики в период, когда Ричард Фейнман преподавал там физику (1961–1964), и позднее — в течение почти двух десятилетий, когда «Фейнмановские лекции по физике» использовались в качестве учебника. Многие люди внесли свой вклад в создание этого сборника задач, их фамилии вы сможете найти в списке благодарностей в разделе «Введение» к задачам для каждого тома. Кроме того, мы хотели бы выразить благодарность:

факультету физики, математики и астрономии Калифорнийского технологического института, который разрешил нам подготовить эту книгу и включить ее в издание «Фейнмановских лекций по физике нового тысячелетия»;

Рохусу Фогту за возможность использования его тетрадей, составленных за многие годы преподавания начального курса физики в Калтехе;

Юджину Коуэну за предоставление решений задач к томам II и III;

Аарону Циммерману за проверку правильности вновь добавленного материала из Калтеха;

Адаму Кокрану за внимательное обсуждение договора на издание этой книги с издательством «Бэйсик букс».

Майкл А. Готтлиб и Рудольф Пфайффер

Издатели «Фейнмановских лекций по физике нового тысячелетия»

Декабрь 2013

Задачи к тому I

- Современная наука о природе • Законы механики
- Пространство • Время • Движение
- Излучение • Волны • Кванты
- Кинетика • Теплота • Звук

Введение

Данные задачи предназначались авторами для использования вместе с томом I «Фейнмановских лекций по физике» в течение первого года изучения вводного курса физики в Калифорнийском технологическом институте, поэтому они расположены в том же порядке, что и темы, представленные в Фейнмановских лекциях. По каждой теме (и в соответствующей главе) задачи подразделяются на категории в зависимости от степени их обобщенности или трудности. Сначала даются доказательства или обобщения, затем простые задачи, задачи промежуточной сложности и наконец задачи повышенной сложности. Обычно доказательства и обобщения дополняют дискуссии, даваемые в Фейнмановских лекциях; их результаты студенты должны понимать и использовать в дальнейшем. Средние студенты не должны испытывать каких-либо трудностей при решении простых задач; они также должны в состоянии достаточно быстро справляться с решением большинства задач промежуточной сложности (на решение каждой такой задачи, возможно, потребуется 10–20 мин). Более сложные задачи обычно требуют и более глубокого физического понимания или более широкого осмысления. Их решение будет представлять интерес главным образом для наиболее сильных студентов.

Многие люди внесли свой вклад и критическую оценку в отдельные задачи. Значительное число задач было составлено Р. Б. Лейтоном в соответствии с оригинальным Фейнмановским курсом лекций по физике; некоторые из них взяты из обширного сборника Фостера Стронга с его разрешения; целый ряд задач был адаптирован Р. Е. Фоггом на базе экзаменационного материала, используемого во вводном курсе. Многим авторам задач, как известным, так и неизвестным, мы выражаем свою искреннюю благодарность.

Кроме того, мы считаем, что работа еще далека от завершения. Остается надеяться, что с течением времени авторы или другие преподаватели Калтеха

будут совершенствовать настоящий материал и добавлять новые задачи и объяснения, чтобы в конечном итоге создать всеобъемлющую книгу-самоучитель, полезность которой могла бы выйти далеко за те рамки, в которых она первоначально создавалась.

Роберт Б. Лейтон и Рохус Е. Фогт

Глава 1

АТОМЫ В ДВИЖЕНИИ

См. «Фейнмановские лекции по физике»*, т. I, гл. 1–3

При анализе следующих задач читателю следует пользоваться теми идеями, которые описаны в этих главах, а также своим собственным опытом и воображением. В большинстве задач при их решении не ожидается получения точных количественных результатов.

- 1.1. Если тепло является мерой молекулярного движения, то в чем разница между теплым неподвижным бейсбольным мячиком и холодным, но быстро движущимся мячиком?
- 1.2. Если атомы всех объектов находятся в непрерывном движении, то как может сохраняться постоянная форма любых объектов, например, таких как отпечатки на окаменелостях?
- 1.3. Объясните качественно, почему и как трение в движущейся машине вырабатывает тепло. Объясните также, если сможете, почему тепло не может производить движение в обратном процессе.
- 1.4. Химики обнаружили, что молекулы каучука состоят из длинных перекрещивающихся цепочек атомов. Объясните, почему при растяжении резиновая лента нагревается.
- 1.5. Что будет с резиновой лентой, удерживающей данный вес, если ее нагреть? (Чтобы ответить на вопрос, попытайтесь сделать это.)
- 1.6. Можете ли вы объяснить, почему нет кристаллов, имеющих форму правильного пятиугольника? (Треугольники, квадраты и шестиугольники являются распространенными формами в мире кристаллов.)
- 1.7. Вам дано большое количество стальных шариков одинакового диаметра d и контейнер известного объема V . Каждый габарит этого контейнера намного превосходит диаметр шарика. Какое наибольшее количество шариков N может поместиться в контейнере?

* «Фейнмановские лекции по физике» (далее — «Лекции»), на которые даются ссылки в данном задачнике, — трехтомное издание «The Feynman Lectures on Physics», которое в русском переводе было выпущено издательством «Мир» в девяти томах в 1965–1967 гг. Нумерация глав в русском переводе (и в переизданиях) сохранена. — *Прим. ред.*

- 1.8. Как должно изменяться давление газа P в зависимости от числа атомов n в единице объема и от средней скорости атомов $\langle v \rangle$? (Должно давление P быть пропорциональным n и/или $\langle v \rangle$ либо эта зависимость от n и $\langle v \rangle$ отличается от линейной?)
- 1.9. В обычных условиях воздух имеет плотность около $0,001 \text{ г/см}^3$, в то время как жидкий воздух имеет плотность около $1,0 \text{ г/см}^3$.
- (а) Оцените количество молекул в 1 см^3 обычного воздуха n_G и жидкого воздуха n_L .
- (б) Оцените массу молекулы воздуха m .
- (в) Оцените среднее расстояние l , которое молекула воздуха должна пройти между столкновениями при нормальных температуре и давлении (НТД: $20 \text{ }^\circ\text{C}$ при 1 атм). Это расстояние называется *длиной свободного пробега*.
- (г) До какого остаточного давления P необходимо откачать вакуумную систему для того, чтобы длина свободного пробега молекул в ней составляла 1 м .
- 1.10. Интенсивность коллимированного параллельного пучка атомов калия снижается на $3,0 \%$ в слое аргона толщиной $1,0 \text{ мм}$ при давлении $6,0 \cdot 10^{-4} \text{ мм рт. ст.}$ Рассчитайте эффективную площадь мишени A на один атом аргона.
- 1.11. Исследования дифракции рентгеновских лучей показывают, что кристаллы NaCl имеют кубическую решетку с расстоянием $2,820 \text{ \AA}$ между ближайшими соседями. Найдите по таблицам плотность, а также молярную массу NaCl и рассчитайте число Авогадро N_A . (Это один из наиболее точных экспериментальных методов определения числа Авогадро N_A .)
- 1.12. Болтвуд и Резерфорд обнаружили, что радий в равновесии с продуктами его распада производит $13,6 \cdot 10^{10}$ атомов гелия в секунду на грамм радия. Они также установили, что распад 192 мг радия производит $0,0824 \text{ мм}^3$ гелия в день при стандартных температуре и давлении (СТД: $0 \text{ }^\circ\text{C}$ при 1 атм). Используйте эти данные для расчета:
- (а) числа атомов гелия N_{He} в 1 см^3 газа при СТД;
- (б) числа Авогадро N_A .
- Ссылка: Boltwood and Rutherford, *Phil. Mag.* **22**, 586 (1911).
- 1.13. Рэлей обнаружил, что $0,81 \text{ мг}$ оливкового масла на поверхности воды образует мономолекулярный слой 84 см в диаметре. Какое в результате получается значение числа Авогадро N_A в предположении, что химическая формула оливкового масла имеет приблизительный вид $\text{H}(\text{CH}_2)_{18}\text{COOH}$ и форму в виде линейной цепочки при плотности $0,8 \text{ г/см}^3$?

Ссылка: Rayleigh, *Proc. Roy. Soc.* **47**, 364 (1890).

- 1.14.** Примерно в 1860 г. Максвелл показал, что вязкость газа задается формулой

$$\eta = \frac{1}{3} \rho v \ell,$$

где ρ — плотность газа, v — средняя скорость и ℓ — средняя длина свободного пробега молекул газа. Как ранее было показано Максвеллом, средняя длина свободного пробега молекул газа определяется формулой $\ell = 1 / (\sqrt{2} \pi N_g \sigma^2)$, где σ — эффективный диаметр молекулы.

Лошмидт (1865) использовал измеренное значение η , ρ (газа) и ρ (твёрдого тела) и вместе с Джоулем рассчитал v для определения N_g — количества молекул в 1 см^3 газа при СДТ. Он предположил, что молекулы являются твёрдыми сферами, плотно упакованными в твёрдом теле. При условии, что $\eta = 2,0 \cdot 10^{-4} \text{ г см}^{-1} \text{ с}^{-1}$ для воздуха при СДТ, ρ (жидкости) $\approx 1,0 \text{ г/см}^3$, ρ (газа) $\approx 1,0 \cdot 10^{-3} \text{ г/см}^3$ и $v \approx 500 \text{ м/с}$, рассчитайте N_g .

- 1.15.** Полный воды стакан оставили стоять на подоконнике раскрытого окна где-то в Калифорнии.
- Как вы думаете, сколько времени T потребуется для того, чтобы вода полностью испарилась из этого стакана?
 - Сколько молекул J с одного квадратного сантиметра поверхности воды в стакане могло покинуть этот стакан воды за секунду при такой скорости испарения?
 - Кратко объясните связь, если таковая имеется, между вашим ответом на вопрос (а) данной задачи и средней нормой выпадения осадков по всей Земле.
- 1.16.** В палеозойскую эру капля послеобеденного ливня упала на землю и оставила на ней отпечаток, который позже был в ходе раскопок добыт страдающим от жары и жажды студентом-геологом. Осушая свою флягу, этот студент от нечего делать прикидывает, сколько молекул воды N из этой древней дождевой капли он только что выпил. Оцените N , используя только известные вам данные. (Сделайте разумные предположения относительно необходимости информации, которой вы не обладаете.)

Глава 2

Закон сохранения энергии, статика

См. «Лекции», т. I, гл. 4

- 2.1. Используйте принцип виртуальной работы для вывода формулы неравноплечных весов (рис. 2-1) $W_1 l_1 = W_2 l_2$ (весом балки пренебречь).

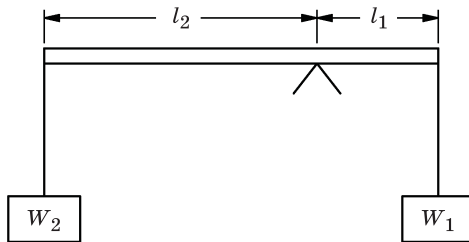


Рис. 2-1

- 2.2. Обобщите формулу, полученную в задаче 2.1, на случай нескольких грузов, подвешенных на различных расстояниях от оси качания балки весов, т. е. докажите, что $\sum W_i l_i = 0$.

(Расстояния с одной стороны от точки опоры весов считаются положительными, а с другой – отрицательными.)

- 2.3. На тело действуют n сил, при этом оно находится в статическом равновесии. Используйте принцип виртуальной работы, чтобы доказать следующее:

- (а) если $n = 1$, то величина силы должен быть равна нулю (тривиальный случай);
- (б) если $n = 2$, то две силы должны быть равны по величине и противоположны по направлению (коллинеарны);
- (в) если $n = 3$, то силы должны быть компланарны и направления их действия должны пройти через одну точку;
- (г) для произвольного числа n сумма произведений величины силы F_i на косинус угла Δ_i между самой силой и любой неподвижной прямой

равна нулю: $\sum_{i=1}^n F_i \cos \Delta_i = 0$.

2.4. Решение задач, связанных со статическим равновесием, в отсутствие трения может быть сведено к простым геометрическим задачам путем использования *принципа виртуальной работы*.

Куда сдвигается одна точка, когда другая перемещается на небольшое расстояние? Во многих случаях на этот вопрос легко ответить, если использовать следующие свойства треугольника (рис. 2-2):

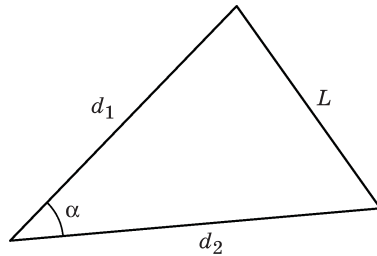


Рис. 2-2

(а) Если при постоянной длине сторон d_1 и d_2 угол α изменяется на небольшую величину $\Delta\alpha$, то длина противоположной стороны L изменится на величину $\Delta L = \frac{d_1 d_2}{L} \sin \alpha \Delta\alpha$.

(б) Если длины сторон a , b и c прямоугольного треугольника изменяются на небольшие величины Δa , Δb и Δc , то между этими изменениями имеется следующая связь: $a\Delta a + b\Delta b = c\Delta c$ (где c — гипотенуза). Докажите эту формулу.

2.5. Однородная доска длиной 1,5 м и весом 3 кг шарнирно поворачивается вокруг одного конца. Доска удерживается в равновесии в горизонтальном положении с помощью конструкции из груза и шкива, как показано на рис. 2-3. Найдите вес груза W , необходимый для того, чтобы доска находилась в равновесии. Трением можно пренебречь.

2.6. Шар радиусом 3 см и весом 1 кг покоится на плоскости, наклоненной под углом α к горизонтали, а также касается вертикальной стенки, как показано на рис. 2-4. Обе поверхности обладают пренебрежимо малым трением. Найдите силу, с которой шар давит на стенку F_W и на плоскость F_P .

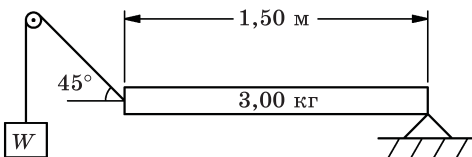


Рис. 2-3

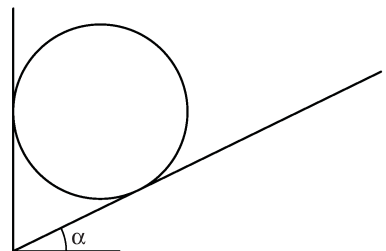


Рис. 2-4

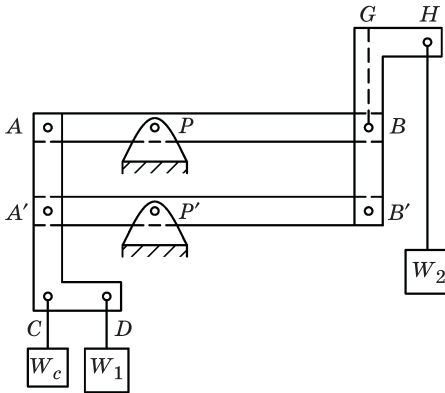


Рис. 2-5

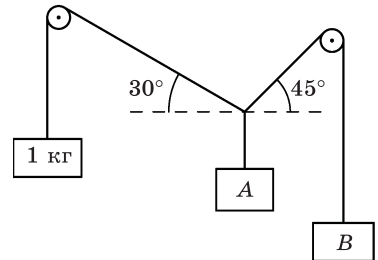


Рис. 2-6

2.7. Подвижная рама в виде параллелограмма $AA'BB'$ укреплена в вертикальной плоскости на шарнирах P и P' , как показано на рис. 2-5. Трением в точках крепления A , A' , B , B' , P и P' можно пренебречь. Элементы $AA'CD$ и $B'BGH$ являются жестко скрепленными и одинаковыми по размеру. При этом $AP = A'P' = 0,5PB = 0,5P'B'$. Благодаря противовесу W_c рама в отсутствие грузов W_1 и W_2 находится в равновесии. Если груз W_1 весом $0,5$ кг подвесить в точке D , то какой груз W_2 , потребуется подвесить в точке H , чтобы рама осталась в равновесии?

2.8. Система, показанная на рис. 2-6, находится в статическом равновесии. Воспользуйтесь принципом виртуальной работы, чтобы найти грузы A и B . Весом струн и трением в шкивах можно пренебречь.

2.9. Груз $W = 5$ кг подвешен к середине проволоки ACB , как показано на рис. 2-7. $AC = CB = 0,5$ м, $AB = 0,5\sqrt{2}$ м. Найдите силы натяжения отрезков проволоки T_1 и T_2 .

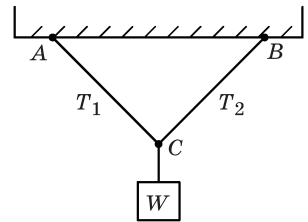


Рис. 2-7

2.10. Ферма, показанная на рис. 2-8, изготовлена из легких алюминиевых стержней, концы которых шарнирно соединены друг с другом. На конце C имеется ролик, который может катиться по гладкой плите. Когда рабочий нагревает элемент AB с помощью сварочной горелки, наблюдается увеличение его длины на величину x . В результате груз W смещается вертикально на величину y .

(а) В каком направлении перемещается груз W — вверх или вниз?

(б) Чему равно усилие F в элементе AB (нужно определить и знак усилия, т. е. стержень растягивается или сжимается)?

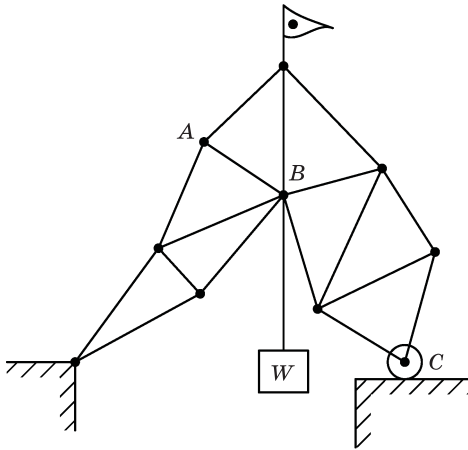


Рис. 2-8

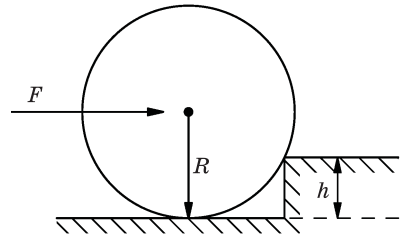


Рис. 2-9

2.11. С какой горизонтальной силой F (приложенной к оси) требуется толкнуть колесо весом W и радиусом R , чтобы оно заехало на препятствие высотой h (рис. 2-9)?

2.12. Горизонтальный поворотный стол диаметром D монтируется на подшипниках с пренебрежимо малым трением. Две горизонтальные силы в плоскости поворотного стола, равные по величине F и параллельные друг другу, но приложенные в противоположных направлениях, действуют на обод поворотного стола на противоположных концах диаметра, как показано на рис. 2.10.

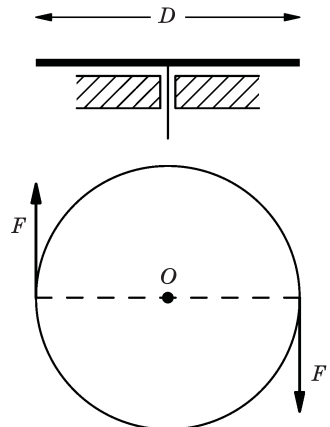


Рис. 2-10

- (a) Какая сила F_B действует на подшипник?
 - (б) Чему равен крутящий момент (момент этой пары сил) τ_O относительно вертикальной оси, проходящей через центр O ?
 - (в) Чему был бы равен момент τ_P относительно вертикальной оси, проходящей через произвольную точку P на той же самой плоскости?
- (2) Является следующее утверждение правильным или ложным? «Любые две силы, действующие на тело, могут быть объединены в единую результирующую силу, которая имела бы аналогичный эффект.» Объясните. При подготовке вашего ответа рассмотрите случай, когда две силы противоположны по направлению, но не равны по величине.

- 2.13. Плоская стальная пластина, плавающая в ртути, находится под воздействием трех сил, приложенных к трем углам квадрата со стороной 0,1 м, как показано на рис. 2-11. Найдите *одну* четвертую силу F , которая будет удерживать пластину в равновесии. Дайте величину, направление и точку приложения силы F вдоль линии AB .

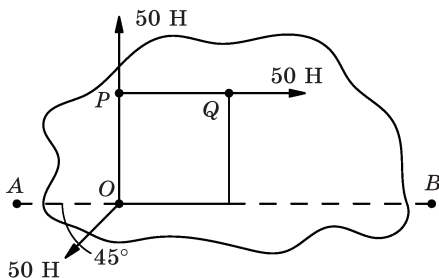


Рис. 2-11

- 2.14. В отсутствие трения с какой скоростью v будут двигаться грузы W_1 и W_2 (рис. 2-12) после того, как они пройдут расстояние D , начав свое движение из состояния покоя ($W_1 > W_2$)?
- 2.15. На рис. 2-13 грузы равны, и можно пренебречь трением. Если система придет в движение из состояния покоя, с какой скоростью v будут двигаться грузы, когда они пройдут расстояние D ?

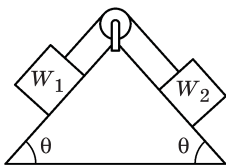


Рис. 2-12

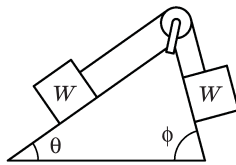


Рис. 2-13

- 2.16. Груз M_1 скользит по наклонной плоскости высотой H с углом наклона 45° , как показано на рис. 2-14. Груз M_1 связан гибким шнуром ничтожно малой массы, перекинутым через небольшой блок (также пренебрежимо малой массы), с грузом равной массы $M_2 = M_1$, висящим вертикально. Длина шнура такова, что грузы могут удерживаться в неподвижном положении на высоте $H/2$. Размеры грузов и блока являются незначительными по сравнению с высотой H . В момент времени $t = 0$ два груза отпустили.
- Для $t > 0$ вычислить вертикальное ускорение груза M_2 .
 - Какой из грузов будет двигаться вниз?
 - В какой момент времени t_1 груз,двигающийся вниз, как вы определили в пункте (б), ударится о землю?
 - Если груз, определенный в пункте (б), при падении на землю остановится, а другой груз продолжит свое движение, ударится ли он о блок?

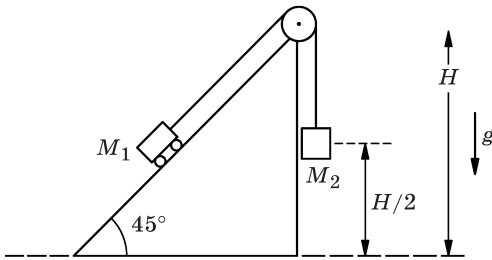


Рис. 2-14

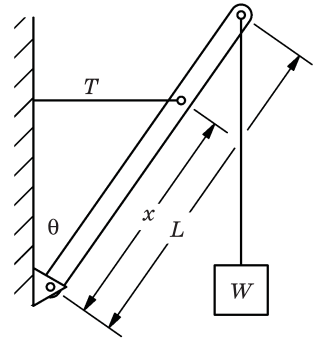


Рис. 2-15

- 2.17.** Вышка, выполненная в виде однородной стрелы длиной L и весом w , шарнирно установлена на своем нижнем конце, как показано на рис. 2-15. Она поддерживается под углом θ к вертикали горизонтальным кабелем, подведенным к некоторой точке на расстоянии x от шарнирного крепления, к верхнему концу которого прикреплен груз W . Найти силу натяжения T в горизонтальном кабеле.
- 2.18.** Однородная лестница-стремянка длиной 3 м с роликами в верхней части опирается на гладкую вертикальную стенку, как показано на рис. 2-16. Вес лестницы равен 14 кг. Груз весом $W = 28$ кг подвешивают к верхней ступеньке стремянки на расстоянии 0,75 м от верхнего конца. Найти:
- силу F_R , с которой ролики прижимаются к стене;
 - горизонтальную F_h и вертикальную F_v составляющие силы, с которой стремянка взаимодействует с поверхностью земли.
- 2.19.** Доска весом W и длиной $\sqrt{3}R$ лежит в гладкой круглой впадине радиусом R , как показано на рис. 2-17. На одном конце доски находится груз $W/2$. Рассчитать угол θ , под которым лежит доска, когда она находится в равновесии.

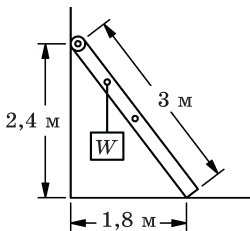


Рис. 2-16

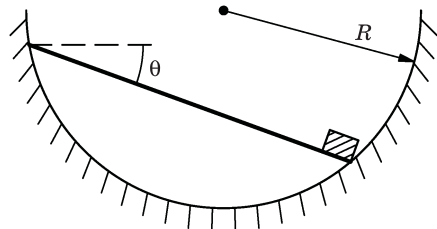


Рис. 2-17

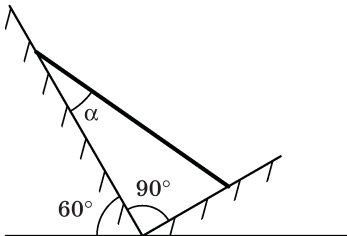


Рис. 2-18

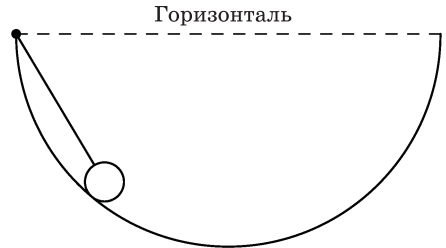
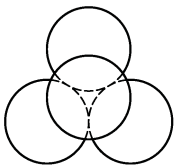
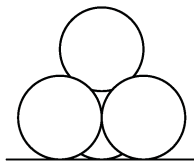


Рис. 2-19

- 2.20.** Однородный стержень длиной l и весом W опирается своими концами на две наклонные плоскости, как показано на рис. 2-18. Из принципа виртуальной работы найти угол α , при котором стержень будет находиться в равновесии. (Силой трения пренебречь.)
- 2.21.** Небольшой твердый шар радиусом 4,5 см и весом W должен быть подвешен на струне, спускающейся из концов гладкой полусферической чаши радиусом 49 см, как показано на рис. 2-19. Было обнаружено, что если струна имеет длину, меньшую 40 см, то она рвется. Используя принцип виртуальной работы, найдите предел прочности струны на разрыв F .
- 2.22.** Орнамент для изгороди на Всемирной выставке должен быть составлен из четырех одинаковых металлических шаров, не обладающих трением, каждый из которых весит $2\sqrt{6}$ Т-с (тонна-силы). Шары располагаются в порядке, показанном на рис. 2-20, где три шара покоятся на горизонтальной поверхности и касаются друг друга, а четвертый шар свободно лежит на трех других. Чтобы три нижних шара не раскатывались в стороны, они привариваются в точках контакта друг с другом. С учетом трехкратного запаса прочности какое максимальное механическое напряжение должна выдерживать точка сварки?
- 2.23.** Жесткая проволочная рамка, закрепленная в вертикальной плоскости, имеет форму правильного треугольника, как показано на рис. 2-21. Две бусины массами $m_1 = 100$ г, $m_2 = 300$ г скользят без трения по проволокам и связаны между собой нитью. Когда система находится в статическом равновесии, каково натяжение T нити и под каким углом α она находится по отношению к первой проволоке?



Вид сверху



Вид спереди

Рис. 2-20

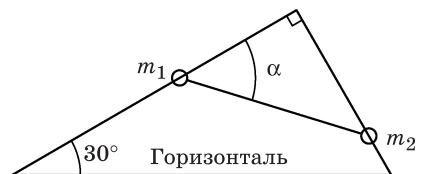


Рис. 2-21

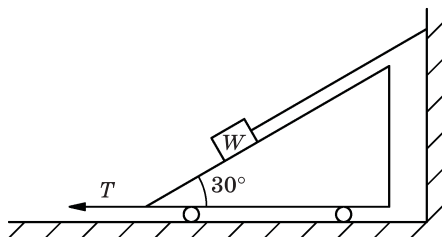


Рис. 2-22

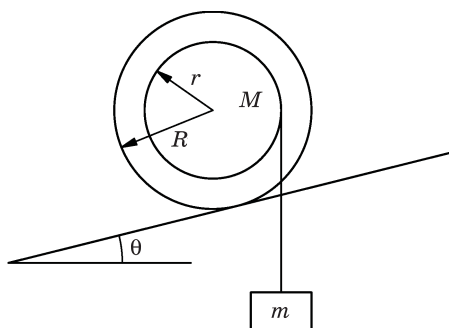


Рис. 2-23

- 2.24. Найти силу тяги T , необходимую, чтобы привести в движение находящуюся в покое тележку (рис. 2-22), если сила трения отсутствует.
- (а) Используйте принцип виртуальной работы.
- (б) Используйте разложение силы на составные компоненты.
- 2.25. Катушка массой $M = 3$ кг состоит из центрального барабана радиусом $r = 5$ см и двух крайних дисков радиусом $R = 6$ см. Катушка расположена в выемке на наклонной плоскости, по которой она будет катиться без проскальзывания; при этом на нити, намотанной вокруг центрального барабана катушки, к ней подвешен груз массой $m = 4,5$ кг, как показано на рис. 2-23. Следует отметить, что система находится в статическом равновесии. Чему равен угол θ наклона плоскости?
- 2.26. Петля из гибкой цепочки общим весом W лежит на гладком правильном конусе вращения с радиусом основания r и высотой h , как показано на рис. 2-24. Цепочка покоится на горизонтальном круге на конусе, ось которого расположена вертикально. Найти натяжение цепочки T . Силой трения можно пренебречь.
- 2.27. Тележка на наклонной плоскости уравнивается грузом w , как показано на рис. 2-25. Трение в деталях тележки пренебрежимо мало. Найдите вес тележки W .

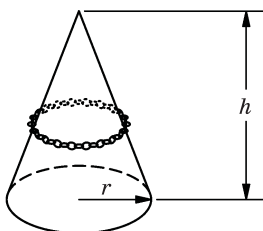


Рис. 2-24

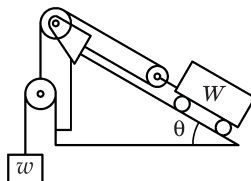


Рис. 2-25

- 2.28. Фермы моста имеют конструкцию, показанную на рис. 2-26. Все соединения могут рассматриваться как шарниры, трение в которых отсутствует; все элементы фермы моста являются жесткими, невесомыми и равными по длине. Найдите силы реакции опоры F_1 и F_2 и силу F_{DF} в элементе конструкции DF .

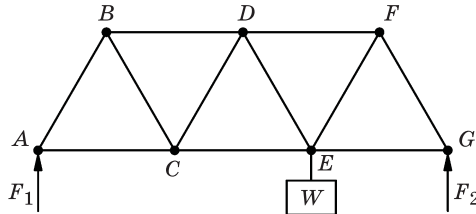


Рис. 2-26

- 2.29. В решетчатой ферме, показанной на рис. 2-27, все диагональные элементы фермы имеют длину 5 единиц, а все горизонтальные имеют длину 6 единиц. Все сочленения фермы свободно связаны между собой, весом самой фермы можно пренебречь.

(а) Какие из элементов фермы могут быть заменены гибкими тросами для того положения груза, которое показано на рисунке?

(б) Найдите силы в элементах BD и DE .

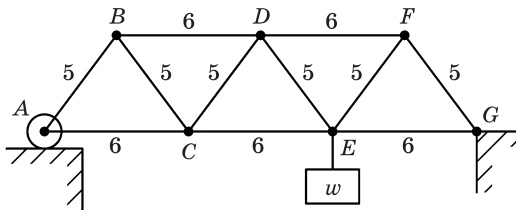


Рис. 2-27

- 2.30. В системе, показанной на рис. 2-28, груз маятника весом w изначально удерживается в вертикальном положении нитью A . Когда эту нить пережигают, маятник освобождается и качается влево, едва касаясь потолка в предельной точке своего качания. Найдите вес груза W . (Силой трения, радиусом шкива и конечными размерами грузов можно пренебречь.)

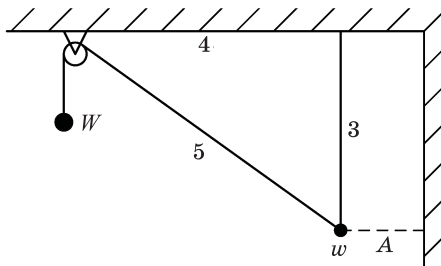


Рис. 2-28

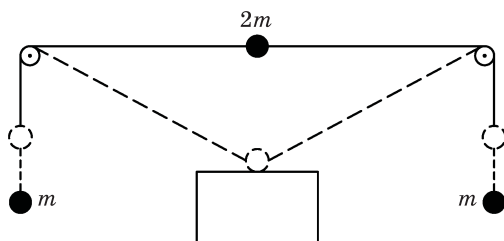


Рис. 2-29

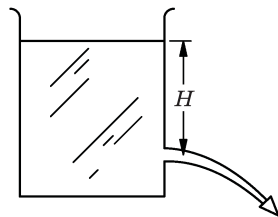


Рис. 2-30

- 2.31.** Два груза равных масс m прикреплены к третьему грузу массой $2m$ тонкими нитями равной длины, при этом нить пропущена через два небольших шкива с пренебрежимо малым трением, расположенными в 100 см друг от друга, как показано на рис. 2-29. Груз массой $2m$ сначала удерживается по центру прямой, проходящей между шкивами, а затем освобождается из состояния покоя. Когда он опускается вниз на расстояние 50 см, он ударяется о крышку стола. С какой скоростью v груз массой $2m$ достигает крышки стола?
- 2.32.** В баке с площадью поперечного сечения A находится жидкость, имеющая плотность ρ . Эта жидкость изливается свободной струей из небольшого отверстия площадью f на расстоянии H ниже уровня свободной поверхности жидкости, как показано на рис. 2-30. Какова будет скорость струи v , если внутреннее трение (вязкость) у жидкости отсутствует?
- 2.33.** Гладкие бревна одинакового диаметра лежат друг на друге в кузове грузовика. Грузовик был вынужден съехать с шоссе и остановиться на его наклонной обочине, при этом кузов грузовика наклонился под углом θ к горизонтали, как показано на рис. 2-31. По мере разгрузки кузова грузовика после удаления одного бревна, показанного штриховой линией, осталось еще три бревна в состоянии, когда они просто готовы соскользнуть друг с друга, т. е. если угол θ был бы немного меньше, то бревна могли бы просто упасть вниз. Найдите угол θ .

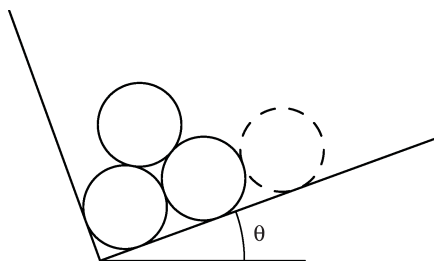


Рис. 2-31

- 2.34.** На катушку весом w и радиусами r и R намотан шнур, при этом катушка неподвижно подвешена на двух шнурах, намотанных на цилиндр меньшего радиуса, а груз весом W подвешен на двух шнурах, намотанных на

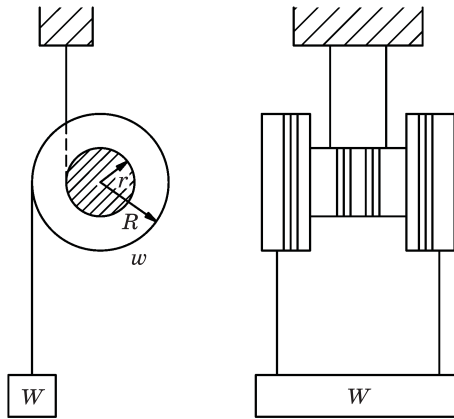


Рис. 2-32

часть катушки большего радиуса, как показано на рис. 2-32. Вес груза W выбирается так, чтобы катушка находилась в равновесии. Найти W .

- 2.35. Подвесной мост протянут через глубокое ущелье шириной 54 м. Проезжая часть будет состоять из стальной фермы, висящей на двух парах вертикальных тросов, расстояние между которыми 9 м, как показано на рис. 2-33. Каждый трос должен нести равную часть нагрузки в $4,80 \cdot 10^4$ кг. Две пары тросов, расположенных ближе к центру, должны иметь длину 2 м. Найдите соответствующие длины вертикальных кабелей A и B и максимальное натяжение $T_{\text{макс}}$ в двух продольных тросах, если последние должны на своих концах идти под углом 45° к горизонтали.

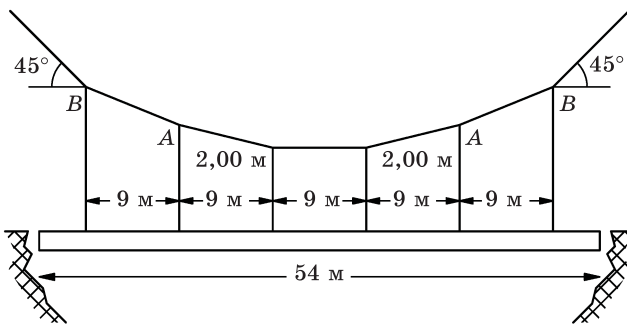


Рис. 2-33

- 2.36. Конструкция изоляционного крепления в тандемном генераторе Ван-де-Граафа может быть представлена так, как показано на рис. 2-34: два блока с равномерной плотностью, длиной L , высотой h и весом W поддерживаются вертикальными перегородками с помощью шарнирных соединений A и B и отжимаются друг от друга посредством винтового домкрата F в центре. Поскольку материал блоков не может выдерживать

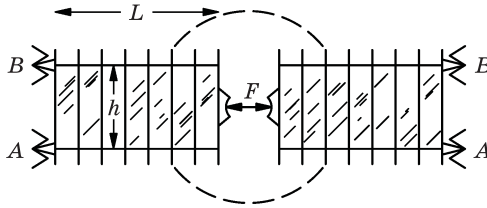


Рис. 2-34

растяжения, то домкрат должен быть отрегулирован так, чтобы результирующая сила на верхней шарнирной опоре была равна нулю.

- (а) Какую силу F требуется приложить?
- (б) Какова общая сила (по величине и направлению) F_A на одном из нижних шарнирных креплений?

Глава 3

Законы Кеплера и гравитация

См. «Лекции», т. I, гл. 7

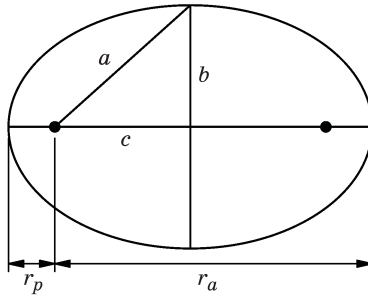


Рис. 3-1

- 3.1.** Некоторые свойства эллипса. Размер и форма эллипса определяются путем задания любых двух следующих величин, как показано на рис. 3-1:

a — большая полуось,

b — малая полуось,

c — расстояние от центра до одного фокуса,

e — эксцентриситет,

r_p — перигелий (или перигей) — минимальное расстояние от фокуса до эллипса,

r_a — афелий (или апогей) — максимальное расстояние от фокуса до эллипса.

Соотношение между этими величинами:

$$a^2 = b^2 + c^2,$$

$$e = c/a \text{ (по определению } e),$$

$$r_p = a - c = a(1 - e),$$

$$r_a = a + c = a(1 + e).$$

Покажите, что площадь эллипса определяется по формуле $A = \pi ab$.

- 3.2.** Расстояние от Луны до центра Земли колеблется от 363 300 км в перигее до 405 500 км в апогее; период вращения Луны вокруг Земли составляет 27,322 дня. Некоторый искусственный спутник Земли вращается так, что его высота в перигее над поверхностью Земли равна 225 км, а его высота в апогее составляет 710 км. Средний диаметр Земли равен 12 756 км. Каков сидерический период T этого спутника?

- 3.3. Эксцентриситет орбиты Земли равен 0,0167. Найдите отношение $v_{\text{макс}}/v_{\text{мин}}$ максимальной скорости движения Земли по ее орбите к ее минимальной скорости.
- 3.4. Радиусы Земли и Луны равны соответственно 6378 км и 1738 км, а отношение их масс есть 81,3. Рассчитайте ускорение свободного падения g_{ζ} на поверхности Луны (ускорение свободного падения у поверхности Земли $g_{\oplus} = 9,81 \text{ м/с}^2$).
- 3.5. В 1986 г. комета Галлея, как ожидается, опять пролетит вокруг Солнца. Это будет 7-е явление кометы Галлея, начиная с 1456 г., когда люди были так напуганы, что приносили молитвы в церквях с целью «спастись от дьявола, турок и кометы». В течение последнего предыдущего перигелия — 19 апреля 1910 г. — астрономы обнаружили, что комета прошла рядом с Солнцем на расстоянии 0,60 а. е. (Эта задача формулировалась авторами до 7-го явления кометы Галлея. — *Прим. ред.*)
- (а) На какое расстояние удаляется комета от Солнца в самой дальней точке своей орбиты?
- (б) Каково отношение $v_{\text{макс}}/v_{\text{мин}}$ максимальной орбитальной скорости кометы Галлея к ее минимальной скорости?
- 3.6. Типичный период обращения спутника вокруг Земли при его движении по круговой орбите составляет около 100 ч. Каким должен быть радиус r его орбиты (выраженный в радиусах Земли r_{\oplus}) для того, чтобы период обращения спутника составил 24 ч?
- 3.7. Рассмотрим два спутника Земли с равными радиусами орбит, один из которых находится на полярной орбите, другой — на орбите в экваториальной плоскости. Какому спутнику необходима более мощная ракета-носитель и почему?
- 3.8. Реальный спутник «Синком» вращается синхронно с Землей. Он всегда остается в фиксированном положении по отношению к некоторой точке P на земной поверхности.
- (а) Рассмотрим прямую линию, соединяющую центр Земли со спутником. Если P лежит на пересечении этой линии с земной поверхностью, то может P иметь любую географическую широту или существуют какие-то ограничения? Объясните.
- (б) Каково расстояние r_{ζ} от центра Земли до спутника «Синком» с массой m ? Выразите величину r_{ζ} в единицах расстояния Земля – Луна $r_{\oplus \zeta}$.
- Указание.* Представьте Землю в виде сплошного шара. В качестве периода вращения Луны вы можете использовать значение $T_{\zeta} = 27$ дней.
- 3.9. (а) Путем сравнения данных, описывающих орбитальное движение Земли вокруг Солнца, с данными для орбитального движения Луны вокруг Земли определите массу Солнца m_{\odot} по отношению к массе Земли m_{\oplus} .

(б) Ио, спутник Юпитера, имеет орбитальный период обращения 1769 дней и радиус орбиты 421 800 км. Определите массу Юпитера $m_{\text{Ю}}$ в единицах массы Земли.

- 3.10.** Две звезды — a и b — движутся одна вокруг другой под влиянием их взаимного гравитационного притяжения. В ходе наблюдений установили, что главная полуось их относительной орбиты (измеряемая в астрономических единицах — а.е.) равна R и период их обращения равен T лет. Найдите выражение для суммы масс ($m_a + m_b$), выраженной в единицах массы Солнца m_{\odot} .
- 3.11.** Если бы сила гравитационного притяжения между очень большой центральной сферой массы M и движущимся вокруг нее по орбите спутником массы m была бы равна $F = -GMmR/R^{(3+a)}$ (R — радиальный вектор между ними), то как изменились бы второй и третий законы Кеплера? (Обсуждая третий закон Кеплера, предположим, что спутник движется по круговой орбите.)
- 3.12.** При проведении лабораторных измерений ускорения свободного падения g какова должна быть точность измерений, чтобы обнаружить суточные вариации g из-за влияния силы притяжения Луны? Для простоты предположим, что ваша лаборатория была расположена таким образом, чтобы Луна проходила через зенит и надир. Кроме того, можно пренебречь влиянием земного прилива (подъемом земной коры под влиянием гравитации Луны).
- 3.13.** Затменной системой двойной звезды называется такая система звезд, у которой плоскость орбиты почти содержит линию наблюдения, так что одна звезда периодически затмевает другую. Относительная орбитальная скорость двух звезд может быть измерена по доплеровскому сдвигу их спектральных линий. Если T является наблюдаемым периодом обращения в днях, а v является орбитальной скоростью в км/с, то чему равна общая масса M двойной системы в солнечных массах?

Примечание. Среднее расстояние от Земли до Солнца составляет $1,50 \cdot 10^8$ км.

- 3.14.** Комета движется вокруг Солнца по перигелию на расстоянии $r_p = 10^6$ км. В этой точке ее скорость равна $v = 500$ км/с.
- (а) Чему равен радиус кривизны R_C орбиты в перигелии (в км)?
- (б) Для эллипса с большой полуосью a и малой полуосью b радиус кривизны в перигелии равен $R_C = b^2/a$. Если вам известны величины R_C и r_p , то вы в состоянии написать соотношение, связывающее a и эти величины. Вам необходимо вывести это соотношение и найти величину a .
- (в) Если вы смогли вычислить величину a на основе указанных выше данных, вы сможете рассчитать период T_C обращения кометы вокруг Солнца. Рассчитайте величину T_C .

3.15. Используя идею о том, что два взаимно притягивающихся тела непрерывно «падают» друг на друга, в результате чего они движутся вокруг некоторой неподвижной общей точки (центра масс системы), покажите, что период обращения тел при постоянном расстоянии между ними зависит только от суммы их масс ($M + m$), а вовсе не от их отношения. Это утверждение также верно для эллиптических орбит. В предположении, что большие полуоси эллипсов, по которым движутся тела, равны R и r , найдите период их обращения T по орбите.

3.16. Как можно найти массу Луны?

3.17. Тригонометрический параллакс Сириуса (т. е. угол, под которым Сириус виден с радиуса орбиты Земли) равен $0,378$ угловой секунды. Используя это значение и численные данные, приведенные на рис. 3-2, вычислите по возможности точнее массу M Сириуса в единицах солнечных масс:

(а) при условии, что плоскость орбиты Сириуса перпендикулярна направлению на Землю;

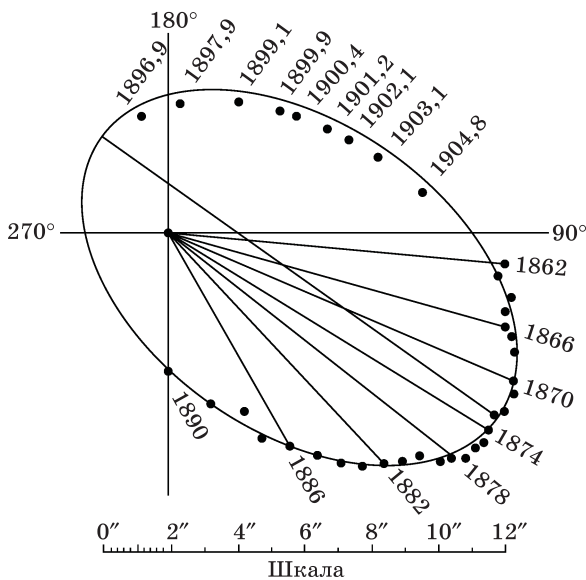


Рис. 3-2

(б) учитывая фактический наклон орбиты Сириуса.

Является ли масса системы Сириуса в (б) предельной? Если да, то является это значение верхним либо нижним пределом?

Глава 4

Кинематика

См. «Лекции», т. I, гл. 8

- 4.1. (а) Тело движется по прямой линии с постоянным ускорением a . При $t = 0$ оно находится в точке $x = x_0$ и имеет скорость $v_x = v_{x0}$. Показать, что в момент времени t положение и скорость тела определяются соотношениями

$$x(t) = x_0 + v_{x0}t + \frac{1}{2}a_x t^2,$$

$$v_x(t) = v_{x0} + a_x t.$$

- (б) Исключите из предыдущих формул t и, таким образом, покажите, что в любой момент времени

$$v_x^2 = v_{x0}^2 + 2a(x - x_0).$$

- 4.2. Обобщите предыдущую задачу на случай движения в трехмерном пространстве с постоянными компонентами ускорения a_x , a_y , a_z вдоль трех осей координат. Покажите, что

(а)
$$x(t) = x_0 + v_{x0}t + \frac{1}{2}a_x t^2,$$

$$y(t) = y_0 + v_{y0}t + \frac{1}{2}a_y t^2,$$

$$z(t) = z_0 + v_{z0}t + \frac{1}{2}a_z t^2,$$

$$v_x(t) = v_{x0} + a_x t,$$

$$v_y(t) = v_{y0} + a_y t,$$

$$v_z(t) = v_{z0} + a_z t.$$

$$(б) v^2 = v_x^2 + v_y^2 + v_z^2 = v_0^2 + 2[a_x(x - x_0) + a_y(y - y_0) + a_z(z - z_0)],$$

$$\text{где } v_0^2 = v_{x0}^2 + v_{y0}^2 + v_{z0}^2.$$

4.3. Угол может быть измерен длиной дуги, стягивающей этот угол, если его вершина находится в центре окружности. Если s — длина дуги, а R — радиус окружности, как показано на рис. 4-1, то угол в радианах, под которым видна эта дуга, равен $\theta = s/R$.

(а) Показать, что если $\theta \ll 1$ рад, то $\sin \theta \approx \theta$, а $\cos \theta \approx 1$.

(б) С учетом приведенных выше результатов и формулы для синуса и косинуса суммы двух углов вычислите производные $\sin x$ и $\cos x$, используя фундаментальную формулу для производной

$$\frac{dy}{dx} = \lim_{\Delta x \rightarrow 0} \frac{y(x + \Delta x) - y(x)}{\Delta x}.$$

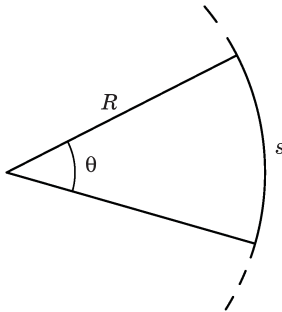


Рис. 4-1

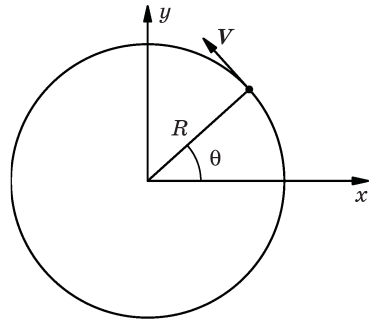


Рис. 4-2

4.4. Объект движется против часовой стрелки по окружности радиусом R с постоянной скоростью V , как показано на рис. 4-2. Центр окружности находится в начале прямоугольной системы координат (x, y) ; в момент времени $t = 0$ данный объект находится в точке $(R, 0)$. Показать, что

$$(a) \quad x = R \cos(\omega t),$$

$$y = R \sin(\omega t),$$

$$v_x = -V \sin(\omega t),$$

$$v_y = V \cos(\omega t),$$

$$a_x = -\frac{V^2}{R} \cos(\omega t),$$

$$a_y = -\frac{V^2}{R} \sin(\omega t),$$

$$a = \frac{V^2}{R};$$

$$(б) \quad \ddot{x} + \omega^2 x = 0,$$

$$\ddot{y} + \omega^2 y = 0,$$

где $\omega = V/R$ — угловая частота.

4.5. Метеорологический шар-зонд с грузом научного оборудования поднимается на высоту 1000 футов (1 фут = 0,305 м) за 1 мин. На высоте 30 000 футов шар-зонд лопається и полезный груз совершает свободное падение. (Такие происшествия случаются на самом деле!)

(а) За какое время t груз упадет на землю?

(б) Какова скорость груза v в момент удара?

Спротивлением воздуха можно пренебречь.

4.6. Рассмотрим поезд, который может двигаться с ускорением 20 см/с^2 и тормозить с замедлением 100 см/с^2 . Найти минимальное время t , за которое поезд пройдет расстояние 2 км между двумя станциями.

4.7. Если подбросить маленький мячик вертикально вверх в условиях влияния на него сопротивления воздуха, дольше он будет лететь снизу вверх или сверху вниз?

4.8. Рассмотрим точку на поверхности Земли на экваторе.

(а) Чему равна скорость точки V относительно центра Земли?

(б) Чему равна ее угловая частота ω ?

(в) Чему равно отношение ее радиального (нормального) ускорения a в результате вращательного движения к ускорению свободного падения g ?

4.9. При наблюдении пуска ракеты «Капрал», стартовавшей вертикально вверх, определили, что, пока двигатель ракеты работал в течение 50 с, она двигалась с ускорением $2g$. Пренебрегая сопротивлением воздуха и изменением g с высотой,

(а) постройте график $v(t)$ всего полета ракеты;

(б) определите максимальную высоту $H_{\text{макс}}$, которой достигла ракета;

(в) рассчитайте время T , прошедшее с момента пуска ракеты до ее возвращения на Землю.

4.10. В ходе демонстрационного эксперимента небольшой стальной шарик отскакивает от стальной пластины. При каждом отскоке скорость падения шарика на пластину уменьшается в e раз, т. е. скорость $v_{\text{вверх}} = e v_{\text{вниз}}$.

Если шарик в момент времени $t = 0$ был отпущен с высоты 50 см над пластиной и если через 30 с тишина в микрофоне показала, что отскоки прекратились, то чему равнялась величина e ?

4.11. Снаряд вылетает под углом θ к плоской горизонтальной поверхности с начальной скоростью v_0 . Сопротивлением воздуха можно пренебречь.

(а) Найдите максимальную высоту подъема снаряда $H_{\text{макс}}$ и дальность выстрела P .

(б) Под каким углом должен вылететь снаряд для достижения максимальной дальности полета?

4.12. Лучник-чемпион попадает в яблочко мишени, установленной на стене на расстоянии L от него на высоте h над его луком. Выведите соотношение между скоростью V , с которой стрела вылетает из лука, начальным углом траектории стрелы θ по отношению к горизонтали, высотой h и расстоянием до цели L . Лучник, по всей видимости, знал это соотношение.

Примечание. Лучник не пренебрег сопротивлением воздуха, но вы, по всей вероятности, можете это сделать.

4.13. Мальчик бросает мяч вверх под углом 70° к горизонтали, при этом мяч пролетает сквозь открытое окно, находящееся в 10 м над его плечом, двигаясь точно в горизонтальном направлении.

(а) С какой скоростью v мяч вылетает из руки мальчика?

(б) Каков радиус кривизны R траектории мяча в точке пролета над подоконником?

Можете ли вы найти радиус кривизны в любой точке траектории мяча, в любой момент времени?

4.14. Мелкий камешек застрял в протекторе шины радиуса R . Если эта шина катится со скоростью V без проскальзывания по горизонтальной дороге, а камешек касается дороги в момент времени $t = 0$, когда его координаты x (по горизонтали) и y (по вертикали) равны нулю, найдите уравнения, выражающие зависимости от времени t для x - и y -компонентов

(а) положения данного камешка,

(б) его скорости v ,

(в) его ускорения a .

4.15. Водитель автомобиля едет за грузовиком и вдруг замечает, что между двумя задними шинами грузовика зажат камень. Будучи осторожным водителем (и к тому же физиком), он сразу же увеличивает дистанцию до 22,5 м, чтобы не пострадать в случае, если камень вдруг вылетит из колес грузовика. С какой скоростью v ехал грузовик? (Предположим, камень после удара о землю не отскакивает от нее.)

4.16. Артист цирка задумал новый трюк — объединить номер «человек-ядро» с акробатическим этюдом на трапеции. У него была пушка, из которой

он вылетал с начальной скоростью V . Он хотел набрать достаточно высокую скорость, чтобы ухватиться за трапецию ($r = 2$ м), а затем продолжить свой полет до платформы, расположенной на высоте $h = 20$ м над полом, как показано на рис. 4-3. (Трапеция не должна провисать, т. е. вертикальная скорость артиста на трапеции должна быть равна нулю в точке r и в точке h).

- (а) Под каким углом должна быть установлена пушка?
 (б) На каком расстоянии x от платформы циркач должен установить свою пушку?
 (в) Какое значение скорости V он должен выбрать?

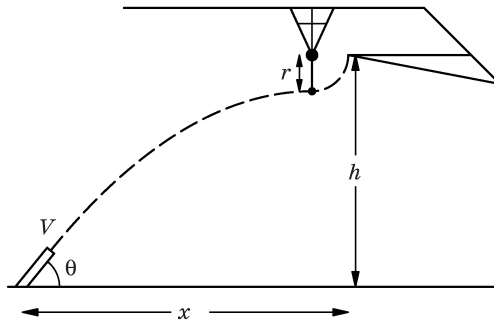


Рис. 4-3

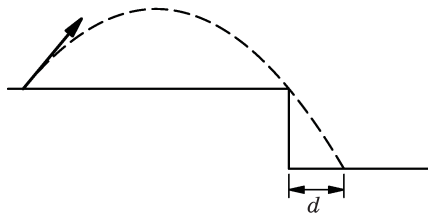


Рис. 4-4

- 4.17. Мортира установлена на расстоянии 27 000 футов (8230 м) от края обрыва глубиной 350 футов (106,7 м) от уровня установки самой mortиры, как показано на рис. 4-4. При этом наводчик mortиры хотел бы обстрелять объекты, скрывающиеся за обрывом. На каком минимальном расстоянии по горизонтали от обрыва могут падать снаряды mortиры, если скорость снаряда составляет 1000 футов (304,8 м) в секунду?
- 4.18. Первокурсник Калтеха, не имеющий опыта общения с загородной дорожной полицией, только что получил штраф за превышение скорости. Тогда он решил проверить погрешность своего спидометра на одном из отрезков шоссе, имеющем специальную разметку для тестирования спидометра. Стартуя с нулевой точки размеченного участка шоссе, он на

жимает педаль газа и в течение всего периода испытания поддерживает движение своей машины с постоянным ускорением. При этом он замечает, что отметку 0,1 мили (160 м) он проходит через 16 с после начала испытания, а спустя еще 8 с он проходит отметку 0,2 мили (320 м).

- (а) Какую скорость v должен был показывать спидометр при прохождении машиной отметки 320 м?
- (б) Каково было ускорение автомобиля?

4.19. На длинной горизонтальной испытательной трассе на авиабазе «Эдвардс» проводятся испытания ракетного двигателя и реактивного двигателя самолета. В назначенный день ракетный двигатель при старте с места постоянно ускорялся до тех пор, пока не закончилось его горючее, после чего он стал продолжать движение с постоянной скоростью. Заметили, что ракетное топливо закончилось как раз на середине контрольной дистанции. Затем реактивный двигатель стартовал с места по данной трассе, двигаясь с постоянным ускорением на всей контрольной дистанции. Заметили, что оба двигателя — ракетный и реактивный — прошли контрольную дистанцию за одинаковое время. Чему было равно отношение ускорения реактивного двигателя $a_{\text{реакт}}$ к ускорению ракетного двигателя $a_{\text{рак}}$?

Глава 5

Законы Ньютона

См. «Лекции», т. I, гл. 9

Задачи 5.1 – 5.13 должны быть решены аналитическими методами. *Примечание редактора:* нить во всех задачах следует считать нерастяжимой.

Задачи 5.14 – 5.17 должны быть решены с использованием численных методов.

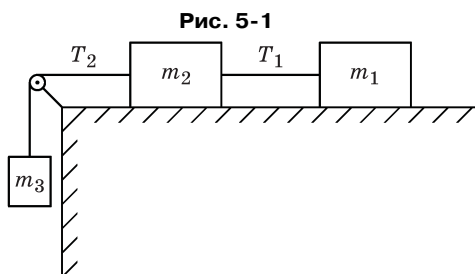


Рис. 5-2

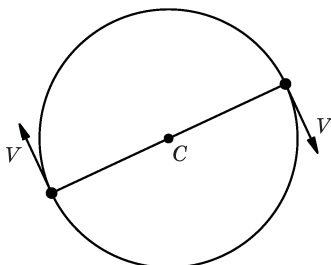
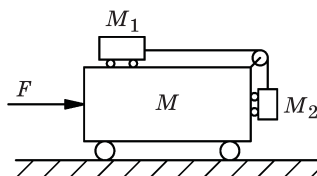


Рис. 5-3



5.1. Два бруска с массами $m_1 = 1$ кг, $m_2 = 2$ кг, лежащие на горизонтальной поверхности, связаны нитью. К бруску массой m_2 привязана еще одна нить, к другому концу которой, перекинутому через блок, привязан груз массой $m_3 = 3$ кг, как показано на рис. 5-1. Трением и массой блока и нитей можно пренебречь.

- Начертите силы, действующие на все грузы.
- Найдите ускорение a данных брусков и груза.
- Найдите силы натяжения нитей T_1 и T_2 .

- 5.2. Груз массой m (кг) висит на шнурке, подвешенном в лифте, который опускается с ускорением $0,1 g$. Чему равна сила натяжения T шнурка, измеренная в ньютонах (Н)?
- 5.3. Два объекта массой $m = 1$ кг каждый, соединенные натянутой струной длиной $L=2$ м, двигаются по круговой траектории с постоянной скоростью $V = 5$ м/с относительно их общего центра C в условиях невесомости, как показано на рис. 5-2. Чему равна сила натяжения T струны (в ньютонах)?
- 5.4. Посмотрите на рис. 5-3. Какую горизонтальную силу F необходимо приложить к массе M , чтобы M_1 и M_2 не двигались относительно M ? (Трением пренебречь.)
- 5.5. Посмотрите на рис. 5-4. Какую горизонтальную силу F необходимо приложить к тележке массой $M = 21$ кг, чтобы находящаяся на ней тележка массой $m_1 = 5$ кг не двигалась относительно груза $m_2 = 4$ кг? (Трением пренебречь.)
- 5.6. В системе, показанной на рис. 5-5, брусок M_1 скользит без трения по наклонной плоскости с углом $\theta = 30^\circ$; $M_1 = 400$ г, $M_2 = 200$ г. Найти ускорение a груза M_2 и силу натяжения нитей.

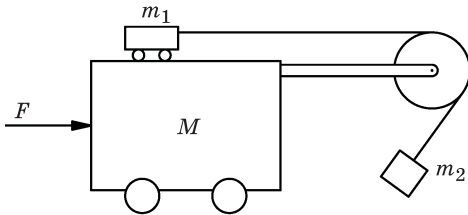


Рис. 5-4

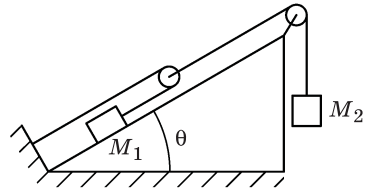


Рис. 5-5

- 5.7. Простой кран состоит из двух частей: части A с массой M_A , длиной D , высотой H и расстоянием $D/2$ между колесами радиуса r , а также части B — однородного стержня (или укосины) длиной L и массой M_B . Кран в сборе показан на рис. 5-6: в середине верхней части A имеется точка шарнирного закрепления P . Центр тяжести части A находится посередине между колесами.
- (а) Когда стержень B установлен под углом θ относительно горизонтали, какую максимальную массу $M_{\text{макс}}$ сможет поднять этот кран без опрокидывания?
- (б) Если на конце троса подвешен груз массой $M' = 4/5 M_{\text{макс}}$, то какое минимальное время t потребуется для подъема этого груза на расстояние $L \sin \theta$ от земли? (Угол θ остается фиксированным, а массой троса можно пренебречь.)

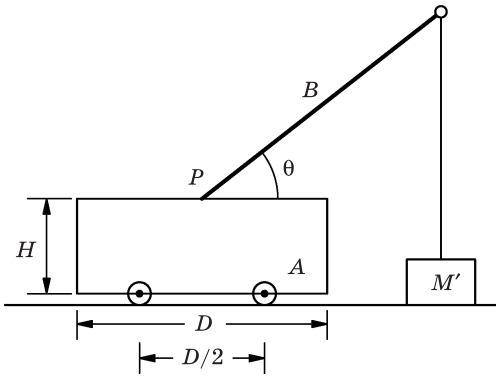


Рис. 5-6

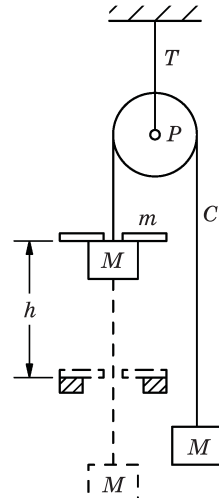


Рис. 5-7

- 5.8. В ранних экспериментах по измерению ускорения свободного падения использовалось устройство, называемое машиной Атвуда (рис. 5-7). Трением в блоке P и массой этого блока и нити C можно пренебречь. С обеих сторон систему уравнивают грузами с равными массами M , как показано на рис. 5.7 (сплошная линия), а затем с одной стороны добавляют небольшой довесок массой m . Суммарный груз движется с ускорением, проходя некоторое расстояние h , затем довесок захватывается кольцом, после чего две равные массы перемещаются с постоянной скоростью v . Найдите значение g , которое соответствует измеренным значениям m , M , h и v .
- 5.9. В лифте массой M_2 к его потолку подвешен груз массой M_1 , как показано на рис. 5-8. Лифт ускоряется вверх под действием постоянной силы F , большей, чем $(M_1 + M_2)g$. Масса M_1 изначально находится на расстоянии s над полом этого лифта.
- Найдите ускорение a_0 лифта.
 - Чему равна сила натяжения T нити, на которой груз M_1 подвешен к потолку лифта?
 - Если нить внезапно порвется, то чему будет равно ускорение лифта a сразу после обрыва нити, а также ускорение a' груза M_1 ?
 - За какое время t груз M_1 упадет на пол лифта?

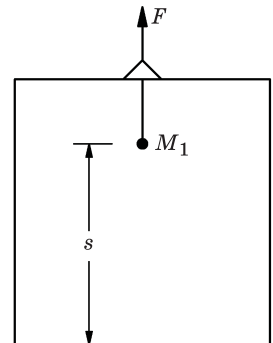


Рис. 5-8

- 5.10. Рассмотрим систему, показанную на рис. 5-9; предполагаем, что трение на всех поверхностях отсутствует. Если груз $m = 150$ г отпустить, ког-

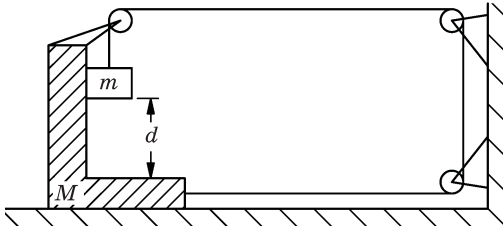


Рис. 5-9

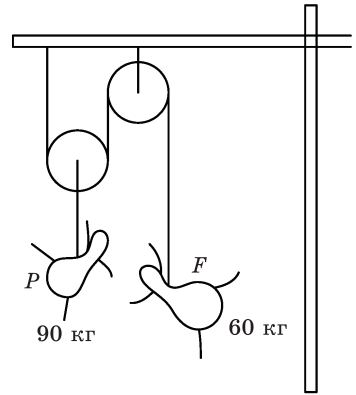


Рис. 5-10

да он находится на высоте $d = 1$ м над основанием кронштейна массой $M = 1650$ г, то как долго будет лететь груз m , после того как его отпустили, до его удара об основание кронштейна M ?

- 5.11.** Двое влюбленных молодых марсиан — Паоло и Франческа — собираются переправиться через марсианский канал Римини, но ни одна из гондол не может выдержать их суммарный вес, а переправляться в отдельных лодках они отказались. Предприимчивый гондольер Джузеппе умудряется все-таки заработать на их переезде. Для этого он подвешивает эту пару к мачте, как показано на рис. 5-10, с помощью невесомых канатов и невесомых, вращающихся без трения блоков (характерная особенность всех марсианских конструкций). Джузеппе быстро переправляет их через залив прежде, чем они успевают коснуться либо мачты, либо палубы. Предполагая, что масса Паоло 90 кг, а масса Франчески 60 кг, какую полезную нагрузку W перевезет Джузеппе на своей гондоле?

Подсказка. Помните, что сила натяжения невесомой нити, которая проходит через невесомый, вращающийся без трения блок, одинакова с обеих сторон блока.

- 5.12.** Маляр работает в подвесной люльке, которая может перемещаться вдоль стены высокого здания, как показано на рис. 5-11. Желая быстро подняться, маляр весом 180 фунтов (81,65 кг) тянет вниз свободный конец каната настолько сильно, что его собственное давление на сиденье люльки оказывается всего лишь 100 фунтов (45,36 кг). Сама люлька весит 30 фунтов (13,61 кг).

(а) Чему равно ускорение маляра и люльки?

(б) Какая общая сила F действует на блок?

- 5.13.** Космический путешественник, собирающийся совершить полет к Луне, имеет пружинные весы (безмен) и гирю A массой 1 кг, которая, будучи подвешенной к весам на Земле, показывает вес 9,8 Н. Прибыв на Луну

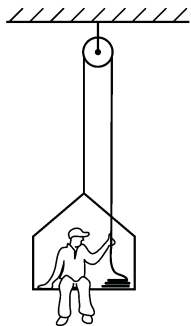


Рис. 5-11

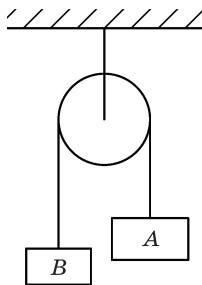


Рис. 5-12

в месте, где точное значение ускорения свободного падения неизвестно, но примерно в 6 раз меньше ускорения свободного падения на поверхности Земли, он берет в руки камень B , который при его взвешивании на пружинных весах дает показания $9,8$ Н. Затем он подвешивает гирию A и камень B к концам нити, перекинутой через блок, как показано на рис. 5-12, и замеряет, что B движется вниз с ускорением $1,2$ м/с². Чему равна масса m_B камня B ?

Для решения следующих задач используйте численные методы.

- 5.14.** По грузу, неподвижно висящему на пружинном подвесе, ударили снизу вверх таким образом, чтобы первоначально он начал двигаться с единичной скоростью. Если масса и коэффициент жесткости пружины таковы, что уравнение движения имеет вид $\ddot{x} = -x$, найти максимальную высоту $x_{\text{макс}}$, получаемую путем численного интегрирования уравнений движения.
- 5.15.** Частица массы m движется по прямой линии. При своем движении она испытывает силу сопротивления, пропорциональную ее скорости: $F = -kv$. Частица начинает движение со скоростью $v = v_0$ при $x = 0$ и $t = 0$.

- (а) Найти x в зависимости от t путем численного интегрирования.
- (б) Найти время $t_{1/2}$, которое требуется, чтобы частица потеряла половину своей скорости, и максимальное расстояние $x_{\text{макс}}$, которое может пройти частица.

Примечания.

- (а) Масштабируйте величины x и t таким образом, чтобы уравнение движения имело простые числовые коэффициенты.
- (б) Придумайте схему для достижения хорошей точности вычислений при относительно грубом интервале Δt .
- (в) Используйте анализ размерностей для нахождения зависимостей $t_{1/2}$ и $x_{\text{макс}}$ от v_0 , k и m и получите конечный результат расчета реально-

го движения только для одного удобного значения v_0 — скажем, для $v_0 = 1,00$ (в модифицированных единицах x и t).

- 5.16.** Некоторая заряженная частица движется в электрическом и магнитном полях в соответствии с уравнениями

$$\frac{dv_x}{dt} = -2v_y,$$
$$\frac{dv_y}{dt} = 1 + 2v_x.$$

При $t = 0$ частица начинает движение в точке $x = 0$, $y = 0$ со скоростью $v_x = 1$, $v_y = 0$.

Определите характер движения путем численного интегрирования.

- 5.17.** Снаряд выстрелили с начальной скоростью $v = 300$ м/с под углом 45° к горизонтали. При своем движении он испытывает силу сопротивления воздуха, пропорциональную кубу его скорости ($F = -kv^3$). Коэффициент k имеет такую величину, что сила сопротивления равна удвоенному весу снаряда, когда он движется со скоростью $v = 300$ м/с. Путем численного интегрирования найдите приблизительную максимальную высоту, достигнутую снарядом $h_{\text{макс}}$, дальность его полета по горизонтали R ; сравните их с соответствующими ожидаемыми значениями в отсутствие сопротивления воздуха.

Глава 6

Закон сохранения импульса

См. «Лекции», т. I, гл. 10

- 6.1. Когда два тела движутся вдоль некоторой прямой линии, существует специальная система координат, в которой импульс одного тела равен и противоположен по направлению импульсу другого тела, т. е. суммарный импульс двух тел равен нулю. Эта система отсчета называется системой центра масс (ЦМ). Показать, что если тела имеют массы m_1 и m_2 и движутся со скоростями v_1 и v_2 , то система ЦМ перемещается со скоростью

$$v_{\text{цм}} = \frac{m_1 v_1 + m_2 v_2}{m_1 + m_2}.$$

- 6.2. Обобщить задачу 6.1 для любого количества масс, движущихся вдоль одной прямой, т. е. показать, что скорость системы координат, в которой суммарный импульс равен нулю, определяется выражением

$$v_{\text{цм}} = \frac{\sum m_i v_i}{\sum m_i}.$$

- 6.3. Если T — полная кинетическая энергия двух масс в условиях задачи 6.1, а $T_{\text{цм}}$ — их полная кинетическая энергия в системе ЦМ, то покажите, что

$$T = T_{\text{цм}} + \left(\frac{m_1 + m_2}{2} \right) v_{\text{цм}}^2.$$

- 6.4. Обобщите результат, полученный в задаче 6.3, на случай произвольного числа масс. Покажите, что

$$T = T_{\text{цм}} + \frac{\sum m_i}{2} v_{\text{цм}}^2.$$

- 6.5. Два планера с массами m_1 и m_2 могут свободно лететь в воздухе по горизонтальной траектории. Планер массой m_2 находится в покое, а планер m_1 сталкивается с ним абсолютно упруго. Они отскакивают друг от друга с равными и противоположными скоростями. Каково соотношение m_1/m_2 ?

- 6.6. Нейтрон с кинетической энергией E испытывает лобовое столкновение с неподвижным ядром C^{12} и абсолютно упруго отскакивает от него в направлении, прямо противоположном начальному направлению своего движения. Какова его конечная кинетическая энергия E' ?
- 6.7. В результате выстрела из пушки в направлении вертикально вверх снаряд массой $m = 10$ кг вылетел с начальной скоростью $v_c = 500$ м/с.
- Рассчитайте скорость отдачи Земли v_3 .
 - Вычислите отношение кинетической энергии Земли T_3 к кинетической энергии снаряда T_c в момент их разделения.
 - Постройте график количественного изменения скорости и кинетической энергии снаряда и Земли в зависимости от времени.

Соппротивлением воздуха и орбитальным движением Земли пренебречь.

- 6.8. Тело массой $m = 1$ кг, движущееся со скоростью $V = 10$ м/с, ударяет находящееся в покое тело массой $M = 4$ кг и отскакивает в точно противоположном направлении со скоростью V_k . Чему равна скорость V_k , если в процессе столкновения выделяется количество тепла $T = 20$ Дж? (Напишите определяющие выражения для всех входящих величин; дайте четкое объяснение, на основании каких физических законов получены ваши уравнения.)
- 6.9. Пулемет установлен на северном конце платформы длиной 5 м и весом 10 000 кг, которая может свободно перемещаться по горизонтали на воздушной подушке. Пулемет стреляет в толстую мишень, установленную на южном конце данной платформы. При этом он выпускает по 10 пуль массой 100 г каждая в секунду с начальной скоростью 500 м/с. Будет ли двигаться платформа? Если это так, то в каком направлении и с какой скоростью v ?
- 6.10. Груз массой m_1 соединен тросом, перекинутым через блок, с сосудом с водой, который изначально имеет массу $m_2 = m_0$, как показано на рис. 6-1. Затем эту систему отпускают и из контейнера m_2 (с помощью внутреннего насоса) вертикально вниз начинает с силой бить струя воды с постоянным расходом $dm/dt = r_0$ и со скоростью v_0 относительно контейнера. Найти ускорение a груза m_1 в зависимости от времени. (Массами троса и блока можно пренебречь.)

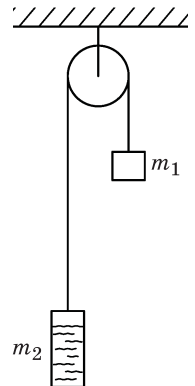


Рис. 6-1

- 6.11. Сани скатываются с горы по заснеженному склону практически без трения, сгребая по пути снег. Наклон горы составляет 30° , сани на 1 м пути сгребают до 0,5 кг снега. Вычислите ускорение саней a в момент, когда их скорость была равна 4 м/с, если их масса (включая груз) составляет 9 кг.

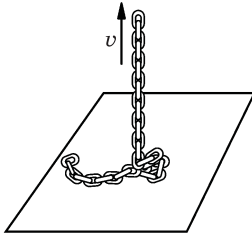


Рис. 6-2

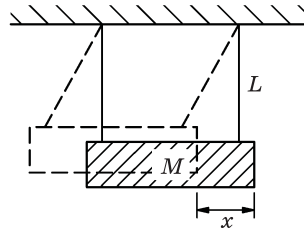


Рис. 6-3

- 6.12. Конец цепи с погонной массой (массой на единицу длины) μ , неподвижно лежащей на краю стола при $t = 0$, поднимают вертикально вверх с постоянной скоростью v , как показано на рис. 6-2. Оцените подъемную силу F в зависимости от времени.
- 6.13. Скорость ружейной пули может быть измерена с помощью баллистического маятника: пуля с известной массой m и неизвестной скоростью v попадает в неподвижный деревянный брусок массы M , подвешенный на нити длиной L , как показано на рис. 6-3. Это заставляет брусок качаться. Амплитуду качаний бруска x можно измерить и затем с помощью закона сохранения энергии определить скорость бруска сразу после попадания в него пули. Получите формулу для определения скорости пули через величины m , M , L , и x .
- 6.14. Два массивных тела A и A' , способных свободно скользить по горизонтальному воздушному желобу, жестко соединены друг с другом и обладают общей массой M . Между этими телами имеется промежуток $2L$. Тело B массой m и длиной L также находится в горизонтальном воздушном желобе и вынуждено двигаться в промежутке между телами A и A' , как показано на рис. 6-4. Все тела могут двигаться по длинному желобу без трения; столкновения тел A и A' с B являются абсолютно упругими. Первоначально вся система находится в состоянии покоя и тело B находится в контакте с телом A . Между телами A и B взрывается заряд, сообщая всей системе полную кинетическую энергию T .

- (a) Покажите качественные особенности движения тела B , т. е. его положение x в воздушном желобе, скорость v по отношению к желобу, изображая графики зависимостей x и v от времени. На обоих графиках используйте одну и ту же временную шкалу.

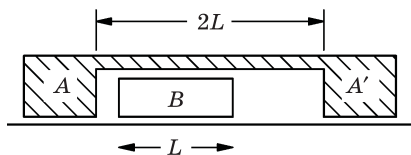


Рис. 6-4

(б) Выразите период t_0 , характеризующий движение тел, через величины T , L , m , и M .

Подсказка. Относительная скорость тела B по отношению к системе тел (A, A') равна $v_{\text{отн}} = v_B - v_{(A, A')}$.

- 6.15.** Два тела одинаковой массы, скользящие в воздушном желобе с равными и противоположными скоростями $+v$ и $-v$, испытывают почти упругое столкновение, отскакивая с чуть меньшими скоростями. В процессе столкновения они теряют долю своих кинетических энергий, равную $f \ll 1$. Если такие тела в желобе столкнутся друг с другом при условии, что одно из них первоначально находилось в состоянии покоя, то с какой скоростью будет двигаться второе тело после столкновения? (Эта небольшая остаточная скорость Δv может быть легко выражена через результирующую скорость v первоначально неподвижного тела; таким образом можно определить коэффициент упругости бамперов).

Примечание. Если $x \ll 1$, то $\sqrt{1-x} \approx 1-x/2$.

- 6.16.** Ракета с начальной массой $m = M_0$ выбрасывает продукты сгорания топлива с постоянным расходом газов в секунду $dm/dt = -r_0$ и со скоростью V_0 (по отношению к ракете).
- (а) Рассчитайте начальное ускорение a ракеты, пренебрегая силой тяжести.
- (б) Если $V_0 = 2,0$ км/с, чему должен быть равен расход газов в секунду r_0 для того, чтобы тяга ракетного двигателя составила 10^5 кГс?
- (в) Напишите дифференциальное уравнение, связывающее скорость v ракеты с ее остаточной массой $m = M$, и решите это уравнение, если сможете.
- 6.17.** Спутник Земли массой 10 кг и средней площадью поперечного сечения $0,5$ м² движется по круговой орбите на высоте 200 км над уровнем моря, где длина свободного пробега молекул измеряется многими метрами, а плотность воздуха составляет около $1,6 \cdot 10^{-10}$ кг/м³. Будем считать соударения молекул со спутником абсолютно неупругими (в том смысле, что молекулы не то чтобы прилипают к спутнику, но отскакивают от него с очень малой относительной скоростью).
- (а) Рассчитайте тормозящую силу F_R , которую будет испытывать спутник при трении о воздух.
- (б) Как будет изменяться эта сила трения в зависимости от скорости спутника v ? Будет ли скорость спутника снижаться в результате действия на него результирующей силы? (Учтите, что скорость движения спутника по круговой орбите зависит от высоты орбиты.)

Глава 7

Векторы

См. «Лекции», т. I, гл. 11

Обобщить задачи 6.1 – 6.4 на случай движения в трех измерениях с использованием векторных обозначений.

7.1. Покажите, что если два тела имеют массы m_1 и m_2 и движутся со скоростями \mathbf{v}_1 и \mathbf{v}_2 , то система их центров масс (ЦМ) движется со скоростью

$$\mathbf{v}_{\text{цм}} = \frac{m_1 \mathbf{v}_1 + m_2 \mathbf{v}_2}{m_1 + m_2}.$$

7.2. Покажите, что для N тел массами m_i , движущимися со скоростями \mathbf{v}_i , скорость системы координат, в которой полный импульс равен нулю, определяется формулой

$$\mathbf{v}_{\text{цм}} = \frac{\sum_{i=1}^N m_i \mathbf{v}_i}{\sum_{i=1}^N m_i}.$$

7.3. Пусть T — полная кинетическая энергия двух тел в условиях задачи 7.1, а $T_{\text{цм}}$ — их полная кинетическая энергия в системе центра масс. Покажите, что

$$T = T_{\text{цм}} + \left(\frac{m_1 + m_2}{2} \right) |\mathbf{v}_{\text{цм}}|^2.$$

7.4. Обобщите результаты задачи 7.3 для случая N тел. Покажите, что

$$T = T_{\text{цм}} + \frac{\sum_{i=1}^N m_i}{2} |\mathbf{v}_{\text{цм}}|^2.$$

7.5. Частица изначально находится в точке \mathbf{r}_0 и движется под действием силы тяжести с начальной скоростью \mathbf{v}_0 . Найдите уравнение последующего движения частицы $\mathbf{r}(t)$.

7.6. Даны три вектора:

$$\mathbf{a} = 3\mathbf{i} + 2\mathbf{j} - \mathbf{k},$$

$$\mathbf{b} = 2\mathbf{i} - \mathbf{j} + \mathbf{k},$$

$$\mathbf{c} = \mathbf{i} + 3\mathbf{j}.$$

Найдите:

(a) $\mathbf{a} + \mathbf{b}$;

(б) $\mathbf{a} - \mathbf{b}$;

(в) \mathbf{a}_x ;

(г) $\mathbf{a} \cdot \mathbf{i}$;

(д) $\mathbf{a} \cdot \mathbf{b}$;

(е) $(\mathbf{a} \cdot \mathbf{c})\mathbf{b} - (\mathbf{a} \cdot \mathbf{b})\mathbf{c}$.

7.7. Частица массой 1 кг движется таким образом, что ее положение описывается вектором

$$\mathbf{r}(t) = v_0 t \mathbf{i} + (v_0 t + a_0 t^2/2) \mathbf{j} - s_0 (4/\pi^2) \sin(\pi t/2) \mathbf{k},$$

где $s_0 = 1$ м; $v_0 = 1$ м/с; $a_0 = 1$ м/с².

(a) Найдите положение $\mathbf{r}(t)$, скорость $\mathbf{v}(t)$, ускорение $\mathbf{a}(t)$ и кинетическую энергию $T(t)$ частицы при $t = 0$ и $t = 1$ с.

(б) Найдите силу $\mathbf{F}(t)$, которая будет вызывать это движение.

(в) Найдите радиус кривизны $R(t)$ траектории в момент времени $t = 1$ с.

7.8. Пилот, который может лететь в воздухе со скоростью 100 узлов, желает совершить перелет на север. Из разговора с метеорологом аэропорта ему стало известно, что на высоте его полета дует ветер со скоростью 25 узлов в направлении с запада на восток.

(a) В каком направлении пилот должен направить свой самолет?

(б) Какова будет продолжительность T его полета, если расстояние до пункта назначения составляет 100 сухопутных миль? (Пренебречь временем, требуемым для посадки и взлета самолета, и учесть, что 1 узел = 1,15 сухопутных миль в час.)

7.9. Велосипедист едет со скоростью 10 км/ч на север; ему кажется, что ветер дует со скоростью 6 км/ч примерно с северо-востока под углом 15° к направлению север–юг.

(a) Определите истинное направление ветра.

(б) Найдите кажущееся направление ветра с точки зрения велосипедиста, едущего в обратном направлении, если он едет с той же самой скоростью.

7.10. Человек, стоящий на берегу реки шириной 1 км, хочет переправиться на другой берег в прямо противоположную точку. Он может сделать это двумя способами: 1) плыть все время под углом к течению, чтобы результирующая скорость все время была перпендикулярна берегу; 2) плыть прямо к противоположному берегу, а расстояние, на которое его снесет течением, пройти затем по берегу реки пешком. Плавает он со скоростью 2,5 км/ч, а идет со скоростью 4 км/ч. Скорость течения реки 2 км/ч. Какой способ позволит ему перебраться быстрее?

7.11. Моторная лодка, скорость которой относительно воды равна V , плывет по прямолинейному участку реки, на котором скорость течения постоянна и равна R . Сперва лодка поднимается вверх по течению реки от точки своей стоянки на расстояние d и возвращается обратно, а затем отправляется в круговое плавание на расстояние d в направлении поперек течения реки. Для простоты допустим, что лодка плывет всю дистанцию в каждом случае с полной скоростью и лодочник не тратит время на разворот в крайней точке каждого путешествия. Если t_V — время, потраченное лодкой на путешествие вдоль реки туда и обратно, t_A — время, которое заняло путешествие лодки поперек течения реки, а t_L — время, за которое лодка прошла бы расстояние $2d$ по озеру, то

(а) чему равно отношение t_V/t_A ?

(б) чему равно отношение t_A/t_L ?

7.12. С помощью векторной алгебры найдите расстояние вдоль дуги большого круга D между двумя точками на Земле (r_3 — радиус Земли), широта и долгота которых равны соответственно (λ_1, ϕ_1) и (λ_2, ϕ_2) .

Примечание. Используйте систему прямоугольных координат с началом в центре Земли, причем одна ось данной системы должна совпадать с земной осью, другая должна иметь направление $\lambda = 0, \phi = 0$, а третья должна быть направлена в точку с $\lambda = 0, \phi = 90^\circ$ западной долготы. Пусть значения долготы изменяются в западном направлении от 0° до 360° .

7.13. Чему равно ускорение и направление силы тяжести на Луне

(а) в новолуние?

(б) в первую четверть?

(в) в полнолуние?

Примечание. Расстояние от Земли до Солнца $R_{ЗС} = 1,5 \cdot 10^8$ км; расстояние от Земли до Луны $R_{ЗЛ} = 3,85 \cdot 10^5$ км; масса Солнца $M_C = 3,33 \cdot 10^5 M_3$ (M_3 — масса Земли).

7.14. Два одинаковых 45-градусных клина с гладкими гранями и одинаковыми массами $M_1 = M_2 = 8$ кг используются для перемещения груза с гладкой поверхностью массой $M = 384$ кг, как показано на рис. 7-1. Оба клина опираются на гладкую горизонтальную плоскость: один клин упирается в вертикальную стенку, а к другому клину в горизонтальном направлении прикладывают силу $F = 592$ кГс.

- (а) Определить величину и направление ускорения \mathbf{a}_1 подвижного клина на M_1 ?
- (б) Определить величину и направление ускорения \mathbf{a} груза M ?
- (в) Чему равна сила \mathbf{F}_2 , с которой неподвижный клин M_2 действует на тяжелый груз массой M ? (Сила трения пренебрежимо мала.)

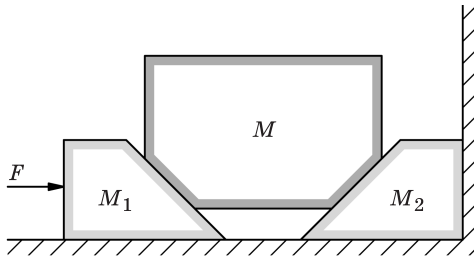


Рис. 7-1

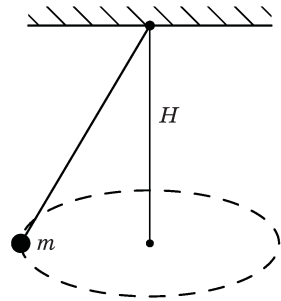


Рис. 7-2

- 7.15. На конце нити произвольной длины подвешена точечная масса m , а другим концом нити прикреплен к шарниру, в котором отсутствует трение. Точка движется по круговой орбите, лежащей в горизонтальной плоскости, расположенной на расстоянии H ниже шарнира, к которому прикреплена данная нить, как показано на рис. 7-2. Найдите период вращения точечной массы m по ее круговой орбите.
- 7.16. Два маленьких шарика оконной шпатлевки — a и b , массой по 1 г каждый — движутся под действием силы тяжести с ускорением $-9,8\mathbf{k}$ м/с². Даны следующие начальные условия при $t = 0$:

$$\mathbf{r}_a(0) = (7\mathbf{i} + 4,9\mathbf{k}) \text{ (м)},$$

$$\mathbf{v}_a(0) = (7\mathbf{i} + 3\mathbf{j}) \text{ (м/с)},$$

$$\mathbf{r}_b(0) = (49\mathbf{i} + 4,9\mathbf{k}) \text{ (м)},$$

$$\mathbf{v}_b(0) = (-7\mathbf{i} + 3\mathbf{j}) \text{ (м/с)}.$$

Найдите $\mathbf{r}_a(t)$ и $\mathbf{r}_b(t)$ для любого момента времени $t > 0$.

- 7.17. Вы находитесь на судне, идущем на восток со скоростью 15 узлов (1 узел равен 1 морской миле в час. — Прим. ред.). Находясь на палубе, в 6 милях (имеются в виду морские мили. — Прим. ред.) к югу от вас вы заметили в море другое судно, идущее постоянным курсом со скоростью 26 узлов. Позже это судно проходит у вас за кормой, причем расстояние наибольшего сближения составляет 3 мили.
- (а) Найти курс другого судна.
- (б) Какое время прошло между моментом, когда вы обнаружили судно в 6 милях к югу от вас, и моментом наибольшего сближения судов?

Глава 8

Нерелятивистская теория столкновений двух тел в трех измерениях

См. «Лекции», т. I, гл. 10 и 11



Рис. 8-1

Анализ столкновения двух тел часто может быть упрощен за счет использования системы центра масс (ЦМ). Рассмотрим общий случай нерелятивистского столкновения двух тел в лабораторной системе. Происходит столкновение двух тел с массами m_1 и m_2 , движущихся со скоростями v_1 и v_2 . Тела могут обмениваться массами во время столкновения; в результате после столкновения образуются два тела с массами m_3 и m_4 , движущиеся со скоростями v_3 и v_4 , как показано на рис. 8-1.

Законы сохранения энергии и импульса дают следующие соотношения:

$$\frac{1}{2} m_1 v_1^2 + \frac{1}{2} m_2 v_2^2 + Q = \frac{1}{2} m_3 v_3^2 + \frac{1}{2} m_4 v_4^2,$$

$$m_1 v_1 + m_2 v_2 = m_3 v_3 + m_4 v_4.$$

Величиной Q определяется степень неупругости столкновения. Такой метод анализа столкновения тел в лабораторной системе зачастую довольно громоздок и не всегда позволяет достаточно легко выявлять специфику явлений либо выводить простые соотношения. В большинстве случаев для анализа подобных процессов предпочтительнее использовать систему ЦМ, относительно которой движение тел происходит по одной прямой.

(i) Определите скорость ЦМ до столкновения

$$v_{\text{ЦМ}} = \frac{m_1 v_1 + m_2 v_2}{m_1 + m_2},$$

после столкновения

$$v'_{\text{ЦМ}} = \frac{m_3 v_3 + m_4 v_4}{m_3 + m_4}.$$

Обратите внимание на то, что во всех нерелятивистских столкновениях

$$m_1 + m_2 = m_3 + m_4,$$

$$v'_{\text{ЦМ}} = v_{\text{ЦМ}}.$$

В ходе последующего обсуждения мы будем рассматривать частный случай

$$m_1 = m_3,$$

$$m_2 = m_4.$$

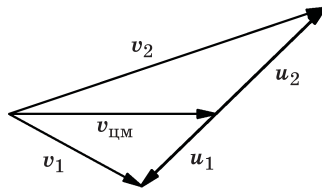


Рис. 8-2

(ii) Найдите скорости масс m_1 и m_2 в системе ЦМ, как показано на рис. 8-2:

$$u_1 = v_1 - v_{\text{ЦМ}},$$

$$u_2 = v_2 - v_{\text{ЦМ}}.$$

В системе ЦМ векторы импульсов двух масс равны по величине и противоположны по направлению:

$$m_1 u_1 = -m_2 u_2.$$

Это значит, что векторы u_1 и u_2 лежат на одной прямой, если сталкивающиеся тела можно рассматривать как материальные точки. Кроме того, для модулей скоростей имеет место соотношение

$$\frac{|u_1|}{|u_2|} = \frac{m_2}{m_1}.$$

(iii) После столкновения импульсы тел в системе ЦМ снова должны быть равны по величине и противоположны по направлению, т. е.

$$m_3 \mathbf{u}_3 = -m_4 \mathbf{u}_4,$$

$$\frac{|\mathbf{u}_3|}{|\mathbf{u}_4|} = \frac{m_4}{m_3}.$$



Рис. 8-3

Примечание. Следует отметить, что в системе ЦМ линия относительно движения двух тел может быть повернута в новом направлении после столкновении, как показано на рис. 8-3. Новое направление не определяется законами сохранения энергии и импульса, но следует из геометрии силы взаимодействия и начального относительного движения. После столкновения величины скоростей \mathbf{u}_3 и \mathbf{u}_4 могут быть больше или меньше величин скоростей \mathbf{u}_1 и \mathbf{u}_2 либо равны им в зависимости от того, что произошло в процессе столкновения — выделение, поглощение энергии или она осталась неизменной.

В геометрическом представлении векторы скоростей \mathbf{u}_3 и \mathbf{u}_4 должны быть коллинеарны; конечные точки векторов должны попадать на концентрические сферические оболочки (окружности в случае столкновения в двух измерениях) радиусами

$$\frac{|\mathbf{u}_3|}{|\mathbf{u}_4|} = \frac{m_4}{m_3}.$$

Величины \mathbf{u}_3 и \mathbf{u}_4 определяются законом сохранения энергии. В задаче 7.3 было показано, что полная кинетическая энергия двух тел с массами m_1 и m_2 может быть выражена как

$$T = T_{\text{цм}} + \frac{1}{2}(m_1 + m_2)|\mathbf{v}_{\text{цм}}|^2,$$

где

$$T_{\text{цм}} = \frac{1}{2}m_1|\mathbf{u}_1|^2 + \frac{1}{2}m_2|\mathbf{u}_2|^2.$$

Из закона сохранения импульса мы знаем, что

$$m_1 |\mathbf{u}_1| = m_2 |\mathbf{u}_2| = P,$$

поэтому

$$T_{\text{цм}} = \left(\frac{1}{m_1} + \frac{1}{m_2} \right) \frac{P^2}{2}.$$

Заметим, что «приведенная масса» m_r двух тел с массами m_1 и m_2 определяется как

$$\frac{1}{m_r} = \frac{1}{m_1} + \frac{1}{m_2}.$$

В этих обозначениях

$$T_{\text{цм}} = \frac{P^2}{2m_r}.$$

До столкновения

$$T = T_{\text{цм}} + \frac{1}{2}(m_1 + m_2) |v_{\text{цм}}|^2.$$

После столкновения

$$T' = T + Q = T'_{\text{цм}} + \frac{1}{2}(m_3 + m_4) |v'_{\text{цм}}|^2.$$

В нерелятивистских столкновениях

$$m_1 + m_2 = m_3 + m_4,$$

$$v_{\text{цм}} = v'_{\text{цм}},$$

поэтому

$$T'_{\text{цм}} = T_{\text{цм}} + Q = T_{\text{цм}} \left(1 + \frac{Q}{T_{\text{цм}}} \right).$$

Также

$$T'_{\text{цм}} = \frac{1}{2} m_3 |\mathbf{u}_3|^2 + \frac{1}{2} m_4 |\mathbf{u}_4|^2.$$

Из выражения $m_3 |\mathbf{u}_3| = m_4 |\mathbf{u}_4| = P'$ следует, что

$$T'_{\text{цм}} = \left(\frac{1}{m_3} + \frac{1}{m_4} \right) \frac{P'^2}{2} = \frac{P'^2}{2m'_r}.$$

В частном рассматриваемом случае ($m_1 = m_2, m_3 = m_4$) имеем $m_r = m'_r$. Следовательно, из равенства $T'_{цм} = T_{цм} (1 + Q / T_{цм})$ следует, что

$$P'^2 = \left(1 + \frac{Q}{T_{цм}} \right) P^2.$$

Это выражение дает величины скоростей в системе ЦМ после столкновения.

(1) *Упругое столкновение*

$Q = 0$: кинетическая энергия при столкновении не изменяется, т. е.

$$P'^2 = P^2,$$

поэтому

$$|u_3| = |u_1|, \quad |u_4| = |u_2|.$$

(2) *Неупругое столкновение*

$Q > 0$: кинетическая энергия при столкновении выделяется.

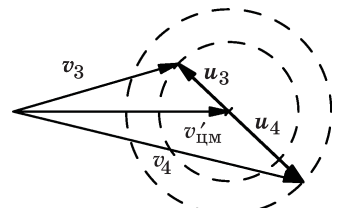
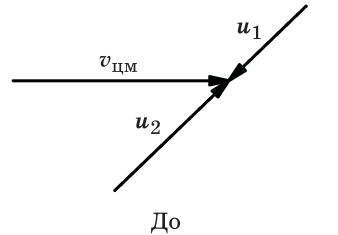
$Q < 0$: кинетическая энергия при столкновении поглощается. В обоих случаях с учетом знака Q

$$P'^2 = \left(1 + \frac{Q}{T_{цм}} \right) P^2,$$

поэтому

$$|u_3| = \left(1 + \frac{Q}{T_{цм}} \right)^{1/2} |u_1|,$$

$$|u_4| = \left(1 + \frac{Q}{T_{цм}} \right)^{1/2} |u_2|.$$



(iv) Скорости в лабораторной системе после столкновения получают путем простого добавления скорости $v'_{цм}$ к u_3 и u_4 , как показано на рис. 8-4, т. е.

$$v_3 = v'_{цм} + u_3,$$

$$v_4 = v'_{цм} + u_4.$$

Рис. 8-4

Зачастую из приведенного геометрического представления кинематики рассеяния может быть непосредственно получена существенная общая и конкретная информация о столкновении двух тел.

- 8.1.** По аналогии с изложенным выше получите результаты для трехмерных нерелятивистских столкновений ($m_1 + m_2 = m_3 + m_4$) для случая $m_1, m_2 \neq m_3, m_4$. Например, покажите, что при столкновении двух тел с начальными импульсами \mathbf{p}_1 и \mathbf{p}_2 конечные импульсы задаются выражениями

$$\mathbf{p}_3 = \mathbf{P}_3 + m_3 \mathbf{v}_{\text{цм}},$$

$$\mathbf{p}_4 = \mathbf{P}_4 + m_4 \mathbf{v}_{\text{цм}},$$

где $\mathbf{p}_i = m_i \mathbf{v}_i$ — импульс массы m_i в лабораторной системе; $\mathbf{P}_i = \mathbf{p}_i - m_i \mathbf{v}_{\text{цм}}$ — импульс массы m_i в системе ЦМ, причем

$$|\mathbf{P}_1| = |\mathbf{P}_2| = \sqrt{2m_r T_{\text{цм}}},$$

$$|\mathbf{P}_3| = |\mathbf{P}_4| = \sqrt{2m'_r T_{\text{цм}}}.$$

- 8.2.** Движущаяся частица испытывает абсолютно упругое столкновение с частицей равной массы, находящейся в состоянии покоя. Покажите, что после столкновения направления движения обеих частиц будут перпендикулярны друг другу.
- 8.3.** Движущаяся частица массой M испытывает абсолютно упругое столкновение с покоящейся частицей массой $m < M$. Найти максимально возможный угол $\theta_{\text{макс}}$, на который может отклониться траектория падающей частицы.
- 8.4.** Частица массой m_1 , движущаяся со скоростью v_1 , испытывает абсолютно упругое столкновение с покоящейся частицей массой $m_2 = 3m_1$ ($v_2 = 0$). После столкновения частица m_2 начинает движение под углом $\theta_2 = 45^\circ$ по отношению к первоначальному направлению движения частицы m_1 , как показано на рис. 8-5. Найдите θ_1 — окончательный угол движения частицы m_1 , а также v'_1, v'_2 — окончательные скорости движения частиц после их столкновения.

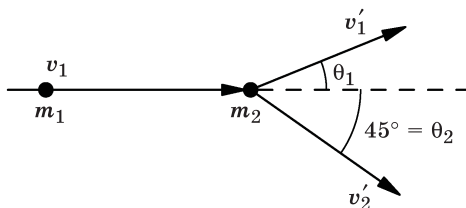


Рис. 8-5

8.5. Две частицы с одинаковой массой m сталкиваются, двигаясь в перпендикулярных направлениях с одинаковой скоростью. После столкновения было обнаружено, что одна частица отклонилась на 60° от своего первоначального направления в сторону первоначального направления движения другой частицы, как показано на рис. 8-6. Определить угол α , на который отклоняется вторая частица в сторону первоначального направления движения первой частицы, если столкновение было упругим.

8.6. Две частицы с одинаковой массой летят перпендикулярно друг другу со скоростями $v_1 = 8$ м/с и $v_2 = 6$ м/с. Происходит абсолютно упругое их столкновение. Было замечено, что частица m_1 начала двигаться под углом $\theta = \arctg(1/2)$ к направлению ее движения перед столкновением, как показано на рис. 8-7.

(а) Чему равен вектор скорости $v_{\text{цм}}$ центра масс? Определите декартовы компоненты этого вектора.

(б) Чему равны величины u_1, u_2 конечных скоростей частиц в системе центра масс?

(в) Чему равна конечная скорость v'_1 частицы 1 в лабораторной системе координат?

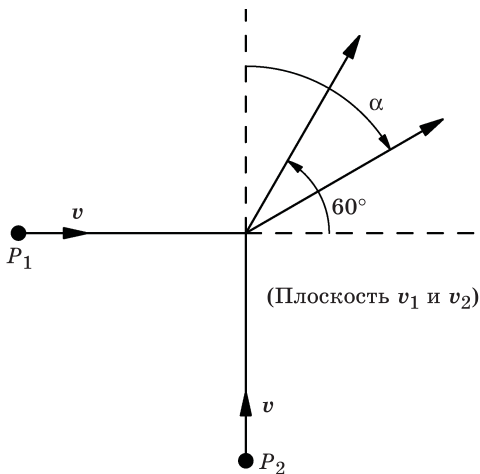


Рис. 8-6

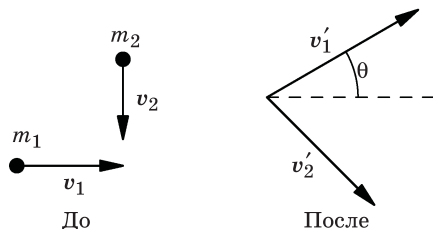


Рис. 8-7

8.7. Протон, движущийся вдоль оси x со скоростью $v_0 = 1,00 \cdot 10^7$ м/с, налетает на неподвижный протон. Происходит абсолютно упругое столкновение. После этого один протон движется в плоскости x, y под углом 30° к оси x . Найдите скорости v'_1 и v'_2 (абсолютные величины и направления) обоих протонов после столкновения.

8.8. Протон движется вдоль оси x со скоростью $v_0 = 1,00 \cdot 10^7$ м/с и налетает на покоящееся ядро бериллия (Be). Происходит абсолютно упругое стол-

кновение. После столкновения заметили, что ядро Be начало двигаться в плоскости x, y под углом 30° к оси x . Определите:

- (а) скорость v_2 ядра бериллия в лабораторной системе координат;
- (б) конечную скорость v'_1 протона в лабораторной системе координат;
- (в) конечную скорость u'_1 протона в системе центра масс.

Примечание. Допустить, что отношение массы ядра Be к массе протона равно $9 : 1$.

- 8.9.** Круглая шайба для аэрохоккея массой 100 г и радиусом 2 см, изначально двигавшаяся со скоростью 150 см/с по горизонтальному столу, испытывает упругое столкновение с покоящейся шайбой массой 200 г и радиусом 3 см. В момент столкновения линия, соединяющая центры двух шайб, образует угол 60° с линией первоначального направления движения шайбы массой 100 г. В отсутствие трения между шайбами и столом, а также между самими шайбами найдите скорости v_1 и v_2 каждой шайбы после столкновения.
- 8.10.** Объект массой m_1 , двигаясь с линейной скоростью v в лабораторной системе, сталкивается с объектом массой m_2 , который находится в состоянии покоя. Следует отметить, что после этого столкновения некоторая доля $|\Delta T/T|_{\text{цм}} = (1 - \alpha^2)$ кинетической энергии в системе ЦМ при столкновении была потеряна. Какова была доля $|\Delta T/T|_{\text{лаб}}$ потери энергии в лабораторной системе?
- 8.11.** (а) Частица массой m сталкивается абсолютно упруго с покоящейся частицей массой $M > m$. Налетающая частица отклоняется на угол 90° . Под каким углом θ к первоначальному направлению движения частицы m будет двигаться более массивная частица M в результате эффекта отдачи?
- (б) Если в системе ЦМ при столкновении теряется часть энергии $(1 - \alpha^2)$, то чему равен угол отдачи изначально покоящейся частицы?
- 8.12.** Протон с кинетической энергией 1 МэВ наталкивается на покоящееся ядро и отклоняется на 90° . Столкновение является абсолютно упругим. Если энергия протона после столкновения равна $0,8$ МэВ, то какова масса M ядра-мишени, измеренная в единицах массы протона?
- 8.13.** Шайба массой 1 кг, движущаяся со скоростью $v_1 = 6$ м/с с северного направления, налетает на неподвижную шайбу массой 2 кг. После столкновения первая шайба начинает двигаться под углом 45° на северо-восток от первоначального направления со скоростью $v'_1 = 2\sqrt{2}$ м/с.
- (а) Чему равна скорость v'_2 второй шайбы после удара?
 - (б) Какая часть α кинетической энергии была потеряна в системе ЦМ?
 - (в) На какой угол θ отклонилась шайба весом 1 кг в системе ЦМ?

8.14. «Частица» массой $m_1 = 2$ кг, которая движется со скоростью $v_1 = (3\mathbf{i} + 2\mathbf{j} - \mathbf{k})$ м/с, испытывает неупругое столкновение с «частицей» массой $m_2 = 3$ кг, имеющей скорость $v_2 = (-2\mathbf{i} + 2\mathbf{j} + 4\mathbf{k})$ м/с.

- (а) Найдите скорость v образовавшейся после соударения составной частицы.
- (б) Найдите полную кинетическую энергию $T_{\text{цм}}$ указанных частиц в системе ЦМ *перед* ударом.

Глава 9

Силы

См. «Лекции», т. I, гл. 12

- 9.1. Давление $P + \Delta P$ внутри мыльного пузыря больше давления P снаружи из-за поверхностного натяжения. Покажите, что в зависимости от разности давлений коэффициент поверхностного натяжения сферического мыльного пузыря радиуса R определяется выражением

$$\sigma = \frac{R}{4} \Delta P.$$

- 9.2. Тело массой 3 кг движется, причем закон его движения описывается выражением $x = 6t^2 - 2t^3$ (x измеряется в метрах, а t — в секундах).

Чему равна сила F (в ньютонах), действующая на данное тело в момент $t = 4$ с?

- 9.3. Два тела с массами $m_1 = 4$ кг и $m_3 = 2$ кг соединены посредством нитей пренебрежимо малого веса, перекинутых через блоки с пренебрежимо малым трением, с третьим телом массой $m_2 = 2$ кг, как показано на рис. 9-1. Тело массой m_2 может скользить по длинному столу с коэффициентом трения $\mu = 1/2$. Чему будет равно ускорение тела массой m_1 после того как данная система выйдет из состояния покоя?

- 9.4. Внутренние полости двух мыльных пузырей равных радиусов соединены тонкой трубкой, как показано на рис. 9-2. Опишите, что произойдет с данной системой в реальном случае.

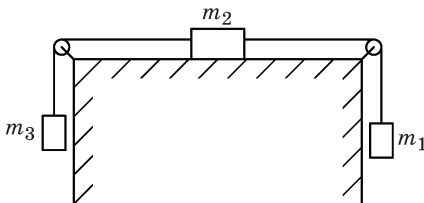


Рис. 9-1

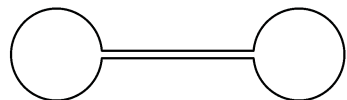


Рис. 9-2

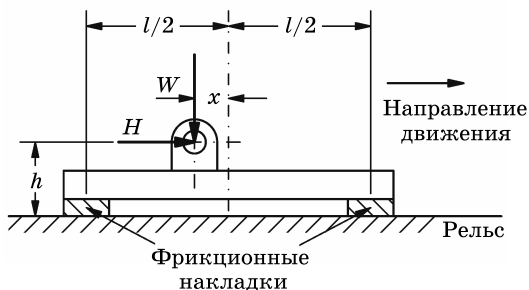


Рис. 9-3

- 9.5. Скоростные ракетные сани скользят по рельсам на башмаках подвески, установленных между санями и рельсами, как показано на рис. 9-3. В передней и задней частях каждого башмака имеется по сменной фрикционной накладке. Коэффициент трения между фрикционной накладкой и рельсом равен μ . Скорость, с которой стирается материал фрикционной накладки во время работы ракетных саней, пропорциональна силе трения, действующей на эти фрикционные накладки. Если точка подвески башмака находится на высоте h над поверхностью рельса, то на каком расстоянии x по горизонтали от вертикальной центральной линии между двумя фрикционными накладками должна быть установлена точка подвески башмака P с тем, чтобы две фрикционные накладки изнашивались с одинаковой скоростью?

W — та часть веса ракетных саней, которая переносится башмаком, показанным на рисунке;

H — горизонтальная составляющая силы в точке шарнирного закрепления башмака;

l — общая длина между центрами двух фрикционных накладок.

- 9.6. Во многих случаях весьма полезными оказываются регулируемые кронштейны, которые могут скользить вверх и вниз вдоль вертикальных стоек. На рис. 9-4 показан подобный кронштейн с основными его размерами. Если коэффициент трения покоя между стойкой и скользящим по ней кронштейном равен 0,3, а вес груза, подвешенного на расстоянии X от стойки, в 50 раз превосходит вес самого кронштейна, каково должно быть минимальное расстояние X , необходимое для того, чтобы кронштейн не соскальзывал по стойке?

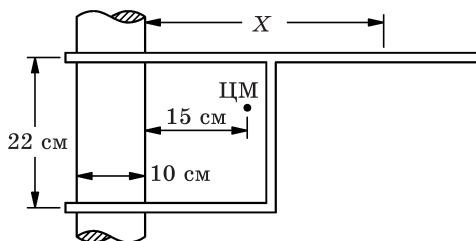


Рис. 9-4

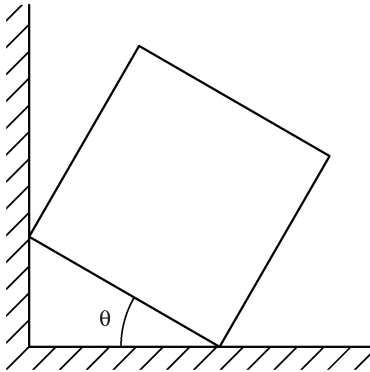


Рис. 9-5

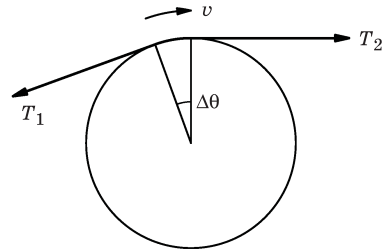


Рис. 9-6

- 9.7. Куб массой M прислонен к стене в наклонном положении, как показано на рис. 9-5. Между кубом и стенкой трение отсутствует, но между кубом и полом оно есть; значения коэффициента трения μ как раз едва хватает на то, чтобы удерживать куб от соскальзывания. При $0 < \theta < 45^\circ$ найти минимальный коэффициент трения $\mu_{\text{мин}}$ как функцию θ . Проверьте ваш ответ, вычислив значения μ для случаев $\theta \rightarrow 0$ и $\theta \rightarrow 45^\circ$, а также рассчитав угол θ , при котором $\mu = 1$.
- 9.8. (а) Шнур, движущийся с малой скоростью v , трется о круглый столб и, огибая его, отклоняется от прямой линии на малый угол $\Delta\theta \ll 1$ рад, как показано на рис. 9-6. Если силы натяжения шнура по разные стороны столба равны T и $T + \Delta T$, то чему равна разность этих сил ΔT , возникающая вследствие трения?
- (б) Проинтегрируйте предыдущее уравнение, чтобы найти отношение сил натяжения T_2/T_1 на обоих концах шнура, заворачивающего за круглый столб на конечный угол α , если шнур тянут таким образом, чтобы он начал проскальзывать по этому столбу.
- 9.9. Пуля массой 5 г летит в горизонтальном направлении и попадает в деревянный брусок массой 3 кг, покоящийся на горизонтальной поверхности. Коэффициент трения скольжения между бруском и поверхностью равен 0,2. После того как пуля застряла в бруске, он начал скользить по поверхности и остановился, пройдя 25 см вдоль нее. Какова была скорость v_0 пули?
- 9.10. При исследовании места автомобильной аварии полиция путем измерений обнаружила, что перед столкновением с автомобилем B автомобиль A оставил на проезжей части след торможения длиной 150 футов (45,7 м). Известно также, что коэффициент трения между резиной и дорожным покрытием на месте аварии был не менее 0,6. Найдите скорость v автомобиля A непосредственно перед аварией и покажите, что этот автомо-

биль до столкновения двигался с превышением предельно разрешенной скорости 45 миль (72,4 км) в час.

Примечание. 100 миль/ч \approx 160 км/ч и ускорение свободного падения $g = 9,75 \text{ м/с}^2$.

- 9.11.** Материальное тело покоится в самой нижней части абсолютно гладкой пластинки длиной 1 м, установленной наклонно к горизонтали под углом 20° . Трение между телом и пластинкой отсутствует. Пластинка начинает двигаться с горизонтальным ускорением $a = 4,00 \text{ м/с}^2$. За какое время t тело достигнет верхнего края пластинки?
- 9.12.** Брусок массой m скользит по наклонной плоскости, наклоненной под углом θ к горизонтали. Коэффициент трения скольжения $\mu < \text{tg } \theta$. Допустим, что $m = 1 \text{ кг}$, $\mu = 0,2$ и $\theta = 30^\circ$. Брусок запускают вверх по плоскости с начальной скоростью 3 м/с.
- (а) Какое расстояние вверх по данной плоскости сможет он пройти до своей оставновки?
- (б) Сколько времени t потребуется, чтобы он смог подняться вверх, а затем вернуться в исходную точку?
- (в) Какое количество энергии ΔE потеряется в этом процессе?
- 9.13.** Длина наклонной плоскости, показанной на рис. 9-7, равна 130 см, а ее верхний конец расположен на 50 см выше уровня нижнего. На этой плоскости лежат два бруска. Брусок массой $m_2 = 60 \text{ г}$ лежит на самой плоскости, на нем лежит брусок массой $m_1 = 200 \text{ г}$. Коэффициент трения покоя между двумя брусками составляет 0,5; коэффициент трения скольжения между нижним бруском и плоскостью равен 0,33. К нижнему бруску приложена сила F , направленная вверх параллельно наклонной плоскости.
- (а) Чему будет равно ускорение нижнего бруска, когда верхний брусок начнет соскальзывать с него?
- (б) Чему равно максимальное значение силы F , при котором верхний брусок начнет соскальзывать с нижнего бруска?
- 9.14.** Хоккейная шайба массой m скользит без трения со скоростью v_0 (см/с), как показано на рис. 9-8. На своем пути шайба встречает короткую по-

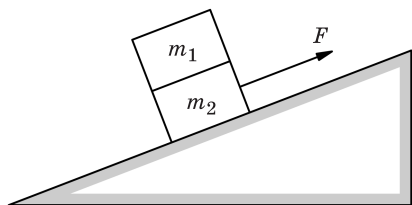


Рис. 9-7



Рис. 9-8

лоску льда шириной L (см), сила трения пропорциональна ее скорости $F = -kv$. Найти выражение для скорости шайбы v как функцию ее положения x и построить соответствующий график.

- 9.15. При небольшом возрастании ΔR радиуса мыльного пузыря (рис. 9-9) необходимо выполнить работу против силы поверхностного натяжения с коэффициентом σ , что приводит к увеличению ΔE поверхностной энергии. Отношение изменения поверхностной энергии к изменению площади поверхности $\varepsilon = \Delta E / \Delta A$ называется *удельной поверхностной энергией*. Воспользовавшись принципом виртуальной работы, найдите, как удельная поверхностная энергия зависит от R , избыточного давления ΔP и т. д. Чему равно численное значение отношения $|\sigma / \varepsilon|$?
- 9.16. Школьный автобус, оборудованный воздушным кондиционером, приближается к железнодорожному переезду. Один из школьников привязал к своему сиденью воздушный шарик, наполненный водородом. Вы видите, что линия натяжения нитки, за которую привязан шарик, составляет угол 30° с вертикалью в направлении движения, как показано на рис. 9-10. Нажал водитель автобуса на педаль газа или на педаль тормоза? Насколько сильно? (Получит ли водитель одобрение в лице офицера дорожной полиции за свое мастерство?)
- 9.17. Частица массой m с зарядом Q движется со скоростью v в плоскости, перпендикулярной магнитному полю \mathbf{B} .
- Показать, что частица движется по круговой траектории.
 - Найти радиус R такой окружности.
 - Найти время T , требуемое для того, чтобы частица совершила полный оборот по своей орбите.
- Этот результат важен для работы циклотрона. Почему?
- 9.18. Тело массой 1000 г подвешено на нити длиной 1,52 м, прикрепленной к кольцу, которое может свободно двигаться вдоль горизонтальной штанги

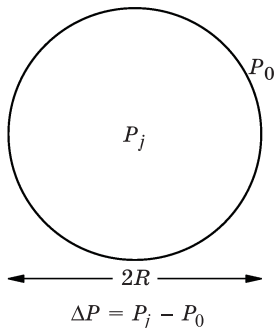


Рис. 9-9

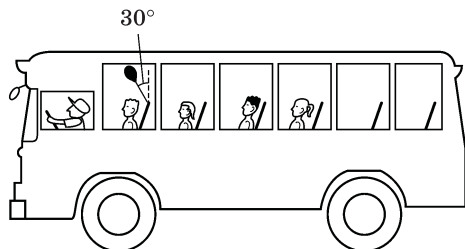


Рис. 9-10

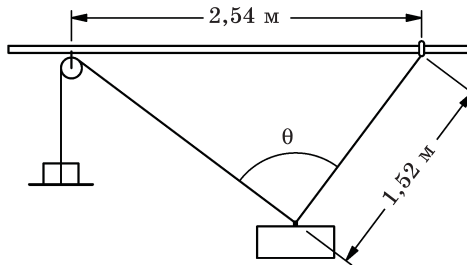


Рис. 9-11

(рис. 9-11). Коэффициент трения покоя между кольцом и штангой равен $0,75$. Вторая нить прикреплена к данному телу и перекинута через блок, прикрепленный к штанге на расстоянии $2,54$ м левее кольца. К другому концу этой нити подвешена гиля весом W . Вес гири W увеличивают до тех пор, пока кольцо не начнет скользить вдоль штанги. Найти:

- вес гири W , при котором кольцо начнет скользить;
- натяжение T нити длиной $1,52$ м;
- угол θ .

- 9.19. На рисунке 9-12 показан вид сбоку простейшего дверного замка. Нижний элемент A может перемещаться вперед в своем горизонтальном канале. Гладкие бока каналов имеют пренебрежимо малое трение, но плоскости соприкосновения элементов A и B , расположенные под углом 45° к горизонтали, шероховаты; статический коэффициент трения между ними равен μ . Чему равна минимальная сила F , которую необходимо приложить по горизонтали к элементу A для того, чтобы привести в движение задвижку замка B , если ее масса равна m ?

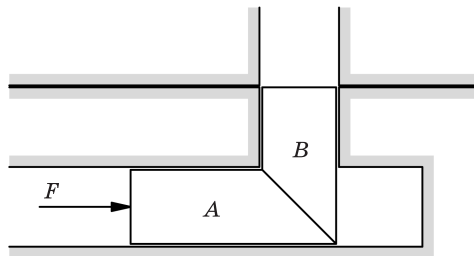


Рис. 9-12

- 9.20. Тело весом W покоится на шероховатой наклонной плоскости, которая составляет с горизонталью угол α , как показано на рис. 9-13. Коэффициент трения покоя $\mu = 2 \operatorname{tg} \alpha$.
- Найдите наименьшую горизонтальную силу H_{\min} , действующую поперек склона данной плоскости, которая может привести тело в движение.

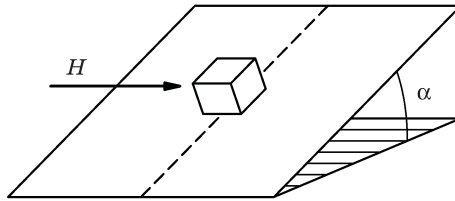


Рис. 9-13

(б) В каком направлении ϕ будет двигаться данное тело по отношению к направлению H ?

9.21. Внутри закрытой бутылки газированной воды установлен манометр, который показывает давление $3,00 \cdot 10^5$ Па. Поверхностное натяжение воды равно 73 мН/м. (Предположим, что это значение также соответствует контакту воды с углекислым газом.) Когда бутылку осторожно открывают, то внутри жидкости начинает расти пузырек при условии, что он изначально «родился» с размером, превосходящим определенный критический размер R в локальном центре зародышеобразования. Рассчитать этот критический размер для указанных условий.

9.22. Частица с зарядом q и массой m движется в комбинации электрического и магнитного полей E_y и B_z . (Все другие компоненты поля равны нулю.)

(а) Напишите уравнения движения частицы.

(б) Примените преобразования Галилея к системе координат

$$x' = x - (E_y/B_z)t,$$

$$y' = y,$$

$$z' = z.$$

(в) Какой вывод вы можете сделать относительно движения свободной частицы в скрещенных электрическом и магнитном полях?

Глава 10

Потенциалы и поля

См. «Лекции», т. I, гл. 13 и 14

- 10.1. Брусок массой m , скользящий по абсолютно гладкой горизонтальной плоскости без трения со скоростью v_0 , сталкивается с пружиной, имеющей коэффициент жесткости k и длину x_0 , как показано на рис. 10-1. В какой точке x в первый раз остановится брусок? Массу пружины можно считать пренебрежимо малой.

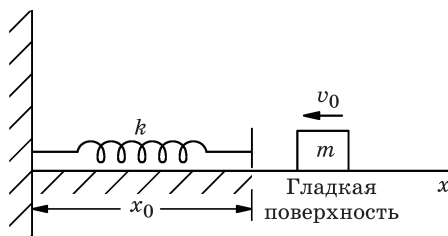


Рис. 10-1

- 10.2. Коэффициент жесткости одной пружины равен k . Пружину растягивают до нового положения равновесия в пределах ее линейного динамического диапазона с постоянной силой F . Покажите, что при смещениях относительно нового положения равновесия коэффициент жесткости пружины будет таким же.
- 10.3. Полый сферический астероид свободно летит в космическом пространстве. Внутри него присутствует небольшая частица массой m . В какой точке внутри астероида эта частица будет находиться в положении равновесия?
- 10.4. Скорость, которая необходимая для того, чтобы тело преодолело гравитационное поле Земли, равна (примерно) 11,27 км/с. Если межпланетный корабль имел скорость 12,87 км/с, находясь чуть выше атмосферы Земли, то с какой скоростью v относительно Земли он будет лететь на расстоянии $1,6 \cdot 10^6$ км от Земли?
- 10.5. Если бы Земля несла на себе суммарный электрический заряд, равный 1,00 Кл, то чему был бы равен ее потенциал ϕ ?

- 10.6.** Сферическая оболочка радиусом $0,50$ м заряжена (равномерно) до потенциала 10^6 В. Найти заряд Q этой оболочки.
- 10.7.** Максимальная напряженность электрического поля, которую может выдержать сухой воздух при атмосферном давлении без искрения (без образования коронного разряда), составляет около 31 кВ/см. Рассчитайте максимальный потенциал ϕ , до которого может быть повышен потенциал изолированной гладкой сферы диаметром 20 см (в воздухе) без возникновения электрического пробоя.
- 10.8.** Тело массой $6,0$ кг может свободно перемещаться вдоль оси x по гладкой дорожке без трения. В каждом из приведенных ниже случаев тело начинает двигаться при $x = 0, t = 0$.
- (а) Тело проходит расстояние 3 м под действием силы $F = (3 + 4x)$ Н в направлении x (расстояние x выражено в метрах).
- (1) Какую скорость v наберет это тело?
 - (2) Чему будет равно его ускорение в этой точке?
 - (3) Какая мощность P развита для перемещения тела в эту точку?
- (б) Тело движется в течение 3 с под действием силы $F = (3 + 4t)$ Н в направлении x (время t выражено в секундах).
- (1) Какую скорость v наберет тело за это время?
 - (2) Чему будет равно его ускорение к этому моменту?
 - (3) Какая мощность P была развита за это время?

В задачах 10.9 – 10.11 сила $F = [1,5y\mathbf{i} + 3x^2\mathbf{j} - 0,2(x^2 + y^2)\mathbf{k}]$ Н действует на частицу массой 1 кг. В момент времени $t = 0$ частица находится в точке $\mathbf{r} = (2\mathbf{i} + 3\mathbf{j})$, м и движется со скоростью $\mathbf{v} = (2\mathbf{j} + \mathbf{k})$, м/с.

10.9. Найдите при $t = 0$:

- (а) силу F , действующую на частицу;
- (б) ускорение частицы;
- (в) кинетическую энергию T частицы;
- (г) скорость изменения кинетической энергии dT/dt .

10.10. Определите приближенно при $t = 0,01$ с:

- (а) местоположение \mathbf{r} частицы;
- (б) скорость \mathbf{v} частицы;
- (в) кинетическую энергию T частицы.

10.11. Частица движется из точки $(0; -1; 0)$ в точку $(0; +1; 0)$ без трения по некоторой траектории под действием силы F (с учетом силы, удерживающей

частицу на ее траектории). Найдите работу W , совершенную силой F , для двух вариантов траектории:

(а) для прямолинейной траектории вдоль оси y ;

(б) для траектории в виде окружности в yz -плоскости.

Является ли эта сила консервативной?

- 10.12.** Небольшая тележка катится без трения по инерции по наклонному пути, в нижней точке которого установлена «мертвая петля» радиусом R . С какой высоты H должна начать свое движение тележка, чтобы пройти петлю, не сорвавшись вниз?

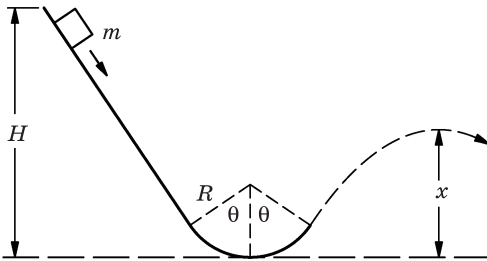


Рис. 10-2

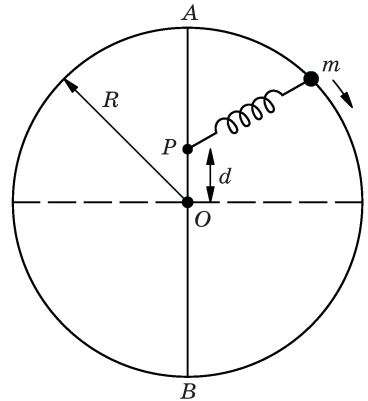


Рис. 10-3

- 10.13.** Нижний склон ледяной горки является частью цилиндрической поверхности радиусом R , охватывающей с каждой стороны угол θ по отношению к вертикали, как показано на рис. 10-2. Горка начинается на высоте H над самой нижней точкой трассы. С верхнего конца трассы с нулевой начальной скоростью без трения начинает скользить вниз небольшое тело массой m .

(а) Какова максимальная высота x над самой низкой точкой трассы, на которую поднимется тело, прежде чем оно вылетит с траектории?

(б) Чему равна сила F , с которой тело действует на поверхность горки в тот момент, когда оно проходит самую нижнюю точку траектории?

- 10.14.** Небольшой груз массой m (кг) соединен с точкой P с помощью пружины пренебрежимо малой длины (в нерастянутом состоянии), имеющей коэффициент жесткости k (Н/м). Положение точки P можно изменять, но после изменения своего положения она больше не двигается. Груз может свободно скользить без трения по наружной поверхности круглого обруча радиусом R , который установлен в вертикальной плоскости, как показано на рис. 10-3. Пусть $OP = d$. Груз стартует в точке A на верхней

части обруча и только-только начинает отрываться от поверхности обруча в самой нижней его точке B . Найдите расстояние d .

- 10.15.** Гибкий трос длиной L , имеющий удельную массу M (кг/м), перекинут через блок с ничтожно малыми массой и радиусом, вращающийся без трения. Первоначально трос находится в равновесии. Затем ему дают легкий толчок, чтобы вывести его из состояния покоя, и он начинает двигаться с ускорением. Найдите скорость троса v в тот момент, когда его конец слетает с блока.
- 10.16.** Материальная частица покоится в верхней точке абсолютно гладкой сферы радиусом R , а затем начинает соскальзывать по поверхности сферы вниз под действием силы тяжести. Какое расстояние d пройдет она вниз от начальной точки прежде, чем оторвется от сферы?
- 10.17.** Двигатель автомобиля массой 1361 кг развивает мощность 85 лошадиных сил (л. с.). При движении с постоянной скоростью 48,3 км/ч мощность, развиваемая двигателем автомобиля, равна всего 20 л. с. Предполагая, что сила трения является неизменной, определите величину самого крутого уклона, на который автомобиль сможет подниматься с такой же скоростью. (Величину уклона можете задавать либо с помощью угла дороги по отношению к горизонтали, либо какой-нибудь функцией этого угла.)
- 10.18.** Автомобиль весом 1000 кг приводится в движение двигателем, мощность которого оценивается в 120 кВт. Если двигатель развивает эту мощность на скорости 60 км/ч, чему равно максимальное ускорение автомобиля, которое он может иметь при такой скорости?
- 10.19.** Мировые рекорды для толкания ядра, метания диска и копья составляли в 1960 г. соответственно 19,30 м, 59,87 м и 86,09 м. Массы этих метательных снарядов равны соответственно 7,25 кг, 2 кг и 0,8 кг. Найдите работу $W_{\text{ядро}}$, $W_{\text{диск}}$, $W_{\text{копье}}$, затраченную каждым чемпионом в своем рекордном броске, предполагая, что траектория каждого снаряда началась на высоте 1,80 м над уровнем земли и имела начальный наклон 45° . Сопротивлением воздуха можно пренебречь.
- 10.20.** Некое сферическое тело радиусом R и массой M имеет однородную плотность по всему объему. Найти гравитационный потенциал ϕ и напряженность гравитационного поля \mathbf{g} как функцию расстояния r от центра. Изобразите результат в виде графика.
- 10.21.** Найти ускорение свободного падения a в точке P на расстоянии x от поверхности сферического тела радиусом R и плотностью ρ , в котором имеется сферическая полость радиусом $R/4$, центр которой находится на линии PC на расстоянии $R/4$ от центра C этой большой сферы, как показано на рис. 10-4.

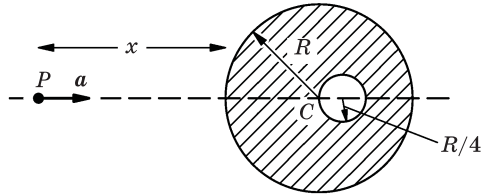


Рис. 10-4

10.22. Рассмотрим материальный объект с плотностью ρ в виде протяженной (бесконечной) пластины толщиной d . Сферическая полость радиуса r (меньшего, чем $d/2$) вырезается в начале координат, как показано на рис. 10-5.

- (а) Чему равна гравитационная сила F , которая будет действовать на тело небольшой массы m , расположенное в *любой* точке на оси y ?
- (б) Постройте график этой силы как функцию y .

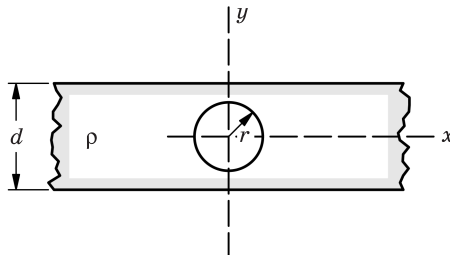


Рис. 10-5

10.23. Небольшое тело массой m движется под действием силы тяжести по эллиптической орбите с эксцентриситетом e и длиной большой полуоси a вокруг большого тела массой M . (Предположим, что тело M остается неподвижным.) Рассчитайте общую энергию E тела m (равную сумме кинетической и потенциальной энергий). (Отметим, что E не зависит от e .)

10.24. (а) Выведите третий закон Кеплера для эллиптических орбит и найдите связь между массой тела M , массой его спутника m , длиной большой полуоси орбиты спутника и орбитальным периодом T .

- (б) Покажите, что все орбиты с данной полной энергией E на единицу массы имеют одинаковый период, и дайте связь между периодом T и величиной E . (Для простоты предположим, что $m \ll M$.)

10.25. Как правило, конденсатор состоит из двух (металлических) тел, имеющих равные, но противоположные по знаку заряды. Тогда емкость конденсатора C определяется как отношение заряда одного из тел к разности потенциалов между ними, т. е. $C = Q/(\phi_2 - \phi_1)$ фарад, где Q — заряд в

кулонах, а потенциалы ϕ_2, ϕ_1 — в вольтах. Найти емкость пары концентрических сферических оболочек радиусов A и B .

- 10.26.** Чаша пружинных весов массой 25 г подвешена к пружине ничтожно малой массы, имеющей постоянную жесткость $k = 15,3$ Н/м. Груз массой $m = 50$ г падает с высоты $h = 9,0$ см на чашу, с которой он испытывает неупругое соударение. Чему равно максимальное расстояние $H_{\text{макс}}$, которое пройдет груз массой m , начиная с момента своего падения?
- 10.27.** Вода (плотность 1000 кг/м³) прокачивается через гладкий шланг, на конце которого имеется сопло с площадью поперечного сечения $32,26$ см². Когда сопло было направлено под углом 30° вверх относительно горизонтальной плоскости, заметили, что верхняя точка траектории струи воды из сопла достигает высоты $4,88$ м над уровнем сопла. Впускной патрубок насоса подведен к большому резервуару с водой, уровень воды в котором расположен на высоте $2,44$ м ниже уровня сопла. Если полный КПД насоса и приводного электродвигателя будет равен 60% , то чему будет равна мощность P в киловаттах, потребляемая от электрической сети питания электродвигателя?
- 10.28.** Оцените давление P в центре Луны в атмосферах (1 атм = $1,02 \cdot 10^5$ Па). Используйте следующие данные для Луны:
 масса = $7,0 \cdot 10^{22}$ кг,
 радиус = 1740 км,
 ускорение свободного падения на поверхности = 160 см/с²,
 средняя плотность = $3,34$ г/см³.

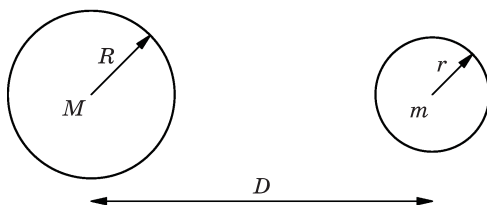


Рис. 10-6

- 10.29.** Чему равна минимальная работа $W_{\text{мин}}$, необходимая для того, чтобы переместить скалу массой m' от земной поверхности до поверхности Луны (рис. 10-6), с учетом того, что масса и радиус Земли равны соответственно M и R , масса и радиус Луны — m и r , а расстояние между их центрами D ?

- 10.30.** Спутник массой m движется по круговой орбите вокруг астероида массой M ($M \gg m$). Если масса астероида вдруг уменьшится* до половины ее первоначального значения, то что произойдет со спутником? Опишите его новую орбиту.
- 10.31.** (а) С какой минимальной скоростью $v_{\text{мин}}$ должен быть запущен межзвездный зонд с поверхности Земли для того, чтобы он мог вырваться из Солнечной системы с остаточной скоростью 16 км/с относительно Солнца?
- (б) Скорость орбитального движения Земли составляет примерно 30 км/с. Если необходимо, чтобы зонд двигался в заданном направлении при своем движении от Солнца, то какая максимальная стартовая скорость $v_{\text{макс}}$ может для этого потребоваться?
- 10.32.** Для исследования Солнца на орбиту с расстоянием от Солнца в перигелии 0,010 а. е. хотят запустить межпланетный зонд, который будет иметь тот же период обращения вокруг Солнца, что и Земля, так что данные, записанные во время космического полета, могут быть переданы на Землю через один год после даты запуска. С какой скоростью v_0 и в каком направлении α по отношению к прямой линии, соединяющей Землю с Солнцем, должен быть запущен этот зонд с Земли?

Замечание. Орбитальная скорость Земли составляет 30 км/с.

* Как это может случиться: спутник помещается на орбиту на большом удалении от астероида для наблюдения за испытаниями ядерного заряда, установленного на этом астероиде. Взрыв испаряет половину массы астероида без прямого воздействия на удаленный спутник.

Глава 11

Единицы измерений и размерности

11.1. Какую размерность имеют следующие величины?

- (а) Коэффициент жесткости пружины.
- (б) Работа.
- (в) Вращающий момент.
- (г) Сила поверхностного натяжения.
- (д) Коэффициент трения.
- (е) Коэффициент вязкости.
- (ж) Гравитационное поле.
- (з) Электрическое поле E .
- (и) Магнитная индукция B .
- (к) E/B .

Примечание. Используйте следующие символы:
 M — масса, T — время, L — длина и Q — заряд.

11.2. Покажите, что величина $(\epsilon_0 c)^{-1}$ имеет размерность сопротивления, и вычислите ее количественно.

11.3. Мо и Джо — два космических физика, выросших на разных планетах — встречаются на межпланетном симпозиуме по мерам и весам, чтобы обсудить создание универсальной системы единиц. Мо с гордостью рассказывает о достоинствах системы МКСА, которая используется в каждом цивилизованном регионе Земли. Джо с достоинством описывает красоту системы М'К'С'А', используемой повсеместно в Солнечной системе. Если постоянные коэффициенты, связывающие единицы измерения массы, длины и времени в двух системах равны μ , λ и τ , так что

$$m' = \mu m,$$

$$l' = \lambda l,$$

$$t' = \tau t,$$

то какие коэффициенты необходимы для преобразования единиц скорости v , ускорения a , силы F и энергии E из одной системы единиц в другую?

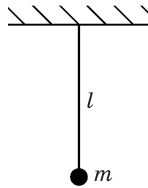


Рис. 11-1

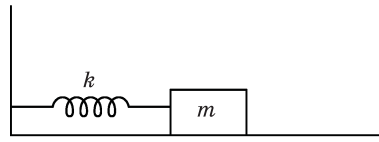


Рис. 11-2

- 11.4. Воспользуйтесь анализом размерностей для получения зависимости периода колебаний T простейшего маятника, показанного на рис. 11-1, от его физических параметров.
- 11.5. Чему равно численное значение величины GM_{\oplus} , если длина измеряется в а. е., а время — в годах?
- 11.6. Если изготовить масштабную модель Солнечной системы с использованием материалов такой же средней плотности, как те, из которых состоят Солнце и планеты, но уменьшив все их линейные размеры в k раз, то как периоды обращения планет будут зависеть от величины k ?
- 11.7. Из анализа размерностей найти зависимость от m , k (и т. д.) периода T колебаний системы, состоящей из груза на пружине (рис. 11-2). Пренебречь силой трения.
- 11.8. Груз массой m вращается по кругу на конце струны длиной l со скоростью v . (Силой тяжести можно пренебречь.) Найдите, чему равны сила натяжения струны T и радиальное ускорение груза в зависимости от этих величин.
- 11.9. Снаряд массой m вылетел из пушки под углом θ к горизонту с начальной скоростью v . Найдите, чему равна горизонтальная дальность R и время полета T в зависимости от вышеуказанных параметров.
- 11.10. Капля жидкости радиусом R и плотностью ρ может совершать колебания, при этом сила поверхностного натяжения σ будет являться возвращающей силой. Найти, чему равен период колебаний T в зависимости от указанных параметров этой системы.
- 11.11. Студент обнаружил, что он в состоянии настраивать домашнее пианино, изменяя натяжение струн. Если частота ω обратно пропорциональна длине струны, то как ω будет зависеть от длины струны l , ее натяжения T и линейной плотности σ ?
- 11.12. Было обнаружено, что морские волны в очень глубоком океане перемещаются со скоростью v , которая зависит от длины этих волн, но не зависит от их амплитуды. Найдите зависимость скорости v от длины волны λ и плотности воды ρ .

- 11.13.** В коробке объемом V содержится N частиц массой m , двигающихся в различных случайных направлениях со скоростью v . Из анализа размерностей найдите, как давление p этого газа зависит от N , V , m и v . Можете ли вы сделать какие-либо выводы о природе абсолютной температуры?
- 11.14.** Покажите, что третий закон Кеплера выражается уравнением $r^3/t^2 = \text{const}$. Сделайте это заключение на основании закона Ньютона $F = GMm/r^2$ для круговых орбит. Воспользуйтесь соображениями размерностей.

Примечание. Здесь обозначено:

r — (постоянное) радиальное расстояние планеты от Солнца,

t — период обращения планеты по своей орбите,

M — масса Солнца,

m — масса планеты,

F — сила гравитационного взаимодействия между Солнцем и планетой.

Глава 12

Релятивистская кинематика и динамика, эквивалентность массы и энергии покоя

См. «Лекции», т. I, гл. 15 и 16

- 12.1. Выполните преобразование Лоренца для перехода от координат x, y, z, t одной инерциальной системы отсчета (ИСО) к координатам x', y', z', t' другой ИСО с параллельными первой системе осями в том случае, когда одна система перемещается со скоростью V в направлении оси x относительно другой системы.
- 12.2. Запишите преобразование Лоренца, найденное в задаче 12.1, в дифференциальной форме и, используя это, получите выражение $dx/dt = v_x$ через v'_x, V , и т. д.; сделайте аналогичный вывод для $dy/dt = v_y$.
- 12.3. Частица в системе координат S движется вдоль оси x со скоростью v_x и ускорением a_x . Какой скоростью и ускорением будет обладать эта частица в системе S' (с параллельными системе S осями), которая движется со скоростью V вдоль оси x (по отношению к системе S)?
- 12.4. Рейка длиной $L = 5$ м находится в состоянии покоя в системе S и повернута на угол $\theta = 30^\circ$ по отношению к оси x . Каковы для этой рейки кажущаяся длина и кажущийся угол ориентации, измеренные наблюдателем в системе S' (с осями, параллельными осям системы S), которая движется со скоростью $v_x = c/2$ по отношению к системе S ?
- 12.5. Мюон образуется высоко в атмосфере и перемещается со скоростью $v = 0,990 c$ на расстояние 5 км вплоть до своего распада.
- (а) Каково время жизни мюона Δt , измеренное нами, и чему равно время жизни мюона $\Delta t'$ в его собственной системе отсчета?
- (б) На какое расстояние L' в атмосферу проникает мюон, если оно измеряется в собственной системе отсчета мюона?
- 12.6. Покажите, что электрон имеет энергию покоя $m_e c^2 = 0,511$ МэВ.
- 12.7. Частица массой m приводится в движение вдоль прямой линии таким образом, что ее положение описывается формулой

$$x = \sqrt{b^2 + c^2 t^2} - b.$$

Какую силу F необходимо приложить к данной частице, чтобы заставить ее так двигаться?

12.8. Общий объем электрической энергии, выработанной США в 1965 г., составил $1,05 \cdot 10^{12}$ кВт·ч.

(а) Чему равна масса M , которая превратилась в энергию в ходе этого процесса?

(б) Если бы весь дефект масс при превращении дейтерия в гелий переходил в энергию (некоторая часть энергии теряется и переходит в нейтрино), то какой объем тяжелой воды в секунду должен был бы подаваться для получения необходимого количества дейтерия?

Примечание. $M_{\text{H}^2} = 2,0147$ а. е. м., $M_{\text{He}^4} = 4,0039$ а. е. м.

12.9. Суммарная плотность мощности солнечной энергии, попадающей в верхнюю часть земной атмосферы, составляет около $1,4$ кВт/м². Если бы вся эта энергия образовывалась за счет превращения обычного водорода в гелий, то какое количество водорода H , выраженное в тоннах, должно «сжигать» Солнце в секунду? (Пренебречь потерями энергии на образование нейтрино.)

12.10. (а) Рассчитайте ускорение силы тяжести у поверхности Земли в единицах *световой год/год*².

(б) Если бы некий космический корабль разогнался с такой скоростью, что его обитатели ощущали бы на себе постоянное ускорение, равное ускорению свободного падения у поверхности Земли, и продолжал ускоряться таким образом в течение 5 лет, то на какое расстояние удалился бы данный корабль и с какой скоростью v он двигался бы в конце этого интервала времени по данным измерений неподвижного (неускорявшегося) наблюдателя, находившегося в состоянии покоя по отношению к кораблю в момент времени $t = 0$?

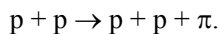
Глава 13

Релятивистские энергия и импульс

См. «Лекции», т. I, гл. 16 и 17

- 13.1. Покажите, что скорость электрона с энергией 1 ГэВ отличается от скорости света c лишь на величину, равную $1/(8 \cdot 10^6)$.
- 13.2. (а) Выразите импульс p частицы через ее кинетическую энергию T и энергию покоя mc^2 .
- (б) Какова скорость v частицы, кинетическая энергия которой равна ее энергии покоя?
- 13.3. Масса протона $m_p = 938$ МэВ. В космических лучах косвенными методами были обнаружены протоны с энергией около 10^{10} ГэВ. Предположим, что протон, обладающий такой энергией, пересекает галактику, диаметр которой составляет около 10^5 световых лет. Сколько времени Δt потребуется протону для того, чтобы пересечь эту галактику, если время измеряется в системе координат, связанной с протоном?
- 13.4. Частица с зарядом q и импульсом p движется по кругу радиусом R под прямым углом к магнитному полю B .
- (а) Найдите связь между p , B и R , если q измеряется в единицах заряда электрона q_e , p измеряется в МэВ/с, а B измеряется в Гс. (Обозначьте $q = Zq_e$.)
- (б) Чему равен радиус кривизны траектории протона с кинетической энергией $E_k = 60$ ГэВ в поле с $B = 0,3$ Гс (1 Гс = 10^4 Тл)?
- 13.5. Циклотрон был сконструирован для ускорения протонов до кинетической энергии 150 МэВ. Индукция магнитного поля в циклотроне должна быть порядка $1,00 \cdot 10^4$ Гс.
- (а) Чему должен быть равен минимальный радиус $R_{\text{мин}}$ полюсных накопителей электромагнита?
- (б) С какой частотой f должна изменяться полярность напряжения, прикладываемого к ускоряющим электродам?
- (в) На какую относительную величину $\Delta f/f$ должна изменяться эта частота для компенсации релятивистских эффектов во время ускорения данной частицы?

- 13.6.** Тело массой M , находящееся в лабораторной системе отсчета в состоянии покоя, распадается на две части с массами m_1 и m_2 . Определите релятивистскую кинетическую энергию T_1 и T_2 продуктов распада.
- 13.7.** Пион ($m_\pi = 273 m_e$) в состоянии покоя распадается на мюон ($m_\mu = 207 m_e$) и нейтрино ($m_\nu = 0$). Выразите в МэВ кинетическую энергию и импульс мюона (T_μ, p_μ) и нейтрино (T_ν, p_ν).
- 13.8.** Возбужденный атом с полной массой m находится в состоянии покоя в некоторой системе отсчета. Он испускает фотон, тем самым теряя энергию ΔE . Учитывая отдачу атома, вычислите энергию фотона E_γ .
- 13.9.** Частица массой m , движущаяся со скоростью $v = 4c/5$, неупруго сталкивается с аналогичной частицей, находящейся в состоянии покоя.
- (а) Чему будет равна скорость V составной частицы?
 (б) Какова будет ее масса M ?
- 13.10.** Ускоритель «беватрон» в Беркли проектировался с таким расчетом, чтобы он мог разгонять протоны до энергии, достаточной для образования протон-антипротонных пар в реакции $p + p \rightarrow p + p + (p + \bar{p})$. Так называемая пороговая энергия этой реакции соответствует ситуации, когда четыре частицы, перечисленные в правой части формулы реакции, движутся вместе как одна частица с массой покоя $M = 4m_p$. Если протоны мишени до столкновения находятся в состоянии покоя, чему равна кинетическая энергия бомбардирующих протонов T на пороге энергии?
- 13.11.** Вычислите пороговую кинетическую энергию T_e для образования пары протон-антипротон с помощью электрон-электронного удара $e^- + e^- \rightarrow e^- + e^- + p^- + p^+$.
- Воспользуйтесь для расчета значениями $m_e \approx 0,5$ МэВ и $m_p \approx 1$ ГэВ. Сравните рассчитанную энергию с энергией, требующейся для проведения аналогичной реакции в ходе столкновения двух протонов (в соответствии с условиями задачи 13.10).
- 13.12.** Пара протон-антипротон может быть образована при поглощении фотона протоном в состоянии покоя: $\gamma + p \rightarrow p + (p + \bar{p})$.
- Чему равна минимальная энергия E_γ , которой должен обладать фотон? (Выразите E_γ через энергию покоя протона $m_p c^2$). Сравните эту энергию с энергией, необходимой для столкновения пары протон-протон (см. задачу 13.10) и пары электрон-электрон (см. задачу 13.11).
- 13.13.** Протон массой m_p лоб в лоб соударяется с другим протоном, находящимся в состоянии покоя. В результате происходит рождение π -мезона с массой $m_\pi \ll m_p$ в соответствии с реакцией



- (а) Чему равна минимальная кинетическая энергия T_p падающего протона?
- (б) Какова кинетическая энергия T_π на пороговом значении энергии?
- (в) Оценить приблизительно ошибку, которая может возникнуть при использовании нерелятивистских выражений?

Выразите ответы в величинах масс протона m_p и π -мезона m_π . Можно использовать нерелятивистские выражения для кинетической энергии и закона преобразования скоростей.

- 13.14.** Когда π^0 -мезон пребывает в состоянии покоя или движется, он может распасться на два гамма-кванта*, как показано на рис. 13-1: $\pi^0 \rightarrow \gamma + \gamma$.

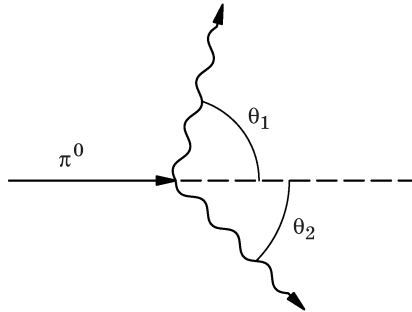


Рис. 13-1

Примечание. γ -квант является фотоном с энергией $E_\gamma = p_\gamma c = h\nu$.

- (а) Считая, что распадающийся π^0 -мезон обладает скоростью v и массой m_π , а гамма-квант испускается под углом θ по отношению к первоначальному направлению движения π^0 -мезона, выразите энергию гамма-кванта как функцию m_π , v и θ .
- (б) Какие максимальное и минимальное значения энергии могут иметь испускаемые гамма-кванты и каким углам эмиссии соответствуют эти значения E_{\max} и E_{\min} ?
- (в) Можете ли вы найти простую функцию для E_{\max} и E_{\min} , которая не будет зависеть от скорости π^0 -мезона? В чем ее физический смысл?

* Доказательство существования π^0 -мезона и количественное значение его массы были получены экспериментальным путем. См.: A. G. Carlson, J. E. Hooper and D. T. King. *Phil. Mag.* **41**, p. 701–724 (1950).

Глава 14

Вращение в двух измерениях, центр масс

См. «Лекции», т. I, гл. 18 и 19

14.1. Жесткое колесо радиусом R катится без скольжения по горизонтальной поверхности. Колесо лежит в вертикальной плоскости, ось вращения колеса движется горизонтально со скоростью V по отношению к поверхности. Пусть ось вращения колеса параллельна координатной оси z , вектор V совпадает с положительным направлением оси x , а θ — это угол поворота колеса, который описывает точка P на ободе, находившаяся первоначально в контакте с поверхностью земли. Покажите, что мгновенная скорость (скорость и направление) точки P определяется выражением $v = V[(1 - \cos \theta)\mathbf{i} + \sin \theta\mathbf{j}]$.

14.2. Знание площади поверхности (или объема), ометаемой плоской кривой (или площадью) может быть использовано для того, чтобы найти центр масс тонкой, искривленной сплошной проволоки или тонкого однородного плоского листа.

(а) Покажите, что площадь поверхности A , ометаемой плоской кривой C при ее повороте на угол α вокруг оси O , лежащей в плоскости C , как показано на рис. 14-1а, равна произведению длины l кривой C и расстояния αr , на которое перемещается центр масс (ЦМ), т. е. $A = \alpha r l$ (r — расстояние от ЦМ до оси O).

(б) Покажите, что объем V , ометаемый плоской фигурой площади A при ее повороте на угол α относительно оси O , как показано на рис. 14-1б, равен произведению площади A и расстояния, на которое перемещается ЦМ данной фигуры, т. е. $V = \alpha r A$.

14.3. Покажите, что ЦМ любого набора частиц движется как одна частица, имеющая массу, равную сумме масс отдельных частиц, под дей-

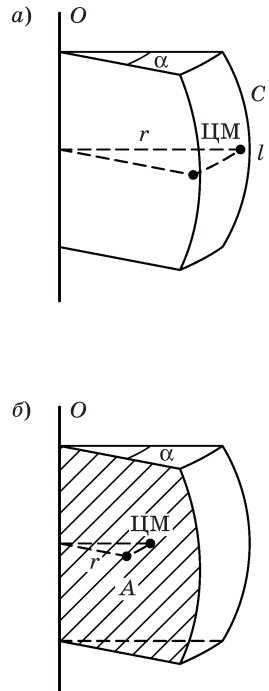


Рис. 14-1

ствием векторной суммы всех сил, действующих на отдельные частицы:

$$M\ddot{\mathbf{R}} = \sum_i \mathbf{f}_i.$$

- 14.4. Сила $\mathbf{F} = 30\mathbf{i} + 40\mathbf{j}$ ньютонов действует в точке с радиусом-вектором $\mathbf{r} = 8\mathbf{i} + 6\mathbf{j}$ метров.

Найдите:

- (а) крутящий момент τ относительно начала координат;
 (б) величину (длину) l плеча приложения силы;
 (в) составляющую силы F_{\perp} , перпендикулярную \mathbf{r} .
- 14.5. Игрушка «йо-йо» на горизонтальном столе может катиться по нему без скольжения. Если к этой игрушке приложить горизонтальную силу \mathbf{F} , как показано на рис. 14-2, то она покатится в направлении приложения силы \mathbf{F} или в противоположном направлении? Почему?

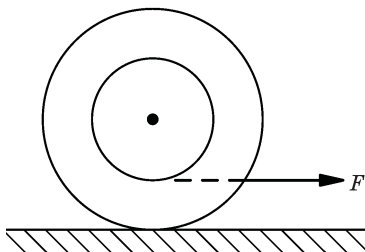


Рис. 14-2

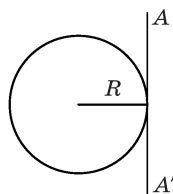


Рис. 14-3

- 14.6. На какой широте λ тангенциальная скорость точки на поверхности Земли в связи с эффектом вращения Земли на 200 м/с меньше, чем в Лос-Анжелесе (34° северной широты)?
- 14.7. Окружность радиусом R , касательную к оси AA' (рис. 14-3), вращают вокруг этой оси для того, чтобы получился тор. Найти объем V этого тора.
- 14.8. Тела с массами M и $2M$ вращаются относительно их общего ЦМ с угловой скоростью ω на постоянном расстоянии друг от друга R . Какова их суммарная кинетическая энергия вращения T ?
- 14.9. (а) Найдите положение ЦМ однородной проволоки длиной L , изогнутой в виде дуги окружности радиусом R ($R > L/2\pi$). Воспользуйтесь системой координат с началом в центре окружности и с осью x , проходящей через середину проволоки, как показано на рис. 14-4.
- (б) Воспользуйтесь результатом, полученным в части (а) данной задачи, чтобы найти ЦМ кругового сектора, изготовленного из однородного листового металла, если сектор имеет радиус R и образует центральный угол α , как показано на рис. 14-4.

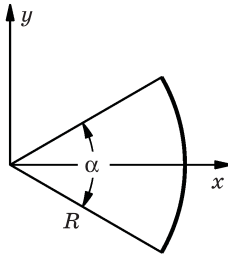


Рис. 14-4

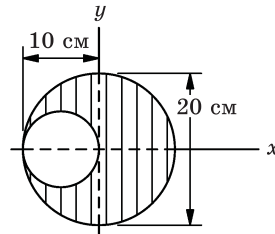


Рис. 14-5

- 14.10.** В диске с однородной плотностью имеется вырезанное отверстие, как показано на рис. 14-5. Найти координаты ЦМ.
- 14.11.** Сплошной цилиндр имеет плотность, которая варьируется в зависимости от секторов, как показано на рис. 14-6, на котором числами показаны значения относительной плотности. Найдите уравнение линии, проведенной через начало координат и через центр масс, если направление осей x, y таково, как показано на данном рисунке.
- 14.12.** Цилиндр радиусом π см и массой 3 кг разрезают на три части. То же

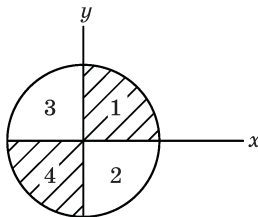


Рис. 14-6

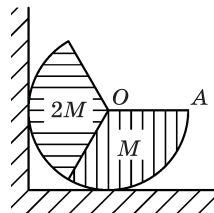


Рис. 14-7

самое делается со вторым цилиндром радиуса π см и массой 6 кг. Кусок одного цилиндра приклеивают к куску другого цилиндра, при этом получается тело формы, показанной на рис. 14-7, где радиус OA направлен вдоль горизонтали. Пол имеет достаточное трение для того, чтобы предотвратить проскальзывание, а стенка обладает пренебрежимо малым трением.

- (а) С какой силой F цилиндр давит на стенку?
- (б) На каком расстоянии x от центра вдоль линии OA надо было бы разместить материальную точку массой M для того, чтобы данная система оставалась в состоянии равновесия, если бы стенку убрали?

Примечание. Для нахождения ЦМ сектора см. решение задачи 14.9.

- 14.13.** Стержень длиной R состоит из двух однородных частей равной длины $R/2$ каждая, но одна часть весит вдвое больше другой. Стержень подвешен на гвозде в точке P на веревках длиной R каждая, прикрепленных к обоим его концам, как показано на рис. 14-8. Когда система придет в состояние покоя, под каким углом α к горизонту будет висеть стержень?

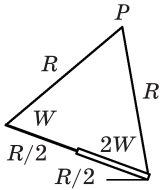


Рис. 14-8

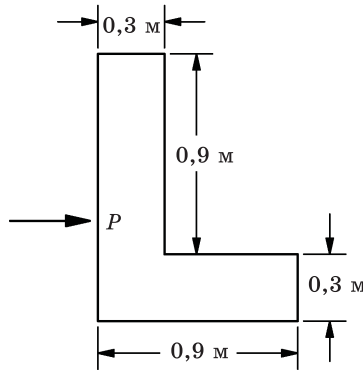


Рис. 14-9

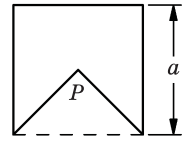


Рис. 14-10

14.14. Тело Г-образной формы, изготовленное из листового металла однородной толщины, лежит на абсолютно гладком горизонтальном столе (рис. 14-9). Внезапно по телу наносят удар в точке P в направлении, показанном на рисунке, в результате чего тело начинает двигаться без вращения. На какой высоте от поверхности стола был нанесен удар?

14.15. Из металлической пластинки, имеющей форму квадрата со стороной a , необходимо вырезать равнобедренный треугольник так, чтобы оставшаяся фигура, показанная на рис. 14-10, будучи подвешенной за точку P (вершину треугольника) находилась в равновесии в любом положении. Чему равна высота треугольника?

14.16. Грузы с массами M_1 и M_2 расположены на противоположных концах невесомого твердого стержня длиной L ; размеры грузов M_1 и M_2 пренебрежимо малы по сравнению с длиной стержня L . Стержень должен быть установлен так, чтобы он мог вращаться вокруг оси, перпендикулярной ему. Через какую точку x на этом стержне (расстояние x измеряется от груза M_2) должна проходить ось вращения для того, чтобы работа, требуемая для вращения стержня с угловой скоростью ω_0 , была минимальной?

14.17. На вертикальный вал простого регулятора скорости, показанного на рис. 14-11, перпендикулярно ему насажен горизонтальный стержень, по которому могут свободно скользить тяжелые тормозные колодки. Во время вращения вала колодки прижимаются к внутренней поверхности неподвижного тормозного барабана. Масса каждой колодки равна m , толщина пренебрежимо мала по сравнению с радиусом тормозного барабана r , а коэффициент трения скольжения между колодками и барабаном равен μ . Выведите формулу, которая выражала бы мощность, необходимую для вращения вала, через m , r , μ и f — частоту вращения вала.

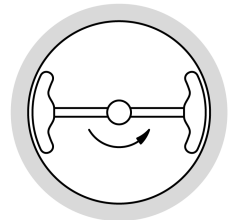


Рис. 14-11

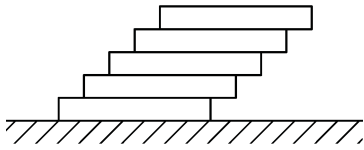


Рис. 14-12

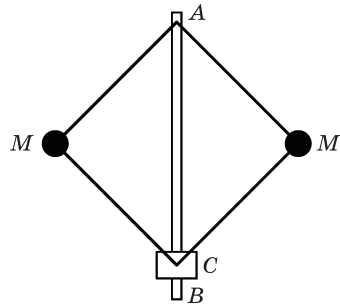


Рис. 14-13

14.18. Однородный брусок длиной L лежит на гладкой горизонтальной поверхности. Сверху на него укладывают другие такие же бруски так, как показано на рис. 14-12, при этом их боковые грани лежат в одной плоскости, а торец каждого следующего бруска смещается по отношению к предыдущему на расстояние L/a , где a — целое число. Сколько брусков n удастся уложить, прежде чем вся эта стопка брусков опрокинется?

14.19. Центробежный регулятор скорости, показанный на рис. 14-13, должен отключать машину, когда ее вал, с которым регулятор связан напрямую, достигает скорости вращения 120 об./мин. Управляющая муфта C весит 4 кг и скользит без трения по вертикальному валу AB . Длина каждого из четырех звеньев регулятора равна 30 см; их можно считать невесомыми, трение в соединительных шарнирах отсутствует. Чему должна равняться масса грузиков M , чтобы работа регулятора соответствовала заданным техническим характеристикам?

14.20. Четыре груза массой M , находящиеся в одной плоскости в условиях невесомости, связаны невесомыми пружинами с коэффициентом жесткости k и вращаются с угловой скоростью ω относительно оси, перпендикулярной данной плоскости и проходящей через центр симметрии системы, как показано на рис. 14-14. В свободном состоянии пружины имеют длину L .

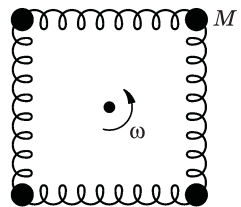


Рис. 14-14

- (а) Допуская, что система находится в равновесном состоянии, на какую величину ΔL удлинятся пружины?
- (б) Какое условие будет определять, сможет ли данная система находиться в устойчивом равновесии?

Глава 15

Угловой момент (момент импульса), момент инерции

См. «Лекции», т. I, гл. 18 и 19

- 15.1. Материальная точка движется под влиянием центральной силы, т. е. силы, линия действия которой проходит через фиксированную точку. Покажите, что угловой момент данной материальной точки остается постоянной величиной. Также покажите, что этот результат эквивалентен второму закону Кеплера для движения планет.
- 15.2. Выражение $\tau = dL / dt$ в целом верно для твердого тела, если учесть все силы, включая силы инерции (фиктивные). Если не включить в анализ силы инерции, то выражение $\tau = dL / dt$ по-прежнему будет корректным для
- (а) любой неподвижной оси вне тела,
 - (б) любой оси с фиксированным направлением, проходящей через центр масс данного тела,
 - (в) для оси, вокруг которой тело вращается в данный момент (мгновенная ось вращения).

Сколько из указанных утверждений вы сможете доказать?

- 15.3. Прямолинейная однородная проволока длиной L и массой M согнута посередине под углом θ , как показано на рис. 15-1. Чему равен ее момент инерции относительно оси, проходящей через точку A и перпендикулярной к плоскости проволоки?

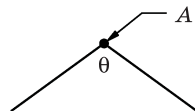


Рис. 15-1

- 15.4. Тонкий однородный люк массой m и шириной l шарнирно закреплен с одного края на уровне пола и стоит вертикально. Если его уронить, то чему будет равна его угловая скорость ω в тот момент, когда он ударится об пол? Трение в шарнире пренебрежимо мало.
- 15.5. Груз массой m подвешен на нити, намотанной на сплошной круглый цилиндр массой M и радиусом r , вращающийся на подшипниках без трения, как показано на рис. 15-2. Найдите ускорение a груза m .
- 15.6. Рассчитайте момент инерции I объекта (рис. 15-3), ось A которого перпендикулярна плоскости чертежа. Объект состоит четырех полуокруж-

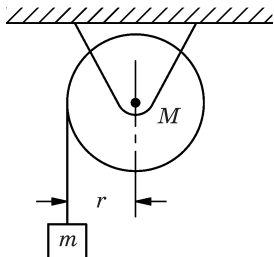


Рис. 15-2

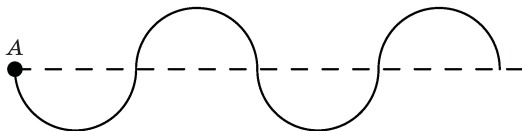


Рис. 15-3

ностей радиусом a и изготовлен из однородной тонкой проволоки общей массой M .

15.7. Рассчитайте моменты инерции I следующих твердых тел, каждое из которых имеет массу m :

- тонкого прямолинейного однородного стержня длиной L относительно перпендикулярной ему оси, проходящей через один из его концов;
- тонкого прямолинейного однородного стержня длиной L относительно перпендикулярной ему оси, проходящей через его центр;
- тонкостенного полого круглого цилиндра радиуса r относительно его продольной оси;
- сплошного круглого цилиндра радиуса r относительно его продольной оси.

15.8. Горизонтальный тонкий стержень массой M и длиной L лежит одним концом на опоре, другой конец стержня подвешен на нити, как показано на рис. 15-4. Нить пережигают. С какой силой F стержень будет давить на опору сразу после пережигания нити?

15.9. Восемь тонких однородных стержней, каждый длиной L и массой m , образуют плоский квадрат, поддерживаемый невесомой рамкой, показанной пунктиром на рис. 15-5(a). Квадрат свободно вращается без трения вокруг оси O , перпендикулярной его плоскости, с угловой скоростью ω_0 рад/с. В процессе вращения внутренний механизм K , соединенный с

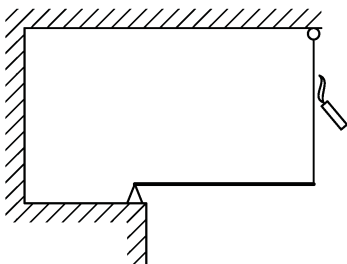


Рис. 15-4

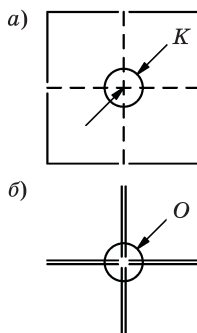


Рис. 15-5

рамкой и имеющий постоянный момент инерции, складывает квадрат в крест, изображенный на рис. 15-5(б). Какую энергию W при этом затрачивает механизм K ?

- 15.10. (а) Симметричный объект начинается катиться из состояния покоя (без проскальзывания) по наклонной плоскости с высоты h . Момент инерции объекта относительно его центра масс равен I , масса объекта равна M , а радиус поверхности качения в точке контакта с наклонной плоскостью равен r . Определите линейную скорость V_0 центра масс объекта в конце наклонной плоскости.
- (б) Примените общее уравнение движения, использованное в части (а) настоящей задачи, чтобы определить скорость центра масс, если объект является сферой (1), диском (2) и диском массой M_1 и внешним радиусом R_1 , насаженным на вал массой m_2 и радиусом r_2 (3).
- 15.11. На бесконечной ленте, которая наклонена под углом θ относительно горизонтали, установлен однородный цилиндр. Его ось горизонтальна и перпендикулярна краю ленты. Поверхности таковы, что цилиндр может катиться по ленте без проскальзывания. Как должна начать двигаться лента, чтобы после отпущения цилиндра его ось не сдвинулась с места?
- 15.12. Два визуально не отличимых цилиндра одинаковой массы и одинакового внешнего диаметра катятся вниз по наклонной плоскости. Один из цилиндров достигает конца плоскости раньше другого.
- (а) Какие выводы вы можете из этого сделать?
- (б) Проверьте вашу модель в отношении материалов, из которых состоят оба цилиндра, путем расчета наблюдаемого эффекта.
- 15.13. Шар радиусом R содержит сферическую полость радиусом r ($r < R$), как показано на рис. 15-6. Плотность материала шара между радиусами R и r постоянна и равна ρ . Выразите момент инерции I шара относительно оси, проходящей через его центр, через величины r , R и плотность ρ , а также через величины r , R и полную массу шара M .
- 15.14. Однородный сплошной шар неподвижно удерживается на наклонной плоскости с углом наклона θ , как показано на рис. 15-7. Чему равно минимальное значение μ_0 коэффициента трения покоя μ между мячом и наклонной поверхностью, чтобы шар начал катиться по ней без проскальзывания?

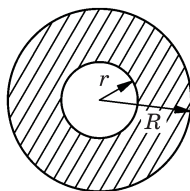


Рис. 15-6

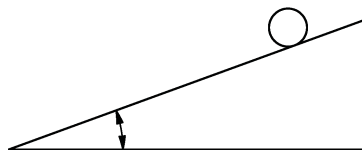


Рис. 15-7

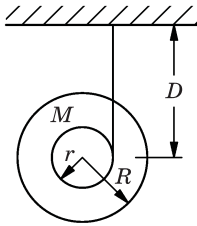


Рис. 15-8

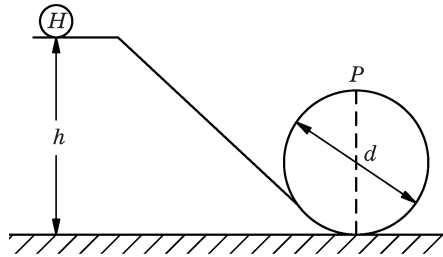


Рис. 15-9

- 15.15.** Катушка состоит из двух одинаковых дисков радиусом R и массой M , насаженных на невесомую ось радиусом r . Нить, намотанная на ось катушки, прикреплена к потолку. Расстояние от катушки до потолка равно D (рис. 15-8). Из этого состояния катушка начинает двигаться вниз.
- Какой угол должна образовать нить с вертикалью при освобождении катушки, если, опускаясь вниз, она не раскачивается?
 - С каким ускорением a будет двигаться вниз центр катушки?
- 15.16.** Обруч H радиусом r , показанный на рис. 15-9, скатывается по наклонной плоскости без проскальзывания. Высота h в исходной точке движения обруча такова, что он набирает достаточную скорость для того, чтобы выполнить «мертвую петлю», показанную на рисунке. Это означает, что обруч остается в контакте с направляющей в точке P . Чему равна высота h ?
- 15.17.** Шайба массой m для воздушного хоккея движется по поверхности горизонтального стола вдоль направляющей струны, прикрепленной к шайбе и проходящей сверху вниз через небольшое отверстие в столешнице. Изначально длина струны над столом равна r_1 , а шайбу заставляют двигаться со скоростью v_1 по круговой траектории такого радиуса. Затем струну вытягивают вниз через отверстие до тех пор, пока над столом не останется ее часть длиной r_2 . Найдите:
- конечную скорость v_2 шайбы;
 - работу W , требуемую для вытягивания струны через отверстие при изменении ее длины от r_1 до r_2 ;
 - с учетом закона сохранения энергии величину силы F , необходимую для поддержания постоянного радиуса струны.
- 15.18.** Катушка массой M с внешним радиусом R и моментом инерции I , лежащая на горизонтальном столе, может свободно катиться без проскальзывания. К внутреннему цилиндру катушки радиусом r прикладывают силу F под углом α к горизонтали, как показано на рис. 15-10.
- Найдите ускорение катушки, если катушка не отрывается от поверхности стола.
 - Какую силу F надо приложить под углом α для того, чтобы катушка подлетела над поверхностью стола?

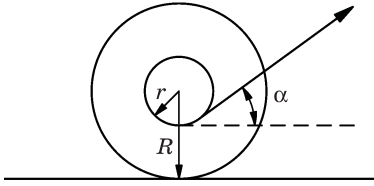


Рис. 15-10

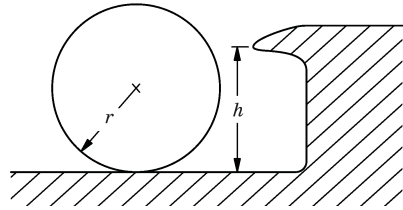


Рис. 15-11

15.19. Найдите отношение h/r высоты резиновой бортовой кромки бильярдного стола к радиусу шаров (рис. 15-11), необходимое для того, чтобы мяч, который приближается к бортовой кромке с чистым движением качения, совершал бы отскок также с чистым движением качения даже в тех случаях, в которых коэффициентом трения между шаром и поверхностью стола можно пренебречь. Сделайте допущение, что сила действует на шар со стороны кромки во время удара в горизонтальном направлении.

15.20. Металлическая пластинка неправильной формы, но постоянной толщины, имеет массу M , центр тяжести ее расположен в точке C , как показано на рис. 15-12. Момент инерции относительно оси, перпендикулярной плоскости пластинки и проходящей через точку A , известен и равен I_A . При каких условиях, налагаемых на расстояния $r_1 = AC$, $r_2 = BC$, $r_3 = AB$, справедливо выражение $I_B = I_A + Mr_3^2$ для момента инерции пластинки относительно оси, также перпендикулярной плоскости пластинки, но проходящей через точку B ?

15.21. На рисунке 15-13 изображена упрощенная схема устройства для подачи типографской краски в печатном станке. Краска подается из красящего барабана K , который свободно вращается на закрепленной оси. Момент инерции барабана пренебрежимо мал. Буквой P обозначен печатный вал с неподвижной осью, а T — передающий краску ролик, свободно катящийся без проскальзывания по барабану. Геометрия устройства такова, что линия, проходящая через центры тел T и P , образует с горизонталью угол θ . Какое максимальное угловое ускорение $\alpha_{\text{макс}}$ можно сообщить валу P без потери контакта между T и K ?

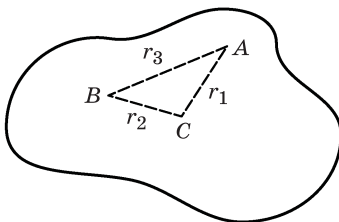


Рис. 15-12

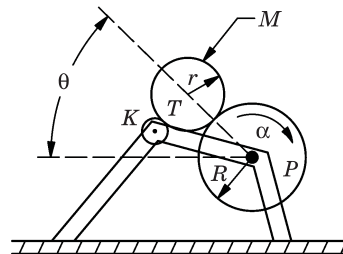


Рис. 15-13

15.22. Тонкий однородный стержень длиной $2l$, вращающийся в горизонтальной плоскости с угловой скоростью ω_0 вокруг неподвижной вертикальной оси, проходящей через его центр, осторожно устанавливают на горизонтальном столе, имеющем коэффициент трения μ . Сколько времени пройдет до полной остановки стержня? Предполагаем, что стержень равномерно опирается на стол (каждый элемент длины стержня опирается на стол непосредственно под ним).

15.23. Однородный шар для боулинга радиусом R и массой M в начальный момент времени пущен по дорожке с коэффициентом трения μ так, что он скользит по ней со скоростью V_0 без качения.

- (а) Какое расстояние D пройдет шар, прежде чем его движение превратится в качение без скольжения?
 (б) Какова будет к этому моменту скорость шара V ?

15.24. Один забавный фокус заключается в том, что прижимают пальцем шарик из мрамора на столе таким образом, что шарик начинает двигаться вдоль стола, как показано на рис. 15-14, с начальной линейной скоростью V_0 и начальным вращением с угловой скоростью ω_0 вокруг своей горизонтальной оси, перпендикулярной V_0 , в направлении, обратном направлению его движения вдоль стола. Если принять, что коэффициент трения скольжения между мраморным шариком и поверхностью стола постоянен, а шарик имеет радиус R , то рассчитайте:

- (а) какие соотношения должны быть между V_0 , R и ω_0 для того, чтобы мраморный шарик продолжал скользить до полной остановки;
 (б) какие соотношения должны быть между V_0 , R и ω_0 , чтобы шарик скользил вплоть до полной остановки, а затем начал возвращаться в начальное положение с постоянной линейной скоростью $3V_0/7$.

15.25. Однородный круглый диск радиусом R и массой M может свободно вращаться в горизонтальной плоскости с угловой скоростью ω вокруг шарнира P , установленного в его центре. На краю диска укреплены два маленьких груза массой m каждый. Грузы соединены с диском двумя нитями длиной l , закрепленными вдоль его поверхности, как показано на рис. 15-15. Когда диск приводится во вращение, грузики одновременно освобождаются без изменения полного момента количества движения

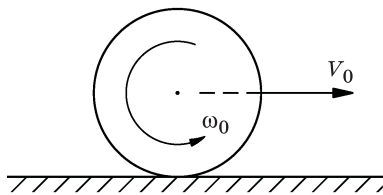


Рис. 15-14

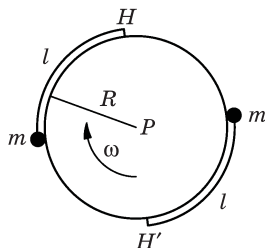


Рис. 15-15

системы. В результате этого они отлетают от диска в стороны и в тот момент, когда нити натягиваются строго в радиальном направлении, соскакивают с крючков H и H' . Найдите длину нитей l , при которой диск в результате такой операции полностью остановится.

Примечание. Подобное устройство использовалось для замедления вращательного движения искусственных спутников Земли.

15.26. Если M_0 (в системе координат x', y') вращается относительно Джо, который находится в состоянии покоя (в системе координат x, y), то

- (а) найдите уравнения для компонентов силы, которая, по мнению M_0 , должна действовать на некоторую частицу массой m ;
- (б) покажите, что эта сила складывается из компонентов истинной силы F , которую наблюдает также и Джо, и двух псевдосил — радиальной центробежной силы и силы Кориолиса, действующей под прямым углом к скорости.

Примечание. Предположим, что преобразование между системами координат задается выражениями $x' = x \cos \theta + y \sin \theta$, $y' = -x \sin \theta + y \cos \theta$, где $\theta = \omega t$.

15.27. Найдите угловой момент планеты массой m , движущейся по круговой орбите радиусом R . Используя этот результат, покажите, что из-за приливов, тормозящих вращение Земли, расстояние между Луной и Землей будет увеличиваться с течением времени, хотя и очень медленно. Кроме того, обсудите закон сохранения энергии в системе Земля–Луна с точки зрения возможности полного удаления Луны от Земли.

Глава 16

Вращение в трех измерениях

См. «Лекции», т. I, гл. 20

- 16.1. Любые три вектора A , B , и C можно рассматривать как определяющие твердое тело с шестью попарно параллельными гранями, т. е. как параллелепипед (рис. 16-1). Покажите, что объем тела, ограниченного такой фигурой, равен

$$V = |A \cdot (B \times C)|.$$

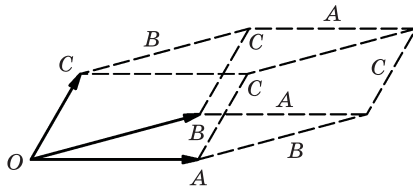


Рис. 16-1

- 16.2. Записывая вектора через их компоненты, или иным образом, докажите следующие векторные равенства:

$$\mathbf{a} \times (\mathbf{b} + \mathbf{c}) = \mathbf{a} \times \mathbf{b} + \mathbf{a} \times \mathbf{c},$$

$$(\alpha \mathbf{a}) \times \mathbf{b} = \alpha (\mathbf{a} \times \mathbf{b}),$$

$$\mathbf{a} \cdot (\mathbf{b} \times \mathbf{c}) = (\mathbf{a} \times \mathbf{b}) \cdot \mathbf{c},$$

$$\mathbf{a} \times (\mathbf{b} \times \mathbf{c}) = \mathbf{b}(\mathbf{a} \cdot \mathbf{c}) - \mathbf{c}(\mathbf{a} \cdot \mathbf{b}),$$

$$\mathbf{a} \times \mathbf{a} = 0,$$

$$\mathbf{a} \cdot (\mathbf{a} \times \mathbf{b}) = 0.$$

- 16.3. Твердое тело вращается с угловой скоростью ω относительно некоторой фиксированной оси. Покажите, что скорость любой точки P этого тела равна $\mathbf{v} = \omega \times \mathbf{r}$, где \mathbf{r} — вектор, проведенный из произвольно выбранной точки на оси вращения к точке P .

- 16.4. Система N частиц с массами m_i , координатами \mathbf{r}_i и скоростями \mathbf{v}_i имеет определенный угловой момент (момент импульса) $\mathbf{L} = \sum \mathbf{r}_i \times \mathbf{p}_i = \sum m_i \mathbf{r}_i \times \mathbf{v}_i$. С другой стороны, если рассматривать систему координат, жестко связанную с центром масс (ЦМ), то можно считать, что система имеет момент количества движения $\mathbf{L}_{\text{цм}}$. Пусть $\mathbf{R}_{\text{цм}}$ и $\mathbf{V}_{\text{цм}}$ —

это положение и скорость, а $M = \sum_{i=1}^N m_i$ — общая масса всех частиц. Покажите, что $\mathbf{L} = \mathbf{L}_{\text{цм}} + M \mathbf{R}_{\text{цм}} \times \mathbf{V}_{\text{цм}}$.

- 16.5.** Твердое тело вначале поворачивается на бесконечно малый угол $\Delta\theta_1$ относительно одной оси, а затем поворачивается на бесконечно малый угол $\Delta\theta_2$ относительно другой оси, пересекающей первую ось в некоторой точке O . Покажите, что общее смещение любой точки рассматриваемого тела такое же, как если бы оно было сразу повернуто на определенный малый угол относительно некоторой оси. Как найти эту ось и угол? Докажите, что твердое тело, которое вращается одновременно с несколькими угловыми скоростями относительно различных осей, движется так, как если бы у него была только одна угловая скорость, равная векторной сумме всех слагающих скоростей (каждую угловую скорость следует рассматривать как вектор длиной ω , направленный вдоль оси вращения):

$$\boldsymbol{\omega} = \boldsymbol{\omega}_1 + \boldsymbol{\omega}_2.$$

- 16.6.** Параллелепипед, одна из вершин которого находится в начале координат, как показано на рис. 16-1, имеет в прямоугольных координатах (x, y, z) три соседние вершины в точках $(10, -5, 3)$, $(3, -4, 7)$ и $(-5, -6, 3)$ м. Чему равен объем параллелепипеда V ?
- 16.7.** Если полярные ледниковые покровы растают, что произойдет с периодом вращения Земли? Объясните.
- 16.8.** Как бы вы отличили вареное яйцо от сырого яйца (без трещин в скорлупе)?
- 16.9.** Реактивный самолет, в котором все двигатели вращаются в направлении правого винта по отношению к направлению полета, выполняет левый поворот. Может ли гироскопический эффект, связанный с работой двигателей, вызвать следующие эволюции движения самолета:
- (а) крен вправо?
 - (б) крен влево?
 - (в) отклонение от курса вправо?
 - (г) отклонение от курса влево?
 - (д) начало кабрирования (подъем носа самолета)?
 - (е) начало пикирования?
- Почему? Обосновать.
- 16.10.** Два грузика с одинаковыми массами соединены гибкой нитью длиной l . Экспериментатор держит один грузик в руке и заставляет другой грузик, первоначально находившийся в покое, крутиться все быстрее и быстрее в горизонтальной плоскости, описывая окружность вокруг грузика,

удерживаемого в руке, пока угловая скорость вращающегося грузика не достигнет значения ω_0 ; затем экспериментатор отпускает другой грузик, который до этого держал в руке.

(а) Если нить порвется во время эксперимента, то произойдет это до того, как экспериментатор отпустил неподвижный грузик, или после?

(б) Если нить не порвется, опишите движение грузиков после того, как их отпустили.

16.11. Два однородных одинаковых жестких стержня AB и AC шарнирно скреплены в точке A и установлены на гладком горизонтальном столе, при этом стержень AC перпендикулярен стержню AB , как показано на рис. 16-2. В точке C перпендикулярно AC наносится горизонтальный удар. Найдите отношение v_{AC}/v_{AB} линейных скоростей центров масс стержней сразу после удара.

16.12. Тонкий однородный стержень массой M и длиной L и шайба массой m скользят без трения по горизонтальной плоскости. В некоторый момент стержень перпендикулярен направлению скорости движения его центра масс (ЦМ), которая равна $V_{\text{ЦМ}} = +Vi$, а угловая скорость вращения относительно его центра масс равна $\omega = -\omega k$, как показано на рис. 16-3. В этот момент шайба, которая первоначально двигалась со скоростью $v = -vi$, ударяет в стержень. Найдите скорость v и расстояние a между центром стержня и точкой контакта стержня с шайбой, при котором стержень после удара остановится. Столкновение шайбы со стержнем можно рассматривать как абсолютно упругий удар.

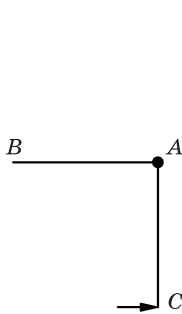


Рис. 16-2

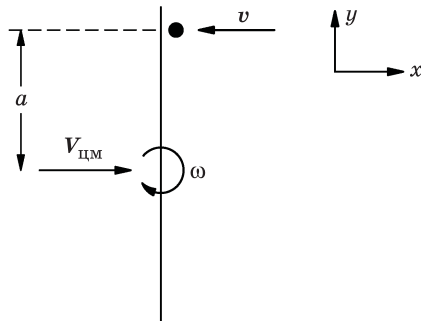


Рис. 16-3

16.13. Тонкий круглый деревянный обруч массой m и радиусом R лежит на горизонтальной абсолютно гладкой плоскости. Пуля такой же массы m , двигаясь с горизонтальной скоростью v , попадает в обруч и застревает в нем, как показано на рис. 16-4. Вычислите:

(а) скорость центра масс системы $V_{\text{ЦМ}}$;

(б) угловой момент системы относительно центра масс;

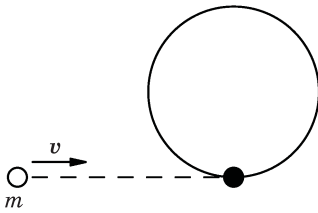


Рис. 16-4

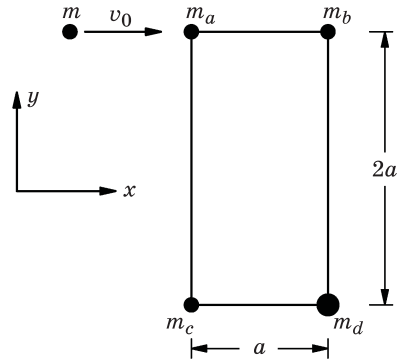


Рис. 16-5

- (в) угловую скорость ω обруча;
 (г) кинетическую энергию T системы до и после столкновения.

16.14. Имеется система из четырех точечных масс $m_a = m_b = m_c = m_d/2$ (рис. 16-5), лежащих в углах прямоугольника на абсолютно гладкой горизонтальной поверхности. Массы жестко связаны между собой с помощью абсолютно невесомых стержней. Еще одно тело массой $m = m_a$, движущееся со скоростью v_0 в положительном направлении оси x , сталкивается с телом m_a и прилипает к нему. Опишите движение системы после столкновения.

16.15. Однородный стержень длиной L и массой M покоится на абсолютно гладкой горизонтальной поверхности. За очень короткий промежуток времени стержень получает импульс силы $J = \int F dt$, приложенный к нему под прямым углом в точке P , где $\overline{OP} = r$, как показано на рис. 16-6.

- (а) Чему равна скорость центра масс O сразу после сообщения стержню импульса?
 (б) Чему равна угловая скорость ω относительно перпендикулярной стержню оси, проходящей через точку O ?
 (в) Чему равна мгновенная скорость V_A точки A ?
 (г) Определите расстояние \overline{AP} , на котором скорость точки A равна нулю сразу после удара.

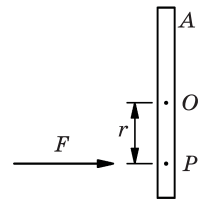


Рис. 16-6

- (д) Если стержень удерживать в вертикальном положении относительно шарнирной оси в точке A , в какой точке P следует нанести удар, чтобы стержень начал вращаться вокруг точки A без приложения начальной боковой силы к оси шарнира?

16.16. Тонкий стержень массой M и длиной L лежит на горизонтальной, абсолютно гладкой поверхности (рис. 16-7). Небольшой кусок замазки такой же массы M , обладающий скоростью v , направленной перпендикулярно к стержню, ударяется об один конец стержня и прилипает к нему в результате очень кратковременного, абсолютно неупругого столкновения.

- (а) Какова скорость $V_{\text{цм}}$ центра масс системы до и после столкновения?
- (б) Чему равен угловой момент (момент импульса) L системы относительно центра масс непосредственно перед столкновением?
- (в) Чему равна угловая скорость ω (относительно центра масс) сразу же после столкновения?
- (г) На сколько процентов уменьшается кинетическая энергия при столкновении?

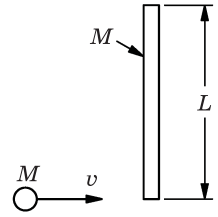


Рис. 16-7

16.17. Два однородный жестких стержня длиной L и массой M могут свободно перемещаться без трения на горизонтальной поверхности. Первоначально один стержень неподвижен, а другой перемещается со скоростью V вдоль линии, перпендикулярной двум стержням, как показано на рис. 16-8. Стержни сталкиваются таким образом, что центр одного из них ударяется в конец другого, и в дальнейшем они склеиваются друг с другом. Найти линейную скорость v и угловую скорость ω составного стержня после удара.

16.18. Тонкий однородный стержень AB массой M и длиной L может свободно вращаться в вертикальной плоскости вокруг горизонтальной оси относительно своего конца A , как показано на рис. 16-9. Кусок замазки такой же массой M бросают, и он с горизонтальной скоростью V попадает в нижний конец стержня B в тот момент, когда стержень находится в состоянии покоя, и прилипает к стержню. Какой должна быть минимальная скорость куска замазки перед ударом, чтобы стержень начал постоянно вращаться вокруг точки A ?

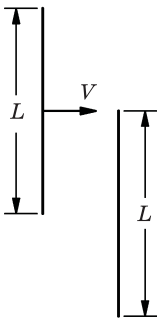


Рис. 16-8

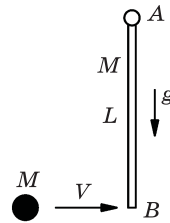
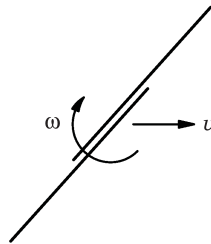


Рис. 16-9

16.19. Тонкая жесткая доска массой M , шириной w и длиной l подвешена вертикально на горизонтальной оси за ее верхнюю кромку, как показано на рис. 16-10. Трение в оси отсутствует. Пуля массой m , летящая со скоростью v , перпендикулярной к доске, попадает в центр доски.

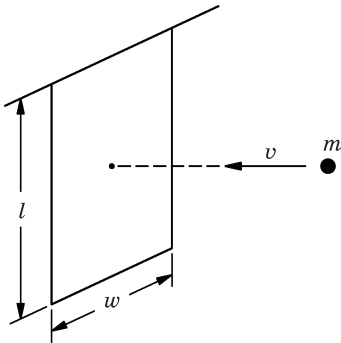


Рис. 16-10

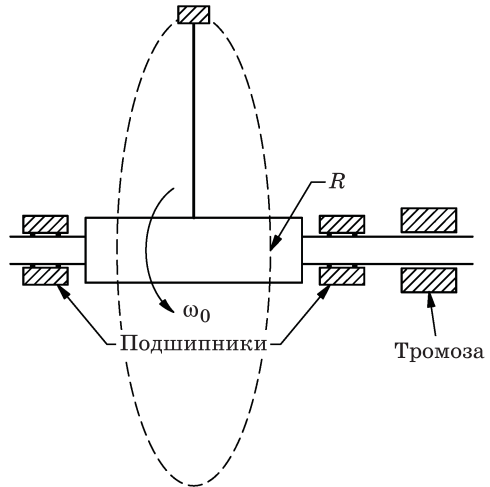


Рис. 16-11

- (а) Какова будет скорость пули v_k сразу после удара?
 (б) На какой угол θ повернется эта система?
 (в) Какой момент импульса J получили подшипники, поддерживающие ось?

16.20. Горизонтальный вал радиусом r , обладающий моментом инерции относительно своей оси, равным I_0 , соединен с нитью, которая в свою очередь прикреплена к грузу массой m , имеющему пренебрежимо малые размеры, как показано на рис. 16-11. Первоначально вал вращается вокруг своей горизонтальной оси с постоянной угловой скоростью ω_0 , а масса m вращается с такой же угловой скоростью, описывая вертикальную окружность радиусом R . Величина ω_0 настолько велика, что влиянием силы тяжести можно пренебречь. В момент времени $t = 0$ срабатывает тормоз, останавливая движение вала за время поворота на несколько угловых градусов.

- (а) Какой по величине момент импульса J должен был обеспечить тормоз?
 (б) Когда нить обвилась вокруг вала точно 10 раз, она порвалась. Какова была ее прочность на разрыв F ?

Внимание. После остановки вала момент импульса не сохраняется. Вы можете понять, почему?

16.21. На концах двух стержней, каждый из которых имеет длину l , закреплены грузики массой m , причем стержни скреплены своими концами и зафиксированы под углом θ на валу, как показано на рис. 16-12. (Вал и стержни находятся в одной плоскости.) Какой крутящий момент $\tau_{\text{макс}}$ должны выдерживать подшипники, если угол, под которым стержни зафиксированы на валу, может быть установлен любым в интервале от 0° до 90° ? Ка-

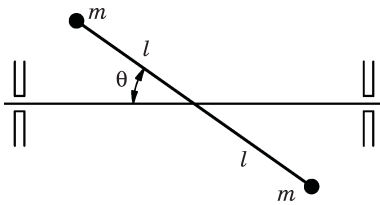


Рис. 16-12

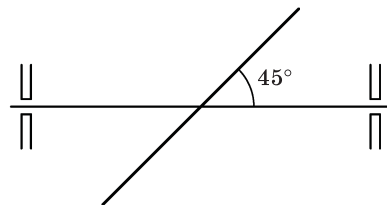


Рис. 16-13

кой может быть максимальная угловая скорость вращения вала? (Массой стержней можно пренебречь, а грузики массой m можно рассматривать как материальные точки.)

16.22. Однородный тонкий стержень массой M и длиной L закреплен за его центр масс на оси вращения, составляющей угол 45° с самим стержнем, как показано на рис. 16-13.

(а) Под каким углом θ направлен вектор углового момента по отношению к этой оси вращения?

(б) Чему равен крутящий момент τ , действующий на подшипник со стороны стержня, вращающегося с угловой скоростью ω ?

16.23. Тонкое сплошное колесо закреплено на горизонтальной оси так, что может катиться по кругу радиуса R вдоль горизонтального стола, как показано на рис. 16-14. Ось колеса шарнирно закреплена и может свободно поворачиваться во всех направлениях вокруг точки A , где она соединена с вертикальным карданным валом. Если масса колеса m , радиус r и его угловая скорость вращения вокруг собственной оси равна ω , то с какой силой F колесо давит на стол? Используйте в задаче следующие значения: $m = 1$ кг, $R = 50$ см, $r = 10$ см, $\omega = 12\,000$ рад/мин.

16.24. На поворотном столе T_1 , находящемся в состоянии покоя, смонтирован поворотный стол T_2 , вращающийся с угловой скоростью ω_2 , как показано на рис. 16-15. В определенный момент времени внутренняя муфта зажимает вращение оси поворотного стола T_2 , чтобы остановить его вращение по отношению к T_1 , но T_1 может продолжать свободно вращаться. Поворотный стол T_1 обладает массой M_1 и моментом инерции I_1 относительно оси A_1 , проходящей через его центр перпендикулярно плоскости стола, T_2 обладает массой M_2 и моментом инерции I_2 относительно аналогично расположенной оси A_2 ; расстояние между осями A_1 и A_2 равно r . Найдите

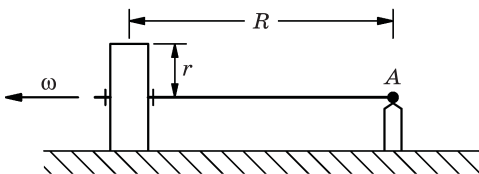


Рис. 16-14

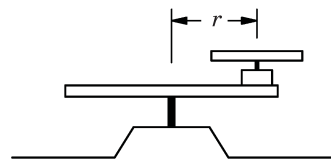


Рис. 16-15

угловую скорость ω_1 поворотного стола T_1 после того, как стол T_2 будет остановлен.

16.25. Человек стоит на расстоянии R от центра вращающейся платформы. Он бросает мяч со скоростью V другому человеку, стоящему на диаметрально противоположном краю платформы также на расстоянии R от ее центра. Если платформа вращается с угловой скоростью ω , то определите:

- радиус кривизны r траектории мяча с точки зрения наблюдателя, находящегося во вращающейся системе координат;
- под каким углом θ по отношению к диаметру платформы нужно кинуть мяч (показать на рисунке);
- как выглядит траектория мяча с точки зрения неподвижного наблюдателя.

Примечание. Предположим, что $V \gg \omega R$, так что центробежной силой инерции можно пренебречь.

16.26. Космический грузовой корабль-спутник представляет собой однородный круглый цилиндр массой m , радиусом a и длиной L , причем $L = 6a$. Изначально спутник вращается с угловой скоростью ω_0 относительно его длинной оси, но из-за небольших внутренних колебаний (вследствие незначительной прецессии в начале движения) его кинетическая энергия постепенно превращается в тепло. В результате спутник «замедляется». Описать единственно возможное конечное состояние его вращения и найти соответствующую угловую скорость ω_k , если в тепло перешло максимально возможное количество энергии. Предположим, что никакого внешнего влияния на этот спутник не было.

16.27. Если весь лед на Земле растопить, то средний уровень Мирового океана поднимется приблизительно на 61 м. Принимая, что средняя широта, до которой распространяются полярные ледяные шапки, равна 80° , и пренебрегая нерегулярным распределением водных масс океанов на Земле, рассчитайте, на какую величину ΔT увеличится при этом продолжительность суток.

Примечание. Примите, что Земля является сферой радиусом 6370 км с моментом инерции $8,11 \cdot 10^{37}$ кг·м².

16.28. Два тела с одинаковыми массами m , скрепленные жестким невесомым стержнем на расстоянии $2r$ друг от друга, притягиваются телом массой M , расположенным на расстоянии $R \gg r$ от точки O в центре стержня. Стержень составляет угол θ с направлением R , как показано на рис. 16-16.

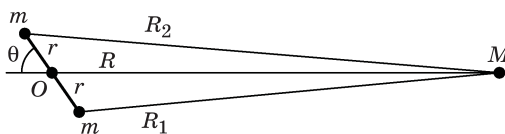


Рис. 16-16

Найдите приближенное значение вращающего момента, действующего на стержень относительно его центра.

16.29. Упругий момент, создаваемый закручиваемой нитью, пропорционален углу закручивания нити: $\tau_{\text{нити}} = -k\theta$. Покажите что:

(а) потенциальная энергия такой нити, закрученной на угол θ , равна $U = (1/2) k\theta^2$;

(б) выражение для вращающего момента, действующего на рамку гальванометра, имеет вид $\tau = nABi$, где i — ток, текущий через рамку; n — число витков; A — площадь рамки; B — магнитное поле, создаваемое постоянным магнитом гальванометра.

В ходе лабораторного эксперимента для измерения заряда конденсатора его разряжают через рамку гальванометра и отмечают максимальный угол отклонения. При этом разряд происходит так быстро, что за то время, пока течет ток, рамка не успевает существенно отклониться от начального положения $\theta = 0$. Пренебрегая трением и учитывая, что $|i| = |dq/dt|$, покажите, что максимальный бросок стрелки гальванометра пропорционален первоначальному заряду конденсатора.

16.30. К основанию вертикально стоящего стержня массой M и длиной L , показанного на рис. 16-17, прикладывается импульс J , направленный вверх под углом 45° к горизонтали, что заставляет стержень полететь. Каково должно быть значение (должны быть значения) импульса J для того, чтобы стержень снова вертикально приземлился, т. е. чтобы он приземлился в вертикальном положении на тот же торец, к которому был приложен импульс J ?

16.31. Поворотный стол с моментом инерции I_0 свободно вращается вокруг вертикальной оси. На столе проложена прямолинейная радиальная дорожка, по которой может без трения двигаться тележка массой m , как показано на рис. 16-18. Нить, привязанная к тележке, перекинута через маленький блок, а затем уходит под стол через полую ось. Первоначально система вращается с угловой скоростью ω_0 , а тележка находится на фиксирован-

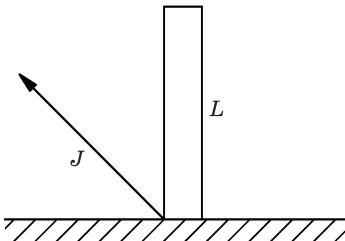


Рис. 16-17

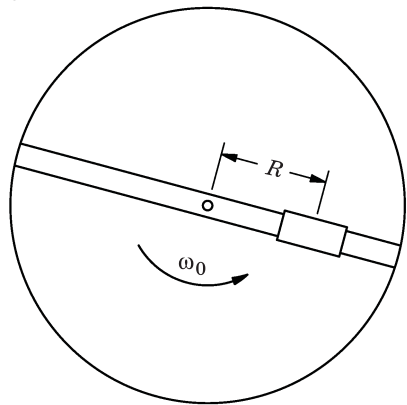


Рис. 16-18

ном расстоянии R от оси. Затем некоторой внешней силой нить вытягивается внутрь оси на такое расстояние, что тележка теперь удалена от оси на меньшее расстояние r и остается в этом положении.

- (а) Чему равна угловая скорость системы ω в конечном состоянии?
 (б) Покажите детально, что разность между значениями энергии системы в описанных двух состояниях равна работе, которую совершила сила, вытягивающая нить,
 (в) Если нить отпустить, то с какой радиальной скоростью \dot{r} тележка пересечет окружность радиусом R ?

16.32. Тонкая прямоугольная пластина массой M , со сторонами длиной a и b , вращается вокруг оси относительно своей диагонали с угловой скоростью ω , как показано на рис. 16-19.

- (а) Чему равна сила F , действующая на подшипники?
 (б) Какова кинетическая энергия T вращающейся пластинки?

16.33. Маховик, имеющий форму однородной тонкой круглой пластинки массой 10 кг и радиусом 1 м, закреплен на оси, проходящей через его центр масс и составляющей угол 1° с перпендикуляром, восстановленным к плоскости маховика. Если последний вращается относительно этой оси с угловой скоростью 25 рад/с, то чему равен вращающий момент τ , приложенный к его подшипникам?

16.34. Однородный тонкий диск радиусом R , массой M установлен на универсальный подшипник, позволяющий ему вращаться вокруг любой оси. Первоначально он вращается вокруг вертикальной оси (в направлении оси z) с угловой скоростью ω_0 , как показано на рис. 16-20. Грузик небольшой массы m , летящий со скоростью v_0 в положительном направлении оси z , упруго сталкивается с краем диска и отлетает в отрицательном направлении оси z .

- (а) Каково направление углового момента L диска после столкновения?
 (б) Опишите движение оси данной фигуры. Покажите на эскизе траекторию точки пересечения оси фигуры с единичной сферой при ее наблюдении сверху.

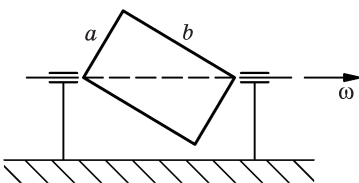


Рис. 16-19

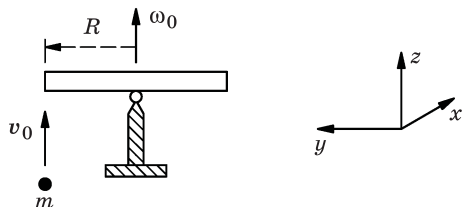


Рис. 16-20

16.35. Пара дисковых маховиков радиусом 10 см и весом 2 кг каждый, установленных на подшипниках качения без трения, вращается со скоростью 1000 рад/с и удерживается на расстоянии $d = 15$ см по обе стороны универсального подшипника на стержне AB небольшого диаметра, массой $M = 1$ кг и длиной $4d$, как показано на рис. 16-21.

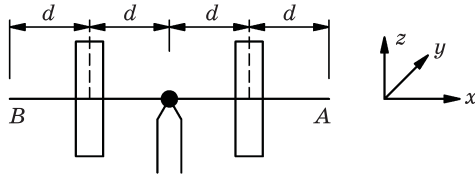


Рис. 16-21

- (а) Шар массой $m = 10$ г падает с высоты $h = 5$ см на конец A этого стержня и отскакивает вверх. Вычислите компоненты результирующего углового момента L данных маховиков и начертите движение кончика стержня, как если бы его наблюдали со стороны направления $+x$. Кроме того, вычислите угловую скорость Ω этого движения и радиус r окружности, описываемой кончиком стержня при возникновении кругового движения.
- (б) Если бы шар вместо того, чтобы отскочить, приклеился к кончику стержня, то чему была бы равна в этом случае угловая скорость прецессии $\Omega_{\text{п}}$? Нутацией можно пренебречь. Чему был бы равен угловой момент $L_{\text{п}}$ и кинетическая энергия вращения $T_{\text{п}}$, связанные с $\Omega_{\text{п}}$? Какая потенциальная энергия ΔE теряется по мере того, как конец стержня опустится ниже плоскости x, y ?

16.36. Как Луна, так и Солнце, взаимодействуя с Землей, создают вращающий момент (пару сил), в результате чего Земля слегка сплюснута. Какое небесное тело сообщает Земле больший вращающий момент (пару сил) и приблизительно во сколько раз?

1-я подсказка. Вы можете использовать случайный факт, что оба тела при их наблюдении с Земли опираются в небе на практически равные углы.

2-я подсказка. Средняя плотность Солнца — $1,41$ г/см³, средняя плотность Луны — $3,34$ г/см³.

16.37. Экваториальный и полярный радиусы Земли составляют соответственно 6378, 388 км и 6356, 912 км. Значения плотности вещества Земли ρ на различных глубинах D от ее поверхности приведены ниже в таблице (звездочка * обозначает разрыв значений плотности Земли).

D (км)	ρ (г/см ³)
0	2,6
30*	$\begin{cases} 3,0 \\ 3,3 \end{cases}$
100	3,4
200	3,5
400	3,6
1000	4,7
2000	5,2
2900*	$\begin{cases} 5,7 \\ 9,4 \end{cases}$
3500	10,2
5000*	$\begin{cases} 11,5 \\ 16,8 \end{cases}$
6000	17,1

Используя эти значения, оцените:

- (а) момент инерции Земли I_3 ,
- (б) ее угловой момент (момент импульса) L_3 ,
- (в) ее кинетическую энергию вращения E_3 ,
- (г) период T прецессии оси вращения вокруг полюса эклиптики из-за моментов сил, создаваемых Луной и Солнцем.

Примечание. Наклон земной оси составляет $23,5^\circ$.

Глава 17

Гармонический осциллятор, линейные дифференциальные уравнения

См. «Лекции», т. I, гл. 21

- 17.1. Покажите, что для твердого тела, точка подвеса которого находится на расстоянии D от его центра масс (выше ЦМ), как показано на рис. 17-1, колебания с малой амплитудой описываются формулой

$$\frac{d^2\theta}{dt^2} + \frac{MgD}{I}\theta = 0,$$

а период колебаний T задается выражением

$$T = 2\pi\sqrt{\frac{I}{MgD}},$$

где M — масса тела, I — его момент инерции относительно оси подвеса.

- 17.2. Какая из масс (или любая из них), показанных на рис. 17-2, движется согласно простому гармоническому закону, т. е. по синусоидальному закону?

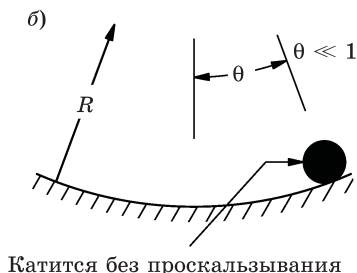
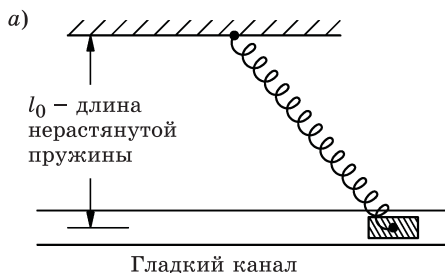


Рис. 17-2

- 17.3. Однородный стержень массой M и длиной L качается наподобие маятника с прикрепленными к его нижнему концу двумя невесомыми горизонтальными пружинами с константами жесткости k_1 и k_2 , как показано на рис. 17-3. Обе пружины находятся в расслабленном состоянии, когда

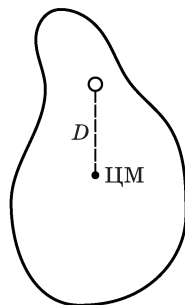


Рис. 17-1

стержень висит вертикально. Каков период T малых колебаний стержня?

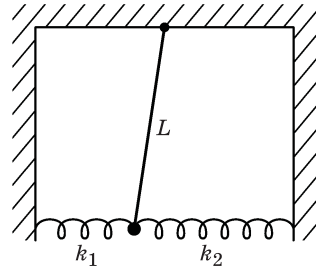


Рис. 17.3

- 17.4. Каково относительное отклонение x/A от положения равновесия для механического незатухающего гармонического осциллятора в тот момент, когда его кинетическая энергия в точности равна его потенциальной энергии (A — амплитуда колебаний)?

- 17.5. Частицы A и B совершают гармонические колебания с одинаковой амплитудой (10 см) вдоль одной прямой. Частоты их колебательных движений составляют: для частицы A , $\omega_A = 20$ рад/с; для частицы B , $\omega_B = 21$ рад/с. В момент времени $t = 0$ обе частицы проходят через точку $x = 0$ в положительном направлении оси x , т. е. находятся в фазе.

- (а) На каком расстоянии Δx друг от друга они будут находиться в момент $t = 0,350$ с?
- (б) Какова будет скорость V частицы B относительно A в тот же момент времени?

- 17.6. Вертикальный U -образный манометр, изображенный на рис. 17-4, имеет постоянное внутреннее поперечное сечение и содержит столбик жидкости общей длиной L . Найдите период колебаний T жидкости. Можно пренебречь трением и предположить, что амплитуда колебаний такова, что обе поверхности столбика жидкости остаются в пределах прямой вертикальной части трубки.

- 17.7. В начальном состоянии колония бактерий растет со скоростью, пропорциональной количеству наличных бактерий. Напишите дифференциальное уравнение, выражающее это соотношение.

- 17.8. Плоский диск радиусом R и массой M подвешен за край к проволоке в виде крутильного маятника, как показано на рис. 17-5. Если проволока имеет постоянную кручения K , чему равен период T крутильных колебаний диска?

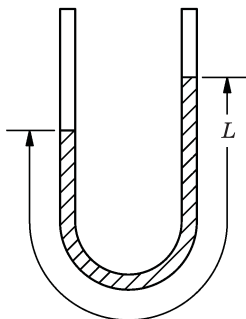


Рис. 17-4

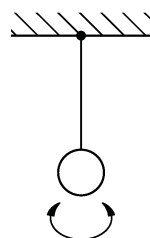


Рис. 17-5

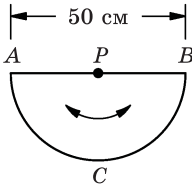


Рис. 17-6

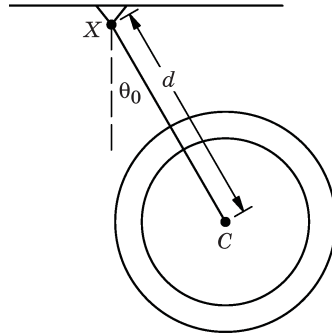


Рис. 17-7

17.9. Каркас, сделанный из однородной проволоки, состоит из полуокружности ACB и ее диаметра AB , как показано на рис. 17-6. Этот каркас закрепляется с помощью абсолютно гладкого штифта в точке P , проходящей через отверстие посередине диаметра AB , и приводится в колебательное движение как маятник. Если диаметр каркаса AB равен 50 см, то каков период колебательного движения T такого маятника?

17.10. Рассмотрим идеальное колесо массой M и моментом инерции I относительно своей оси, которое может вращаться вокруг этой оси без трения. Колесо подвешено на абсолютно невесомом, не имеющем момента инерции кронштейне длиной d , который может свободно перемещаться в плоскости колеса относительно шарнира в точке X , как показано на рис. 17-7. Кронштейн и колесо одновременно отпускают, когда кронштейн в шарнире X отклоняется от вертикали на угол θ_0 ($\theta_0 \ll 1$). Для каждого из двух приведенных ниже случаев A и B найдите:

- (а) период колебаний T кронштейна;
- (б) угловое ускорение $\ddot{\theta}$, когда $\theta = \theta_0$;
- (в) угловую скорость $\dot{\theta}$, когда $\theta = 0$.

A) Колесо свободно вращается без трения вокруг оси C .

B) Колесо и кронштейн зафиксированы и движутся относительно шарнира X как единое целое.

17.11. Два однородных круглых плоских маховика с массой по 1 кг могут вращаться один относительно другого вокруг горизонтальной оси A , перпендикулярной обоим маховикам и проходящей через их центры масс, как показано на рис. 17-8. Радиусы инерции* этих маховиков также одинаковы и равны $R = 0,20$ м. Маховик 2 может вращаться вокруг неподвижной горизонтальной оси B , проходящей на расстоянии R от его центра масс.

* Радиус инерции R относительно данной оси тела массой M , имеющего момент инерции I относительно этой оси, определяется как $R = \sqrt{I/M}$.

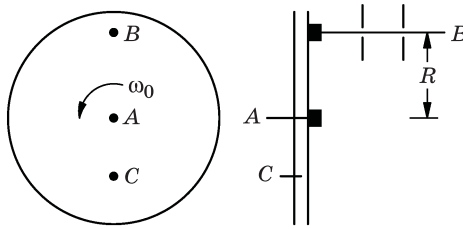


Рис. 17-8

В начальный момент времени маховик 2 неподвижен, в то время как маховик 1 вращается с угловой скоростью ω_0 вокруг общей оси. Небольшой стопорный штифт C , закрепленный в корпусе маховика 1, внезапно попадает в отверстие в корпусе маховика 2, прекращая их относительное вращение. Оказалось, что в результате маятниковое движение система стала колебаться с амплитудой 90° в каждую сторону от вертикали. Найдите ω_0 .

17.12. Г-образный однородный жесткий стержень массой M с плечами длиной l каждое, подвешенный за верхний конец A , может шарнирно поворачиваться в своей плоскости, как показано на рис. 17-9.

- (а) Под каким углом θ_0 (относительно вертикали) будет висеть этот стержень в состоянии покоя?
- (б) Если в месте сгиба в указанном на рисунке направлении в момент времени $t = 0$ будет приложен импульс J , который вызовет незатухающие колебания малой амплитуды, найдите функцию $\theta(t)$.

17.13. Действующая на частицу, помещенную внутри однородного твердого шара, гравитационная сила, обусловленная только массой шара, прямо пропорциональна расстоянию частицы от центра шара. Если принять за такой шар Землю и просверлить сквозь нее вдоль ее диаметра, соединяющего полюса, отверстие, то сколько времени понадобится телу, попавшему в это отверстие, чтобы достигнуть поверхности с противоположной стороны Земли?

17.14. Брусок массой m движется вдоль прямой линии по гладкой горизонтальной плоскости без трения под влиянием двух пружин с коэффициентами

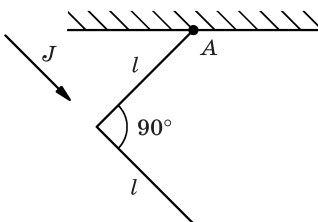


Рис. 17-9

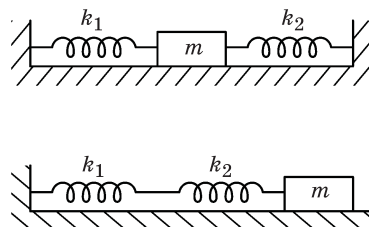


Рис. 17-10

упругости k_1 и k_2 . (В точке равновесия пружины не оказывают никаких усилий.) Для двух систем (A и B), показанных на рис. 17-10:

- (а) вывести уравнения движения;
 (б) найти период колебаний T .

17.15. Две частицы с массами $3M/4$ и M соединены пружиной пренебрежимо малой массы; длина пружины в свободном состоянии L , упругая постоянная k . Вначале эти частицы покоятся на расстоянии L друг от друга на горизонтальном, абсолютно гладком столе. Третья частица массой $M/4$, движущаяся вдоль линии, соединяющей первые две частицы, сталкивается и прилипает к частице массой $3M/4$. Найти амплитуду и период колебаний системы.

17.16. Два бруска с массами $m_1 = m$ и $m_2 = 2m$, соединенные пружиной, имеющей константу упругости K , покоятся на абсолютно гладком столе, как показано на рис. 17-11. Пружину сжимают на расстояние d , при этом бру-

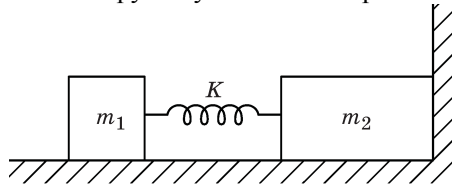


Рис. 17-11

сок m_2 упирается в стенку. Затем систему отпускают и она выходит из состояния покоя.

- (а) Найдите максимальное расстояние x , на которое отскочит брусок m_1 , прежде чем начнет двигаться брусок m_2 .
 (б) После того как брусок m_2 удалится от стенки, какова будет скорость центра масс и амплитуда A колебаний данной системы?
- 17.17.** Две шайбы воздушного хоккея ($M_1 \neq M_2$), скользят вдоль воздушного горизонтального желоба со скоростью v_0 . Они скреплены с помощью фиксирующей скобы, которая удерживает между ними в сжатом положении невесомую пружину с упругой постоянной K , как показано на рис. 17-12. Пружина сжимается на величину X от ее свободного состояния. Когда фиксирующую скобу резко отпускают, сжатая пружина заставляет шайбы разлететься в стороны друг от друга. Найти конечные скорости v_1 и v_2 шайб.

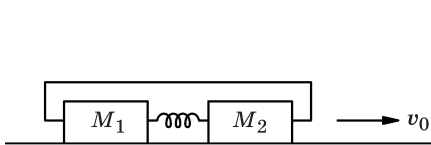


Рис. 17-12

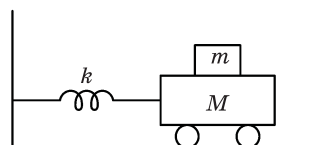


Рис. 17-13

17.18. Рассмотрим незатухающую горизонтальную механическую колебательную систему, состоящую из двух брусков и пружины (рис. 17-13).

Найдите такую максимальную амплитуду колебаний $x_{\text{макс}}$, чтобы верхний брусок не скользил по нижнему. Коэффициент трения между брусками равен μ .

17.19. Грузик массой 200 г колеблется вдоль горизонтальной направляющей под действием невесомой пружины. Его максимальная кинетическая энергия 10^6 эрг, а период колебаний составляет 1 с.

(а) Чему равна полная энергия системы E ?

(б) Чему равна упругая постоянная K пружины?

(в) Какова амплитуда A колебаний?

17.20. Вращающийся элемент турбореактивного двигателя, показанный на рис. 17-14, состоит из диска турбины (с лопатками), обладающего моментом инерции I_1 , и компрессора (с лопатками), имеющего момент инерции I_2 , соединенных вместе посредством вала с жесткостью на кручение k (крутящий момент на валу в k раз больше относительного угло-

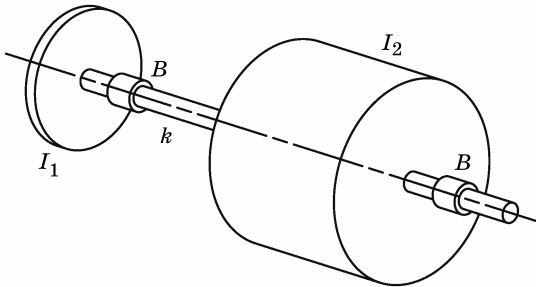


Рис. 17-14

вого смещения между турбиной и компрессором). (Буквой B обозначены подшипники вала.)

(а) Чему равна частота крутильных колебаний ν ротора турбины?

(б) Каково отношение амплитуд A_1/A_2 крутильных колебаний турбины и компрессора?

17.21. Положение флуоресцентного пятна луча на экране электронно-лучевого осциллографа часто определяется двумя гармоническими напряжениями, которые подаются на отклоняющие пластины по осям x и y , соответственно:

$$x = A_x \cos(\omega t + \delta_x),$$

$$y = A_y \cos(\omega t + \delta_y).$$

Нарисуйте и обсудите кривую, определяемую движениями флуоресцентного пятна для следующих случаев:

(а) $\delta_x = \delta_y$;

(б) $\delta_x = \delta_y + \pi/2$ и $A_x = A_y$;

(в) $\delta_x = \delta_y + \pi/2$ и $A_x \neq A_y$;

(г) $\delta_x = \delta_y - \pi/4$ и $A_x = A_y$;

(д) $\delta_x = \delta_y - \alpha$ и $A_x \neq A_y$.

17.22. Бифилярный маятник, показанный на рис. 17-15, состоит из стержня длиной L , массой M , подвешенного на двух тонких нитях длиной l , расстояние между которыми $d < L$. Найдите период T колебаний маятника для малых амплитуд, если

(а) стержень качается на нитях подобно обычному маятнику (рис. 17-15, а);

(б) стержень совершает вращательные колебания вокруг своего центра

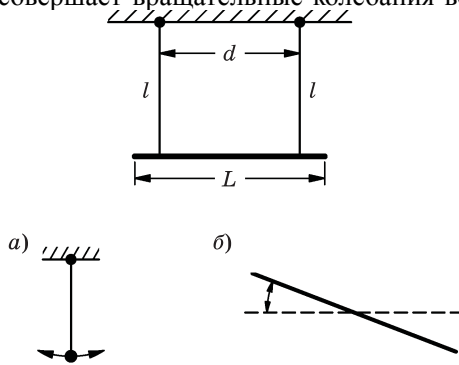


Рис. 17-15

масс (рис. 17-15, б).

17.23. В сплошном круглом цилиндре радиусом a просверлено отверстие радиусом $a/2$, идущее параллельно его оси на расстоянии $a/2$ от нее, как показано на рис. 17-16. Цилиндр устанавливают на горизонтальную плоскость, по которой он катится без проскальзывания. Найдите период малых колебаний T данного цилиндра относительно положения равновесия.

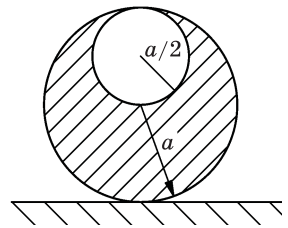


Рис. 17-16

17.24. Тележка массой M , установленная на роликах, трение в которых отсутствует, может совершать колебания в цилиндрическом желобе радиусом R с амплитудой $A \ll R$, как показано на рис. 17-17, а. Затем две тележки с

одинаковыми массами m , также установленные на небольших роликах, которые могут двигаться без трения, соединили сжатой невесомой пружиной с упругой постоянной K и поместили на горизонтальную поверхность, примыкающую к желобу с тележкой M , как показано на рис. 17-17, б. В тот момент времени, когда тележка массой M проходит дно желоба, сжатую пружину отпускают. Последующие фазы каждой четверти цикла колебаний тележки M показаны на рис. 17-17, в. Чему равна масса m ?

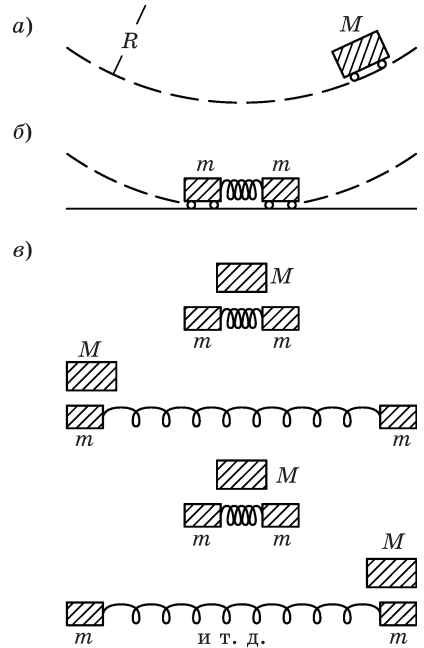


Рис. 17-17

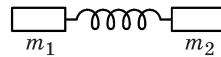


Рис. 17-18

17.25. Два тела на воздушной подушке,двигающиеся в воздушном желобе без трения, обладают массами m_1 и m_2 . Они соединены невесомой пружиной с упругой постоянной k , как показано на рис. 17-18. Тела разводят на расстояние A относительно состояния нерастянутой пружины, а затем отпускают.

- Найдите период колебаний T тел m_1 и m_2 .
- Сравните полученный результат с периодом колебаний для системы, состоящей только из одного колеблющегося тела. Какие можно найти физические концепции, характерные для относительного движения двух тел?
- Найдите энергию колебаний E .
- Каково распределение этой энергии между телами m_1 и m_2 ?

17.26. Простой маятник состоит из груза массой M на конце невесомого стержня длиной L , шарнирно подвешенного таким образом, чтобы при качании он имел возможность делать полный оборот (на 360°). Период маятника для малых колебаний составляет 2π с. Если маятник тщательно выставить вертикально вверх в (неустойчивом) положении равновесия, а затем дать небольшой толчок со скоростью 1 мм/с , то сколько времени T потребуется грузу, чтобы переместиться на расстояние 10 см ? (Предположим, что в этом случае справедливы обычные приближения малых колебаний «линейной системы», которые, конечно, несправедливы при движении маятника по полной дуге окружности.)

17.27. Один конец стержня крепится к центру поворотной платформы, которая может без трения вращаться в подшипниках качения вокруг вертикальной оси симметрии; другой конец стержня зажат неподвижно в верхней точке, через которую проходит ось системы, как показано на рис. 17-19. Стержень характеризуется постоянной момента кручения K , суммарный момент инерции системы I . Изначально поворотная платформа совершает незатухающие малые угловые гармонические колебания с максимальной амплитудой θ_0 .

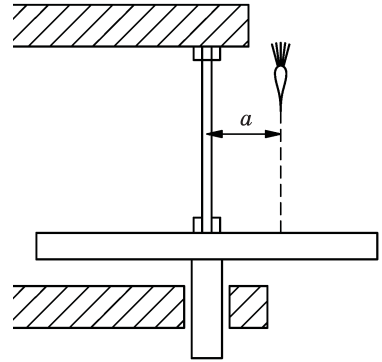


Рис. 17-19

На эту поворотную платформу вертикально вниз падает дротик от игры «Дартс» массой m на расстоянии a от ее оси в момент, когда поворотная платформа проходит через положение равновесия; острие иглы дротика практически мгновенно прочно вонзается в поверхность платформы. Найдите θ_0' — новую амплитуду колебаний платформы, пренебрегая любым вращением дротика вокруг своей оси и предполагая, что его толщина мала по сравнению с a .

17.28. Твердое тело массой M свободно насажено на направленную горизонтально ось, которая проходит на расстоянии d от его центра масс (ЦМ). Момент инерции относительно оси вращения равен I (трение в оси отсутствует).

- Напишите дифференциальное уравнение, описывающее изменение угла поворота тела θ со временем, при условии, что угол θ отсчитывается от равновесного положения тела.
- Если тело совершает малые колебания, такие, что можно положить, $\sin \theta \approx \theta$, то чему равен период этих колебаний?
- Если момент инерции твердого тела относительно его центра масс равен $I_{\text{ЦМ}}$, найдите выражение для периода малых колебаний как функцию d и $I_{\text{ЦМ}}$ и покажите что:

- имеются два значения d (скажем, d_1 и d_2), которые соответствуют данному периоду;
- период $T = 2\pi (d_1 + d_2)/g$, если выражать его через d_1 и d_2 ;
- период минимален, когда $d = \sqrt{I_{\text{ЦМ}}/M}$ (радиус инерции); найдите это минимальное значение периода.

17.29. Линейная пружина, находясь в свободном состоянии, имеет длину D , а когда на ее конце подвешен груз массой m , ее длина становится равной $D + A$. На груз, находящийся в покое, с высоты A падает другой груз такой же массы, прилипающий к первому. Найдите период и амплитуду

колебаний такой системы, а также максимальную высоту подъема (над первоначальным положением равновесия) для образовавшейся системы тел.

- 17.30.** На вертикальной пружине пренебрежимо малой массы подвешена пластина массой 20 г, на которой лежит грузик массой 5 г. Если оттянуть пружину, то система начнет совершать вертикальные простые гармонические колебания с периодом $\pi/3$ с. Затем груз массой 5 г заменяется другим — массой 25 г. На какое расстояние z от равновесного положения можно в этом случае отклонить пружину, чтобы после ее отпускания находящийся на ней груз не подпрыгнул?

Глава 18

Алгебра

См. «Лекции», т. I, гл. 22

Наиболее общим видом числа, которое удовлетворяет правилам элементарной алгебры, является *комплексное число*. Оно может быть записано в виде суммы *действительного* (или вещественного — положительного или отрицательного) и *мнимого чисел*. Мнимое число является вещественным (положительным или отрицательным числом), умноженным на мнимую единицу $i = \sqrt{-1}$ (вещественная единица равна $1 = \sqrt{+1}$).

(Комплексное число) $u =$ (Вещественное число) $x +$ (Мнимое число) iy ,

Любое алгебраическое уравнение должно оставаться справедливым при изменении знака перед i . Такая операция носит название *комплексного сопряжения*. Если $u = x + iy$, то комплексно сопряженным числом будет $u^* = x - iy$.

Правила алгебры, примененные к комплексным числам, приводят к следующим соотношениям.

I. $(a + ib) + (c + id) = (a + c) + i(b + d)$.

II. $(a + ib)(c + id) = (ac - bd) + i(ad + bc)$.

III. Величина $|u| = \sqrt{uu^*} = \sqrt{x^2 + y^2}$ называется *модулем* комплексного числа u .

Вещественное число, возведенное в мнимую степень, становится комплексным числом с модулем, равным единице. Если величина мнимой степени изменяется, то вещественная и мнимая части комплексного числа осциллируют по закону синуса и косинуса.

IV. $e^{i\theta} = \cos \theta + i \sin \theta$.

18.1. В уравнении $u + iv = (a + ib)(c + id)$ положим $b/a = \operatorname{tg} \alpha$, $d/c = \operatorname{tg} \beta$.

Используя вышеприведенную формулу II и формулы тригонометрии, покажите, что:

(а) $\sqrt{u^2 + v^2} = \sqrt{a^2 + b^2} \sqrt{c^2 + d^2}$;

(б) $v/u = \operatorname{tg}(\alpha + \beta)$.

18.2. Решите задачу 18.1 с использованием указанной выше формулы IV.

18.3. Покажите, что

$$\begin{aligned}\cos \theta &= (e^{i\theta} + e^{-i\theta})/2 \\ \sin \theta &= (e^{i\theta} - e^{-i\theta})/(2i)\end{aligned}$$

18.4. Покажите, что

$$(a + ib)/(c + id) = [ac + bd + i(bc - ad)]/(c^2 + d^2).$$

18.5. Величины $\operatorname{ch} \theta$ и $\operatorname{sh} \theta$ определяются формулами

$$\begin{aligned}\operatorname{ch} \theta &= (e^{\theta} + e^{-\theta})/2 \\ \operatorname{sh} \theta &= (e^{\theta} - e^{-\theta})/2\end{aligned}$$

и называются гиперболическим косинусом и синусом угла θ . Покажите, что

$$\begin{aligned}\cos(i\theta) &= \operatorname{ch} \theta, \\ \sin(i\theta) &= i \operatorname{sh} \theta, \\ \operatorname{ch}^2 \theta - \operatorname{sh}^2 \theta &= 1.\end{aligned}$$

18.6. Используя основную формулу дифференцирования

$$\frac{df(x)}{dx} = \lim_{\Delta x \rightarrow 0} \frac{f(x + \Delta x) - f(x)}{\Delta x},$$

покажите, что

$$\frac{de^{\alpha x}}{dx} = \alpha e^{\alpha x}.$$

18.7. (а) Путем последовательного дифференцирования или иным образом покажите, что e^x представляется бесконечным рядом

$$e^x = 1 + x + x^2/2! + x^3/3! + \dots$$

(б) Покажите, что $\cos x$ и $\sin x$ могут быть представлены в виде бесконечного ряда

$$\cos x = 1 - x^2/2! + x^4/4! - x^6/6! + \dots,$$

$$\sin x = x - x^3/3! + x^5/5! - x^7/7! + \dots$$

(Эти ряды весьма ценны при вычислении величин e^x , $\cos x$ и $\sin x$ для $x \ll 1$, хотя они сходятся для всех значений x .)

18.8. Найти полное алгебраическое решение уравнения

$$y = \sqrt[n]{1},$$

где n — целое число.

18.9. Используя свойства $e^{i\theta}$ и бином Ньютона, покажите, что

$$\cos(n\theta) = \cos^n \theta - \frac{n(n-1)}{2!} \cos^{n-2} \theta \sin^2 \theta \pm \dots$$

18.10. (a) Из соотношения $e^{i(\theta+\phi)} = e^{i\theta}e^{i\phi}$, получите тригонометрические формулы для косинуса и синуса суммы двух углов.

(б) Интерпретируйте геометрически результат умножения комплексного числа $Ae^{i\theta}$ на комплексное число $Be^{i\phi}$.

18.11. Используя данные из таблицы для последовательности квадратных корней из 11, найти (с точностью до трех знаков после запятой) $\log_{11} 2$ и $\log_{11} 7$.

r	$1/r$	$\sqrt[r]{11} = 11^{1/r}$
1	1,00000	11,0000
2	0,50000	3,3166
4	0,25000	1,8212
8	0,12500	1,3495
16	0,06250	1,1617
32	0,03125	1,0778
64	0,01563	1,0382
128	0,00781	1,0189

(Проверьте свой результат путем вычисления $\log_a N = \log_a b \cdot \log_b N$, где a и b — любые два основания логарифмов.)

Глава 19

Вынужденные колебания с затуханием

См. «Лекции», т. I, гл. 23, 24 и 25

- 19.1.** Изобразите графически переходные процессы, протекающие по инерции
(а) в незатухающем колебательном контуре,
(б) колебательном контуре со слабым затуханием,
(в) колебательном контуре с затуханием выше критического.
Все колебательные процессы начинаются одновременно из состояния покоя с одинаковой начальной амплитудой.
- 19.2.** Чему равна резонансная частота f индуктивно-емкостной цепи, имеющей в своем составе индуктивность 10 мГн и емкость 1 пФ?
- 19.3.** Найдите импеданс Z цепи, состоящей из катушки индуктивностью 1,00 Гн, соединенной последовательно с сопротивлением 377 Ом, на частоте 60 Гц.
- 19.4.** Катушка индуктивности имеет сопротивление 20 Ом. Когда катушку подключили к источнику переменного напряжения с частотой 60 Гц и среднеквадратическим значением напряжения 10 В, было обнаружено, что через катушку протекает ток со среднеквадратическим значением 0,3А. Найдите ее индуктивность L .
- 19.5.** Последовательная индуктивно-емкостная цепь имеет резонансную частоту $1,0 \cdot 10^4$ Гц. Если $L = 7,6 \cdot 10^{-2}$ Гн, то чему должна быть равна емкость C ?
- 19.6.** Найдите импеданс \hat{Z} цепи с индуктивностью L и емкостью C в зависимости от угловой частоты ω , когда они соединены
(а) последовательно,
(б) параллельно.
Проведите качественное обсуждение ответов.
- 19.7.** Два конденсатора с емкостями C_1 и C_2 соединены
(а) последовательно,
(б) параллельно.
Найдите действующие емкости C для этих случаев.

19.8. Две катушки индуктивности L_1 и L_2 соединены

- (а) последовательно,
 (б) параллельно.

Найдите результирующие значения индуктивности L для этих случаев.

19.9. Резонансный контур состоит из индуктивностей L и $3L$ и конденсаторов C и $3C$, которые все соединены

- (а) последовательно,
 (б) параллельно.

Найдите резонансную частоту ω_0 для этих случаев.

19.10. Постоянная времени последовательной резистивно-емкостной цепи равна RC ; постоянная времени последовательной индуктивно-емкостной цепи равна \sqrt{LC} . Получите выражение для постоянной времени T резистивно-индуктивной последовательной цепи, исходя из соображений размерности.

19.11. На основе собственного опыта оцените приблизительно добротность Q U -образного камертона с частотой 1000 Гц?

19.12. (а) Покажите, что дифференциальное уравнение движения груза массой m на пружине с упругой постоянной k при наличии силы трения $-m\gamma v$ имеет вид $d^2x/dt^2 + \gamma dx/dt + \omega_0^2 x = 0$, где $\omega_0^2 = k/m$.

(б) Решите это уравнение (с использованием комплексных переменных), сделав подстановку решения в виде $x = e^{\alpha t}$, а также покажите, что общее решение при условии $\gamma < 2\omega_0$ имеет вид

$$x = e^{-\gamma t/2} (A \cos \omega t + B \sin \omega t), \text{ где } \omega = \sqrt{\omega_0^2 - \gamma^2/4}.$$

(в) Какой вид будет иметь общее решение, если $\gamma > 2\omega_0$?

(г) При $t = 0$ положение и скорость груза массой m равны $x = x_0$ и $\dot{x} = v_0$.

Найдите коэффициенты A и B .

19.13. Тело на воздушной подушке при движении теряет свою скорость главным образом из-за сопротивления трения в находящемся под ним тонком воздушном слое, который поддерживает это тело. Эта сила торможения, обусловленная вязкостью, пропорциональна скорости.

(а) Составьте и решите дифференциальное уравнение движения тела на плоской поверхности.

(б) Пусть, что x_0 и v_0 — начальные значения положения и скорости тела на воздушной подушке, движущегося в направлении x . Выразите скорость тела как функцию времени $v(t)$ и как функцию расстояния $v(x)$.

19.14. В тело на воздушной подушке встроены магниты. При движении тела они генерируют вихревые токи, магнитное поле которых оказывает обратное воздействие на магниты, в результате чего на тело действует замедляющая сила $F = -\gamma v$, пропорциональная скорости.

Если тело начинает двигаться из состояния покоя, найдите (в зависимости от угла наклона желоба, по которому движется тело, и коэффициента торможения γ магнита):

- (а) конечную скорость v_{∞} , которую способно развить тело;
- (б) скорость тела $v(t)$ в зависимости от времени;
- (в) положение тела $x(t)$ в зависимости от времени.

19.15. Один из пассажиров океанского лайнера случайно роняет фотокамеру массой 1,0 кг. Камера начинает падать с нулевой начальной скоростью с высоты 20 м над поверхностью воды. При ударе о воду камера теряет половину своей кинетической энергии. После входа в воду она подвергается действию выталкивающей силы, равной половине ее веса, и силы сопротивления воды, пропорциональной ее скорости в воде с коэффициентом пропорциональности $1/3$ кг/с. Насколько глубоко сможет погрузиться камера через 3,0 с после момента ее касания поверхности воды?

19.16. Точка подвеса математического маятника, имеющего период собственных колебаний 1,00 с, движется в поперечном направлении в соответствии с синусоидальным законом движения с амплитудой 1,00 см и периодом 1,10 с. С какой амплитудой будут совершать колебания груз маятника в стационарном режиме?

19.17. Тело массой 5,0 кг колеблется с малым затуханием, которым можно пренебречь. Подвешенное на пружине тело совершает 10 полных колебаний за 10,0 с, затем приводится в действие маленький магнитный замедлитель движения и появляется затухание, пропорциональное скорости движения. В результате амплитуда колебаний уменьшается за 10 полных циклов от 0,2 м до 0,1 м.

- (а) Составьте уравнение движения тела, причем коэффициенты перед членами d^2x/dt^2 , dx/dt и x выразите в численном виде, воспользовавшись системой единиц СИ.
- (б) Чему равен новый период колебаний тела T ?
- (в) За сколько колебаний N (начиная с цикла с амплитудой 0,2 м) амплитуда уменьшается до:
 - (1) 0,05 м?
 - (2) 0,02 м?
- (г) Чему приблизительно равна максимальная скорость диссипации энергии P в течение первого колебания?

19.18. Пластины конденсатора емкостью C , первоначально заряженного до напряжения V_0 , в момент времени $t = 0$ соединяют через сопротивление R . Составьте дифференциальное уравнение, описывающее изменение во времени напряжения на конденсаторе $V(t)$. Решите это уравнение, предполагая, что существует экспоненциальное решение.

9.19. Незаряженный конденсатор C , «чистая» катушка индуктивности L и переменное сопротивление R подключены к батарее с разностью потенциалов V , как показано на рис. 19-1. Напишите уравнение, характеризующее данную цепь, и постройте график зависимости напряжения на конденсаторе от времени после того, как был замкнут переключатель S . Постройте этот график для различных значений R .

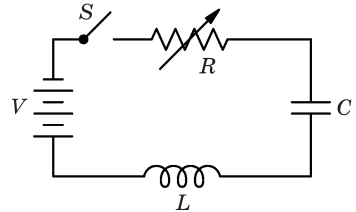


Рис. 19-1

19.20. (а) Запишите и решите дифференциальные уравнения, описывающие стационарный ток в цепи, который течет, когда синусоидальное напряжение с угловой частотой ω прикладывают

- (1) к индуктивности L ,
- (2) емкости C .

(б) Воспользуйтесь результатами, полученными в части (а), чтобы найти (комплексный) импеданс:

- (1) Z_L катушки индуктивности L ,
- (2) Z_C конденсатора C .

19.21. Нарисуйте векторную диаграмму (в том числе для $\hat{V}_{in} = \hat{V}_0, \hat{I}, \hat{V}_R, \hat{V}_L, \hat{V}_C$) для последовательной RLC -цепи, работающей на резонансной частоте.

19.22. Нарисуйте векторную диаграмму токов и напряжений при напряжении $V_0 \cos(\omega t)$, приложенном к следующим цепям:

- (а) последовательно соединенные сопротивление R и катушка индуктивности L ;
- (б) параллельно соединенные сопротивление R и индуктивность L ;
- (в) последовательно соединенные сопротивление R и конденсатор C ;
- (г) параллельно соединенные сопротивление R и конденсатор C .

19.23. Схема, показанная на рис. 19-2, имеет следующие характеристики:

$$V(t) = V_0 \cos(\omega t), \quad V_0 = 10 \text{ В}, \quad \omega = 25 \cdot 10^3 \text{ рад/с}, \quad L = 4 \cdot 10^{-3} \text{ Гн}, \quad C = 4 \cdot 10^{-7} \text{ Ф}, \\ R = 160 \text{ Ом}.$$

Рассмотрите стационарные колебания в этой цепи.

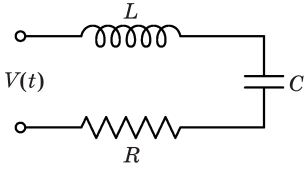


Рис. 19-2

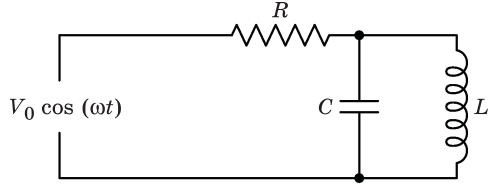


Рис. 19-3

- (а) Чему равна амплитуда тока I_0 ?
- (б) Каков фазовый сдвиг δ тока по отношению к приложенному напряжению возбуждения?
- (в) Нарисуйте векторную диаграмму, показывающую напряжения на резисторе, емкости и индуктивности.

19.24. В схеме, показанной на рис. 19-3, частота возбуждения $\omega = 1/\sqrt{LC}$.

- (а) Чему равен ток I_R , протекающий через сопротивление R ?
- (б) Чему равен максимальный ток I_L , протекающий через L ?

19.25. Последовательная RLC -цепь, показанная на рис. 19-4, содержит генератор, подающий переменное напряжение фиксированной частоты ω . Конденсатор является переменным.

- (а) Для значений $C = C_1$ ток I_1 оказывается в фазе с приложенным напряжением. Чему равна емкость C_1 , выраженная через величины L и ω ?
- (б) Когда емкость конденсатора изменили на $C = C_2$, оказалось, что данное напряжение вызывает ток I_2 с фазовым сдвигом 45° . Чему равна емкость C_2 , выраженная через C_1 , R и ω ?
- (в) Чему равно отношение I_1/I_2 ?

19.26. В схеме, показанной на рис. 19-5, первоначально переключатель был в положении A , а в момент времени $t = 0$ его переключили в положение B . Определите через длительный промежуток времени

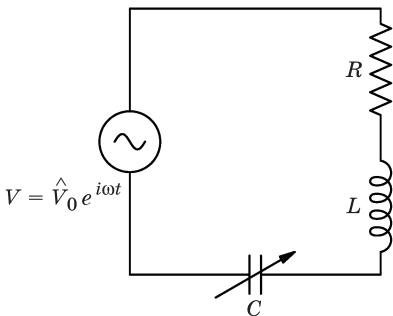


Рис. 19-4

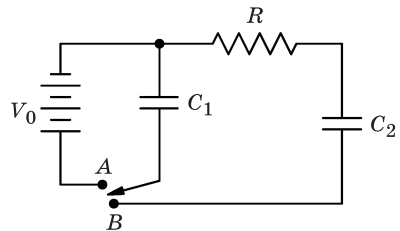


Рис. 19-5

- (а) какое количество энергии ΔE рассеялось на резисторе в виде тепла;
 (б) чему равны остаточные напряжения V_1 и V_2 , если таковые имеются, на конденсаторах.

19.27. В схеме, показанной на рис. 19-6, переключатель S находится в разомкнутом состоянии в течение времени $t < 0$, пока конденсатор не заряжен.

- (а) После того как переключатель замкнули в положение A , сколько времени t потребовалось для того, чтобы напряжение на конденсаторе достигло величины $8,0$ В?
 (б) В тот момент времени, когда напряжение на конденсаторе C достигнет $8,0$ В, переключатель замыкают в положение B . Чему будет равно начальное значение тока I_0 , который начнет протекать через L ?

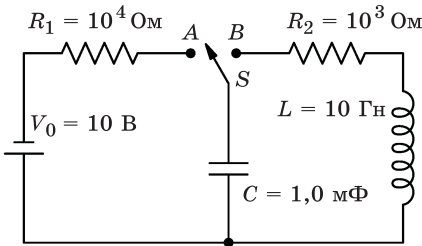


Рис. 19-6

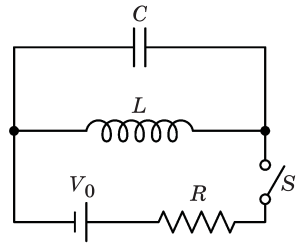


Рис. 19-7

19.28. В схеме, показанной на рис. 19-7, переключатель S первоначально замкнут и в цепи течет постоянный ток $I = V_0/R$. В момент времени $t = 0$ переключатель S внезапно размыкается. Найти максимальное напряжение $V_{\text{макс}}$, которое затем будет наблюдаться на конденсаторе.

19.29. Рассмотрим схему, показанную на рис. 19-8, с выключателем, первоначально находящимся в положении A . Если переключатель внезапно замкнуть в положение B , чему будет равно максимальное напряжение $V_{\text{макс}}$, которое появится на конденсаторе?

19.30. Чтобы уменьшить «гул» напряжения с частотой 120 Гц, снимаемого с выпрямительного устройства усилителя, используется «сглаживающий фильтр». В простейшем случае он состоит из резистора, последовательно соединенного с конденсатором (рис. 19-9). Если приложенное напряжение имеет постоянную компоненту $V_{\text{пост}}$ и переменную компоненту

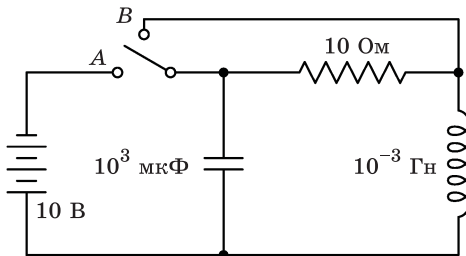


Рис. 19-8

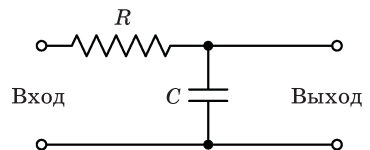


Рис. 19-9

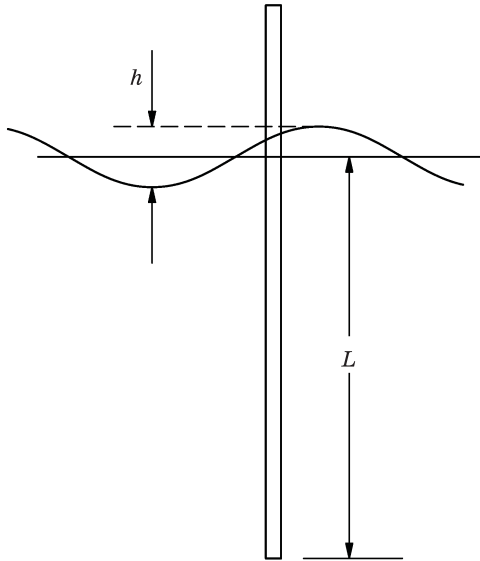


Рис. 19-10

$V_{\text{пер}}$ с частотой 120 Гц, найдите соответствующие напряжения $V'_{\text{пост}}$ и $V''_{\text{пер}}$ на выходных клеммах конденсатора для $R = 10^3$ Ом и $C = 10$ мкФ.

19.31. Столбовидный буй постоянного поперечного сечения плавает в вертикальном положении. В отсутствие океанских волн длина погруженной части буя равна L , как показано на рис. 19-10.

(а) Чему равна амплитуда A вертикального движения буя (по отношению к усредненной поверхности океана) при наличии в океане синусоидальных волн высотой h (высота волны от гребня до самой ее низшей точки) и периодом T ? (Пренебречь трением буя о жидкость и его не-вертикальными движениями.)

(б) Если буй в спокойном состоянии погружен в воду на 30,5 м, высота волн равна 3,05 метра и они набегают с периодом 5 с, чему равна амплитуда движений буя?

(в) Какова должна быть общая длина D буя для того, чтобы гребни волн в части (б) задачи лишь достигали верхушки буя?

19.32. На рисунке 19-11 показан вращающийся элемент высокоскоростного центробежного газового компрессора. Рабочее колесо с крыльчаткой массой M жестко установлено на валу пренебрежимо малой массы и расположено посередине между подшипниками B . Когда компрессор не работает, ЦМ рабочего колеса расположен эксцентрично по отношению к осевой линии между подшипниками и смещен относительно нее на небольшую величину e (на рис. 19-11 это смещение намеренно показано преувеличенным). Жесткость упругого изгиба вала равна k (k — это

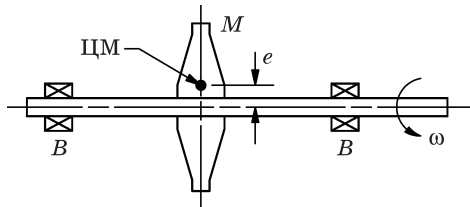


Рис. 19-11

коэффициент пропорциональности между приложенной к центру вала поперечной силой F и вызванным в этой точке поперечным смещением вала $x = F/k$).

- (а) Чему равна круговая частота ω_0 деформационных колебаний системы, когда машина не работает?
- (б) Какова величина стрелы прогиба x вала, когда машина работает с угловой скоростью ω ?
- (в) Какова величина критической скорости $\omega_{кр}$, при которой произойдет поломка компрессора?
- (г) Чему будет равна критическая скорость $\omega'_{кр}$, если эксцентриситет уменьшить в два раза?
- (д) Если в результате быстрого ускорения колеса с переходом через критическое значение скорость достигнет значительно больших величин без поломки компрессора, то где будет расположен центр масс по отношению к осевой линии между подшипниками?

19.33. Затухающий гармонический осциллятор представляет собой груз массой m , подвешенный на пружине с упругой постоянной k в среде, которая оказывает демпфирующее действие $-m\gamma dx/dt$.

- (а) В случае колебательных движений со слабым затуханием найдите комплексные решения для положения груза $x = x(t)$ в любой момент времени $t > 0$ при следующих условиях, накладываемых на движущую силу F :

$$1) F = \begin{cases} 0, & \text{для } t < 0 \\ F_0, & \text{для } t \geq 0; \end{cases}$$

- 2) нет движущей силы, но при $t = 0$ груз m осциллятора в результате удара получает импульс $J = J_x$;

$$3) F = \begin{cases} 0, & t < 0 \\ F_0 \cos(\omega_0 t), & t \geq 0, \quad \omega_0 = \sqrt{k/m}. \end{cases}$$

- (б) Если осциллятор приводится в действие синусоидальной силой $F = F_0 \cos(\omega t)$ и рассматривается длительный интервал времени, то чему равна частота ω^* , при которой амплитуда колебаний осциллятора достигнет максимального значения?

Примечание. Помните, что полное решение содержит как устойчивое состояние, так и переходные движения; постоянные интегрирования определяются из начальных условий.

19.34. Тело массой m , закрепленное двумя одинаковыми горизонтальными пружинами с упругими постоянными $k/2$, как показано на рис. 19-12, скользит по поверхности стола. Предполагается, что коэффициент трения постоянен и равен μ . Тело смещают на расстояние A вправо от центральной точки (с координатой $x = 0$) и затем отпускают.

(а) Составьте дифференциальное уравнение движения тела и решите его для временного интервала $0 < t < \pi\sqrt{m/k}$.

(б) Предположим, что расстояние A таково, что тело приходит в состояние покоя на некотором расстоянии B от центра ($x = \pm B$) после пересечения центральной точки точно N раз.

1) Чему равны возможные значения B ?

2) Найдите A для $N = 0, 1, 2, \dots$

19.35. Частица массой m с электрическим зарядом q находится в переменном электрическом поле, направленном вдоль оси x , $E = E_0 \cos(\omega t)$. Частица также испытывает силу $F_\alpha = +\alpha d^3x/dt^3$, пропорциональную третьей производной от ее координаты x . Найдите амплитуду A и фазу δ колебаний частицы в стационарном состоянии. Эта модель дает приближенное описание заряженной частицы, рассеивающей излучение.

19.36. На схеме, показанной на рис. 19-13, представлено то, что называется *релаксационным генератором*. Он состоит из неоновой лампы, подключенной параллельно конденсатору, который заряжается через резистор от источника постоянного напряжения. Неоновая лампа имеет бесконечное сопротивление до тех пор, пока напряжение на ней меньше 60 В. Если напряжение достигает или превышает это значение, то в неоновой лампе происходит пробой, ее сопротивление резко уменьшается, разряжая конденсатор. Неоновая лампа затем гаснет и возвращается к своему состоянию с бесконечно большим сопротивлением. Если $C = 0,10$ мкФ, $R = 10^6$ Ом, $V_0 = 80$ В, найдите частоту f , с которой будет мигать неоновая лампа.

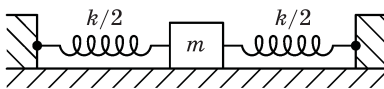


Рис. 19-12

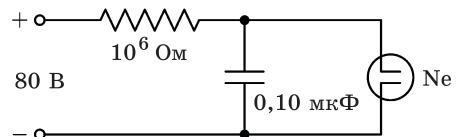


Рис. 19-13

19.37. Во многих случаях желательно иметь электронную схему, которая будет «дифференцировать» функцию по времени. Простая схема для достижения этого показана на рис. 19-14.

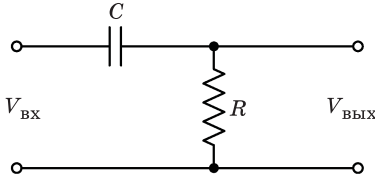


Рис. 19-14

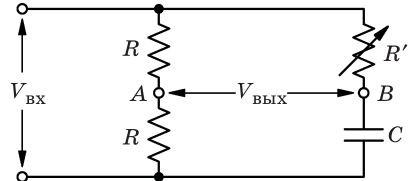


Рис. 19-15

- (а) Показать, что выходное напряжение этой схемы (при условии, что в выходной цепи протекает пренебрежимо малый ток и $|V_{\text{ВЫХ}}| \ll |V_{\text{ВХ}}|$) равно $V_{\text{ВЫХ}}(t) = RC \frac{dV_{\text{ВХ}}(t)}{dt}$.
- (б) Найдите $V_{\text{ВЫХ}}$ для случая, когда $V_{\text{ВХ}} = V_0 \cos(\omega t)$, и таким образом проверьте обоснованность результатов, полученных в части (а) данной задачи, для функциональной зависимости от частоты ω .

19.38. Придумайте простую схему, которая будет «интегрировать» функцию, и обсудите ее свойства.

19.39. В электронных схемах зачастую желательно обеспечить синусоидальное напряжение постоянной амплитуды, но с изменяемой фазой. Схема, выполняющая эту операцию, называется *фазосдвигающей цепью*. Одним из примеров такой цепи показан на рис. 19-15. Покажите, что амплитуда напряжения $U_{\text{ВЫХ}}$ между клеммами *A* и *B* равна половине амплитуды входного напряжения $U_{\text{ВХ}}$, а фазу δ можно регулировать от 0° до 180° путем изменения сопротивления R_0 .

Подсказка. При решении полезно построить векторную диаграмму.

19.40. Система зажигания бензинового двигателя показана на рис. 19-16. Когда контакты прерывателя *S* замкнуты, напряжение батареи V_0 возбуждает ток в первичной обмотке катушки, которая обладает индуктивностью L и внутренним сопротивлением R . Вторичная обмотка катушки имеет в 100 раз больше витков, чем первичная, так что напряжение, подведенное к цепи свечи зажигания *P* в 100 раз больше напряжения, приложенного к первичной обмотке катушки. Контакты прерывателя первичной цепи открываются распределительным кулачком (который не показан) каждый раз, когда бегунок трамблера *D* находится в контакте с одной из свечей зажигания, как показано на рисунке; *C* — емкость конденсатора, подклю-

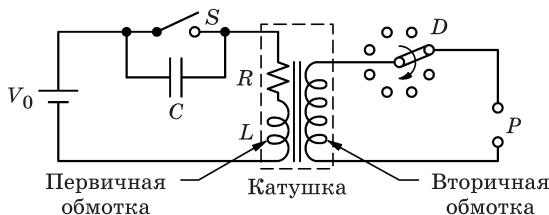


Рис. 19-16

ченного к прерывателю. Типичные значения параметров данной схемы: $V_0 = 12$ В, $C = 0,25$ мкФ, $R = 6$ Ом, $L = 2$ мГн.

- (а) Если двигатель имеет восемь цилиндров, работает со скоростью вращения вала 4200 об./мин, а контакты прерывателя разомкнуты в течение 30% времени, то чему равен ток I в первичной обмотке катушки зажигания в момент, когда контакты прерывателя разомкнуты? Предположим, что каждый раз при возникновении искры токи в системе затухают до нуля прежде, чем контакты прерывателя цепи снова замкнутся. Также следует помнить, что зажигание в каждом цилиндре происходит во время каждого 2-го оборота вала двигателя.
- (б) При размыкании контактов прерывателя цепи чему равно максимальное напряжение $V_{\text{макс}}$, которое будет возникать на контактах зазора свечи зажигания, если на ней не возникла искра?
- (в) Сколько времени t проходит между размыканием контактов прерывателя первичной цепи и появлением максимального напряжения на контактах свечи зажигания?

19.41. Рассчитайте скорость V автомобиля, при которой несбалансированное колесо начнет подпрыгивать, отрываясь от земли. Как показано на рис. 19-17, W_1 представляет собой часть веса автомобиля, поддерживаемого данным колесом; W_2 является неподдрессоренной массой (колесо + шина + тормоз в сборе + и т. д.); W_3 является несбалансированной массой, которая, как предполагается, очень мала по сравнению с W_2 и может быть расположена в протекторе шины радиусом R (например, W_3 может быть массой резины, которая стерлась в том месте шины, на котором произошло аварийное торможение колеса юзом). На рисунке обозначено: K — упругая постоянная системы подвески, определяемая выражением $K = W_1 / \delta_1$, где δ_1 — статический прогиб ступицы колеса по отношению к раме автомобиля; k — упругая постоянная шины, определяемая выражением $k = (W_1 + W_2) / \delta_2$, где δ_2 — статический прогиб ступицы колеса по отношению к дороге. (Пренебрегите влиянием амортизаторов и небольшим вертикальным перемещением автомобильного кузова, так как для обычных автомобилей при решении данной задачи эти факторы оказываются несущественными.) Возьмем следующие типичные численные значения:

$$W_1 = 340 \text{ кг}; W_2 = 34 \text{ кг}; W_3 = 57 \text{ г}; \\ R = 0,35 \text{ м}; \delta_1 = 152,4 \text{ мм}; \delta_2 = 38,1 \text{ мм}.$$

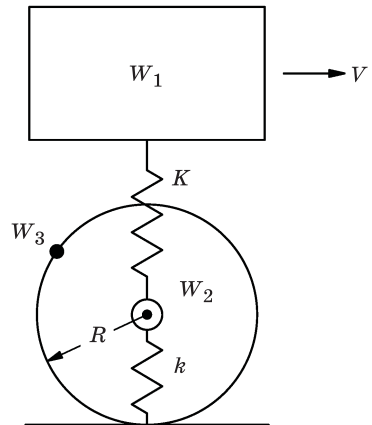


Рис. 19-17

Глава 20

Геометрическая оптика

См. «Лекции», т. I, гл. 26 и 27

20.1. В обычном плоском зеркале наше изображение оказывается перевернутым справа налево, т. е. изображение правой руки выглядит, как левая рука. Почему зеркало не переворачивает еще все и вверх ногами? Что действительно переворачивается зеркалом?

20.2. Пешеход идет по дороге со скоростью 1,5 м/с, а по вспаханному полю (рис. 20-1) — со скоростью 0,9 м/с. Он вышел из точки A , находящейся на расстоянии 42 м от стены, и направляется в точку B , расположенную к югу вдоль стены на расстоянии 36 м от дороги, идущей вдоль края поля.

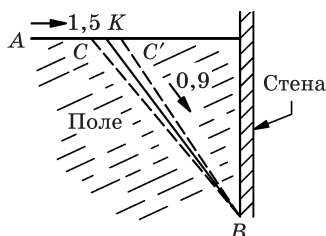


Рис. 20-1

- (а) Если пешеход идет по дороге до точки K , а затем по полю по прямой линии до точки B , то чему должна быть равна длина пути AK , чтобы он достиг точки за кратчайшее время?

Примечание. Можно предположить, что к этой задаче приложим закон преломления. Тем не менее при наличии достаточной смелости попытайтесь решить ее без такого предположения, а потом проверьте, оправдывается ли оно.

- (б) Чему равно минимальное время $T_{\text{мин}}$, затрачиваемое на преодоление всего пути?
- (в) Какое время потребуется пешеходу для преодоления альтернативных маршрутов ACB и $AC'B$, если $CK = KC' = 3$ м?

20.3. Узкий пучок света от источника S падает по нормали на экран, расположенный на расстоянии 1 м от источника, и попадает в точку P , как показано на рис. 20-2. На пути луча помещается пластина из оргстекла толщиной 0,2 м (показатель преломления оргстекла 1,5) так, что угол между направлением распространения пучка и плоскостью пластины составляет 30° .

- (а) Найдите боковое смещение луча PP' на экране.

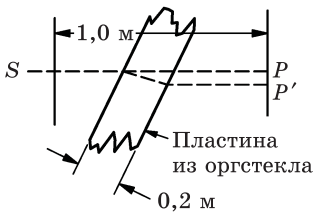


Рис. 20-2

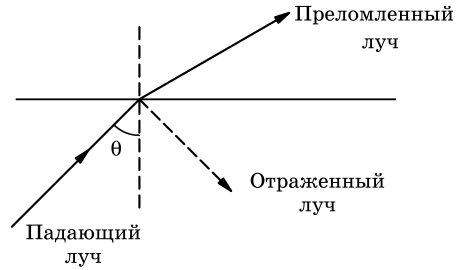


Рис. 20-3

(б) Найдите увеличение времени прохождения лучом пути $t_{SP'} = t_0 + \Delta t$ по сравнению с временем, необходимым для прохождения первоначального пути $t_{SP} = t_0$ в воздухе.

- 20.4.** Голодный спортсмен обнаружил круглую, 80 см в диаметре, бочку для сбора дождевой воды; высота воды составляет 100 см. При этом он заметил рыбу, плавающую у стенки бочки вблизи диаметрально противоположной от него точки. Рыба находится на некоторой глубине между дном и верхним срезом бочки; оптический луч от рыбы до глаза спортсмена выходит из воды в точке на оси бочки, составляя угол 60° с вертикалью. Если глаз человека находится прямо над краем бочки, то под каким углом θ к этой линии наблюдения должен выстрелить спортсмен из ружья, чтобы попасть прямо в рыбу (отклонением пули в сторону при попадании ее в воду можно пренебречь.)
- 20.5.** Хорошо известно, что когда свет переходит из одной прозрачной среды в другую, то не все лучи испытывают преломление; некоторая их часть отражается (рис. 20-3), а весьма малая доля (если таковая вообще есть) поглощается или рассеивается. Что происходит, когда пучок света падает на поверхность раздела двух сред под большим углом к нормали, проходя вначале через более плотную в оптическом отношении (имеющую больший показатель преломления) среду? Обсудите и начертите схему хода лучей для различных углов.
- 20.6.** Два плоских зеркала пересекаются друг с другом так, чтобы образовался идеальный внутренний прямой угол; при этом линия пересечения зеркал ориентирована по вертикали. Постройте схему хода лучей для того, чтобы объяснить, почему в таком зеркале мы «видим себя так, как другие видят нас».
- 20.7.** Три взаимно перпендикулярных зеркала пересекаются так, что между ними образовался внутренний прямой угол. Луч света, попадающий на одно из зеркал, может отразиться от него в одном или двух других зеркалах. Покажите, что после того, как произошли все отражения (при условии, что зеркала являются очень протяженными), луч будет иметь направление, точно противоположное первоначальному, но с боковым

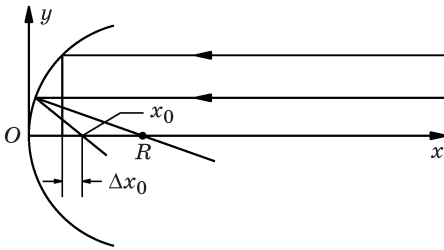


Рис. 20-4

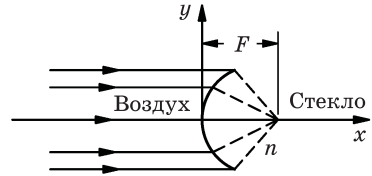


Рис. 20-5

смещением. Знаете ли вы о практическом применении такого «углового отражателя»?

20.8. Пучок параксиальных (параллельных оси и идущих близко к ней) световых лучей падает на вогнутое сферическое зеркало радиусом R , как показано на рис. 20-4.

(а) Найти положение фокальной точки $x_0 = x_0(R)$ для случая $y \ll R$.

(б) Для $r/R = 0,2$ (*примечание:* соотношение $y \ll R$ больше не соблюдается) найдите точку изображения $x = x_0 + \Delta x_0$ и определите значение $\Delta x_0/x_0$ относительного коэффициента сферической aberrации зеркала.

Подсказка. $(1 - a^2)^{-1/2} \approx 1 + a^2/2$.

20.9. Солнечный диск виден из точки на Земле под углом, равным примерно $32'$. Найдите положение x и диаметр D изображения Солнца, формируемого вогнутым сферическим зеркалом радиусом $r = 400$ см.

20.10. 200-дюймовый телескоп Гейла, используемый в одном из некоторых оптических устройств, имеет фокусное расстояние 160 м. Какова разница x между положением фокальной плоскости, где наблюдаются отдаленные звезды, и плоскостью наблюдения

(а) Луны;

(б) искусственного спутника, находящегося от Земли на расстоянии 300 км?

20.11. Параллельный пучок света, распространяющийся в воздухе, собирается в фокусе преломляющей поверхности, которая ограничивает область с показателем преломления n , как показано на рис. 20-5 (y является расстоянием по нормали от точек поверхности до оси x).

(а) Найдите правильную форму этой поверхности.

(б) Линзы часто делают сферическими. При каких условиях это приемлемо?

20.12. Внешний диаметр стеклянной капиллярной трубки равен D , показатель ее преломления n . Если смотреть на трубку со стороны, то кажется, что маленькое капиллярное отверстие имеет диаметр d' . Чему в действительности равен диаметр трубки d ?

- 20.13. Стекланный шар радиусом 2 см имеет коэффициент преломления $n = 1,5$. Если точечный источник света помещен в 12 см от центра шара, где будет формироваться изображение?

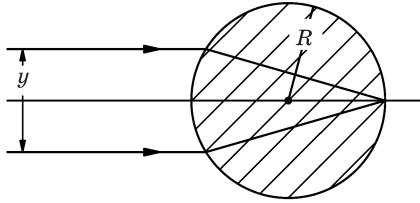


Рис. 20-6

- 20.14. В результате калибровки фотометрического прибора необходимо определить, что два параллельных луча света точно проходят на определенном расстоянии y друг от друга. Для этого оба луча направляют нормально и симметрично на стекланный стержень радиусом R с коэффициентом преломления $n = 1,6$, а затем расстояние между лучами юстируется таким образом, чтобы они фокусировались в точке на противоположном краю стержня, как показано на рис. 20-6. Чему равно это расстояние y , выраженное через радиус R ?

- 20.15. На рисунке 20-7 показан источник света S и точка P — его изображение, полученное с помощью линзы, $\overline{SC} = \overline{CP} = 1$ м, $\overline{AC} = \overline{BC} = 0,1$ м. Линза ACB имеет на краях толщину 3 мм. Если луч проходит путь SCP за то же время, что и расстояния SAP и SBP , то какова толщина линзы d посередине (в точке C)? (Показатель преломления стекла 1,6.)

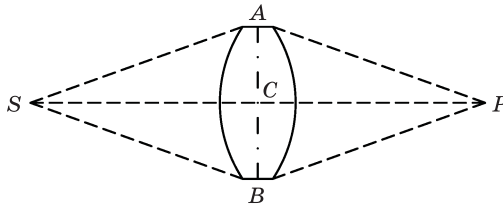


Рис. 20-7

- 20.16. Линза с фокусным расстоянием F дает действительное изображение отдаленного объекта, которое рассматривается через увеличительное стекло с фокусным расстоянием f . Чему равно угловое увеличение системы M , если глаз во время просмотра сфокусирован на бесконечность?
- 20.17. Две тонкие линзы L и L' с фокусным расстоянием f и f' находятся на расстоянии D друг от друга. Найдите эквивалентное фокусное расстояние F этой комбинации линз и расстояния A и A' от главных плоскостей до линз L и L' .

20.18. Нормальный человеческий глаз может сфокусироваться на объектах, расположенных на расстоянии от 25 см до бесконечности. Прямо перед глазом расположена простая тонкая увеличивающая линза с фокусным расстоянием $F = +5$ см.

- (а) Между какими двумя предельными положениями должен быть расположен рассматриваемый объект, чтобы его было ясно видно?
 (б) Определите угловое увеличение M системы для каждого из этих положений.

20.19. Телеобъектив состоит из положительной линзы с фокусным расстоянием $f_1 = 30$ см и отрицательной линзы с фокусным расстоянием $f_2 = -10$ см; расстояние между обеими линзами 27,5 см, как показано на рис. 20-8.

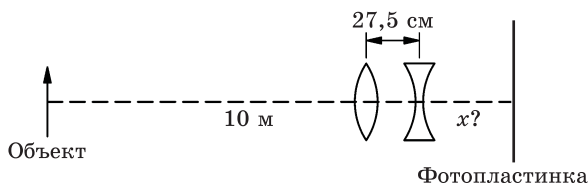


Рис. 20-8

- (а) Найдите положение x фотопластины, на которой будет сфотографирован объект, находящийся перед первой линзой на расстоянии 10 м?
 (б) Постройте диаграмму хода лучей.

20.20. У простого астрономического телескопа имеется объективная линза диаметром 4 см с фокусным расстоянием 10 см, а также глазная линза (хрусталик) с фокусным расстоянием 2 см. Две линзы размещены на общей оси в 12 см друг от друга. Телескоп должен использоваться для наблюдения звезд, имеющих угловое отклонение от оптической оси, равное $5,7^\circ$ ($\text{arctg } 0,1$). Каков должен быть радиус кривизны r глазного хрусталика, чтобы он собирал весь свет, проходящий через объектив?

Примечание. Этот недостаток можно исправить, поместив в фокальной плоскости дополнительную «полевую линзу».

20.21. Светящийся диск диаметром D располагается перпендикулярно к оси выпуклой линзы, а его действительное изображение фокусируется на фиксированном экране, как показано на рис. 20-9. Когда диск находится

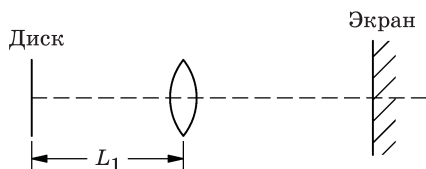


Рис. 20-9

на расстоянии L_1 от линзы, диаметр его изображения d_1 . Затем диск перемещают ближе к линзе на расстояние L_2 от нее; экран также перемещают, чтобы повторно сфокусировать изображение диска. Диаметр нового изображения d_2 .

- (а) Что больше — $d_1 > d_2$ или $d_2 > d_1$?
 (б) Для формирования изображения во втором случае экран должен перемещаться в направлении линзы либо в противоположную сторону от нее?
 (в) Чему равно фокусное расстояние F данной линзы?

20.22. Пучок света сходится в некоторой точке P , как показано на рис. 20-10. Чтобы получить изображение в новой точке P' , нужно в точке Q , расположенной на оси, поместить дополнительную отражающую поверхность. Определите форму требуемой поверхности. Пусть расстояние $\overline{QP'} = D$, а $\overline{QP} = d$. Обратите внимание, что необходимо рассмотреть два случая, когда зеркало перехватывает лучи:

- (а) до того как они пройдут через точку P ;
 (б) после прохождения их через точку P .

20.23. (а) На рисунке 20-11 показана параболическая поверхность, на которую падает параллельный пучок лучей. Докажите, что уравнение параболической кривой с фокусным расстоянием f имеет вид $y = x^2/(4f)$.

- (б) Ведро жидкости плотностью ρ равномерно вращается с угловой скоростью ω вокруг вертикальной оси. Покажите, что поверхность жидкости принимает параболическую форму, и найдите фокусное расстояние f данного параболоида.

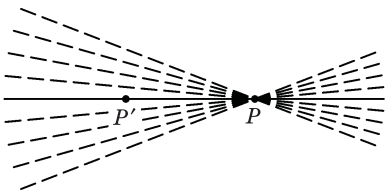


Рис. 20-10

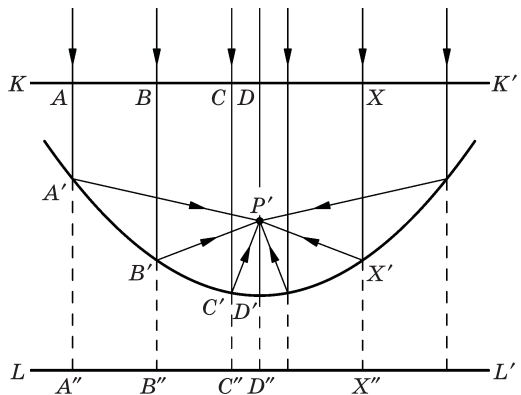


Рис. 20-11

Глава 21

Электромагнитное излучение: интерференция

См. «Лекции», т. I, гл. 28 и 29

21.1. Интерпретируйте геометрически следующие выражения в комплексных числах и покажите, что модуль числа A в каждом случае соответствует следующему:

$$(a) \quad A = re^{\frac{i\theta}{2}} + re^{-\frac{i\theta}{2}}, \quad |A| = 2r \cos\left(\frac{\theta}{2}\right);$$

$$(б) \quad A = \sum_{n=0}^N re^{in\theta}, \quad |A| = r \frac{\sin\left(\frac{N+1}{2}\theta\right)}{\sin(\theta/2)}.$$

21.2. Заряд q перемещается с угловой скоростью ω по круговой траектории радиусом a .

(a) Вычислите электрическое поле $\mathbf{E}(t)$ на большом расстоянии R от заряда в направлении, определяемом углом θ относительно оси вращения.

(б) Найдите интенсивность излучения $I(\theta)$ на расстоянии R на оси вращения ($\theta = 0$) и в плоскости вращения ($\theta = \pi/2$).

Предполагается, что $\omega a \ll c$, $a \ll R$.

21.3. Мощность на единицу площади, приносимая электромагнитной волной, пропорциональна среднеквадратическому значению напряженности электрического поля.

(a) Если полная мощность, излученная колеблющимся зарядом, равна $P_{\text{п}}$, то какая мощность P на единицу площади, нормальной к радиусу-вектору \mathbf{R} , переносится излучением в направлении угла θ относительно оси колебаний заряда?

(б) Вычислите P (в Вт/м²) для вертикально ориентированного диполя, подвешенного на радиозонде для исследования космического излучения на высоте 25 км и на горизонтальном расстоянии 25 км от приемника, как показано на рис. 21-1, если полная мощность излучения составляет 0,5 Вт.

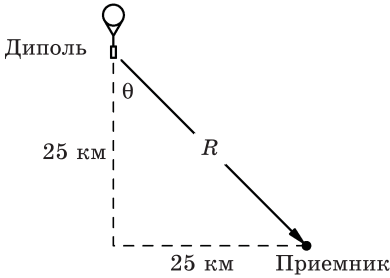


Рис. 21-1

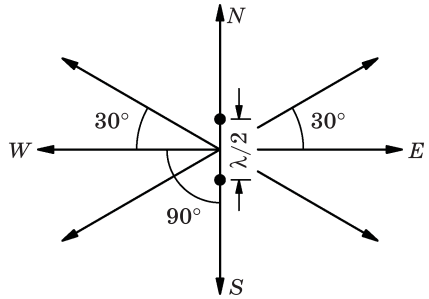


Рис. 21-2

21.4. Две вертикальные антенны ориентированы, как показано на рис. 21-2, и работают в одной фазе. Антенны работают так, что если первая излучает с некоторой интенсивностью I_0 во всех горизонтальных направлениях, то вторая излучает с интенсивностью $2I_0$. Какова наблюдаемая интенсивность излучения I в различных направлениях, показанных на рисунке?

21.5. Четыре одинаковых дипольных излучателя выстроены параллельно друг другу вдоль линии на одинаковом расстоянии 2,5 см друг от друга. Они работают на частоте $3 \cdot 10^9$ Гц и их фазы заданы таким образом, что, начиная с одного конца, каждый последующий диполь отстает от предыдущего на 90° . Найдите распределение интенсивности излучения $I(\theta)$ на большом расстоянии в экваториальной (перпендикулярной оси диполей) плоскости и изобразите эту функцию в полярных координатах (рис. 21-3).

Такая диаграмма называется *картиной излучения* или *лепестковой диаграммой* антенной системы.

21.6. Два параллельных диполя расположены на расстоянии $d = \lambda/2$ друг от друга и осциллируют с одинаковой частотой и амплитудой (рис. 21-4).

(а) Найдите $I = I(\theta)$ (лепестковую диаграмму) в экваториальной плоскости и постройте распределение на полярной диаграмме, если излучатели совпадают по фазе.

(б) На какую часть периода колебаний должен отставать по фазе осциллятор (2) от осциллятора (1) для того, чтобы наблюдатель в точке

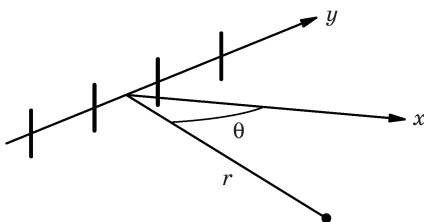


Рис. 21-3

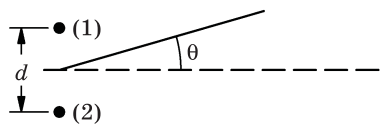


Рис. 21-4

$\theta = 210^\circ$ видел максимум сигнала. В таком случае для какого значения θ не будет сигнала?

(в) Начертите лепестковую диаграмму для пункта (б).

- 21.7. Четыре вертикальных диполя расположены в углах горизонтального прямоугольника со сторонами a и b , как показано на рис. 21-5. Если фазы излучателей на длине волны λ совпадают, то какие минимальные значения (>0) должны принимать a и b , чтобы излучать максимальную интенсивность в направлении $\theta = 30^\circ$ на большом расстоянии от зарядов?

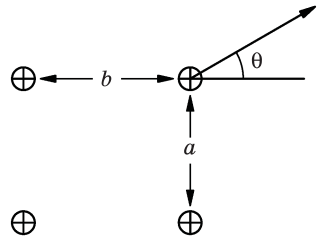


Рис. 21-5

- 21.8. Наблюдатель находится на расстоянии R от двух одинаковых зарядов q , которые колеблются так, что оба проходят через начало координат в момент времени $t = 0$. Колебания первого заряда происходят только вдоль оси z по закону $z(t) = d \sin(\omega t)$, второго заряда — только вдоль оси x , $x(t) = d \sin(\omega t)$. Какова напряженность электрического поля $E(t)$ в двух точках:

(а) $x = \frac{R}{\sqrt{2}}, y = 0, z = -\frac{R}{\sqrt{2}}$;

(б) $x = 0, y = R, z = 0$.

Предполагается, что $R \gg \frac{c}{\omega}$; $\omega d \ll c$.

- 21.9. Полевой инженер, тестирующий распределение поля, летит на вертолете со скоростью 192 км/ч на низкой высоте по круговой траектории радиусом 3,2 км вокруг средней точки между двумя вертикальными дипольными передающими антеннами, которые расположены в направлении север–юг. На частоте, используемой для теста, антенны расположены на расстоянии в половине длины волны друг относительно друга. Обычно антенны работают синфазно. Однако оператор передатчика решил подшутить над полевым инженером, изменяя соотношение фаз с такой скоростью, что с вертолета не может быть обнаружено никакого изменения излучения. Если оператор начал изменять фазы, когда вертолет пролетал на востоке от антенны, то с какой скоростью da/dt он изменял соотношение фаз в тот момент, когда вертолет был на θ° севернее направления на восток от антенны?

- 21.10. Два электрических диполя — A и B — расположены на расстоянии, равном половине длины волны, и перпендикулярны друг другу и линии, соединяющей их центры, как показано на рис. 21-6. Они работают на одной частоте и фазе, но диполь B имеет амплитуду, вдвое большую, чем A . Найдите интенсивность I и поляризацию вектора излучения E на боль-

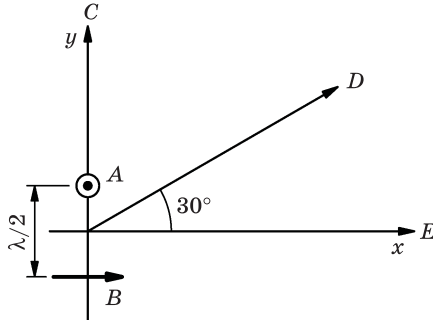


Рис. 21-6

шом расстоянии от диполей в направлениях C , D и E (все в плоскости x, y), показанных на рисунке.

21.11. Двойной ряд из N равноудаленных друг от друга осциллирующих диполей расположен, как это показано на рис. 21-7. Все диполи в ряду A работают в одной фазе, а в ряду B — со сдвигом на 90° по фазе относительно диполей в ряду A . Постройте диаграмму излучения $I(\theta)$ в экваториальной плоскости на большом расстоянии от массива.

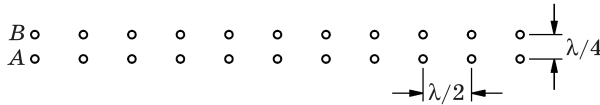


Рис. 21-7

21.12. Все электроны проводимости в длинном прямом тонком проводе длиной L совершают колебания вдоль провода с угловой частотой ω , малой амплитудой a и одинаковой фазой. Найдите напряженность электрического поля $E(t)$ на большом расстоянии R ($R \gg L$) под углом θ относительно провода.

Электромагнитное излучение: дифракция

См. «Лекции», т. I, гл. 30

22.1. Даны n равноудаленных дипольных излучателей, каждый длиной a , находящихся на расстоянии d вдоль одной прямой линии, как показано на рис. 22-1, и осциллирующих вдоль этой линии с одинаковой амплитудой A и частотой ω , но с последовательным фазовым сдвигом α . Каждый дипольный излучатель состоит из большого числа атомных диполей. Покажите, что дифракционное распределение интенсивности на большом расстоянии под углом θ равно

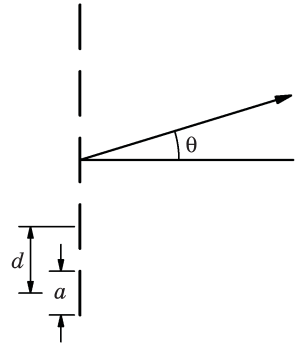


Рис. 22-1

$$I = I_0 \frac{\sin^2(\beta/2)}{(\beta/2)^2} \cdot \frac{\sin^2(n\phi/2)}{\sin^2(\phi/2)},$$

где $\phi = \alpha + \frac{2\pi d}{\lambda} \sin \theta$, $\lambda = \frac{2\pi c}{\omega}$, $\beta = (2\pi/\lambda)a \sin \theta$; I_0 — интенсивность излучения каждого диполя в направлении полярного угла θ .

- 22.2.** Спектральная линия соответствует длине волны 550 нм и имеет ширину 1 нм. Чему равна добротность Q такого атомного осциллятора?
- 22.3.** При каких условиях подсвеченная щель отбрасывает «геометрическую» тень (т. е. это такие условия, при которых эффектом дифракции можно пренебречь)?
- 22.4.** Автомобиль с двумя обычными фарами (считаем их точечными источниками света) приближается издали по прямой дороге. Фазы разнесены на 120 см друг от друга.
- (а) На каком расстоянии d от наблюдателя должна быть машина, чтобы он был уверен, что видит две фары, а не одну, предполагая, что апертура диафрагмы 0,5 см и эффективная длина волны света 550 нм?

(б) Информация о том, что свет «белый» (т. е. является смесью различных длин волн), будет упрощать или усложнять разделение двух источников света?

22.5. Длины волн D -линии натрия равны соответственно 588,995 нм и 589,592 нм. Какой длины x должна быть дифракционная решетка, имеющая 600 линий/мм, чтобы разделить эти линии в спектре первого порядка?

22.6. Точечный источник света L , излучающий на одной длине волны λ , расположен на малом расстоянии d над идеальным плоским зеркалом. Экран расположен в конце зеркала на расстоянии D от L , как показано на рис. 22-2 ($D \gg d$). Найдите $I(z)/I_0$ — относительную интенсивность света на экране в зависимости от z , принимая плоскость зеркала лежащей в точке $z = 0$.

Примечание. Зеркало меняет фазу отраженного им света на 180° .

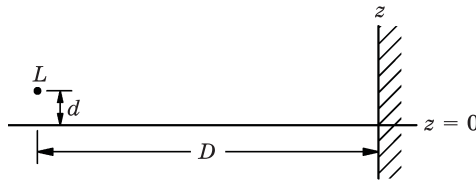


Рис. 22-2

22.7. Параллельный пучок света с длиной волны λ падает слева на круглое отверстие в экране, а результирующая интенсивность наблюдается в точке на оси отверстия на расстоянии $z = 10\lambda$ справа от экрана.

(а) Какой радиус r должно иметь отверстие, чтобы производить максимальную интенсивность $I_{\text{макс}}$ в точке наблюдения?

(б) На какую долю $I/I_{\text{макс}}$ снизится интенсивность, если убрать экран?

22.8. (а) Рассчитайте дифракционную картину $I(\theta)/I_{\text{макс}}$ излучения с длиной волны $\lambda = 3$ см, прошедшего через две параллельные щели шириной $a = 6$ см, отстоящих на $d = 12$ см друг от друга (рис. 22-3).

(б) Сколько порядков главных максимумов и для каких значений θ можно наблюдать в результате дифракции?

(в) Каково соотношение $I(\theta)/I_{\text{макс}}$ в главных максимумах дифракции?

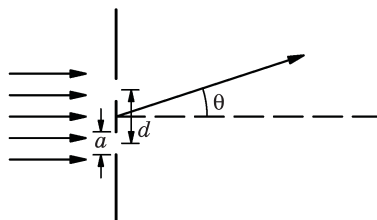


Рис. 22-3

22.9. Длины волн спектральных линий обычно измеряют с точностью до $0,001 \text{ \AA}$ с помощью спектрографов с разрешающей способностью всего лишь $0,01 \text{ \AA}$. Не происходит ли при этом нарушения каких-либо фундаментальных законов физики? Объясните.

22.10. Интерферометр Фабри–Перо состоит из пары пластин с хорошо отполированными плоскими поверхностями, расположенными параллельно друг другу на расстоянии D . На эти поверхности нанесены покрытия, которые отражают долю R^2 света, нормально падающего на них, и пропускают долю T^2 падающего света. Свет с интенсивностью I_0 и длиной волны λ сначала падает на одну из поверхностей слева (рис. 22-4). Часть света проходит через систему напрямую, а некоторая часть отражается от второй поверхности, затем от первой, а затем опять проходит через систему. В целом, выходящий свет состоит из отраженных $0, 2, 4, 6, \dots$ раз лучей и лучей, прошедших через обе пластины; при этом все лучи суммируются друг с другом. Как интенсивность проходящего света I_t/I_0 зависит от D, λ, R и T ?

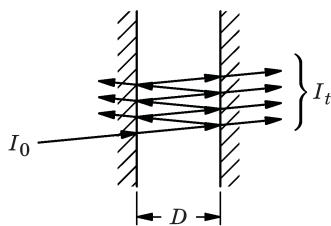


Рис. 22-4

Примечание. Узкополосные оптические фильтры, называемые *интерференционными фильтрами*, работают по тому же принципу, но обе отражающие поверхности у них изготавливают путем вакуумного напыления на поверхность стекла некоторого количества слоев точно контролируемой толщины или путем покрытия стекла чистыми материалами, имеющими различный коэффициент преломления.

22.11. Обычный дифракционный спектрограф показан на рис. 22-5. Свет от источника L проходит через узкую щель S , затем через коллиматорную линзу (C_1), превращаясь в параллельный пучок (как если бы на дифракционную решетку падала плоская волна, приходящая из бесконечности). Свет от этого параллельного пучка затем дифрагирует на решетке G ; дифрагированный свет, выходящий под определенными углами, проходит через линзу C_2 , называемую *камерной*, и фокусируется

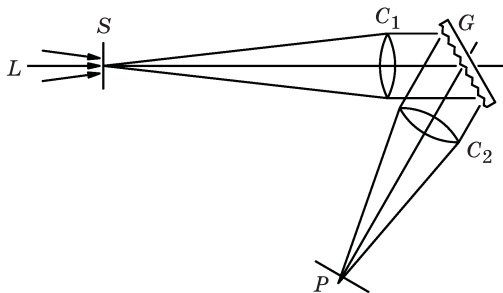


Рис. 22-5

ею в плоскости P , где спектр наблюдается в виде полосы, которая может быть пересечена в определенных местах узкими спектральными линиями. Предположим, что длина и ширина щелей h и w , фокусные расстояния линз C_1 и C_2 равны соответственно F_1 и F_2 ; углы между нормалью к решетке и осями линз C_1 и C_2 равны θ_i и θ_d , а число линий на 1 мм решетки равно N .

- Какова ширина h' спектральной полосы в плоскости P ?
- Какие длины волн λ_m могут наблюдаться на оси C_2 в плоскости P ?
- На каком расстоянии D друг от друга в фокальной плоскости P можно наблюдать две спектральные линии, длины волн которых отличаются на 1 \AA ? Эту величину часто называют *дисперсией* оптического инструмента.
- Если ширина щели w намного больше разрешения $1,22 \lambda F_1 / A_1$ коллиматорной линзы, где A_1 — ее апертура, то какова ширина спектральных линий w' в плоскости P ?

22.12. Спектрометр телескопа типа Литроу, установленного на 45-метровой солнечной башне обсерватории «Маунт Вилсон», схематически изображен на рис. 22-6. В этом устройстве одна и та же линза работает как коллиматор и как камерная линза с параметрами $\theta_i = -\theta_d$ (приблизительно). Спектр формируется в виде полосы, близкой к щели. Фокусное расстояние всего прибора равно $F = 23$ м, а дифракционная решетка имеет 600 линий/мм и рабочую область 15×25 см. Обычно при наблюдениях используется спектр 5-го порядка.

- На какой угол θ необходимо наклонить решетку, чтобы спектральная линия нейтрального атома железа с длиной волны $\lambda = 5250,218 \text{ \AA}$ соответствовала расположению щелей для дифракционного спектра 5-го порядка?
- Какие еще длины волн из диапазона $3600 \text{ \AA} - 7000 \text{ \AA}$ можно наблюдать?
- Как простым способом устранить в наблюдаемом спектре нежелательные максимумы других порядков, оставив только максимум 5-го порядка?
- Какова дисперсия d спектрографа для длины волны $\lambda = 5250 \text{ \AA}$ в максимуме 5-го порядка?*

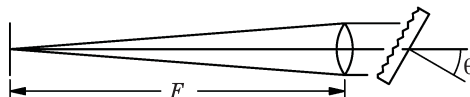


Рис. 22-6

* Заметьте, что хотя $\theta_i = -\theta_d$ для длины волны $\lambda = 5250 \text{ \AA}$, но угол θ_i фиксирован, в то время как величина θ_d зависит от λ .

- (d) Каково минимальное значение $\Delta\lambda$, которое теоретически может быть разрешено при длине волны $\lambda = 5250 \text{ \AA}$ в спектре пятого порядка этим прибором?

22.13. Если канавки («штрихи») дифракционной решетки располагаются таким образом, чтобы отражать большую часть падающего излучения в определенном направлении, то говорят, что решетка *блестит* в этом направлении. Предположим, что канавки можно нанести таким образом, чтобы профиль решетки в сечении имел пилообразную форму, как показано на рис. 22-7, причем поверхность каждой канавки наклонена на определенный угол θ_b .

- (a) Используя представление о дифрагированном пучке света как об излучении, испущенном осцилляторами частиц вещества, которые излучают в фазе с падающим излучением, определите, в каком направлении дифрагированный пучок будет наиболее интенсивным, если для падающего пучка $\theta_i = 0$. (Предполагается, что излучение является белым светом.)
- (б) Найдите диапазон углов, в котором решетка «блестит».

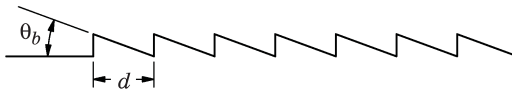


Рис. 22-7

Глава 23

Электромагнитное излучение: преломление, дисперсия, поглощение

См. «Лекции», т. I, гл. 31

23.1. Свет какого цвета, красного или синего, будет сильнее отклоняться призмой и по какой физической причине?

23.2. Найдите коэффициент преломления n алюминия для рентгеновского излучения с длиной волны $1,56 \cdot 10^{-8}$ см. Сделайте предположение, что все электроны в алюминии имеют частоты собственных колебаний много ниже рентгеновских частот.

23.3. Показатель преломления ионосферы для радиоволн с частотой 100 МГц $n = 0,9$. Найдите плотность (концентрацию) ρ электронов в 1 см^3 ионосферы.

23.4. Электрическое поле световой волны, проходящее через среду с показателем преломления n , равно $E = E_0 e^{i\omega\left(t - \frac{nz}{c}\right)}$.

(а) Покажите, что если $n = n' - in''$, то $E = E_0 e^{-\frac{n''\omega z}{c}} e^{i\omega\left(t - \frac{n'z}{c}\right)}$.

(б) Используя уравнение (31.20) из т. I «Лекций»

$$n - 1 = \frac{Nq_e^2}{2\epsilon_0 m} \cdot \frac{1}{\omega_0^2 - \omega^2 + i\gamma\omega}$$
, найдите, с какой скоростью ослабляется интенсивность I пучка излучения, частота которого точно равна частоте собственных колебаний ω_0 атома.

23.5. В разделе 31-5 из т. I «Лекций» было показано, что мгновенная плотность потока энергии волн равна $S = \epsilon_0 c E^2$ Вт/м².

(а) Найдите полную мощность P излучения энергии электроном, который колеблется с амплитудой x_0 и угловой частотой ω .

(б) Сравните энергию, излучаемую за один цикл колебаний, с запасенной энергией $(1/2)m\omega^2 x_0^2$, а затем найдите коэффициент затухания излучения γ_R (эффект называется *радиационным затуханием*).

(в) Возбужденный атом испускает излучение с определенной длиной волны λ . Рассчитайте ожидаемое уширение $\Delta\lambda$ спектральных линий, если уширение возрастает исключительно за счет радиационного затухания. (Рассматривайте атом как обладающий затуханием крошечный осциллятор с высокой добротностью Q .)

Глава 24

Электромагнитное излучение: радиационное затухание, рассеяние

См. «Лекции», т. I, гл. 32

- 24.1. Какая зависимость от длины волны проявляется в процессе рассеяния излучения свободными электронами?
- 24.2. Пучок света проходит через область, содержащую N рассеивающих центров на единицу объема, каждый из которых рассеивает свет с поперечным сечением σ . Покажите, что интенсивность света, оставшегося в пучке, в зависимости от пройденного расстояния x описывается формулой $I = I_0 e^{-N\sigma x}$.
- 24.3. Используя формулу поперечного сечения рассеяния (32.19)

$$\sigma = \frac{8\pi}{3} \left(\frac{e^2}{m_e c^2} \right)^2 \frac{\omega^4}{(\omega^2 - \omega_0^2)^2}$$

и формулу коэффициента преломления газа (31.19) из т. I «Лекций», покажите, что величина $N\sigma$ может быть записана как

$$N\sigma = \frac{2}{3\pi} \frac{(n-1)^2}{N} \left(\frac{2\pi}{\lambda} \right)^4,$$

где N — количество атомов в единице объема газа. (Это был один из первых способов оценки числа Авогадро при изучении рассеяния света.)

- 24.4. Внутренняя корона Солнца (называемая К-короной) представляет собой солнечный свет, рассеянный свободными электронами. Кажущаяся яркость К-короны на расстоянии одного солнечного радиуса от края диска Солнца равна приблизительно 10^{-8} от яркости самого солнечного диска (на единицу площади). Оцените число свободных электронов N_e на 1 см^3 околосолнечного пространства.
- 24.5. Оцените, на сколько процентов f синий свет ($\lambda = 4500 \text{ \AA}$) от Солнца ослабевает, проходя через атмосферу, когда Солнце
- (а) в зените,
- (б) расположено под углом 10° над линией горизонта.
- 24.6. Короткий прямой кусок медного провода, помещенный в область электромагнитного поля волн, посылаемых антенной радиолокационной станции, «рассеивает» часть излучения. Электрическое поле падающей

волны вызывает движение электронов в проводе; это движение создает излучение рассеянной волны. Для короткого куска провода (длина $\ll \lambda$) можно предположить, что среднее смещение электронов в проводе происходит вдоль оси провода и пропорционально компоненте электрического поля, параллельной оси провода.

Значит, если в проводе имеется N электронов, а d — их среднее мгновенное смещение, то $d = \chi E_{\parallel}$, где E_{\parallel} — компонента электрического поля, параллельная проводу.

Требуется узнать (в зависимости от χ и N):

- (а) чему равно максимальное сечение рассеяния провода $\sigma_{\text{макс}}$, если амплитуда падающего излучения равна E_0 , а его частота равна ω ;
 (б) как сечение рассеяния σ зависит от ориентации провода θ .

24.7. Когда были открыты рентгеновские лучи (названные «икс-лучами», поскольку они обладали новыми и удивительными свойствами!), было высказано предположение, что они, как и свет, являются поперечными волнами. Затем обнаружили, что эти лучи рассеиваются электронами вещества. Как доказать, что эти лучи являются поперечными волнами и что они поляризованы?

24.8. Покажите, что если уравнение движения заряженного осциллятора имеет вид

$$m \frac{d^2 x}{dt^2} + \omega_0^2 x - \left(\frac{2e^2}{3c^3} \right) \frac{d^3 x}{dt^3} = F(t),$$

то член, содержащий третью производную, описывает скорость потери энергии излучением (сопротивление излучения) на любой частоте.

Подсказка. Предположите, что $F(t) = A \cos(\omega t)$, и найдите, какое количество энергии, испущенной движущимся излучателем, поглощается.

24.9. Межзвездное пространство предположительно заполнено облаками крошечных пылинок, состоящих из углерода, льда и небольших количеств различных элементов. Оцените минимальную массу на единицу площади (в $\text{г}/\text{см}^2$) такой пыли, необходимой, чтобы ухудшить возможность наблюдения за звездами в 100 раз (т. е. на 5,0 звездной величины). Учтите, что пылинки могут ослаблять свет звезд за счет как его рассеивания, так и простого поглощения.

Глава 25

Электромагнитное излучение: поляризация

См. «Лекции», т. I, гл. 33

- 25.1.** У света, отраженного под углом от поверхности озера (например, свет восходящего солнца или луны), поляризация его электрического поля имеет горизонтальное или вертикальное направления?
- 25.2.** Фотографы часто используют либо желтый, либо поляроидный фильтры для того, чтобы выделить облака на фоне неба. Объясните физическую подоплеку такого приема в обоих случаях.
- 25.3.** Два поляризационных светофильтра расположены таким образом, что их оси поляризации образуют прямой угол. Третий поляризатор устанавливается между ними так, чтобы его ось составляла угол θ с осью первого поляризатора. Если неполяризованный свет интенсивностью I_0 нормально падает на такое устройство, чему будет равна интенсивность I_t прошедшего света? Предполагается, что поляризаторы являются идеальными (пропускают 50 % падающего неполяризованного света, и свет совсем не проходит через скрещенные поляризаторы).
- 25.4.** Оцените интенсивность и поляризацию излучения, испускаемого электроном, движущимся с постоянной скоростью по круговой орбите, в частности, для точек, находящихся на оси круговой орбиты электрона, и для точек, расположенных в плоскости его орбиты.
- 25.5.** Предположим, что когда луч плоско поляризованного света падает на поляризатор, то некоторая доля его интенсивности α^2 проходит через него, если ось поляризатора параллельна направлению поляризации падающего света, а доля ε^2 проходит в том случае, если ось поляризатора перпендикулярна направлению поляризации. (Если бы поляризатор был идеальным, то величина α^2 была бы равна единице, а ε^2 — нулю.) Неполяризованный свет интенсивностью I_0 нормально падает на пару поляризаторов с углом θ между их осями. Какая будет относительная интенсивность I_t/I_0 света, прошедшего через эту систему поляризаторов? (Влиянием отражения света можно пренебречь.)
- 25.6.** Первокурсник Калтеха, прогуливаясь на каникулах с подружкой, видит Луну, отраженную в спокойном озере, под углом 10° выше линии горизонта. С ностальгией вспоминая главу 33 из «Фейнмановских лекций по

физике», он делает попытку рассчитать яркость отражения по сравнению с яркостью самой Луны. Он предполагает, что Луна испускает (почти) неполяризованный свет. Какой результат он ожидает получить? Покажите, что относительная интенсивность отраженных лучей I_R/I_G достигает 100 % при отражении под скользящими углами падения.

- 25.7. Покажите, что для угла Брюстера (угол падения i , при котором отраженный луч полностью поляризован) справедливо соотношение $\operatorname{tg} i = n$, где n — показатель преломления.
- 25.8. Если свет падает перпендикулярно на плоскую грань алмаза (показатель преломления алмаза $n = 2,4$), то
- какая часть f падающего излучения будет отражена?
 - каков угол Брюстера β для алмаза?
- 25.9. Предположим, что плоскополяризованный свет проходит через последовательность из n поляризаторов, каждый из которых повернут по часовой стрелке на угол θ/n относительно предыдущего, а первый — на угол θ/n по часовой стрелке относительно начальной плоскости поляризации.
- Найдите интенсивность I_t света, прошедшего через поляризаторы, если начальная интенсивность равна I_0 .
 - Какова поляризация прошедшего света?
- 25.10. Линейно поляризованный свет проходит через четвертьволновую пластину, за которой установлен поляроид. Направление поляризации составляет угол θ с оптической осью четвертьволновой пластины. При вращении поляроида наблюдаются максимумы I_{\max} и минимумы I_{\min} интенсивности прошедшего света. Каково соотношение I_{\max}/I_{\min} для $\theta < 45^\circ$? Предполагается, что свет падает по нормали.
- 25.11. Кристалл кварца, показатель преломления которого $n_o = 1,553$ (для обыкновенного луча) и $n_e = 1,544$ (для необыкновенного луча), вырезали в виде пластины толщиной 0,12 мм таким образом, чтобы его оптическая ось была параллельна поверхностям пластины. Если теперь его поместить между скрещенными поляризаторами таким образом, чтобы его оптическая ось была расположена под углом 45° к осям поляризаторов, какие длины волн видимого света (400 – 750 нм) будут пропускаться этой оптической системой с максимальной интенсивностью?
- 25.12. Показатели преломления кристалла кварца для света с длиной волны $\lambda_1 = 600$ нм равны соответственно $n_o = 1,544$ и $n_e = 1,553$ для обыкновенных и необыкновенных лучей. В кристалле кварца, вырезанном параллельно его оптической оси, можно получить максимальную разность скоростей обыкновенного и необыкновенного лучей, если свет падает по нормали на кристалл и распространяется перпендикулярно его оптической оси.

- (а) Какова должна быть толщина кристалла d , чтобы произошел сдвиг фаз этих двух лучей относительно друга друга на 90° для света указанной длины волны?
- (б) Предположим, что показатели преломления света с длиной волны 410 нм равны $n_o = 1,557$ и $n_e = 1,567$, а кристалл кварца вырезан в виде четвертьволновой пластины для длины волны 600 нм. Полностью опишите состояние поляризации выходящего света E для такой более короткой длины волны, если на входе в кристалл свет был линейно поляризованным.

25.13. Дана отполированная пластина из черного вулканического стекла обсидиана. Требуется измерить показатель преломления материала. Как вы будете действовать? Какую точность измерения ожидаете получить?

Глава 26

Электромагнитное излучение: релятивистские эффекты

См. «Лекции», т. I, гл. 34

26.1. Диск радиусом A катится без проскальзывания по горизонтальной плоскости. Напишите уравнение пути, проходимого точкой на диске, находящейся на расстоянии $R \leq A$ от центра диска, как функцию A , R и угла поворота диска θ . Ось x направлена от центра диска вертикально, а ось z — горизонтально, в направлении его движения. Покажите, что

$$z = A\theta + R\sin\theta; x = R\cos\theta.$$

26.2. Обсудите поляризационные свойства синхротронного излучения и тормозного излучения.

26.3. Если бы вы проводили измерение электромагнитного излучения астрономического объекта (такого как Крабовая туманность), то как вы различили бы синхротронное и тормозное излучение?

26.4. Предположим, вы смотрите вдоль оси x вашей системы координат на небольшую область Крабовой туманности и наблюдаете синхротронное излучение, поляризованное в направлении оси z . Каково направление магнитного поля? Обсудите.

26.5. Электрон вращается с релятивистской скоростью в однородном магнитном поле. Постройте график силы электрического поля в зависимости от времени (как минимум за два цикла) для наблюдателя, смотрящего в направлении

(а) вдоль магнитного поля,

(б) перпендикулярно магнитному полю.

26.6. Давление излучения некоторого луча света больше на черную или на зеркальную поверхность? Объясните.

26.7. Джеймс Брэдли (1728) наблюдал аберрацию света, заключающуюся в том, что видимые звезды кажутся сдвинутыми на небе из-за движения Земли по орбите. Поэтому в экспериментах, в которых наблюдают звезды вблизи полюса эклиптики, телескоп должен быть выставлен “вперед” по направлению движения Земли максимум на $20,5''$. Если считать, что скорость света равна $3,00 \cdot 10^8$ м/с, то какое значение радиуса земной орбиты R даст вычисление на основе данных этого эксперимента?

26.8. Выведите выражение $\sin\theta = v/c$ для аберрации звездного света, используя преобразование Лоренца. (Воспользуйтесь выкладками, представленными в разд. 34-8 из т. I «Лекций».)

- 26.9.** Астронавт, летящий в космическом корабле со скоростью $0,5c$, наблюдает звезду точно под углом 90° относительно направления движения. Некоторая линия в спектре звезды появляется на частоте ν_0 . Астронавт разворачивается и летит обратно по той же траектории с той же самой скоростью.
- (а) Под каким углом θ_1 он видит звезду теперь?
- (б) Какова частота ν_1 наблюдаемой линии в спектре звезды?
- 26.10.** Космический зонд радиально удаляется от наблюдателя, который направляет луч радара с частотой ν_0 в направлении зонда и обнаруживает, что отраженный луч приходит с частотой ν . Какова скорость космического корабля V относительно наблюдателя? (Предположим, что от покоящегося космического зонда луч отражается без изменения частоты.)
- 26.11.** Спектрограммы излучения, приходящего из противоположных концов диаметра солнечного экватора, показывают сдвиг $0,1 \text{ \AA}$ для H_α -линии с длиной волны $6564,7 \text{ \AA}$. Какова периферическая скорость V Солнца на его экваторе?
- 26.12.** D-линия натрия (с длиной волны, согласно лабораторным измерениям, равной 589 нм) сдвинута в спектре некоторых звезд до 588 нм . Какова скорость звезд V относительно наблюдателя? (Достаточно ли точна нерелятивистская формула Доплера?)
- 26.13.** Астроном из Калтеха М. Шмидт измерил длины волн некоторых линий спектра отдаленного квазара и обнаружил, что они сдвинуты в красную сторону спектра на $\Delta\lambda \approx 2\lambda$. С какой скоростью v квазар должен при этом удаляться от нас?
- 26.14.** Если в задаче 26.1 $z = ct$, найдите поперечное ускорение d^2x/dt^2 данной точки. Это тормозное ускорение необходимо для расчета излучения от частицы, движущейся по круговой траектории радиусом R .
- (а) Выразите результат как функцию наблюдаемых величин R , v (скорость частицы на ее орбите) и x (кажущееся поперечное положение частицы в момент наблюдения).
- (б) Найдите соотношение максимальной и минимальной интенсивностей излучения $I_{\text{макс}}/I_{\text{мин}}$, которые будут наблюдаться, когда частица движется по круговой траектории в направлении к наблюдателю и от него.
- 26.15.** Электрон изначально покоится в точке с координатами $x = 0, z = 0$, затем получает (в момент времени $t > 0$) ускорение a в плоскости x, z под углом θ относительно оси z , как показано на рис. 26-1. Рассчитайте (с учетом релятивистских эффектов) электрическое поле $E(t)$ в точке $z = R_0$, где R_0 — «большое» расстояние. Выразите результат через a — истинное ускорение, θ и $\beta = v/c$, где v — истинная скорость электрона.

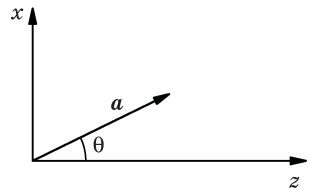


Рис. 26-1

- 26.16.** Диск площадью A и толщиной d освещается нормально падающим светом с длиной волны λ и интенсивностью I_0 . Посчитайте силу F , вызванную давлением излучения для следующих случаев:
- диск непрозрачный и неотражающий;
 - диск имеет коэффициент отражения $n = 1,5$ (ответ с точностью до процентов будет достаточным);
 - диск имеет комплексный показатель преломления $n = 1 - in''$ (n'' — действительное число).
- 26.17.** Сферический баллон радиусом 30 м изготовлен из материала с практически идеально отражающей поверхностью, чтобы избежать солнечного нагрева. Какая сила F действует на баллон в результате отражения от него солнечного излучения, когда он движется свободно в пространстве на расстоянии 1 а. е. от Солнца?
- 26.18.** В одном из предложенных способов космического полета тонкий лист сильно отражающей пластиковой пленки используется как «парус», на который воздействует радиационное давление («солнечный ветер»). Имеется плоский квадратный лист пленки со стороной 100 м, а масса космического корабля равна 10^3 кг. Пусть космический корабль изначально двигался по круговой орбите радиусом 1 а. е. вокруг Солнца.
- Опишите, как использовать «парус», чтобы увеличить средний радиус орбиты R .
 - Какова скорость роста орбиты dR/dt . (*Подсказка.* Примите в расчет максимальную мощность, передаваемую космическому кораблю солнечным ветром.)
- 26.19.** Предположим, что межпланетное пространство заполнено мелкими частичками пыли со средней плотностью ρ , имеющими форму, близкую к сферической, радиусом R .
- Покажите, что для пылинки любого размера отношение силы притяжения пылинки к Солнцу к силе радиационного давления солнечного излучения, имеющей обратное направление, не зависит от расстояния до Солнца.
 - Используя факт, что интенсивность солнечного излучения на земной орбите составляет приблизительно 1374 Вт/м^2 , и допуская, что сечение поглощения равно πR^2 , найдите, для какого радиуса R радиационное давление излучения и гравитационное притяжение уравниваются друг друга?
 - Используя результаты, полученные в гл. 32 из т. I «Лекций», можно ли утверждать, что эффективное сечение поглощения частички пыли может быть значительно больше, чем πR^2 ?

Глава 27

Квантовые явления: волны, частицы и фотоны

См. «Лекции», т. I, гл. 37 и 38

- 27.1. Качественно сравните картины дифракции рентгеновских лучей от двух кристаллов с элементарной кристаллической ячейкой одинакового размера и формы, но с различной атомной структурой внутри ячейки.
- 27.2. Параллельный пучок электронов с импульсом p_0 проходит через щель шириной W . Каково приблизительное значение углового уширения луча θ после выхода из щели?
- 27.3. (а) Тепловой нейтрон имеет кинетическую энергию $T \approx (1/40)$ эВ. Какова длина волны λ такого нейтрона?
- (б) Какова длина волны электронов с кинетической энергией
- (1) 1 кэВ?
- (2) 1 МэВ?
- (в) Какова длина волны объекта массой 50 г, движущегося со скоростью 1000 м/с?
- (г) Какая длина волны короче — для рентгеновского излучения с энергией 1 МэВ или электрона с полной энергией $E = 1$ МэВ?
- 27.4. Свет с длиной волны 4100 \AA в некоторых фотоэлементах генерирует электроны с максимальной кинетической энергией 1 эВ. Какова максимальная длина волны излучения $\lambda_{\text{макс}}$, которое может детектировать этот фотоэлемент?
- 27.5. Энергия (кинетическая плюс потенциальная) электрона в состоянии покоя атома водорода равна $-13,6$ эВ. Если свободный электрон захватывается протоном, чтобы сформировать атом водорода в состоянии покоя, то оцените
- (а) длину волны λ фотона, испускаемого в этом процессе;
- (б) область спектра, в которой будет лежать испускаемое излучение (видимая, инфракрасная или ультрафиолетовая).
- 27.6. Мюон μ^- и протон могут сформировать (подобно водороду) «мюонный атом». Оцените радиус Бора R для этого атома в ангстремах ($m_{\mu^-} = 206 m_e$).
- 27.7. Требуется оценить минимально возможную энергию гармонического осциллятора, для которого энергия определяется как $E = p^2/(2m) + \beta x^2/2$.

В соответствии с принципом неопределенности импульс p может быть уменьшен только ценой увеличения среднего смещения x , поэтому условие минимума энергии требует компромисса между этими двумя составляющими. Какова минимальная энергия E_{\min} ?

- 27.8.** Спектральная линия $\lambda = 5000 \text{ \AA}$, соответствующая переходу электрона из возбужденного состояния атома в основное состояние, имеет ширину $0,01 \text{ \AA}$. В течение какого среднего времени τ атом существует в возбужденном состоянии?
- 27.9.** Свободные нейтроны способны распадаться на протоны и электроны. Возможная модель нейтрона могла бы представлять собой связанное состояние протона с электроном. Если приблизительный радиус нейтрона равен 10^{-15} м , оцените примерную кинетическую энергию T (в МэВ), которой обладает связанный электрон в такой модели. Обсудите ваше отношение к этой модели.
- 27.10.** Для малых промежутков времени остаточная энергия частицы не может быть определенной из-за принципа неопределенности. Например, внутри атомных ядер протон может испускать (виртуальный) π^0 -мезон ($m_{\pi^0} = 270 m_e$), который через короткий промежуток времени снова поглощается. Оцените размер R ядра, рассматривая расстояние, которое может пройти π^0 -мезон до повторного поглощения (данном ядром). Убедитесь, что ваши аргументы не являются противоречивыми.
- 27.11.** В разделе 32-3 из т. 1 «Лекций» приводится обсуждение того, как возбужденный атом мог бы излучать энергию с определенным темпом, следствием чего было бы одновременное ограничение времени жизни возбужденного состояния и наличие конечной ширины спектральной линии излучения. Покажите, что эти явления, интерпретированные как неопределенности измерения энергии и времени жизни фотона (или импульса и положения), не противоречат принципу неопределенности.
- 27.12.** (а) Используя метод анализа размерностей, оцените «боровский радиус» атома водорода.
 (б) Покажите, используя принцип неопределенности, что энергия, необходимая для отрыва электрона от соответствующего ему протона в атоме водорода, составляет по порядку величины несколько эВ.
- 27.13.** (а) Рентгеновский луч с длиной волны 500 \AA поглощается атомом водорода в состоянии покоя. Найдите (в эВ) кинетическую энергию T вылетевшего из атома водорода электрона.
 (б) Какова минимальная частота f_{\min} рентгеновского излучения, способного ионизировать невозбужденный атом водорода?
- 27.14.** Садовод считает простой задачей высадить по два дерева в ряд, но ему труднее высадить по три. Однако благодаря уходу и регулярному наблюдению он высадил 64 саженца на квадратной сетке, в которой линии идут

с востока на запад и с севера на юг, по 8 деревьев в ряду, всего 8 рядов, с квадратной ячейкой со стороной 6 м. Находясь в одном углу сада, он видит 3 линии по 8 саженцев в каждой, считая саженец в углу, где он стоит, 2 линии по 4 саженца в каждой и 4 линии по 3 саженца в каждой.

- (а) Каков наименьший угол θ_{\min} между двумя соседними линиями из этих 9 линий?
- (б) Каково максимальное расстояние d_{\max} между двумя последовательными саженцами в какой-либо из этих линий?
- (в) Если смотреть с высоты птичьего полета на аналогичный «бесконечный сад» из саженцев, построенный по таким базовым сеткам, то можно увидеть, что подобные рассмотренным в пунктах (а) и (б) линии образуют наборы параллельных прямых, плотно засаженных деревьями. Расстояния между соседними линиями из любого набора можно назвать *интервалом*, или *периодом*, *решетки*. Найдите интервал решетки для следующих друг за другом наборов линий от южного края сада до линии, идущей под углом 45° .

27.15. Атомы натрия и хлора в кристалле поочередно расположены в углах кубической решетки NaCl, где наименьшее расстояние от Na до Cl составляет $d = 2,82 \text{ \AA}$.

- (а) Найдите пять наибольших межплоскостных расстояний d для этого кристалла.
- (б) Под какими углами θ брэгговское отражение первого порядка проявится для этих плоскостей, если для наблюдения дифракции используется рентгеновское излучение с длиной волны $1,5 \text{ \AA}$?

27.16. В ультрафиолетовом спектре водорода можно заметить линии, называемые серией Лаймана. Три наибольшие длины волн этой серии равны 1216 \AA , 1026 \AA и 973 \AA . Рассчитайте длины волн λ трех других возможных линий, которые могут быть «предсказаны» для спектра водорода на основе только этой информации, а также с использованием комбинационного принципа Ритца.

Замечание. Две из этих линий лежат в видимом спектре (серия Бальмера), а одна — в инфракрасном (первая линия серии Пашена).

27.17. Рентгеновский фотон с длиной волны $\lambda = 3 \text{ \AA}$ рассеивается под углом 90° к свободному электрону, который изначально находился в покое, как показано на рис. 27-1. Какова кинетическая энергия T электрона отдачи?

27.18. «Монохроматический» нейтронный луч тепловых нейтронов с энергией $(1/40) \text{ эВ}$ падает на кристалл с межплоскостным расстоянием $d = 1,2 \text{ \AA}$ между кристаллографическими плоскостями, параллельными поверхности.

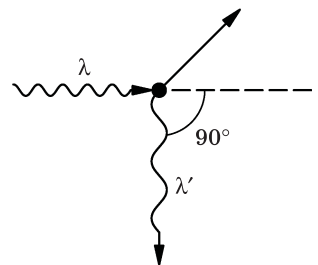


Рис. 27-1

- (а) Под какими углами θ будет наблюдаться брэгговское отражение?
 (б) Ниже какой критической энергии нейтронов $E_{\text{крит}}$ дифракция уже не будет иметь места?

27.19. Рассмотрим дифракцию электронов в кристалле от брэгговских плоскостей с межплоскостным расстоянием $d = 1,2 \text{ \AA}$. Дифракционная установка позволяет использовать электронные пучки с энергиями электрона $E_{\text{к}} = 10,0 \text{ кэВ}$ (I), $E_{\text{к}} = 0,5 \text{ МэВ}$ (II).

- (а) При каком угле θ будет наблюдаться дифракционный максимум 1-го порядка в каждом из случаев (I) и (II)?
 (б) Если бы эта установка использовалась для очень точного определения межплоскостных расстояний d в кристалле, то пучок с какой энергией вы использовали бы и почему?

27.20. Некоторый атом возвращается из возбужденного состояния E_1 в основное E_0 посредством испускания фотона. Атом испускает фотон за характерное время 10^{-8} с .

- (а) Если испускаемый фотон имеет длину волны 5000 \AA , какова полуширина $\Delta\lambda$ волнового пакета, характеризующего этот фотон?
 (б) Длина волны фотона определяется с помощью идеальной дифракционной решетки, помещенной перпендикулярно направлению распространения света. Если шаг штрихов решетки таков, что максимум первого порядка соответствует углу 45° , то какой должна быть ширина дифракционной решетки w (в метрах), чтобы можно было измерить полуширину спектральной линии $\Delta\lambda$, найденной в пункте (а) данной задачи?
 (в) Какова разница энергий ($E_1 - E_0$) между возбужденным и основным состояниями атома, выраженная в эВ?

27.21. В простой нерелятивистской модели атома водорода предполагается:

- (1) сила взаимодействия между электроном и протоном $F = -\frac{e^2}{4\pi\epsilon_0 r^3} \mathbf{r}$, где \mathbf{r} — радиус-вектор между ними;
 (2) электрон движется по круговой орбите вокруг протона таким образом, что произведение импульса электрона и радиуса орбиты (момент импульса) задается выражением $pr = n\hbar$, где $n = 1, 2, 3, \dots$, \hbar — приведенная постоянная Планка ($\hbar = h/2\pi$).
- (а) Найдите радиус r_n и угловую скорость ω_n электрона на n -й орбите.
 (б) Какова кинетическая энергия электрона T_n , потенциальная энергия U_n и полная энергия E_n на n -й орбите?
 (в) Электрон в атоме может терять энергию за счет квантового перехода с более высокой орбиты n_v на более низкую n_n с одновременным излучением фотона. Какое условие накладывает данная модель на значения энергии ΔE , чтобы излучение фотона атомом водорода было возможно?

Глава 28

Кинетическая теория газов

См. «Лекции», т. I, гл. 39

- 28.1.** Как должно изменяться давление газа P в зависимости от числа атомов в единице объема N и от средней скорости атомов $\langle v \rangle$? (Должна ли величина P быть пропорциональной N и/или $\langle v \rangle$ либо должна изменяться быстрее или медленнее, чем по линейному закону?)
- 28.2.** Если идеальный газ сжимается адиабатически, тогда $PV^\gamma = \text{const}$. С другой стороны, при любых условиях $PV/T = \text{const}$. Используя оба утверждения, выведите зависимость при адиабатическом сжатии
- (а) P от T ,
(б) V от T .
- 28.3.** (а) Газы A и B , занимающие одинаковый начальный объем V_0 , при одинаковом начальном давлении P_0 внезапно подвергаются адиабатическому сжатию до половины начального объема. Каково отношение конечного давления каждого газа (P_A, P_B) к начальному давлению, если $\gamma_A = 5/3$ (одноатомный газ) и $\gamma_B = 7/5$ (двухатомный газ)?
- (б) Найдите отношение работ W_A/W_B , необходимых для адиабатического сжатия газов A и B .
- 28.4.** Два сосуда объемом $V_1 = V_2 = V$ соединены маленькой трубкой с запорным клапаном, как показано на рис. 28-1. Изначально клапан закрыт и оба сосуда содержат одноатомный газ под давлениями соответственно P_1 и P_2 с температурой T_1 и T_2 . После открытия клапана чему будет равно конечное давление $P_{\text{кон}}$ и температура $T_{\text{кон}}$ внутри общего объема двух сосудов (потерей тепла через стенки в этой системе пренебречь)?

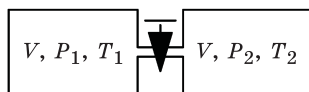


Рис. 28-1

- 28.5.** (а) Представьте себе высокую вертикальную колонну, наполненную газом или жидкостью, плотность которых изменяется с высотой. Покажите, что в этом случае зависимость давления от высоты удовлетворяет дифференциальному уравнению

$$\frac{dP}{dh} = -\rho(h)g.$$

(б) Решите это дифференциальное уравнение для случая идеально-газовой атмосферы, если температура газа не зависит от высоты h , а молярная масса равна μ .

- 28.6.** Цилиндр с непроницаемым поршнем,двигающимся без трения, содержит 1 м^3 одноатомного газа ($\gamma = 5/3$) при давлении 1 атм ($1,01 \cdot 10^5 \text{ Н/м}^2$). Газ медленно сжимается при постоянной температуре до конечного объема $0,4 \text{ м}^3$. Какую работу W при этом требуется совершить?
- 28.7.** Насос используется, чтобы накачивать велосипедные шины до давления $3,5 \text{ кг/см}^2$, начав накачку при атмосферном давлении (1 кг/см^2 при $20 \text{ }^\circ\text{C}$). Какова температура воздуха, выходящего из насоса, если $\gamma_{\text{в}} = 1,40$? Потерями тепла через стенки насоса можно пренебречь.
- 28.8.** 50-литровый сосуд соединен с 15-литровым сосудом короткой трубкой с клапаном сброса давления, который позволяет газу перетекать из большого сосуда в малый только в том случае, если давление в большом сосуде превысит давление в малом на 880 мм рт. ст. Если при $17 \text{ }^\circ\text{C}$ большой сосуд содержит газ под атмосферным давлением, а меньший будет откачан до вакуума, то каким будет давление в малом сосуде, когда оба сосуда будут находиться при температуре $162 \text{ }^\circ\text{C}$?
- 28.9.** Сосуды сферической формы объемом соответственно 200 и 100 м^3 , показанные на рис. 28-2, соединены короткой трубкой, в которой имеется пропускающая газ пористая перегородка, позволяющая уравнивать давления, но не температуры в сосудах. Система изолирована от окружающей среды при $27 \text{ }^\circ\text{C}$; в нее закачан кислород под давлением 760 мм рт. ст. Малый сосуд погружают в ледяную ванну с температурой $0 \text{ }^\circ\text{C}$, а большой сосуд — в емкость с паром при температуре $100 \text{ }^\circ\text{C}$. Каково конечное давление P внутри системы? Тепловым расширением сосудов можно пренебречь.

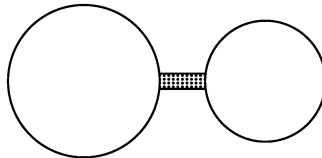


Рис. 28-2

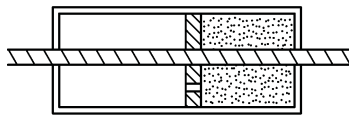
- 28.10.** Один моль идеального одноатомного газа в неизолированном сосуде с подвижным поршнем изначально имел параметры состояния P_1 , V_1 и $T_1 = 27 \text{ }^\circ\text{C}$. Затем газ медленно нагревают, затрачивая на это полную энергию $8,31 \text{ Вт}\cdot\text{ч}$, и при этом дают ему возможность расшириться до

нового состояния (V_2 и T_2) при постоянном давлении. Из оценки нового состояния газа и из работы, совершенной им во время расширения, найдите

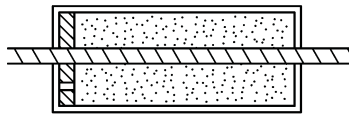
(а) T_2 ,

(б) V_2 / V_1 .

- 28.11.** В половине каждого из двух идентичных теплоизолированных цилиндров содержится гелий, а другая половина каждого из цилиндров откачана до полного вакуума. Каждый цилиндр разделен пополам поршнем, в котором имеется отверстие, перекрываемое запорным клапаном (рис. 28-3). Проводятся два эксперимента.



Начальное состояние



Конечное состояние

Рис. 28-3

- (а) Клапан одного из поршней открыт, и гелий протекает во вторую часть сосуда, пока не установится равновесие. Затем поршень медленно перемещают в один из концов цилиндра.
- (б) Поршень другого цилиндра очень медленно перемещают в откачанный конец этого цилиндра, а затем клапан открывают. Сравните количественно конечное состояние (T_k, P_k) газа в двух цилиндрах, предполагая, что изначально гелий имел температуру T_0 и давление P_0 .

Примечание. Используйте $\gamma = 5/3$ для гелия. Потерями тепла через стенки и трением поршня можно пренебречь.

- 28.12.** *Адиабатической* называется атмосфера, в которой давление и плотность как функции высоты соответствуют соотношению $P \cdot \rho^{-\gamma} = \text{const}$.

- (а) Покажите, что температура такой атмосферы линейно падает с высотой; найдите коэффициент пропорциональности. Такой температурный градиент dT/dh называется *адиабатическим градиентом* изменения температуры с высотой.
- (б) Найдите адиабатический температурный градиент земной атмосферы.
- (в) Используйте аргументы, основанные на энергетических соображениях, чтобы показать, что атмосфера, имеющая температурный гра-

диент, меньший или больший адиабатического, будет соответственно стабильной или нестабильной относительно конвекции.

- 28.13.** Цилиндр, наполненный аргоном, оборудован поршнем на пружине массой m и площадью A . При равновесии полное давление аргона равно P_0 , поршень находится на расстоянии L_0 от обоих концов системы (как показано на рис. 28-4), а пружина (с коэффициентом жесткости K) сжата на величину x_0 (ее свободная длина $L_0 + x_0$). Найдите угловую частоту ω малых колебаний ($x \ll L_0$), если газ сжимается изотермически.

Подсказка. Можете использовать приближение $1/(1+x) \approx 1 - x$ для $x \ll 1$.

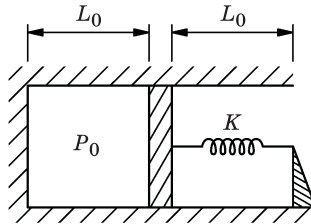


Рис. 28-4

- 28.14.** При нормальной температуре четырехокись азота может частично диссоциировать с образованием двуокиси азота следующим образом: $N_2O_4 \leftrightarrow 2NO_2$. В колбу объемом 250 см^3 поместили $0,9 \text{ г}$ жидкого вещества N_2O_4 при температуре 0°C . Когда температуру в колбе подняли до 27°C , вся жидкость выпарилась, а давление стало 960 мм рт. ст. Какой процент f_d четырехокиси азота при этом диссоциировал?

Глава 29

Принципы статистической механики

См. «Лекции», т. I, гл. 39 и 40

- 29.1.** Какова среднеквадратичная скорость $v_{\text{ср.кв}}$ объекта массой m в газе с температурой T ?
- 29.2.** Изобразите график распределения Максвелла $f(v_x)$ как функцию v_x , а также $f(v)$ как функцию v для двух различных температур — T_1 и T_2 ($T_1 > T_2$).
- 29.3.** Молекулы некоторого двухатомного газа представляют собой твердые гантели, свободно двигающиеся и вращающиеся, но не колеблющиеся в осевом направлении. Какова (классическая) теплоемкость C_V этого газа при постоянном объеме?
- 29.4.** Молярная теплоемкость при постоянном объеме некоторого вещества $C_{V,m}$ — это количество теплоты, необходимое для повышения температуры одного моля этого вещества на 1°C при поддержании постоянного объема данного вещества. Получите выражение для молярной теплоемкости при постоянном объеме для идеального
- (а) одноатомного газа,
(б) двухатомного газа.
- 29.5.** В законе, описывающем изменение атмосферного давления с высотой $n = n_0 e^{-\frac{mgh}{kT}}$, комплекс $kT/(mg) = RT/(\mu g) = h_0$ называется *приведенной высотой однородной атмосферы*, где μ — молярная масса. Оцените приведенную высоту атмосферы Земли и Солнца, зная, что $\mu_\delta = 29$ г/моль, $T_\delta = 300$ К, $\mu_{\star} = 1,5$ г/моль, $T_{\star} = 5500$ К, $g_{\star} = 2,7 \cdot 10^2$ м/с².
- 29.6.** Длинный закрытый цилиндр длиной L с поперечным сечением A установлен вертикально в поле земного притяжения. Он наполнен изотермическим однородным двухатомным газом, состоящим из N молекул, каждая из которых обладает массой m . Каково давление на двух концах этого газового цилиндра?
- Примечание.* Очевидно, что $P(h=0) - P(h=L) = Nmg/A$.
- 29.7.** Изотермическая атмосфера в постоянном гравитационном поле заключена в бесконечно высокую колонну постоянного по длине поперечного сечения A и содержит одинаковое число N двух видов молекул, одни из которых имеют массу m_1 , а другие — массу m_2 ($m_2 > m_1$).

- (а) Найдите зависимость доли молекул $f_1(h)$ с массой m_1 от высоты над поверхностью Земли ($h = 0$).
- (б) Каковы максимальное и минимальное значения функции $f_1(h)$; каким значениям h они соответствуют?
- (в) Если вы находитесь на такой высоте над Землей, где 63,2 %, т. е. $(1 - 1/e)$ доля молекул массой m_2 находятся под вами, то какая часть f молекул массой m_1 будет находиться ниже вас на этой высоте?

29.8. Закон распределения Максвелла имеет общий вид $\frac{dN}{dv} = Av^2 e^{-bv^2}$.

Его можно представить в виде функции $y = x^2 e^{-x^2}$.

(а) Нарисуйте график этой функции для $0 < x \leq 3$ и покажите, как рост кривой $y = x^2$ подавляется убывающей экспонентой.

(б) Найдите максимальную ординату этого графика.

(в) Посмотрите, насколько площадь под этой кривой приближается к интегралу $\int_0^{\infty} x^2 e^{-x^2} dx$.

29.9. В соответствии с распределением Максвелла–Больцмана доля молекул в некотором объеме, имеющих скорость v в интервале dv , определяется выражением $f(v)dv = Av^2 e^{-\frac{mv^2}{2kT}} dv$.

Исходя из этого распределения рассчитайте долю молекул $F(E)dE$, имеющих кинетическую энергию E в пределах интервала энергий dE .

29.10. Распределение по скоростям для группы частиц N задается выражениями:

$$f(v)dv = kv dv \quad (0 < v < V);$$

$$f(v)dv = 0 \quad (v > V).$$

(а) Найдите k .

(б) Найдите среднюю скорость $\langle v \rangle$ и среднеквадратичную скорость $v_{\text{ср.кв}}$.

29.11. Рассчитать для газа, находящегося в состоянии теплового равновесия, какая доля его молекул f , достигающих поверхности сосуда, обладает кинетической энергией

(а) большей, чем средняя;

(б) в 3 раза превышающей среднюю.

29.12. Два сосуда объемом $V_1 = V_2 = V$ соединены маленькой и очень тонкой капиллярной трубкой, как показано на рис. 29-1. Сосуды находятся при постоянных температурах T_1 и T_2 , соответственно. Все молекулы газа имеют одинаковую массу m . Найдите соотношение давлений в сосудах $P_1/P_2 = f(T_1, T_2)$ в зависимости от температур T_1 и T_2 .

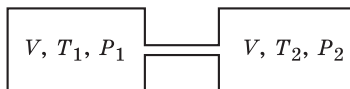


Рис. 29-1

- 29.13.** Печь при температуре T содержит n атомов массой m на единицу объема, некоторые из которых выходят через маленькое отверстие площадью A . (Отверстие достаточно маленькое, чтобы не нарушалось равновесие внутри печи.)
- (а) Какое количество атомов dn , выходящих в единицу времени через отверстие площадью A , имеет скорость в интервале от v до $v + dv$?
- (б) Какова среднеквадратичная скорость $v_{\text{ср.кв}}^{\text{вылет}}$ вылетающих атомов? (Если она отличается от среднеквадратичной скорости атомов внутри печи $v_{\text{ср.кв}}^{\text{внутр}}$, то объясните почему.)
- 29.14.** Пары натрия Na^{23} в газоразрядной трубке испускают четкую желтую линию с длиной волны $\lambda = 5890 \text{ \AA}$. Если пары находятся при комнатной температуре, оцените, какова будет ширина $\Delta\lambda$ наблюдаемой линии в результате доплеровского смещения, обусловленного тепловым движением. (*Полезная информация.* Для $\text{Na}^{23} mc^2 \approx 23 \cdot 10^9 \text{ эВ}$.)
- 29.15.** Возможность наблюдать серию линий в спектре поглощения зависит от количества атомов в состоянии с наименьшей энергией для данной серии. Если состояние с наименьшей энергией для водорода в серии Лаймана равно $-13,6 \text{ эВ}$, а для серии Бальмера равно $-3,4 \text{ эВ}$, то при какой температуре T газа число атомов, необходимых для появления спектра поглощения Бальмера, составляет $1/e$ долю от числа атомов, которые необходимы для возникновения спектра поглощения Лаймана? Это явление является основой одного из способов измерения температуры звезд.
- 29.16.** Основное состояние атома водорода имеет четыре подуровня, обладающих почти одинаковыми (или очень близкими) энергиями. Аналогично первое возбужденное состояние, с энергией на $10,2 \text{ эВ}$ выше основного состояния, имеет 16 таких подуровней. Каково соотношение N_0/N_1 количества атомов в этих состояниях на поверхности Солнца, где $T = 5700 \text{ К}$?
- 29.17.** В радиометре молекулы газа при низком давлении бомбардируют тонкие легкие лопасти крыльчатки, которые зачернены с одной стороны, а с другой покрыты блестящей краской. Когда частицы излучения ударяются об эти лопасти, поглощенная энергия уносится молекулами, ударяющими в зачерненную сторону каждой лопасти, и лопасти поворачиваются в результате наличия неуравновешенных сил.* Рассмотрим сосуд, в котором находится N молекул массой m на единицу объема при абсолютной тем-

* Зачерненная сторона лопасти имеет шероховатости, в результате чего молекулы, падающие на эту сторону, «захватываются» ее поверхностью на некоторое время перед отскоком, в то время как молекулы, падающие на блестящую сторону, сразу же от нее отскакивают. Поэтому захваченные на некоторое время зачерненной стороной молекулы пытаются прийти к тепловому равновесию с лопастью, в то время как молекулы, которые сразу отскакивают, не успевают это сделать.

пературе T . Тонкая лопасть единичной площади внутри сосуда поглощает энергию излучения с темпом 11 Вт; эта энергия отводится (изотропно) молекулами, падающими на одну сторону лопасти. Оцените неуравновешенную силу F , действующую на лопасть в воздухе при комнатной температуре.

29.18. (а) Воздух при нормальных условиях протекает со скоростью v через гладкую трубку постоянного сечения A . Когда воздух проходит через проволочную сетку, обладающую пренебрежимо малым аэродинамическим сопротивлением, он нагревается; мощность нагрева W . Воздух безостановочно выходит из этой трубки со скоростью v' . Запишите уравнение сохранения массы, энергии и импульса при прохождении воздуха по трубке и таким образом найдите:

- 1) v' ,
- 2) конечную температуру T_0 ,
- 3) силу тяги F .*

(б) Аппрокимируйте выражение для силы тяги F и обсудите на этом примере работу реактивного двигателя самолета в условиях задачи (а), если двигатель потребляет 100 кг воздуха и 2 кг керосина в секунду. Теплота горения керосина равна $4,65 \cdot 10^7$ Дж/кг. Какие осложнения могут опровергнуть ваш результат?

* Это основной принцип работы реактивного двигателя. *Подсказка.* Для простоты рассмотрите двигатель с низким КПД, когда давления на впуске и выпуске одинаковы.

Глава 30

Применение кинетической теории: равновесное распределение

См. «Лекции», т. I, гл. 41 и 42

30.1. Вычислите:

- (а) температуру, для которой $kT = 1$ эВ;
- (б) величину kT (эВ) при комнатной температуре;
- (в) длину волны фотона, соответствующего энергии квантового перехода в 1 эВ.

30.2. Энергия активации, теплота испарения, теплота образования или диссоциации и т. д. обычно выражаются в джоулях на моль или в электронвольтах на атом. Сколько Дж/моль соответствуют 1 эВ/атом?

30.3. В интервале температур 0–300 °С теплота возгонки ртути изменяется только на 3 % (в среднем это составляет около 0,61 эВ/атом). Какую ошибку вы сделаете при расчете плотности паров ртути при 0 °С, если используете теплоту возгонки при 300 °С вместо правильного значения при 0 °С?

Примечание. Незначительное в процентном отношении отличие в показателе экспоненты может привести к большой ошибке.

30.4. Для двух источников излучения, которые имеют характеристики черного тела, при температурах $T_1 = 2000$ К и $T_2 = 4000$ К найдите отношение интенсивностей I_1/I_2 света с длиной волны $\lambda = 0,31$ мкм.

30.5. (а) Постройте график плотности паров ртути в зависимости от обратной температуры $1/T$ в полулогарифмическом масштабе (соответствующие данные можно найти в физических или химических энциклопедических изданиях) и определите из этого графика температуру парообразования ртути. Сравните полученный результат с табличным значением.

(б) Повторите то же самое для воды.

Примечание. Химики используют единицу энергии, называемую *килокалорией*: 1 ккал = 4186 Дж.

30.6. Закон распределения излучения черного тела имеет вид

$$dI(\omega) = \frac{\hbar\omega^3 d\omega}{\pi^2 c^2 \left(e^{\frac{\hbar\omega}{kT}} - 1 \right)}.$$

Используя замену переменных $z = \hbar\omega/(kT)$, покажите:

- (а) полная интенсивность излучения, проинтегрированная по всем частотам, пропорциональна четвертой степени абсолютной температуры;
- (б) частота ω_m , соответствующая максимуму функции $I(\omega)$, пропорциональна абсолютной температуре.
- 30.7.** Квантовый осциллятор (например, атом) может иметь следующие четыре энергетических состояния: E , $E + \Delta E - \varepsilon$, $E + \Delta E$, $E + \Delta E + \varepsilon$. Для простоты можно пренебречь величиной ε , допустив, что осциллятор имеет одно состояние E и три состояния $E + \Delta E$.
- (а) Если у вас имеется N_0 таких осцилляторов, то какова будет теплоемкость системы C_V при температуре T ?
- (б) Какова будет величина C_V при $T \rightarrow \infty$? Дайте физическое объяснение.

Глава 31

Применение кинетической теории: явления переноса

См. «Лекции», т. I, гл. 43

31.1. Назовите физические величины, перенос которых молекулами приводит к явлениям

- (а) теплопроводности,
- (б) вязкости.

31.2. Поперечное сечение столкновения медленных нейтронов в водороде равно примерно $20 \cdot 10^{-24}$ см². Какова средняя длина свободного пробега l таких нейтронов в водороде при нормальных условиях — нормальных температуре и давлении (НТД)?

31.3. Эффективный диаметр молекулы кислорода составляет примерно 3Å . Оцените среднюю длину свободного пробега l и среднее время между столкновениями τ для молекул кислорода при НТД.

31.4. Сосуд Дьюара (термос, или просто дьюар), схематически показанный на рис. 31-1, представляет собой камеру с вакуумированными двойными стенками для термоизоляции. Предположим, что требованием хорошей изоляции дьюара с расстоянием между стенками D является условие $l > 10D$, где l — средняя длина свободного пробега молекул газа, используемого для термоизоляции. Если $D = 1$ см, а в качестве наполнителя используется кислород, то найти

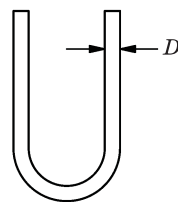


Рис. 31-1

- (а) допустимое давление газа P в междустеночном промежутке при комнатной температуре;
- (б) отношение коэффициентов теплопроводности κ_1/κ_2 газа в дьюаре для двух значений давления — $P_1 = 400$ мм рт. ст. и $P_2 = 200$ мм рт. ст.

31.5. Два газа, А и В, имеют плотности ρ_A и ρ_B при заданной температуре T_0 . Обнаружено, что подвижность для некоторых ионов равна μ_a в газе А и μ_b в газе В. Какую подвижность μ следует ожидать для таких ионов в смеси этих газов с плотностью $(\rho_A + \rho_B)$ при той же температуре T_0 ?

- 31.6.** Если в среде имеется градиент температуры dT/dx , то появляется поток энергии, пропорциональный этому градиенту (без учета конвекции). Коэффициент пропорциональности κ , приведенный к единичной площади A и единичному температурному градиенту, называется *коэффициентом теплопроводности*. Таким образом, $dE/dt = \kappa A dT/dx$. Покажите, что при отсутствии конвекции теплопроводность газа равна

$$\kappa = \frac{\kappa n_0 v l}{\gamma - 1} = \frac{1}{\gamma - 1} \cdot \frac{\kappa v}{\sigma},$$

где n_0 — количество молекул газа в единице объема (концентрация молекул), k — постоянная Больцмана, v — средняя скорость теплового движения молекул, l — средняя длина их свободного пробега, σ — поперечное сечение столкновения, $(\gamma - 1)kT$ — средняя энергия молекулы при температуре T .

Подсказка. Интерпретируйте теплопроводность как перенос внутренней (тепловой) энергии U через площадку внутри вещества на расстояние в одну длину свободного пробега в любую сторону от этой площадки.

- 31.7.** Когда в текучей среде существует градиент скорости, так что скорость меняется в зависимости от расстояния по нормали к направлению потока, то возникает сила трения между слоями, называемая *вязкостью*. В газе это явление связано с переносом импульса через площадку на расстояние в одну длину свободного пробега по любую сторону от этой площадки. Если направление потока совпадает с направлением оси x и существует градиент скорости v_x в направлении оси y , то сила вязкости, отнесенная к площадке A , перпендикулярной оси y , равна $\frac{F}{A} = \eta \frac{dv_x}{dy}$. Покажите, что для газа коэффициент вязкости η приблизительно равен

$$\eta = n_0 v m l = \frac{v m}{\sigma},$$

где n_0 — концентрация молекул газа, m и v — масса молекул и их средняя скорость теплового движения, l — средняя длина свободного пробега молекул газа, σ — их поперечное сечение столкновения.

- 31.8.** Отметим, что оба явления — теплопроводность и вязкость газа — не зависят от давления.

(а) Придумайте, как можно изменить формулы переноса энергии dE/dt между двумя плоскостями, расположенными на расстоянии D друг от друга, температуры которых равны T и $T + \Delta T$, если средняя длина свободного пробега $l \gg D$ (см. задачу 31.6).

(б) Сделайте то же для переноса импульса (силы сопротивления на единицу площади F/A) между двумя поверхностями, движущимися со скоростями v и $v + \Delta v$ (см. задачу 31.7).

31.9. Сосуд содержит 10^{24} молекул газа, для которых средняя длина свободного пробега равна l . Приблизительно для какой длины пробега L с вероятностью $1/2$ ни одна молекула из данного сосуда не сможет пройти путь, превышающий L , не испытав последующего столкновения.

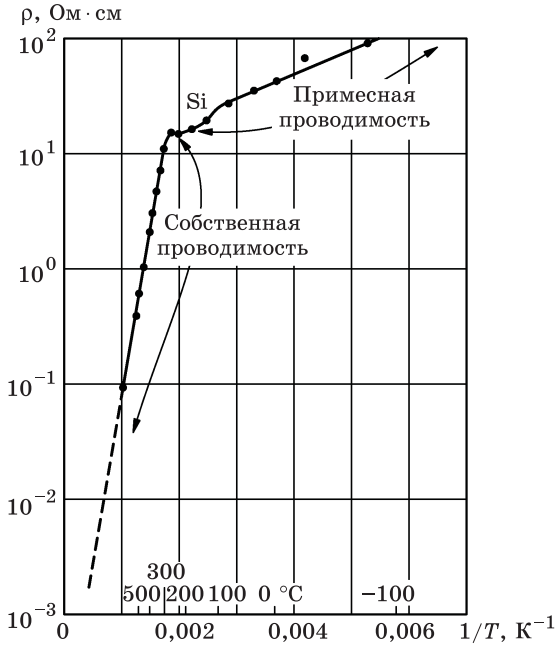


Рис. 31-2

31.10. Сопротивление почти чистого кремния в зависимости от температуры показано на рис. 31-2. Сделайте качественное предположение относительно природы прямого тока в этом веществе при температурах ниже и выше $300\text{ }^\circ\text{C}$.

31.11. В «ламинарном» потоке вязкость жидкости определяет скорость, с которой она может протекать через трубку между двумя резервуарами под различным давлением ($P_1 > P_2$). На рисунке 31-3 жидкость течет через

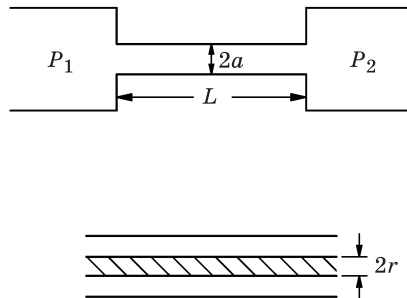


Рис. 31-3

цилиндрическую трубку радиусом a и длиной L ($L \gg l$ — средней длины свободного пробега). Жидкость имеет коэффициент вязкости η . Покажите, что в стационарном состоянии количество жидкости, протекающей в секунду из резервуара 1 в 2, определяется формулой $V = \frac{\pi a^4}{8\eta} \frac{P_1 - P_2}{L}$.

Подсказка. Суммарная сила, действующая на «тонкую струйку» жидкости, должна быть равна нулю, что приводит к распределению скоростей слоев жидкости $v = v(r)$ (см. рисунок).

- 31.12.** На рисунке 31-4 показана газоразрядная искровая камера с разрядником, состоящим из двух алюминиевых пластин, расположенных на расстоянии d одна от другой. Заряженная частица из космических лучей ионизирует (однократно) молекулу неона на своем пути между пластинами. С задержкой t между этими пластинами прикладывается импульс высокого напряжения; вдоль траектории пролета частицы наблюдается искровой разряд. Для того чтобы очистить камеру от электронов и ионов, оставшихся после пролета предыдущей частицы, между пластинами прикладывают постоянное напряжение V_D . Это «напряжение очистки» вытягивает электроны и ионы из искрового промежутка.

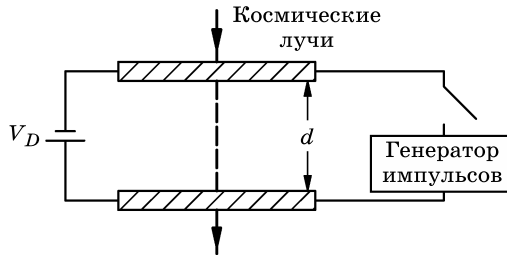


Рис. 31-4

- (а) При каком напряжении V_D полость газоразрядной искровой камеры будет полностью очищена к моменту приложения очередного импульса высокого напряжения
- (1) от электронов,
 - (2) от ионов неона.
- (б) В искровой камере с величиной зазора $d = 0,63$ см не наблюдаются треки пробоя при приложении напряжения $V_D = 80$ В, $t = 0,4 \cdot 10^{-6}$ с. Является ли наличие электронов важным для образования искры? Обоснуйте свой ответ.

Подсказка. Площадь сечения молекулы неона $\sim 4 \cdot 10^{-16}$ см², концентрация молекул неона $\sim 3 \cdot 10^{19}$ см⁻³, $m_e c^2 \approx 5 \cdot 10^5$ эВ, $m_{Ne} c^2 \approx 2 \cdot 10^{10}$ эВ, $kT \approx (1/40)$ эВ при комнатной температуре.

Глава 32

Термодинамика

См. «Лекции», т. I, гл. 44

- 32.1.** При обращении рабочего цикла идеального обратимого двигателя Карно он будет работать в качестве холодильника. Если тепло принимается при 250 К, а отдается наружу при 350 К, то сколько джоулей тепла E будет выбрасываться наружу при удалении каждого джоуля тепла из корпуса холодильника?
- 32.2.** Если внутри холодильника поддерживается температура $-3\text{ }^\circ\text{C}$, а температура окружающего воздуха равна $27\text{ }^\circ\text{C}$, то какое минимальное количество работы $W_{\text{мин}}$ необходимо затратить, чтобы удалить из холодильника 1 Дж тепла?
- 32.3.** Две обратимые машины работают по циклу Карно между одними и теми же минимальным и максимальным объемом, максимальным и минимальным давлением и максимальной и минимальной температурой. В одной из машин в качестве рабочего тела используется гелий, а в другой – воздух. Какая машина обеспечивает большее количество работы за один рабочий цикл?
- 32.4.** На современной теплоэлектростанции, использующей перегретый пар, температура парогенератора равна $600\text{ }^\circ\text{C}$. Речная вода при температуре $20\text{ }^\circ\text{C}$ подается в конденсатор для его охлаждения. Какой максимальный КПД может быть получен на такой станции?
- 32.5.** В теплоизолированном контейнере с подвижным поршнем массой M и площадью A , который может двигаться без трения, находится N граммов газообразного гелия в объеме V_1 , как показано на рис. 32-1. Внешнее давление равно P . Газ очень медленно нагревают с помощью внутренней обмотки, пока объем, занимаемый газом, не достигнет величины $2V_1$. Чему равны

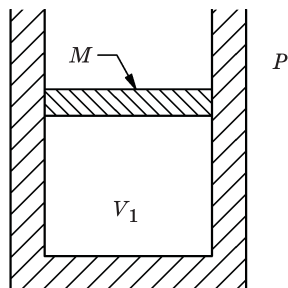


Рис. 32-1

(а) работа W , совершаемая газом;

(б) количество тепла ΔQ , переданное газу;

- (в) изменение ΔU внутренней энергии газа;
 (г) начальная $T_{\text{нач}}$ и конечная $T_{\text{кон}}$ температура газа.

32.6. Идеальный газ с коэффициентом γ изначально имеет следующие параметры: $P = P_0 = 1$ атм, $V = V_0 = 1$ л, $T = T_0 = 300$ К. Затем этот идеальный газ:

- 1) нагревается при постоянном объеме V до давления $P = 2$ атм,
- 2) расширяется при постоянном давлении P до объема $V = 2$ л,
- 3) охлаждается при постоянном объеме V до давления $P = 1$ атм,
- 4) сжимается при постоянном P до $V = 1$ л.

- (а) Нарисуйте P, V диаграмму этого процесса.
 (б) Какая работа W совершается за один цикл?
 (в) Какой максимальной температуры $T_{\text{макс}}$ достигает газ?
 (г) Чему равно суммарное количество переданного тепла ΔQ в случаях 1 и 2?
 (д) Каково комбинированное изменение энтропии ΔS во время выполнения шагов 1 и 2?

32.7. Идеальный двигатель использует идеальный газ с коэффициентом $\gamma = 4/3$ в цикле, изображенном на рис. 32-2 ($A \rightarrow B \rightarrow C \rightarrow D$). В точке A параметры состояния $P = 1$ атм, $V = 22,4$ л, $T = 300$ К; точке C соответствуют параметры состояния $P = 2$ атм, $V = 33,6$ л, $T = 900$ К.

- (а) Какая работа W производится за один цикл?
 (б) Чему равна температура T_B ?
 (в) Сколько поступающего тепла $\Delta Q_{A \rightarrow B}$ требуется для перехода $A \rightarrow B$?
 (г) Сколько поступающего тепла $\Delta Q_{B \rightarrow C}$ требуется для перехода $B \rightarrow C$?
 (д) Если данный двигатель работает только от тепловых резервуаров с температурами 900°C и 300°C , то каков максимальный КПД $\epsilon_{\text{макс}}$, с которым он может работать при использовании данного цикла?
 (е) Чему равен максимальный КПД, с которым может работать наиболее эффективная тепловая машина в данном интервале температур?

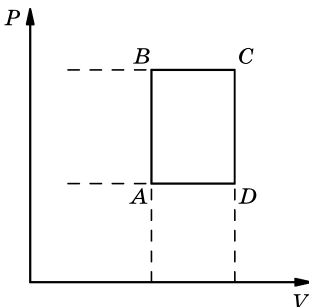


Рис. 32-2

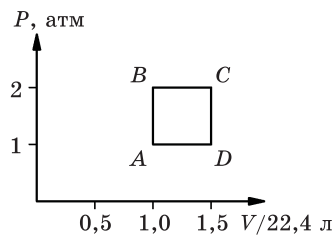


Рис. 32-3

32.8. Идеальный газ, имеющий $\gamma = 4/3$, последовательно переводится из состояния A (1 атм, 22,4 л, 273 К) в состояние C (2 атм, 33,6 л, 900 К) либо по пути ABC , либо по пути ADC , как показано на рис. 32-3.

- (а) Покажите, что изменение энтропии ΔS в обоих случаях одинаково.
(б) Рассчитайте ΔS .

32.9. В идеальном обратимом двигателе в качестве рабочего тела используется 28 г азота ($\gamma = 7/5$) в рабочем цикле $abcd$ без использования клапанов; температура нагревателя составляет 400 К, температура холодильника равна 300 К. Начальный объем газа в точке a равен 6 л, а объем в точке c составляет 18 л.

- (а) При каком объеме V_b нужно прекратить подачу в цилиндр тепла (при изотермическом расширении) и, теплоизолировав его, начать адиабатическое расширение (от V_b к V_c)?
(б) При каком объеме V_d начнется адиабатическое сжатие?
(в) Какое количество тепла $\Delta Q_{a \rightarrow b}$ поступает в систему на участке цикла $a \rightarrow b$?
(г) Какое количество тепла $\Delta Q_{c \rightarrow d}$ уходит из системы на участке $c \rightarrow d$?
(д) Чему равен КПД двигателя ε ?
(е) Чему равно изменение энтропии ΔS на 1 г рабочего вещества на участках $a \rightarrow b$ и $c \rightarrow d$?

Примечание. Нужно показать, что для цикла Карно с идеальным газом в качестве рабочего тела отношения объемов V_b/V_a и V_c/V_d при расширении одинаковы.

32.10. Один моль газа в контейнере изначально находился при температуре 127 °С. Внезапно произошло его расширение вдвое по сравнению с первоначальным объемом без теплообмена с окружающей средой. Затем газ стали медленно сжимать до его первоначального объема, поддерживая постоянной его температуру. Обнаружили, что конечная температура газа оказалась равной -3 °С.

- (а) Чему равен коэффициент γ данного газа?
(б) Чему равно изменение ΔS энтропии, если таковое произошло?

32.11. Некий газ с коэффициентом γ , находящийся в цилиндре объемом V_0 при температуре T_0 и давлении P_0 , медленно адиабатически сжимают до объема $V_0/2$. После того как в газе установилась температура равновесия (T_0) для данного объема, газу предоставили возможность медленно изотермически расширяться до его первоначального объема V_0 . Выразите через параметры P_0 , V_0 , T_0 количество работы W , которое совершил поршень над этим газом?

32.12. Переведите идеальный цикл Карно $abcd$ на P, V диаграмме между точками с параметрами T_1 и T_2 и (P_a, V_a) , (P_c, V_c) в T, S диаграмму (зависимость

температуры от энтропии) с указанием соответствующих точек $abcd$ на ней.

32.13. Первые земляне, поселившиеся на Луне, будут иметь большие проблемы с поддержанием своих жилищ при комфортной температуре. Рассмотрим возможность использования двигателя Карно для регулировки температуры. Предположим, что температура во время лунного дня достигает $+100^\circ\text{C}$, а в течение лунной ночи -100°C . Температура жизни в жилых помещениях должна поддерживаться на уровне 20°C . Мощность теплопередачи через стены жилых помещений составляет $0,5\text{ кВт}$ на каждый градус разницы температур. Найти мощность $P_{\text{день}}$, которая должна подаваться на двигатель Карно в течение дня, и мощность $P_{\text{ночь}}$, которая должна подаваться на него в ночное время.

32.14. Два «одинаковых» тела с постоянной теплоемкостью C_p , первоначально находившиеся при температурах соответственно T_1 и T_2 , используются в качестве резервуаров для двигателя Карно, работающего в режиме бесконечно малых обратимых циклов, как показано на рис. 32-4. (Тела остаются при постоянном давлении и не происходит фазовых переходов.)

(а) Покажите, что после того, как двигатель остановится, конечная температура окажется равной $T = \sqrt{T_1 T_2}$.

(б) Найдите полную работу W , совершенную двигателем.

Примечание. ΔQ связано с ΔT ; рассмотрите, что происходит с энтропией в обратимом цикле.

32.15. Беззаботный экспериментатор, торопясь уйти, оставил золотник резервуара, наполненного гелием, неплотно закрытым. Газ, первоначально находившийся при давлении 200 атм , медленно изотермически выходит из резервуара при температуре 20°C . Чему равно изменение энтропии ΔS на 1 кг газа?

32.16. Рабочий цикл идеальной газовой турбины состоит из адиабатического сжатия от A к B , передачи тепла при постоянном давлении от B к C , адиабатического расширения от C до D и отвода тепла при постоянном

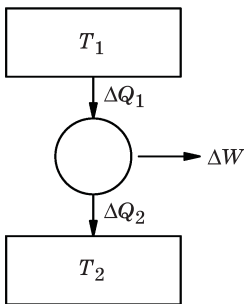


Рис. 32-4

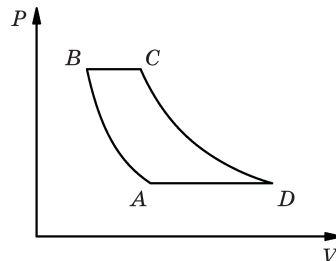


Рис. 32-5

давлении от D до A ; при этом весь цикл является обратимым (рис. 32-5). Предположим, что рабочее тело в двигателе является идеальным газом с соотношением удельных теплоемкостей γ ; через турбину за единицу времени проходит \dot{N} молей газа. Предположим далее, что максимальная температура газа T_C устанавливается равной такой максимальной температуре, которую могут выдержать горячие части турбины, а минимальная температура газа фиксируется на уровне температуры окружающего воздуха.

- (а) Найдите мощность \dot{W} , вырабатываемую турбиной, в зависимости от соотношения давлений $p = P_B/P_A$.
- (б) При каком отношении давлений p_m мощность турбины максимальна?
- (в) Чему равна максимальная мощность турбины \dot{W}_m ?
- (г) Чему равен КПД ε_m при максимальной мощности турбины \dot{W}_m ?
- (д) Чему равен объемный расход \dot{V}_A воздуха ($\gamma = 7/5$) при атмосферных условиях ($P_A = 1,013 \cdot 10^5$ Па, $T_A = 300$ К) у такой турбины, если она вырабатывает 1 МВт мощности при максимальной температуре $T_C = 1200$ К?
- (е) Чему равен КПД ε_T турбины в пункте (д)?
- (ж) Чему равно отношение давлений p_T турбины в пункте (д)?

Глава 33

Примеры из термодинамики

См. «Лекции», т. I, гл. 45 и 46

- 33.1.** Как полная интенсивность излучения полости, излучающей, как черное тело, зависит от температуры?
- 33.2.** В молекулярном газе число молекул в закрытом сосуде не зависит от температуры. Справедливо ли это же высказывание для «фотонного газа»? Объясните.
- 33.3.** Рассчитайте теплоемкость C_V «фотонного газа» при постоянном объеме V и температуре T .
- 33.4.** Постоянный ток 10 А проходит через резистор 10 Ом, который поддерживается при постоянной температуре 10 °С.
- (а) Какова скорость изменения энтропии dS_R/dt (кал·К⁻¹·с⁻¹) данного резистора?
- (б) Какой вклад dS_V/dt вносит эта величина в скорость изменения энтропии Вселенной?
- 33.5.** Покажите, что для идеального газа, внутренняя энергия которого зависит только от температуры T , разница между молярными теплоемкостями при постоянном давлении и при постоянном объеме равна универсальной газовой постоянной R ($C_{P,m} - C_{V,m} = R$).
- 33.6.** Скрытая теплота парообразования воды составляет около $2,44 \cdot 10^6$ Дж/кг, а плотность паров при 100 °С равна 0,598 кг/м³. Используйте уравнение Клапейрона–Клаузиуса для того, чтобы найти dT/dz (в К/км) — скорость изменения температуры кипения воды с высотой. Предположите, что температура воздуха составляет 300 К.
- 33.7.** Верхние слои воды в озере изначально находятся при температуре 0 °С. Холодный ветер начинает дуть, поддерживая поверхность озера при температуре, на ΔT ниже 0 °С.
- (а) Найдите скорость увеличения толщины льда dz/dt при условии, что тепловые потери, требуемые для снижения температуры уже сформированного льда, гораздо меньше, чем требуется тепла для форми-

рования нового льда. (Предположим также, что температура внутри льда изменяется линейно с глубиной.)

(б) Используя результат, полученный в части (а), вычислите толщину льда z через 1 ч после начала замерзания озера, если $\Delta T = 10^\circ\text{C}$.

При расчетах используйте следующие значения:

- 1) теплопроводность льда $\kappa = 2,0 \text{ Вт} \cdot \text{м}^{-1} \cdot \text{К}^{-1}$;
- 2) скрытая теплота образования льда $L = 3,3 \cdot 10^5 \text{ Дж/кг}$.

33.8. Два сосуда с газом объемом $V_2 = 2V_1$ разделены запорным краном, который открывается в момент времени $t = 0$ (рис. 33-1). Чему будет равно по прошествии очень долгого времени изменение энтропии ΔS газа (а), окружающей среды (б) и Вселенной (в) для двух следующих случаев:

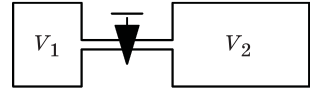


Рис. 33-1

- 1) V_1 содержит 1 моль гелия, а V_2 содержит 2 моля аргона;
- 2) V_1 содержит 1 моль гелия, а V_2 содержит 2 моля гелия.

33.9. 1) Рассчитайте изменение энтропии ΔS , когда излучение («фотонный газ»)

(а) расширяется изотермически от объема V_1 до объема V_2 ;

(б) нагревается при постоянном объеме при повышении температуры от T_1 до T_2 .

2) Воспользуйтесь результатами, полученными выше в пунктах (а) и (б), чтобы найти энтропию $S(V, T)$ для «фотонного газа», который изначально занимал объем V_0 при температуре T_0 .

33.10. Солнечный свет падает перпендикулярно на некоторую область, находящуюся в Экваториальной Африке. Если поверхность излучает, как абсолютно черное тело, то какова максимальная температура T этой области? (Солнечная постоянная равна 1395 Вт/м^2 .)

33.11. Солнце излучает, приблизительно как черное тело, при температуре 5700 К . Если солнечным светом облучать абсолютно черную медную сферу, расположенную на расстоянии одной астрономической единицы от Солнца, то какая равновесная температура T будет достигнута при этом? (Диаметр Солнца виден с Земли под углом $0,5^\circ$.)

33.12. Излучение черного тела сжимается в изотермической полости объемом V_0 при постоянной температуре, пока объем полости не уменьшится до $V_0/2$. Во сколько раз f изменилось давление излучения?

33.13. Тонкая сферическая оболочка с пренебрежимо малой теплоемкостью и радиусом R имеет зачерненную внутреннюю поверхность и внешнюю поверхность, коэффициент поглощения которой равен A для излучения черного тела. Оболочка плавает в вакууме и в момент времени $t = 0$ со-

держит «фотонный газ» при температуре T_0 . Найти температуру T в зависимости от времени $t \geq 0$.

33.14. (а) Рассмотрим тонкую черную сферическую оболочку радиусом R , содержащую идеальный одноатомный газ при температуре T_0 . Если сфера адиабатически сжимается до радиуса $R/2$, то каков фактор f изменения интенсивности излучения с точки зрения очень удаленного наблюдателя, если можно пренебречь гравитационными изменениями газа при его сжатии?

(б) Если в пункте (а) будут учтены гравитационные эффекты, то фактор f будет больше или меньше? Почему?

33.15. Рассмотрим тонкую черную сферическую оболочку (пренебрежимо малой теплоемкости) радиусом R , содержащую излучение абсолютно черного тела с температурой T_0 . Если данная сфера адиабатически сжимается до радиуса $R/2$, то во сколько раз f интенсивность излучения изменится с точки зрения очень удаленного наблюдателя?

33.16. Зачерненный сплошной медный цилиндр длиной 2 см с площадью основания 10 см^2 подвешен на тонкой теплоизолированной нити в центре откачанной сферической полости радиусом 25 см, стенки которой зачернены. Стенки полости поддерживают при постоянной температуре 27°C .

(а) Если медный цилиндр находится в тепловом равновесии с полостью, то с какой скоростью dE/dt он излучает энергию на стенки полости? Ответ представьте в Дж/с.

(б) Если цилиндр сначала нагрели до 150°C , а затем оставили охлаждаться, то какова будет скорость снижения его температуры dT/dt , когда она будет проходить через точку $T=127^\circ \text{C}$? (Предположим, что в любой момент все части медного цилиндра находятся при одинаковой температуре.)

При расчетах используйте следующие значения: $\rho_{\text{Cu}} = 8950 \text{ кг/м}^3$, $C_p(\text{Cu}) = 390 \text{ Дж/(кг}\cdot\text{K)}$.

33.17. Плотность вещества в центре Солнца составляет около 80 г/см^3 , а температура — около $13 \cdot 10^6 \text{ K}$. Вещество состоит почти полностью из протонов и электронов. Найти давление газа P_g и давление излучения $P_{\text{и}}$ в центре Солнца.

33.18. При 0°C удельный объем насыщенного водяного пара равен $206 \text{ м}^3/\text{кг}$. Чему равна скрытая теплота парообразования L , выраженная в Дж/кг, при этой температуре? (Найдите dp/dT из таблиц, вычислите L и сравните полученный результат с табличными значениями.)

33.19. (а) Используйте закономерности термодинамики для того, чтобы показать, что если вещество расширяется при замерзании, то его температура замерзания должна уменьшаться с увеличением давления.

(б) Оцените самую низкую температуру льда на катке, при которой возможно будет кататься по льду на коньках.

33.20. Некоторое тело поглощает фиксированную долю A полного излучения, падающего на его поверхность, и отражает остаток. Покажите, что при температуре T оно излучает энергию $A\sigma T^4$, где σ — постоянная Стефана–Больцмана для излучения черного тела.

$$\text{Вывод формулы } \sigma = \frac{k^4 \pi^2}{60 \hbar^3 c^3} = 5,67 \cdot 10^{-8} \text{ Вт/(м}^2 \cdot \text{К}^4)$$

представлен в разделе 45-3 из т. 1 «Лекций».

33.21. Черное тело радиусом r при температуре T окружено зачерненной с обеих сторон тонкой оболочкой радиусом R . Во сколько раз f такой радиационный экран уменьшает скорость охлаждения тела. (В пространстве между телом и оболочкой — вакуум; потерь, связанных с теплопроводностью, нет.)

33.22. Черная сферическая оболочка в определенном положении в межпланетном пространстве имеет равновесную температуру T_0 . Если бы этот же объект был покрыт слоем меди, его равновесная температура была бы выше, ниже или равна T_0 ? Типичные значения для коэффициента отражения меди $R(\lambda)$ в зависимости от длины волны λ представлены в таблице.

λ (мкм)	0,305	0,385	0,450	0,550	0,600	0,700	1,00	3,0	9,0
$R(\lambda)$	0,25	0,29	0,37	0,48	0,72	0,83	0,90	0,97	0,98

$R(\lambda) = \frac{I_{\text{отр}}}{I_{\text{пад}}}$. Представьте себе Солнце как излучатель в виде черного тела при температуре 5700 К. См. также задачу 33.20.

Глава 34

Волновое уравнение, звук

См. «Лекции», т. I, гл. 47

- 34.1.** Свойство жидкости, выражающееся в ее упругости на сжатие, определяется величиной M — объемным модулем упругости $dP = -M \frac{dV}{V}$, где dV/V — относительное изменение объема, вызванное изменением внешнего давления. Путем анализа размерности определите скорость распространения звука v в жидкости как функцию, связанную с модулем M .
- 34.2.** Два одинаковых каната малой массы, подвешенные на фиксаторах за один из концов, растягиваются грузами весом 1 кг и 2 кг, соответственно. Каково соотношение скоростей v_1/v_2 распространения поперечных волн вдоль этих канатов?
- 34.3.** Найдите отношение скоростей звука в гелии v_{He} и водороде v_{H} при одной и той же температуре.
- 34.4.** В два свистка — A и B — одинаковой длины вдуваются: в свисток A — воздух, охлажденный почти до температуры жидкого воздуха (-180°C), а в свисток B — теплый воздух. Один свисток издает звук ровно на октаву выше, чем другой (т. е. звук удвоенной частоты). Какова должна быть температура воздуха T , вдуваемого в свисток B ?
- 34.5.** Покажите, что выражение $u = Ae^{i(\omega t - kx)}$ удовлетворяет волновому уравнению $\frac{\partial^2 u}{\partial x^2} = \frac{1}{v^2} \frac{\partial^2 u}{\partial t^2}$ при условии, что ω и k связаны соотношением $\omega = vk$.
- 34.6.** Однородная абсолютно гибкая струна линейной плотностью σ кг/м растянута с натяжением T .
- (а) Получите волновое уравнение, описывающее поперечное смещение струны y .
- (б) Найдите скорость v распространения возмущения вдоль струны. Используйте предположение о том, что $\partial y/\partial x \ll 1$ во всех точках в любой момент времени; рассмотрите только плоские колебания струны.

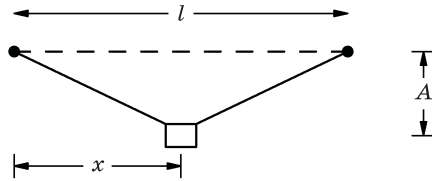


Рис. 34-1

Отметим, что компонента натяжения струны в поперечном направлении очень близка к $T \frac{dy}{dx}$.

- 34.7.** Можно изготовить примитивный музыкальный инструмент путем натяжения струны пренебрежимо малой массой с силой натяжения T между двумя точками, прочно прикрепив груз массой m к этой струне на расстоянии x от одного конца, как показано на рис. 34-1. Грузик оттягивают из положения равновесия на небольшое расстояние A ($A \ll x$, $A \ll l - x$), а затем дают возможность струне вибрировать.
- Найдите частоту ν звука.
 - Напишите уравнение для смещения массы из положения равновесия как функцию времени $y(t)$.
 - Какие минимальные и максимальные частоты можно извлечь на этом инструменте при изменении положения x ? Эффектами гравитации можно пренебречь.
- 34.8.** Звуковая волна проходит через газ с плотностью ρ_0 и давлением P_0 . Смещение молекул газа описывается уравнением $\xi = \xi_m \cos(\omega t - kx)$.
- Найдите уравнение для давления P в газе как функцию x и t .
 - Найдите кинетическую энергию движения T , переносимую через площадь A в плоскости y, z звуковой волной длиной λ , распространяющейся в объеме газа вдоль оси x .
- 34.9.** Легкая растяжимая диафрагма расположена внутри органной трубы, в которой уровень звука равен 120 дБ на частоте 100 Гц. Рабочей средой является воздух при НТД.
- Какова амплитуда χ_m колебаний диафрагмы (в см)?
 - Какова амплитуда изменения температуры газа ΔT ?
- 34.10.** Если вы вдохнете гелий и начнете говорить, то ваш голос будет звучать неестественно высоко.
- Если бы все ваши резонансные полости (“пустоты в вашей голове”) были заполнены гелием вместо воздуха, то на сколько увеличилась бы каждая резонансная частота?
 - Если бы вы при этом напевали песню, то как повлиял бы гелий на тональность вашего пения? Обсудите.

- 34.11.** Двумя руками растяните резиновую ленту длиной около 5 см между кончиками пальцев обеих рук; оттяните ее так, чтобы услышать звук; затем растяните ленту в 2, 3, 4 или 5 раз по сравнению с первоначальной длиной, не меняя ее массы, и снова поиграйте на ней. Обсудите полученный результат. Почему струна скрипки не имеет такого же эффекта, если вы увеличите ее длину?
- 34.12.** Рассмотрим стоячую плоскую звуковую волну частотой 1000 Гц, в которой пики давления отличаются на $\pm 0,1$ Па относительно предварительно измеренного атмосферного давления 10^5 Па.
- (а) Чему равно изменение плотности ρ_e , сопровождающее распространение такой волны?
- (б) Чему равно максимальное смещение χ_m частиц воздуха в волне?
- (в) Чему равна интенсивность волны?

Примечание. Возьмите скорость звука равной 340 м/с.

Глава 35

Линейные волновые системы: биения, собственные колебания

См. «Лекции», т. I, гл. 46 и 49

- 35.1. Если записать волновое уравнение как $\frac{\partial^2 y}{\partial x^2} = \frac{1}{c^2} \frac{\partial^2 y}{\partial t^2}$, то каковы фазовая $v_{\text{фаз}}$ и групповая $v_{\text{груп}}$ скорости, выраженные в единицах скорости c ?
- 35.2. Если в среде фазовая скорость отличается от групповой скорости, мы говорим о дисперсии. Можно ли найти дисперсию
- (а) в слышимой звуковой волне в воздухе;
 - (б) в натянутой медной проволоке;
 - (в) в волне на поверхности воды?
- 35.3. Фазовая скорость волны длиной λ , распространяющейся по поверхности воды, если пренебречь поверхностным натяжением и конечной глубиной водоема, равна $v_{\text{фаз}} = \sqrt{g\lambda/(2\pi)}$.
- (а) Покажите, что групповая скорость волны $v_{\text{груп}}$ равна половине фазовой скорости $v_{\text{фаз}}$.
 - (б) Каковы фазовая и групповая скорости волны длиной 1000 м?
- 35.4. Шесть тел массой m каждое, соединенные одинаковыми пружинами, двигаются вдоль воздушного линейного аэрожелоба (специального устройства, разработанного в Калтехе. — *Прим. перев.*), как показано на рис. 35-1. Какое число независимых типов собственных колебаний будет иметь такая система?



Рис. 35-1

- 35.5. Запишите решение $u = u(x, y, t)$ волнового уравнения, описывающего вибрационные собственные колебания прямоугольной пластины, показанной на рис. 35-2, зафиксированной по ее краю. Предположите, что колебания распространяются вдоль этой пластины со скоростью c , а их амплитуда равна A .

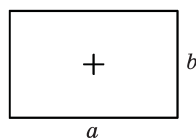


Рис. 35-2

- 35.6.** Используя понятие о бесконечно длинных периодических волновых пакетах, движущихся в противоположных направлениях, выясните, что произойдет, если идеальная однородная растянутая струна длиной L , крепко зажатая с обоих концов, оттянута в средней точке в сторону на расстояние A (перпендикулярно к ее длине), а затем отпущена. Зарисуйте несколько положений струны в различные моменты полупериода первой гармоники.
- 35.7.** С учетом поверхностного натяжения фазовая скорость волны на поверхности жидкости плотностью ρ и поверхностным натяжением T равна
$$v_{\text{фаз}} = \left(\frac{2\pi T}{\lambda\rho} + \frac{g\lambda}{2\pi} \right)^{1/2}$$
 при условии, что глубина достаточно велика. Найдите групповую скорость $v_{\text{груп}}$ такой волны.
- 35.8.** Найдите фазовую скорость ряби $v_{\text{фаз}}$ с длиной волны 1 см на поверхности:
- (а) воды (поверхностное натяжение 70 дин/см);
 (б) этилового спирта (поверхностное натяжение 26 дин/см).
- 35.9.** Рябь на поверхности воды движется с минимальной скоростью. Скорость перемещения ряби c . Найдите
- (а) длину волны ряби λ ,
 (б) частоту ряби ν .
- 35.10.** Два источника звука — S_1 и S_2 — расположены на расстоянии 10 м друг от друга, как показано на рис. 35-3. На той же линии в точках A и B находятся два наблюдателя. Источник S_1 дает плоскую волну, избыточное давление в которой равно $p_{\text{изб}} = A\cos(200t)$, а источник S_2 — плоскую волну, в которой $p_{\text{изб}} = A\cos(210t)$. Все отрезки $\overline{S_1S_2}$, $\overline{S_2A}$ и \overline{AB} равны 10 м. Для пунктов (а) и (б), приведенных ниже, возьмите скорость звука равной 340 м/с.

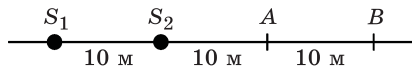


Рис. 35-3

- (а) Сколько биений в секунду ν слышит каждый наблюдатель?
 (б) Какой временной интервал Δt между максимумами импульсов фиксируют наблюдатели в точках A и B ?
 (в) Если бы в среде была дисперсия, такая что волна более высокой частоты распространялась бы со скоростью 341 м/с, а волна с меньшей частотой — со скоростью 340 м/с, то с какой скоростью v перемещались бы биения из точки A в точку B ?
- 35.11.** Длинный дизельный товарный поезд идет в гору со скоростью 5 м/с по прямому пути. Когда он достигает туннеля в отвесной скале, машинист

дает длинный непрерывный гудок основной частотой 340 Гц. Звук гудка и его эхо, возникающее при отражении от стен, слышат машинист и дорожный рабочий, находящийся на земле вблизи последнего вагона. Рассчитайте, какой частоты звук слышат

- (а) машинист,
- (б) дорожный рабочий.

35.12. Покажите, что функция $f(x, y, z, t) = Ae^{i\omega t} \sin \frac{l\pi x}{a} \sin \frac{m\pi y}{b} \sin \frac{n\pi z}{c}$, где $\omega^2 = v^2 \pi^2 \left(\frac{l^2}{a^2} + \frac{m^2}{b^2} + \frac{n^2}{c^2} \right)$, а l, m, n — целые числа, большие или равные единице,

- (а) удовлетворяет трехмерному волновому уравнению (описывающему волну со скоростью распространения v);
- (б) равна 0 при $x = 0, x = a, y = 0, y = b, z = 0, z = c$;
- (в) осциллирует во времени подобно синусоиде;
- (г) какова самая низкая частота ω_0 , если $a : b : c = 1 : 2 : 3$?

35.13. В прямом аэрожелобе два тела массой соответственно m_1 и m_2 , скользящие вдоль него с незначительным трением, соединены с двумя противоположными стенками пружинами с коэффициентами жесткости соответственно k_1 и k_2 , где $k_1 / m_1 = k_2 / m_2 = \omega_0^2$; также они соединены друг с другом с помощью пружины с жесткостью k , как показано на рис. 35-4.

- (а) Запишите уравнения движения двух тел.
- (б) Подставьте $x = Ae^{i\omega t}, y = Be^{i\omega t}$ в эти уравнения и найдите частоты и амплитуды двух нормальных мод колебаний.

35.14. Три маятника каждый длиной l расположены симметрично, как показано на рис. 35-5. Центральный груз массой $2m$ соединен с внешними грузами, каждый массой m , идеальными пружинами с коэффициентом жесткости k . Каковы частоты и относительные смещения (x_1, x_2, x_3) маятников для каждого из трех видов нормальных собственных колебаний системы? Предположите, что колебания происходят только в плоскости рисунка.

Подсказка. Использование физических соображений могло бы сильно упростить математические выкладки при решении этой задачи.

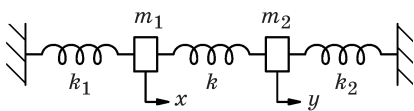


Рис. 35-4

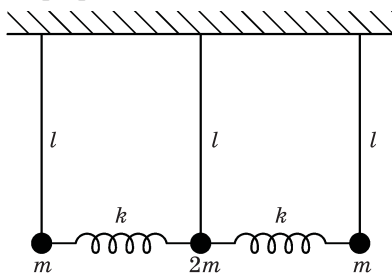


Рис. 35-5

- 35.15.** Два одинаковых цилиндра с моментом инерции I подвешены на одинаковых проволоках с постоянной кручения K , как показано на рис. 35-6. Маятникообразное движение этих цилиндров не допускается. Сколько будет иметься видов собственных колебаний и чему будут равны их периоды T ?
- 35.16.** Два одинаковых груза массой m подвешены на одинаковых пружинах с постоянной упругости k , как показано на рис. 35-7. Найдите угловые частоты ω нормальных собственных колебаний. Маятникообразное движение этих грузов не допускается.
- 35.17.** Тонкий стержень массой M , длиной L движется без трения по горизонтальному столу. Движение его центра масс происходит вдоль прямой линии $a - a'$, как показано на рис. 35-8. К его концам прикреплены две одинаковые пружины (постоянные упругости каждой пружины K); эти пружины работают параллельно линии aa' . При условии колебаний с малыми амплитудами
- найдите собственные частоты нормальных колебаний системы;
 - опишите движение стержня для этих колебаний.
- 35.18.** В стоячей волне, которая описывается уравнением $y = A \sin(kx) \cos(\omega t)$, каждый элемент массой σdx растянутой струны вдоль направления распространения волны может рассматриваться как бесконечно малый гармонический осциллятор с колебаниями около точки $y = 0$. Определите полную энергию E , накопленную в пределах длины λ стоячей волны.
- 35.19.** Нерелятивистский электрон массой m находится между двух пластин, разделенных промежутком L .
- Оцените, используя принцип неопределенности, минимально возможную кинетическую энергию $T_{\text{мин}}$.
 - Рассчитайте эту энергию, используя условие, что волновая функция, описывающая электрон, является стоячей синусоидальной волной с узлами на границах.
 - Каков средний импульс $\langle p \rangle$ электрона? (Внимание. Учтите амплитуду и направление импульса.)

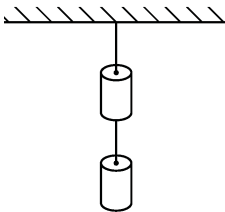


Рис. 35-6

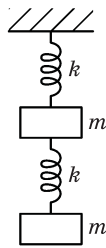


Рис. 35-7

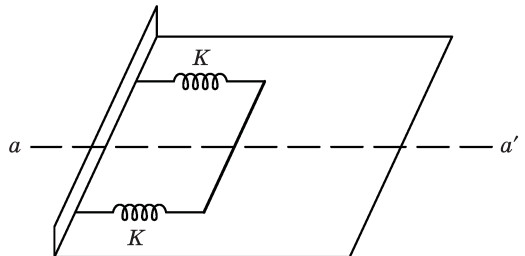


Рис. 35-8

Глава 36

Фурье-анализ волн

См. «Лекции», т. I, гл. 50

36.1. Разложите в ряд Фурье следующие функции:

(a) $y = \text{const}$,

(б) $y = \sin x$ ($0 \leq x \leq 2\pi$).

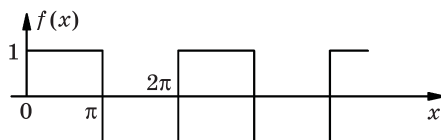


Рис. 36-1

36.2. Используя Фурье-разложение $f(x) = \frac{4}{\pi} \left(\sin x + \frac{1}{3} \sin 3x + \frac{1}{5} \sin 5x + \dots \right)$ прямоугольной волны, изображенной на рис. 36-1, покажите, что

(a) $1 - \frac{1}{3} + \frac{1}{5} - \frac{1}{7} \pm \dots = \pi/4$,

(б) $1 + \frac{1}{9} + \frac{1}{25} + \frac{1}{49} + \dots = \pi^2/8$,

(в) $1 + \frac{1}{4} + \frac{1}{9} + \frac{1}{16} + \frac{1}{25} + \dots = (4/3) \left(1 + \frac{1}{9} + \frac{1}{25} + \frac{1}{49} + \dots \right) = \pi^2/6$.

36.3. (a) Разложите периодическую функцию $g(x)$, один цикл которой показан на рис. 36-2, в ряд Фурье и покажите, что ваш результат согласуется с результатом, полученным путем интегрирования функции, приведенной в задаче 36.2.

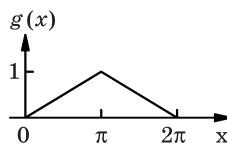


Рис. 36-2

(б) Используйте результат, полученный в части (a), для того, чтобы показать, что

(1) $1 + 1/3^4 + 1/5^4 + 1/7^4 + \dots = \pi^4/96$,

(2) $\sum_{n=1}^{\infty} 1/n^4 = \frac{2^4}{2^4 - 1} (1 + 1/3^4 + 1/5^4 + \dots) = \pi^4/90$.

36.4. В главе 45 из т. I «Лекций» требуется вычислить интеграл $\int_0^{\infty} \frac{x^3 dx}{e^x - 1}$, что можно сделать, умножив числитель и знаменатель на e^{-x} , разложив подынтегральную функцию в ряд $\frac{1}{1 - e^{-x}} = 1 + e^{-x} + e^{-2x} + \dots$ и интегрируя ее по-

членно. Получим: $\int_0^{\infty} \frac{x^3 dx}{e^x - 1} = \int_0^{\infty} u^3 e^{-u} du (1 + 1/2^4 + 1/3^4 + \dots) = 6\pi^4/90 = \pi^4/15$.

Проверьте это.

- 36.5. Гитарная струна щипком оттянута по центру, как показано на рис. 36-3. Вычислите амплитуды первых трех гармоник — A_1, A_2, A_3 — относительно амплитуды основной гармоники A_0 .

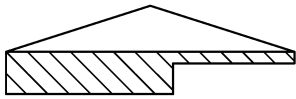


Рис. 36-3

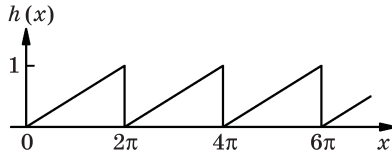


Рис. 36-4

- 36.6. Найдите Фурье-разложения пилообразной функции $h(x)$, которая описывает ток, протекающий в цепи горизонтальной развертки электронного осциллографа, как изображено на рис. 36-4.

- 36.7. Струна длиной L имеет линейную плотность массы σ и растянута с силой натяжения S .

В момент времени $t = 0$ ее форма имеет вид $y(x) = 3 \sin \frac{\pi x}{L} + \sin \frac{3\pi x}{L}$.

- (а) Каков период колебаний T ?
- (б) Какова форма струны в момент $t = T/2$, соответствующий полупериоду колебаний?
- 36.8. Выпрямитель преобразует синусоидальную волну (например, волну напряжения) с амплитудой V_0 в волну напряжения, показанную на рис. 36-5.

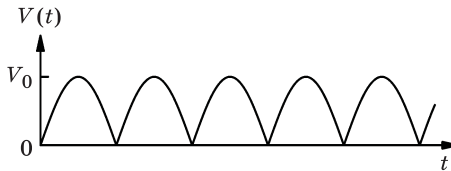


Рис. 36-5

- (а) Вычислите среднее значение напряжения $V(t)$. Оно называется *выходным постоянным напряжением*.
- (б) Найдите амплитуду второй гармоники A_2 в выходном напряжении $V(t)$.
- 36.9. С трансформатора снимается выходное напряжение, пропорциональное величине $V_{\text{вых}} = V_{\text{вх}} + \varepsilon(V_{\text{вх}})^3$. Выясните, к каким эффектам приведет учет кубического члена, если:
- (а) входная волна синусоидальная (пропорциональна $\sin x$);
- (б) две или более входные синусоидальные волны с разными частотами складываются вместе.

Задачи к тому II

- Электричество и магнетизм
- Электродинамика
- Физика сплошных сред

Введение

Набор приведенных здесь задач представляет собой коллекцию задач, предлагавшихся второкурсникам Калтеха в течение 1962–1964 гг., т. е. в первые два года, когда преподавание курса физики было пересмотрено в свете лекций профессора Фейнмана. Упражнения сначала были представлены в виде домашних заданий или экзаменационных задач, поэтому они сильно отличались друг от друга по сложности. Задачи в каждой главе настоящего сборника расположены примерно (но не строго) в порядке возрастания их сложности. Как и комплект задач для тома I, данная подборка не является окончательной и может быть дополнена или пересмотрена по мере изменения курса. Идеи около половины всех задач были даны Р. Ф. Фейнманом. Остальные задачи были подготовлены с участием преподавателей, которые проводили занятия со второкурсниками. Это Дж. Блю, Т. Коги, Дж. Чаплин, М. Клаузер, Р. Дашен, Р. Долен, Р. Гриффит, Ф. Хенъи, В. Карзас, Р. Каванах, П. Петерс, Дж. Пайн, М. Плессет, М. Сэндс, И. Таммару, А. Тайтл и Ч. Уилтс.

Первое издание большинства задач было подготовлено Ч. Уилтсом и мной после 1962/1963 учебного года. Хотя большинство задач являются оригинальными или хотя бы оригинальными версиями «стандартных» задач, некоторые из них были напрямую взяты из следующих источников: *N.H. Frank, Introduction to Electricity and Optics, 2-nd ed., McGraw-Hill, N. Y., 1950*; *D. Halliday and R. Resnick, Physics for Students of Science and Engineering, Wiley, N. Y., 1960*.

Мы благодарим авторов и издателей за разрешение опубликовать их задачи.

Вся работа, включая набор, первую верстку, общие наброски, промежуточные этапы и конечную верстку, была проделана г-жой Ф. Л. Уоррен, за что ей выражается огромная благодарность.

Дж. Нойгебауэр

Глава 37

Электромагнетизм

См. «Лекции», т. II, гл. 1

37.1. (а) Какой должна быть масса протона M , чтобы сила гравитационного притяжения между двумя покоящимися протонами по величине совпала с силой их электрического отталкивания? Каково отношение этой массы к действительной массе протона m_p ?

(б) Какой была бы сила F электростатического взаимодействия двух монет 20 центов, помещенных на противоположных концах лекционной доски, ширина которой равна 10 м, если бы заряды ядер и электронов этих монет были разбалансированы примерно на 1%? Можете ли вы представить себе объект, вес которого по величине совпадал бы с этой силой? (Предположим, что монета 20 центов изготовлена из чистого серебра массой $2,5 \cdot 10^{-3}$ кг.)

37.2. (а) Оцените приближенно работу W_U , которую необходимо затратить на преодоление силы электрического отталкивания при образовании ядра урана из двух одинаковых половинок.

(б) Чему была бы равна такая работа W_{He} при образовании ядра гелия из двух дейтронов?

Выразите оба ответа в киловатт-часах на килограмм (кВт·ч/кг).

37.3. На каждый атом меди приходится один электрон «проводимости». Какова средняя скорость $\langle v \rangle$ электронов проводимости, если через медный провод №10 с погонными параметрами примерно 21,4 м/кг течет ток 10 А? (Кусок такого провода массой 0,45 кг имеет длину 9,69 м и диаметр 2,588 мм. — Прим. перев.) Чему равно в этом случае отношение $\langle v \rangle^2/c^2$? (Указание. Отношение «магнитных» эффектов к «электрическим» имеет такой же порядок величины.)

37.4. В области пространства создано однородное электрическое поле E напряженностью 10 000 В/см, направленное вдоль оси $+x$, а также однородное магнитное поле B , направленное вдоль оси $+y$. Через эту область в направлении оси $+z$ по прямой линии движется пучок μ -мезонов со скоростью, равной $c/3$, как показано на рис. 37-1. Масса заряженного

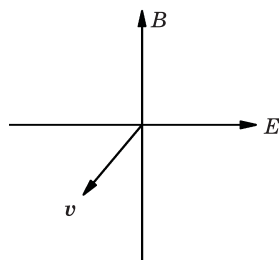


Рис. 37-1

μ -мезона составляет 207 электронных масс, а заряд по величине совпадает с зарядом электрона.

- (а) Какова индукция B магнитного поля?
- (б) Можно ли с помощью этого эксперимента определить знак заряда μ -мезона (плюс или минус)?

37.5. В некоторой области пространства создано такое однородное магнитное поле \mathbf{B} , что $B_x = 0$, $B_y = 0$ и $B_z = B_0$. Поле постоянно во времени, и в рассматриваемой нами области пространства электрических полей и токов нет. Из начала координат в положительном направлении оси x со скоростью v вылетает частица массой m с положительным зарядом $+q$.

- (а) Нарисуйте и охарактеризуйте количественно через B_0 , m , v и q параметры траектории частицы (в предположении что $v/c \ll 1$).
- (б) Предположите, что $B_x = 0$, $B_y = 0$, а $B_z = B_0 + ax$, где $a > 0$ и ax всюду мало (но не пренебрежимо мало) по сравнению с B_0 . Опишите качественно траекторию частицы. (См. работу Шарпака с сотрудниками, опубликованную в «Physical Review Letters», т. 6, с. 128 (1961), где подобное поле использовалось в одном ответственном эксперименте.)
- (в) Покажите, что магнитное поле, описанное в пункте (б), не удовлетворяет уравнениям Максвелла, если оно заключено в конечном объеме и, как предполагалось выше, в этом объеме нет ни токов, ни электрического поля.

37.6. Частица массой m и положительным зарядом q находится в точке $x = z = 0$, $y = a$ и движется с небольшой скоростью $v = v_0 e_x$. На частицу оказывает влияние отрицательный точечный заряд $-Q$, расположенный в начале координат, а также однородное магнитное поле \mathbf{B}_0 , направленное в положительном направлении оси z .

- (а) При какой величине напряженности поля \mathbf{B}_0 траектория частицы будет представлять окружность радиусом a с центром в начале координат?
- (б) Объясните, почему, когда напряженность магнитного поля отличается от найденной, скорость частицы зависит только от ее расстояния до начала координат.
- (в) Схематически изобразите несколько витков траектории частицы, когда она начинает свое движение из точки $x = z = 0$, $y = a$ с нулевой скоростью.

Глава 38

Дифференциальный расчет векторных полей

См. «Лекции», т. II, гл. 2

38.1. Медная проволока радиусом a покрыта концентрическим слоем изоляции, внешний радиус которого равен b . Электрическим током проволока нагревается до температуры T_1 , при этом температура внешней поверхности изоляционного покрытия T_2 остается почти комнатной.

(а) Чему равен градиент температуры ∇T внутри покрытия? Ответ выразить в переменных a , b , T_1 и T_2 .

(б) Чему равна разность температур $(T_1 - T_2)$, если через медную проволоку диаметром 1,3 мм и погонным сопротивлением $3,28 \cdot 10^{-3}$ Ом/м, покрытую слоем резины (толщиной 0,2 см, с коэффициентом теплопроводности $1,6 \cdot 10^{-3}$ Вт·см $^{-1}$ К $^{-1}$), пропускать ток силой 20 А?

38.2. Вычислением «в лоб» покажите, что

(а) $\nabla \cdot (\nabla \times \mathbf{A}) = 0$,

(б) $\nabla \times (\nabla \times \mathbf{A}) = \nabla (\nabla \cdot \mathbf{A}) - \nabla^2 \mathbf{A}$.

38.3. Покажите, что если \mathbf{R} — радиус-вектор, проведенный из начала координат в точку (x, y, z) , то

(а) $\nabla \cdot \mathbf{R} = 3$,

(б) $\nabla \times \mathbf{R} = 0$.

Покажите, что везде, за исключением точки $R = 0$, справедливы равенства (в, г, д):

(в) $\nabla \cdot (\mathbf{R}/R^3) = 0$,

(г) $\nabla \times (\mathbf{R}/R^3) = 0$,

(д) $\nabla(1/R) = -\mathbf{R}/R^3$.

(е) Из равенства (б) и формулы (2.46) из т. II «Лекций» следует, что вектор \mathbf{R} можно представить в виде $\mathbf{R} = \nabla \varphi$. Чему равна величина φ ?

38.4. Уравнения Максвелла имеют вид:

(1) $\nabla \cdot \mathbf{E} = \rho/\epsilon_0$,

(2) $\nabla \times \mathbf{E} = -\partial \mathbf{B}/\partial t$,

(3) $\nabla \cdot \mathbf{B} = 0$,

(4) $c^2 \nabla \times \mathbf{B} = \partial \mathbf{E}/\partial t + \mathbf{j}/\epsilon_0$,

а закон сохранения заряда

(5) $\nabla \cdot \mathbf{j} = -\partial \rho/\partial t$.

- (а) Покажите, что уравнение (3) согласуется (совместимо) с дивергенцией от уравнения (2).
- (б) Покажите, что уравнение (5) является следствием из дивергенции от уравнения (4) (т. е. справедливость уравнений Максвелла требует, чтобы выполнялся закон сохранения заряда).
- (в) Покажите, что в пустом пространстве ($\mathbf{j} = 0, \rho = 0$) вектор \mathbf{E} удовлетворяет волновому уравнению $\nabla^2 \mathbf{E} - \frac{1}{c^2} \frac{\partial^2 \mathbf{E}}{\partial t^2} = 0$.

Подсказка. Возьмите ротор от уравнения (2).

- (г) Покажите, что в пустом пространстве вектор \mathbf{B} удовлетворяет аналогичному уравнению

$$\nabla^2 \mathbf{B} - \frac{1}{c^2} \frac{\partial^2 \mathbf{B}}{\partial t^2} = 0.$$

- (д) Покажите, что уравнение (2) подразумевает, что вектор \mathbf{E} может быть записан в виде

$$\mathbf{E} = -\nabla\varphi - \frac{\partial \mathbf{A}}{\partial t},$$

где \mathbf{A} определяется выражением $\mathbf{B} = \nabla \times \mathbf{A}$.

- (е) Почему вектор \mathbf{B} может быть записан как $\nabla \times \mathbf{A}$?

38.5. Пусть $v(x, y, z)$ — поле скоростей твердого тела, вращающегося вокруг некоторой оси. Покажите, что

(а) $\nabla \cdot \mathbf{v} = 0$,

(б) $\nabla \times \mathbf{v} = 2\boldsymbol{\omega}$, где $\boldsymbol{\omega}$ — угловая скорость.

38.6. (а) Покажите прямым вычислением, что если \mathbf{A} — постоянный вектор, а \mathbf{R} — радиус-вектор, то $\nabla \times (\mathbf{A} \times \mathbf{R}) = 2\mathbf{A}$.

(б) Мы знаем, что для векторов справедливо равенство

$$\mathbf{B} \times (\mathbf{A} \times \mathbf{C}) = \mathbf{A}(\mathbf{B} \cdot \mathbf{C}) - (\mathbf{B} \cdot \mathbf{A})\mathbf{C},$$

что может привести нас к выводу, что

$$\nabla \times (\mathbf{A} \times \mathbf{R}) = \mathbf{A}(\nabla \cdot \mathbf{R}) - (\nabla \cdot \mathbf{A})\mathbf{R} = 3\mathbf{A} \text{ (неверный результат).}$$

Почему подстановка ∇ вместо \mathbf{B} дает неверный результат?

38.7. Длинный стальной стержень подвергается термической обработке, в результате чего в некоторый момент времени t после начала остывания стержня график распределения температуры $T(x)$ вдоль стержня имеет вид, изображенный на рис. 38-1, а. Изотермы, нанесенные с интервалом температур 10°C , изображены на рис. 38-1, б. Будем предполагать, что температура в каждой точке стержня зависит только от расстояния x до конца стержня.

- (а) Нарисуйте в точках A, B, C векторы, направление и длина которых совпадают с направлением и величиной ∇T .

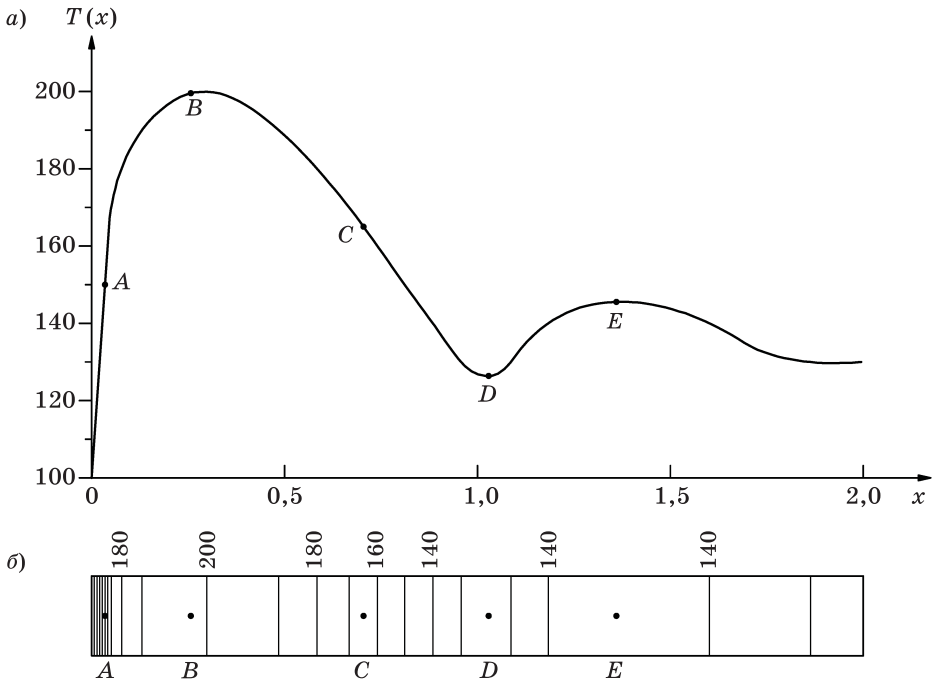


Рис. 38-1

(б) В какой из пяти отмеченных точек дивергенция теплового потока \mathbf{h} максимальна?

(в) В каких из этих точек $\nabla \times \mathbf{h} = 0$?

Глава 39

Интегральное исчисление векторов

См. «Лекции», т. II, гл. 3

39.1. (а) Уравнения Максвелла в т. II, гл. 1 «Лекций» были сформулированы в виде утверждений в интегральной форме, а в гл. 2 — в дифференциальной форме. Покажите, что обе формы уравнений Максвелла эквивалентны.

(б) Если ρ — объемная плотность зарядов, а \mathbf{j} — вектор плотности тока, то покажите, что уравнение $\nabla \mathbf{j} = -\frac{\partial \rho}{\partial t}$ есть не что иное, как закон сохранения заряда.

39.2. Поверхность шара равномерно покрыта слоем радиоактивного вещества, которое испускает α -частицы высокой энергии. Вообразим, что α -частицы вылетают из поверхности шара только наружу и в радиальном направлении. С поверхности шара тем самым стекают заряды, т. е. течет некоторый ток. Создает ли этот ток магнитное поле?

39.3. Напряженность электрического поля точечного заряда, помещенного в начало координат, имеет вид

$$\mathbf{E} = \frac{K}{r^3} \mathbf{r},$$

где $\mathbf{r} = x\mathbf{e}_x + y\mathbf{e}_y + z\mathbf{e}_z$, $r = (x^2 + y^2 + z^2)^{1/2}$; K — некоторая постоянная.

(а) Вычислите поток вектора напряженности электрического поля \mathbf{E} через поверхность сферы S радиусом a , центр которой совпадает с зарядом.

(б) Воспользовавшись теоремой Остроградского–Гаусса, представьте поток вектора \mathbf{E} через поверхность сферы в виде объемного интеграла от $\nabla \cdot \mathbf{E}$. Можете ли вы объяснить полученный результат?

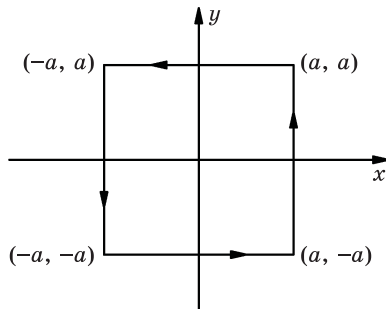


Рис. 39-1

- (в) Вычислите линейный интеграл от вектора \mathbf{E} вдоль контура s , изображенного на рис. 39-1 (контур s лежит в плоскости x, y). Убедитесь в правильности полученного результата, воспользовавшись теоремой Стокса.
- 39.4.** (а) На основании решения задачи 38 (а), получите формулу (практически бесполезную) для произвольного объема V в виде интеграла по поверхности этого объема S .
- (б) Убедитесь в правильности вашего ответа в части (а) для сферы и прямоугольного параллелепипеда.

Глава 40

Электростатика

См. «Лекции», т. II, гл. 4

40.1. Посмотрите на рис. 40-1.

- (а) Найдите потенциал ϕ в точке P , удаленной на расстояние r от заряженной нити длиной $(l_1 + l_2)$ м. Линейная плотность зарядов на нити равна λ (Кл/м).
- (б) Сравните полученный в части (а) результат с тем потенциалом, которого следует ожидать в случае, если $r \gg (l_1 + l_2)$.
- (в) Проверьте ваш ответ, полученный в части (а), для предельного случая $r \ll (l_1 + l_2)$, сравнив напряженность электрического поля E , найденную с использованием выражения для потенциала ϕ , с полем, вычисленным с помощью теоремы Гаусса.

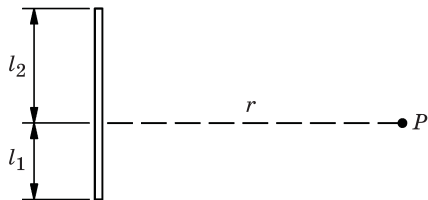


Рис. 40-1

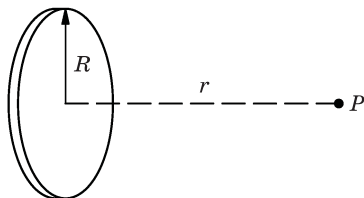


Рис. 40-2

- 40.2. Вычислите напряженность электрического поля E в точке P на оси тонкого, равномерно заряженного, с плотностью заряда σ диска радиусом R , на расстоянии r от его центра (рис. 40-2).
- 40.3. Имеются две концентрические металлические сферы, показанные на рис. 40-3. Внутренней сфере сообщен заряд q' , а внешней — заряд q .
- (а) Изобразите на графике радиальную составляющую электрического поля E_r как функцию радиального расстояния.
- (б) Изобразите график потенциала относительно бесконечности как функцию радиального расстояния.
- (в) Каков потенциал ϕ на поверхности внутренней сферы?
- (г) Объясните, что случится с полем для случаев $r_b < r < r_c$ и $r > r_c$, если центр сферы сдвинуть относительно внешней сферы.

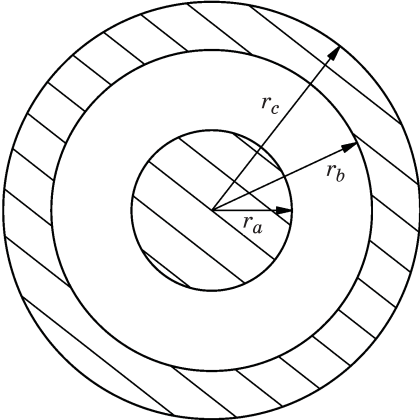


Рис. 40-3

Глава 41

Применение закона Гаусса

См. «Лекции», т. II, гл. 5

- 41.1. Покажите, что электрический потенциал ϕ имеет следующее интересное свойство: среднее значение ϕ на воображаемой сферической поверхности является равным значению ϕ в центре этой же сферы, если внутри сферы нет электрических зарядов. Можете ли вы описать случаи, где это свойство оказалось полезным для применения?
- 41.2. Найдите электрическое поле E внутри очень длинного цилиндра, который имеет равномерную плотность заряда ρ по всей длине, в точках, достаточно удаленных от его концов. Каково различие между этим результатом и аналогичным решением для равномерно заряженной сферы?
- 41.3. Две широкие плоские металлические пластины расположены параллельно друг другу на расстоянии d . Края этих пластин соединены друг с другом металлической полоской, как показано на рис. 41-1. Между пластинами на расстоянии $d/3$ от верхней пластины вставлен тонкий лист пластика, равномерно заряженный с поверхностной плотностью заряда σ . Рассчитайте напряженности электрического поля E_1 и E_2 вблизи верхней и нижней пластин соответственно.

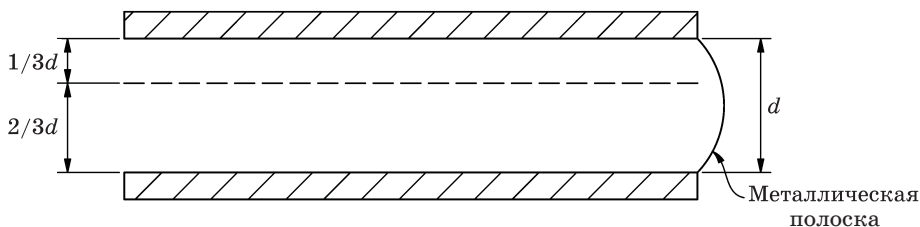


Рис. 41-1

- 41.4. Получите общий вид формулы для компоненты электрического поля E_x в точке x , если плотность заряда ρ во всем пространстве изменяется только вдоль оси x .

- 41.5. В электронной лампе электроны испускаются раскаленной металлической пластиной (эмиттером) и собираются плоской металлической пластиной (коллектором), параллельной эмиттеру и удаленной от него на расстояние d , как показано на рис. 41-2. (Расстояние d мало по сравнению с поперечными размерами пластин.) Электрический потенциал между пластинами равен $\phi = kx^{4/3}$, где x — расстояние от эмиттера.

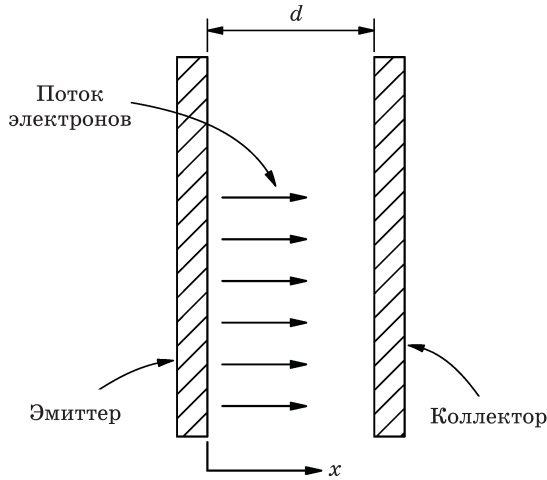


Рис. 41-2

- (а) Чему равна плотность поверхностных зарядов σ_e на эмиттере?
 (б) Какова плотность поверхностных зарядов σ_k на коллекторе?
 (в) Какова объемная плотность заряда $\rho(x)$ в области $0 < x < d$?
- 41.6. Рассмотрим проводник, имеющий плотность поверхностного заряда σ [Кл/м²], где величина σ не обязательно должна быть постоянна вдоль поверхности. Покажите, что напряженность поля, создаваемая зарядом, заключенным в малом элементе площади поверхности проводника dA , перпендикулярна этой поверхности и равна $\sigma^2 dA / (2\epsilon_0)$. (Коэффициент 1/2 является верным. Объясните, откуда он берется.)
- 41.7. Максимальная напряженность электрического поля, которая может существовать на поверхности проводника в вакууме до возникновения автоэлектронной (полевой) эмиссии, приблизительно равна 10^8 В/м. Проводник изготовлен из меди (плотность $8,9$ г/см³), а поверхностный заряд, создающий такое поле, отрицателен.
- (а) Сравните количество избыточных электронов на единицу площади N_e с количеством атомов на единицу площади N_a .
 (б) Сравните величину силы F_e , действующей на электрон в таком поле, с величиной силы F_p , которую испытывает электрон в поле протона на расстояниях порядка атомных ($\approx 0,5$ Å).

- 41.8.** Отрицательный мюон — это частица, имеющая такой же заряд, как и электрон, но в 207 раз большую массу. Когда отрицательный мюон захватывается веществом, он притягивается ядром и может заменить атомный электрон, сформировав мюонный атом. Из-за большей массы мюон будет располагаться ближе к ядру, чем электрон; для тяжелых ядер он окажется внутри ядра в низших энергетических состояниях. Мюон взаимодействует с ядром посредством не ядерных сил, а электрических, и видит ядро как сферу с равномерным зарядом. Из других физических экспериментов известно, что радиус ядра $R = R_0 A^{1/3}$, где $R_0 \approx 1,2 \cdot 10^{-15}$ м, A — количество протонов и нейтронов в ядре. Рассмотрим модель мюонного атома, согласно которой мюон колеблется вдоль прямой линии, проходящей через центр ядра атома свинца.
- (а) Какова собственная частота ω таких колебаний?
- (б) Какова разность энергий между двумя низшими состояниями в такой модели мюонного атома? (Указание из «Лекций», т. I, гл. 41: квантовые уровни энергии гармонического осциллятора разделены энергетическим интервалом $\hbar\omega$.)
- (в) Экспериментально доказано, что когда мюонный атом образуется в свинце, он испускает рентгеновские кванты с энергией 6 МэВ. Как вы интерпретируете это излучение?
- 41.9.** Представьте, что земной шар имеет по всему объему равномерную плотность и вдоль его диаметра насквозь просверлили туннель.
- (а) Покажите, что если бы в туннель бросили какой-либо объект, то он стал бы колебаться с периодом P , равным периоду орбиты спутника Земли на небольшой высоте над ее поверхностью.
- (б) Найдите период колебаний P .
- 41.10.** Известно, что Земля за один год выделяет тепловую энергию, равную примерно $8 \cdot 10^{20}$ Дж. Прежде чем проводить подробное исследование тепловой модели для объяснения теории этого явления, можно рассмотреть сильно упрощенную модель, позволяющую сделать количественные оценки по порядку величины. В качестве примера рассмотрим модель, в которой тепло вырабатывается за счет распада радиоактивных материалов, равномерно распределенных в Земле, испускающих при распаде частицы, кинетическая энергия которых превращается в тепло. Согласно проведенным оценкам, температура в центре Земли равна 2500 °С, а теплопроводность типичного материала земных пород составляет порядка $0,03$ Вт·см $^{-1}$ К $^{-1}$. Согласуется ли описанная выше модель с этими оценками?
- 41.11.** Два длинных коаксиальных проводящих цилиндра изолированы друг от друга и несут на себе электростатический заряд. Вдали от концов провода на единицу длины внутреннего цилиндра приходится полная плотность заряда, равная $+\lambda_1$ Кл/м, а для внешнего цилиндра это $+\lambda_2$ Кл/м.

Внутренний цилиндр имеет внутренний и внешний радиусы соответственно r_1 и r_2 , тогда как внутренний и внешний радиусы внешнего цилиндра равны соответственно r_3 и r_4 .

(а) Найдите поле $\mathbf{E}(r)$:

- 1) в точке вблизи центра (т. е. там, где краевыми эффектами можно пренебречь);
- 2) в точке вблизи внешней поверхности внешнего цилиндра.

(б) Найдите разность потенциалов $\Delta\phi$ между двумя цилиндрами.

(в) Опишите качественно, как будут меняться напряженность поля и разность потенциалов, если:

- 1) r_1 будет уменьшаться;
- 2) r_2 будет увеличиваться;
- 3) внешнее поперечное сечение внутреннего цилиндра преобразуется в квадрат со сторонами $2r_2$ (предполагается, что $\sqrt{2}r_2 < r_3$).

Глава 42

Электрическое поле в различных физических условиях

См. «Лекции», т. II, гл. 6

- 42.1. С помощью метода электростатических изображений найдите силу F , действующую на заряд Q , расположенный на расстояниях a и b от двух проводящих полубесконечных плоскостей, образующих друг с другом прямой угол (как показано на рис. 42-1).

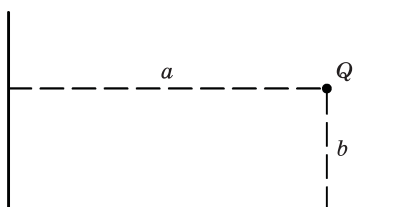


Рис. 42-1

- 42.2. Частицу с электрическим зарядом q_0 , находящуюся на расстоянии x_0 от поверхности большой заземленной проводящей пластины, отпустили, и она начала свое движение. Частица притягивается пластиной и движется в ее направлении.
- (а) Какова кинетическая энергия частицы в зависимости от расстояния x от пластины? (Потерями энергии на излучение можно пренебречь.)
 - (б) Заметили ли вы что-нибудь нефизическое в вашем ответе на вопрос в части (а)?
 - (в) Реальную металлическую пластину можно представить как идеальную проводящую плоскость только до расстояний, близких к атомным, что составляет примерно 1 \AA . Оцените кинетическую энергию, с которой электрон подлетит к проводящей пластине, если его отпустили из состояния покоя (в момент времени $t = 0$) в 1 см от пластины. Дайте ответ в эВ.
- 42.3. Прямоугольный брусок из изоляционного пластика с размерами $1\text{ см} \times 10\text{ см} \times 100\text{ см}$ равномерно заряжен с плотностью зарядов $\rho\text{ Кл/см}^3$. Рассмотрим прямую линию, перпендикулярную грани бруска размерами $10\text{ см} \times 100\text{ см}$ и проходящую через его центр. Постройте при-

мерный график изменения потенциала ϕ вдоль этой линии как функцию расстояния от центра бруска. Рассмотрите интервал расстояний, начиная от 0,001 см (т. е. внутри бруска), до расстояний, значительно превосходящих 100 см. В качестве масштаба выберите двойной логарифмический масштаб, т. е. построьте график зависимости $\log\phi$ от логарифма расстояния. На том же графике постройте кривую зависимости напряженности электрического поля E от расстояния.

- 42.4. Земля непрерывно бомбардируется космическими лучами высокой энергии, приходящими из-за пределов Солнечной системы. С помощью измерений, выполненных на высотных метеозондах и спутниках, было установлено, что космические лучи практически полностью состоят из протонов и лишь малую часть их составляют альфа-частицы, тяжелые ядра и электроны. Средняя энергия протонов в космических лучах оказалась равной нескольким миллиардам электронвольт; интенсивность потока протонов, достигающих земной атмосферы, приблизительно равна одному протону в секунду на 1 см^2 . Интересно, какое время необходимо, чтобы заряженные частицы космических лучей подняли потенциал Земли настолько, чтобы протоны уже не могли попасть на поверхность Земли из-за электрического отталкивания? Велико ли необходимое для этого время T по сравнению с возрастом Земли, оцениваемым примерно в 5 млрд лет? Если это время меньше возраста Земли, то возникает вопрос: почему лучи все еще приходят?
- 42.5. (а) Найдите емкость C_b , приходящуюся на единицу длины длинного цилиндрического конденсатора, изготовленного из двух проводящих коаксиальных цилиндров, радиусы которых равны a (внутренний цилиндр) и b (внешний цилиндр).
- (б) Ответьте качественно на вопрос, что случится, если в конструкции конденсатора окажутся дефекты, скажем, на поверхности внешнего цилиндра будет острый выступ?
- 42.6. Заряд $+q$ находится на расстоянии b от центра незаряженной изолированной проводящей сферы радиусом a (рис. 42-2).

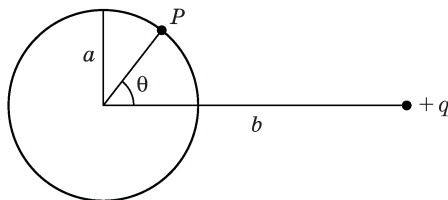


Рис. 42-2

- (а) Каков потенциал ϕ сферы?
- (б) Чему равна плотность поверхностного заряда $\sigma(\theta)$, наведенного на поверхности данной сферы в точке P ?

- (в) Чему равна сила, действующая на заряд со стороны сферы, если потенциал последней равен V ?
- 42.7.** В главе 6 из т. II «Лекций» показано качественно, что можно найти поле вне сферы с плотностью поверхностного заряда, изменяющегося по закону $\cos \theta$, как суперпозицию полей двух слегка сдвинутых, противоположно заряженных сфер. Проведите количественный вывод этого соотношения и найдите поле внутри и снаружи сферы с плотностью поверхностного заряда $\sigma(\theta) = \sigma_0 \cos \theta$, где σ_0 — константа, а θ — полярный угол.
- 42.8.** Поле электрического диполя \mathbf{p} определяется выражениями (6.14) и (6.15) из т. II «Лекций».
- (а) Найдите радиальную и тангенциальную составляющие вектора напряженности электрического поля \mathbf{E} диполя в точке со сферическими координатами $(r; \theta, \varphi)$.
- (б) Покажите, что электрическое поле диполя направлено в одну и ту же сторону во всех точках прямой, проходящей через диполь.
- (в) Найдите направления и относительные величины напряженности \mathbf{E} на некотором произвольном расстоянии от диполя в точках, определяемых углами $0, \pi/4$ и $\pi/2$, которые отсчитываются от направления вектора \mathbf{p} .
- 42.9.** Рассмотрим диполь в электрическом поле, которое до помещения в него диполя было однородным и имело напряженность E_0 .
- (а) Если направление дипольного момента \mathbf{p} совпадает с направлением электрического поля, то будет существовать эквипотенциальная поверхность, которая охватывает диполь. Покажите, что такой поверхностью является сфера.
- (б) Найдите величину дипольного момента, для которого сфера имеет радиус a .
- (в) Изобразите примерный вид электрического поля вне этой сферы.
- (г) Изменится ли электрическое поле, если с этой эквипотенциальной поверхностью будет совпадать тонкая проводящая сфера, заряженная до того же потенциала?
- (д) Какова будет плотность поверхностного заряда $\sigma(\theta)$ на такой проводящей сфере (θ — полярный угол)?
- (е) Каким дипольным моментом будет обладать это распределение зарядов?
- (ж) Как бы вы могли использовать полученные результаты?
- 42.10.** Частица с электрическим дипольным моментом \mathbf{p} расположена на расстоянии r от длинного провода с зарядом λ на единицу длины (λ — постоянная величина). Вектор дипольного момента расположен в плоскости, проходящей через провод и частицу, как показано на рис. 42-3.

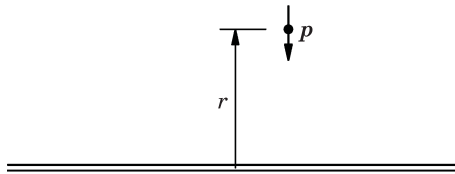


Рис. 42-3

- (а) Чему равна сила \mathbf{F} и момент $\boldsymbol{\tau}$, действующие на частицу в электрическом поле \mathbf{E} , если вектор \mathbf{p} направлен перпендикулярно проводу (1), вектор \mathbf{p} направлен параллельно проводу (2)?
- (б) Покажите, что в общем случае сила \mathbf{F} , действующая на диполь \mathbf{p} в электрическом поле \mathbf{E} , равна $\mathbf{F} = \nabla(\mathbf{p} \cdot \mathbf{E})$.
- 42.11. Найдите потенциал ϕ на расстоянии r от очень большой пластины, на единицу площади которой приходится N диполей, причем каждый диполь обладает дипольным моментом \mathbf{p} , направленным перпендикулярно поверхности данной пластины.
- 42.12. Электрический заряд $+q$ равномерно распределен по тонкому кольцу радиусом a . Кольцо лежит в плоскости yz , а его центр совпадает с началом координат. В начале координат помещен заряд $-q$ (рис. 42-4).

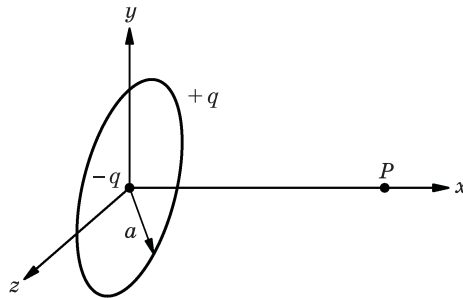


Рис. 42-4

- (а) Найдите потенциал ϕ в точке P с координатами $(x, 0, 0)$.
- (б) Чему равно электрическое поле \mathbf{E} в точке P ?
- (в) Как это электрическое поле изменяется с изменением x для $x \gg a$?
- (д) Как это поле изменяется на больших расстояниях в сравнении с электрическим полем диполя? Дайте объяснение.
- 42.13. Плоскопараллельный конденсатор емкостью 100 пФ, расстояние между обкладками которого составляет 1 см, заряжается с помощью батареи до разности потенциалов 10 В. После этого батарею отключают. Затем нижняя пластина конденсатора облучается синим светом, выбивающим из нее электроны, кинетическая энергия которых лежит в интервале 0 – 1,5 эВ. Обкладки конденсатора заряжены таким образом, что электро-

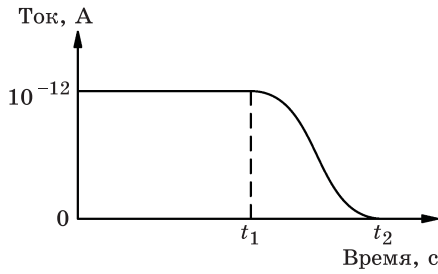


Рис. 42-5

ны притягиваются к верхней из них. На рис. 42-5 показана зависимость от времени полного тока электронов, текущего к верхней пластине конденсатора.

- (а) Сколько времени потребуется для того, чтобы разность потенциалов между обкладками стала равной нулю (момент времени t_1)?
- (б) Чему равна разность потенциалов V в момент времени $t \gg t_2$?
- (в) Каков будет ваш ответ на вопрос (а), если перед зарядкой конденсатора расстояние между пластинами увеличивают вдвое?
- (г) Каков будет ваш ответ на вопрос (а), если расстояние между пластинами увеличивают вдвое после того, как конденсатор зарядили, а батарею отключили?

42.14. Стержень из изолятора длиной 1 м и радиусом 1 см установлен вдоль оси x так, что его концы расположены в точках с координатами $x = -0,5$ м и $x = +0,5$ м. Общая плотность объемного заряда стержня равна $\rho = ar^2$, где r — расстояние до оси стержня; a — положительная постоянная, равная 2 Кл/м^5 .

- (а) Найдите напряженность электрического поля E в четырех точках с координатами $y = 0, 0,5, 1,0$ и $2,0$ см; $x = z = 0$. В этой части считайте, что стержень является бесконечно длинным.
- (б) Дайте разумную оценку потенциала в точке начала координат ($x = y = z = 0$), при которой за нуль потенциала принимается его значение на бесконечности. Укажите, в чем состоит неопределенность оценки потенциала, и обоснуйте ее.
- (в) Будет ли потенциал в точке $x = 0,5$ м, $y = z = 0$ больше, меньше или равен потенциалу в точке начала координат?

Электрическое поле в различных физических условиях (продолжение)

См. «Лекции», т. II, гл. 7

- 43.1. (а) Покажите, что эквипотенциальные поверхности, создаваемые двумя параллельными нитями с линейной плотностью заряда, имеют цилиндрическую симметрию. Предположите, что плотность заряда составляет $+\lambda$ и $-\lambda$ [Кл/м] на двух нитях, отстоящих на расстояние d .
- (б) Из результата, полученного в части (а), найдите емкость на единицу длины C_l двух параллельных проводов радиусом r с центрами, отнесенными на расстояние d . Предположите, что $d \gg 2r$.
- (в) Покажите, что если $x, y \gg d$, потенциал можно получить с использованием комплексной функции

$$f(z) \equiv U + iV = \frac{1}{z} = \frac{1}{x + iy}.$$

Глава 44

Электростатическая энергия

См. «Лекции», т. II, гл. 8

- 44.1. Согласны ли вы с утверждением из гл. 8, т. II «Лекций», что ядро, содержащее Z протонов, распределенных более или менее равномерно по объему сферы радиусом r , имеет электростатическую энергию порядка приведенного здесь выражения $U = \frac{3}{5} Z(Z-1) \frac{e^2}{r}$?
- 44.2. Дистанционно настраиваемый конденсатор имеет максимальную емкость 100 пФ. Вращением подвижных пластин емкость может быть уменьшена до 10 пФ. Предположим, конденсатор заряжен до разности потенциалов $V = 300$ В при максимальной емкости. Регулируемый элемент затем поворачивают на минимум емкости, в то время как заряд на пластинах остается постоянным.
- (а) Каково конечное значение разности потенциалов V_k ?
- (б) Какая механическая работа W совершена поворотом регулятора?
- 44.3. Два конденсатора с емкостью соответственно C_1 и C_2 изначально заряжены зарядами Q_1 и Q_2 .
- (а) Покажите, что, исключая особые случаи, накопленная суммарная электростатическая энергия U уменьшится, если конденсаторы соединить параллельно.
- (б) Когда появляется потеря энергии?
- (в) Найдите условия, при которых конденсаторы могут быть соединены без потерь энергии.
- 44.4. (а) Покажите, что когда диполь с дипольным моментом \mathbf{p} помещен в электрическое поле \mathbf{E} , электростатическая энергия определяется выражением $U = -\mathbf{p} \cdot \mathbf{E}$.
- (б) Рассчитайте момент силы, действующий на диполь в поле \mathbf{E} . Проведите прямой расчет и расчет через выражение для энергии из пункта (а).
- (в) Будет ли энергия такой же, если диполь формируют из двух зарядов, помещаемых последовательно один за другим в поле? Если нет, то

рассчитайте разницу; если да, то обоснуйте физически ваше утверждение.

- 44.5. Покажите, что пластины плоскопараллельного конденсатора, на которых находится заряд Q , притягиваются с силой $F = Q^2/(2\epsilon_0 A)$, где A — площадь пластин.

Подсказка. Получите выражение для работы, необходимой для увеличения расстояния между пластинами от x до $x+dx$.

- 44.6. Пион, или π -мезон, — это частица, обнаруженная во всех трех зарядовых состояниях; существуют положительные, отрицательные и нейтральные пионы. Массы (умноженные на c^2) заряженных пионов равны 139,6 МэВ, в то время как для нейтральных пионов это 135,0 МэВ. В одной модели пионов разница масс соответствует электростатической энергии. Если предположить, что пионы представляют собой сферы и что заряд пиона равномерно распределен по сфере, можно рассчитать «радиус» пиона. Посчитайте радиус r_π пиона. Соизмерим ли ваш результат с другими ядерными расстояниями?

- 44.7. Сферическая металлическая оболочка внутреннего радиуса a и внешнего радиуса b расположена так, что ее центр совпадает с началом координат. В одном месте корпуса вырезано небольшое отверстие.

- (а) Если на корпусе нет заряда, то какая работа W_a потребуется для того, чтобы перенести заряд q_1 из бесконечности через отверстие в начало координат?
- (б) Какая работа W_b потребуется для того, чтобы передать металлической оболочке полный заряд q_2 ?

Глава 45

Диэлектрики

См. «Лекции», т. II, гл. 10

- 45.1. Пространство между обкладками плоского конденсатора поделено пополам и заполнено двумя диэлектриками с диэлектрическими проницаемостями κ_1 и κ_2 (рис. 45-1).

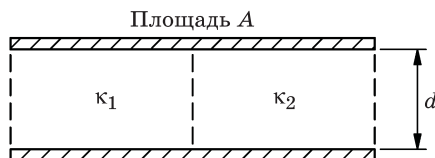


Рис. 45-1

- (а) Используя простые аргументы (игнорируя поверхностные эффекты), покажите, что емкость такого конденсатора будет

$$C = \frac{\epsilon_0 A}{d} \cdot \frac{\kappa_1 + \kappa_2}{2},$$

где A — площадь пластин, d — расстояние между ними.

- (б) Приведите более подробное доказательство, используя уравнение (10.26) из т. II «Лекций»

$$\nabla \cdot (\kappa \mathbf{E}) = \rho_{\text{своб}} / \epsilon_0.$$

- (в) Можете ли вы придумать еще одно доказательство, используя выражение (8.30) для плотности энергии из т. II «Лекций»?

Примечание. Для пространства, заполненного диэлектриком, плотность электростатической энергии равна $u = \kappa \epsilon_0 E^2 / 2$.

- 45.2. Плоскопараллельный конденсатор состоит из квадратных пластин размером 20×20 см и расстоянием между пластинами 1 см. Его заряжают до разности потенциалов 10 В, а затем отключают от батареи. После этого между обкладками конденсатора помещают большую квадратную пластину из диэлектрика толщиной, немного меньшей 1 см, причем так, что закрытой диэлектриком в конденсаторе остается лишь площадь 10×20 см² (рис. 45-2). Диэлектрическая проницаемость пластины равна 4,0.



Рис. 45-2

- (а) Чему равна сила притяжения F обкладок такого конденсатора друг к другу?
- (б) Чему равен дипольный момент единицы объема P внутри диэлектрика, но достаточно далеко от краев конденсатора, чтобы можно было пренебречь краевыми эффектами?
- (в) Предположим, что вставляемая внутрь конденсатора пластина состоит из диэлектрика с диэлектрической проницаемостью 4,0, внутри которого имеются равномерно распределенные маленькие металлические шарики. Будет ли при этом разность потенциалов на пластинах конденсатора больше, меньше или равна той, которая существует в однородном диэлектрике?
- 45.3.** Емкость плоского конденсатора с воздушным промежутком толщиной d между пластинами равна C_0 . Между обкладками конденсатора вставляют пластину из диэлектрика с диэлектрической проницаемостью κ , толщиной $t < d$ и площадью, равной площади обкладок конденсатора, причем таким образом, чтобы они были параллельны пластине. Пренебрегая краевыми эффектами, покажите, что емкость конденсатора становится равной
$$C = \frac{C_0}{1 - [(\kappa - 1) / \kappa](t / d)}.$$
- 45.4.** На поверхности изолированной металлической сферы радиусом a имеется свободный заряд Q . Поверхность сферы равномерно покрыта слоем диэлектрика внутренним радиусом a , внешним радиусом b и диэлектрической проницаемостью κ .
- (а) Вычислите поляризационный поверхностный заряд $\sigma_{\text{пол}}$, наведенный на внутренней и внешней поверхностях диэлектрика.
- (б) Найдите, чему равна плотность объемных поляризационных зарядов $\rho_{\text{пол}}$ внутри диэлектрика.
- 45.5.** Плоскопараллельный конденсатор подключен к электрической батарее, создающей на его обкладках разность потенциалов V . В пространство между обкладками конденсатора вдвигается пластина из диэлектрика с диэлектрической проницаемостью κ таким образом, что все пространство между обкладками заполняется диэлектриком.
- (а) Покажите, что при этом электрической батареей совершается работа $W_{\text{бат}} = qV(\kappa - 1)$, где q — заряд на обкладках конденсатора до заполнения пространства между обкладками диэлектриком.
- (б) Какую работу $W_{\text{мех}}$ при заполнении пространства между обкладками конденсатора диэлектриком совершают механические силы? Совер-

шается эта работа тем, кто вставляет диэлектрик, либо самим диэлектриком?

- (в) Если вместо того чтобы вставлять между обкладками конденсатора диэлектрик, мы будем изменять расстояние между ними до тех пор, пока емкость не станет такой же, как стала с диэлектриком, чему будет равно соотношение между $W_{\text{бат}}$ и $W_{\text{мех}}$?

- 45.6. Коаксиальные металлические трубки радиусом соответственно a и b ($a < b$) погружены вертикально в большую масляную ванну. Покажите, что если между трубками приложить напряжение V , то верхний уровень масла между трубками поднимется на высоту

$$H = \frac{V^2 (\kappa - 1) \varepsilon_0}{\ln\left(\frac{b}{a}\right) \rho (b^2 - a^2) g},$$

где κ — диэлектрическая постоянная, ρ — плотность масла.

- 45.7. Покажите, что силовые линии электрического поля, пересекающие поверхность раздела двух диэлектриков с диэлектрической проницаемостью соответственно κ_1 и κ_2 , образуют с нормалью к этой поверхности углы θ_1 и θ_2 , связанные соотношением $\kappa_1 \text{ctg } \theta_1 = \kappa_2 \text{ctg } \theta_2$.

Подсказка. Предположите, что на этой поверхности раздела нет свободных зарядов.

Глава 46

Внутренняя структура диэлектриков

См. «Лекции», т. II, гл. 11

- 46.1. Рассмотрим диэлектрическую сферу радиусом a , которая равномерно поляризована с объемной плотностью поляризации \mathbf{P} , как показано на рис. 46-1. Найдите электрическое поле внутри и снаружи от этой сферы.

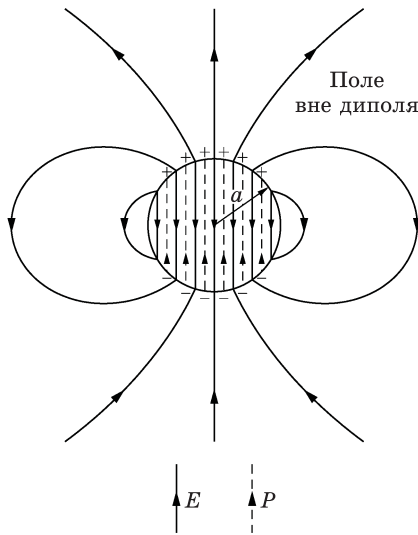


Рис. 46-1

- 46.2. Диэлектрическая проницаемость гелия при 0°C и давлении 1 атм равна 1,000074. Найдите дипольный момент \mathbf{p} , наведенный в каждом атоме гелия, когда газ находится в электрическом поле напряженностью 100 В/м.
- 46.3. Диэлектрическая проницаемость водяного пара, газа полярных частиц, весьма заметно зависит от температуры. В приведенной таблице представлены экспериментальные данные, полученные при исследовании этого эффекта.

T (К)	P (мм рт. ст.)	$(\kappa - 1) \cdot 10^5$
393	564,9	400,2
423	609,3	371,7
453	653,4	348,8
483	697,5	328,7

- (а) Считая водяной пар идеальным газом, вычислите поляризуемость его молекул α как функцию обратной температуры $1/T$ и начертите график этой зависимости.
- (б) Из наклона этой кривой определите величину постоянного дипольного момента p_0 молекулы H_2O .

46.4. (а) Рассмотрите систему, состоящую из двух атомов, расположенных на фиксированном расстоянии a друг от друга. Поляризуемость каждого атома равна α . Найдите связь между a и α , при которой система будет сегнетоэлектриком.

- (б) Если вопрос (а) окажется для вас слишком простым, рассмотрите линейную цепочку атомов кислорода, расположенных на расстоянии a друг от друга. Предположим, что посередине между каждой парой последовательно идущих атомов кислорода расположен атом титана (рис. 46-2). Пусть поляризуемость кислорода будет равна α_{O} , титана α_{T} . Найдите условие для α_{O} и α_{T} , при которых данная система будет сегнетоэлектриком.

Примечание. $\sum_{n=1}^{\infty} \frac{1}{n^3} \approx 1,20$.

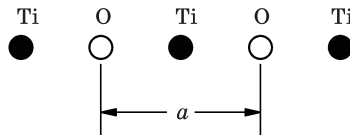


Рис. 46-2

46.5. «Диэлектрический» материал представляет собой пространственную объемную решетку регулярно расположенных латунных шариков диаметром d с минимальным расстоянием между соседними шариками, равным $3d$. Предполагая, что каждый латунный шарик подвергается действию только наложенного внешнего электрического поля (т. е. влиянием соседних шариков или перераспределением наведенных зарядов можно пренебречь), найдите диэлектрическую проницаемость к такого «диэлектрика».

Глава 47

Электростатические аналогии

См. «Лекции», т. II, гл. 12

47.1. Кольцо радиусом a изготовлено из медной проволоки диаметром b , много меньшим, чем a . Кольцо помещено в центр пластикового шара, радиус которого R во много больше радиуса кольца a . Переменным магнитным полем в кольце наводится электрический ток. Ток нагревает проволоку, выделяя тепловую энергию с темпом W (Дж/с). Температура на внешней поверхности большого шара равна T_R . Чему равна температура T_0 в стационарном состоянии в центре кольца, если теплопроводность пластика равна K ?

47.2. В задаче 41.10 была рассмотрена одна из простейших моделей для описания теплового баланса Земли. Другая модель (также весьма упрощенная) основана на предположении, что во внутренней части Земли существует сферическое ядро радиусом a с предельно высокой теплопроводностью. Каков должен быть радиус a этого ядра, если его температура равна 2500°C , а коэффициент теплопроводности окружающей ядро оболочки Земли равен $0,03 \text{ Вт}/(\text{см}\cdot\text{К})$? Примите во внимание тот факт, что Земля ежегодно выделяет $8 \cdot 10^{20}$ Дж тепла.

47.3. (а) Для определенных геометрий и физических условий электростатический потенциал может быть записан в удобной форме в виде

$$\varphi = f(r) \cos \theta = f(r)(z/r),$$

где $r^2 = x^2 + y^2 + z^2$. (Например, потенциал такого вида в гл. 12 из т. II «Лекций» возникает при решении задачи об обтекании сферы «сухой водой».)

Если функцию $f(r)$ разложить в ряд $f(r) = \sum_{n=-\infty}^{\infty} b_n r^n$, то только два коэффициента b_n будут отличны от нуля при условии, что потенциал φ удовлетворяет уравнению Лапласа. Найдите эти коэффициенты.

(б) Для аналогичной двумерной задачи потенциал φ может быть записан в виде

$$\varphi = g(\rho) \cos \theta = g(\rho) \frac{z}{\rho}, \quad g(\rho) = \sum_{n=-\infty}^{\infty} c_n \rho^n,$$

где $\rho^2 = y^2 + z^2$. Найдите отличные от нуля коэффициенты c_n , если потенциал ϕ удовлетворяет уравнению Лапласа.

Примечание. При решении задачи используйте декартову систему координат.

- 47.4. Две тонкие водопроводные трубы, расположенные параллельно на расстоянии d друг от друга, проходят под прямым углом сквозь широкую стенку толщиной t (рис. 47-1). Теплопроводность стенки равна K , а температура на достаточном удалении от этих труб равна T_0 . По трубе, пересекающей стенку в точке $x = +d/2$, течет горячая вода, передающая стенке $+W$ ватт тепла. По другой трубе течет холодная вода, которая, наоборот, поглощает из стенки W ватт тепла. Рассматривая эту задачу в двумерном варианте и пренебрегая конечными размерами труб, найдите температуру в точке P с координатами $x = 100d, y = 100d$.

Пусть $T_0 = 20$ °С, $d = 50$ см, $K = 0,03$ Вт/(см · К), $W = 200$ Вт и $t = 10$ см. При числовых расчетах примените подходящие приближения.

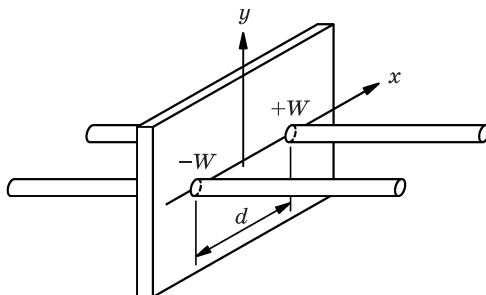


Рис. 47-1

Глава 48

Магнитостатика

См. «Лекции», т. II, гл. 13

- 48.1. Концы четырех параллельных медных проводов *AWG* №10 (американский стандарт — прим. перев.) достаточно большой длины образуют квадрат со стороной 20 см. По каждому проводу течет ток 20 А в направлении, указанном стрелками, как показано на рис. 48-1.

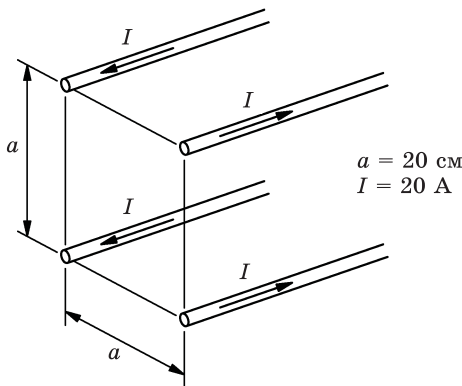


Рис. 48-1

- (а) Каковы величина и направление вектора магнитного поля \mathbf{B} в центре квадрата?
- (б) Каковы величина и направление силы, действующей на 1 погонный метр левого нижнего провода?
- 48.2. Длинный твердый диэлектрический цилиндр радиусом a статически поляризован таким образом, что во всех точках цилиндра вектор поляризации направлен радиально наружу, а величина его пропорциональна расстоянию от оси, т. е. $\mathbf{P} = P_0 \mathbf{r}/2$. Цилиндр вращается с постоянной угловой скоростью ω вокруг своей оси. Найдите магнитное поле \mathbf{B} в точках на оси цилиндра, достаточно удаленных от его концов.
- 48.3. Длинный коаксиальный кабель состоит из двух концентрических проводников с размерами, показанными на рис. 48-2. По проводникам проте-

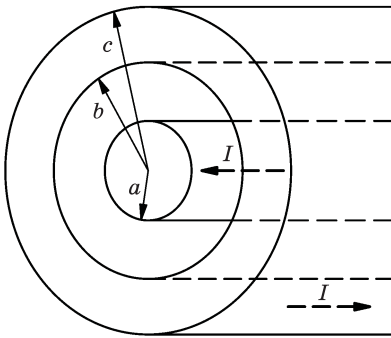


Рис. 48-2

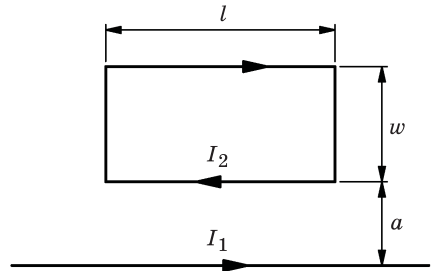


Рис. 48-3

кают равные и противоположные по направлению токи I . Предполагается, что плотность токов в проводниках одинакова по сечению. Найдите:

- (а) магнитное поле \mathbf{B} в точках r внутри центрального проводника ($r < a$);
- (б) поле \mathbf{B} в пространстве между двумя проводниками ($a < r < b$);
- (в) поле \mathbf{B} внутри внешнего проводника ($b < r < c$);
- (г) поле \mathbf{B} вне кабеля ($r > c$).

48.4. По длинному прямолинейному проводнику течет ток I_1 , а по прямоугольной проводящей рамке со сторонами l и w — ток I_2 . Прямолинейный проводник лежит в плоскости рамки, параллельно ее длинной стороне на расстоянии a , как показано на рис. 48-3.

- (а) Чему равна сила F_p , действующая на рамку?
- (б) Какая сила действует при этом на линейный проводник F_n ?
- (в) Какой вращающий момент действует на рамку?

48.5. Развертка электронного луча в телевизионном электронно-лучевом кинескопе осуществляется магнитным полем, создаваемым отклоняющей системой катушек, расположенных в узкой части кинескопа. Источником электронов, как правило, служит электронная пушка, из которой электроны вылетают с энергией 3,0 кэВ. После отклонения пучок электронов ускоряется электрическим полем. Учитывая размеры, показанные на рис. 48-4, оцените:

- (а) напряженность магнитного поля \mathbf{B} во время максимального отклонения электронного пучка;
- (б) количество ампер-витков nI в отклоняющей катушке в то же время.

При подготовке ответа вы можете пренебречь ускорением электронов в пучке после его отклонения. Как вы предполагаете, должен ли измениться ответ, если учесть этот эффект?

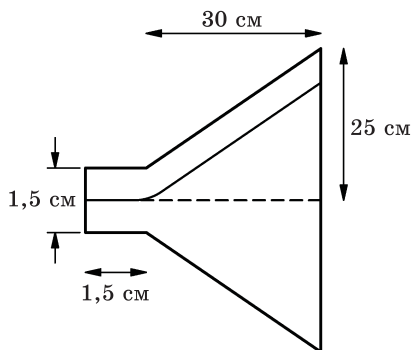


Рис. 48-4

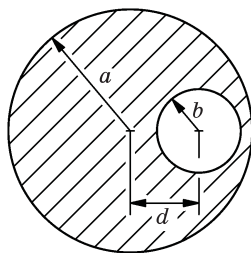


Рис. 48-5

- 48.6. Внутри очень длинного проводящего стержня радиусом a имеется внеосевая цилиндрическая полость радиусом b , ось которой параллельна оси стержня, но смещена от нее на расстояние d , как показано на рис. 48-5. По проводнику течет ток, плотность которого по сечению одинакова и равна $+j$. Чему равно магнитное поле на оси полости вдали от концов стержня?

Глава 49

Магнитное поле в различных ситуациях

См. «Лекции», т. II, гл. 14

- 49.1. При промышленном производстве пластиковой пленки широкая полоса тонкого пластика протягивается со скоростью v через два последовательно расположенных валика (рис. 49-1). В процессе обработки поверхность пленки накапливает равномерно распределенный электрический заряд σ .
- (а) Найдите векторный потенциал A вблизи поверхности полосы в центре пролета между валиками (вблизи точки P на рисунке).

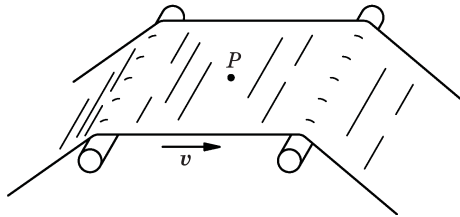


Рис. 49-1

тре пролета между валиками (вблизи точки P на рисунке).

- (б) Чему равно поле B в этой же области?
- 49.2. По проводу формы, показанной на рис. 49-2, протекает ток I . Найдите, чему равно магнитное поле B в центре полуокружности, созданное

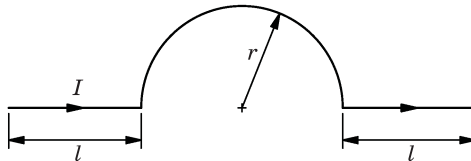


Рис. 49-2

- (а) каждым прямым участком провода длиной l ;
- (б) полукруглым сегментом длиной πr ;
- (в) всем проводом.

49.3. В используемых на практике устройствах часто необходимо добиться высокой однородности магнитного поля. Однородность поля, создаваемого катушками Гельмгольца, или двумя коаксиальными витками, по которым текут токи в одном направлении, является одной из основных характеристик. Пусть витки имеют радиус a каждый, оси катушек лежат на оси x и по каждой из них течет ток I , причем расстояние между катушками равно b , как показано на рис. 49-3.

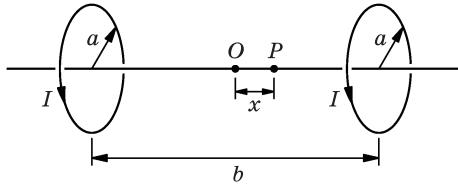


Рис. 49-3

- (а) Найдите магнитное поле на оси катушек в точке P , расположенной на расстоянии x от средней точки O между катушками.
- (б) Разложите полученное выражение в ряд по степеням x с точностью до членов x^2 .
- (в) Каково соотношение между величинами a и b , при котором члены x^2 обращаются в нуль? Насколько важен этот случай?
- (г) Покажите, что созданное катушками магнитное поле при условиях, указанных в пункте (в), по порядку величины определяется выражением

$$B_x = \frac{8I}{5^{3/2} a \epsilon_0 c^2}.$$

49.4. По квадратной рамке провода с ребром a протекает ток I .

- (а) Используя закон Био–Савара, покажите, что амплитуда магнитного поля для точки на оси рамки и на расстоянии x от ее центра равна

$$B = \frac{4a^2 I}{\pi \epsilon_0 c^2 (4x^2 + a^2)(4x^2 + 2a^2)^{0,5}}.$$

- (б) Получите тот же результат, используя векторный потенциал.

Подсказка. Возьмите векторный потенциал в интегральной форме и используйте соотношения

$$\frac{\partial}{\partial x} \int_a^b f(x, y) dy = \int_a^b \frac{\partial}{\partial x} f(x, y) dy, \quad \lim_{x \rightarrow c} \int f(x, y) dy = \int \left[\lim_{x \rightarrow c} f(x, y) \right] dy.$$

49.5. Используйте векторный потенциал, чтобы рассчитать магнитное поле в любой точке на оси круговой петли радиусом a , по которой течет ток I .

49.6. Рассмотрим проводящую сферу радиусом a , заряженную до потенциала V . Покажите, что если сфера вращается вокруг одной из осей, проходя-

щих через ее центр, с угловой скоростью ω , то магнитное поле сферы совпадает с полем магнитного диполя, магнитный момент которого равен $\mu = \epsilon_0 \omega V \left(\frac{4}{3} \pi a^3 \right)$. Также покажите, что поле внутри сферы равно

$$B_{\text{внутр}} = \frac{2\omega V}{3c^2}.$$

Эти выражения точны для всех точек как внутри сферы, так и вне ее. Если вы не сможете доказать это, то сначала установите, что первый результат справедлив для расстояний, намного превышающих a , а второй — для центра сферы.

- 49.7. В «Лекциях» было показано, что вращение Земли можно определить путем измерения разности потенциалов между центром и поверхностью заряженного проводящего цилиндра, помещенного на Северном полюсе таким образом, чтобы его ось была направлена в центр земного шара.

(а) Полагая, что длина цилиндра велика относительно его радиуса и что измерения проводятся вблизи центра цилиндра так, чтобы можно было пренебречь краевыми эффектами, покажите, что эта разность потенциалов может быть записана в виде

$$V = \frac{\lambda}{4\pi\epsilon_0} \left(\frac{v}{c} \right)^2,$$

где v — скорость точки на внешней поверхности цилиндра; λ — поверхностный заряд на единицу длины.

(б) Можно ли представить себе установку с разумными параметрами для измерения этого эффекта?

Указание. Предположите, что наименьшая разность потенциалов, которую можно измерить, составляет величину порядка 10^{-6} В, а максимальная напряженность электрического поля в вакууме порядка 10^8 В/м.

Глава 50

Векторный потенциал

См. «Лекции», т. II, гл. 15

50.1. Сверхпроводящий металл обладает таким свойством, что внутри сверхпроводника поля \mathbf{B} и \mathbf{E} равны нулю.

- (a) Граничное условие для поля \mathbf{E} на поверхности сверхпроводника состоит в том, что вектор \mathbf{E} должен быть нормален к поверхности, что означает равенство нулю его тангенциальных компонент. Как выглядят граничные условия для магнитного поля \mathbf{B} ?

Маленькая рамка с током с магнитным моментом μ расположена на расстоянии d от поверхности сверхпроводника, занимающего полупространство, а ее ось составляет угол θ с направлением нормали к этой поверхности (рис. 50-1).

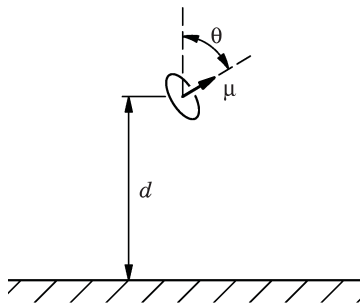


Рис. 50-1

- (б) Кратко охарактеризуйте метод, с помощью которого можно найти магнитное поле в любой точке пространства в предположении, что поле магнитного диполя вам известно.
- (в) Найдите зависимость от угла θ вращающего момента τ , действующего на диполь, считая, что магнитное поле диполя вам известно.
- (г) Вычислите углы, отвечающие состоянию равновесия рамки. Какие из них соответствуют устойчивому равновесию, а какие — неустойчивому?
- (д) Вычислите силу как функцию угла θ , действующую либо в направлении сверхпроводника, либо в противоположную от него сторону.

Глава 51

Законы индукции

См. «Лекции», т. II, гл. 17

51.1. На рисунке 51-1 показано (крестиками) однородное магнитное поле \mathbf{B} внутри цилиндра радиусом r . Индукция магнитного поля \mathbf{B} уменьшается по величине с постоянной скоростью $100 \text{ Гс/с} \approx 1 \text{ Тл/с}$. Чему равно мгновенное ускорение (по направлению и величине), которое будет испытывать электрон, помещенный в точки P_1, P_2 и P_3 ? Пусть расстояние a равно $5,0 \text{ см}$.

51.2. Жесткий провод, согнутый в полуокружность радиуса r (рис. 51-2) вращается с угловой скоростью f в однородном магнитном поле. Если внутреннее сопротивление вольтметра M равно R_M , а сопротивление остальных частей цепи ничтожно мало, то найдите:

(а) амплитуду V_0 и частоту ω_V переменного напряжения, наведенного в проводнике;

(б) амплитуду I_0 и частоту ω_I наведенного в проводнике тока.

Указание. Предположите, что этот ток мал, так что созданное им поле существенно меньше величины B .

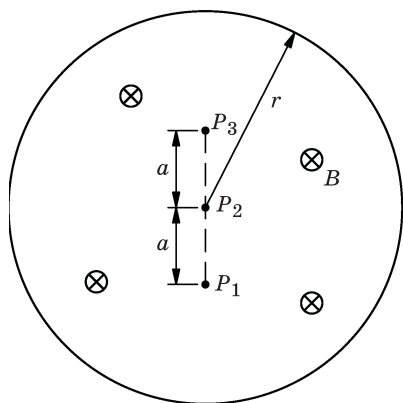


Рис. 51-1

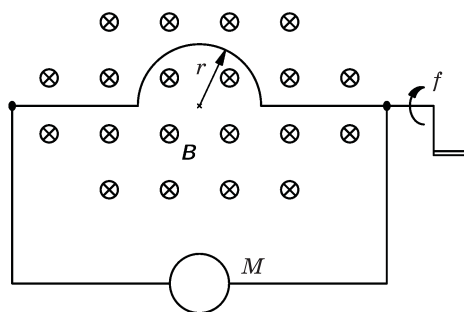


Рис. 51-2

- 51.3. По круговому витку (1) небольшого радиуса a течет постоянный ток I . Другой такой же виток (2) помещен на оси, проходящей через центр первого витка, на расстоянии R от него, причем $R \gg a$. Плоскости двух витков параллельны, как показано на рис. 51-3. Затем виток (2) приводится во вращение с угловой скоростью ω вокруг одного из его диаметров. Какова наведенная в цепи витка (2) ЭДС \mathcal{E} , если он разомкнут?

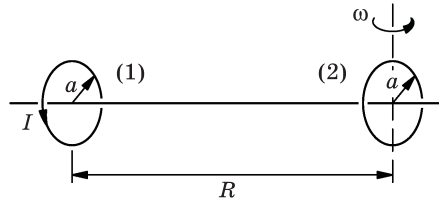


Рис. 51-3

- 51.4. Металлический провод массой m может скользить без трения по двум параллельным металлическим рельсам, находящимся на расстоянии d друг от друга, как показано на рис. 51-4. При движении провод пересекает направленные вертикально силовые линии однородного магнитного поля \mathbf{B} .

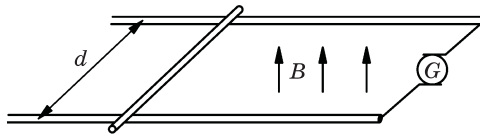


Рис. 51-4

- (а) Генератор G создает постоянный ток I , текущий от одного рельса к другому через провод. Определите скорость провода $v(t)$ (по величине и направлению) как функцию времени, предполагая, что в момент $t = 0$ провод покоился.
- (б) Генератор заменяется электрической батареей с постоянной ЭДС \mathcal{E} . Через некоторое время провод начинает двигаться с постоянной скоростью. Найдите скорость установившегося движения v_y . Найдите закон изменения скорости $v(t)$ в процессе достижения установившегося значения v_y ?

Подсказка. Вы можете допустить, что внутреннее сопротивление цепи является только внутренним сопротивлением батареи, равным R .

- (в) Чему равен ток в части (б) в условиях установившегося движения?

Примечание. Считайте, что магнитное поле, создаваемое током I , намного меньше, чем поле \mathbf{B} .

51.5. Цепь состоит из двух соединенных последовательно катушек индуктивности соответственно L_1 и L_2 . Взаимная индуктивность катушек равна M .

- (а) Найдите полную индуктивность L цепи.
 (б) Как изменится суммарная индуктивность, если витки одной катушки перемотать в другую сторону?

51.6. Коаксиальный кабель изготовлен из провода, окруженного коаксиальным проводящим цилиндром, по которым текут токи в противоположных направлениях. Радиус внутреннего провода равен a , а радиус внешнего цилиндра — b .

- (а) Покажите, что если предположить, что ток во внутреннем проводе течет только по его поверхности, то собственная индуктивность (коэффициент самоиндукции) кабеля, приходящаяся на единицу его длины, равна

$$L = \frac{\ln(b/a)}{2\pi\epsilon_0 c^2}.$$

- (б) Вычислите собственную индуктивность (коэффициент самоиндукции) кабеля на единицу длины для случая равномерного распределения тока по всему сечению внутреннего провода кабеля.

Сравните полученные результаты. Сильно ли зависит результат от характера распределения тока по сечению центрального провода?

51.7. Торoidalная катушка из N витков имеет квадратное поперечное сечение со сторонами квадрата, равными a . Торойд имеет внутренний радиус b (и внешний радиус $b + a$).

- (а) Показать, что собственная индуктивность катушки равна

$$L = \frac{N^2 a}{2\pi\epsilon_0 c^2} \ln\left(1 + \frac{a}{b}\right).$$

- (б) Выразите через те же величины взаимную индуктивность системы, состоящей из торoidalной катушки и длинного прямолинейного провода, вытянутого вдоль оси симметрии катушки. Считайте, что проводники, замыкающие цепь, настолько удалены от катушки, что их влиянием можно пренебречь. Найдите отношение собственной индуктивности катушки (коэффициента самоиндукции) к взаимной индуктивности системы.

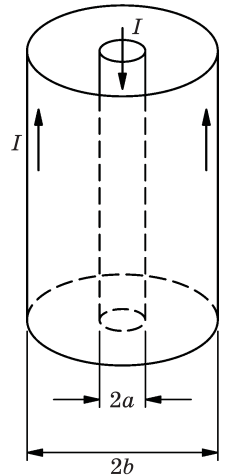


Рис. 51-5

51.8. Два плоских проводящих витка площадью A , по каждому из которых протекает ток I , помещены на расстоянии r друг от друга. Единичные векторы \mathbf{n}_1 и \mathbf{n}_2 нормалей к виткам образуют с линией, соединяющей центры витков, углы α_1 и α_2 . Векторы \mathbf{n}_1 и \mathbf{n}_2 и линия, соединяющая центры витков, лежат в одной плоскости (рис. 51-6).

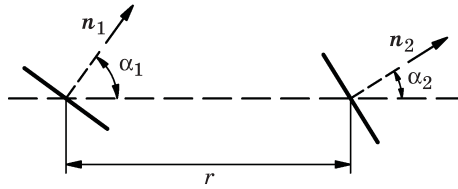


Рис. 51-6

- (а) Предполагая, что радиус каждого витка во много раз меньше r , найдите взаимную индуктивность M двух витков.
- (б) Используя найденное выражение для M , найдите величину и направление силы \mathbf{F} взаимодействия между витками.
- (в) Как изменится эта сила, если направление тока в одном из витков или сразу в обоих поменять на противоположное?
- 51.9.** Круговой проводящий виток радиусом r_1 расположен в центре соленоида длиной l , состоящего из N витков радиусом r_2 , причем $r_2 \gg r_1$, как показано на рис. 51-7. Если считать круговой виток цепью 1, а соленоид — цепью 2, то найдите взаимные индуктивности M_{12} и M_{21} .

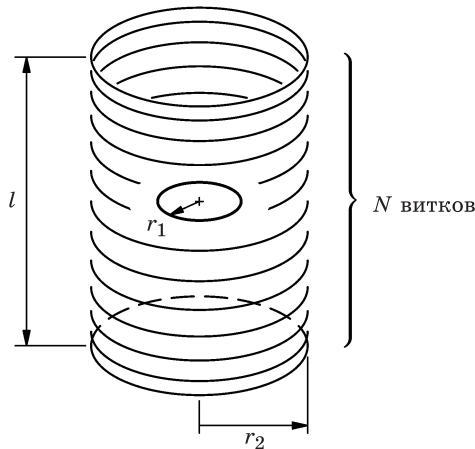


Рис. 51-7

51.10. В магнитном поле \mathbf{B} , направленном перпендикулярно плоскости рисунка, по двум проводящим рельсам со скоростью v перемещается провод, как показано на рис. 51-8. Поле является однородным (вектор индукции поля перпендикулярен плоскости рисунка и направлен сверху вниз).

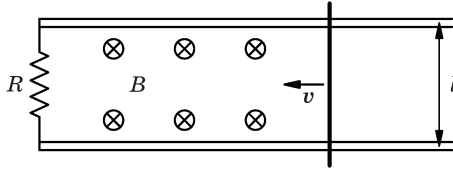


Рис. 51-8

- (а) Какой ток течет через сопротивление R , если $v = 100$ см/с, $l = 10$ см, $B = 0,1$ Вб/м² и $R = 10$ Ом. (Магнитным полем, создаваемым током, пренебречь.)
- (б) Как изменится найденный вами ток, если не пренебрегать магнитным полем, создаваемым индуцированным током?
- (в) Изменится ли ваш ответ, если магнит, создающий поле B , будет двигаться со скоростью v в ту же сторону, что и провод?
- (г) Как меняется со временем коэффициент самоиндукции изображенной на рисунке цепи — возрастает, уменьшается или остается постоянным?

51.11. Рассмотрим два коаксиальных проводящих витка a , находящихся на расстоянии d друг от друга ($d \gg a$). Через виток (1) пропускается ток $I = K_0 t^2$, как показано на рис. 51-9; сопротивление другого витка (2) равно R .

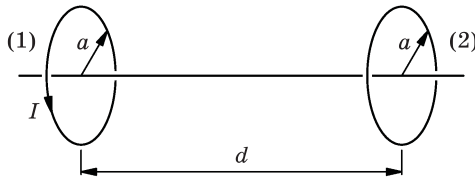


Рис. 51-9

- (а) Если пренебречь самоиндукцией витков, то чему равен момент сил τ , действующих на виток (2)?
- (б) Покажите, что если пренебречь самоиндукцией, то сила, действующая на виток (2), равна

$$F = \frac{24\pi^4 a^8 K_0^2 t^3}{(4\pi\epsilon_0 c^2)^2 d^7 R}.$$

- (в) Как направлена эта сила?
- (г) Покажите качественно, уменьшаются или увеличиваются найденная вами величина силы и величина момента силы, если самоиндукцией витков не пренебрегать?
- (д) Как изменится ответ к пунктам (а) и (б) задачи, если виток (2) повернуть на 90° вокруг оси, перпендикулярной общей оси витков?

Глава 52

Решения уравнений Максвелла в пустом пространстве

См. «Лекции», т. II, гл. 20

52.1. Решение дифференциальных уравнений иногда удобно искать в комплексном виде.

(а) Покажите, что если электрическое поле имеет синусоидальную зависимость от времени t и координаты x (зависимости от y и z нет), то каждая компонента вектора напряженности электрического поля, например $\mathbf{E} = E_0 e^{i(\omega t - kx)}$, удовлетворяет волновому уравнению. (Напомним, что физическое поле описывается вещественной частью приведенного выражения.)

(б) Убедитесь, что вещественная часть вектора \mathbf{E} соответствует плоской волне, распространяющейся вдоль оси x . В какую сторону оси x распространяется волна?

(в) Покажите, что если оператор ∇ действует на функции, подобные приведенной в пункте (а), то он имеет вид $\nabla = e_x \frac{\partial}{\partial x} = e_x (-ik)$, где

e_x — единичный вектор, направленный вдоль оси x ; $i = \sqrt{-1}$ — мнимая единица.

Таким образом, вам нужно показать, что действие оператора ∇ можно заменить простым умножением функции на число.

(г) Справедливо ли подобное утверждение для производной по времени, примененной к функции, подобной той, которая показана в пункте (а) данной задачи?

(д) Используя результат пункта (в), покажите, какой вид имеют уравнения Максвелла для полей, зависящих от x и t синусоидально. Какая связь должна существовать между k и ω ?

(е) Как изменятся все ваши ответы, если электрическое поле имеет вид $\mathbf{E} = E_0 e^{i(\omega t + kx)}$?

52.2. Плоская электромагнитная волна частотой ω отражается от зеркала, движущегося со скоростью v в направлении распространения волны.

(а) Используя уравнения Максвелла, найдите частоту отраженной волны ω' , фиксируемую неподвижным наблюдателем.

(б) Сравните этот результат с тем, который был получен с использованием теории относительности в разд. 34-6 из т. I «Лекций».

Глава 53

Решения уравнений Максвелла с токами и зарядами

См. «Лекции», т. II, гл. 21

53.1. Выведите подробно выражение (21.26) из т. II «Лекций».

53.2. С помощью уравнения (21.1) (см. «Лекции», т. II) можно найти электрическое поле, создаваемое движущимся зарядом. Рассмотрим диполь, образованный положительным и отрицательным зарядами, осциллирующими относительно начала координат вдоль оси z , как показано на рис. 53-1, так что координаты положительного и отрицательного зарядов меняются со временем по закону $z_+ = (d/2) \cos(\omega t)$ и $z_- = -(d/2) \cos(\omega t)$. Дипольный момент такой системы зарядов $\mathbf{p} = qd \cdot \cos(\omega t) \cdot \mathbf{e}_z$. Покажите, что вышеупомянутое уравнение (21.1) может быть использовано для расчета полного электрического поля диполя:

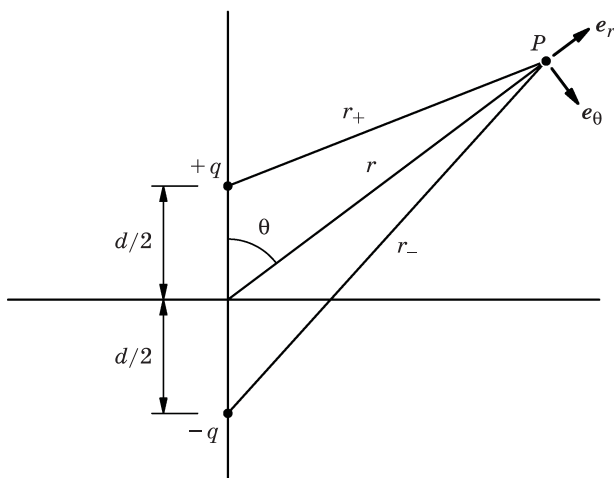


Рис. 53-1

$$E_\phi = 0,$$

$$E_\theta = \frac{p}{4\pi\epsilon_0} \sin\theta \left[\left(-\frac{\omega^2}{c^2 r} + \frac{1}{r^3} \right) \cos\omega \left(t - \frac{r}{c} \right) - \frac{\omega}{cr^2} \sin\omega \left(t - \frac{r}{c} \right) \right],$$

$$E_r = \frac{p}{2\pi\epsilon_0} \cos\theta \left[\frac{1}{r^3} \cos\omega\left(t - \frac{r}{c}\right) - \frac{\omega}{cr^2} \sin\omega\left(t - \frac{r}{c}\right) \right].$$

При решении задачи считайте, что точка P находится на расстоянии $r \gg d$ от диполя.

Подсказка. $e_{r+} \approx +e_r$, $d(e_{r+})/dt$ и $d^2(e_{r+})/dt^2$ — это векторы, направления которых практически совпадают с направлением вектора e_θ .

- 53.3.** Используя симметрию уравнений Максвелла и вид электрического и магнитного полей осциллирующего электрического диполя, найдите поле осциллирующего магнитного диполя*. Полученное ближнее поле должно совпадать с полем магнитного диполя, образованного небольшим контуром радиусом a ($a \ll c/\omega$) с током $i = i_0 \cos(\omega t)$.
- 53.4.** В задаче 53.2 диполь состоял из двух зарядов, осциллирующих около начала координат. Можно другим способом создать диполь, величина которого изменяется со временем по гармоническому закону: взять два проводящих шара, соединить их проводом длиной d и пропускать по нему переменный ток. Тогда на концах проводника возникнет переменный заряд $\pm q(t)$, а сам провод при этом будет оставаться в целом нейтральным; заряд $q(t)$ можно рассматривать как вещественную часть выражения $Q_0 e^{i\omega t}$.

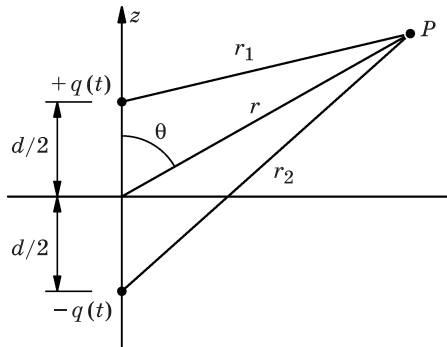


Рис. 53-2

В произвольной точке P на расстоянии $r \gg d$ от диполя (рис. 53-2) интеграл для запаздывающего потенциала приводит к точному выражению для потенциала ϕ :

$$\phi = \frac{Q_0}{4\pi\epsilon_0} \left(\frac{\cos\omega\left(t - r_1/c\right)}{r_1} - \frac{\cos\omega\left(t - r_2/c\right)}{r_2} \right).$$

* Электрическое поле осциллирующего электрического диполя было приведено в задаче 53.2; соответствующее магнитное поле находим с использованием уравнения (21.1) из т. II «Лекций»: $c\mathbf{B} = \mathbf{e}_r \times \mathbf{E}$.

(а) Предполагая, что $\omega d/(2c) \ll 1$, покажите, что

$$\phi \approx \frac{Q_0 d \cos \theta}{4\pi \epsilon_0 r} \left(\frac{1}{r} \cos \omega(t - r/c) - \frac{\omega}{c} \sin [\omega(t - r/c)] \right).$$

(б) Покажите далее, что $A_z \approx -\frac{Q_0 \omega d \sin [\omega(t - r/c)]}{4\pi \epsilon_0 c^2 r}$.

(в) Убедитесь, что эти потенциалы соответствуют тем же самым электрическому и магнитному полям (имеется в виду зависящая от $1/r$ часть выражения для этих полей), выражения для которых были выведены ранее.

53.5. Антенна, предназначенная для работы на частоте $\omega = 2\pi c/\lambda$, изготовлена из двух коллинеарных проводников, длина каждого из которых равна $1/4$ длины волны. На антенну подается синусоидально изменяющееся напряжение требуемой частоты. Возникающее в антенне распределение токов с большой степенью точности описывается выражением

$$i = -i_0 \sin(\omega t) \cos \frac{2\pi z}{\lambda},$$

где $-\lambda/4 < z < \lambda/4$ (рис. 53-3).

Для определения поля излучения антенну можно представить в виде суперпозиции большого числа диполей, каждый из которых расположен в любой точке z и имеет длину Δz . Величина дипольного момента меняется от диполя к диполю.

(а) Покажите, что дипольный момент каждого диполя должен быть равен

$$\Delta p = \left(\frac{i_0}{\omega} \cos \frac{2\pi z}{\lambda} \cos(\omega t) \right) \Delta z.$$

(б) Покажите, что на больших расстояниях ($r \gg c/\omega$) электрическое и магнитное поля антенны имеют вид

$$E_0 = \frac{i_0}{2\pi \epsilon_0 c r} \cdot \frac{\cos\left(\frac{\pi}{2} \cos \theta\right)}{\sin \theta} \cos [\omega(t - r/c)],$$

$$B_\phi = \frac{1}{c} E_0.$$

(в) Изобразите примерный график зависимости E_0 от угла θ . На этом же рисунке покажите график зависимости E_0 от θ для одного диполя и сравните полученные кривые.

53.6. Частица, имеющая заряд q , движется по кругу радиусом a со скоростью v , как показано на рис. 53-4. Рассмотрите поля, которые соответствуют нахождению частицы в точке P .

(а) Найдите скалярный потенциал ϕ в центре круга.

(б) Определите векторный потенциал A в центре круга.

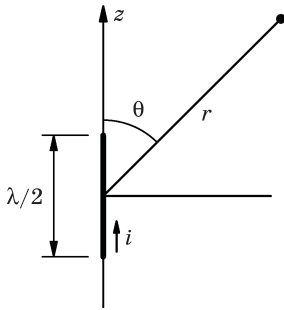


Рис. 53-3

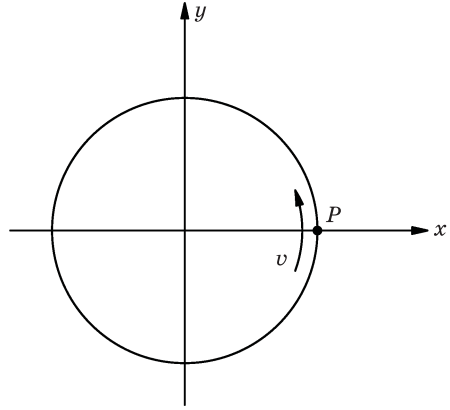


Рис. 53-4

- (б) Определите электрическое поле \mathbf{E} и магнитное поле \mathbf{B} в центра круга, используя потенциалы и выражения (18.16), (18.19) из т. II «Лекций».
- (г) Как ориентирован вектор напряженности электрического поля по отношению к радиусу-вектору, проведенному в точку P ?
- (д) Вычислите также эти поля, воспользовавшись формулой (21.1) из т. II «Лекций».

Примечание. Данная задача является релятивистской. Скорость v не обязательно мала по сравнению со скоростью света c .

Глава 54

Цепи переменного тока

См. «Лекции», т. II, гл. 22

54.1. (Игра) Электрическая цепь имеет форму кубической рамы, в каждой вершине которой сделаны выводы (контакты). Сопротивление каждого ребра куба равно 1 Ом. Найдите сопротивление между всеми возможными наборами контактов.

54.2. (а) Найдите ток I в цепи, схема которой изображена на рис. 54-1.

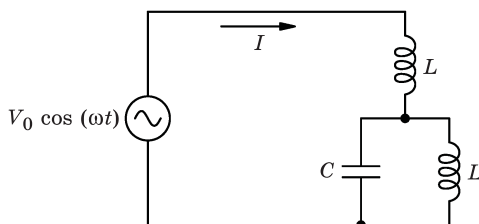


Рис. 54-1

(б) Чему равен ток I , если изображенные на схеме катушки индуктивности обладают взаимной индуктивностью M ?

54.3. Принципиальная схема делителя мощности для высококачественной звуковоспроизводящей колонки приведена на рис. 54-2. Эффективное сопротивление каждого громкоговорителя равно R .

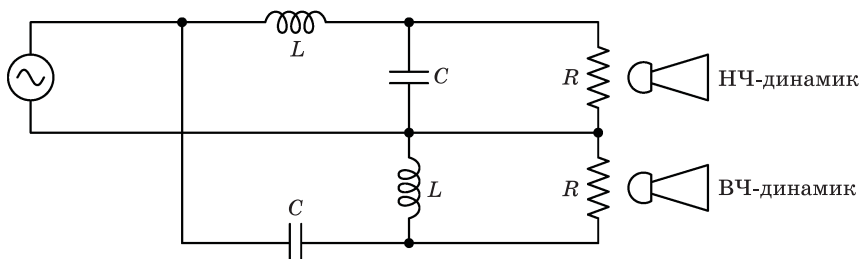


Рис. 54-2

(а) Покажите, что при $R^2 = L/(2C)$ входной импеданс Z (на клеммах генератора) веществен и равен R .

(б) Покажите, что если ω_c определить как частоту, при которой на каждый громкоговоритель приходится половина общей мощности, то $\omega_c^2 = 1/(LC)$.

54.4. (а) Покажите, что амплитуда разности потенциалов (напряжения) между точками a и b цепи, изображенной на рис. 54-3, не зависит от ω .

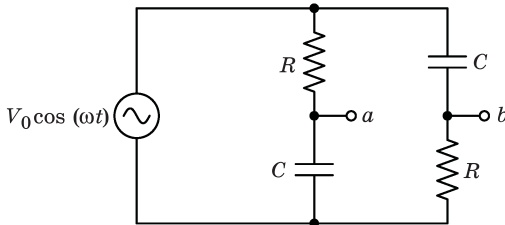


Рис. 54-3

(б) Опишите качественно зависимость фазы этой разности потенциалов от частоты ω .

(в) Как изменится величина разности потенциалов между точками a и b , а также ее фаза, если источник напряжения обладает внутренним сопротивлением $R/10$?

54.5. На рис. 54-4 показана простая электрическая схема.

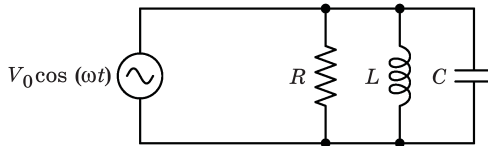


Рис. 54-4

(а) Изобразите схематически зависимость амплитуды тока I в цепи от частоты ω для произвольно выбранных величин L , C и R .

(б) Для $R \gg \sqrt{L/C}$ сравните добротность* Q данной цепи с аналогичной величиной для цепи с последовательным соединением ее элементов, но при $R \ll \sqrt{L/C}$. Специально рассмотрите случаи: $R = K\sqrt{L/C}$ для цепи с параллельным соединением и $R = (1/K)\sqrt{L/C}$ для цепи с последовательным соединением.

* Напомним, что $Q = \omega_0/\Delta\omega$, где ω_0 – резонансная частота контура, а $\Delta\omega$ – ширина полосы пропускания на резонансной частоте (см. т. I, гл. 24 «Лекций»). Для параллельной цепи возьмите $\Delta\omega$ между точками, где $|I| = \sqrt{2}I_{\min}$. Для последовательной цепи возьмите $\Delta\omega$ между точками, где $|I| = I_{\max}/\sqrt{2}$.

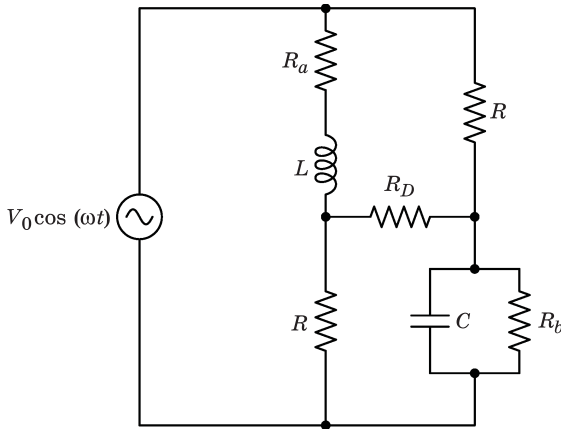


Рис. 54-5

- 54.6. Цепь, показанная на рис. 54-5, является мостовой схемой, используемой для измерения индуктивности. Источником переменной ЭДС частотой ω служит генератор напряжения. Если мост сбалансирован, то ток через сопротивление R_D равен нулю. Выразите L через R и C .
- 54.7. Изображенная на рис. 54-6 схема представляет собой мост Вина, часто используемый в RC -генераторах. Если ток через индикатор D равен нулю, то говорят, что мост сбалансирован. Покажите, что баланс наступает при одновременном выполнении следующих условий:

$$\frac{r_1}{r_2} = \frac{R_1}{R_2} + \frac{C_2}{C_1}, \quad \omega = \frac{1}{\sqrt{R_1 R_2 C_1 C_2}}.$$

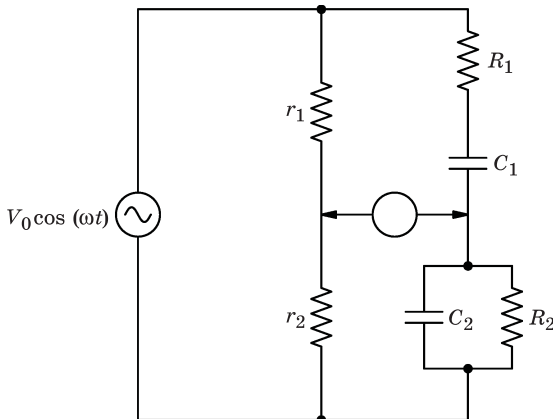


Рис. 54-6

- 54.8. В цепи, изображенной на рис. 54-7, действует источник переменного напряжения $V(t) = V_0 \cos(\omega t)$.

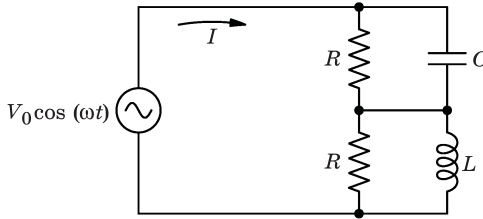


Рис. 54-7

- (а) Покажите, что если R , L и C подобраны так, что $RC = L/R$, то ток I в цепи не зависит от частоты.
- (б) Какова разность фаз ϕ между приложенным напряжением и напряжением на концах пары конденсатор-резистор (для $RC = L/R$) ?
- 54.9. Электрическая схема, показанная на рис. 54-8, собрана так, что один из ее проводов, подключенный к точке P_3 , может быть присоединен к любой из точек — $P_0, P_1, P_2, \dots, P_n$.

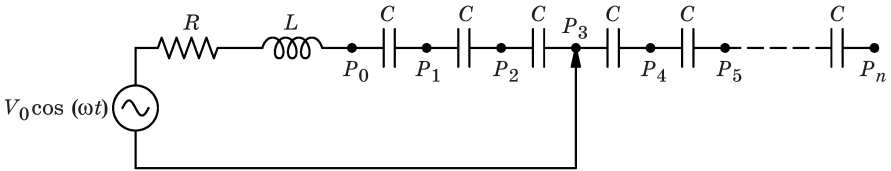


Рис. 54-8

- (а) Найдите выражение для средней мощности $\langle P \rangle$, выделяемой на сопротивлении R , если провод присоединен к точке P_m , где $0 < m < n$.
- (б) Допустим, что $R = 1000$ Ом, $L = 10$ Гн, $C = 20$ мкФ, $\omega = 100$ рад/с.
- 1) При каком значении m эта мощность максимальна?
 - 2) Каково максимальное мгновенное значение напряжения $(V_{P_0 P_2})_{\text{макс}}$ между точками P_0 и P_2 для $m = 2$ и $V_0 = 100$ В; каково напряжение $(V_R)_{\text{макс}}$ на сопротивлении R ?

Дополнение: транзисторы

Эквивалентная схема идеального транзистора при небольшом сигнале показана на рис. 54-9, а. Источник I является идеальным источником тока, при этом α является постоянной характеристикой транзистора. Под «эквивалентной схемой при небольшом сигнале» мы имеем в виду такую цепь, которая эквивалентна транзистору *только* для малых изменений напряжений и токов в пределах всех рабочих постоянных напряжений и токов транзистора. Такая схема не говорит нам что-либо о соответствующих постоянных напряжениях, при которых транзистор должен работать. Резисторы, необходимые для установки этих постоянных напряжений, на схемах, приведенных в данном дополнении и последующих задачах, для простоты опущены.

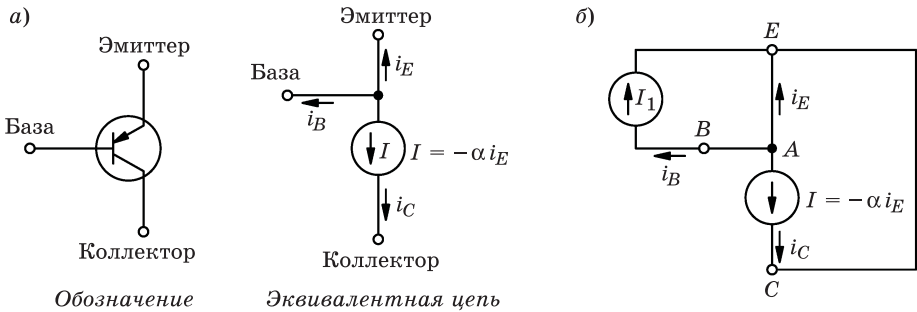


Рис. 54-9

Сначала мы покажем, что транзисторы — это по существу усилители тока. Пусть между базой и эмиттером подключен источник тока. Рассчитаем ток в коллекторе, как показано на рис. 54-9, б. Измеряя ток в точке *A*, мы видим что $i_E + i_B + I_C = 0$. Так как $i_C = -\alpha i_E$, мы имеем

$$-i_C/\alpha + i_B + i_C = 0, \text{ или } \frac{i_C}{i_B} = \frac{\alpha}{1-\alpha}.$$

Таким образом, величина $\beta = \alpha/(1 - \alpha)$ является коэффициентом усиления по току между коллектором и базой, когда эмиттер является общим элементом (эта конфигурация обычно называется *схемой с общим эмиттером*). Как правило, величина α лежит в пределах от 0,98 до 0,99. Таким образом, величина β лежит в пределах от 50 до 100. Поскольку величина α близка к единице, мы можем принять следующее приближение: $\beta \approx \frac{1}{1-\alpha}$.

54.10. Конфигурация *эмиттерного повторителя* показана на рис. 54-10, а, соответствующая эквивалентная схема показана на рис. 54-10, б. Сопротивление R_L является нагрузкой, на которую работает данный эмиттерный повторитель.

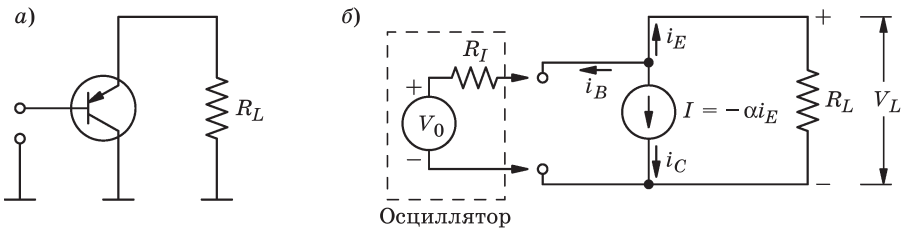


Рис. 54-10

(а) Рассчитайте напряжение V_L на нагрузке, если между базой и коллектором подключен генератор синусоидального напряжения (представленный напряжением $V_0 \cos(\omega t)$ с последовательным внутренним сопротивлением R_I).

(б) Покажите, что если $R_I/R_L \ll \beta$, то отношение V_L/V_0 равно единице независимо от β .

- (б) Сравните отношение V_L/V_0 с отношением V'_L/V'_0 , когда генератор подключен непосредственно через R_L , если $R_I = 100$ Ом, $R_L = 10$ Ом, а $\beta = 100$.
- (2) Замените R_L конденсатором C_L . Рассчитайте и постройте графики зависимости $|V_L/V_0|$ от частоты для случая, когда генератор подключен к C_L через эмиттерный повторитель, и зависимости $|V'_L/V'_0|$ от частоты для случая, когда генератор подключен непосредственно через C_L . (Постройте обе зависимости на одном графике при $\beta = 10$.)

54.11. Схема подключения с общим эмиттером показана в виде соответствующей эквивалентной цепи на рис. 54-11, а.

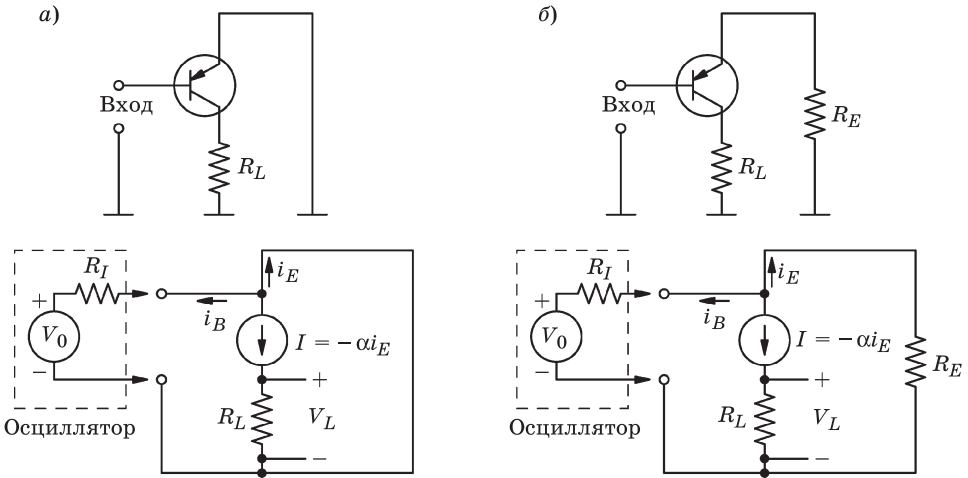


Рис. 54-11

- (а) Рассчитайте отношение V_L/V_0 .
- (б) Вы сможете найти, что отношение V_L/V_0 пропорционально β ; это обычно нежелательно, так как β сильно зависит от температуры и варьирует в широких пределах от транзистора к транзистору. Зависимость отношения V_L/V_0 от β значительно снижается за счет потери коэффициента усиления путем добавления резистора R_E последовательно с эмиттером, как показано на рис. 54-11, б. Покажите, что это так; чтобы отношение V_L/V_0 было в достаточной степени независимо от β , необходимо, чтобы выполнялось условие $R_I/R_E \ll \beta$.

(Обратите внимание на то, что $\alpha = 1 / (1 + 1/\beta) \approx 1$, т. е. α очень слабо зависит от β . Таким образом, α является постоянным параметром для транзисторов.)

54.12. Конфигурация с общей базой показана на рис. 54-12. Эта схема очень полезна, когда желательно иметь единичный коэффициент усиления по току и увеличить импеданс источника тока.

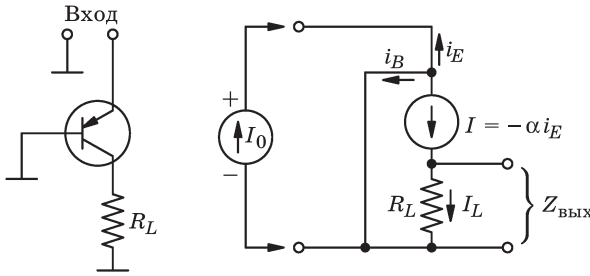


Рис. 54-12

- (а) Вычислите коэффициент усиления по току I_L / I_0 .
- (б) Вычислите импеданс $Z_{\text{вых}}$, который «видит» R_L (т. е. удалите R_L и вычислите отношение V_L / I_L).
- (в) Для цепи, в которой действует генератор синусоидального напряжения, используемый в задаче 54.10, нарисуйте эквивалентную схему, которую «видит» сопротивление R_L , как показано на рис. 54-13, и вычислите параметры источника напряжения через V_0 , R_I и α .

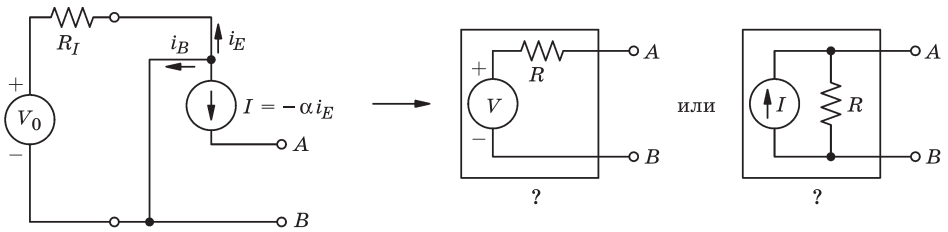


Рис. 54-13

Выводы. Характеристики трех основных схем включения транзисторов обобщены в следующей таблице.

Схема включения транзистора	Коэффициент усиления по напряжению	Коэффициент усиления по току	$Z_{\text{вых}}/Z_{\text{вх}}$
Эмиттерный повторитель	≈ 1	Обычно > 1	< 1
Схема с общим эмиттером	Обычно > 1	Обычно > 1	
Схема с общей базой	Обычно > 1	≈ 1	Обычно > 1

54.13. Если в схеме, показанной на рис. 54-14, a , возбудить колебания, они будут продолжаться на ее резонансной частоте до бесконечности. Тем не менее, всегда есть потери энергии на отличное от нуля сопротивление в соединительных проводах, а также на электромагнитное излучение. Физическая схема могла бы выглядеть похожей скорее на ту, которая изо-

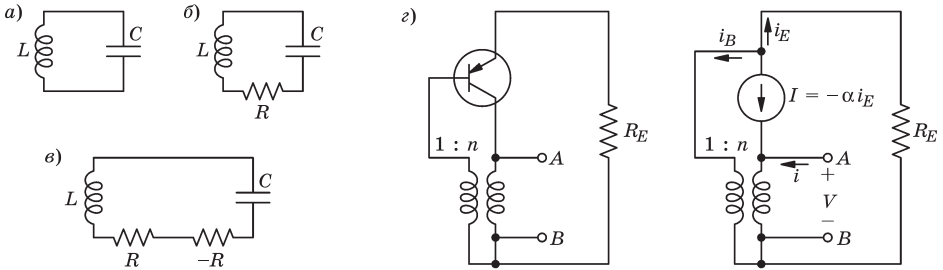


Рис. 54-14

бражена на рис. 54-14, б. Благодаря наличию резистора R колебания в такой цепи не будут поддерживаться вечно. С другой стороны, если бы мы добавили «отрицательное сопротивление» $-R$, соединенное последовательно с резистором R (рис. 54-14, в), то колебания могли бы поддерживаться в течение неограниченного времени. Отрицательное сопротивление обеспечивает пополнение энергии, рассеиваемой на резисторе R . Как упоминалось в разд. 22.8 из т. II «Лекций», такие схемы могут быть выполнены с использованием транзисторов (и других устройств — электронных ламп, туннельных диодов и др.), эффективное сопротивление которых имеет отрицательную вещественную часть. Эти схемы могут применяться для создания генераторов. На рис. 54-14, з показана схема, у которой на выводах A и B может создаваться отрицательное сопротивление. (Трансформатор на данной схеме является идеальным трансформатором, отношение витков в котором равно $1:n$. Входные и выходные напряжения определяются выражениями $V_{\text{вых}} = nV_{\text{вх}}$ и $i_{\text{вых}} = i_{\text{вх}}/n$).

- (а) Рассчитайте величину импеданса Z_{AB} между A и B .
- (б) Сформулируйте условие, необходимое для того, чтобы сопротивление между клеммами A и B было отрицательным; укажите соответствующую полярность трансформатора.

Глава 55

Объемные резонаторы

См. «Лекции», т. II, гл. 23

55.1. (а) Найдите приближенно «резонансную» частоту ω для полости, показанной на рис. 55-1. Предположим, что $d \ll a$ и $d \ll (b - a)$.

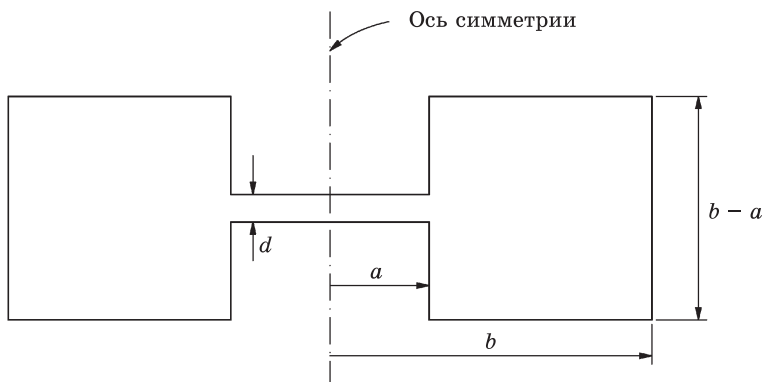


Рис. 55-1

- (б) Какими основными эффектами вы пренебрегли?
- (в) Если полость равномерно остывает (т. е. температура во всех точках полости в один и тот же момент времени одинакова), приведет ли ее тепловое сжатие к увеличению или уменьшению резонансной частоты? А может быть, она останется неизменной?

Глава 56

Волноводы

См. «Лекции», т. II, гл. 24

56.1. Линия передачи обладает индуктивностью L_0 и емкостью C_0 на единицу длины. Покажите, что если напряжение V и ток I в линии меняются медленно (что соответствует передаче сигналов с длиной волны, много большей, чем расстояние между проводниками линии передачи), то:

(а) V и I удовлетворяют уравнениям

$$\frac{\partial V}{\partial x} = -L_0 \frac{\partial I}{\partial t},$$

$$\frac{\partial I}{\partial x} = -C_0 \frac{\partial V}{\partial t};$$

(б) I и V удовлетворяют волновому уравнению

$$\frac{\partial^2 I}{\partial x^2} = \frac{1}{v^2} \frac{\partial^2 I}{\partial t^2},$$

$$\frac{\partial^2 V}{\partial x^2} = \frac{1}{v^2} \frac{\partial^2 V}{\partial t^2}, \text{ где } v^2 = \frac{1}{L_0 C_0}.$$

Заметьте, что предположение о медленном изменении сигналов отнюдь не обязательно, но обоснование этого утверждения выходит за рамки данной главы.

56.2. Волновое сопротивление линии передачи равно $z_0 = \sqrt{L_0/C_0}$, где L_0 — индуктивность, а C_0 — емкость единицы длины линии передачи. Покажите, что для линии передачи, состоящей из двух тонких полос шириной b , находящихся на расстоянии a друг от друга ($a \ll b$), волновое сопротивление линии передачи $z_0 \approx \frac{1}{\epsilon_0 c} \cdot \frac{a}{b}$.

56.3. Резонансная полость выполнена путем установки проводящих пластин на концах секции цилиндрической коаксиальной линии передачи длиной l с центральным проводником радиусом r .

(а) Для самой низкой моды, электрическое поле которой радиально, найдите частоту ω_1 .

(б) Найдите выражение для n -й моды электрического поля \mathbf{E} .

(е) Сравните резонансную частоту ω_1 с $\omega_0 = 1/\sqrt{LC}$, где L — индуктивность, а C — емкость, приходящиеся на длину l бесконечной коаксиальной линии.

56.4. Волновод прямоугольного сечения (стороны сечения a и b) изготовлен из идеального проводящего материала. Концы одной секции волновода, длина которой l , закрыты пластинами из проводящего материала, так что волновод фактически представляет собой резонансную полость (рис. 56-1). Если электрическое поле в полости определяется вещественной частью выражения $\mathbf{E}(x, y, z, t) = E_0(x, z)e^{i\omega t} \mathbf{e}_y$, то для этого случая определите:

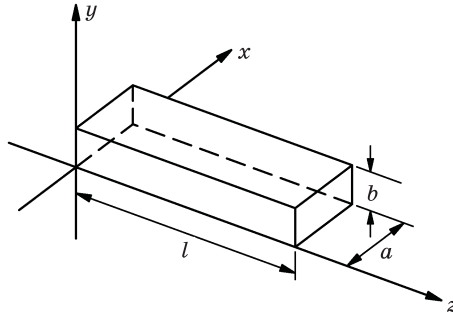


Рис. 56-1

(а) амплитуду $E_0(x, z)$ для колебания самой низкой резонансной частоты;
 (б) саму резонансную частоту ω_0 .

56.5. Коаксиальный кабель состоит из двух концентрических проводящих цилиндров. Один конец ($x = 0$) кабеля подсоединен к генератору переменного напряжения $V(t) = V_0 \cos(\omega t)$. Другой конец ($x = l$) закрыт проводящей пластиной. Индуктивность и емкость единицы длины кабеля равны соответственно L_0 и C_0 . Длина кабеля равна $l = 5\pi c/(2\omega)$, где c — скорость света.

- (а) Нарисуйте график изменения напряжения между проводниками как функцию расстояния x .
- (б) Определите значения x , для которых величина напряжения будет максимальной.
- (в) Напишите выражения для бегущих волн $V_f(x, t)$ и $V_r(x, t)$ — падающей и отраженной от закороченного конца кабеля, определяющих напряжение между проводниками.
- (г) Чему равен ток $I(x, t)$ в точках $x = 0$, $x = l/2$ и $x = l$?
- (д) Предполагая, что источник напряжения является идеальным генератором, ротор которого вращается с угловой скоростью ω , определите средний момент сил τ , приложенный к генератору.

- 56.6.** Линия передачи замкнута при $x = l$ (включен элемент с импедансом Z_T), как показано на рис. 56-2.

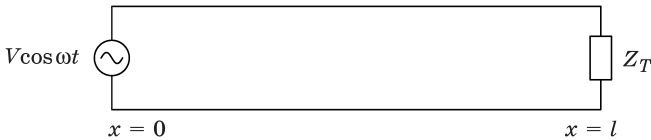


Рис. 56-2

- (a) Покажите, что импеданс «передающего конца» на входе линии (при $x = 0$) равен

$$Z_S = iZ_0 \frac{\operatorname{tg}(\omega l \sqrt{LC}) - i(Z_T / Z_0)}{1 + i(Z_T / Z_0) \operatorname{tg}(\omega l \sqrt{LC})},$$

где $Z_0 = \sqrt{L/C}$ — характеристический импеданс (или волновое сопротивление) линии.

Чему равна величина Z_S , если

(б) $Z_T = 0$,

(в) $Z_T = \infty$,

(г) $Z_T = Z_0$.

- 56.7.** Линия передачи с волновым сопротивлением Z_1 соединена с другой линией с волновым сопротивлением Z_2 . Покажите, что если на систему подается переменное напряжение от генератора $V_{\text{пад}}$, подключенного к первой линии (Z_1), то коэффициент отражения, определяемый отношением $V_{\text{отр}}/V_{\text{пад}}$, равен

$$\frac{V_{\text{отр}}}{V_{\text{пад}}} = \frac{Z_2 - Z_1}{Z_1 + Z_2}, \text{ а коэффициент пропускания равен } \frac{V_{\text{прош}}}{V_{\text{пад}}} = \frac{2Z_2}{Z_1 + Z_2}.$$

- 56.8.** На станции радиоразведки в Голдстоуне отсек с электроникой отделен от фидера приемной антенны диаметром 26 м волноводом длиной около 12,2 м. Внутренние размеры волновода составляют 146 мм на 292 мм. Для используемой несущей частоты 960 МГц сравните скорость передачи сигнала v_g со скоростью c в свободном пространстве.

- 56.9.** Электрические поля внутри волноводов, описанных в гл. 24 из т. II «Лекций», обладают тем свойством, что проекция вектора напряженности электрического поля на направление распространения волны равна нулю, т. е. электрическое поле поперечное. Поэтому моды распространяющихся волн, подобные этим, называются ПЭ-моды, или *поперечные электрические моды*. Кроме того, существуют так называемые ПМ-моды, или *поперечные магнитные моды*, для которых магнитное поле в направлении распространения волны отсутствует. Для волновода прямоугольного

сечения, показанного на рис. 24-3 и 24-4 в т. II «Лекций», векторный потенциал ПМ-моды имеет вид

$$\mathbf{A} = \mathbf{e}_z \sin \frac{m\pi x}{a} \sin \frac{n\pi y}{b} e^{i(\omega t - k_z x)},$$

где $k_z = \sqrt{\left(\frac{\omega}{c}\right)^2 - \left(\frac{m\pi}{a}\right)^2 - \left(\frac{n\pi}{b}\right)^2}$.

- (а) Убедитесь, что магнитное поле, найденное с помощью этого потенциала, действительно поперечное.
- (б) Покажите, что электрическое \mathbf{E} и магнитное \mathbf{B} поля удовлетворяют волновому уравнению и соответствующим граничным условиям.

Подсказка. Учтите, что $\mathbf{E} = -\nabla\phi - \partial\mathbf{A} / \partial t$; $\mathbf{B} = \nabla \times \mathbf{A}$, где $\nabla \cdot \mathbf{A} = -\frac{1}{c^2} \frac{\partial\phi}{\partial t}$.

- (в) Покажите, что моды порядка m , n не распространяются, если $\omega < c \sqrt{\left(\frac{m\pi}{a}\right)^2 + \left(\frac{n\pi}{b}\right)^2}$.

Глава 57

Электродинамика в релятивистском случае

См. «Лекции», т. II, гл. 25

В следующих задачах единицы измерения выбраны так, что скорость света $c = 1$.

57.1. Запишите в четырехвекторной форме выражения:

(a) $(\phi^2 - A^2)$,

(б) $(A \times j - \rho\phi)$.

57.2. Эффект Комптона заключается в том, что фотон, налетая на покоящийся электрон, приводит к изменению импульсов обеих частиц, как показано на рис. 57-1. Выразите энергию рассеянного фотона E^{γ_2} через энергию падающего фотона E^{γ_1} и угол θ отклонения его направления распространения от первоначального.

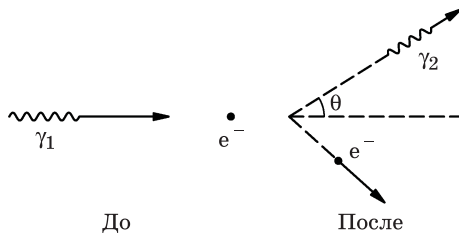
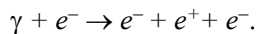


Рис. 57-1

57.3. Позитрон (e^+) может быть создан в результате бомбардировки покоящегося (e^-) электрона фотоном (γ):



Какова минимальная энергия фотона E^γ , необходимая для осуществления этого процесса? При решении задачи пользуйтесь, где это возможно, четырехвекторами и их инвариантными комбинациями.

57.4. Электрон-позитронная пара может быть получена путем взаимодействия фотона с электроном в результате реакции $\gamma + e^- \rightarrow e^- + (e^+ + e^-)$. Однако для единичного изолированного фотона невозможно протекание реакции $\gamma \rightarrow e^+ + e^-$ даже в том случае, если энергия фотона более чем в два раза будет превосходить массу покоя электрона и будет соблюдаться закон сохранения заряда. Докажите это с помощью четырехвекторов.

57.5. На покоящуюся частицу массой m_a налетает другая частица с массой m_b и импульсом p_b . В результате полностью неупругого соударения частицы сливаются, образуя новую частицу.

- (а) Какова масса m_c и скорость v_c новой частицы?
- (б) Сравните ваш результат с тем, который получается в нерелятивистском приближении.

Глава 58

Лоренцевы преобразования полей

См. «Лекции», т. II, гл. 26

В следующих задачах единицы измерения выбраны так, что $c = 1$.

- 58.1.** Распишите подробно и вычислите выражение $\nabla_{\mu} F_{\mu\nu}$ для тензора электромагнитного поля $F_{\mu\nu}$.
- 58.2.** (а) Найдите четырехвектор f_{μ} , три пространственные компоненты которого совпадают с компонентами вектора $\rho\mathbf{E} + \mathbf{j}\times\mathbf{B}$.
- (б) Каков физический смысл временной и пространственных компонент этого четырехвектора?
- 58.3.** (а) Покажите, что $\mathbf{E}^2 - \mathbf{B}^2$ и $\mathbf{E} \cdot \mathbf{B}$ инвариантны относительно преобразований Лоренца.

Замечание. Если векторы \mathbf{E} и \mathbf{B} образуют острый угол в какой-нибудь системе координат, то этот угол будет острым во всех других системах координат.

- (б) Для какого важного физического явления оба инварианта равны нулю?
- 58.4.** Пусть \mathbf{E} и \mathbf{B} — векторы соответственно электрического и магнитного полей в некоторой точке пространства в данной системе координат. Определите скорость другой системы координат, в которой электрическое и магнитное поля будут параллельны. Существует большое число систем координат, обладающих таким свойством. Действительно, если мы найдем одну из них, то таким же свойством будет обладать любая другая система координат, движущаяся относительно первой со скоростью, параллельной общему направлению векторов \mathbf{E} и \mathbf{B} . Поэтому у нас есть выбор. В то же время и достаточно, и удобно найти такую систему координат, вектор скорости которой перпендикулярен обоим векторам — \mathbf{E} и \mathbf{B} .
- 58.5.** В гл. 26 из т. II «Лекций» поля, обусловленные движущейся с постоянной скоростью заряженной частицей, были найдены путем преобразования потенциалов неподвижного заряда в движущуюся систему координат. Напряженности \mathbf{E} и \mathbf{B} соответственно электрического и магнитного полей были получены из A_{μ} согласно общим формулам. А теперь найдите

эти поля, исходя из известного их вида в системе координат, где заряд покоится, а затем перейдя к движущейся системе координат с помощью закона преобразования полей.

- 58.6. Покажите, что электрическое и магнитное поля заряда, движущегося с постоянной скоростью v , могут быть представлены в виде

$$\mathbf{E} = \frac{q\mathbf{r}}{4\pi\epsilon_0 r^3} \cdot \frac{1-v^2}{(1-v^2 \sin^2 \theta)^{3/2}}, \quad \mathbf{B} = \frac{q}{4\pi\epsilon_0} \cdot \frac{\mathbf{v} \times \mathbf{r}}{r^3} \cdot \frac{1-v^2}{(1-v^2 \sin^2 \theta)^{3/2}},$$

где \mathbf{r} — радиус-вектор, проведенный из точки, где в данный момент находится заряд, в точку наблюдения; θ — угол между векторами \mathbf{r} и \mathbf{v} .

- 58.7. По очень длинному прямому проводу течет ток I , создаваемый электронами, движущимися со скоростью v . Полная плотность зарядов в каждой точке провода равна нулю благодаря наличию положительно заряженных ионов.

- (а) Найдите поля вне провода в системе координат, в которой данный провод покоится.
 (б) Найдите те же поля в системе координат, движущейся вместе с электронами.

Подсказка. В гл. 13 из т. II «Лекций» электрическое поле, наблюдаемое из такой движущейся системы координат, было найдено другим методом [см. уравнение (13.28)].

- 58.8. Два электрона с одинаковой скоростью v движутся параллельно друг другу на расстоянии a . Посередине между ними находится бесконечная, положительно заряженная плоскость, при этом плотность покоящихся положительных поверхностных зарядов равна σ , как показано на рис. 58-1.

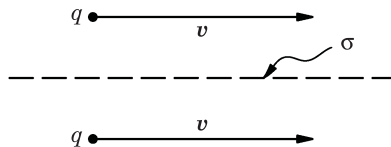


Рис. 58-1

- (а) При какой величине σ расстояние между электронами будет оставаться равным a ?
 (б) Сравните величину плотности заряда σ_h , которая требуется для электронов с энергией 500 МэВ, с величиной σ_s , которая будет в случае очень медленно движущихся электронов.
- 58.9. Если f_μ — четырехвектор силы, действующей на некоторую частицу, а u_μ — четырехвектор скорости, то покажите, что $f_\mu u_\mu = 0$.

58.10. Частица с зарядом q движется с постоянной скоростью в плоскости x, y вдоль траектории, изображенной пунктирной линией на рис. 58-2 (в начале координат произошел процесс рассеяния частицы). Величина скорости частицы вдоль всей траектории остается постоянной. В момент времени $t = t_1$ частица находится в точке $x = a, y = 0$.

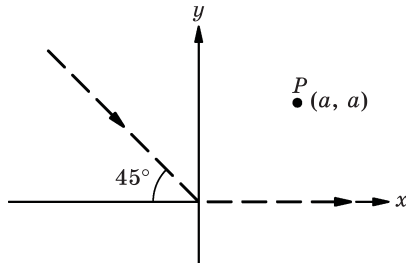


Рис. 58-2

- (а) Найдите электрическое поле в точке $P(x = y = a)$ в момент времени t_1 , если $v/c = 0,5$ (c — скорость света).
- (б) Как изменился бы ваш ответ в пункте (а) этой задачи, если бы до рассеяния в начале координат частица двигалась вниз вдоль оси y ?

Глава 59

Энергия и импульс поля

См. «Лекции», т. II, гл. 27

59.1. Примените метод, использованный при выводе формулы (27.11) из т. II «Лекций», для того чтобы представить в ином виде выражения:

(а) $\nabla \cdot (\mathbf{A} \times \mathbf{B})$,

(б) $\nabla (\mathbf{A} \cdot \mathbf{B})$.

59.2. Выразите в мегатоннах (Мт) энергию магнитного поля Земли U , заключенную во всем пространстве, внешнем по отношению к Земле (1 Мт — энергия, освобождаемая при взрыве 1 млн тонн тринитротолуола, т. е. $4,2 \cdot 10^{15}$ Дж). Предположите, что магнитное поле Земли — это поле диполя с магнитной индукцией на экваторе порядка $2/3$ Гс ($1 \text{ Гс} \approx 10^{-4}$ Тл). В свете данной задачи оцените, насколько существенно могла бы водородная бомба мощностью 1 Мт, взорванная в атмосфере высоко над поверхностью Земли, исказить магнитное поле Земли.

59.3. Вычислите поток вектора Пойнтинга \mathbf{S} через поверхность длинного прямолинейного провода, сопротивление единицы длины которого равно R , когда по нему протекает ток I . Сравните этот результат с нагревом, рассчитанным с использованием закона Ома.

59.4. Длинный коаксиальный кабель изготовлен из двух идеально проводящих концентрических цилиндров радиусом соответственно a и b ($a < b$). Один конец кабеля подсоединен к электрической батарее, напряжение на клеммах которой равно V . К другому концу кабеля присоединено сопротивление R . Следовательно, ток, протекающий по кабелю, равен $I = V/R$. С помощью вектора Пойнтинга \mathbf{S} вычислите скорость потока энергии.

59.5. Средняя мощность радиоволн, излучаемых широкопередаточной станцией, составляет примерно 10 кВт.

(а) Чему равно среднее значение модуля вектора Пойнтинга $|\langle \mathbf{S} \rangle|$ на поверхности Земли в точках, удаленных от станции на 10 км?

Замечание. На таком расстоянии излучаемые волны можно считать плоскими. Разумно предположить, что вся мощность излучается четвертьволновой антенной (длиной $\lambda/4$), помещенной над идеально проводящей плоскостью.

(б) Найдите максимальные значения напряженностей электрического $|\mathbf{E}_{\text{макс}}|$ и магнитного $|\mathbf{B}_{\text{макс}}|$ полей.

59.6. Поля, соответствующие поперечной электрической волне самой низкой частоты в волноводе прямоугольного сечения, показанные на рис. 24-3 – 24-6 из т. II «Лекций», имеют вид:

$$\mathbf{E} = E_0 \sin \frac{\pi x}{a} \cos(\omega t - k_z z) \mathbf{e}_y,$$

$$\mathbf{B} = -E_0 \frac{k_z}{\omega} \sin \frac{\pi x}{a} \cos(\omega t - k_z z) \mathbf{e}_x - E_0 \frac{\pi}{\omega a} \cos \frac{\pi x}{a} \sin(\omega t - k_z z) \mathbf{e}_z.$$

- (а) Покажите, что приведенное выше решение удовлетворяет граничным условиям задачи.
- (б) Вычислите вектор Пойнтинга \mathbf{S} и плотность энергии u .
- (в) Вычислите средний поток энергии $\langle dU/dt \rangle$ через любую поверхность, перпендикулярную оси z .
- (г) Вычислите усредненную по времени плотность энергии в волноводе $\langle u \rangle$.
- (д) Используя результаты пунктов (в) и (г), вычислите среднюю скорость распространения энергии v_g . Покажите, что эта скорость совпадает с групповой скоростью [см. формулу (24.27) из т. II «Лекций»].

59.7. (а) Найдите плотность потока энергии, излучаемой диполем с осциллирующим дипольным моментом $\mathbf{p} \cos(\omega t)$.

Подсказка. Следует принять во внимание только члены, убывающие с расстоянием по закону $1/r$.

(б) Путем интегрирования по поверхности сферы большого радиуса, центр которой совпадает с диполем, покажите, что средняя излучаемая мощность $\langle P \rangle = \frac{1}{3} \cdot \frac{p^2}{4\pi\epsilon_0 c^2} \cdot \frac{\omega^4}{c}$.

59.8. Плоская электромагнитная волна падает на свободный электрон. Под влиянием электрического поля \mathbf{E} электрон осциллирует. Найдите отношение средней энергии, излучаемой электроном в единицу времени $\langle P_{\text{изл}} \rangle$, к средней плотности потока энергии падающей электромагнитной волны $\langle P_{\text{пад}} \rangle$.

Подсказка. Сделайте допущение, что, так как частота волны мала, можно пренебречь влиянием магнитного поля \mathbf{B} волны на движение электрона.

59.9. На частицу пыли в Солнечной системе оказывают влияние две силы: сила притяжения к Солнцу и планетам и сила светового давления, направленная в противоположную сторону от Солнца. Поскольку сила притяжения пропорциональна объему частицы, а сила светового давления пропорциональна ее поперечному сечению, существует такой размер частицы, при котором эти силы уравниваются друг друга.

- (а) Предполагая, что частица имеет форму шарика плотностью $\rho \approx 10^3 \text{ кг/м}^3$ и поглощает весь падающий на нее свет, найдите радиус частицы a , отвечающий ее равновесию в поле этих сил.
- (б) Объяснение того факта, что «хвосты» комет направлены в сторону от Солнца, базируется на предположении о существовании такого равновесия и на том, что «хвост» кометы состоит из частиц малого размера (возможно, даже из молекул газа). Разумно ли такое объяснение?

Примечание. Масса Солнца равна $2 \cdot 10^{30}$ кг, а излучаемая им мощность составляет $4 \cdot 10^{26}$ Вт.

59.10. На полый тороидальный сердечник со средним радиусом R и площадью поперечного сечения πr^2 намотано N витков проволоки ($r \ll R$). В момент времени $t = 0$ по проволоке пропускают линейно возрастающий во времени ток силой $I(t) = Kt$.

- (а) Найдите энергию $U_B(t)$, запасенную в магнитном поле, непосредственно через индукцию магнитного поля тока.
- (б) Найдите направление и величину вектора Пойнтинга $\mathcal{S}(t)$ в любой внутренней точке тороида.
- (в) Используя вектор Пойнтинга, найдите скорость изменения во времени энергии электромагнитного поля внутри тороида dU/dt . Убедитесь в правильности вашего ответа, используя решение, полученное в пункте (а).

59.11. «Парадокс», представленный в разд. 17-4 из т. II «Лекций» в связи с законом Фарадея, вызвал значительный интерес. Вы можете легко разрешить этот парадокс, выбрав простую геометрию мысленного эксперимента. Рассмотрим магнитный диполь с моментом μ в центре тонкой непроводящей, равномерно заряженной сферической оболочки.

- (а) Пусть сфера заряжена до потенциала V . Покажите, что после выключения тока, создающего диполь, сфера будет иметь момент импульса

$$L = \frac{2}{3} \frac{\mu V}{c^2}.$$

(Пренебречь магнитным полем, вызванным вращением заряженной сферы.)

- (б) Сравните L в части (а) данной задачи с моментом импульса, запасенным в электромагнитном поле до того, как был выключен ток.
- (в) Как вы думаете, целесообразно ли поставить этот эксперимент в лабораторных работах студентов второго курса?
- (г) Будет ли это работать с металлической сферой?

Подсказка. При использовании закона Фарадея удобнее всего для расчета магнитного потока использовать векторный потенциал диполя, определяемый формулой (14.34) из т. II «Лекций».

Глава 60

Электромагнитная масса

См. «Лекции», т. II, гл. 28

- 60.1.** При условии, что масса покоя электрона m_e отождествляется с электростатической энергией его заряда и заряд равномерно распределен по объему некоторой сферы, вычислите радиус a этой сферы. Сравните с результатом, который дается уравнением (28.2) из т. II «Лекций».
- 60.2.** Хорошо известно, что электроны кроме заряда q_e и массы m_e обладают еще и собственным моментом количества движения (спином) и магнитным моментом, которые связаны соотношением

$$\frac{\text{Момент количества движения}}{\text{Магнитный момент}} = \frac{m_e}{q_e}.$$

Это соотношение выполняется с точностью 0,1%. Будем предполагать, что масса электрона определяется выражением (28.4) из т. II «Лекций»:

$$m_e = \frac{2}{3} \frac{e^2}{ac^2}, \text{ где } e^2 = q_e^2 / (4\pi\epsilon_0).$$

- (а) В центре однородно заряженной сферической оболочки радиусом a с полным зарядом q поместите магнитный диполь с магнитным моментом μ ; покажите, что момент импульса электромагнитного поля равен $L = \frac{2}{3} \cdot \frac{q\mu}{4\pi\epsilon_0 c^2} \cdot \frac{1}{a}$.
- (б) Найдите отношение момента импульса к магнитному моменту и сравните это отношение с величиной m/q .
- (в) Считая, что для электрона $\mu_z = \hbar q_e / (2m_e)$, вычислите максимальную скорость вращения точек на поверхности электрона $v_{\text{макс}}$, обуславливающую данное значение магнитного момента. Приведите необходимые, с вашей точки зрения, пояснения.

Примечание. Величина $4\pi\epsilon_0 \hbar / q_e^2 = 1/\alpha$ примерно равна 137.

Глава 61

Движение зарядов в электрическом и магнитном полях

См. «Лекции», т. II, гл. 29

- 61.1.** Заряженная частица (с зарядом q , массой покоя m) в начальный момент времени покоится в начале координат. Затем на нее начинает действовать постоянное электрическое поле, направленное вдоль оси z .
- (а) Вычислите релятивистскую скорость v и координаты частицы (x, y, z) как функции времени.
 - (б) Как изменится ваш ответ, если в начальный момент частица имела скорость v_0 , направленную вдоль оси y ?
- 61.2.** В циклотроне протоны движутся в однородном магнитном поле \mathbf{B} по круговым траекториям.
- (а) Найдите зависимость «циклотронной частоты» ω , или угловой скорости протонов, от их заряда q_p , массы m_p и величины магнитного поля B для протонов низкой энергии.
 - (б) Как изменится значение циклотронной частоты ω при увеличении полной энергии?
 - (в) При каком изменении кинетической энергии T частота ω изменится на 1%?
- 61.3.** В момент времени $t = 0$ частица массой m и зарядом q покоится в начале координат. На частицу действует однородное электрическое поле \mathbf{E} , направленное по оси y , и однородное магнитное поле \mathbf{B} , направленное по оси z .
- (а) Найдите последующее движение частицы, т. е. зависимость ее координат $x(t)$, $y(t)$, $z(t)$ от времени, при условии, что движение частицы является нерелятивистским. Какие при этом будут накладываться ограничения на \mathbf{E} и \mathbf{B} ?
 - (б) Можете ли вы предположить, какой характер будет иметь релятивистское движение этой частицы? Что произойдет, если $\mathbf{E}/\mathbf{B} > c$?
 - (в) Если установить одну пластину в плоскости x, z в точке $y = 0$, а другую пластину – параллельно первой на расстоянии $y = d$, приложить разность потенциалов между пластинами $V_0 = Ed$ и создать параллельное этим пластинам магнитное поле, то мы получим устройство, называемое *магнетроном*. Если кинетическая энергия электронов, вылетающих из отрицательного электрода (катода), равна нулю, то

какова должна быть индукция магнитного поля \mathbf{B} для того, чтобы электроны не смогли достичь положительно заряженного анода?

- 61.4. Принцип фокусировки частиц в неоднородном поле может быть продемонстрирован с помощью оптической модели, показанной на рис. 61-1. Даже при одинаковых по модулю фокусных расстояниях линз существуют условия, когда такая система будет фокусировать.

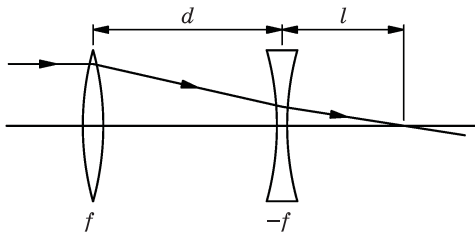


Рис. 61-1

- (а) Определите зависимость l от d для света, падающего параллельно оптической оси.
- (б) При каких условиях изображение будет действительным, при каких — мнимым?

Глава 62

Показатель преломления плотных веществ

См. «Лекции», т. II, гл. 32

- 62.1. Покажите, что в неполярном диэлектрике квадрат показателя преломления n на низких частотах равен диэлектрической проницаемости κ .
- 62.2. На частоте примерно 6 МГц ионосфера становится прозрачной. В рамках модели свободных электронов оцените плотность электронов ρ в ионосфере.
- 62.3. К металлу в течение долгого времени приложено постоянное электрическое поле; затем оно мгновенно выключается. Используя модель свободных электронов, покажите, что время релаксации (т. е. время, в течение которого скорость дрейфа электронов падает до величины $1/e$ от своего исходного значения) равно удвоенному времени между столкновениями.
- 62.4. В металле существуют решения уравнений Максвелла, имеющие вид плоских волн:

$E_x = E_0 e^{i(\omega t - kz)}$, где k — комплексное число. Для низких частот

$$k = (1 - i) \sqrt{\frac{\sigma \omega}{2 \epsilon_0 c^2}}, \text{ где } \sigma \text{ — удельная проводимость металла.}$$

- (а) Напишите выражение для магнитного поля \mathbf{B} такой волны.
- (б) Какой угол θ образуют векторы \mathbf{E} и \mathbf{B} ?
- (в) Чему равно отношение пикового значения \mathbf{B} к пиковому значению \mathbf{E} для любого данного значения z ?
- (г) Какова разность фаз ϕ между векторами \mathbf{E} и \mathbf{B} ?

Указание. Если момент времени t_1 соответствует максимальной величине \mathbf{E} , а t_2 — максимальной величине \mathbf{B} , то разность фаз определяется как $\pm \omega(t_1 - t_2)$.

- 62.5. При выводе формулы (32.50) из т. II «Лекций» предполагалось, что в металле граница пропускания ультрафиолета (т. е. величина ω , при которой происходит переход показателя преломления n от вещественных значений к мнимым) является довольно резкой. На опыте же столь резкого перехода не наблюдается. Покажите, что с помощью более удачной аппроксимации для n^2 теорию можно согласовать с экспериментом.

Глава 63

Отражение от поверхностей

См. «Лекции», т. II, гл. 33

63.1. (а) Определите коэффициент пропускания I_t/I_i для плоской электромагнитной волны, проходящей через трехслойный диэлектрик, показанный на рис. 63-1.

(б) Покажите, что в случае $n_2 = \sqrt{n_1 n_3}$ и $l = \lambda_2/4$ коэффициент пропускания равен единице.

(Покрyтия такого рода используют для «просветления» оптики в хороших фотокамерах и биноклях.)

(в) Какова должна быть толщина просветляющего покрытия l в обычных биноклях, в которых используется видимый свет со средней длиной волны $\lambda_1 = 550$ нм?

Примечание. Предположим, что показатель преломления стекла равен 1,5.

(г) Если бы можно было просветлять только одну сторону линзы, имело бы значение, какую из сторон надо просветлять? Почему?

63.2. Луч света с длиной волны 450 нм (в вакууме) падает на призму и полностью отражается на угол 90° относительно первоначального направления, как показано на рис. 63-2. Показатель преломления призмы 1,6.

(а) Вычислите расстояние d от длинной стороны призмы, на котором напряженность электрического поля E уменьшается в e раз по сравнению с ее значением на поверхности. Предполагается, что свет поляризован так, что вектор E перпендикулярен плоскости падения.

(б) Изменится ли ваш ответ, если E будет лежать в плоскости падения?

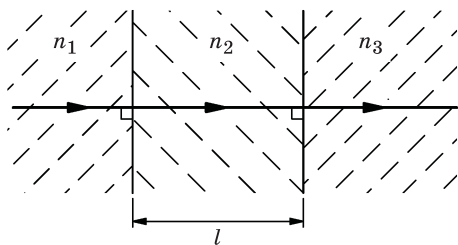


Рис. 63-1

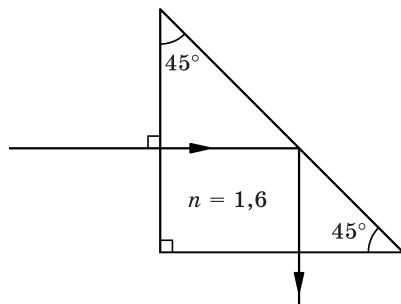


Рис. 63-2

Глава 64

Магнетизм вещества

См. «Лекции», т. II, гл. 34

64.1. Заряженная частица массой m движется в плоскости, перпендикулярной однородному магнитному полю \mathbf{B} .

- (a) Покажите, что если \mathbf{B} медленно меняется во времени, то магнитный момент орбитального движения частицы $\boldsymbol{\mu}$ остается постоянным.
- (б) Что мы понимаем под словом «медленно» в части (a) данной задачи?

Глава 65

Парамагнетизм и магнитный резонанс

См. «Лекции», т. II, гл. 35

- 65.1.** В циклотроне, рассчитанном на низкие энергии, период обращения протонов по круговой орбите составляет 0,13 мкс. Ядерный магнитный резонанс для протона в магнитном поле циклотрона наступает при частоте 21 МГц. Определите по этим данным g -фактор протона.
- 65.2.** Выведите формулу (35.9) из т. II «Лекций» способом, указанным в тексте лекции. Можете ли вы увязать этот вывод с утверждением, содержащимся в гл. 34 «Лекций» о том, что если рассуждать строго в рамках классической физики, то парамагнетизм существовать не может?
- 65.3.** В 1 см³ парамагнитной соли содержится 10^{22} атомов с магнитным моментом в один магнетон Бора каждый. Соль помещается в однородное магнитное поле с индукцией 10 000 Гс (1 Вб/м²). Выразите в процентах избыток параллельных полю спинов $(N_{\text{вверх}} - N_{\text{вниз}})/N$ при комнатной температуре (300 К) и температуре жидкого гелия (4,2 К).
- 65.4.** Выведите квантово-механическое выражение для парамагнетизма частиц со спином 1, следуя выводу соответствующего выражения в гл. 35 из т. II «Лекций» в случае спина 1/2 .

Глава 66

Ферромагнетизм

См. «Лекции», т. II, гл. 36

66.1. Сфера радиусом a однородно намагничена так, что ее полный магнитный момент равен $\mu = (4/3)\pi a^3 M$, где M — намагниченность.

(а) Вычислите эквивалентные поверхностные токи на единицу длины K , которыми можно было бы заменить намагниченную сферу для получения такого же поля в области пространства вне сферы.

(б) Покажите, что найденное распределение токов обладает таким же полным магнитным моментом.

66.2. Сердечник электромагнита, показанный на рис. 66-1, а, изготовлен из магнитомягкого железа; на него намотано 2150 витков провода, через который течет ток силой 5 А. Сердечник имеет однородную ширину 28 см (перпендикулярную плоскости рисунка), зависимость B от H (кривая намагниченности) показана на рис. 66-1, б.

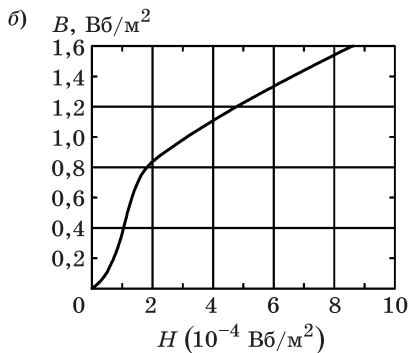
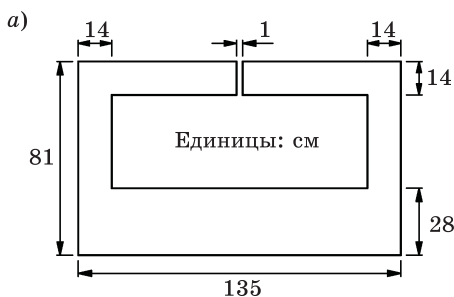


Рис. 66-1

- (а) Оцените величину магнитного поля $B_{\text{зав}}$ в воздушном зазоре магнита.
 (б) Какими основными эффектами вы пренебрегли при этом?

Подсказка. Так как кривая намагниченности $B(H)$ является эмпирической и нелинейной, не удивляйтесь, если для данной задачи не может быть получено точное аналитическое решение.

- 66.3.** Система состоит из постоянного магнита и двух полюсов, изготовленных из мягкого железа, как показано на рис. 66-2, а. Характеристики постоянного магнита приведены на рис. 66-2, б. Сначала пропускаем сильный ток по внешней обмотке брусок намагничивается до точки P на кривой зависимости M от H . Найдите напряженность магнитного поля в зазоре $B_{\text{зав}}$ после выключения тока, предполагая, что магнитная проницаемость мягкого железа бесконечна, и пренебрегая утечкой магнитного потока на краях зазора.

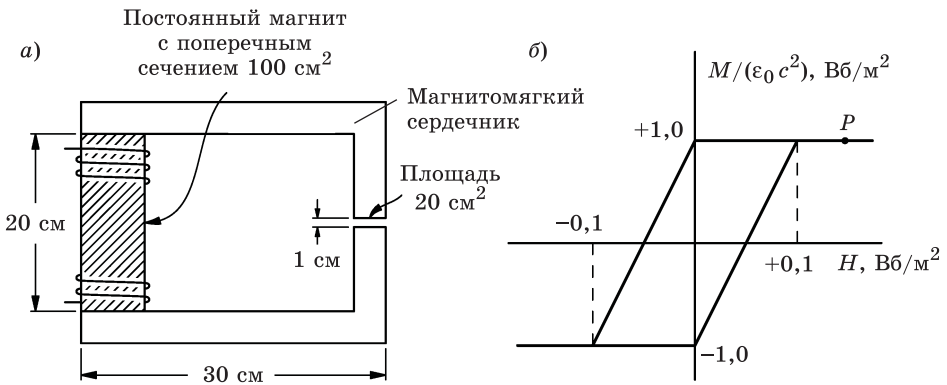


Рис. 66-2

- 66.4.** Очень длинный железный стержень в форме цилиндра однородно намагничен так, что вектор намагниченности \mathbf{M} направлен по оси цилиндра.
- (а) Найдите \mathbf{B} и \mathbf{H} внутри стержня, пренебрегая краевыми эффектами.
 (б) Чему будет равна магнитная индукция $B_{\text{п}}$ и напряженность поля $H_{\text{п}}$ в центре игольчатой полости, если ее вырезать вдоль оси стержня?

Глава 67

Упругость

См «Лекции», т. II, гл. 38

Используйте следующие данные для решения нижеприведенных задач:

	Удельный вес (г/см ³)	Модуль Юнга (1011дин/см ² \approx 10 ГПа)
Сталь	7,83	20,01
Алюминий	2,71	6,96

67.1. В ракетной технике используются конструкции, которые обладают максимальной прочностью при минимальном весе.

(а) Сравните радиусы двух цилиндрических стержней — r_{Al} и $r_{\text{стали}}$ — из алюминия и из стали, обладающих одинаковой жесткостью и длиной L .

Примечание. Жесткость определяется как отношение приложенной поперечной силы к результирующему смещению стержня.

(б) Сильно ли отличаются массы стержней m_{Al} и $m_{\text{стали}}$?

67.2. Алюминиевый стержень квадратного сечения со стороной a и длиной L одним концом заделан в стенку, а к свободному его концу прикреплена масса m , как показано на рис. 67-1. Найдите собственную частоту колебаний ω этой системы в предположении, что масса стержня во много раз меньше массы m ; при этом саму массу m можно рассматривать как материальную точку.

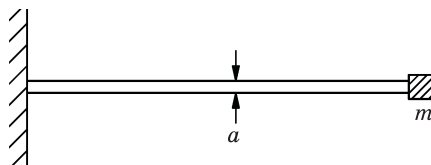


Рис. 67-1

67.3. В гл. 47 из т. I «Лекций» скорость звука в жидкости выражена через производную от давления по плотности.

- (а) Покажите, что для продольных волн в твердом теле (плоских волн сжатия) фазовая скорость определяется выражением

$$V_{\text{пр}}^2 = \frac{(1-\sigma)Y}{(1-2\sigma)(1+\sigma)\rho},$$

где ρ , Y , σ — соответственно плотность, модуль Юнга и коэффициент Пуассона для твердого сплошного материала.

Эта формула справедлива лишь для продольной волны в «безграничной» среде. В такой волне частицы движутся параллельно направлению распространения волны, когда материал сжимается волной, тогда как поперечное смещение частиц в продольной волне отсутствует, в отличие от того случая, который имеет место, скажем, при сжатии стержня, когда поперечные размеры стержня увеличиваются.

- (б) Каковы, по вашему мнению, должны быть размеры тела, чтобы приведенное выше выражение в части (а) данной задачи для фазовой скорости было справедливо?

- 67.4. Стальная линейка длиной 30 см, шириной 1,27 см и толщиной 0,08 см своими концами упирается в две планки, прибитые к столу на расстоянии примерно 29 см одна от другой, как показано на рис. 67-2. Пренебрегая весом линейки (около 22 г), определите:

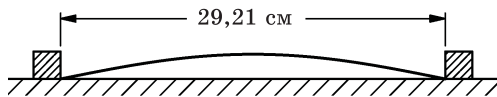


Рис. 67-2

- (а) какой кривой описывается форма изогнутой линейки;
(б) какова сила F , с которой линейка упирается в планки.

- 67.5. Определите критическую силу P , вызывающую потерю устойчивости балки длиной L , и ее модуль Юнга Y . Нижний конец балки заделан, как показано на рис. 67-3. Балка имеет прямоугольное сечение со сторонами t (толщина балки) и w (ширина).

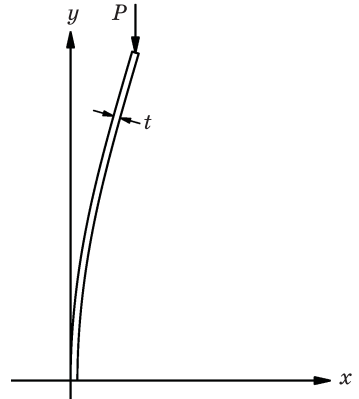


Рис. 67-3

Глава 68

Течение «сухой» воды

См. «Лекции», т. II, гл. 40

68.1. (а) Докажите справедливость сделанного в гл. 40 из т. II «Лекций» утверждения о том, что в невязкой жидкости давление одинаково во всех направлениях.

(б) В качестве математического упражнения докажите весьма полезное векторное тождество, использованное в гл. 40 из т. II «Лекций»:

$$(\mathbf{v} \cdot \nabla) \mathbf{v} = 0,5 \cdot (\mathbf{v} \cdot \mathbf{v}) + (\boldsymbol{\Omega} \times \mathbf{v}),$$

где $\boldsymbol{\Omega} = (\nabla \times \mathbf{v})$.

68.2. Жидкость вращается в цилиндре кругового сечения с постоянной угловой скоростью ω ; частицы жидкости, находящиеся на расстоянии r от оси, вращаются со скоростью $v = \omega r$.

(а) Найдите форму воронки, образующейся на поверхности жидкости.

(б) Покажите (как это было отмечено в гл. 40 из т. II «Лекций»), что циркуляция на единицу площади, т. е. величина $\nabla \times \mathbf{v}$, равна удвоенной угловой скорости вращения жидкости.

68.3. Шар массой m и радиусом a движется с постоянной скоростью в «сухой» воде.

(а) Покажите, что сумма кинетических энергий шара и жидкости равна

$$\frac{1}{2} \left(m + \frac{M}{2} \right) v^2,$$

где M — масса жидкости, вытесненной шаром.

(б) Чему равен суммарный импульс шара и жидкости \mathbf{p}_c ?

Глава 69

Течение «мокрой» воды

См. «Лекции», т. II, гл. 41

- 69.1.** Если шар радиусом a движется в вязкой жидкости с постоянной скоростью v равномерно и достаточно медленно, так что поток обтекающей жидкости является ламинарным, то сила, заставляющая его двигаться, есть вязкая сила трения, действующая со стороны жидкости на шар. Хотя *можно* получить точную формулу для этой силы, представляет интерес найти для нее выражение из соображений размерностей, рассмотрев все параметры, от которых эта сила может зависеть. Прodelайте это. Можете ли вы качественно обосновать, *почему* эти параметры входят в найденное выражение так, а не иначе?
- 69.2.** Если вязкая жидкость течет в цилиндрической трубке, то ее поток можно считать ламинарным, т. е. слои жидкости в цилиндрических трубках следуют один за другим не пересекаясь. Для трубки радиусом a профиль скоростей потока поперек трубки выглядит примерно так, как представлено на рис. 69-1.

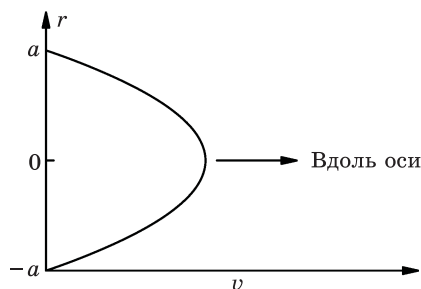


Рис. 69-1

- (a) Покажите, что если r — радиальное расстояние от оси трубки, η — коэффициент вязкости жидкости, а $(P_1 - P_2)/L$ — перепад давления на единицу длины трубки, то профиль скоростей в жидкости описывается выражением

$$v(r) = \frac{1}{4\eta} \frac{P_1 - P_2}{L} (a^2 - r^2).$$

По аналогии с законом Ома пропускную способность такой трубки Q можно связать с перепадом давления $\Delta P = P_1 - P_2$ соотношением $\Delta P = QR$, где R — «сопротивление» трубки.

- (а) Найдите сопротивление R для трубок радиусом a и длиной L .
- (б) Каким мог быть здесь аналог электрического конденсатора?
- (в) Как вы думаете, почему подобные аналогии могут считаться полезными?

69.3. Большой мелкий бассейн частично заполнен водой (любой «несжимаемой» жидкостью с вязкостью η). На поверхности воды плавает тонкая деревянная доска, нижняя сторона которой находится на расстоянии d от дна бассейна. Длина и ширина доски во много раз больше величины d . Доска движется горизонтально с малой скоростью v . Чему равна скорость диссипации энергии dU/dt в единице объема воды вблизи середины доски?

Задачи к тому III

- Квантовая механика 1
- Квантовая механика 2

Введение

Настоящий комплект задач предназначен в качестве дополнения к тому III курса «Фейнмановских лекций по физике». Так же, как и в комплект задач к тому II «Лекций», в него включены домашние работы и экзаменационные задачи, использовавшиеся в Калтехе в период с 1963 по 1964 г. И вновь я попытался расположить задачи по каждой главе в порядке возрастания их трудности. Даже в большей степени, чем предыдущий комплект задач, этот сборник не стоит рассматривать как окончательную попытку составления подобного издания: он должен расширяться по мере развития курса лекций. На самом деле эти задачи были написаны еще до опубликования тома III «Лекций» в его окончательном виде. Я надеюсь, что любые расхождения в обозначениях, которые, без сомнения, могут появиться в этой книге, будут рассматриваться в качестве еще одного свидетельства предварительного характера этого сборника. Большая часть задач была подготовлена М. Сэндсом, Р. Ф. Фейнманом, Дж. Пайном и мною. Примерно три четверти идей были предложены Р. Ф. Фейнманом. Предварительное редактирование было осуществлено Ч. Уилтсом и мной летом 1963 г. Окончательная читка и правка текста сборника были сделаны И. Таммару.

И вновь мне очень приятно поблагодарить г-жу Ф. Л. Уоррен за работу по набору текста, изготовлению верстки и созданию макета данного сборника на всех стадиях его подготовки.

Дж. Нойгебауэр

Глава 70

Амплитуды вероятности

См. «Лекции», т. III, гл. 3 (гл. 1 в русском переводе)

70.1. Мысленный эксперимент по интерференции электронов, описанный в гл. 3 из т. III «Лекций», показан на рис. 70-1. Из интерференционной картины P_{12} , изображенной на этом рисунке, можно оценить длину волны λ , связанную с функциями амплитуд вероятности ϕ_1 и ϕ_2 . Обозначим расстояние между центрами щелей буквой d , а расстояние от щелей до экрана — L . Пусть x — расстояние от центра экрана до первого минимума дифракционной картины P_{12} . Назовите другие величины, которые необходимо измерить на данном рисунке.

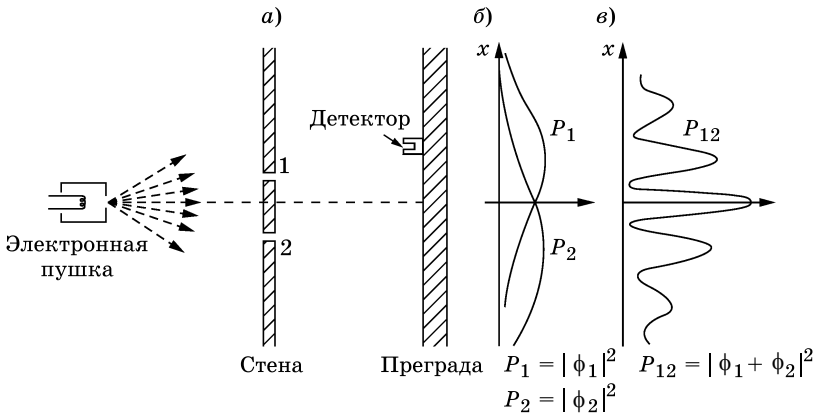


Рис. 70-1

(а) Какова оценка для величины λ , если $L \gg d$?

(б) Используя кривые зависимостей P_1 и P_2 , рассчитайте ожидаемую величину P_{12} в центре картины, в первом боковом максимуме и первых двух минимумах интерференционной картины. Сравните полученные результаты с кривой P_{12} . (Является ли данный рисунок точным?)

70.2. Рассмотрите эксперимент по интерференции электронов на двух щелях, описанный в предыдущей задаче, предположив, что расстояния от электронной пушки до щелей и от щелей до экрана очень велики по сравнению с промежутком между щелями, а ширина щелей много меньше этого

промежутка. Дайте ответ (по возможности количественный) на следующие вопросы:

- (а) Что произойдет с интерференционной картиной P_{12} , если электронную пушку сдвинуть вверх на расстояние D ?
- (б) Как изменится интерференционная картина, если расстояние между щелями удвоить?
- (в) Что случится, если первую щель сделать вдвое шире второй?

- 70.3.** Монохроматический свет, поляризованный в вертикальной плоскости, падает на поляризационный фильтр (поляроид), «ось пропускания» которого образует с вертикалью угол θ . Чему, по классической теории, будет равно отношение интенсивностей прошедшего и падающего света? Что сделает этот поляризационный фильтр с отдельным падающим фотоном?
- 70.4.** Пучок электронов с энергией 20 кэВ проходит через тонкую поликристаллическую золотую фольгу, а затем попадает на фотопластинку. Области почернения на пластинке имеют форму концентрических колец с центрами на оси пучка. Почему? Рассчитайте диаметры колец, если расстояние от фольги до фотопластинки равно 10 см.
- 70.5.** Если вернуться к рассмотрению обычного интерференционного эксперимента с дифракцией на двух щелях (см. задачу 70.1), то можно показать, что полную дифракционную картину на экране можно предсказать, зная амплитуды вероятности попадания электронов на каждую из щелей.
- (а) Если a_1 и a_2 — комплексные числа, равные амплитудам вероятности попадания электронов соответственно на щели 1 и 2, то как выглядит формула $I(x)$ для относительной интенсивности распределения электронов на экране в зависимости от x — расстояния от центральной точки? Сделайте предположение о том, что x и расстояние между двумя щелями есть малые величины по сравнению с расстоянием L между щелями и экраном наблюдения.
 - (б) Если интерференционная картина зависит только от амплитуд вероятности попадания электронов на щели 1 и 2, то как электрон «узнаёт», какую длину волны ему надо использовать за щелью при формировании этой картины?
- 70.6.** В дифракционном опыте, схема которого приведена на рис. 70-2, источник испускает частицы, имеющие импульс p_0 , массу m и скорость v .
- (а) Чему равно расстояние a между центральным максимумом и ближайшим к нему максимумом? Считайте, что $L \gg d$, $L \gg a$.
 - (б) Внешнее воздействие меняет фазу для верхнего пути (1) на $\delta\phi_1$, а для нижнего пути (2) — на $\delta\phi_2$. Покажите, что центральный максимум смещается при этом на расстояние S , определяемое выражением

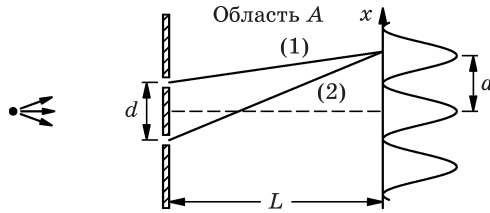


Рис. 70-2

$$S = +(\delta\phi_1 - \delta\phi_2) \frac{L}{d} \cdot \frac{\hbar}{p_0}.$$

Таким образом, если величина $(\delta\phi_1 - \delta\phi_2)$ для всех путей одинакова, то на расстояние S смещается вся дифракционная картина и мы можем сказать, что на расстояние S отклоняются все частицы.

- (в) Предположим, что в области A частицы обладают небольшой потенциальной энергией $V(x)$, которая зависит только от вертикальной координаты x . Тогда импульс частиц $p(x)$ на высоте x над центральной линией будет несколько отличаться от $p(0)$ — своего значения на центральной линии. Покажите, что

$$p(x) = p(0) + \frac{m}{p(0)} [V(0) - V(x)]$$

или, когда $V(x)$ меняется с расстоянием медленно, справедливо соотношение

$$p(x) = p(0) + \frac{Fx}{v},$$

где F — взятый с обратным знаком градиент потенциальной энергии $-dV/dx$.

- (г) При условиях, описанных в пункте (в), импульсы при движении по прямым (1) и (2) будут отличаться друг от друга; кроме того, будут отличаться и длины волн.

- 1) Покажите, что разность фаз для верхнего и нижнего путей

$$\delta\phi_1 - \delta\phi_2 = \frac{d}{2v} \frac{F}{\hbar} L.$$

(Заметим, что среднее вертикальное расстояние между двумя этими путями равно $d/2$.)

- 2) Покажите, что вся дифракционная картина смещается вверх на величину $0,5(F/m)t^2$, где $t = L/v$ — время пролета частиц (в классическом смысле) от щели до экрана. Поясните смысл этого результата.

70.7. Электроны со спином $1/2$ испускаются источником S , помещенным перед экраном с двумя щелями, как показано на рис. 70-3. Предположим, что электрон, достигший щели, проходит через нее с амплитудой α , если его спин направлен вверх, и с амплитудой β , если его спин направлен вниз.

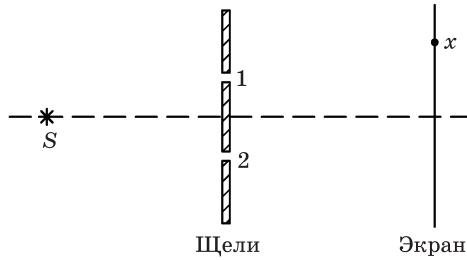


Рис. 70-3

Далее предположим, что различить, через какую щель электрон прошел, невозможно.

- Если все электроны испускаются «спином вверх», вычислите распределение интенсивностей на экране в точке x , выразив это распределение через α , β и амплитуды $\langle 1|S \rangle$ и $\langle x|1 \rangle$.
- Как отличается это распределение от случая, когда все электроны испускаются «спином вниз» (при прочих равных условиях)?
- Если электроны излучаются со спинами, случайным образом направленными вверх или вниз, а все остальные условия опыта сохраняются, то чем будет отличаться новая картина от случая (а)?

70.8. Как это ни удивительно, но большие интерференционные эффекты можно наблюдать даже в том случае, если одна из вероятностей для интерферирующей волны не очень высока. Покажите, что в эксперименте по дифракции на двух отверстиях, даже когда вероятность проникнуть через одно из них в 100 раз меньше, чем через другое, дифракционный максимум все еще на 50 % выше минимума.

70.9. Диаметр ближайших звезд визуально слишком мал, чтобы его можно было «наблюдать» даже при помощи лучших современных телескопов, поскольку «угловой размер» звезд меньше углового разрешения телескопа. Диаметр одной из звезд впервые определил Майкельсон, используя оптический интерферометр. Но точности этого метода едва хватает для самых близких звезд. В статье, опубликованной в 1956 г., Браун и Твисс предложили [*Nature*, **178**, 1046 (1956)] новый метод для таких измерений, названный ими «методом корреляции интенсивностей». Они опробовали этот метод на звезде Сириус, взяв два параболических рефлектора (авторы использовали зеркала от старых прожекторов), в фокусе каждого из которых был установлен фотоумножитель. Выходы умножителей соединяли коаксиальным кабелем с электронной схемой, которая регистрировала среднее значение произведения токов в обоих умножителях (так называемую «корреляционную функцию»). По изменению величины этого произведения в зависимости от расстояния между зеркалами определяли угловой диаметр звезды.

В то время многие физики утверждали, что этот метод не годится для такого эксперимента. В качестве аргумента они выдвигали утверждение,

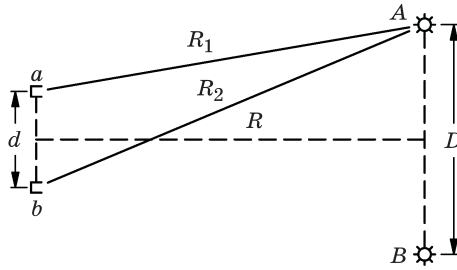


Рис. 70-4

что поскольку свет — это фотоны, а каждый фотон попадает либо на одно зеркало, либо на другое, никакой корреляции двух токов наблюдаться не может. Вы можете опровергнуть этот аргумент, рассматривая следующий идеализированный эксперимент.

Два небольших источника света (скажем, две лампочки — A и B) помещаются на больших расстояниях от фотоумножителей a и b в соответствии с геометрией, показанной на рис. 70-4. К детекторам a и b подключены счетчики, которые измеряют число фотонов p_1 и p_2 , попадающих за 1 с на каждый счетчик. Счетчики a и b также включены в «схему совпадений», которая регистрирует p_{12} — количество случаев в единицу времени, когда фотоны регистрируются одновременно (т. е. в течение одного малого промежутка времени τ) в обоих детекторах.

Пусть $\langle a|A \rangle$ — амплитуда вероятности появления фотона, испущенного источником A , в детекторе a в течение данного промежутка времени, определяемого разрешающей способностью схемы. Тогда

$$\langle a|A \rangle = ce^{i\alpha_1},$$

где c — комплексная постоянная, а $\alpha_1 = kR_1$ (R_1 — расстояние от A до a).

Аналогично,

$$\langle b|A \rangle = ce^{i\alpha_2},$$

где $\alpha_2 = kR_2$ (R_2 — расстояние от A до b).

- Покажите, что скорость счета совпадений p_{12} пропорциональна величине $2 + \cos[2k(R_2 - R_1)]$.
- Как можно использовать этот результат для определения диаметра звезды D , если расстояние R до нее известно? Пренебрегите тем фактом, что реальный процесс может быть представлен в виде «наложения» таких простых процессов, поскольку свет приходит от всех областей поверхности звезды, а не только из крайних, диаметрально противоположных точек ее диска.

Глава 71

Тождественные частицы

См. «Лекции», т. III, гл. 4 (гл. 2 в русском переводе)

71.1. Радиопередатчик излучает сигнал мощностью 1000 кВт на частоте 1 МГц.

(а) Какова энергия E (в эВ) каждого излученного кванта?

(б) Сколько квантов излучается за каждый период колебаний электромагнитного поля? (Высокая степень когерентности этих квантов возможна, поскольку они являются бозе-частицами.)

72.2. Внутри полости в абсолютно черном теле величина энергии излучения $E(\omega)$ на единицу объема в интервале частот от ω до $\omega + \Delta\omega$ дается формулой Планка:

$$\Delta E(\omega) = \frac{\hbar\omega^3}{\pi^2 c^3 (e^{\hbar\omega/kT} - 1)} \Delta\omega.$$

(а) Как ведет себя $E(\omega)$ при малых ω ? при больших ω ?

(б) При какой частоте $\omega_{E_{\max}}$ на единичный интервал частот приходится максимальная энергия?

(в) При какой длине волны $\lambda_{E_{\max}}$ на единичный интервал длин волн приходится максимальная энергия?

(г) Оцените температуру на поверхности Солнца T , полагая, что максимум интенсивности его излучения приходится на середину видимого спектра (~ 500 нм).

71.3. Оцените напряженность магнитного поля, которая потребуется для того, чтобы ориентировать спины обоих электронов в атоме гелия в одном направлении. (Приблизительно рассматривайте атом гелия как гармонический осциллятор с основной частотой, соответствующей видимому свету. У атома гелия в основном состоянии оба электрона находятся на самом нижнем уровне, и их спины направлены в противоположные стороны. Согласно принципу запрета Паули, для того чтобы направления спинов электронов совпали, одному из них придется перейти на следующий уровень.)

71.4. Предположим, что в конкретной системе атомов между определенными энергетическими уровнями могут происходить «переходы», как показано на рис. 71-1. Таким образом, мы предполагаем, что «населенность» уровней, или число атомов на энергетических уровнях, изменяется, сопровождаясь испусканием или поглощением квантов.

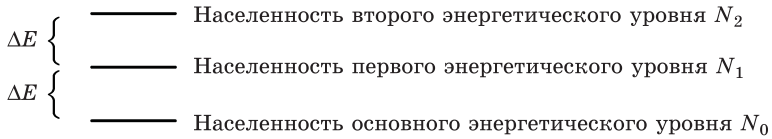


Рис. 71-1

Дано, что два возбужденных состояния и основное состояние находятся в тепловом равновесии в тот момент, когда вся система подвергнута излучению на частоте $\hbar\omega = \Delta E$. Прямые переходы с энергией $2\Delta E$ являются запрещенными.

- (а) Выразите отношения N_1/N_0 и N_2/N_1 через число фотонов $n(\omega)$.
- (б) Получите простое выражение для среднего числа фотонов $n(\omega)$, учитывая, что фотоны являются бозонами. Искомое выражение должно содержать только величину $\Delta E/(kT)$.
- (в) Найдите приближенные выражения для $n(\omega)$ в двух предельных случаях:
- 1) $\hbar\omega \gg kT$,
 - 2) $\hbar\omega \ll kT$.

71.5. До открытия нейтронов полагали, что ядра состоят из протонов и электронов. Покажите, что в таком случае атом N^{14} (атом азота, масса ядра которого примерно в 14 раз больше массы протона) был бы бозе-частицей. Результаты эксперимента (спектр молекулы азота) показывают, что этот атом есть ферми-частица. Это было первое свидетельство в пользу существования новой ядерной частицы. Покажите, как нейтронная гипотеза решает эту дилемму.

71.6. В лазере большое число атомов одновременно переводится в возбужденное состояние. Потом появление небольшого количества света определенного типа вызывает индуцированное излучение в виде нарастающего лавинообразного процесса, что приводит к образованию очень большого числа фотонов с одинаковой длиной волны, испускаемых строго в одном направлении.

- (а) Объясните, как можно «тренировать» атомы, чтобы они все испускали излучение в одном и том же направлении.
- (б) Можно ли надеяться, что в один прекрасный день кто-нибудь создаст подобное устройство, излучающее нейтрино — частицы с массой, которую можно считать равной нулю, и спином $1/2$?

71.7. (а) Покажите, что для двух нетождественных невзаимодействующих частиц вероятность того, что одна переместится из a в b , в то время как другая переместится из c в d , есть $P_{ac \rightarrow bd} = P_{a \rightarrow b} \cdot P_{c \rightarrow d}$, где $P_{a \rightarrow b}$ — вероятность того, что первая частица в отсутствие второй переместится из a в b , а $P_{c \rightarrow d}$ — вероятность того, что вторая частица в отсутствие первой переместится из c в d .

(б) Является ли существенным обстоятельством то, что частицы, рассматриваемые в пункте (а), нетождественны?

71.8. Дейтрон является бозе-частицей со спином единица; таким образом, пучок дейтронов может находиться в одном из трех состояний с проекциями спина: $+1$, 0 , -1 . Выполняется эксперимент, в котором дейтроны рассеиваются на дейтронах. Как зависит вероятность регистрации дейтронов $P(\theta)$ от угла рассеяния θ (угла между направлением движения дейтрона до и после столкновения в системе центра масс)? Предположим, что падающие дейтроны являются неполяризованными, в процессе рассеяния они не распадаются, направление их спинов в процессе рассеяния не меняется; пусть $f(\theta)$ — это амплитуда их рассеяния на угол θ .

71.9. Пусть $f_1(\theta)$ — амплитуда рассеяния π -мезона на протоне, а $f_2(\theta)$ — на нейтроне. Как выразить вероятность того, что π -мезон рассеется на ядре гелия на угол θ , через P_1 и P_2 — вероятности рассеяния соответственно на протоне и на нейтроне?

(а) Рассмотрите два случая:

- 1) отдача протона или нейтрона после рассеяния разрушает ядро;
- 2) отдача настолько слаба, что ядро остается «неповрежденным».

(б) Можете ли вы сказать, в каком случае рассеяние сильнее?

Примечание. Ваше решение должно зависеть от предположений, сделанных при описании процесса.

71.10. В эксперименте по рассеянию нейтронов пучок нейтронов падает на нейтронную мишень. Детектор установлен с таким расчетом, что он регистрировал нейтроны, рассеявшиеся на угол θ в системе центра масс.

Имеем параметры: f — амплитуда рассеяния частицы при ее попадании в детектор без изменения спинового состояния; g — амплитуда рассеяния на тот же угол с «переворотом» спина (за счет обмена направлениями спинов с частицей мишени).

I. В предположении, что f и g не зависят от θ , какова вероятность того, что детектор зарегистрирует нейтрон, если:

- (а) спины обоих нейтронов — рассеиваемого и рассеивающего — направлены в положительном направлении оси z ;
- (б) спины нейтронов пучка ориентированы вдоль положительного направления оси z , а спины нейтронов мишени — вдоль отрицательного;
- (в) падающий пучок неполяризован, а мишень поляризована в направлении $+z$;
- (г) пучок и мишень неполяризованы.

II. Как изменится ответ на вопрос (а), если мишень будет состоять из поляризованных протонов при равенстве амплитуд нейтрон-нейтронного и нейтрон-протонного рассеяния? Считайте, что детектор одинаково эффективно регистрирует нейтроны и протоны.

Подсказка. Амплитуда g для рассеяния со спиновым обменом используется только в том случае, когда начальные спины различны, т. е. когда «спиновый обмен» имеет физический смысл.

71.11. Пучок нерелятивистских протонов проходит через тонкую мишень из жидкого водорода, а потом, как показано на рис. 71-2, рассеянные протоны регистрируются под некоторым углом α к падающему пучку. Процесс рассеяния протона на протоне можно анализировать в системе центра масс, как показано на данном рисунке. Два протона — p_1 и p_2 — движутся навстречу друг другу с одинаковыми скоростями; после соударения оба протона — p'_1 и p'_2 — разлетаются под углом θ к первоначальному направлению. Если выбрать в качестве оси z направление, перпендикулярное плоскости рассеяния, то каждый протон может иметь значения z -компоненты углового спинового момента $J_z = \pm \hbar/2$. Будем говорить, что в первом случае спин направлен «вверх», а во втором — «вниз».

Предположим, что спины обоих протонов направлены вверх и что $f(\theta)$ есть амплитуда рассеяния протона p_1 на угол θ с попаданием в детектор. Поскольку мы не можем сказать, какой именно протон зарегистрирован счетчиком, то амплитуда вероятности того, что какой-то протон будет зарегистрирован под углом θ , равна $f(\theta) - f(\pi - \theta)$. Знак « $-$ » появляется потому, что протоны являются фермионами. Тогда вероятность зарегистрировать протон под углом θ равна $|f(\theta) - f(\pi - \theta)|^2$.

Предположим теперь, что спин протона p_1 направлен вверх, а спин протона p_2 — вниз, амплитуда рассеяния частицы p_1 в направлении детектора без переворота спина равна $f'(\theta)$, а с переворотом спина — $g(\theta)$, поскольку амплитуда рассеяния зависит от относительной ориентации спинов до и после рассеяния. В этом случае амплитуду появления в детекторе протона со спином, направленным вверх, можно записать в виде $f'(\theta) - g(\pi - \theta)$.

(а) Какова связь между θ и α ?

(б) Какова амплитуда вероятности появления в детекторе протона со спином вниз, если до рассеяния спины сталкивающихся протонов были различны?

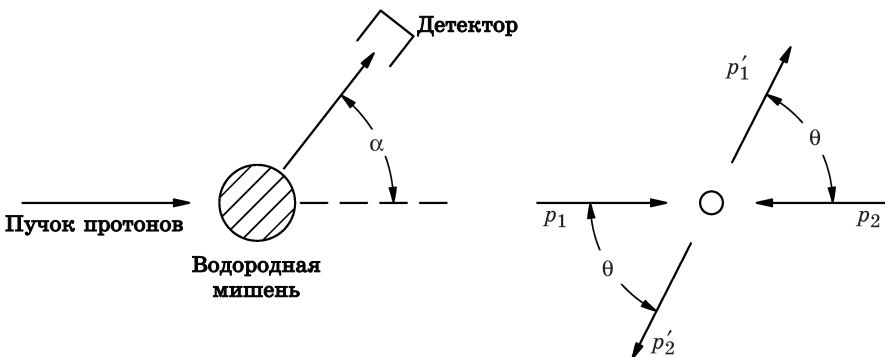


Рис. 71-2

(в) Предположим, что «обычный» пучок неполяризованных протонов рассеивается на обычной (неполяризованной) мишени и что детектор не может различить направление поляризации. Чему равна *вероятность* рассеяния на угол θ ?

(г) Покажите, что при $f' = f$ и $g = 0$ рассеяние протонов с хаотически ориентированными спинами представляет собой смесь «чисто фермионного» рассеяния с амплитудой $[f(\theta) - f(\pi - \theta)]$ и «чисто бозонного» рассеяния, амплитуда которого равна $[f(\theta) + f(\pi - \theta)]$, т. е. докажите, что

$$P(\theta) = A |f(\theta) - f(\pi - \theta)|^2 + B |f(\theta) + f(\pi - \theta)|^2.$$

(д) Вычислите величины A и B в формуле из пункта (г).

71.12. Предположим, что N электронов находятся в очень большом ящике объемом V в состоянии с наименьшей возможной энергией.

(а) Покажите, пренебрегая взаимодействием между электронами, что каждый уровень в ящике занят двумя электронами, причем импульс, соответствующий каждому уровню, $\hbar k = p$, меньше величины $p_{\text{макс}}$,

$$\text{определяемой соотношением } N = \frac{1}{(2\pi\hbar)^3} \int_0^{p_{\text{макс}}} V \cdot 2 \cdot 4\pi p^2 dp.$$

(б) Чему равна энергия U всех электронов? Найдите связь этой внутренней энергии U с объемом ящика.

(в) Найдите давление этого так называемого «вырожденного электронного» газа. Покажите, что объем и давление связаны соотношением $PV^\gamma = \text{const}$,

(г) Найдите γ .

71.13. Материя в звездах, известных под названием «белые карлики», настолько сильно сжата, что к ней применима теория, рассмотренная в задаче 71.12. Если ρ — плотность вещества звезды, то $\rho / (2M_p)$ — число протонов в 1 м^3 этого вещества, где M_p — масса протона. Мы предполагаем, что ядра содержат примерно столько же протонов, сколько нейтронов. Поэтому положим $N/V = \rho / (2M_p)$ в уравнениях задачи 71.12. Условия равновесия звездного вещества, т. е. равновесия, поддерживаемого гравитационным притяжением, можно найти в книгах по астрофизике в следующем виде: $P = A\rho^{5/3}$, $dP/dr = -G\rho M(r)/r^2$, $dM(r)/dr = 4\pi r^2$, где r — радиальное расстояние от центра звезды, $M(r)$ — масса внутри шара радиуса r ; P — давление, A — численная константа.

(а) Можете ли вы объяснить вид этих уравнений?

(б) Можете ли вы вывести формулу для константы A или указать ее численное значение? Считайте, что все давление создается вырожденным электронным газом, а присутствие ядер практически не сказывается. (Кстати, почему?)

Глава 72

ЕДИНИЧНЫЙ СПИН

См. «Лекции», т. III, гл. 5 (гл. 3 в русском переводе)

72.1. Докажите сформулированное в гл. 5 – 6 из т. III «Лекций» утверждение, что если (при единичном спине) прибор Штерна–Герлаха S может быть разбит на две части — A и B , то справедливо следующее представление:

$$\langle \chi | C | \phi \rangle = \sum_k \langle \chi | B | k \rangle \langle k | A | \phi \rangle,$$

где $k = -, 0, +$ есть основные состояния с единичным спином.

72.2. Три «усовершенствованных» прибора Штерна–Герлаха (описанные в гл. 5 из т. III «Лекций»), которые разделяют пучок в соответствии с z -компонентами спина, но сводят пучки в пространстве, устанавливаются последовательно друг за другом; через них пропускается пучок частиц со спином 1. Первая и третья установки ориентированы в одном и том же направлении, в то время как средняя устанавливается под произвольным углом. В обозначениях, использовавшихся в гл. 5, это будет выглядеть, как показано на рис. 72-1.

(а) Если в приборе T открыта одна щель, то будет ли распределение пучка по трем состояниям в конечном состоянии S зависеть от входного состояния, т. е. от пропорций, в которых смешаны состояния $+S$, $0S$ или $-S$ в первоначальном пучке? Почему?

(б) Что произойдет, если две щели в приборе T будут открыты?

(в) А что, если все три щели в приборе T будут открыты?

72.3. Серия из трех «усовершенствованных» экспериментов Штерна–Герлаха проводится с частицами со спином 1 по схеме, показанной на рис. 72-2. Все три прибора расположены на одной прямой, но средний прибор T повернут вокруг этой прямой на угол 90° относительно двух других приборов S . Пучок частиц со спином 1 падает слева. Пучок, который выходит из первого прибора S , имеет интенсивность N_1 частиц в секунду.

(а) Какова интенсивность пучка N_2 на выходе из прибора T ?

(б) Какова интенсивность пучка N_3 на выходе из последнего прибора S ?

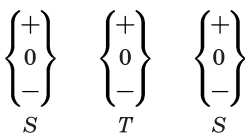


Рис. 72-1

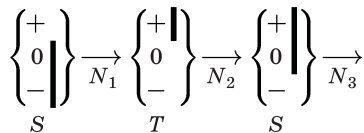


Рис. 72-2

(в) Каковы будут значения N_2 и N_3 , если удалить «перегородки» из прибора T ?

72.4. Рассмотрим тройной «усовершенствованный» эксперимент Штерна–Герлаха, в котором используются три последовательно соединенных прибора — S , T , S' — с частицами, имеющими единичный спин, как показано на рис. 72-3. (Прибор T повернут на 90° относительно приборов S и S' . Предположим, что падающий пучок частиц неполяризован.)

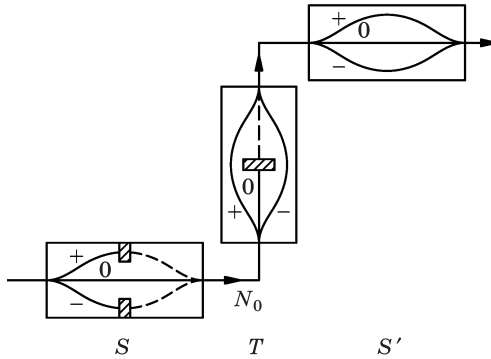


Рис. 72-3

- (а) Для N_0 частиц, выходящих из прибора S , найдите ожидаемое количество частиц, выходящих из S' с состояниями спинов $|+S'\rangle$ и $|0S'\rangle$. (Назовите их $N_{+S'}$ и $N_{0S'}$.)
- (б) Пусть у нас имеются «прозрачные детекторы», которые могут быть установлены в пучок «+» и пучок «-» прибора T . Пусть эти детекторы обладают таким свойством, что когда частица проходит через один из них, то будет генерироваться сигнал без изменения спинового состояния этой частицы. Кроме того, импульс частицы не будет заметно изменяться в том смысле, что можно считать, что ее траектория при прохождении через прибор T будет оставаться такой же, как если бы детектора не было. С детекторами, присутствующими в «+» и «-» состояниях прибора T (пучок с состоянием 0 остается заблокированным), чему будет равно вероятное число отсчетов, зарегистрированных для N_{+T} и N_{-T} , а также для $N_{+S'}$ и $N_{0S'}$, если из прибора S в общей сложности выйдет N_0 частиц?
- (в) Как изменился бы ответ для $N_{+S'}$ в эксперименте, описанном выше в части (б), если бы после эксперимента обнаружили, что ни одного отсчета не было записано для N_{+T} и N_{-T} , поскольку сигналы от детекторов не были зарегистрированы?
- (г) Если эффективность каждого детектора составляет лишь 50 % (т. е. в течение 50 % времени нет взаимодействий между частицами и детектором), то каков будет ответ для $N_{+S'}$ и $N_{0S'}$?
- (д) Если в приборе S будут убраны блокировки для пучков в состояниях «+» и «-» и если N_0 частиц попадают на вход прибора S , то каковы будут $N_{+S'}$ и $N_{0S'}$? (Детекторы в приборе T также будут убраны.)

Глава 73

Спин одна вторая

См. «Лекции», т. III, гл. 6 (гл. 4 в русском переводе)

73.1. Представьте себе, что пучок атомов со спином $1/2$ фильтруется двумя «усовершенствованными» приборами Штерна–Герлаха, установленными последовательно, один за другим. Предполагается, что каждый прибор пропускает только один пучок (рис. 73-1). Предположим, что для всех конфигураций на рис. 73-1, $a - z$ в P попадает N неполяризованных атомов. Сколько атомов должно появиться в Q ?

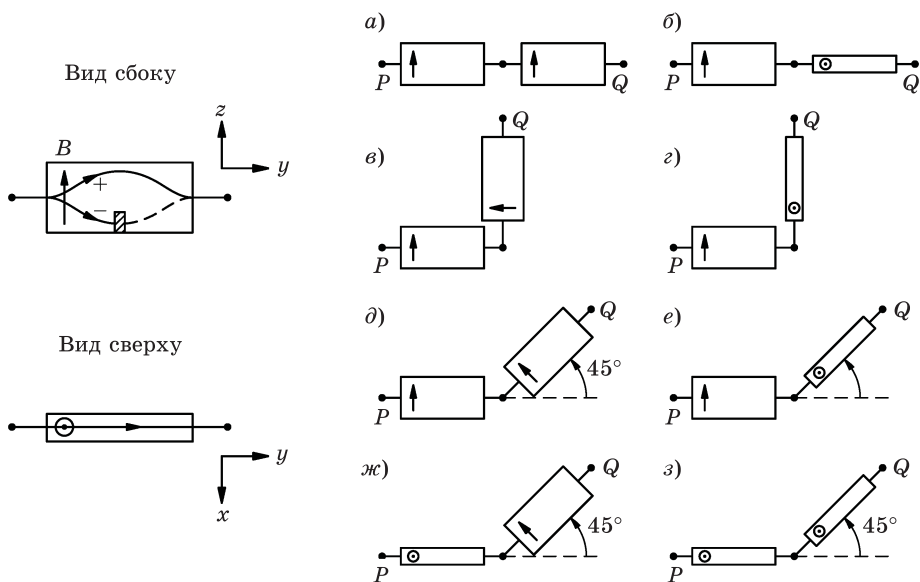


Рис. 73-1

73.2. Частица со спином $1/2$ попадает в некий прибор, причем амплитуды вероятности появления частицы со спином «вверх» или «вниз» вдоль оси z равны соответственно a и b .

(a) Покажите, что вероятность обнаружения частицы в любой точке внутри прибора равна $|aX + bY|^2$, где X и Y — некоторые комплексные числа, характеризующие данный прибор.

Выразите вероятность попадания частицы в данную точку через X и Y , если:

- (б) спин влетевшей частицы направлен по оси z вверх? вниз?
- (в) спин направлен вдоль оси x вверх? вниз?
- (г) спин направлен вдоль оси, ориентация которой характеризуется полярными углами θ и ϕ ?

Существует несколько способов представить себе, что спиновое состояние падающих частиц определяется «волей случая»:

- I) для решения вопроса о том, в положительную или отрицательную сторону оси z будет направлен спин данного электрона, каждый раз бросается монета;
 - II) делается то же самое, что и в пункте (I), но относительно оси x ;
 - III) спин каждого электрона ориентируется в некотором направлении θ , ϕ , но это направление каждый раз выбирается случайно, так что потом приходится проводить усреднение по телесному углу $\sin \theta d\theta d\phi/(4\pi)$.
- (д) Для каждого из вышеуказанных определений понятия «случайная ориентация» найдите среднюю вероятность попадания $\langle P \rangle$ частицы в прибор в любой заданной точке, показав, что эта вероятность одинакова для всех определений понятия «случайная ориентация».
- (е) Предположим, что частицы со спином $1/2$ вылетают из отверстия в стенке, а перед этим направление их спина определяется одним из указанных способов (I), (II), (III). Можете ли вы придумать какой-нибудь способ, при помощи которого, находясь по «эту» сторону стенки, можно определить, какой из трех методов в действительности использовался?

73.3. Три усовершенствованных прибора Штерна–Герлаха — S , T и U — для частиц со спином $1/2$ установлены друг за другом в последовательности, показанной на рис. 73-2, *a*.

- (а) Выразите N — число частиц со спином $1/2$, выходящих из прибора U , через N_0 — число частиц, выходящих из S , и через такие объекты, как $\langle +T | +U \rangle$, и т. д.

Теперь рассмотрим тот же самый составной прибор Штерна–Герлаха, но с ориентацией магнитного поля \mathbf{B} , показанной на рис. 73-2, *б*. В частности, вектор поля \mathbf{B} прибора T антипараллелен вектору \mathbf{B} прибора S , а в приборе U повернут под углом θ к оси z .

- (б) Найдите $\langle +T | -S \rangle$ и $\langle -T | -S \rangle$ в явном виде.
- (в) Найдите в явном виде $\langle +U | -S \rangle$, используя для упражнения только таблицу преобразований при вращениях относительно осей z и y .
- (г) Рассмотрите результат для случая (в) при
 - 1) $\theta = 0$,
 - 2) $\theta = \pi$.

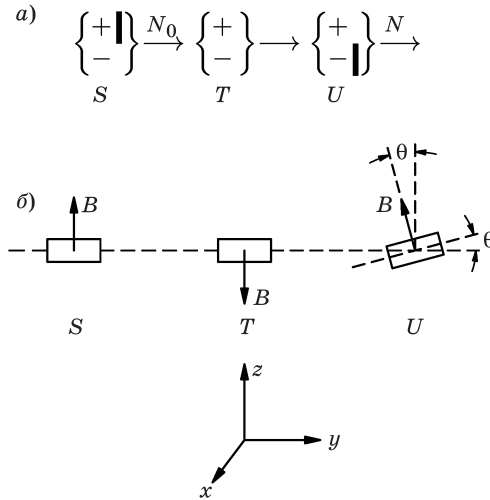


Рис. 73-2

(d) Объясните ваш ответ при $\theta = \pi$ в случае (z), сравнивая его с $\langle +T | -S \rangle$ для случая (б).

73.4. Кусок кальцита расщепляет луч света (идуший в направлении оси z) на два луча с поляризацией x и y . Одиночный фотон, входящий в кальцит S , характеризуется амплитудой вероятности попадания в один из лучей. Такой же образец кальцита (но перевернутый) можно использовать для соединения расщепленных лучей снова в один и т. д. — аналогично тому, как это делается с частицами в приборе Штерна–Герлаха.

Ось другого куска кальцита T может располагаться под углом θ в плоскости x, y , расщепляя луч в состояния x', y' , или xT, yT . Получите амплитуды $\langle xT | xS \rangle$, $\langle yT | yS \rangle$ и т. д., используя свои знания классической теории поляризации света, считая, что в каждом случае интенсивность в луче с достаточно большим числом фотонов будет хорошо описываться этими классическими результатами. Рассматривайте повороты только вокруг оси z , поскольку свет нельзя «остановить». (Повороты вокруг других осей можно описывать скорее по их действию на направление распространения света, а не на поляризацию; в этом смысле свет, хотя он и является системой с двумя состояниями, очень сильно отличается по своим свойствам распространения от пучка электронов, которые также являются системой с двумя состояниями.)

73.5. Найти все четыре элемента $\langle jA | i \rangle$, где i и j являются координатами x и y для следующих элементов прибора, через которые может пройти пучок света:

- светоделительная призма из кальцита (расщепитель из кальцита) и призма-восстановитель с блокировкой пучка y ;
- комплект из расщепителя из кальцита и восстанавливающей призмы, выставленной на угол θ , с блокировкой пучка y ;

- (в) поляририд, ориентированный на ось x для пропускания;
- (г) поляририд, выставленный на угол θ для пропускания в плоскости x, y ;
- (д) расщепитель из кальцита и призма-восстановитель со стеклянным блоком в пучке x , который задерживает фазу этого пучка на угол θ ;
- (е) x, y -расщепитель из кальцита и призма-восстановитель пучка с одинаковыми стеклянными блоками в трактах обоих пучков;
- (ж) расщепитель из кальцита и призма-восстановитель, установленная под углом 45° , со стеклянным блоком в тракте пучка x , задерживающим его фазу на 90° ;
- (з) четвертьволновая пластинка;
- (и) пластинка из двулучепреломляющего материала на оси пучка x (дайте общую формулу через толщину пластинки из этого материала);
- (к) раствор сахара, который вращает плоскость поляризации вправо на угол θ ;
- (л) устройство, которое расщепляет свет на пучки x, y , превращает x -луч (путем пропускания через раствор сахара и вращением его поляризации на 90°) в y -луч и снова совмещает оба луча в один.

Покажите, что вы можете сделать вечный двигатель с помощью устройства, описанного в пункте (л).

73.6. Согласно теории бета-распада, в одном из частных случаев этого ядерного превращения (в том, который происходит без изменения момента импульса и четности ядра и называется «разрешенным ферми-переходом») электрон, движущийся вдоль оси z со скоростью v , испускается с амплитудой $\sqrt{1 - v/c} \sin(\theta/2)$ и со спином, направленным вверх по оси z , или с амплитудой $\sqrt{1 + v/c} \cos(\theta/2)$ и со спином, направленным «вниз» по оси z . (Здесь θ — угол, отсчитываемый от оси z , под которым испускается антинейтрино, как показано на рис. 73-3. Кстати, антинейтрино всегда имеют спин, направленный в направлении их движения.)

- (а) Какова вероятность того, что спин электрона ориентирован вверх по оси z ? а вниз?
- (б) Какова вероятность того, что спин электрона направлен вдоль оси $+x$ (если нейтрино находится в плоскости x, z)? а вдоль оси $-x$?
- (в) Какова вероятность для направлений $\pm y$?
- (г) Если антинейтрино, как обычно, не наблюдается (в среднем по всем направлениям их испускания), то каков будет ответ на вопрос (а)?

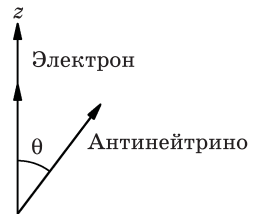


Рис. 73-3

* Строго говоря, это относится к системе координат, движущейся вместе с электроном. Просто используйте правильные формулы для амплитуд.

73.7. В задаче 73.6 выполнение преобразований Лоренца для скорости v вдоль оси z с тем, чтобы рассматривать электрон в состоянии покоя, не изменяет численных значений амплитуд для частиц со спином вверх и вниз вдоль этой оси. (Можете ли вы назвать причины, почему это может быть так?) Тем не менее наблюдаемое направление движения антинейтрино, конечно, в этом случае изменится. Покажите, что амплитуды в задаче 73.6 означают, что спин электрона оказывается ориентирован противоположно направлению (а следовательно, и спину) антинейтрино в той системе координат, в которой электрон покоится. (Это происходит потому, что угловой момент ядра сохраняется.)

Глава 74

Зависимость амплитуд от времени

См. «Лекции», т. III, гл. 7 (гл. 5 в русском переводе)

- 74.1.** Частица со спином 1 в магнитном поле \mathbf{B} , направленном вдоль оси z , имеет три состояния (обозначаемые как $+$, 0 , $-$) с энергиями $+\mu B$, 0 и $-\mu B$, соответственно.
- (a) Покажите методами квантовой механики, что в неоднородном магнитном поле пучок таких частиц может разделиться на три пучка; найдите законы, описывающие отклонение $\Delta\theta$, в предположении, что оно является малым. (Выразите ответ через длину области L , в которой действует поле, начальный импульс частиц p_0 и т. д.)
 - (б) Покажите методами квантовой механики, что такая частица будет «прецессировать» (используйте формулы из разд. 7-5 тома III «Лекций»).
 - (в) Предложите не менее двух независимых способов экспериментального определения величины μ .

Глава 75

Гамильтонова матрица

См. «Лекции», т. III, гл. 8 (гл. 6 в русском переводе)

Замечания по определению базисных состояний. Наше первоначальное определение состояний «+» и «-» было дано с точки зрения отклонения частицы по отношению к направлению векторов \mathbf{B} и $\nabla \cdot U$ (оба вектора были ориентированы в направлении оси $+z$) в приборе Штерна–Герлаха. Поскольку в плоскости симметрии $\mathbf{F} = -\nabla \cdot U = \mu_z (\partial B / \partial z) \mathbf{e}_z$, мы видим, что прибор Штерна–Герлаха измерял компоненту магнитного момента $\boldsymbol{\mu}$, а не момент импульса (или спин) \mathbf{J} . Но момент \mathbf{J} является во многом более фундаментальной величиной, чем $\boldsymbol{\mu}$, поэтому мы предпочитаем определять наши базисные состояния в соответствии со значением \mathbf{J} . Следовательно, мы должны пересмотреть базисные состояния в тех системах, где $\boldsymbol{\mu}$ и \mathbf{J} антипараллельны (например, для электрона и атомных систем). Но мы не должны изменять наши матрицы вращения, потому что они были получены из свойств трехмерного пространства, а у нас была возможность выбора относительных фаз некоторых элементов.

Далее по тексту используются условные обозначения базисных состояний по величине их проекций J_z на ось z . Например, в таблицах, приведенных в гл. 12 из т. III «Лекций», базисные состояния обозначаются знаком числа $m = J_z / \hbar$. В разд. 7-5 считается, что отрицательный мюон находится в состоянии $|+\rangle$ по отношению к оси x , когда его спин направлен в положительном направлении оси x , хотя его магнитный момент ориентирован в отрицательном направлении оси x .

При таком соглашении направление вектора $\boldsymbol{\mu}$ относительно \mathbf{J} не создает каких-либо дополнительных проблем, если координаты поворачиваются. Тем не менее это необходимо учитывать, когда речь пойдет о силе и энергии.

Для частицы в однородном магнитном поле, например, базовые состояния в системе координат, в которой ось z параллельна вектору \mathbf{B} , также являются стационарными состояниями (их энергия будет постоянна). Временная зависимость амплитуд дается величиной $e^{-iEt/\hbar}$, где $E = U = -\boldsymbol{\mu} \cdot \mathbf{B} = \mu_z B$. Ясно, что для состояния с заданным значением J_z знак экспоненты будет зависеть от того, параллельны векторы $\boldsymbol{\mu}$ и \mathbf{J} либо антипараллельны.

Пример: для электрона имеем $\boldsymbol{\mu} = -(g_e/m) \mathbf{J}$ ($g_e = 2$), в то время как для позитрона $\boldsymbol{\mu} = +(g_e/m) \mathbf{J}$. Возможные значения J_z составляют $\pm \hbar/2$, так что зависимость амплитуд от времени является такой, как показано в табл. 75-1, где (t, B_e) показывает, что наш «прибор» включает ожидание интервала времени t в магнитном поле $\mathbf{B} = B_e \mathbf{e}_z$.

Обратите внимание на то, что, как это было отмечено в «Лекциях», знаки в показателях степени в уравнении (7.36) из т. III должны быть заменены на обратные, так как отрицательный мюон, подобно электрону, имеет антипараллельные векторы $\boldsymbol{\mu}$ и \boldsymbol{J} .

В следующих задачах мы будем рассматривать частицы со спином $1/2$ и $|\mu_z| = \mu$, но при этом относительные направления $\boldsymbol{\mu}$ и \boldsymbol{J} не будут определены. Чтобы ваши ответы совпали с теми, которые даются в Приложении, вы должны допустить в своих решениях (как мы допускали в наших), что $\boldsymbol{\mu}$ и \boldsymbol{J} параллельны. (Если в некоторых конкретных ситуациях они должны быть антипараллельны, то вы также сможете найти правильный ответ, подставив $-\mu$ вместо μ .)

Таблица 75-1

(t, Be_z)	$ +\rangle$	$ -\rangle$
$\langle + $	$e^{i\gamma t}$	0
$\langle - $	0	$e^{-i\gamma t}$

$$\gamma = \begin{cases} +g_e B/(2m) & \text{для позитрона} \\ -g_e B/(2m) & \text{для электрона} \end{cases}$$

75.1. Пучок частиц со спином $1/2$ и магнитным моментом μ направляют в фильтр Штерна–Герлаха, пропускающий лишь частицы в состоянии $|+\rangle$ (со спином вверх) по отношению к оси z . Затем частицы проводят время T в однородном магнитном поле \boldsymbol{B}_0 , параллельном оси x . Покинув это однородное поле, они попадают во второй фильтр Штерна–Герлаха, который пропускает лишь частицы в состоянии $|-\rangle$ (со спином вниз) по отношению к оси z .

- (а) Каково минимальное значение величины B_0 , при котором все частицы пройдут через второй фильтр?
- (б) Если частицы находятся в магнитном поле только половину времени, чему равна вероятность P того, что они пройдут через второй фильтр?

75.2. Пучок частиц со спином $1/2$ и магнитным моментом μ проходит через прибор Штерна–Герлаха, пропускающий только частицы в состоянии $|+\rangle$ (со спином, направленным вверх) по отношению к оси z . Затем пучок попадает в магнитное поле, направленное под углом 45° к оси z в плоскости x, z . Каковы вероятности $P_{\rightarrow x}(t)$ и $P_{\rightarrow y}(t)$ того, что по истечении времени t эти частицы будут обнаружены в состояниях с $J_x = \hbar/2$ и $J_y = \hbar/2$, соответственно?

75.3. В момент времени $t = 0$ спин частицы направлен вдоль оси $+z$ (величина спина $1/2$). Частица помещена внутрь прибора, который задает постоянную амплитуду переворота спина частицы из « \leftarrow » z -состояния в « \rightarrow » z -состояние в единицу времени, в i раз превосходящую положительную константу (A/\hbar) , т. е. $H_{12} = H_{21} = -A$. Кроме того, $H_{11} = H_{22}$; их можно положить равными нулю.

- (a) Чему равна вероятность $P_{+z}(t)$ обнаружения частицы в момент времени $t > 0$ в состоянии $+z$?
- (б) Найдите две линейные комбинации амплитуд состояний $+z$ и $-z$, которые соответствовали бы стационарным состояниям. Каковы энергии этих стационарных состояний?
- (в) В любой момент времени t существует некая ось, вдоль которой спин направлен вверх с вероятностью 1. Какова ориентация этой оси?
- (г) Можете ли вы придумать физический прибор для реализации данного эффекта?

Глава 76

Аммиачный мазер

См. «Лекции», т. III, гл. 9 (гл. 7 в русском переводе)

76.1. В главе 9 из т. III «Лекций» была рассчитана вероятность перевода молекулы аммиака из состояния $|II\rangle$ в состояние $|I\rangle$ путем облучения ее микроволновым радиоизлучением (с очень короткой длиной волны); при этом состояние $|II\rangle$ обладает меньшей энергией, чем состояние $|I\rangle$, поэтому такой переход соответствует поглощению энергии излучения.

- (a) Попробуйте дальше проработать эти идеи для того, чтобы вычислить вероятность перехода $P(I \rightarrow II)$ в единицу времени для вынужденного излучения молекулой аммиака.
- (б) Что показывает сравнение вероятности поглощения $P(II \rightarrow I)$ с вероятностью вынужденного излучения $P(I \rightarrow II)$?
- (в) Как эта вероятность связана с коэффициентами Эйнштейна A и B , которые были определены в гл. 42 из т. I «Лекций»?
- (г) Найдите коэффициент $A_{I, II}$ для спонтанного излучения молекулы аммиака.

Глава 77

Другие системы с двумя состояниями

См. «Лекции», т. III, гл. 10 (гл. 8 в русском переводе)

77.1. На находящиеся в воде протоны (с магнитным моментом μ) действует однородное магнитное поле. Амплитуда поля B постоянна, но оно меняет свое направление в течение эксперимента по ядерному магнитному резонансу (ЯМР):

$$\begin{aligned} B_x &= B \sin \theta \cos(\omega t), \\ B_y &= -B \sin \theta \sin(\omega t), \\ B_z &= B \cos \theta. \end{aligned}$$

Известно, что в начальный момент времени ($t = 0$) спин протонов $+1/2$ и направлен вдоль магнитного поля. Предположим, что θ — угол, отсчитываемый от оси z в сферических координатах, очень мал.

(а) Какую величину должна иметь частота ω для того, чтобы возник резонанс?

(б) Какова вероятность $P_{-z}(t)$ того, что данная частица в момент времени t будет иметь спин, ориентированный в отрицательном направлении оси z , при той частоте ω , когда возникает резонанс?

77.2. Частица со спином $1/2$ (с магнитным моментом μ) помещена в сильное магнитное поле \mathbf{B}_0 . В направлении, перпендикулярном \mathbf{B}_0 , приложено осциллирующее магнитное поле $2\mathbf{B}_n \cos(\omega t)$, причем поле \mathbf{B}_n намного слабее, чем \mathbf{B}_0 . Если спины данной частицы были первоначально ориентированы антипараллельно вектору \mathbf{B}_0 , то какова вероятность $P_{||}(t)$ того, что в момент времени t спин частицы будет направлен параллельно вектору \mathbf{B}_0 ?

Глава 78

Еще системы с двумя состояниями

См. «Лекции», т. III, гл. 11 (гл. 9 в русском переводе)

78.1. (а) Покажите, что со спиновыми матрицами Паули можно обращаться, как с компонентами вектора σ , для которого справедливы следующие соотношения:

$$\sigma \times \sigma = 2i\sigma,$$

$$\sigma \cdot \sigma = 3 \begin{pmatrix} 1 & 0 \\ 0 & 1 \end{pmatrix}$$

(б) Найдите σ_x , σ_y и σ_z .

78.2. Молекула двуокиси углерода имеет линейную структуру (ОСО) и с легкостью захватывает лишний электрон, становясь в результате отрицательным ионом. Предположим, что этот электрон будет иметь энергию E_O , если присоединится к атому кислорода, или энергию E_C — если к атому углерода. Стационарному состоянию, однако, не требуется ни одна из этих энергий, поскольку всегда существует небольшая вероятность перехода лишнего электрона с кислорода на углерод и обратно. (Мы будем считать пренебрежимо малой вероятность того, что электрон «перепрыгнет» непосредственно с одного атома кислорода на другой.)

(а) Получите выражения для уровней энергии иона CO_2^- , выразив их через E_O , E_C и еще один параметр.

(б) Дайте физическое описание каждого стационарного состояния в случае, когда значения энергий E_O и E_C равны друг другу.

78.3. В молекуле метана CH_4 атомы водорода располагаются в вершинах тетраэдра, а единственный атом углерода — в центре тетраэдра. В ионе метана не хватает электрона на одной из этих четырех связей, а вместо него остается «дырка», которая может «перескакивать» с одного атома водорода на другой. Это пример системы с четырьмя состояниями.

Исходя из соображений симметрии, сведите к минимуму число различных матричных элементов гамильтониана и предскажите число различных энергетических уровней, которые могли бы наблюдаться у электронной оболочки иона метана. Колебательным и вращательным взаимодействиями атомов пренебрегите. Выразите расстояние между уровнями по возможности через минимально возможное число матричных элементов.

78.4. Рассмотрим шесть атомов, расположенных по окружности на равных расстояниях друг от друга, как показано на рис. 78-1. Добавим один лишний электрон и обозначим базисные состояния символами $|1\rangle, |2\rangle, \dots, |6\rangle$, где $|1\rangle$ обозначает, что этот добавочный электрон находится в атоме 1, $|2\rangle$ — что этот добавочный электрон находится в атоме 2, и т. д. Далее предположим, что этот электрон имеет определенную амплитуду вероятности в единицу времени (а именно $-iA/\hbar$) перескока со «своего» атома на любой из двух соседних, но не дальше (амплитуда вероятности такого события равна нулю).

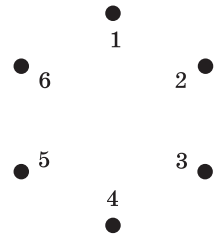


Рис. 78-1

(а) Покажите, что $|I\rangle$ — это стационарное состояние, если все амплитуды $C_k = \langle k|I\rangle$ (где $|k\rangle$ есть k -е базисное состояние) равны

$$\left(1/\sqrt{6}\right) \exp\left(-\frac{i}{\hbar} E_I t\right).$$

(б) Найдите E_I в пункте (а).

(в) Сколько еще существует стационарных состояний у такой системы?

Можно показать, что если ψ — стационарное состояние, то амплитуды $C_k = \langle k|\psi\rangle$ связаны между собой следующим образом (при надлежащем выборе постоянной δ):

$$C_2 = C_1 e^{i\delta}; \quad C_3 = C_2 e^{i\delta}; \quad C_4 = C_3 e^{i\delta}; \quad C_5 = C_4 e^{i\delta}; \quad C_6 = C_5 e^{i\delta}.$$

(г) Чему равны эти допустимые значения δ ?

(д) Постройте диаграмму уровней энергии рассматриваемой системы и найдите расстояния между уровнями.

78.5. Молекула состоит из трех одинаковых атомов, расположенных в вершинах равностороннего треугольника. В отрицательный ион такой молекулы добавили электрон, способный перескакивать с каждого из трех атомов на любой другой.

(а) Пусть матричный элемент такого перехода равен $-A$. Рассчитайте расстояние между уровнями энергии молекулярного иона.

(б) Ион помещен в электрическое поле, направление которого совпадает с плоскостью иона; по отношению к его вершинам поле направлено так, как показано на рис. 78-2. Если напряженность электрического поля такова, что потенциальная энергия электрона, расположенного в вершине этого треугольника, на $\varepsilon A = 0,01A$ больше, чем его потенциальная энергия в вершинах двух других углов, то насколько и каким образом изменились расстояния между энергетическими уровнями?

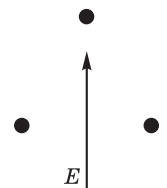


Рис. 78-2

Глава 79

Сверхтонкое расщепление уровней в водороде

См. «Лекции», т. III, гл. 12 (гл. 10 в русском переводе)

79.1. Рассчитайте величину расщепления уровня атома водорода с $j = 1$, помещенного

- (а) в межзвездном пространстве, где магнитное поле порядка 10^{-5} Гс;
- (б) на поверхность Земли, где магнитное поле около $1/2$ Гс;
- (в) в самое сильное магнитное поле, полученное в лабораторных условиях, т. е. в поле порядка $100\,000$ Гс.

Ответ выразите через частоту и через длину волны.

Глава 80

Распространение волн в кристаллической решетке

См. «Лекции», т. III, гл. 13 (гл. 11 в русском переводе)

80.1. Рассмотрим бесконечную цепочку атомов, расположенных через равные промежутки b (координата n -го атома равна $x_n = bn$. — Прим. перев.). Допустим, что электрон может находиться в каждом из атомов в двух состояниях — i и j — с различными энергиями E_i и E_j . Предположим, что набор базисных состояний можно записать следующим образом:

$$|\text{электрон в атоме } x_n \text{ в конфигурации } i \rangle = |x_n, i \rangle$$

$$|\text{электрон в атоме } x_n \text{ в конфигурации } j \rangle = |x_n, j \rangle.$$

Вслед за этим предположим, что электрон может перескакивать со своего атома на ближайший соседний с амплитудами:

$$-\frac{A_{ii}}{i\hbar} \text{ для перехода с } |x_n, i \rangle \text{ на } |x_{n+1}, i \rangle \text{ либо на } |x_{n-1}, i \rangle,$$

$$-\frac{A_{jj}}{i\hbar} \text{ для перехода с } |x_n, j \rangle \text{ на } |x_{n+1}, j \rangle \text{ либо на } |x_{n-1}, j \rangle,$$

$$-\frac{A_{ji}}{i\hbar} \text{ для перехода с } |x_n, i \rangle \text{ на } |x_{n+1}, j \rangle \text{ либо на } |x_{n-1}, j \rangle,$$

$$-\frac{A_{ij}}{i\hbar} \text{ для перехода с } |x_n, j \rangle \text{ на } |x_{n+1}, i \rangle \text{ либо на } |x_{n-1}, i \rangle.$$

Рассмотрим случай, когда $A_{ij} = A_{ji} = -A$; $A_{jj} = A_{ii} = -B$.

(а) С помощью процедуры, описанной в гл. 13 из т. III «Лекций», найдите допустимые значения энергии такой системы.

(б) Опишите зонную структуру в предельных случаях $|E_i - E_j| \ll 2B$; $|E_i - E_j| \gg 2B$. Сравните свой ответ с решением, найденным в гл. 13.

80.2. Рассмотрим бесконечную цепочку атомов, состоящую из двух типов атомов — a и b , как показано на рис. 80-1. Пусть амплитуда обнаружения электрона в n -м атоме типа a будет C_n^a , а в n -м атоме типа b — C_n^b . Предположим, что энергия электрона в атоме a равна $E_0 + \Delta E$, в то время как в атоме b энергия равна $E_0 - \Delta E$; допустим еще, что матричный элемент гамильтониана для перехода между ближайшими соседями равен $-A$. Расстояние между атомами равно b .

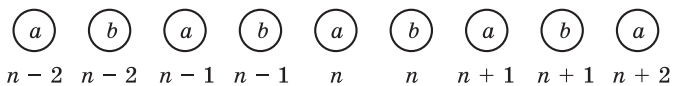


Рис. 80-1

- (а) Рассчитайте и приближенно постройте график зависимости энергии стационарного состояния от волнового числа электрона k . (Для каждого заданного значения k получится два значения энергии.)
- (б) Какие ограничения следует наложить на значения k , чтобы учесть каждое состояние только один раз?

80.3. Рассмотрим рассеяние на примеси (см. пример, приведенный в разд. 13-6 из т. III «Лекций»). Пусть атом под номером $n = 0$ отличается от всех остальных.

Пусть $H_{00} = E_0$, $H_{01} = H_{10} = H_{(-1)0} = -B$, где $B \neq A$.

(а) Найдите амплитуду пропускания γ и амплитуду отражения (рассеяния) β .

(б) Убедитесь в том, что $|\beta|^2 + |\gamma|^2 = 1$.

80.4. Для задачи 80.3 и для примера, приведенного в разд. 13-6 т. III «Лекций», справедливо равенство $\gamma = 1 + \beta$. Легко проверить, что равенство $\gamma = 1 + \beta$ также верно в общем случае, который объединяет оба предыдущих. «Закон сохранения числа частиц» в общем случае одномерного рассеяния дает

$$|\beta|^2 + |1 + \beta|^2 = 1.$$

(а) Покажите, что для выполнения этого закона необходимо, чтобы $\text{Re} [\beta / (1 + \beta)] = 0$.

(б) Покажите, что амплитуда рассеяния β может быть записана следующим образом: $\beta = ie^{i\eta} \sin \eta$, где η — вещественное число. Величина η называется «сдвигом фазы при рассеянии» и содержит информацию как о фазе, так и об амплитуде рассеянной волны. (Это утверждение в трехмерном случае справедливо так же, как и в одномерном.)

80.5. Рассмотрим одномерный аналог поверхности раздела, где свойства бесконечного кристалла изменяются, как показано на рис. 80-2. Пусть частицы падают слева (как в разд. 13-6 из т. III «Лекций»). Пусть в области I мы имеем следующие значения параметров: E_0 , $-A$, b ; в области II: E'_0 , $-A'$, b' . Аналоги амплитуд A и A' для атомов $n = 0$ и $n = +1$, расположенных по разные стороны границы раздела, обозначим буквой B . (Предположим, что A , A' и B — вещественные числа).

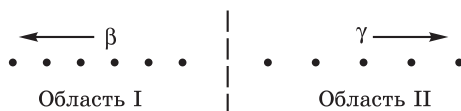


Рис. 80-2

- (а) Покажите, что $\gamma = (B/A')(1+\beta)$ на границе раздела между атомами $n = 0$ и $n = +1$.
- (б) Выразите β через $A, A', B, kb, k'b'$.
- (в) Покажите, что если $k'b'$ является мнимым числом, то $|\beta| = 1$. В чем физический смысл этого результата? При каких значениях $E_0 - E'_0$ получается полное отражение?
- (г) Проверьте закон сохранения числа частиц, показав, что $|\beta|^2 + \frac{v'_g/b'}{v_g/b} |\gamma|^2 = 1$, где v_g и v'_g — групповые скорости в двух разных областях. Можете ли вы объяснить появление множителя при $|\gamma|^2$?

Глава 81

Полупроводники

См. «Лекции» т. III, гл. 14 (гл. 12 в русском переводе)

81.1. На рисунке 81-1 приведена обычная схема проведения экспериментов по циклотронному резонансу, где $B = B_0$ — статическое магнитное поле, направленное по оси z , а $E_{rf} = E_0 \cos(\omega t)$ — переменное электрическое поле, направленное по оси x . Частота циклотронного резонанса ω_c определяется по изменению поглощенной мощности поля E_{rf} . Если исходить из элементарных соображений, то решение задачи о движении частицы в однородном магнитном поле дает $\omega_c = \frac{qB}{m^*}$, где m^* — эффективная масса. Для всех без исключения направлений движения частицы предположим, что эффективная масса не зависит от этого направления. Запишем уравнение движения электрона (или дырки) в полупроводнике:

$$m^* \left(\frac{dv}{dt} + \frac{1}{\tau} v \right) = q(\mathbf{E} + v \times \mathbf{B}),$$

где τ — среднее время между столкновениями (см. разд. 32-1 и 32-6 из т. II «Лекций»).

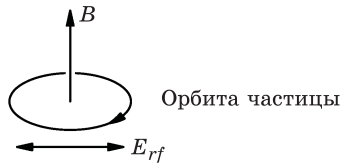


Рис. 81-1

(а) Пусть $v_x = v_0 e^{i\omega t}$, а $E_x = E_0 e^{i\omega t}$. Покажите, что

$$\frac{v_x}{E_x} = \frac{q\tau}{m^*} \left[\frac{1 + i\omega\tau}{1 + (\omega_c^2 - \omega^2)\tau^2 + 2i\omega\tau} \right].$$

(б) Объясните, почему поглощаемая мощность пропорциональна $\text{Re}[v_x/E_x]$ (см. п. (а))?

(в) Опишите, как получить сразу обе величины — τ и m^* — из данных по циклотронному резонансу?

(г) Обратите внимание на то, что для наблюдения резонанса необходимо, чтобы выполнялось условие $\omega_c \tau > 1$. Что это означает физически?

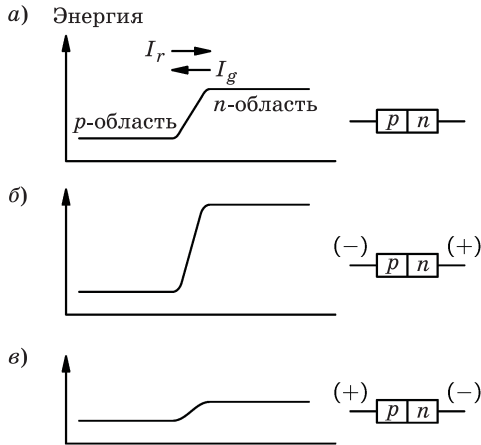


Рис. 81-2

81.2. На рисунке 81-2, *a* представлена типичная энергетическая диаграмма для дырок в *p-n*-переходе (например, в полупроводниковом диоде) в отсутствие внешнего напряжения. В равновесном состоянии в этом случае имеется обусловленный «тепловой генерацией» ток дырок I_g , которые дрейфуют из *n*-области в *p*-область. Этот ток тепловой генерации дырок в точности равен току «рекомбинации дырок» I_r , который течет из *p*-области в *n*-область полупроводника. Если к *p-n*-переходу приложить «обратное напряжение смещения», то энергетическая диаграмма будет такой, как показано на рис. 81-2, *б*, а если приложить «прямое напряжение смещения», то диаграмма примет вид как на рис. 81-2, *в*.

(*a*) Рассматривая эти токи сначала в равновесном состоянии, а затем при приложении напряжения смещения, покажите, что выражение для результирующего дырочного тока имеет вид

$$I(\text{дырок}) = I_g (e^{qV_e / kT} - 1),$$

где V_e — напряжение смещения, приложенное к *p-n*-переходу.

(*б*) А какое выражение получится для полного тока?

Глава 82

Приближение независимых частиц

См. «Лекции», т. III, гл. 15 (гл. 13 в русском переводе)

82.1. Структура молекулы бутадиена может быть представлена в виде, показанном на рис. 82-1.

Если мы мысленно удалим четыре электрона из двойных связей, а затем будем по одному их добавлять, то сможем рассматривать эту задачу с помощью модели независимых частиц.

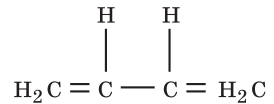


Рис. 82-1

В частности, эту систему можно рассматривать как совокупность четырех потенциальных ям с энергиями E_0 и матричными элементами гамильтониана $-A$.

- (а) Чему равна длина волны излучения λ , испускаемого молекулами бутадиена при переходе с первого возбужденного уровня на основной? Считайте, что $A = 1$ эВ.
- (б) В однократно ионизованной молекуле бутадиена в двух двойных связях имеются только три электрона. Что вы можете сказать о распределении этих электронов в молекуле?

82.2. Используя теорию молекулярных орбиталей (в приближении независимых частиц), оцените энергию, необходимую для разрыва бензольного кольца, и рассчитайте разность энергий ΔE двух конфигураций, показанных на рис. 82-2. Ответ выразите в электронвольтах на молекулу, используя тот факт, что при переходе из первого возбужденного состояния в основное молекулы бензола испускают излучение длиной волны 200 нм.

82.3. К ферромагнитному материалу при очень низких температурах применимы рассуждения о спиновых волнах, которые приведены в гл. 15 из т. III «Лекций». В частности, для любого состояния K с энергией $E_K \approx Ab^2K^2$ существует определенная функция распределения вероятности (которую можно найти из термодинамических соображений) обнаружения либо ни одного, либо одного, двух, трех и т. д. атомов в состояниях «спином вниз» в ферромагнетике, если при нулевой температуре все атомы в нем находились в состоянии «спином вверх».

- (а) Покажите, что для моды K среднее число атомов со спинами, направленными вниз, пропорционально функции
$$\frac{1}{e^{E_K/(kT)} - 1}$$

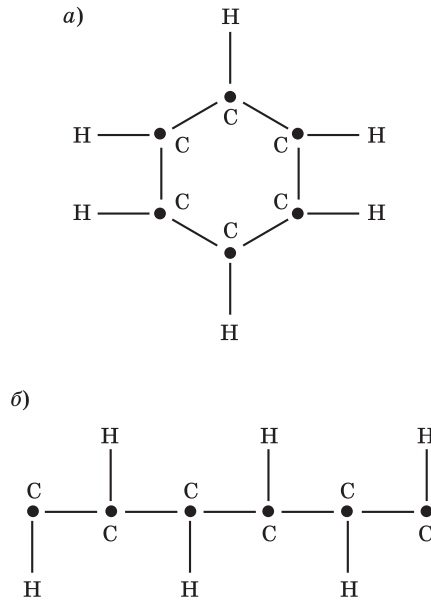


Рис. 82-2

- (б) Если распространить эти рассуждения на трехмерный случай, то $E_K \approx Ab^2(K_x^2 + K_y^2 + K_z^2)$ и полное число атомов «спином вниз» в единице объема определяется выражением

$$\frac{\text{Число частиц со спинами вниз}}{\text{Объем}} = \int \frac{d^3K / (2\pi)^3}{e^{E_K/(kT)} - 1}.$$

Докажите это.

- (в) В пределе (при $T = 0$) намагниченность выходит на насыщение и принимает значение $M_{\text{нас}}$. Покажите, что при низких температурах отношение намагниченности к намагниченности насыщения может быть записано в виде

$$\frac{M}{M_{\text{нас}}} = 1 - \text{const} \cdot T^{3/2} = 1 - \left(\frac{kT}{4\pi A} \right)^{3/2} \left[\frac{4}{\sqrt{\pi}} \int_0^{\infty} \frac{x^2 dx}{e^{x^2} - 1} \right].$$

- (г) Вычислите интеграл в пункте (в), разложив подынтегральное выражение в ряд.

Глава 83

Зависимость амплитуд от положения

См. «Лекции», т. III, гл. 16 (гл. 14 в русском переводе)

83.1. Рассмотрим одномерное движение частицы массой m в прямоугольной потенциальной яме, как показано на рис. 83-1.

$$V = \begin{cases} V_0, & x < 0, x > a \\ 0, & 0 < x < a \end{cases}$$

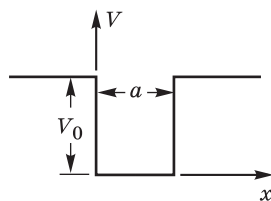


Рис. 83-1

Примечание. Для простоты предположим, что $V_0 \rightarrow \infty$.

(а) В стационарном состоянии с наименьшей энергией E_0

$$\psi_0(x, t) = u_0(x)e^{-iE_0t/\hbar}$$

Мы должны считать, что $u_0(x) = 0$ во всех точках вне потенциальной ямы (т. е. уже при $x = -\varepsilon$ или $x = a + \varepsilon$). Почему?

- (б) Решите уравнение Шредингера внутри ямы, используя граничное условие, приведенное в пункте (а).
- (в) Найдите E_0 и постройте график функции $u_0(x)$ (не требует нормировки).
- (г) Найдите разность энергий между самым нижним состоянием и первым возбужденным состоянием.
- (д) Для самого нижнего состояния постройте примерную функцию распределения вероятности нахождения частицы с моментом p в интервале dp . Не требуется точного вычисления интеграла. Не беспокойтесь относительно нормировки; обязательно укажите масштаб вдоль оси импульсов.

83.2. Рассмотрим одномерное движение частицы массой m в прямоугольной потенциальной яме (рис. 83-2, а), определяемой как

$$V = \begin{cases} \infty, & x < 0; \\ 0, & 0 < x < a; \\ V_0, & x > a. \end{cases}$$

(а) Найдите такое значение V_0 , чтобы энергия частицы в основном состоянии для этой ямы была на 10 % меньше, чем энергия основного состояния для потенциальной ямы с $V_0 \rightarrow \infty$.

(б) Пусть V_0 равно значению, полученному в пункте (а) для потенциальной ямы (рис. 83-2, б), которая определяется формулами:

$$V = \begin{cases} V_0, & x < -a; \\ 0, & -a < x < a; \\ V_0, & x > a. \end{cases}$$

Не проводя подробного расчета, найдите энергию первого возбужденного состояния для этой ямы.

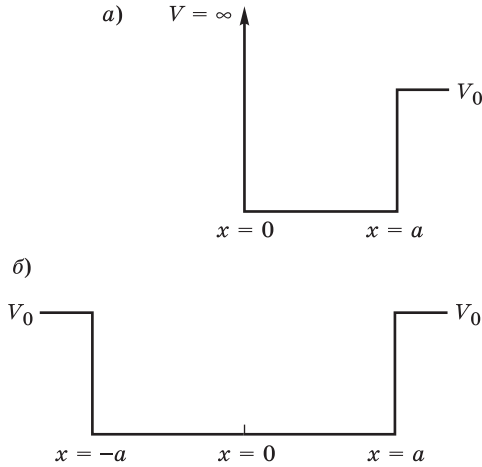


Рис. 83-2

83.3. Рассмотрим одномерную задачу для частицы массой m в условиях прямоугольного потенциального барьера, определяемого формулами:

$$V = \begin{cases} V_0, & |x| > a \\ 0, & |x| < a. \end{cases}$$

(а) Ниже приведены два равенства:

$$\alpha \operatorname{ctg}(\alpha a) = -\beta \quad \text{или} \quad \alpha \operatorname{tg}(\alpha a) = +\beta,$$

$$\text{где } \alpha = +\left(2mE/\hbar^2\right)^{1/2}, \quad \beta = +\left[2m(V_0 - E)/\hbar^2\right]^{1/2}.$$

Покажите, что волновые функции, являющиеся решениями уравнения Шредингера для данной задачи, требуют удовлетворения приведенным выше граничным условиям.

(б) Для $V_0 a^2 = 4\hbar^2/(2m)$ оцените величину энергии основного и первого возбужденного состояний. Изобразите на графике волновые функции этих состояний.

(в) Сколько существует связанных состояний, если $V_0 a^2 < \pi^2 \hbar^2/(8m)$?

83.4. В гл. 16 из т. III «Лекций» был найден разброс по импульсам для случая, когда волновая функция имеет гауссову форму. В общем случае, однако,

пространственная протяженность волнового пакета не остается постоянной во времени, а будет увеличиваться:

$$\psi(x) = Ke^{-[\alpha(t)x^2 + c(t)]}$$

- (а) Используя уравнение Шредингера, покажите, что для свободной частицы справедливо соотношение

$$\frac{1}{a(t)} = \frac{1}{a_0} + \frac{2i\hbar}{m}t,$$

где $a_0 = a(0)$.

- (б) Найти вид функции $c(t)$.
- (в) Если волновая функция описывает электрон, первоначально находившийся внутри области шириной 0,1 нм, то какова будет ширина этой «области локализации» через 1 с?
- (г) Преобразуйте волновую функцию $\psi(x)$ в импульсное представление $\psi(p)$, т. е. найдите вероятность обнаружения частицы с заданным значением импульса p .
- (д) Как изменяется со временем ширина распределения вероятностей для импульсов Δp ?
- (е) Покажите, что найденный таким образом «разброс по импульсам» согласуется с «разбросом по скоростям», который можно непосредственно получить из временной зависимости пространственной волновой функции.

Глава 84

Момент импульса

См. «Лекции», т. III, гл. 18 (гл. 16 в русском переводе)

84.1. Некое возбужденное состояние атома имеет спин 1 и может потерять свою энергию в результате эмиссии фотона и перехода в состояние со спином, равным 0. Рассмотрим возбужденный атом, у которого проекция момента импульса на ось z равна 0. Пусть $A(\theta)$ есть амплитуда, с которой фотон испускается с правой круговой поляризацией в малый интервал телесных углов $\Delta\Omega$ в направлении угла θ к оси z . Как $A(\theta)$ зависит от θ ?

84.2. Частица X положительной четности со спином $1/2$ распадается по следующей схеме: $X \rightarrow Y + \gamma$, где частица Y имеет положительную четность и спин $1/2$. Если спин частицы X направлен вдоль оси $+z$, то она может распасться таким образом, чтобы продукты распада двигались вдоль оси z в восьми состояниях — с амплитудами от a до h , как показано на рис. 84-1. (Волнистые и штриховые линии со стрелками указывают направление движения фотонов и частиц Y , а стрелка в кружке с символом Y показывает ориентацию спина частицы.)

Предположите, что угол между поляризацией частиц X и моментом частиц Y равен θ . (Здесь rhc , lhc — правая и левая круговые поляризации фотонов. — Прим. ред.)

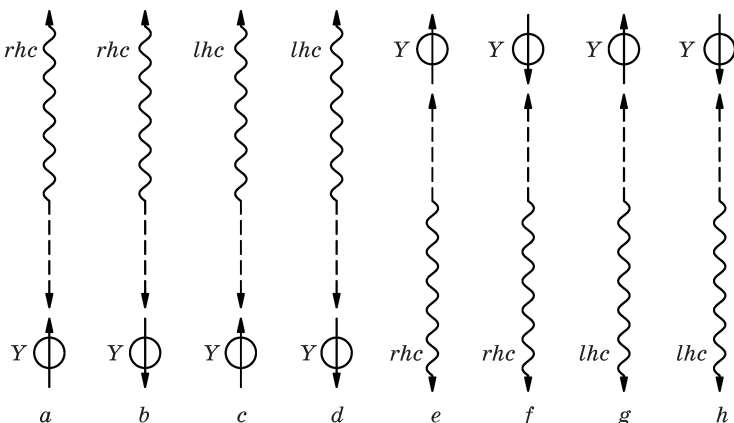


Рис. 84.1

- (а) Какие амплитуды конечных состояний $a - h$ обязательно равны 0?
- (б) Вычислите угловое распределение $f^+(\theta)$ частиц Y , поляризованных таким образом, что их спины ориентированы в направлении их дви-

жения («положительная спиральность») для случая, когда группа частиц X , поляризованных в положительном направлении оси z , распадается?

- (в) Рассчитайте угловое распределение всех частиц Y независимо от их поляризации $f(\theta)$ для случая, когда группа частиц X , поляризованных в положительном направлении оси z , распадается?
- (г) Тщательные эксперименты не обнаружили в этом распаде каких-либо отклонений от изотропного углового распределения. Какова может быть физическая причина этого явления?

84.3. На синхротроне Калтеха часто исследуют реакцию $\gamma + p \rightarrow p^* \rightarrow p + \pi^0$.

В этой реакции значком p^* обозначено возбужденное состояние протона, которое распадается на протон и π^0 -мезон. Известно, что в определенном интервале энергий фотона состояние p^* имеет полный момент $j = 3/2$. Предположим, что пучок фотонов с правой круговой поляризацией и энергией, соответствующей состоянию p^* , с полным моментом $j = 3/2$ распространяется в положительном направлении оси z и падает на мишень, состоящую из неполяризованных протонов.

Угловое распределение этой реакции можно проанализировать следующим образом. Фотон плюс протон имеют амплитуду вероятности a образовать p^* в состоянии $|j = 3/2, m = +1/2\rangle$ и амплитуду вероятности b образовать p^* в состоянии $|3/2, +3/2\rangle$. Протон p^* в возбужденном состоянии распадается на нейтральный π^0 -мезон с нулевым спином и протон, движущиеся в противоположных направлениях.

Пусть c есть амплитуда вылета протона вдоль оси $+z$ со спином, направленным вверх, а d — амплитуда вылета протона вдоль оси $-z$ со спином, направленным вверх.

- (а) Объясните, почему для состояния p^* разрешенными являются только значения $m = +3/2$ и $m = +1/2$, а для конечного состояния — только значения $m' = +1/2$ и $m' = -1/2$ (m' определяется по отношению к направлению излучения).
- (б) Какой вид будет иметь угловое распределение π^0 -мезонов, выраженное через a, b, c и θ . (Положите $c = d$ и укажите причину, почему это должно быть так.)

84.4. Рассмотрим упругое рассеяние π^+ -мезонов на неполяризованной протонной мишени. (Мезоны имеют спин 0; четность сохраняется.) Предполагается, что в рассеянии доминирует процесс, при котором протон переходит в возбужденное состояние со спином $j = 3/2$, поглощая мезон. (Момент $j = 3/2$ получается путем комбинации спина протона и мезон-протонного орбитального момента.) Затем мезон испускается повторно, а протон переходит в основное состояние. Покажите, что такая гипотеза предсказывает, что угловое распределение рассеянных мезонов будет пропорционально величине $(1 + 3\cos^2\theta)$.

84.5. Некоторое основное состояние атома имеет нулевой спин и положительную четность. Первое возбужденное состояние имеет спин, равный 1, и неизвестную четность. Считайте, что атомы подаются в первом возбужденном состоянии, все со спинами $m = +1$, ориентированными в направлении оси z ; рассмотрите фотоны, испускаемые при переходах атомов в основное состояние.

- (а) Можно ли определить четность первого возбужденного состояния, если измерять угловое распределение испускаемых фотонов, не обращая внимания на их поляризацию?
- (б) Покажите, что эту неизвестную четность можно определить путем измерения углового распределения фотонов, поляризованных вдоль направлений x' и y' . (Ось z' выбирать вдоль направления излучения фотонов в плоскости x, z .)

Глава 85

Атом водорода и периодическая таблица

См. «Лекции», т. III, гл. 19 (гл. 17 в русском переводе)

- 85.1. Водород, переведенный в состояние $3d$, может распадаться и переходить в основное состояние путем излучения. Опишите эмиссионный спектр этого излучения. (Сколько линий в этом спектре? Каковы их длины волн и относительные интенсивности?)
- 85.2. (а) Используйте классические рассуждения, чтобы показать, что расстояние r между ядром и электроном в атоме водорода в основном состоянии не может превышать величину $R = 2r_B$, где $r_B = \hbar^2/(me^2)$ — боровский радиус.
- (б) Используйте принципы квантовой механики, чтобы найти вероятность $P(r > R)$ того, что электрон в атоме водорода в основном состоянии может находиться дальше от ядра, чем на расстоянии $R = 2r_B$.
- 85.3. Процесс взаимодействия медленных мюонов с веществом был описан как состоящий из трех этапов. Во-первых, из-за электростатического притяжения мюон переходит на боровскую орбиту вокруг ядра (такое расположение называется «мюонный атом»). Во-вторых, мюонная орбита распадается с испусканием фотонов, пока мюонный атом не окажется в основном состоянии. В-третьих, мюон распадается посредством слабого взаимодействия с ядром. Рассмотрите мюонный атом радия G (^{206}Pb , $Z = 82$).
- (а) Найдите энергию основного состояния E_0 .
- (б) Найдите длину волны $\lambda_{1 \rightarrow 0}$ фотонов, испускаемых при переходе из первого возбужденного состояния в основное состояние.
- (в) Найдите характерный радиус r'_B орбиты мюона в основном состоянии.
- (г) Найдите приближенное выражение для вероятности $P(r < R)$ того, что мюон в мюонном атоме в основном состоянии может быть найден в пределах некоторого расстояния R от ядра.
- (д) Сравните вероятности нахождения электрона и мюона «внутри» ядра.

Примечание 1. Характерное расстояние для электрона есть $r_B \gg R$, где R соответствует радиусу ядра. В этом случае можно сделать предположе-

ние, что в ядре волновая функция электрона $\psi(r)$ незначительно отличается от ее величины в центре ядра $\psi(0)$.

Примечание 2. В качестве массы мюона возьмите величину $m_\mu = 207m_e$.

- 85.4.** Студент пропускает свет от водородной лампы накаливания через дифракционную решетку, в результате чего получает несколько дискретных спектральных линий.
- (а) Одна из измеренных линий имеет длину волны 4430 \AA , с шириной 150 \AA . Это соответствует энергии и неопределенности определения энергии $E = (2,80 \pm 0,09) \text{ эВ}$.
Какой переход между энергетическими уровнями водорода H может создавать эту линию? Какая энергия требуется для возбуждения атома водорода и перехода из основного состояния на уровень, которому соответствует этот переход?
- (б) Линия в части (а) данной задачи относится к серии Бальмера. Это серия спектральных линий, полученных путем переходов из более высоких энергетических состояний в состояние атома водорода с $n = 2$. Каковы наименьшее и наибольшее значение излучаемой длины волны в серии Бальмера?
- (в) Во многих астрофизических применениях (таких как исследование линий спектрального поглощения атмосферы звезд) спектральные линии H обнаруживаются вместе со спектральными линиями других элементов. Один такой набор спектральных линий принадлежит однократно ионизованным атомам гелия. Чему равна энергия основного состояния однократно ионизованного атома гелия?
- (г) Чему равна наименьшая длина волны для спектральной линии, которая может быть получена в результате перехода однократно ионизованного атома гелия в состояние с $n = 4$? Как ее можно сравнить с самой короткой длиной волны для спектральной серии Бальмера?

Приложения

- Приложение А. Единицы измерений и их размерности
- Приложение Б. Физические постоянные и величины (средние)
- Приложение В. Ответы к задачам

Приложение А

Единицы измерений и их размерности

Единица измерений и ее размерность	Символ	Величина	Замечание
МАССА [М] килограмм грамм фунт	кг г фунт	1 кг 10^{-3} кг 0,4536 кг	Единица СИ Единица СГС
ДЛИНА [L] метр сантиметр миллиметр микрон (микрометр) ангстрем километр дюйм фут миля астрономическая единица световой год парсек	м см мм мкм Å км дюйм фут миля а. е. св.г пк	1 м 10^{-2} м 10^{-3} м 10^{-6} м 10^{-10} м 10^3 м 2,54 см 0,3048 м 1,6093 км $1,497 \cdot 10^8$ км $9,5 \cdot 10^{12}$ км 206265 а. е.	Единица СИ Единица СГС Точное значение Точное значение Расстояние от Земли до Солнца 3,263 св. г или $31 \cdot 10^{12}$ км
ВРЕМЯ [Т] секунда миллисекунда микросекунда наносекунда минута час сутки (солнечные) год	с мс мкс нс мин ч сут. г	1 с 10^{-3} с 10^{-6} с 10^{-9} с 60 с 3600 с $8,64 \cdot 10^4$ с $3,16 \cdot 10^7$ с	Единица системы СИ и СГС 1 мин = 60 с 1 ч = 60 мин 1 сут = 86 400 с 1 г = 365,25 сут.
СКОРОСТЬ [LT⁻¹] м/с миль/ч	м/с миль/ч	1 м/с (22/15) фут/с	Единица СИ
УСКОРЕНИЕ [LT⁻²] м/с ²	м/с ²	1 м/с ²	Единица СИ
СИЛА [MLT⁻²] ньютон дина	Н дин	1 кг·м/с ² 10^{-5} Н	Единица СИ Единица СГС

МОМЕНТ/ИМПУЛЬС [MLT ⁻¹] кг·м/с	кг·м/с	1 Н·с	Единица СИ
ЭНЕРГИЯ/РАБОТА [ML ² T ⁻²] джоуль эрг электронвольт	Дж эрг эВ	1 кг·м ² /с ² 10 ⁻⁷ Дж 1,602·10 ⁻¹⁹ Дж	Единица СИ Единица СГС
МОЩНОСТЬ [ML ² T ⁻³] ватт	Вт	1 Дж/с, или 1 В·А	Единица СИ
ЗАРЯД [Q] кулон заряд электрона	Кл q_e	1 А·с 1,602·10 ⁻¹⁹ Кл	Единица СИ
ТОК [QT ⁻¹] ампер миллиампер микроампер	А мА мкА	1 А 10 ⁻³ А 10 ⁻⁶ А	Единица СИ
ПОТЕНЦИАЛ [ML ² T ⁻² Q ⁻¹] вольт	В	1 Дж/Кл	Единица СИ
ЭЛЕКТРИЧЕСКОЕ ПОЛЕ [MLT ⁻² Q ⁻¹] вольт на метр	В/м	1 Н/Кл	Единица СИ
МАГНИТНОЕ ПОЛЕ [MT ⁻¹ Q ⁻¹] тесла вебер на кв. метр гаусс гамма	Тл Вб/м ² Гс γ	1 Н·с/(м·Кл) 1 Тл 10 ⁻⁴ Тл 10 ⁻⁹ Тл	Единица СИ
СОПРОТИВЛЕНИЕ [ML ² T ⁻¹ Q ⁻²] ом	Ом	1 В/А	Единица СИ
ИНДУКТИВНОСТЬ [ML ² Q ⁻²] генри	Гн	1 В·с/А	Единица СИ
ЕМКОСТЬ [M ⁻¹ L ⁻² T ² Q ²] фарада микрофарада пикофарада	Ф мкФ пФ	1 Кл/В 10 ⁻⁶ Ф 10 ⁻¹² Ф	Единица СИ

Приложение Б

Физические постоянные и величины (средние)

См., напр., : C. W. Allen, *Astrophysical Quantities*, The Athlone Press, 1963.
E. R. Cohen, *Il Nuovo Cimento Series 10*, **6**, 110 (1957).
Physics Today **17**, 48 (1964).

1. Астрофизические и геофизические величины

Солнце

масса (m_{\odot})	$1,99 \cdot 10^{30}$ кг = $3,33 \cdot 10^5 m_{\oplus}$
экваториальный радиус	$6,96 \cdot 10^8$ м
средняя плотность	1,41 г/см ³

Земля

масса (m_{\oplus})	$5,98 \cdot 10^{24}$ кг
экваториальный радиус	$6,38 \cdot 10^6$ м
средняя плотность	5,52 г/см ³
угловая скорость	$7,29 \cdot 10^{-5}$ рад/с
средняя орбитальная скорость	29,77 км/с
площадь суши	$1,48 \cdot 10^{14}$ м ² , или ≈ 29 % общей поверхности
площадь Мирового океана	$3,63 \cdot 10^{14}$ м ² , или ≈ 71 % общей поверхности
средняя глубина океана	3770 м

Луна

масса ($m_{\text{л}}$)	$7,34 \cdot 10^{22}$ кг = $(1/81,31)m_{\oplus}$
экваториальный радиус	$1,74 \cdot 10^6$ м
средняя плотность	3,34 г/см ³

Расстояние от Земли до Солнца

среднее	$1,50 \cdot 10^{11}$ м = 1 а. е.
r_p (перигей)	$1,47 \cdot 10^{11}$ м
r_A (апогей)	$1,52 \cdot 10^{11}$ м

Расстояние от Земли до Луны

среднее $3,84 \cdot 10^8$ м

r_p (перигей) $3,63 \cdot 10^8$ м

r_A (апогей) $4,06 \cdot 10^8$ м

Скорость света $c = 2,9979 \cdot 10^8$ м/с

Универсальная гравитационная постоянная $G = 6,670 \cdot 10^{-11}$ Н·м²/кг²

Удельная мощность солнечного излучения на расстоянии 1 а. е. (солнечная константа) 1347 Вт/м²

Ускорение свободного падения $g = 9,81$ м/с² (на поверхности Земли; изменяется в зависимости от широты и высоты)

2. Атомные и ядерные постоянные

Постоянная Планка $h = 6,626 \cdot 10^{-34}$ Дж·с = $4,135 \cdot 10^{-15}$ эВ·с

$$\frac{h}{2\pi} = \hbar = 1,0544 \cdot 10^{-34} \text{ Дж} \cdot \text{с} = 6,58 \cdot 10^{-16} \text{ эВ} \cdot \text{с}$$

Радиус Бора $\frac{4\pi\epsilon_0\hbar^2}{m_e q_e^2} = \frac{\hbar^2}{m_e e^2} = a_0 = 5,29 \cdot 10^{-9}$ см = $0,529$ Å

Классический радиус электрона $\frac{e^2}{m_e c^2} = \alpha^2 a_0 = r_0 = 2,82 \cdot 10^{-15}$ м = $2,82$ Ферми

Постоянная тонкой структуры $\frac{e^2}{\hbar c} = \alpha = \frac{1}{137}$

$-E_0$ для водорода $\frac{e^2}{2a_0} = 13,6$ эВ

«Радиус» ядра (A – массовое число, т. е. число протонов, плюс число нейтронов) $\approx 1,3 \cdot 10^{-13}$ см·A^{1/3} $\approx 1,3 \cdot 10^{-5}$ Å·A^{1/3}

Радиус «атома» ≈ 1 Å

Радиус «молекулы» $\approx 1,5$ Å

Масса покоя электрона $m_e = 9,11 \cdot 10^{-31}$ кг
 $m_e c^2 = 0,51$ МэВ

Масса покоя протона	$m_p = 1,67252 \cdot 10^{-27}$ кг $m_p c^2 = 938,26$ МэВ
Масса покоя нейтрона	$m_n = 1,67482 \cdot 10^{-27}$ кг $m_n c^2 = 939,55$ МэВ
Атомная единица массы (а.е.м. = 1/12 массы C_{12})	1 а.е.м. = $1,66 \cdot 10^{-27}$ кг 1 а.е.м. $\cdot c^2 = 931$ МэВ
Комптоновская длина волны для электрона	$\frac{h}{m_e c} = 2\pi\alpha a_0 = \lambda_{C_e} = 2,43 \cdot 10^{-12}$ м
Сечение рассеяния для свободных электронов	$\frac{8\pi}{3} r_0^2 = 6,65 \cdot 10^{-29}$ м ²

3. Макроскопические постоянные

ϵ_0	$8,854 \cdot 10^{-12}$ Ф/м
$1/(4\pi\epsilon_0)$	$9,00 \cdot 10^9$ м/Ф
μ_0	$4\pi \cdot 10^{-7}$ Гн/м
$\mu_0 \epsilon_0 c^2$	1
$1/(\epsilon_0 c)$	377 Ом
Удельное сопротивление меди	$\sim 10^{-8}$ Ом·см
Показатели преломления:	
$n_{\text{воды}}$	1,33
$n_{\text{стекла}}$	$\approx 1,5$
$n_{\text{воздуха}}$	1,0003
Скорость звука (в воздухе при стандартных температуре и дав- лении)	331 м/с
Плотность воздуха (при стандарт- ных условиях: STD 0°C, 1 атм)	$1,293$ кг/м ³ $\approx 10^{-3}$ г/см ³
Стандартная атмосфера (давление)	1 атм = $1,013 \cdot 10^5$ Н/м ² = 760 мм рт. ст. \approx $\approx 14,7$ фунт/дюйм ²
Плотность воды (при 20 °C)	10^3 кг/м ³
Число Авогадро	$N_0 = 6,025 \cdot 10^{23}$ молекул/моль
Постоянная Больцмана	$k = 1,38 \cdot 10^{-23}$ Дж/К = $8,62 \cdot 10^{-5}$ эВ/К
Газовая постоянная	$R = 8,31$ Дж/(моль·К)
Молярный объем при стандартных условиях	$22,41 \cdot 10^3$ см ³ /моль
Постоянная Стефана–Больцмана	$\frac{\pi^2}{60} \cdot \frac{k^4}{h^3 c^2} = \sigma = 5,67 \cdot 10^{-8}$ Вт/(м ² К ⁴)

$$kT = 1 \text{ эВ для } T = 11 \text{ 600 К}$$

$$kT \approx 1/40 \text{ эВ при комнатной температуре}$$

$$1 \text{ эВ/атом} = 9,652 \cdot 10^5 \text{ Дж/моль} = 23,1 \text{ ккал/моль}$$

$$1 \text{ л.с.} = 746 \text{ Вт}$$

4. Числовые значения

$$1^\circ = 1,745 \cdot 10^{-2} \text{ рад}$$

$$1' = 2,9089 \cdot 10^{-4} \text{ рад}$$

$$1'' = 4,8481 \cdot 10^{-6} \text{ рад}$$

$$e = 2,71828\dots$$

$$\pi = 3,14159\dots$$

$$\log_{10} e = 0,434$$

$$\ln 2 = 0,693$$

Приложение В

Ответы к задачам

Глава 1

- 1.9. (а) $n_G \approx 10^{19} \text{ см}^{-3}$, $n_L \approx 10^{22} \text{ см}^{-3}$.
(б) $m \approx 10^{-23} \text{ г}$.
(в) $l \approx 10^{-5} \text{ см}$.
(г) $P \approx 10^{-7} \text{ атм}$.
- 1.10. $A \approx 1,4 \cdot 10^{-14} \text{ см}^2$.
- 1.11. $N_A \approx 6,02 \cdot 10^{23} \text{ моль}^{-1}$.
- 1.12. (а) $N_H \approx 2,7 \cdot 10^{19} \text{ см}^{-3}$.
(б) $N_A \approx 6,1 \cdot 10^{23} \text{ моль}^{-1}$.
- 1.13. $N_A \approx 10^{24} \text{ моль}^{-1}$.
- 1.14. $N_g \approx 0,7 \cdot 10^{19} \text{ см}^{-3}$.

Глава 2

- 2.5. $W = (3/\sqrt{2}) \text{ кГс}$.
- 2.6. $F_W = (\text{tg}\alpha) \text{ кГс}$, $F_P = (1/\cos \alpha) \text{ кГс}$.
- 2.7. $W_2 = 0,25 \text{ кГс}$.
- 2.8. $A = \frac{1}{2}(1 + \sqrt{3}) \text{ кГс}$, $B = \sqrt{3/2} \text{ кГс}$.
- 2.9. $T_1 = T_2 = (5/\sqrt{2}) \text{ кГс}$.
- 2.10. (а) Груз W будет двигаться вниз.
(б) $F = W(y/x)$ (растяжение).
- 2.11. $F = W\sqrt{h(2R - h)}/(R - h)$.
- 2.12. (а) $F_B = 0$ (за исключением силы тяжести).
(б) $\tau_O = FD$.
(в) $\tau_P = FD$.
- 2.13. Сила $F = 20,7 \text{ Н}$ приложена под углом 45° на $0,34 \text{ м}$ левее точки O .
- 2.14. $v = \sqrt{2gD \frac{W_1 - W_2}{W_1 + W_2} \sin \theta}$.
- 2.15. $v = \sqrt{gD(\sin \phi - \sin \theta)}$.

- 2.16. (а) $a = \frac{1}{2}(1 - 1/\sqrt{2})g$.
 (б) Груз M_2 будет двигаться вниз.
 (в) $t_1 = \sqrt{H/a}$.
 (г) Груз M_1 не ударится о блок.
- 2.17. $T = \frac{L}{x} \left(W + \frac{w}{2} \right) \operatorname{tg} \theta$.
- 2.18. (а) $F_R = 21$ кГс.
 (б) $F_h = 21$ кГс, $F_v = 42$ кГс.
- 2.19. $\theta = 30^\circ$.
- 2.20. $\alpha = 30^\circ$.
- 2.21. $F = 0,6 W$.
- 2.22. $T = 2$ Т-с (тонна-силы).
- 2.23. $T = 265$ Гс (грамм-силы), $\alpha = 79,1^\circ$.
- 2.24. $T = \sqrt{3} W / 4$.
- 2.25. $\theta = 30^\circ$.
- 2.26. $T = Wh / (2\pi r)$.
- 2.27. $W = 4w / \sin \theta$.
- 2.28. $F_1 = W/3, F_2 = 2W/3, F_{DF} = 4W / (3\sqrt{3})$.
- 2.29. (а) AC, CE, EG, BC, EF и ED можно заменить тросами.
 (б) $F_{BD} = W/2, F_{DE} = 5W/12$.
- 2.30. $W = 3w/4$.
- 2.31. $v = 196$ см/с.
- 2.32. $v = \sqrt{2gH}$.
- 2.33. $\theta = \operatorname{arctg} \left[1 / (3\sqrt{3}) \right] \approx 10,9^\circ$.
- 2.34. $W = wr / (R - r)$.
- 2.35. $A = 5$ м, $B = 11$ м, $T_{\max} \approx 34 \cdot 10^3$ кГс.
- 2.36. (а) $F = WL/h$.
 (б) $F_A = W \sqrt{1 + (L/h)^2}$ под углом $\operatorname{arctg} (h/L)$.

Глава 3

- 3.2. $T \approx 1,6$ ч.
- 3.3. $v_{\max} / v_{\min} = 1,033$.
- 3.4. $g_c = 1,6$ м/с² $\approx 1/6 g_\delta$.
- 3.5. (а) $r_a \approx 35,2$ а. е.
 (б) $v_{\max} / v_{\min} = 59$.
- 3.6. $r \approx 5,9 r_\delta$.

- 3.8. (а) $\lambda = 0$.
 (б) $r_S = r_{\delta c} / 9$.
- 3.9. (а) $m_{\text{ж}} / m_{\delta} = 3,33 \cdot 10^5$.
 (б) $m_{10} / m_{\delta} = 318$.
- 3.10. $m_a + m_b = (R^3 / T^2) m_{\text{ж}}$.
- 3.11. Второй закон Кеплера остался бы неизменным. Третий закон Кеплера должен был бы принять вид $T^2 \propto R^{(3+a)}$, где T — орбитальный период спутника.
 Примечание. $T^2 = (4\pi^2 / GM) R^{(3+a)}$.
- 3.12. $\Delta g / g = 7 \cdot 10^{-6}$.
- 3.13. $M = (1,02 \cdot 10^{-7} \text{ сут.}^{-1} \text{ км}^{-3} \text{ с}^3) T v^3 m_{\text{ж}}$.
- 3.14. (а) $R_c = 1,88 \cdot 10^6 \text{ км}$.
 (б) $a = r_p^2 / (2r_p - R_c) = 8,33 \cdot 10^6 \text{ км}$.
 (в) $T_c = 2\pi a^{3/2} R_c / (v r_p) \approx 4,8 \text{ сут}$.
- 3.15.
$$T^2 = \frac{4\pi^2 (R + r)^3}{G(M + m)}$$
.
- 3.17. (а) $M \approx 3,1 m_{\text{ж}}$.

Глава 4

- 4.5. (а) $t = 1843,8 \text{ с}$.
 (б) $v \approx 1385 \text{ фут/с} = 422,15 \text{ м/с}$.
- 4.6. $t \approx 155 \text{ с}$.
- 4.7. Движение вниз занимает большее время.
- 4.8. (а) $v \approx 465 \text{ м/с}$.
 (б) $\omega \approx 7,3 \cdot 10^{-5} \text{ с}^{-1}$.
 (в) $a/g \approx 3,5 \cdot 10^{-2}$.
- 4.9. (б) $H_{\text{макс}} \approx 74 \text{ км}$.
 (в) $T = 2,7 \cdot 10^2 \text{ с}$.
- 4.10. $e \approx 0,98$.
- 4.11. (а) $H_{\text{макс}} = (v_0^2 / 2g) \sin^2 \theta$, $R = (v_0^2 / g) \sin 2\theta$.
 (б) $\theta = \pi/4$.
- 4.12.
$$V = \frac{L}{\cos \theta} \sqrt{\frac{g}{2(L \operatorname{tg} \theta - h)}}$$
.
- 4.13. (а) $v \approx 14,63 \text{ м/с}$.
 (б) $R \approx 2,59 \text{ м}$.

4.14.

$$(a) x = Vt - R \sin \frac{Vt}{R}, \quad y = R \left(1 - \cos \frac{Vt}{R} \right).$$

$$(б) v_x = V \left(1 - \cos \frac{Vt}{R} \right), \quad v_y = V \sin \frac{Vt}{R}.$$

$$(в) a_x = \frac{V^2}{R} \sin \frac{Vt}{R}, \quad a_y = \frac{V^2}{R} \cos \frac{Vt}{R}.$$

4.15. $v = 14,8$ м/с.4.16. (a) $\theta = \arctg 3$.(б) $x = 14$ м.(в) $V = 19,8$ м/с.4.17. $d \approx 61,57$ м (202 фут).4.18. (a) $v = 84,49$ км/ч = 52,5 миль/ч.(б) $a = 0,84$ м/с = 2,75 фут/с.4.19. $a_{\text{реак}}/a_{\text{рак}} = 8/9$.**Глава 5**5.1. (б) $a = 2g/5$.(в) $T_1 = (2/5)$ кГс, $T_2 = (6/5)$ кГс.5.2. $T = 8,8$ мН.5.3. $T = 25$ Н.

5.4.

$$F = \frac{M_2}{M_1} (M + M_1 + M_2)g.$$

5.5. $F = 392$ Н.5.6. $a = g/9$ вверх, $T = 222$ Гс.5.7. (a) $M_{\text{макс}} = \frac{(M_A + M_B)D - 2M_B L \cos \theta}{4L \cos \theta - D}$.

$$(б) t = \sqrt{\frac{8L \sin \theta}{g}}.$$

5.8. $g = \frac{v^2(2M + m)}{2mh}$.

5.9.

$$(a) a_0 = \frac{F - (M_1 + M_2)g}{M_1 + M_2}.$$

$$(б) T = \frac{M_1}{M_1 + M_2} F.$$

(в) $a = g - F/M_2$, $a' = g$.(г) $t = \sqrt{2M_2 s/F}$.5.10. $\Delta t = 0,9$ с.

- 5.11. $W = 2,7$ кГс.
 5.12. (а) $a = g/3$ вверх.
 (б) $F \approx 127$ кГс.
 5.13. $m_B \approx 5,8$ кг.
 5.14. $x_{\text{макс}} = 1$.
 5.17. $h_{\text{макс}} \approx 1,5 \cdot 10^3 \text{ м} = 5 \cdot 10^3$ фут,
 $R \approx 4,9 \cdot 10^3 \text{ м} = 1,6 \cdot 10^4$ фут.

Глава 6

- 6.5. $m_2/m_1 = 3$.
 6.6. $E' = 0,71E$.
 6.7. (а) $v_E = 8,4 \cdot 10^{-22}$ м/с.
 (б) $T_E/T_p = 1,7 \cdot 10^{-24}$.
 6.8. $V_F = 3,66$ м/с.
 6.9. Платформа движется на север со скоростью $v = 5 \cdot 10^{-4}$ м/с.

6.10. $a(t) = \frac{(m_1 - m_0)g + r_0(v_0 + gt)}{m_1 + m_0 - r_0t}$ и направлено вниз,

для $0 < t < \frac{m_0}{r_0}$.

- 6.11. $a = 4,0$ м/с².
 6.12. $F = \mu v(v + gt)$.
 6.13. $V = x \left(\frac{m + M}{m} \right) \sqrt{\frac{g}{L}}$.

6.14. (б) $t_0 = 2L \sqrt{\frac{Mm}{2T(M + m)}}$.

- 6.15. $\Delta v \approx v/4$.
 6.16. (а) $a = r_0 V_0 / M_0$.
 (б) $r_0 = 490$ кг/с.
 (в) $v = -V_0 \int_{M_0}^M \frac{dm}{m}$.

- 6.17. (а) $F_R = 5,1 \cdot 10^{-3}$ Н.
 (б) $F_R \propto v^2$.

Глава 7

7.5. $r(t) = r_0 + v_0 t + 0,5gt^2$.

- 7.6. (a) $5\mathbf{i} + \mathbf{j}$.
 (б) $\mathbf{i} + 3\mathbf{j} - 2\mathbf{k}$.
 (в) 3.
 (г) 3.
 (д) 3.
 (е) $15\mathbf{i} - 18\mathbf{j} + 9\mathbf{k}$.
- 7.7. (в) $R(1) \approx 4,6$ м.
- 7.8. (a) Он должен направить свой самолет на $14,5^\circ$ западнее направления на север.
 (б) $T = 53,9$ мин.
- 7.9. (a) Ветер дует с северо-востока вдоль азимута $40,5^\circ$.
 (б) Велосипедисту кажется, что на обратном пути дует юго-восточный ветер под углом $35,6^\circ$.
- 7.10. Метод 2 быстрее на 4 мин.
- 7.11. (a) $t_V/t_A = V/\sqrt{V^2 - R^2}$.
 (б) $t_A/t_L = t_V/t_A$.
- 7.12. $D = r_\delta \arccos [\sin \lambda_1 \sin \lambda_2 + \cos \lambda_1 \cos \lambda_2 \cos (\phi_1 - \phi_2)]$.
- 7.13. (a) $a \approx 3,2 \cdot 10^{-3}$ м/с², по направлению к Солнцу.
 (б) $a \approx 7,2 \cdot 10^{-3}$ м/с², под углом $\approx 24^\circ$.
 (в) $a \approx 8,5 \times 10^{-3}$ м/с², по направлению к Солнцу.
- 7.14. (a) $a_1 = 2g$, прямо вперед.
 (б) $a = \sqrt{2}g$, под углом 45° .
 (в) $F_2 = 272$ кГс.
- 7.15. $T = 2\pi\sqrt{H/g}$.
- 7.16. Для $t \leq 3$, $\mathbf{r}_a(t) = (7 + 7t)\mathbf{i} + 3t\mathbf{j} + 4,9(1 - t^2)\mathbf{k}$,
 $\mathbf{r}_b(t) = (49 - 7t)\mathbf{i} + 3t\mathbf{j} + 4,9(1 - t^2)\mathbf{k}$.
 Для $t \geq 3$, $\mathbf{r}_a(t) = \mathbf{r}_b(t) = 28\mathbf{i} + 3t\mathbf{j} + 4,9(1 - t^2)\mathbf{k}$.
- 7.17. (a) Курс другого судна должен лежать на север.
 (б) $T = 0,17$ ч.

Глава 8

- 8.3. $\theta_{\text{макс}} = \arcsin (m/M)$.
- 8.4. $\theta_1 = \arctg 3$, $v'_1 = v \sqrt{10}/4$, $v'_2 = v \sqrt{2}/4$.
- 8.5. $\alpha = 120^\circ$.
- 8.6. (a) $\mathbf{v}_{\text{цм}} = (4\mathbf{i} - 3\mathbf{j})$ м/с.
 (б) $u_1 = u_2 = 5$ м/с.
 (в) $\mathbf{v}'_1 = (4\mathbf{i} + 2\mathbf{j})$ м/с.
- 8.7. $\mathbf{v}'_1 = \sqrt{3} v_0/2$, под углом -30° ; $\mathbf{v}'_2 = v_0/2$, под углом $+60^\circ$.
- 8.8. (a) $v_2 = \sqrt{3} \cdot 10^6$ м/с.
 (б) $\mathbf{v}'_1 = \sqrt{73} \cdot 10^6$ м/с, под углом 113° .
 (в) $\mathbf{u}'_1 = 9 \cdot 10^6$ м/с, под углом 120° .

8.9. $v_1 = 50\sqrt{7}$ см/с, под углом $\text{arctg}(-\sqrt{3}/2) = -41^\circ$;
 $v_2 = 50$ см/с, под углом $+60^\circ$.

8.10. $\left| \frac{\Delta T}{E} \right|_{\text{лаб}} = \frac{(1-\alpha^2)m_2}{m_1+m_2}$.

8.11. (а) $\theta = \text{arctg} \sqrt{\frac{M-m}{M+m}}$.

(б) $\theta = \text{arctg} \sqrt{\frac{\alpha^2 M^2 - m^2}{(M+m)^2}}$.

8.12. $M = 9m_p$.

8.13. (а) $v' = \sqrt{5}$ м/с, $\text{arctg}(1/2)$ на северо-запад.

(б) $\alpha = 3/4$.

(в) $\theta = 90^\circ$.

8.14. (а) $v = (2j + 2k)$ м/с.

(б) $T_{\text{цм}} = 30$ Дж.

Глава 9

9.1. $F = -108e_x$ Н.

9.2. $a = g/8$, прямо вниз.

9.3. См. задачу 9.1.

9.4. $x = \mu h$.

9.5. $X = 32$ см.

9.7. $\mu_{\text{мин}} = \frac{1}{2} (\text{ctg } \theta - 1)$.

9.8. (а) $\Delta T = \mu T \Delta \theta$.

(б) $T_2/T_1 = e^{\mu\alpha}$.

9.9. $v_0 = 595$ м/с.

9.10. $v = 83,36$ км/ч (51,8 миль/ч).

9.11. $t = 2,2$ с.

9.12. (а) $d = 0,68$ м.

(б) $t = 1,1$ с.

(в) $\Delta E = 2,3$ Дж.

9.13. (а) $a = 75$ см/с.

(б) $F \approx 200$ Гс (грамм-силы).

9.14. Для $0 \leq x < x_0$ $v(x) = v_0$; для $x_0 \leq x < x_0 + L$ $v(x) = v_0 - \frac{k}{m}(x - x_0)$;

для $x \geq x_0 + L$ и любых $v_0 > kL/m$ $v(x) = v_0 - \frac{k}{m}L$.

- 9.15. $\varepsilon = (R/4)\Delta P$, $|\sigma/\varepsilon| = 1$.
- 9.16. Автобус движется с ускорением $(g/\sqrt{3})$ м/с².
- 9.17. (б) $R = mv/(qB)$.
(в) $T = 2\pi m/(qB)$.
- 9.18. (а) $W \approx 6$ Н.
(б) $T \approx 8$ Н.
(в) $\theta = 90^\circ$.
- 9.19. $F = mg(1 + \mu)/(1 - \mu)$.
- 9.20. (а) $H_{\text{мин}} = \sqrt{3} W \sin \alpha$.
(б) $\phi = 60^\circ$.
- 9.21. $R = 4,9 \cdot 10^{-5}$ см.
- 9.22. (а) $F_x = qv_y B_z$, $F_y = q(E_y - v_x) B_z$, $F_z = 0$.
(б) $F'_x = qv'_y B_z$, $F'_y = -qv'_x B_z$.
(в) Движение свободной частицы в скрещенных электрическом и магнитном полях происходит по циклоиде.

Глава 10

- 10.1. $x = x_0 - v_0 \sqrt{m/k}$.
- 10.3. Частица будет находиться в равновесии в любой точке внутри астероида.
- 10.4. $v \approx v_\infty = 3,9$ миль/с = 6,28 км/с.
- 10.5. $\phi = 1,4 \cdot 10^3$ В.
- 10.6. $Q = 5,6 \cdot 10^{-5}$ Кл.
- 10.7. $\phi = 310$ кВ.
- 10.8. (а) $v = 3,0$ м/с, $a = 2,5$ м/с², $P = 45$ Вт.
(б) $v = 4,5$ м/с, $a = 2,5$ м/с², $P = 67,5$ Вт.
- 10.9. (а) $F = (4,5\mathbf{i} + 12\mathbf{j} - 2,6\mathbf{k})$ Н.
(б) $\mathbf{a} = (4,5\mathbf{i} + 12\mathbf{j} - 2,6\mathbf{k})$ м/с².
(в) $T = 2,5$ Дж.
(г) $dT/dt = 21,4$ Вт.
- 10.10. (а) $\mathbf{r} = (2,00\mathbf{i} + 3,02\mathbf{j} + 0,1\mathbf{k})$ м.
(б) $\mathbf{v} = (0,045\mathbf{i} + 2,12\mathbf{j} + 0,97\mathbf{k})$ м/с.
(в) $T = 2,71$ Дж.
- 10.11. (а) $W = 0$.
(б) $W = 0$ и сила является консервативной.
- 10.12. $H = R/2$.
- 10.13. (а) $x = H \sin^2 \theta + R \cos^2 \theta - R \cos^3 \theta$.
(б) $F = mg(2H/R + 1)$.
- 10.14. $d = mg/k - R/5$.
- 10.15. $v = \sqrt{gL/2}$.
- 10.16. $d = R/3$.

10.17. $\theta = \arcsin 0,27.$

10.18. $a = 7,2 \text{ м/с}^2.$

10.19. $W_{\text{ядро}} \approx 625 \text{ Дж}, W_{\text{диск}} \approx 570 \text{ Дж}, W_{\text{копье}} \approx 330 \text{ Дж}.$

10.20.
$$\phi(r) = \begin{cases} -\frac{GM}{2R^3}(3R^2 - r^2) & r \leq R \\ -\frac{GM}{r} & r > R \end{cases};$$

$$\mathbf{g}(\mathbf{r}) = \begin{cases} -\frac{GM}{R^3}\mathbf{r} & r \leq R \\ -\frac{GM}{r^3}\mathbf{r} & r > R \end{cases}.$$

10.21.
$$a = -\frac{4\pi}{3} \rho G \left(\frac{R^3}{(R+x)^2} - \frac{(R/4)^3}{(5R/4+x)^2} \right).$$

10.22. (a) $F_x = F_z = 0,$

$$F_y = \begin{cases} m[-2\pi\rho dG + 4\pi r^3 \rho G/(3y^2)] & \text{для } y > d/2 \\ m[-4\pi\rho Gy + 4\pi r^3 \rho G/(3y^2)] & \text{для } d/2 > y > r. \\ m(-4\pi\rho Gy + 4\pi\rho Gy/3) & \text{для } r > y \geq 0 \end{cases}.$$

10.23. $E = -GmM/(2a).$

10.24. (a) $T^2 = 4\pi^2 a^3/(GM).$

(б) $T^2 = \pi^2 G^2 M^2 / [2(E/m)^3].$

10.26. $H_{\text{мин}} = 19,2 \text{ см}.$

10.27. $P = 25 \text{ кВт}.$

10.28. $P = 4,6 \cdot 10^4 \text{ атм}.$

10.29. $W_{\text{мин}} = G M m' \left(\frac{1}{R} - \frac{1}{D-r} \right) + G m m' \left(\frac{1}{D-R} - \frac{1}{r} \right).$

10.30. Спутник исчезнет, перейдя на параболическую орбиту.

10.31. (a) $v_{\text{мин}} = 11,8 \text{ миль/с} \approx 19 \text{ км/с}.$

(б) $v_{\text{макс}} = 47,1 \text{ миль/с} \approx 75,8 \text{ км/с}.$

10.32. $v_0 = 40,8 \text{ км/с}, \alpha = 40,9^\circ.$

Глава 11

11.1. (a) $MT^{-2}.$

(б) $ML^2T^{-2}.$

(в) $ML^2T^{-2}.$

(г) $MT^{-2}.$

(д) 1 (безразмерная величина).

$$(e) ML^{-1}T^{-1}.$$

$$(ю) LT^{-2}.$$

$$(з) MLT^{-2}Q^{-1}.$$

$$(и) MT^{-1}Q^{-1}.$$

$$(к) LT^{-1}.$$

$$11.2. (\varepsilon_0 c)^{-1} = 377 \text{ Ом} .$$

$$11.3. v' = \frac{\lambda}{\tau} v ;$$

$$a' = \frac{\lambda}{\tau^2} a ;$$

$$F' = \frac{\mu \lambda^2}{\tau^2} F ;$$

$$E' = \frac{\mu \lambda^2}{\tau^2} E .$$

$$11.4. T \propto \sqrt{l/g} .$$

$$11.5. GM_{\odot} = 4\pi^2 .$$

$$11.6. T \text{ не зависит от } k .$$

$$11.7. T \propto \sqrt{m/k} .$$

$$11.8. T \propto mv^2/l, a \propto v^2/l .$$

$$11.9. R \propto (v^2/g)f(\theta), T \propto (v/g)f'(\theta) \text{ для функций } f \text{ и } f', \text{ зависящих только от } \theta .$$

$$11.10. T \propto \sqrt{m/\sigma} .$$

$$11.11. \omega \propto (1/l)\sqrt{T/\sigma} .$$

$$11.12. v \propto \sqrt{g\lambda} .$$

$$11.13. p \propto f(N)mv^2/V \text{ для функции } f, \text{ которая зависит только от } N .$$

$$11.14. GM \text{ является постоянной величиной, а размерность } GM = Fr^2/m \text{ имеет вид } L^3T^{-2}; \text{ единственными переменными, имеющими размерности длины и времени являются радиальное расстояние } r \text{ и орбитальный период } t, \text{ следовательно } r^3/t^2 = \text{const} .$$

Глава 12

$$12.1. x = \gamma (x' + \beta ct') ;$$

$$y = y' ;$$

$$z = z' ;$$

$$t = \gamma (t' + \beta x'/c),$$

$$\text{где } \beta = V/c, \text{ а } \gamma = 1/\sqrt{1-\beta^2} .$$

$$12.2. \quad v_x = \frac{v'_x + V}{1 + \beta v'_x/c};$$

$$v_y = \frac{v'_y/\gamma}{1 + \beta v'_x/c}.$$

$$12.3. \quad v'_x = \frac{v_x - V}{1 - \beta v_x/c};$$

$$a'_x = \frac{a_x/\gamma^3}{(1 - \beta v_x/c)^3}.$$

12.4. $L' \approx 4,5$ м, $\theta' \approx 33,7^\circ$.

12.5. (а) $\Delta t = 16,8$ мкс, $\Delta t' = 2,37$ мкс.
(б) $L' = 0,71$ км.

12.7. $F = mc^2/b$.

12.8. (а) $M \approx 42$ кг.
(б) $H \approx 2$ см³/с.

12.9. $H \approx 6,3 \cdot 10^8$ т/с.

12.10. (а) $g = 1,03$ св. г/г².
(б) $x = 4,15$ св. г; $v = 0,982$ с.

Глава 13

13.2. (а) $pc = T\sqrt{1 + 2mc^2/T}$.
(б) $v/c = \sqrt{3}/2$.

13.3. $\Delta t = 5$ мин.

13.4. (а) $pc = 3 \cdot 10^{-2} \cdot BRZ$.
(б) $R = 6,8 \cdot 10^3$ км.

13.5. (а) $R_{\text{мин}} = 1,8$ м.
(б) $f = 15$ МГц.
(в) $\Delta f/f = 0,14$.

$$13.6. \quad T_1 = \frac{(M - m_1)^2 - m_2^2}{2M} c^2;$$

$$T_2 = \frac{(M - m_2)^2 - m_1^2}{2M} c^2.$$

13.7. $T_\mu = 4,1$ МэВ;
 $T_\nu = 29,7$ МэВ;
 $p_\mu = p_\nu = 29,7$ МэВ/с.

13.8. $E_\gamma = \Delta E[1 - \Delta E/(2mc^2)]$.

- 13.9. (а) $V = c/2$.
 (б) $M = (4/\sqrt{3})m$.
- 13.10. $T = 6m_p c^2 = 5,6 \text{ ГэВ}$.
- 13.11. $T_e = 4004 \text{ ГэВ}$.
- 13.12. $E = 4m_\pi c^2 = 3,8 \text{ ГэВ}$.
- 13.13. (а) $T_p \approx 2m_\pi c^2 = 279 \text{ МэВ}$.
 (б) $T_\pi \approx m_\pi^2 c^2 / (2m_p) = 10,4 \text{ МэВ}$.
- 13.14. Если $\beta = v/c$, то
 (а) $E_\gamma = \frac{m_\pi c^2 \sqrt{1-\beta^2}}{2(1-\beta \cos \theta)}$.
 (б) $E_{\text{макс}} = \frac{m_\pi c^2 (1+\beta)}{2\sqrt{1-\beta^2}}$, если $\theta = 0$;
 $E_{\text{мин}} = \frac{m_\pi c^2 (1-\beta)}{2\sqrt{1-\beta^2}}$, если $\theta = \pi$.
 (в) $\frac{\sqrt{1-\beta^2}}{2} (E_{\text{макс}} + E_{\text{мин}}) = \frac{m_\pi c^2}{2} (= E_\gamma, \text{ когда } v = 0)$.

Глава 14

- 14.4. (а) $\tau = 140 \text{ н.м.}$
 (б) $l = 2,8 \text{ м.}$
 (в) $F_\perp = 14 \text{ Н.}$
- 14.6. $\lambda \approx 66,6^\circ$.
- 14.7. $V = 2\pi^2 R^3$.
- 14.8. $T = M\omega^2 R^2/3$.
- 14.9. (а) $x = (2R^2/L) \sin(L/2R), y = 0$.
 (б) $x = (4R/3\alpha) \sin(\alpha/2)$.
- 14.10. $x = 1,7 \text{ см}, y = 0$.
- 14.11. $y = x/2$.
- 14.12. (а) $F = 8,1 \text{ Н.}$
 (б) $x = (3\sqrt{3}/2) \text{ см.}$
- 14.13. $\alpha = \arctg(1/6\sqrt{3})$.
- 14.14. $\overline{OP} \approx 0,457 \text{ м.}$
- 14.15. $h = a(3 - \sqrt{3})/2$.
- 14.16. $x = M_1 L / (M_1 + M_2)$.
- 14.17. $P = 16m\mu\pi^3 f^3 r^2$.
- 14.18. $n = a$.

14.19. $M \approx 1,8 \text{ кг}$.

14.20. (а) $\Delta L = M\omega^2 L / (2k - M\omega^2)$.

(б) Устойчивое равновесие возможно только при $M\omega^2/k < 2$.

Глава 15

15.3. $I = ML^2/12$.

15.4. $\omega = \sqrt{3g/l}$.

15.5. $a = mg/(m + M/2)$.

15.6. $I = 22Ma^2$.

15.7. (а) $I = mL^2/3$.

(б) $I = mL^2/12$.

(в) $I = mr^2$.

(г) $I = mr^2/2$.

15.8. $F = Mg/4$.

15.9. $W = 6mL^2\omega_0^2$.

15.10. (а) $V_0 = r\sqrt{2Mgh/(I + Mr^2)}$.

15.11. Ремень должен двигаться с ускорением $2g\sin\theta$.

15.13. $I = \frac{8}{15}\pi\rho(R^5 - r^5) = \frac{2}{5}M\frac{R^5 - r^5}{R^3 - r^3}$.

15.14. $\mu_0 = (2/7)\operatorname{tg}\theta$.

15.15. (б) $a = g/(1 + R^2/2r^2)$.

15.16. $h = 3d/2 - 3r$.

15.17. (а) $v_2 = (r_1/r_2)v_1$.

(б) $W = \frac{1}{2}mv_1^2(r_1^2/r_2^2 - 1)$.

(в) $F = mv^2/r$.

15.18. (а) $a = FR(R\cos\alpha - r)/(I + MR^2)$.

15.19. $h/r = 7/5$.

15.20. $r_3^2 + r_1^2 = r_2^2$.

15.21. $\alpha_{\text{макс}} = (2g/R)\cos\theta$.

15.22. $t = 2l\omega_0/3\mu g$.

15.23. (а) $D = 12V_0^2/(49\mu g)$.

(б) $V = (5/7)V_0$.

15.24. (а) $V_0 = (2/5)R\omega_0$.

(б) $V_0 = (1/4)R\omega_0$.

15.25. $l = R\{[1 + M/(4m)]^{1/2} - 1\}$.

15.26. (a) $F'_x = F_x \cos \theta + F_y \sin \theta + 2m\omega y' + m\omega^2 x'$;

$$F'_y = F_y \cos \theta - F_x \sin \theta - 2m\omega x' + m\omega^2 y' .$$

Глава 16

16.6. $V = 406 \text{ м}^3$.

16.9. Гироскопический эффект, связанный с работой двигателей, вынуждает самолет (д) кабрировать.

16.10. (a) Если нить порвется, то это случится до того, как грузы будут опущены.
(б) Если нить не порвется, то скорость центра масс двух грузиков будет равна $l\omega_0/2$, в то время, как грузики будут вращаться относительно их центра масс с угловой скоростью ω_0 .

16.11. $v_{AC}/v_{AB} = -7/2$.

16.12. $v = \frac{1}{2}(M/m - 1)V - L^2\omega^2/(24V)$;

$$a = \omega L^2/(12V).$$

16.13. (a) $V_{\text{цм}} = v/2$.

(б) $L = mvR/2$.

(в) $\omega = v/(3R)$.

(г) $T_{\text{до}} = mv^2/2$, $T_{\text{после}} = mv^2/3$.

16.14. Скорость центра масс объекта равна $v_0/6$, и он вращается относительно своего центра масс с угловой скоростью $2v_0/(15a)$.

16.15. (a) $V_O = J/M$.

(б) $\omega = 12Jr/(ML^2)$.

(в) $\underline{V}_A = (J/M)(1 - 6r/L)$.

(г) $\underline{AP} = 2L/3$.

(д) $\underline{AP} = 2L/3$ (снова).

16.16. (a) $V_{\text{цм}} = v/2$ (до и после).

(б) $L = MvL/4$.

(в) $\omega = 6v/(5L)$.

(г) Теряется 20 % кинетической энергии.

16.17. $V_f = V/2$; $\omega_f = 6V/(7L)$.

16.18. $V = \sqrt{8gL}$.

16.19. (a) $v_f = \frac{1}{2} \sqrt{\frac{g}{L} \cdot \frac{m+M}{2(m/4 + M/3)}}$.

16.20. (a) $J = I_0\omega_0$.

(б) $F = mR^2\omega_0^2 / [R - (1 + 20\pi)r]$.

16.21. $\tau_{\text{макс}} = m l^2 \omega^2$.

16.22. (a) $\theta = 45^\circ$.

(б) $\tau = (M l^2/24)\omega^2$.

16.23. $F = 89,8 \text{ Н}$.

16.24. $\omega_1 = I_2 \omega_2 / (I_1 + I_2 + M_2 r^2)$.

16.25. (a) $r = V / (2\omega)$.
 (б) $\theta \approx 2\omega R / V$.

16.26. Спутник вращается относительно оси, перпендикулярной его длине (проходящей через центр масс) с угловой скоростью $\omega_k = 2\omega_0 / 13$.

16.27. $\Delta T \approx 1$ мс.

16.28. $\tau \approx (2GMm/R^3)r^2 \sin(2\theta)$.

16.30. $J = M\sqrt{\pi g L n / 3}$, где $n \in \mathbb{Z}$.

16.31. (a) $\omega = \frac{I_0 + mR^2}{I_0 + mr^2} \omega_0$.

(б) $\dot{r} = \omega_0 \sqrt{\frac{I_0 + mR^2}{I_0 + mr^2} (R^2 - r^2)}$.

16.32. (a) $F = \frac{M\omega^2 ab(a^2 - b^2)}{12(a^2 + b^2)^{3/2}}$.

(б) $T = \frac{12\omega^2 a^2 b^2}{12(a^2 + b^2)}$.

16.33. $\tau \approx 27$ Н·м.

16.34. (a) $L_x / L_z = 4mv_0 / (MR\omega_0)$.
 (б) $\omega_x / \omega_0 = 8mv_0 / (MR\omega_0)$.

16.35. (a) $L = (20e_x + 0,0119e_y)$ Дж·с;
 $\Omega_n = 154$ с⁻¹;
 $r = 1,77 \cdot 10^{-2}$ см.
 (б) $\Omega_p = 1,47 \cdot 10^{-3}$ с⁻¹;
 $L_p = 1,91 \cdot 10^{-4}$ Дж·с;
 $T_p = 1,40 \cdot 10^{-7}$ Дж;
 $\Delta E \approx 2,8 \cdot 10^{-7}$ Дж.

16.36. $\tau_{\text{л}} \approx 2,2 \tau_c$

16.37. (a) $I_3 = 8,11 \cdot 10^{37}$ кг·м².
 (б) $L_3 = 5,91 \cdot 10^{33}$ кг·м² с⁻¹.
 (в) $E_3 = 2,16 \cdot 10^{29}$ Дж.
 (г) $T = 25,725$ лет.

Глава 17

17.3. $T = 2\pi \sqrt{\frac{2LM}{3gM + 2L(k_1 + k_2)}}$.

17.4. $x = A / \sqrt{2}$.

- 17.5. (a) $\Delta x = 2,18$ см.
 (б) $V = -49,4$ см/с.
- 17.6. $T = \pi\sqrt{2L/g}$.
- 17.8. $T = \pi\sqrt{MR^2/K}$.
- 17.9. $T \approx 1,4$ с.
- 17.10. (a) $T_A = 2\pi\sqrt{\frac{d}{g}}$, $T_B = 2\pi\sqrt{\frac{I_c + Md^2}{Mgd}}$.
 (б) $\ddot{\theta}_A = -\frac{g}{d}\sin\theta_0$, $\ddot{\theta}_B = -\frac{Mgd}{I_c + Md^2}\sin\theta_0$.
 (в) $\ddot{\theta}_A = \sqrt{\frac{2g}{d}(1 - \cos\theta_0)}$, $\ddot{\theta}_B = \sqrt{\frac{2Mgd}{I_c + Md^2}(1 - \cos\theta_0)}$.
- 17.11. $\omega_0 = 28$ с⁻¹.
- 17.12. (a) $\theta_0 = \arctg(1/3)$.
 (б) $\theta(t) = \theta_0 - \frac{J}{M\sqrt{gl}}\sqrt{\frac{288}{125}}\sin\left(\sqrt{\frac{g}{l}}\sqrt{\frac{9}{10}}t\right)$.
- 17.13. $T \approx 42$ мин.
- 17.14. (б) $T_A = 2\pi\sqrt{m/(k_1 + k_2)}$, $T_B = 2\pi\sqrt{m/(k_1 + k_2)/k_1k_2}$.
- 17.15. $A = (v/4)\sqrt{M/(2k)}$, $T = 2\pi\sqrt{M/(2k)}$.
- 17.16. (a) $x = d$.
 (б) $V_{\text{цм}} = (d/3)\sqrt{k/m}$, $A = d\sqrt{2/3}$.
- 17.17. $v_1 = v_0 - X\sqrt{\frac{K}{M_1(1 + M_1/M_2)}}$;
 $v_2 = v_0 + X\sqrt{\frac{K}{M_2(1 + M_2/M_1)}}$.
- 17.18. $x_{\text{макс}} = (m + M)\mu g/k$.
- 17.19. (a) $E = 10^6$ эрг·с.
 (б) $k = 7,8 \cdot 10^3$ г/с².
 (в) $x = 16$ см.
- 17.20. (a) $v = (1/2\pi)\sqrt{k(1/I_1 + 1/I_2)}$.
 (б) $A_1/A_2 = -I_2/I_1$.
- 17.22. (a) $T = 2\pi\sqrt{l/g}$.
 (б) $T = (2\pi L/\sqrt{3d})\sqrt{l/g}$.
- 17.23. $T = 2\pi\sqrt{29a/g}$.

17.24. $m = KR/(2g)$.

17.25. (а) $T = 2\pi\sqrt{m_1m_2/k(m_1+m_2)}$.
 (б) Вы обнаружите эффект уменьшения массы.
 (в) $E = 0,5kA^2$.
 (г) $E_1/E_2 = m_2/m_1$.

17.26. $T \approx 5,3$ с.

17.27. $\theta'_0 = \sqrt{I/(I+ma^2)}\theta_0$.

17.29. $T_0 = 2\pi\sqrt{2A/g}$, $a = A\sqrt{2}$, $H = A(\sqrt{2}-1)$.

17.30. $z = 49$ см.

Глава 18

18.8. $y = \cos(2k\pi/n) + i \sin(2k\pi/n)$, где $k = 0, 1, 2, \dots, n-1$.

18.11 $\log_{11} 2 = 0,289$; $\log_{11} 7 = 0,811$.

Глава 19

19.2. $f = 10^4/(2\pi)$ Гц.

19.3. $Z \approx 377\sqrt{2}$ Ом.

19.4. $L \approx 71$ мГн.

19.5. $C \approx 3,3 \cdot 10^{-3}$ мкФ.

19.6. (а) $\dot{Z} = i\left(\omega L - \frac{1}{\omega C}\right)$.

(б) $\dot{Z} = \frac{i\omega L}{1 - \omega^2 LC}$.

19.7. (а) $C = C_1 C_2 / (C_1 + C_2)$.

(б) $C = C_1 + C_2$.

19.8. (а) $L = L_1 + L_2$.

(б) $L = L_1 L_2 / (L_1 + L_2)$.

19.9. (а) $\omega_0 = 1/\sqrt{3LC}$.

(б) $\omega_0 = 1/\sqrt{3LC}$ (опять).

19.10. $T = L/R$.

19.11. $Q \approx 10^4$.

19.12. (в) $x = A e^{-\left(\gamma/2 + \sqrt{\gamma^2/4 - \omega_0^2}\right)t} + B e^{-\left(\gamma/2 - \sqrt{\gamma^2/4 - \omega_0^2}\right)t}$.

(г) $A = x_0$;

$$B = \frac{2v_0 + \gamma x_0}{\sqrt{4\omega_0^2 - \gamma^2}}$$

- 19.13. (б) $v(t) = v_0 e^{-(\gamma/m)t}$;
 $v(x) = v_0 - \frac{\gamma}{m}(x - x_0)$.
- 19.14. (а) $v_\infty = g \sin\theta/\gamma$.
 (б) $v(t) = v_\infty [1 - e^{-\gamma t}]$.
 (в) $x(t) = v_\infty [t + (e^{-\gamma t} - 1)/\gamma]$.
- 19.15. $d = 42,8$ м.
- 19.16. $A = 5,75$ см.
- 19.17. (а) $5d^2x/dt^2 + 0,693dx/dt + 20\pi^2x = 0$.
 (б) $T = 1,00006$ с.
 (в) (1) $N = 20$; (2) $N = 33$.
 (г) $P \approx 1,1$ Вт.
- 19.18. $V = V_0 e^{-t/(RC)}$.
- 19.19. Подсказка. Незатухающие, затухающие и сильно затухающие колебания.
- 19.20. (б) 1) $Z_L = i\omega L$; 2) $Z_C = 1/(i\omega C)$.
- 19.23. (а) $I_0 = (1/16)A$.
 (б) $\delta = 0$.
- 19.24. (а) $I_R = 0$.
 (б) $I_{L,\max} = V_0 \sqrt{C/L}$.
- 19.25. (а) $C_1 = 1/(\omega^2 L)$.
 (б) $C_2 = C_1 / (1 - \omega RC_1)$.
 (в) $I_1/I_2 = \sqrt{2}$.
- 19.26. (а) $\Delta E = \frac{1}{2} \frac{C_1 C_2}{C_1 + C_2} V_0^2$.
 (б) $V_1 = V_2 = \frac{C_1}{C_1 + C_2} V_0$.
- 19.27. (а) $t \approx 16,1$ с.
 (б) $I_0 = 0$.
- 19.28. $V_{\max} = (V_0/R) \sqrt{L/C}$.
- 19.29. $V_{\max} = 10\sqrt{2} V$.
- 19.30. $V'_{\text{пост}} = V_{\text{пост}}$, $|V'_{\text{перем}}| \approx |V_{\text{перем}}| / 7,6$.
- 19.31. (а) $A = h[2 - 8\pi^2 L/(gT^2)]$.
 (б) $A \approx 0,40$ м.
 (в) $D \approx 32,4$ м.
- 19.32. (а) $\omega_0 = \sqrt{k/M}$.
 (б) $\omega_0 = e\omega^2 / (\omega_0^2 - \omega^2)$ в направлении e .
 (в) $\omega'_{\text{кр}} = \omega_0$.
 (г) $\omega'_{\text{кр}} = \omega_0$.
 (д) Центр масс расположен на средней линии между подшипниками.

- 19.33. (а) Если $\omega_0 = \sqrt{k/m}$, а $\omega_\gamma = \sqrt{\omega_0^2 - \gamma^2/4}$, то
- (1) $x = \frac{F_0}{k} + \left(x_0 - \frac{F_0}{k}\right) e^{-\gamma t/2} \left[\cos(\omega_\gamma t) + \frac{\gamma}{2\omega_\gamma} \sin(\omega_\gamma t) \right];$
- (2) $x = \frac{J}{m\omega_\gamma} e^{-\gamma t/2} \sin(\omega_\gamma t);$
- (3) $x = \frac{F_0}{\gamma\sqrt{k/m}} \sin(\omega_0 t) + e^{-\gamma t/2} \left[x_0 \cos(\omega_\gamma t) - \frac{1}{\omega_\gamma} \left(\frac{F_0}{m\gamma} - \frac{\gamma}{2} x_0 \right) \sin(\omega_\gamma t) \right].$
- (б) $\omega^* = \sqrt{\omega_0^2 - \gamma^2/2}.$
- 19.34. (а) Уравнение движения для $0 < t < \pi\sqrt{m/k}$ имеет вид $m\ddot{x} + kx - mg\mu = 0$, при этом его решением является $x = (A-d) \cos(\omega t) + d$, где $\omega^2 = k/m$ и $d = mg\mu/k$.
- (б) 1) $0 \leq B \leq d$; 2) $A = B + 2Nd$ либо $A = 2(N+1)d - B$.

19.35. $\dot{A} = \frac{qE_0}{\omega^2 \sqrt{m^2 + \alpha^2 \omega^2}};$

$\delta = \pi + \operatorname{arctg} \frac{\alpha\omega}{m}.$

19.36. $f \approx 7,2$ Гц.

19.40. (а) $I = 2$ А.

(б) $V_{\max} = 16,9$ кВ.

(в) $t = 35$ мкс.

19.41. $V \approx 75$ км/ч.

Глава 20

20.2. (а) $AK \approx 15$ м.

(б) $t_{\min} = 60$ с.

(в) $t = 60,1$ с.

20.3. (а) $PP' = 0,0387$ м.

(б) $\Delta t = 0,11t_0$.

20.4. $\theta \approx 11,2^\circ$.

20.8. (а) $X_0 = R/2$.

(б) $\Delta X_0/X_0 = -0,02$.

20.9. $x = 200$ см, $D = 1,86$ см.

20.10. (а) $x = 6,7 \cdot 10^{-5}$ м.

(б) $x = 8,5 \cdot 10^{-2}$ м.

20.11. (а) $y = \pm \sqrt{2Fx(1-1/n) - x^2(1-1/n^2)}.$

20.12. $d = d'/n$.

20.13. Изображение будет формироваться на расстоянии 4 см от центра.

20.14. $y = 1,92R$.

20.15. $d = 2,0$ см.

20.16. $M = F/f$.

20.17. $\frac{1}{F} = \frac{1}{f} + \frac{1}{f'} - \frac{D}{f \cdot f'}$;

$$\Delta = \frac{fD}{f + f' - D} \quad (\text{в направлении } L' \text{ от } L);$$

$$\Delta' = \frac{f'D}{f + f' - D} \quad (\text{в направлении } L \text{ от } L').$$

20.18. (а) $4,167$ см $< d < 5$ см.

(б) $M(4,167 \text{ см}) = 6$; $M(5 \text{ см}) = 5$.

20.19. (а) $x = 5,2$ см.

20.20. $r = 1,6$ см.

20.21. (а) $d_2 > d_1$.

(б) Экран должен быть передвинут дальше от линзы.

(в) $f = L_1 d_1 / (D + d_1) = L_2 d_2 / (D + d_2)$.

20.22. Если точка P расположена в начале координат, ось x направлена по горизонтали, вдоль фокальной оси, а ось y — по вертикали (расстояние по нормали от фокальной оси до зеркала), то

(а) гипербола: $y^2 = \frac{4Dd}{(D-d)^2} \left[\left(x - \frac{D+d}{2} \right)^2 - \frac{(D-d)^2}{4} \right]$;

(б) эллипс: $(2d+D)^2 y^2 + 4d(d+D) \left(x - \frac{D}{2} \right)^2 = 4d(d+D) \left[(d+D)d - \frac{D^2}{4} \right]$.

20.23. (б) $f = g/(2\omega^2)$.

Глава 21

21.2. (а) $\mathbf{E}(t) = \frac{qa\omega^2}{4\pi\epsilon_0 c^2 R} \left[\cos(\omega(t-R/c)) \cdot \mathbf{e}_x + \sin(\omega(t-R/c) \cos \theta \cdot \mathbf{e}_y \right]$.

(б) $I(0) = \left(\frac{qa\omega^2}{4\pi\epsilon_0 c^2 R} \right)^2$, $I(\pi/2) = I(0)/2$.

21.3. (а) $P = \frac{3}{8\pi} \cdot \frac{\sin^2 \theta}{R^2} P_n$.

(б) $P = 2,4 \cdot 10^{-11}$ Вт/м².

21.4. $I = \begin{cases} 5,8I_0 & \text{Восток, Запад} \\ 0,17I_0 & \text{Север, Юг} \\ 3,0I_0 & \text{Другие направления показаны на рисунке.} \end{cases}$

21.5.
$$I(\theta) = I_0 \frac{\sin^2 \left[\frac{\pi(1 + \sin \theta)}{4} \right]}{\sin^2 \left[\frac{\pi}{4}(1 + \sin \theta) \right]}.$$

21.6. (а) $I(\theta) = 2I_0 [1 + \cos(\pi \sin \theta)].$
 (б) $I(\theta) = 2I_0 [1 + \cos(\pi/2 + \pi \sin \theta)].$

21.7. $a = 2\lambda, b = 2\lambda/\sqrt{3}.$

21.8. (а) $E(t) = 0.$
 (б) $\frac{\sqrt{2}q\omega^2 d}{4\pi\epsilon_0 c^2 R} \sin[\omega(t - R/c)].$

21.9. $d\alpha/dt = -(1/120)\cos\theta$ Гц.

21.10. C: $I = 5I_A$, вектор E наклонен на угол $26,5^\circ$ по часовой стрелке от оси x.
 D: $I = I_A$, вектор E имеет левостороннюю круговую поляризацию.
 E: $I = I_A$, вектор E направлен по нормали к плоскости xy.

21.11.
$$I(\theta) = 2I_0 \left[1 + \cos \left(\frac{\pi}{2}(1 - \cos \theta) \right) \right] \frac{\sin^2 \left(\frac{N\pi}{2} \sin \theta \right)}{\sin^2 \left(\frac{\pi}{2} \sin \theta \right)}.$$

21.12.
$$E(t) = \frac{q\omega^2 a}{4\pi\epsilon_0 c^2 R} \cos[\omega(t - R/c)] \sin \theta,$$

где q — полный заряд осциллирующих электронов.

Глава 22

22.2. $Q \approx 5,5 \cdot 10^6.$

22.4. (а) $d = 9,1$ км.

22.5. $x = 1,6$ мм.

22.6.
$$\frac{I(z)}{I_0} = \frac{1}{r_1^2} + \frac{1}{r_2^2} - \frac{2}{r_1 r_2} \cos \left(\frac{2\pi}{\lambda}(r_1 - r_2) \right),$$

где $r_1 = \sqrt{(z-d)^2 + D^2}$, а $r_2 = \sqrt{(z+d)^2 + D^2}$.

22.7. (а) $r = \sqrt{10,25}\lambda.$
 (б) $I/I_{\text{макс}} \approx 1/4.$

22.8. (а)
$$\frac{I(\theta)}{I_{\text{макс}}} = \frac{\sin^2(2\pi \sin \theta)(1 + \cos(8\pi \sin \theta))}{8\pi^2 \sin^2 \theta}.$$

(б) Существует 6 порядков главных максимумов (см. пункт (б)).

(в) θ (рад)	0	0,23	0,44	0,60	0,84	1,20
$I(\theta)/I_{\text{макс}}$	1	0,44	0,01	0,006	0,045	0,002

$$22.10. \quad \frac{I_t}{I_0} = \frac{T^4}{1 - 2R^2 \cos(4\pi D/\lambda) + R^4} = \frac{T^4}{2R^2 [1 - \cos(4\pi D/\lambda)] + T^4}.$$

$$22.11. \quad (a) \quad h' = h \frac{F_2}{F_1}.$$

$$(б) \quad \lambda_m = \frac{10^7 \text{ \AA}}{mN} |\sin \theta_i - \sin \theta_d|.$$

$$(в) \quad D = 10^{-7} \text{ мм} \frac{mNF_2}{\cos \theta_d}.$$

$$(г) \quad w' = w \frac{F_2 \cos \theta_i}{F_1 \cos \theta_d}.$$

$$22.12. \quad (a) \quad \theta = 51,9^\circ.$$

$$(б) \quad \lambda = 3750 \text{ \AA}, 4370 \text{ \AA}, 6560 \text{ \AA}.$$

$$(в) \quad d = 5,6 \text{ мм} \text{ \AA}^{-1}.$$

$$(г) \quad \Delta \lambda_{\text{мин}} = 7 \cdot 10^{-3} \text{ \AA}.$$

Глава 23

$$23.2. \quad n = 0,99999916.$$

$$23.3. \quad \rho \approx 10^7 \text{ см}^{-3}.$$

$$23.4. \quad (б) \quad I = I_0 e^{-Nq^2/(\varepsilon_0 m \nu c)}, \text{ где } I_0 \text{ — интенсивность падающего излучения.}$$

$$23.5. \quad (a) \quad P = q_e^2 \omega^4 x_0^2 / (12\pi \varepsilon_0 c^3).$$

$$(б) \quad \gamma_R = q_e^2 \omega^2 / (6\pi \varepsilon_0 m c^3).$$

$$(в) \quad \Delta \lambda = (2\pi c / \omega^2) \gamma_R = 1,2 \cdot 10^{-4} \text{ \AA}.$$

Глава 24

$$24.4. \quad N_e \approx 10^7 \text{ см}^{-3}.$$

$$24.5. \quad (a) \quad f = 1,5\%.$$

$$(б) \quad f = 9\%.$$

$$24.6. \quad (a) \quad \sigma_{\text{макс}} = \frac{N^2 \chi^2 q_e^2 \omega^4}{6\pi \varepsilon_0^2 c^4} \left(\frac{E_{\parallel}}{E_0} \right)^2.$$

$$(б) \quad \sigma(\theta) = \sigma_{\text{макс}} \cos^2 \theta.$$

Глава 25

$$25.3. \quad I_t = (I_0/8) \sin^2(2\theta).$$

25.4. Для расчета интенсивности см. задачу 21.2 часть (б). На оси круговой орбиты излучение поляризовано по кругу, в плоскости круга оно имеет линейную поляризацию.

$$25.5. \quad I_t/I_0 = \frac{1}{2} (\alpha^4 + \varepsilon^4) \cos^2 \theta + \alpha^2 \varepsilon^2 \sin^2 \theta.$$

- 25.6. $I_R/I_G \approx 34,5\%$, а подруга с отвращением уходит.
- 25.8. (а) $f = 17\%$.
(б) $\beta = 67,4^\circ$.
- 25.9. (а) $I_t = I_0 \cos^{2n}(\theta/n)$.
- 25.10. $I_{\text{макс}}/I_{\text{мин}} = \text{ctg}^2\theta$.
- 25.12. (а) $d = 1,67 \cdot 10^{-2}$ мм.
(б) E имеет эллиптическую поляризацию:
 $E_x = E_0 \cos \phi \cdot \cos(\omega t)$,
 $E_y = E_0 \sin \phi \cdot \cos(\omega t + 1,4\pi)$, где ϕ показывает направление поляризации падающего света.

Глава 26

- 26.7. $R = 1,5 \cdot 10^8$ км.
- 26.9. (а) $\text{tg } \theta_1 = 0,75$.
(б) $v_1 = 1,67 v_0$.
- 26.10. $v/c = (v_0 - v)/(v_0 + v)$.
- 26.11. $v/c = 7,6 \cdot 10^{-6}$.
- 26.12. $v = 510$ км/с при движении в сторону наблюдателя.
- 26.13. $v/c \approx 0,8$.
- 26.14. (а) $\frac{d^2x}{dt^2} = -\frac{v^2x}{R^2} \cdot \frac{1 + vR/(cx)}{[1 + vx/(cR)]^3}$.
(б) $\frac{I_{\text{макс}}}{I_{\text{мин}}} = \frac{(1 + v/c)^4}{(1 - v/c)^4}$.
- 26.15. $E(t, R_0) = -\frac{q_e}{4\pi\epsilon_0 c^2 R_0} \frac{a \sin \theta}{(1 - \beta \cos \theta)^3} e_x$, для $t \geq R_0/c$.
- 26.16. (а) $F = I_0 A/c$.
(б) $F \approx 0,16(I_0 A/c)[1 - \cos(6\pi d/\lambda)]$.
(в) $F = (I_0 A/c)[1 - e^{-4\pi n''d/\lambda}]$.
- 26.17. $F = 1,3 \cdot 10^{-2}$ Н.
- 26.18. (б) $dR/dt = 360$ м/с.
- 26.19. (б) $R \approx (6 \cdot 10^{-4} \text{ кг} \cdot \text{м}^{-2}) / \rho$.

Глава 27

- 27.2. $\theta \approx \arcsin [h/(p_0 W)]$.
- 27.3. (а) $l = 1,8 \text{ \AA}$.
(б) 1) $\lambda = 0,39 \text{ \AA}$; 2) $\lambda = 8,7 \cdot 10^{-3} \text{ \AA}$.
(в) $\lambda = 1,3 \cdot 10^{-25} \text{ \AA}$.
(г) Рентгеновское излучение имеет длину волны короче, чем электрон.
- 27.4. $\lambda_{\text{макс}} = 6150 \text{ \AA}$.

- 27.5. (а) $\lambda = 910 \text{ \AA}$.
 (б) Испускается ультрафиолетовое излучение.
- 27.6. $R \approx 2,6 \cdot 10^{-3} \text{ \AA}$.
- 27.7. $E_{\text{мин}} = h\sqrt{\beta/m}$.
- 27.8. $\tau \approx 8 \cdot 10^{-10} \text{ с}$.
- 27.9. $T \approx 620 \text{ МэВ}$.
- 27.10. $R \approx 5 \cdot 10^{-13} \text{ см}$.
- 27.13. (а) $T = 11,3 \text{ эВ}$.
 (б) $f_{\text{мин}} = 3,3 \cdot 10^{15} \text{ Гц}$.
- 27.14. (а) $q_{\text{мин}} = 7,1^\circ$.
 (б) $d_{\text{макс}} = 21,6 \text{ м}$.
 (в) $d = 1,9 \text{ м}; 2,7 \text{ м}; 3,3 \text{ м}; 4,3 \text{ м}$.
- 27.15. (б) $\theta = 15,7^\circ, 22,2^\circ, 27,4^\circ, 32,2^\circ, 36,5^\circ$.
- 27.16. $\lambda = 6560 \text{ \AA}, 4860 \text{ \AA}, 18840 \text{ \AA}$.
- 27.17. $T = 33 \text{ эВ}$.
- 27.18. (а) $\theta \approx \pi/4$.
 (б) $E_c = 2,1 \cdot 10^{-21} \text{ Дж}$.
- 27.19. (а) $\theta_1 = 3^\circ, \theta_{II} = 0,3^\circ$.
- 27.20. (а) $\Delta\lambda = 8,3 \cdot 10^{-4} \text{ \AA}$.
 (б) $w = 3\sqrt{2} \text{ м}$.
 (в) $E_1 - E_0 = 2,46 \text{ эВ}$.
- 27.21. (а) $r_n = \frac{4\pi\epsilon_0 n^2 \hbar^2}{me^2}$;

$$\omega_n = \frac{me^4}{(4\pi\epsilon_0)^2 n^3 \hbar^3}$$
.
 (б) $T_n = \frac{me^4}{2(4\pi\epsilon_0)^2 n^2 \hbar^2}$;

$$U_n = -2T_n$$
;

$$E_n = -T_n$$
.
 (в) $\Delta E \propto \left(\frac{1}{n_H^2} - \frac{1}{n_B^2} \right)$.

Глава 28

- 28.2. (а) $P^{r-1}/T^r = \text{const}$.
 (б) $TV^{r-1} = \text{const}$.
- 28.3. (а) $P_A = 3,17P_0, P_B = 2,64P_0$.
 (б) $W_A/W_B = 1,1$.

28.4. $P_{\text{кон}} = \frac{1}{2}(P_1 + P_2);$

$$T_{\text{кон}} = \frac{T_1 T_2 (P_1 + P_2)}{T_1 P_2 + T_2 P_1}.$$

28.5. (б) $P = P_0 e^{-\mu gh/(RT)}.$

28.6. $W = 1,82 \cdot 10^5$ Дж.

28.7. $T = 173$ °С.

28.8. $P = 200$ мм рт. ст.

28.9. $P = 842$ мм рт. ст.

28.10. (а) $T_2 = 1740$ К.

(б) $V_2/V_1 = 5,8.$

28.11. (а) $T_{\text{к}} = T_0, P_{\text{к}} = P_0/2.$

(б) $T_{\text{к}} = T_0/2^{2/3}, P_{\text{к}} = P_0/2^{5/3}.$

28.12. (а) $\frac{dT}{dh} = -\frac{\gamma-1}{\gamma} \cdot \frac{\mu g}{R}$, где μ — средняя молярная масса атмосферного газа;
 R — газовая постоянная идеального газа.

(б) На Земле: $dT/dh \approx -0,01$ К/м.

28.13. $\omega = \sqrt{(P_0 A/L_0 + K)/m}.$

28.14. $f_d = 31$ %.

Глава 29

29.3. $C_V = (5/2)R_{\delta}.$

29.4. (а) $C_{V,m} = (3/2)R$ (одноатомный).

(б) $C_{V,m} = (5/2)R$ (двухатомный).

29.5. $h_{\delta} = 8,8$ км, $h_{\text{с}} = 113$ км.

29.6. $P(h=0) = \frac{Nmg}{A} \cdot \frac{e^{mgL/(kT)}}{e^{mgL/(kT)} - 1};$

$$P(h=L) = \frac{Nmg}{A} \cdot \frac{1}{e^{mgL/(kT)} - 1}.$$

29.7. (а) $f_1(h) = m_1 / \left[m_1 + m_2 e^{-(m_1+m_2)gh/(kT)} \right].$

(б) $f = 1 - e^{-m_1/m_2}.$

29.9. $F(E)dE = A\sqrt{2E/m^3} e^{-E/(kT)} dE.$

29.10. (а) $k = 2N/V^2.$

(б) $\langle v \rangle = 2V/3, v_{\text{ср.кв}} = V/\sqrt{2}.$

29.11. (а) $f = 0,55.$

(б) $f = 0,06.$

$$29.12. \quad P_1/P_2 = \sqrt{T_1/T_2}.$$

$$29.13. \quad (a) \quad dn = A \frac{n}{4} v f(v) dv, \quad \text{где} \quad f(v) = \frac{4}{\sqrt{\pi}} \left(\frac{m}{2kT} \right)^{3/2} v^2 e^{-\frac{mv^2}{2kT}}.$$

$$(b) \quad v_{\text{ср.кв}}^{\text{вылет}} = (4kT/m)^{1/2}, \quad v_{\text{ср.кв}}^{\text{внутр}} = (3kT/m)^{1/2}.$$

$$29.14. \quad \Delta\lambda \approx 0,012 \text{ \AA}.$$

$$29.15. \quad T = 1,2 \cdot 10^5 \text{ К}.$$

$$29.16. \quad N_0/N_1 \approx 10^{-9}.$$

$$29.17. \quad F \approx (W/3) \sqrt{2\pi m/(kT)} \quad (\text{зависит от используемой аппроксимации}).$$

29.18. (a) Если величина P принимается как входное / выпускное давление и отношение теплоемкостей γ берется для воздуха, то

$$(1) \quad v' = -\frac{P}{(\gamma-1)\rho v} + \sqrt{\left(\frac{P}{(\gamma-1)\rho v} + v \right)^2 + \frac{2W}{\rho v A}}.$$

$$(2) \quad T' = (v'/v)T;$$

$$(3) \quad F = \rho v A (v' - v).$$

$$(b) \quad F \approx 5,3 \cdot 10^4 \text{ Н}.$$

Глава 30

$$30.1. \quad (a) \quad T = 11 \text{ 600 К}.$$

$$(b) \quad kT = (1/40) \text{ эВ}.$$

$$(c) \quad \lambda = 12 \text{ 400 \AA}.$$

$$30.2. \quad 96 \text{ 520 Дж/моль} = 1 \text{ эВ/атом}.$$

30.3. Вы ошибетесь примерно на 100 %!

$$30.4. \quad I_1/I_2 \approx 10^{-5}.$$

$$30.7. \quad (a) \quad C_V = \frac{3N_0 k (\Delta E / kT)^2 e^{\Delta E/(kT)}}{(3 + e^{\Delta E/(kT)})^2}.$$

Глава 31

$$31.2. \quad l = 1,8 \cdot 10^3 \text{ см}.$$

$$31.3. \quad l \approx 10^{-7} \text{ м}, \quad \tau \approx 0,2 \cdot 10^{-9} \text{ с}.$$

$$31.4. \quad (a) \quad P = 11 \cdot 10^{-4} \text{ мм рт. ст}.$$

$$(b) \quad k_1/k_2 = 1.$$

$$31.5. \quad \mu = \mu_a \mu_b / (\mu_a + \mu_b).$$

31.8. Если число молекул газа в единице объема равно n_0 , их средняя скорость v и масса m , а отношение теплоемкостей газа γ , то

$$(a) \frac{dE}{dt} = \frac{1}{4} \cdot \frac{n_0 v k \Delta T}{\gamma - 1}.$$

$$(б) \frac{F}{A} = \frac{1}{4} n_0 v m \Delta U.$$

31.9. $L \approx 56l$.

31.12. (a) Если $V_{\text{своб}}(m) = \frac{d^2}{lcq_e} \cdot \frac{\sqrt{3mc^2kT}}{t}$, где l — средняя длина свободного пробега

молекул газа, то пространство будет абсолютно свободным:

(1) от электронов при напряжении $V_D = V_{\text{своб}}(m_e)$,

(2) от ионов неона при напряжении $V_D = V_{\text{своб}}(m_{\text{Ne}})$.

(б) при сравнении времени задержки $t = 0,4 \cdot 10^{-6}$ с со временем, необходимым для полной очистки камеры от электронов ($t_e = 4 \cdot 10^{-7}$ с) и от ионов неона ($t_{\text{Ne}} = 8 \cdot 10^{-5}$ с), становится очевидным, что за образование искры несут ответственность электроны.

Глава 32

32.1. $E = 1,4$ Дж.

32.2. $W_{\text{мин}} = (1/9)$ Дж.

32.3. Гелиевый двигатель совершает бóльшую работу за один рабочий цикл.

32.4. $\varepsilon_{\text{макс}} = 66\%$.

32.5. (a) $W = (P + Mg/A)V_1$.

(б) $\Delta Q = (5/2)W$.

(в) $\Delta U = (3/2)W$.

(г) $T_{\text{нач}} = 4W/(NR)$, $T_{\text{кон}} = 2T_{\text{нач}}$.

32.6. (б) $W = 101$ Дж.

(в) $T_{\text{макс}} = 1200$ К.

(г) $\Delta Q = 102,3$ Дж $\cdot (2\gamma + 1)/(\gamma - 1)$.

(д) $\Delta S = 0,23$ Дж/К $\cdot (\gamma + 1)/(\gamma - 1)$.

32.7. (a) $W = 1,1 \cdot 10^3$ Дж.

(б) $T_B = 600$ К.

(в) $\Delta Q_{A \rightarrow B} = 6,8 \cdot 10^3$ Дж.

(г) $\Delta Q_{B \rightarrow C} = 9,1 \cdot 10^3$ Дж.

(д) $\varepsilon_{\text{макс}} = 7\%$.

(е) $\varepsilon_{\text{макс}} = 66\%$.

32.8. (б) $\Delta S = 27,8$ Дж/К.

32.9. (a) $V_b = 8,8$ л.

(б) $V_d = 12,3$ л.

(в) $\Delta Q_{a \rightarrow b} = 1,25 \cdot 10^3$ Дж.

(г) $\Delta Q_{c \rightarrow d} = 0,95 \cdot 10^3$ Дж.

(д) $\varepsilon = 25\%$.

(е) $\Delta S = 0,11$ Дж \cdot К $^{-1}$ \cdot Г $^{-1}$.

- 32.10. (а) $\gamma = 1,57$.
 (б) $\Delta S = -1,4$ кал/К.
- 32.11. $W = P_0 V_0 \left(\frac{2^{\gamma-1} - 1}{\gamma - 1} - \ln 2 \right)$.
- 32.13. $P_{\text{день}} = 10,9$ кВт, $P_{\text{ночь}} = 24,6$ кВт.
- 32.14. (б) $W = C_p(T_1 + T_2 - 2T_k)$.
- 32.15. $\Delta S = 11 \cdot 10^3$ Дж/К.
- 32.16. (а) $\dot{W} = \dot{N}R \frac{\gamma}{\gamma-1} \left(T_C + T_A - T_C p^{-(1-1/\gamma)} - T_A p^{-(1-1/\gamma)} \right)$.
 (б) $P_m = \left(\frac{T_C}{T_A} \right)^{\gamma/2(\gamma-1)}$.
 (в) $\dot{W}_m = \dot{N}R \frac{\gamma}{\gamma-1} \left(\sqrt{T_C} - \sqrt{T_A} \right)^2$.
 (г) $\varepsilon_m = 1 - \sqrt{T_A / T_C}$.
 (д) $\dot{V}_A = 2,8$ м³/с.
 (е) $\varepsilon_T = 50$ %.
 (ж) $p_T = 11,3$.

Глава 33

- 33.3. $C_V = (16\sigma/c)V T^3$, где σ — постоянная Стефана–Больцмана (вывод можно найти в разд. 45-3 из т. I).
- 33.4. (а) $dS_R/dt = 0,85$ кал·К⁻¹·с⁻¹.
 (б) $dS_U/dt = dS_R/dt$.
- 33.6. $dT/dz = -2,9$ К/км.
- 33.7. (а) $dz/dt = (\kappa/L\rho)(\Delta T/z)$, где ρ — плотность льда.
 (б) $z(t=1 \text{ ч}) = 2,1$ см.
- 33.8. 1) (а) $\Delta S_\Gamma \approx 16$ Дж/К.
 (б) $\Delta S_{\text{окр}} = 0$.
 (в) $\Delta S_B = \Delta S_\Gamma$.
 2) (а) $\Delta S_\Gamma = 0$.
 (б) $\Delta S_{\text{окр}} = 0$.
 (в) $\Delta S_B = 0$.
- 33.9. 1) (а) $(\Delta S)_T = (16\sigma/3c)T^3(V_2 - V_1)$.
 (б) $(\Delta S)_V = (16\sigma/3c)V(T_2^3 - T_1^3)$.
 2) $S(V, T) = S(V_0, T_0) + (16\sigma/3c)(V T^3 - V_0 T_0^3)$.
- 33.10. $T = 122$ °С.
- 33.11. $T = 270$ К.
- 33.12. $f = 1$.

- 33.13. $T = T_0 e^{-(3Ac/16R)t}$.
- 33.14. (a) $f = 64$.
(б) величина f могла бы быть больше.
- 33.15. $f = 4$.
- 33.16. (a) $dE/dt = 1,95 \cdot 10^{-4}$ Дж·с⁻¹.
(б) $dT/dt = 0,06$ К·с⁻¹.
- 33.17. $P_G = 1,7 \cdot 10^{16}$ Па, $P_R = 7,2 \cdot 10^{-12}$ Па.
- 33.21. $f = R^2/(R^2 + r^2)$.

Глава 34

- 34.1. $v \propto \sqrt{M/\rho}$, где ρ — плотность жидкости.
- 34.2. $v_1/v_2 = 1/\sqrt{2}$.
- 34.3. $v_{\text{He}}/v_{\text{H}} = 0,77$.
- 34.4. $T = 99$ °C.
- 34.6. (a) $\frac{\partial^2 y}{\partial x^2} = \frac{\sigma}{T} \cdot \frac{\partial^2 y}{\partial t^2}$.
(б) $v = \sqrt{\frac{T}{\sigma}}$.
- 34.7. (a) $v = \frac{1}{2\pi} \sqrt{\frac{T}{m} \cdot \frac{1}{x(l-x)}}$.
(б) $y(t) = A \cos(2\pi vt)$.
(в) $v_{\text{макс}} = \infty$;
 $v_{\text{мин}} = \frac{1}{\pi} \sqrt{\frac{T}{ml}}$.
- 34.8. (a) $P(x, t) = P_0 - (\omega^2 \xi_m / k) \sin(\omega t - kx)$.
(б) $T = 0,25 \rho_0 A \lambda \omega^2 \xi_m^2$.
- 34.9. (a) $\chi_m = 1,05 \cdot 10^{-2}$ см.
(б) $\Delta T = 2,18 \cdot 10^{-2}$ К.
- 34.10. (a) $f = 2,95$.
- 34.12. (a) $\rho_e = 8,7 \cdot 10^{-7}$ кг/м³.
(б) $\chi_m = 3,6 \cdot 10^{-8}$ м.
(в) $I = 1,1 \cdot 10^{-5}$ Вт/м².

Глава 35

- 35.1. $v_{\text{фаз}} = v_{\text{груп}} = c$.
- 35.3. (б) $v_{\text{груп}} = 19,7$ м/с, $v_{\text{фаз}} = 39,5$ м/с.
- 35.4. Имеется 6 колебательных мод.

$$35.5. \quad u(x, y, t) = Ae^{i\omega t} \sin\left(\frac{\pi}{a}x\right) \sin\left(\frac{\pi}{b}y\right),$$

$$\omega = c\sqrt{\frac{\pi^2}{a^2} + \frac{\pi^2}{b^2}}.$$

$$35.7. \quad v_{\text{груп}} = \frac{1}{2} \left(v_{\text{фаз}} + \frac{4\pi T / (\rho\lambda)}{v_{\text{фаз}}} \right).$$

$$35.8. \quad (a) v_{\text{фаз}} = 24,4 \text{ см/с.}$$

$$(b) v_{\text{фаз}} = 18,3 \text{ см/с.}$$

$$35.9. \quad (a) \lambda = 1,7 \text{ см.}$$

$$(b) v = 13,6 \text{ Гц.}$$

$$35.10. \quad (a) v = 1,6 \text{ биений в секунду.}$$

$$(b) \Delta t = 0,03 \text{ с.}$$

$$(c) v = 363 \text{ м/с.}$$

$$35.11. \quad (a) v_{\text{м}} \approx 10 \text{ биений в секунду.}$$

$$(b) v_{\text{р}} = v_{\text{м}}.$$

$$35.12. \quad (c) \omega_0 = (7/6)(v\pi/a).$$

$$35.13. \quad (a) \frac{d^2x}{dt^2} + \omega_0^2x + k(x-y)/m_1 = 0;$$

$$\frac{d^2y}{dt^2} + \omega_0^2y + k(y-x)/m_2 = 0.$$

$$(b) (1) \omega^2 = \omega_0^2, \text{ если } A/B = 1;$$

$$(2) \omega^2 = \omega_0^2 + k/m_1 + k/m_2, \text{ если } A/B = -m_2/m_1.$$

$$35.14. \quad (1) \omega = \sqrt{g/l}, \text{ если } x_1 = x_2 = x_3.$$

$$(2) \omega = \sqrt{g/l + k/m}, \text{ если } x_1 = -x_3 \text{ и } x_2 = 0.$$

$$(3) \omega = \sqrt{g/l + 2k/m}, \text{ если } x_1 = x_3 \text{ и } x_2 = -x_3.$$

$$35.15. \quad \text{Существуют две моды колебаний с периодами}$$

$$T = T_0 / \sqrt{2,62}; \quad T = T_0 / \sqrt{0,38}, \text{ где } T_0 = 2\pi\sqrt{l/K}.$$

$$35.16. \quad \text{Существуют две нормальные моды колебаний с частотами}$$

$$\omega = \omega_0\sqrt{0,38}; \quad \omega = \omega_0\sqrt{2,62}, \text{ где } \omega_0 = \sqrt{k/m}.$$

$$35.17. \quad (a) \text{Существуют две фундаментальные моды с частотами}$$

$$\omega = \omega_0\sqrt{2}; \quad \omega = \omega_0\sqrt{6}, \text{ где } \omega_0 = \sqrt{k/m}.$$

$$35.18. \quad E = 0,25\sigma\omega^2A^2\lambda.$$

$$35.19. \quad (a) T_{\text{мин}} \approx h^2/(2mL^2).$$

$$(b) T_{\text{мин}} = h^2/(8mL^2).$$

$$(c) \langle p \rangle = 0.$$

Глава 36

$$36.3. \quad (a) \quad g(x) = \frac{1}{2} - \frac{4}{\pi^2} \left(\cos x + \frac{1}{9} \cos 3x + \frac{1}{25} \cos 5x + \dots \right).$$

$$36.5. \quad A_1/A_0 = 1, A_2/A_0 = 0, A_3/A_0 = 1/9.$$

$$36.6. \quad h(x) = \frac{1}{2} - \frac{1}{\pi} \left(\sin x + \frac{1}{2} \sin 2x + \frac{1}{3} \sin 3x + \dots \right).$$

$$36.7. \quad (a) \quad T = 2L\sqrt{\sigma/S}.$$

$$(b) \quad y(x, t = T/2) = -y(x, t = 0).$$

$$36.8. \quad (a) \quad \langle V \rangle = 2V_0/\pi.$$

$$(b) \quad A_2 = 4V_0/(15\pi).$$

$$36.9. \quad (a) \quad V_{\text{вых}} = (1 + 3\varepsilon/4) \sin x - (\varepsilon/4) \sin 3x.$$

Глава 37

$$37.1. \quad (a) \quad M = 1,9 \cdot 10^{-9} \text{ кг} = 1,1 \cdot 10^{18} \cdot m_p.$$

$$(b) \quad F = 9,9 \cdot 10^{13} \text{ Н} \approx 1,1 \cdot 10^{10} \text{ тонна-силы}.$$

37.2. Для аппроксимации энергии могут использоваться две модели, в одной из которых половинки являются двумя полусферами, образующими сферу, а в другой две половинки являются соседними сферами. Расстояния между центрами зарядов в этих случаях отличаются друг от друга, а результирующие энергии отличаются примерно в полтора раза. Мы использовали вторую модель, сосредоточив заряды в центрах двух равных сфер.

$$(a) \quad W_{\text{U}} = 4,1 \cdot 10^{-11} \text{ Дж/атом} = 2,9 \cdot 10^7 \text{ кВт-ч/кг}.$$

$$(b) \quad W_{\text{He}} = 7,6 \cdot 10^{-14} \text{ Дж/атом} = 3,1 \cdot 10^6 \text{ кВт-ч/кг}.$$

$$37.3. \quad \langle v \rangle = 1,4 \cdot 10^{-4} \text{ м/с}, \quad \langle v \rangle^2/c^2 = 2,2 \cdot 10^{-25}.$$

$$37.4. \quad (a) \quad B = 10^{-2} \text{ Вб/м}^2 = 100 \text{ Гс}.$$

(б) Вы не можете определить заряд мюонов из этого эксперимента, потому что направление как электрической, так и магнитной сил изменяется вместе с изменением знака заряда.

$$37.5. \quad (a) \quad \text{Траектория частицы является окружностью радиусом } R = mv/(qB_0).$$

(б) Согласно уравнениям Максвелла, циркуляция вектора \mathbf{B} по любой замкнутой траектории равна нулю. Предположим, что поле \mathbf{B} заполняет конечный объем вокруг начала координат. Рассмотрим траекторию в виде лежащего в плоскости x, z прямоугольника, у которого один угол находится в начале координат $(0, 0, 0)$, а диагонально противоположный угол – в точке $(\Delta x, 0, \Delta z)$. Циркуляция вектора \mathbf{B} вдоль этого прямоугольника равна $(B_0 + a\Delta x)\Delta z - B_0\Delta z = a\Delta x\Delta z \neq 0$.

37.6.

$$(a) B_0 = \frac{mv_0}{aq} - \frac{Q}{4\pi\epsilon_0 a_2 v_0}.$$

(б) Магнитная сила всегда перпендикулярна вектору скорости v и не изменяет его амплитуду. Электрическое поле можно получить из выражения для потенциала, поэтому изменение кинетической энергии под влиянием силы электростатического взаимодействия зависит только от расстояния r между зарядами. Изменение этой кинетической энергии равно $0,5(mv^2 - mv_0^2)$. Поскольку она зависит только от r , скорость v является функцией r .

Глава 38

38.1.

(a) Вектор ∇T является радиально симметричным и направленным внутрь. Для цилиндра радиусом r

$$\nabla T = \frac{dT}{dr} \mathbf{e}_r = -\frac{(T_1 - T_2)}{\ln(b/a)} \frac{\mathbf{e}_r}{r}, \text{ где } \mathbf{e}_r \text{ — единичный радиус-вектор.}$$

(б) $T_1 - T_2 = 1,2 \text{ К.}$

38.3.

Отмечая, что $\mathbf{R} = x\mathbf{e}_x + y\mathbf{e}_y + z\mathbf{e}_z$,

$$(a) \nabla \cdot \mathbf{R} = \partial x / \partial x + \partial y / \partial y + \partial z / \partial z = 1 + 1 + 1 = 3.$$

$$(б) \nabla \times \mathbf{R} = (\partial z / \partial y - \partial y / \partial z) \mathbf{e}_x + (\partial x / \partial z - \partial z / \partial x) \mathbf{e}_y + (\partial y / \partial x - \partial x / \partial y) \mathbf{e}_z = 0$$

(поскольку каждый член = 0).

$$(в) \nabla \cdot (\mathbf{R} / R^3) = \frac{\partial}{\partial x} \frac{x}{R^3} + \frac{\partial}{\partial y} \frac{y}{R^3} + \frac{\partial}{\partial z} \frac{z}{R^3} = \left(\frac{1}{R^3} - \frac{3x^2}{R^5} \right) + \left(\frac{1}{R^3} - \frac{3y^2}{R^5} \right) + \left(\frac{1}{R^3} - \frac{3z^2}{R^5} \right) =$$

$$= \frac{3}{R^3} - \frac{3(x^2 + y^2 + z^2)}{R^5} = \frac{3}{R^3} - \frac{3R^2}{R^5} = 0.$$

$$(г) \nabla \times (\mathbf{R} / R^3) = \left(\frac{\partial}{\partial y} \frac{z}{R^3} - \frac{\partial}{\partial z} \frac{y}{R^3} \right) \mathbf{e}_x + \left(\frac{\partial}{\partial z} \frac{x}{R^3} - \frac{\partial}{\partial x} \frac{z}{R^3} \right) \mathbf{e}_y + \dots =$$

$$= \left(\frac{3yz}{R^5} - \frac{3yz}{R^5} \right) \mathbf{e}_x + \dots = 0.$$

$$(д) \nabla(1/R) = \frac{\partial}{\partial x} \frac{1}{(x^2 + y^2 + z^2)^{1/2}} \mathbf{e}_x + \frac{\partial}{\partial y} \frac{1}{R} \mathbf{e}_y + \frac{\partial}{\partial z} \frac{1}{R} \mathbf{e}_z =$$

$$= -\frac{1}{2} \frac{2x}{(x^2 + y^2 + z^2)^{3/2}} - \frac{\partial}{\partial y} \frac{y}{R^3} - \frac{\partial}{\partial z} \frac{z}{R^3} =$$

$$= -\frac{(x\mathbf{e}_x + y\mathbf{e}_y + z\mathbf{e}_z)}{R^3} = -\mathbf{R} / R^3.$$

(е) $\varphi = R^2/2 + \text{const.}$

38.4. (а) Вычисляя дивергенцию от обеих частей уравнения (2), получим

$$\nabla \cdot (\nabla \times \mathbf{E}) = \nabla \cdot \left(-\frac{\partial}{\partial t} \mathbf{B} \right) = -\frac{\partial}{\partial t} (\nabla \cdot \mathbf{B}),$$

но поскольку дивергенция ротора всегда равна нулю [см. уравнение (2.59, з) из т. II «Лекций»], то левая часть этого уравнения равна нулю, что согласуется с формулой $\nabla \cdot \mathbf{B} = 0$.

(б) Дивергенция от левой части уравнения (4)

$$\nabla \cdot (c^2 \nabla \times \mathbf{B}) = c^2 \nabla \cdot (\nabla \times \mathbf{B}) = 0.$$

Она должна быть равна дивергенции от правой части этого же уравнения, поэтому

$$0 = \nabla \cdot \left(\frac{\partial \mathbf{E}}{\partial t} + \frac{\mathbf{j}}{\varepsilon_0} \right) = \frac{\partial}{\partial t} \nabla \cdot \mathbf{E} + \frac{\nabla \cdot \mathbf{j}}{\varepsilon_0} = \frac{\partial}{\partial t} (\rho / \varepsilon_0) + \frac{\nabla \cdot \mathbf{j}}{\varepsilon_0}.$$

(в) Если использовать уравнение (2.59, д) из т. II «Лекций», то получим, что ротор от левой части уравнения (2)

$$\nabla \times (\nabla \times \mathbf{E}) = \nabla (\nabla \cdot \mathbf{E}) - \nabla^2 \mathbf{E}.$$

Он должен быть равен ротору от правой части этого же уравнения

$$\nabla \times \left(-\frac{\partial \mathbf{B}}{\partial t} \right) = -\frac{\partial}{\partial t} (\nabla \times \mathbf{B}) = -\frac{1}{c^2} \frac{\partial}{\partial t} \left(\frac{\partial \mathbf{E}}{\partial t} + \frac{\mathbf{j}}{\varepsilon_0} \right),$$

в то время как в пустом пространстве $\nabla \cdot \mathbf{E} = \rho / \varepsilon_0 = 0$ и $\mathbf{j} = 0$.

(з) Для $\mathbf{j} = 0$ ротор от уравнения (4) дает

$$c^2 \nabla \times (\nabla \times \mathbf{B}) = \frac{d}{dt} (\nabla \times \mathbf{E}).$$

Применяя уравнение (2.59, д) из т. II «Лекций» к левой части этого уравнения, а в правой части делая замену с учетом уравнения (2), получаем

$$c^2 \nabla (\nabla \cdot \mathbf{B}) - c^2 \nabla^2 \mathbf{B} = -\frac{\partial^2 \mathbf{B}}{\partial t^2}.$$

Но из уравнения (3) следует, что $\nabla \cdot \mathbf{B} = 0$

(д) Используя уравнение (2.59, б) из т. II «Лекций» и применяя уравнение (2), получаем

$$\nabla \times \left(-\nabla \varphi - \frac{\partial \mathbf{A}}{\partial t} \right) = -\nabla \times (\nabla \varphi) - \nabla \times \left(\frac{\partial \mathbf{A}}{\partial t} \right) = -\frac{\partial}{\partial t} (\nabla \times \mathbf{A}) = -\frac{\partial \mathbf{B}}{\partial t} = \nabla \times \mathbf{E}.$$

(е) Уравнение (3) гласит, что $\nabla \cdot \mathbf{B} = 0$. Используя уравнение (2.51) из т. II «Лекций», получаем, что вектор \mathbf{B} может быть записан как $\nabla \times \mathbf{A}$.

38.5. Пусть z — это ось вращения, тогда

$$\mathbf{v} = v \left[-\frac{y}{\sqrt{x^2 + y^2}} \mathbf{e}_x + \frac{x}{\sqrt{x^2 + y^2}} \mathbf{e}_y \right] = \omega (-y \mathbf{e}_x + x \mathbf{e}_y) \text{ для постоянного радиуса } r$$

(а) $\nabla \cdot \mathbf{v} = \omega \left[-\frac{\partial y}{\partial x} + \frac{\partial x}{\partial y} \right] = 0.$

(б) $\nabla \times \mathbf{v} = \begin{vmatrix} \mathbf{e}_x & \mathbf{e}_y & \mathbf{e}_z \\ \partial/\partial x & \partial/\partial y & \partial/\partial z \\ -\omega y & \omega x & 0 \end{vmatrix} = 0 \mathbf{e}_x + 0 \mathbf{e}_y + (\omega - (-\omega)) \mathbf{e}_z = 2\omega \mathbf{e}_z.$

- 38.6. (а) Если $\mathbf{A} = A_x \mathbf{e}_x + A_y \mathbf{e}_y + A_z \mathbf{e}_z$ и $\mathbf{R} = x\mathbf{e}_x + y\mathbf{e}_y + z\mathbf{e}_z$,
то $\mathbf{A} \times \mathbf{R} = (zA_y - yA_z)\mathbf{e}_x + (xA_z - zA_x)\mathbf{e}_y + (yA_x - xA_y)\mathbf{e}_z$.

$$\nabla \times (\mathbf{A} \times \mathbf{R}) = \left[\frac{\partial}{\partial y} (\mathbf{A} \times \mathbf{R})_z - \frac{\partial}{\partial z} (\mathbf{A} \times \mathbf{R})_y \right] \mathbf{e}_x + \dots =$$

$$= [A_x - (-A_x)] \mathbf{e}_x + \dots = 2[A_x \mathbf{e}_x + A_y \mathbf{e}_y + A_z \mathbf{e}_z] = 2\mathbf{A}.$$

(б) Для доказательства того, что $\mathbf{B} \times (\mathbf{A} \times \mathbf{C}) = \mathbf{A}(\mathbf{B} \cdot \mathbf{C}) - (\mathbf{B} \cdot \mathbf{A})\mathbf{C}$, необходимо, чтобы $A_x(B_x C_x) = C_x(A_x B_x)$, но при этом $A_x(\partial x / \partial x) \neq x(\partial A_x / \partial x)$. Правильное выражение имеет вид

$$\nabla \times (\mathbf{A} \times \mathbf{B}) = \mathbf{A}(\nabla \cdot \mathbf{B}) - (\nabla \cdot \mathbf{A})\mathbf{B} + (\mathbf{B} \cdot \nabla)\mathbf{A} - (\mathbf{A} \cdot \nabla)\mathbf{B}.$$

- 38.7. (б) $\nabla \cdot \mathbf{h}$ является наибольшим в точке B , а по абсолютной величине максимум достигается в точке D .
(в) $\nabla \times \mathbf{h} = 0$ везде. (Вектор \mathbf{h} пропорционален ∇T , а ротор градиента всегда равен нулю.)

Глава 39

- 39.1. (б) Проинтегрируем обе части уравнения по фиксированному объему V , ограниченному поверхностью S и воспользуемся теоремой Гаусса:

$$\int_V \nabla \cdot \mathbf{j} dV = - \int_V \frac{d\rho}{dt} dV;$$

$$\int_S \mathbf{j} \cdot \mathbf{n} da = - \frac{d}{dt} \int_V \rho dV.$$

Другими словами, [чистый ток, выходящий из объема V] = -[скорость изменения полного заряда внутри V], т. е. «заряд сохраняется».

- 39.2. Магнитное поле не создается.

- 39.3. (а) $\int_S \mathbf{E} \cdot \mathbf{n} da = 4\pi K$.

(б) Подсказка. Для того чтобы избежать сингулярности $\nabla \cdot \mathbf{E}$ в начале координат, замените точечный заряд «эквивалентной», равномерно заряженной сферой и возьмите предел при стремлении радиуса сферы к нулю.

(в) Выражение $\mathbf{E} \cdot d\mathbf{s}$ обладает свойством антисимметричности относительно начала координат, поэтому соответствующие куски линейного интеграла на противоположных сторонах относительно начала координат взаимно уничтожаются. Таким образом,

$$\oint \mathbf{E} \cdot d\mathbf{s} = 0.$$

С другой стороны, согласно теореме Стокса,

$$\oint_{\Gamma} \mathbf{E} \cdot d\mathbf{s} = \int_S (\nabla \times \mathbf{E}) \cdot \mathbf{n} da$$

для любой поверхности S , стягиваемой кривой Γ , но $\nabla \times \mathbf{E} = 0$ в электростатике, поэтому интеграл по контуру снова равен нулю.

39.4. (а) $V = -\int \mathbf{R} \cdot \mathbf{n} \, da$, где \mathbf{n} — вектор единичной нормали к элементу поверхности da .

(б) (1) Для сферы радиуса r , $\mathbf{R} \cdot \mathbf{n} = r$, поэтому

$$V = \frac{r}{3} \int_S da = \frac{r}{3} (4\pi r^2) = \frac{4}{3} \pi r^3.$$

(2) Для прямоугольного блока с длинами ребер соответственно L_1, L_2, L_3 рассмотрим одну грань (скажем, с ребрами L_1 и L_2). На этой грани $\mathbf{R} \cdot \mathbf{n} = L_3/2$, поэтому вычисление интеграла в части (а) дает $(1/3)(L_3/2)(L_1 L_2) = L_1 L_2 L_3/6$. Из соображений симметрии этот интеграл одинаков по каждой из 6 граней, поэтому $V = L_1 L_2 L_3$.

Глава 40

40.1. (а)
$$\phi(P) = \frac{\lambda}{4\pi\epsilon_0} \ln \left(\frac{l_2 + \sqrt{r^2 + l_2^2}}{-l_1 + \sqrt{r^2 + l_1^2}} \right).$$

(б) Для $r \gg (l_1 + l_2)$.

$$\phi(P) \approx \frac{\lambda}{4\pi\epsilon_0} \ln \left(\frac{r + l_2}{r - l_1} \right) \approx \frac{\lambda(l_1 + l_2)}{4\pi\epsilon_0 r} = \frac{q}{4\pi\epsilon_0 r},$$

где q — полный заряд

(в) Для точки P , находящейся очень близко к заряженной нити (но не у ее концов), из соображений симметрии ясно, что поле должно быть приблизительно радиальным. Таким образом, для $r \ll (l_1 + l_2)$

$$\phi(P) \approx \frac{\lambda}{4\pi\epsilon_0} \ln \left(\frac{2l_2}{r^2/2l_1} \right) \approx \frac{\lambda}{4\pi\epsilon_0} \ln \left(\frac{4l_1 l_2}{r^2} \right), \text{ поэтому}$$

$$\mathbf{E}(P) = -\frac{\partial\phi}{\partial r} \mathbf{e}_r \approx \frac{\lambda}{2\pi\epsilon_0 r} \mathbf{e}_r.$$

Применяя закон Гаусса к цилиндрической поверхности, окружающей длину

Δz заряженной нити, получаем, что $\int_S \mathbf{E} \cdot \mathbf{n} da \approx 2\pi r \Delta z E_r = \frac{\lambda \Delta z}{\epsilon_0}$. Таким образом,

$E(P) \approx [\lambda/(2\pi\epsilon_0 r)] \mathbf{e}_r$, что является контрольной проверкой.

40.2.
$$\mathbf{E}(P) = \frac{\sigma}{2\epsilon_0} \left(1 - \frac{r}{\sqrt{r^2 + R^2}} \right) \mathbf{e}_r.$$

40.3. (а) Используйте $E_r = \begin{cases} 0, & \text{для } r < r_a \\ q'/(4\pi\epsilon_0 r^2), & \text{для } r_a < r < r_b \\ 0, & \text{для } r_b < r < r_c \\ (q + q')/(4\pi\epsilon_0 r^2), & \text{для } r > r_c \end{cases}.$

(б)
$$\phi(r) = \frac{1}{\pi\epsilon} \left[\frac{(q - q')}{r_c} - q' \left(\frac{1}{r_b} - \frac{1}{r_a} \right) \right].$$

(в) Область $r_b < r < r_c$ находится внутри проводника, где поле всегда равно нулю; поле в области $r > r_c$ снаружи внешнего проводника не изменяется.

Глава 41

- 41.1. Если начало координат поместить в центр сферы S , имеющей радиус r , и воспользоваться сферическими координатами (r, θ, ψ) , то среднее значение потенциала ϕ по всей сфере S

$$\langle \phi(r) \rangle_S = \frac{1}{4\pi r^2} \int_S \phi(r, \theta, \psi) da = \frac{1}{4\pi} \int_0^{2\pi} \int_0^\pi \phi(r, \theta, \psi) \sin \theta d\theta d\psi,$$

$$\text{поэтому } \frac{d\langle \phi(r) \rangle_S}{dr} = \frac{1}{4\pi} \int_0^{2\pi} \int_0^\pi \frac{d\phi}{dr} \sin \theta d\theta d\psi = -\frac{1}{4\pi r^2} \int_S \mathbf{E} \cdot \mathbf{n} da = 0,$$

так как заряд внутри сферы отсутствует. Таким образом,

$$\langle \phi(r) \rangle_S = \text{const} = \lim_{r \rightarrow 0} \langle \phi(r) \rangle_S = \phi(0).$$

- 41.2. $\mathbf{E}(r) = [\rho r / (2\varepsilon_0)] \mathbf{e}_r$ на расстоянии r от *оси* цилиндра. Для сферы $\mathbf{E}(r) = [\rho r / (3\varepsilon_0)] \mathbf{e}_r$ на расстоянии r от *центра* сферы.

- 41.3. Когда пластины параллельны плоскости x, y , $\mathbf{E}_1 = (2\sigma / 3\varepsilon_0) \mathbf{e}_z$,
 $\mathbf{E}_2 = -(\sigma / 3\varepsilon_0) \mathbf{e}_z$.

41.4.
$$E_x(x) = \int_{-\infty}^x \frac{\rho(\xi) d\xi}{2\varepsilon_0} - \int_x^{\infty} \frac{\rho(\xi) d\xi}{2\varepsilon_0}.$$

- 41.5. (а) $\sigma_s = 0$.

(б) $\sigma_k = \frac{4}{3} k \varepsilon_0 d^{1/3}$.

(в) $\rho(x) = -\frac{4}{9} \varepsilon_0 k x^{-2/3}$.

- 41.6. Плотность заряда на элементе поверхности da создает поле $\sigma / (2\varepsilon_0)$, вектор которого направлен по нормали к da . Когда этот элемент является частью поверхности металла, поле равно σ / ε_0 вне металла и нулю внутри металла. По принципу суперпозиции заряды на остальной части металла (другой по отношению к элементу da) должны создавать поле $\sigma / (2\varepsilon_0)$. Это поле воздействует на элемент da с силой, нормальной к da и равной по величине σda [$\sigma / (2\varepsilon_0) = [\sigma^2 / (2\varepsilon_0)] da$].

- 41.7. (а) $N_e / N_a \approx 1/3000$.

(б) $F_e / F_a \approx 1/6000$.

- 41.8. (а) $\omega = 1,7 \cdot 10^{22} \text{ с}^{-1}$ ($f = \omega / 2\pi = 2,7 \cdot 10^{21} \text{ Гц}$).

(б) $\hbar\omega = 1,8 \cdot 10^{-12} \text{ Дж} = 11 \text{ МэВ}$.

(в) 11 МэВ является приблизительно такой же энергией, какой обладает рентгеновское излучение, испускаемое при остановке мезона в свинце с образованием мюонного атома в предположении, что мюоны захватываются сначала возбужденным состоянием атома, а затем совершают переход в более низкое состояние.

- 41.9. (а) На объект массой m в туннеле, прорытом вдоль диаметра Земли, будет действовать на расстоянии r от центра Земли сила, направленная к ее центру и равная по величине

$$F = \frac{GMmr^3/R^3}{r^2} = \frac{mg}{R}r, \text{ где } M \text{ — масса Земли, а } R \text{ — ее радиус. Таким образом, объект совершает гармоническое движение в соответствии с уравнением}$$

$m\ddot{r} = -(mg/R)r$ с угловой частотой $\omega = \sqrt{g/R}$. Орбитальное движение прямо на поверхности Земли должно иметь угловую частоту, определяемую формулой $m\omega^2 R = mg$, поэтому в этом случае частота также равна $\omega = \sqrt{g/R}$.

(б) $P = 1,4$ ч.

- 41.10. Данная модель предсказывает, что температура на поверхности Земли должна быть около $-50\,000$ °С, что существенно холодней, чем на самом деле.

- 41.11. (а) 1) $E(r) = \frac{\lambda_1}{2\pi\epsilon_0 r} e_r$ для $r_2 \leq r \leq r_3$; 2) $E(r_1) = \frac{\lambda_1 + \lambda_2}{2\pi\epsilon_0 r_4} e_r$, где e_r — единичный радиус-вектор.

(б) $\Delta\phi = \frac{\lambda_1}{2\pi\epsilon_0} \ln \frac{r_3}{r_2}$.

(в) 1) Поля и потенциалы не изменятся. 2) Поле будет равно нулю для $r < r_2$ и таким же, как раньше, для $r > r_2$. При этом $\Delta\phi$ уменьшится. 3) Поле внутри квадрата исчезнет. Поле между цилиндрами будет искажено (силовые линии поля должны оставаться перпендикулярными обеим поверхностям). Поле для $r > r_2$ не изменится.

Глава 42

- 42.1. Сила будет силой притяжения.

$$F_x = -\frac{Q^2}{4\pi\epsilon_0} \left[\frac{1}{4a^2} - \frac{a}{4(a^2 + b^2)^{3/2}} \right];$$

$$F_y = -\frac{Q^2}{4\pi\epsilon_0} \left[\frac{1}{4b^2} - \frac{b}{4(a^2 + b^2)^{3/2}} \right].$$

- 42.2. (а) К.Э. = $\frac{q^2}{16\pi\epsilon_0} \left(\frac{1}{x} - \frac{1}{x_0} \right)$.

(б) Нет физического смысла, поскольку это выражение стремится к бесконечности для $x \rightarrow 0$. Некорректно при малых x вследствие поверхностной структуры.

(в) К.Э. = 3,6 эВ.

- 42.4. $T = 2,6 \cdot 10^6$ с (один месяц).

- 42.5. (а) $C_l = \frac{2\pi\epsilon_0}{\ln(b/a)}$.

(б) Емкость C_l должна уменьшаться в области дефекта.

$$42.6. \quad (a) \quad \phi = \frac{1}{4\pi\epsilon_0} \frac{q}{b}.$$

$$(б) \quad \sigma(\theta) = \frac{q}{4\pi} \left[\frac{1}{ab} - \frac{b^2 - a^2}{a(a^2 + b^2 - 2ab \cos \theta)^{3/2}} \right].$$

$$(в) \quad F = \frac{a}{b^2} qV - \frac{ab}{(b^2 - a^2)^2} \frac{q^2}{4\pi\epsilon_0}.$$

42.7. Вне шара поле такое же, как если бы полный заряд был сконцентрирован в его центре. Таким образом, поле вне двух шаров радиусом a и плотностью заряда $\pm\rho$ является полем диполя с дипольным моментом $p = (4/3)\pi a^3 \rho d$, где d — расстояние между центрами шаров. Внутри однородно заряженного шара с плотностью заряда $\pm\rho$ поле на расстоянии радиуса r равно $E^\pm = (\pm\rho/3\epsilon_0) e_z$. Поле диполя является суммой полей $E = E^+ + E^-$ и антипараллельно диполю. Из подобия треугольников следует, что $E/E^+ = d/r$. Таким образом, $E = -(r/3\epsilon_0) de_z$, где e_z — единичный вектор, параллельный диполю. Но $\sigma_0 = \rho d$, следовательно, поле диполя вне шаров обладает моментом $p = (4/3)\pi a^3 \sigma_0$, в то время как поле внутри шаров равно $E = -(\sigma_0/3\epsilon_0) e_z$.

$$42.8. \quad (a) \quad E_r = \frac{P}{2\pi\epsilon_0 r^2} \cos \theta;$$

$$E_\theta = -\frac{P}{2\pi\epsilon_0 r^2} \sin \theta.$$

(б) Точки прямой, проходящей через диполь, имеют одинаковые координаты θ и ϕ (изменяется только r). Направление электрического поля определяется отношением $E_\theta/E_r = 0,5 \operatorname{tg} \theta$, поэтому оно одинаково для всех таких точек.

(в) Для $\theta = 0, \pi/4$ и $\pi/2$ углы между E и p равны соответственно $0, \operatorname{arctg} 3$ и π , в то время как отношения напряженностей E в этих направлениях равны $4 : \sqrt{10} : 2$.

42.9. (а) Используйте принцип суперпозиции: если рассматривать диполь и поле в направлении оси x , полный потенциал в точке (x, y, z) будет

$$\phi = -E_0 x + \frac{px}{4\pi\epsilon_0 (x^2 + y^2 + z^2)^{3/2}}.$$

Считая $\phi = 0$ и делая перестановку, получаем уравнение

$$x^2 + y^2 + z^2 = \left(\frac{p}{4\pi\epsilon_0 E_0} \right)^{2/3},$$

которое является уравнением сферы радиусом $a = (p/4\pi\epsilon_0 E_0)^{1/3}$.

$$(б) \quad p = 4\pi\epsilon_0 E_0 a^3.$$

(в) Поле не может измениться.

$$(г) \quad \sigma(\theta) = 3\epsilon_0 E_0 \cos \theta.$$

(д) $p = 4\pi\epsilon_0 E_0 a^3$ (это аналогично другому примеру, приведенному в разд. 6-4 из т. II «Лекций», с тем же самым моментом, использованным там для простоты)

(е) Любая задача, в основе которой имеется аналогичная «потенциальная» зависимость, может быть решена подобным образом.

42.10. (а) 1) $F \approx (p\lambda/2\pi\epsilon_0 r^2) \mathbf{e}_r$, и $\tau = 0$. 2) $F = 0$ и направление $\tau = p\lambda/(2\pi\epsilon_0 r)$ перпендикулярно плоскости, проходящей через проволоку и частицу.
 (б) Пусть \mathbf{r} — радиус-вектор отрицательного заряда диполя $-q$, а \mathbf{d} — вектор, идущий от отрицательного заряда диполя $-q$ к его положительному заряду $+q$. Тогда полная сила, действующая на диполь в электрическом поле \mathbf{E} , равна $F = q[\mathbf{E}(\mathbf{r}+\mathbf{d})-\mathbf{E}(\mathbf{r})]$. Для небольших значений \mathbf{d} можно считать, что $\mathbf{E}(\mathbf{r}+\mathbf{d})-\mathbf{E}(\mathbf{r}) = (\partial\mathbf{E}/\partial x)d_x + (\partial\mathbf{E}/\partial y)d_y + (\partial\mathbf{E}/\partial z)d_z = \nabla(\mathbf{d} \cdot \mathbf{E})$. Следовательно, $F = q\nabla(\mathbf{d} \cdot \mathbf{E}) = \nabla(q\mathbf{d} \cdot \mathbf{E}) = \nabla(\mathbf{p} \cdot \mathbf{E})$.

42.11. Вне пластины электрическое поле равно 0, поскольку поля положительного и отрицательного зарядов взаимно уничтожаются, так что потенциал является постоянным (не зависящим от r). Считая потенциал равным нулю в середине пластины, $\phi = Np/(2\epsilon_0)$ с одной стороны пластины и $\phi = -Np/(2\epsilon_0)$ с другой ее стороны.

42.12. (а)
$$\phi(P) = \frac{q}{4\pi\epsilon_0} \left(\frac{1}{\sqrt{x^2 + a^2}} - \frac{1}{x} \right).$$

(б)
$$\mathbf{E}(P) = \frac{q}{4\pi\epsilon_0} \left(\frac{x}{(x^2 + a^2)^{3/2}} - \frac{1}{x^2} \right) \mathbf{e}_x.$$

(в) Для $x \gg a$
$$\mathbf{E} \approx -\frac{3qa^2}{8\pi\epsilon_0 x^4} \mathbf{e}_x.$$

(г) Диполь в начале координат создал бы поле $E \sim 1/x^3$ (в отличие от рассматриваемого поля $E \sim 1/x^4$). В данном случае мы имеем вклад от дипольных моментов более высокого порядка. Один из способов увидеть это (а также убедиться, что дипольный момент заданной конфигурации равен нулю), состоит в том, чтобы заметить эффект «уничтожения диполей»: каждый диаметр кольца подобен двум равным и противоположно ориентированным диполям. «Момент более высокого порядка» является на самом деле *квадрупольным* моментом.

42.13. (а) $t_1 = 1000$ с.
 (б) $V = 1,5$ В.
 (в) Емкость уменьшается в 2 раза, поэтому на пластинах остается только половинный заряд, и поэтому $t_1 = 500$ с
 (г) Заряд не изменится, поэтому не изменится и время t_1 .

42.14. (а)

y (см)	0	0,5	1,0	2,0
E (В/м)	0	$\frac{(0,005)^3}{2\epsilon_0}$	$\frac{(0,01)^3}{2\epsilon_0}$	$\frac{(0,01)^3}{4\epsilon_0}$

(б) $\phi(0,0,0) \approx \frac{(0,01)^4}{8\epsilon_0} (3 + 8\ln 10)$ В (верхний предел).

(в) $\phi(0,5, 0, 0) < \phi(0, 0, 0)$.

Глава 43

- 43.1. (а) Предположим, что нити с линейной плотностью заряда $\pm \lambda$ идут параллельно оси z , пересекая ось x в точке $x = \pm d/2$. Потенциал на расстоянии r от заряженной нити с плотностью заряда λ равен $-(\lambda/2\pi\epsilon_0)\ln r$. Таким образом, полный потенциал в какой-либо точке на плоскости x, y

$$\phi = \frac{\lambda}{2\pi\epsilon_0} \ln \left(\frac{\sqrt{(x-d/2)^2 + y^2}}{\sqrt{(x+d/2)^2 + y^2}} \right).$$

Поэтому эквипотенциальные кривые должны удовлетворять уравнению $(x-d/2)^2 + y^2 = c((x+d/2)^2 + y^2)$ для некоторой постоянной c . Переписав это уравнение иначе, получим уравнение окружности: $\left(x - \left(\frac{1+c}{1-c}\right)\frac{d}{2}\right)^2 + y^2 = \frac{cd^2}{(1-c)^2}$.

(б) $C_1 \approx \frac{\pi\epsilon_0}{\ln(d/r)}$.

(в) Для $x, y \gg d$

$$\frac{\sqrt{(x-d/2)^2 + y^2}}{\sqrt{(x+d/2)^2 + y^2}} \approx \sqrt{\frac{x^2 + y^2 + xd}{x^2 + y^2 - xd}} \approx \sqrt{1 + \frac{2xd}{x^2 + y^2}}.$$

Вычисляя логарифм от правой части, получаем $\frac{1}{2} \ln \left(1 + \frac{2xd}{x^2 + y^2}\right) \approx \frac{xd}{x^2 + y^2}$.

Учитывая, что $1/z = 1/(x+iy) = (x-iy)/(x^2+y^2)$, получим

$$\phi = \frac{\lambda}{2\pi\epsilon_0} \ln \left(\frac{\sqrt{(x-d/2)^2 + y^2}}{\sqrt{(x+d/2)^2 + y^2}} \right) \approx \frac{\lambda}{2\pi\epsilon_0} \cdot \frac{xd}{x^2 + y^2} = \frac{\lambda d}{2\pi\epsilon_0} \operatorname{Re} \left(\frac{1}{z} \right).$$

Глава 44

- 44.1. Мы *должны* согласиться!

44.2. (а) $V_k = 3000$ В.

(б) $W = 4,05 \cdot 10^{-5}$ Дж.

44.3. (а) $\Delta U = \frac{(Q_1 + Q_2)^2}{2(C_1 + C_2)} - \left(\frac{Q_1^2}{2C_1} + \frac{Q_2^2}{2C_2} \right) = -\frac{1}{2} \left(\frac{C_1 C_2}{C_1 + C_2} \right) \left(\frac{Q_1}{C_1} - \frac{Q_2}{C_2} \right)^2 < 0$.

(б) Большая часть потерь энергии связана с ее переходом в тепло при протекании тока, возникающего в тот момент, когда происходит изменение зарядов на пластинах конденсаторов. Незначительная доля энергии будет испускаться в виде излучения.

(в) $\Delta U = 0$ только когда $V_1 = V_2$, где $V_1 = Q_1/C_1$ и $V_2 = Q_2/C_2$ — начальные напряжения на конденсаторах. Ток протекать не будет, пока напряжения на конденсаторах равны.

- 44.4. (а) Пусть \mathbf{r} — радиус-вектор отрицательного заряда диполя $-q$, и пусть $d\mathbf{e}_z$ — расстояние от отрицательного заряда диполя до его положительного заряда, так что дипольный момент равен $\mathbf{p} = qd\mathbf{e}_z$. Пусть потенциал ϕ электрического поля \mathbf{E} на бесконечности равен нулю. Переноса диполь из бесконечности в данную точку, мы совершаем работу

$$U = -q\phi(\mathbf{r}) + q\phi(\mathbf{r} + d\mathbf{e}_z) \approx q(d\partial\phi/\partial z) = (qd)(-E_z) = -\mathbf{p} \cdot \mathbf{E}.$$

(б) Для $\mathbf{p} = qd$, $\boldsymbol{\tau} = q(d/2) \times \mathbf{E} + (-q)(-d/2) \times \mathbf{E} = \mathbf{p} \times \mathbf{E}$, что равно $pE \sin\theta$, если угол между \mathbf{E} и \mathbf{p} равен θ . С другой стороны, $U = -\mathbf{p} \cdot \mathbf{E} = -pE \cos\theta$, и вращающий момент равен $\partial U/\partial\theta = pE \sin\theta$.

(в) Если диполь создан путем последовательного помещения зарядов в электрическое поле, то его электростатическая энергия будет отличаться. В том случае, если заряды оказывают друг на друга воздействие, то будет существовать член в уравнении, связанный с дополнительной энергией $-q^2/(4\pi\epsilon_0 d)$, соответствующей работе, затраченной на создание этого диполя.

- 44.5. Энергия, запасенная в конденсаторе, равна $U = Q^2/(2C)$; при этом его емкость равна $C = \epsilon_0 A/x$, где x — расстояние между пластинами конденсатора.

Таким образом, $U = [Q^2/(2\epsilon_0 A)]x$. Сила, действующая на пластины, равна $F = -\partial U/\partial x = -Q^2/(2\epsilon_0 A)$ и является отрицательной, указывая на тот факт, что это сила притяжения между пластинами конденсатора.

- 44.6. $r_\pi \approx 2 \cdot 10^{-14}$ см

44.7. (а)
$$W_a = \frac{q_1^2}{8\pi\epsilon_0} \left(\frac{1}{b} - \frac{1}{a} \right).$$

(б)
$$W_b = W_a + \frac{q_1 q_2}{4\pi\epsilon_0 b}.$$

Глава 45

- 45.1. (а) Если пренебречь краевыми эффектами, то электрическое поле между пластинами конденсатора является однородным и перпендикулярно пластинам, поэтому полная емкость конденсатора равна $C = (Q_1 + Q_2)/V = C_1 + C_2$, где Q_1 и Q_2 — это свободные заряды каждой половины пластины конденсатора, а C_1 и C_2 — емкости каждой половины пластины конденсатора, в то время как V — разность потенциалов между пластинами. Площадь каждой половины пластины равна $A/2$, поэтому $C_1 = \kappa_1 \epsilon_0 (A/2)/d$, а $C_2 = \kappa_2 \epsilon_0 (A/2)/d$. Таким образом, $C = C_1 + C_2 = (\epsilon_0 A/d) (\kappa_1 + \kappa_2)/2$.

(б) Если на пластинах поддерживается разность потенциалов V , то

$$V = \phi_{\text{нижн}} - \phi_{\text{верхн}} = - \int_{\text{нижн}}^{\text{верхн}} \mathbf{E} \cdot d\mathbf{s} = E_1 d = E_2 d, \text{ поскольку линейный интеграл}$$

может быть выбран в любой области. Если мы теперь установим связь между электрическим полем (напряженностью V/d) и поверхностным зарядом на пластинах, то мы можем рассчитать полный заряд Q и, таким образом, получить полную емкость C . Для этого мы воспользуемся уравнением (10-26) из т. II «Лекций», а именно $\nabla \cdot (\kappa \mathbf{E}) = \rho_{\text{своб}}/\epsilon_0$. В результате получим

$$\int_S \kappa \mathbf{E} \cdot \mathbf{n} da = \int_V \frac{\rho_{\text{своб}}}{\epsilon_0} dV = \frac{Q_{\text{своб}}}{\epsilon_0}.$$

В металле $E = 0$, поэтому $\kappa_1 E_1 da = (s_{1 \text{ своб}}/\epsilon_0) da$. Таким образом, $(Q_1)_{\text{своб.}} = \sigma_{1 \text{ своб}} (A/2) = \epsilon_0 \kappa_1 E_1 (A/2) = (\epsilon_0 A/d)(\kappa_1/2)V$. Поэтому $C = [(Q_1)_{\text{своб.}} + (Q_2)_{\text{своб.}}]/V = (\epsilon_0 A/d)(\kappa_1 + \kappa_2)/2$.

45.2. (а) $F = 7,1 \cdot 10^{-8}$ Н.

(б) $P = 1,1 \cdot 10^{-8}$ Кл/м². Вектор направлен сверху вниз, если считать верхнюю пластину заряженной положительно.

(в) Присутствие металлических шариков в диэлектрике может снизить разность потенциалов между пластинами.

45.3. Если поле в пустой области между пластинами равно E_0 , то в диэлектрике это поле снизится до величины $E_d = E_0/\kappa$. Напряжение между пластинами является суммой напряжений между пустыми областями и областями, заполненными диэлектриком: $V = E_0(d - t) + E_d t$. Поэтому заряд на пластинах равен $Q = CV = C[E_0(d - t) + (E_0/\kappa)t]$. Однако если диэлектрик убрать, то напряжение между пластинами станет равным $V_0 = E_0 d$, а заряд $Q = C_0 V_0 = C_0 E_0 d$. Таким образом, $C_0 E_0 d = C[E_0(d - t) + (E_0/\kappa)t]$. Решая это уравнение относительно C , получим желаемый результат.

45.4. (а) $\sigma_{\text{пол}}(\text{внутренняя поверхность}) = -\left(\frac{\kappa - 1}{\kappa}\right) \frac{Q}{4\pi a^2}$.

(б) $\sigma_{\text{пол}}(\text{внешняя поверхность}) = \left(\frac{\kappa - 1}{\kappa}\right) \frac{Q}{4\pi b^2}$.

(в) Внутри диэлектрика $\rho_{\text{пол}} = 0$.

45.5. (а) Если батарея сообщит конденсатору заряд Δq при потенциале V , то она совершит работу $W_{\text{бат}} = \Delta q V$. Перед тем как вставили диэлектрик, емкость конденсатора была равна $C = q/V = \epsilon_0 A/d$, где d — расстояние между его пластинами. После того как вставили диэлектрик, емкость стала равна $C' = q'/V = \kappa \epsilon_0 A/d$ (см. уравнение (10.10) из т. II «Лекций»), поэтому $q' = \kappa q$ и

$$W_{\text{бат}} = (q' - q)V = qV(\kappa - 1).$$

(б) $W_{\text{мех}} = -0,5 qV(\kappa - 1)$ — эта работа была совершена над «агентом», вставившим диэлектрик.

(в) В любом процессе, где сохраняется разность потенциалов между пластинами конденсатора в то время, как его емкость изменяется, $W_{\text{бат}} = -2W_{\text{мех}}$.

45.6. Когда будет достигнуто равновесие, батарея может быть отсоединена без какого-либо эффекта, поэтому мы рассматриваем только работу, совершенную электрической силой и силой тяжести: $\Delta U_{\text{тяж}} = -\Delta U_{\text{эл}}$. Центр масс перемещенного масла находится на высоте $H/2$. Таким образом, для малого перемещения верхнего уровня масла ΔH работа, совершенная силой тяжести, будет равна

$$U_{\text{тяж}} = \Delta(mgH/2) = \pi(b^2 - a^2)H\rho g\Delta H \quad (\text{в предположении, что нижний уровень масла не будет изменяться}).$$

Поскольку заряд на трубках остается постоянным, в то время как емкость C изменяется в присутствии масла между ними, электрическая сила совершит работу $\Delta U_{\text{эл}} = \Delta(Q^2/2C) = - (Q^2/2C^2) \Delta C = - (V^2/2) \Delta C$. Емкость на единицу длины между коаксиальными цилиндрическими проводниками с диэлектриком между ними равна $C_l = 2\pi\epsilon_0\kappa/\ln(b/a)$ (сравните с задачей 42.5). Поэтому $\Delta C = 2\pi\epsilon_0(\kappa - 1) \Delta H/\ln(b/a)$. Складывая все вместе, получаем $\pi(b^2 - a^2)H\rho g\Delta H = (V^2/2)2\pi\epsilon_0(\kappa - 1) \Delta H/\ln(b/a)$. Решая это уравнение относительно H , получим желаемый результат.

- 45.7. Пусть нормальная и тангенциальная компоненты электрических полей в двух областях по отношению к их границе раздела будут соответственно (E_{1n}, E_{1t}) и (E_{2n}, E_{2t}) , так что $\text{ctg } \theta_1 = E_{1n}/E_{1t}$ и $\text{ctg } \theta_2 = E_{2n}/E_{2t}$. Рассмотрим цилиндрический объем с площадью поперечного сечения A и высотой h , у которого ось перпендикулярна границе раздела областей и пересекает ее. Применим теорему Гаусса к уравнению (10.20) из т. II «Лекций» $\nabla \cdot (\kappa \mathbf{E}) = \rho_{\text{выст}}/\epsilon_0$ для того, чтобы найти полный поток вектора $\kappa \mathbf{E}$ через поверхность, ограничивающую данный объем; этот поток должен быть равен плотности свободных зарядов внутри объема (разделенной на ϵ_0). При малом произвольном значении h поток через границу данного объема равен $\kappa_1 E_{1n} A - \kappa_2 E_{2n} A$. Поскольку на границе нет свободных зарядов, он должен быть равен нулю, поэтому $\kappa_1 E_{1n} A = \kappa_2 E_{2n} A$. Теперь рассмотрим небольшую прямоугольную рамку с проводом, одна сторона которой длиной l параллельна данной границе, а вторая (длиной h) перпендикулярна границе и пересекает ее. Применим теорему Стокса к уравнениям Максвелла для электростатики $\nabla \times \mathbf{E} = 0$ для того, чтобы доказать, что циркуляция вектора \mathbf{E} вокруг данной рамки должна быть равна нулю. При произвольно малых значениях h циркуляция по контуру рамки равна $E_{1t} l - E_{2t} l$, так что $E_{1t} = E_{2t}$. Следовательно, $\kappa_1 E_{1n}/E_{1t} = \kappa_2 E_{2n}/E_{2t}$, что равносильно уравнению $\kappa_1 \text{ctg } \theta_1 = \kappa_2 \text{ctg } \theta_2$.

Глава 46

- 46.1. Рассматривая шар с центром в начале координат и вектор \mathbf{P} в направлении оси $+z$, получим

$$E_{\text{внеш}} = \frac{a^3 P}{3\epsilon_0 r^5} \left[3xz e_x + 3yz e_y + (3z^2 - r^2) e_z \right],$$

$$E_{\text{внутр}} = \frac{P}{\epsilon_0} e_z, \text{ где } r \text{ — расстояние от центра шара до данной точки поля с координатами } (x, y, z).$$

- 46.2. $p = 2,44 \cdot 10^{-39}$ Кл·м.
- 46.3. (а) Используйте $\alpha = (\kappa - 1) kT/P$.
 (б) $p_0 = 6,4 \cdot 10^{-39}$ Кл·м.
- 46.4. (а) $\alpha = 2\pi a^3$.
 (б) $\alpha_T \approx \frac{2,62a^3 - \alpha_0}{1 + 18,33\alpha_0/a^3}$.
- 46.5. $\kappa = 1 + \pi/54$.

Глава 47

- 47.1. $T = \frac{W}{4\pi K} \left(\frac{1}{a} - \frac{1}{R} \right) + T_R$.
- 47.2. $a \approx 6250$ км.
- 47.3. (а) $b_n \neq 0$ только для $n = 1$ и $n = -2$.
 (б) $c_n \neq 0$ только для $n = 1$ и $n = -1$.
- 47.4. $T_p \approx 20,53$ °С.

Глава 48

- 48.1. Выбираем ось x по горизонтали, ось y — по вертикали.
 (а) $\mathbf{B} = (8 \cdot 10^{-5}) \mathbf{e}_y$, Вб/м².
 (б) $\mathbf{F} = (-6\mathbf{e}_x + 2\mathbf{e}_y)10^{-4}$ Н/м.
- 48.2. $\mathbf{B} = 0$.
- 48.3. Вектор \mathbf{B} в точках радиуса r направлен тангенциально к окружности радиуса r в направлении против часовой стрелки (по отношению к рисунку) и равен по величине
- (а) $B = \frac{Ir}{2\pi\epsilon_0 c^2 a^2}$ для $r < a$,
- (б) $B = \frac{I}{2\pi\epsilon_0 c^2 r}$ для $a < r < b$,
- (в) $B = \frac{I}{2\pi\epsilon_0 c^2 r} \left(\frac{c^2 - r^2}{c^2 - b^2} \right)$ для $b < r < c$,
- (г) $B = 0$ для $r > c$.
- 48.4. (а) $F_p = \frac{I_1 I_2}{2\pi\epsilon_0 c^2} l \left(\frac{1}{a} - \frac{1}{a+w} \right)$ и направлена вверх (по отношению к плоскости рисунка).
 (б) $\mathbf{F}_n = -\mathbf{F}_p$.
 (в) $\tau_p = 0$.
- 48.5. (а) $B \approx 7,9 \cdot 10^{-3}$ Вб/м².
 (б) $nI \approx 1,6 \cdot 10^4$ ампер-витков.
- 48.6. $B = dj/(2\epsilon_0 c^2)$ (такое же значение, которое было бы без отверстия).

Глава 49

- 49.1. Когда начало координат находится в точке P , выбираем ось x в направлении v , а ось z — перпендикулярно пластине (вверх по отношению к плоскости рисунка).
- (а) $\mathbf{A} = -\frac{\sigma v z}{2\epsilon_0 c^2} \mathbf{e}_y$.
- (б) $\mathbf{B} = \frac{\sigma v z}{2\epsilon_0 c^2} \mathbf{e}_x$.
- 49.2. В центре полукруга
 (а) $\mathbf{B} = 0$ от прямых участков,
 (б) $B = I/(4\epsilon_0 c^2 r)$ от изогнутого сегмента; поле направлено внутрь страницы (по отношению к плоскости рисунка),
 (в) вектор \mathbf{B} от всего провода является суммой \mathbf{B} от каждой его части и равен \mathbf{B} от изогнутого сегмента.

49.3. Если ось $+x$ направлена вправо (по отношению к рисунку), то

$$(a) \mathbf{B}(x) = \frac{Ia^2}{2\varepsilon_0 c^2} \left[\frac{1}{(a^2 + (b/2 - x)^2)^{3/2}} + \frac{1}{(a^2 + (b/2 + x)^2)^{3/2}} \right] \mathbf{e}_x.$$

$$(б) \text{ При } r = a^2 + b^2/4 \quad \mathbf{B}(x) \approx \frac{Ia^2}{2\varepsilon_0 c^2} \left[\frac{2}{r^3} + \left(\frac{15b^2}{4r^7} - \frac{3}{r^5} \right) x^2 \right] \mathbf{e}_x.$$

(в) Член x^2 исчезает, когда $r = \sqrt{5}a/2 \rightarrow a = b$; иными словами, когда рамки находятся друг от друга на расстоянии, равном радиусу. Тогда поле вблизи центра является постоянным вдоль оси x и может отличаться лишь членами типа $(x/r)^3$ или более высоких порядков.

$$(г) \text{ При } r = \sqrt{5}a/2 \quad \mathbf{B} = \frac{Ia^2}{2\varepsilon_0 c^2} \left[\frac{2}{r^3} \right] \mathbf{e}_x = \frac{Ia^2}{\varepsilon_0 c^2 (\sqrt{5}a/2)^3} \mathbf{e}_x = \frac{8I}{5^{3/2} a \varepsilon_0 c^2} \mathbf{e}_x.$$

49.5. Поместив начало координат в центр рамки и направив ось z вдоль ее оси, вы должны получить следующий результат:

$$\mathbf{B}(z) = \frac{Ia^2}{2\varepsilon_0 c^2 (a^2 + z^2)^{3/2}} \mathbf{e}_z.$$

49.7. (а) Магнитное поле \mathbf{B} внутри цилиндра подобно магнитному полю соленоида с поверхностной плотностью тока σv , где $\sigma = \lambda/(2\pi a)$ — плотность поверхностных зарядов, а $v = \omega a$ (ω — угловая скорость вращения цилиндра). Таким образом, магнитное поле \mathbf{B} параллельно оси цилиндра и имеет величину

$$B = \frac{\sigma v}{\varepsilon_0 c^2} = \frac{\lambda \omega}{2\pi \varepsilon_0 c^2} \quad (\text{см. разд. 13-5 из т. II «Лекций»).}$$

Разность потенциалов V между центром цилиндра и его краем является той работой, которая затрачивается на перенос единичного заряд q с радиуса $r = 0$ на радиус $r = a$ против силы

$$\mathbf{F} = q(\mathbf{E} + \mathbf{v} \times \mathbf{B}), \text{ поэтому } V = \int_0^a \frac{\mathbf{F}}{q} \cdot d\mathbf{r} = \int_0^a (\mathbf{E} + \mathbf{v} \times \mathbf{B}) \cdot d\mathbf{r}.$$

Внутри цилиндра $\mathbf{E} = 0$, $|\mathbf{v} \times \mathbf{B}| = Bv$, $v = \omega r$ и поэтому

$$V = \int_0^a \frac{\lambda \omega}{2\pi \varepsilon_0 c^2} \omega r dr = \frac{\lambda \omega^2}{2\pi \varepsilon_0 c^2} \left(\frac{a^2}{2} \right) = \frac{\lambda}{4\pi \varepsilon_0} \left(\frac{v}{c} \right)^2.$$

(б) Сразу за пределами цилиндра величина электрического поля равна $E = \sigma/\varepsilon_0$, поэтому $\lambda = 2\pi a \sigma = 2\pi a (\varepsilon_0 E)$. Подставляя $2\pi a (\varepsilon_0 E)$ вместо λ и ωa вместо v в результат, полученный для части (а), и делая перестановку, находим

$$a_{\text{мин}}^3 = \frac{2c^2 V}{E_{\text{макс}} \omega^2}, \text{ где } \omega = 2\pi / (24 \cdot 60 \cdot 60 \text{ с}) \text{ — угловая скорость вращения Земли.}$$

При $V = 10^{-6}$ В и $E_{\text{макс}} = 10^8$ В/м получаем $a \approx 7 \cdot 10^3$ м, поэтому эксперимент является неосуществимым.

Глава 50

- 50.1. (а) Нормальная компонента \mathbf{B} должна быть равна 0.
 (б) Нам надо, чтобы в области вне сверхпроводника удовлетворялись соотношения $\nabla \cdot \mathbf{B} = 0$ и $\nabla \times \mathbf{B} = \mathbf{j}/(\epsilon_0 c^2)$, а также чтобы на поверхности сверхпроводника удовлетворялись граничные условия $B_n = 0$. Для того чтобы найти поле вне сверхпроводника, поместим «воображаемый диполь», ориентированный под углом $\pi - \theta$ к вертикали внутрь сверхпроводника на глубине d под его поверхностью. Тогда автоматически соблюдается граничное условие $B_n = 0$. Воображаемый диполь не оказывает влияния вне сверхпроводника, где $\nabla \times \mathbf{B}_{\text{вообр}} = \nabla \cdot \mathbf{B}_{\text{вообр}} = 0$. Следовательно, поле вне сверхпроводника является суперпозицией полей воображаемого диполя и исходного диполя.
 (в) Выбираем ось y нормальной вектору $\boldsymbol{\mu}$ и при этом параллельной к сверхпроводящей пластине и направленной внутрь страницы на рис. 50-1. Тогда
- $$\boldsymbol{\tau} = -\frac{\mu^2 \sin 2\theta}{64\pi\epsilon_0 c^2 d^3} \mathbf{e}_y.$$
- (г) Устойчивое равновесие: $\theta = \pi/2, 3\pi/2$. Неустойчивое равновесие: $\theta = 0, \pi$.
 (д) $F = \frac{3\mu^2}{64\pi\epsilon_0 c^2 d^4} (3 + \cos 2\theta)$ направлена от сверхпроводника.

Глава 51

- 51.1. Ускорение – в P_2 : 0, в P_1 и P_3 : $4,4 \cdot 10^7$ м/с², вектор направлен вправо в точке P_1 и влево в точке P_3 (относительно рисунка).
- 51.2. (а) $V_0 = \pi^2 r^2 f B$, $\omega_V = 2\pi f$.
 (б) $I_0 = V_0/R_m$, $\omega_I = \omega_V$.
- 51.3. $\boldsymbol{\mathcal{E}} = \frac{\pi a^4 I \omega}{2\epsilon_0 c^2 R^2} \sin(\omega t)$.
- 51.4. (а) $v(t) = \frac{IBd}{m} t$; удаляется от генератора.
 (б) $v(t) = \frac{\boldsymbol{\mathcal{E}}}{Bd} [1 - e^{-B^2 d^2 t / (mR)}]$, $v_y = \frac{\boldsymbol{\mathcal{E}}}{Bd}$.
 (в) $I_y = 0$.
- 51.5. (а) $L = L_1 + L_2 - 2M$.
 (б) $L = L_1 + L_2 + 2M$.

- 51.6. (а) Энергия на единицу длины кабеля равна $U = LI^2/2$, где L — индуктивность на единицу длины. Поэтому $L = (2/I^2)U$. Магнитное поле *между* проводом и проводящим цилиндром является только полем провода, амплитуда которого равна $B = I/(2\pi\epsilon_0 c^2 r)$; повсюду в других точках поле равно нулю. Полная энергия кабеля равна $(\epsilon_0 c^2/2) \int B^2 dV$ и распределена в объеме, поэтому энергия на единицу длины равна $U = (\epsilon_0 c^2/2) \int B^2 da$ и распределена в плоскости, нормальной к кабелю. Таким образом, если r — радиус кабеля, то

$$L = \left(\frac{2}{I^2}\right) \frac{\epsilon_0 c^2}{2} \int_a^b \left(\frac{I}{2\pi\epsilon_0 c^2 r}\right)^2 2\pi r dr = \frac{1}{2\pi\epsilon_0 c^2} \int_a^b \frac{1}{r} dr = \frac{\ln(b/a)}{2\pi\epsilon_0 c^2}.$$

$$(б) L = \frac{\ln(b/a) + 1/4}{2\pi\epsilon_0 c^2}.$$

- 51.7. (а) Пусть I — ток, текущий в витках тороида. Рассмотрим круговой замкнутый путь s , перпендикулярный оси симметрии тороида и проходящий от нее на расстоянии $a < r < b$. Если B — амплитуда магнитного поля вдоль этого пути, то $\int B ds = 2\pi r B = NI/(\epsilon_0 c^2)$. Таким образом, $B = NI/(2\pi\epsilon_0 c^2 r)$. Полная магнитная энергия U в тороиде равна интегралу $(\epsilon_0 c^2/2) \int B^2 dV$, взятому по объему тороида. Если $dV = a(2\pi r)dr$, то

$$U = \frac{\epsilon_0 c^2}{2} 2\pi a \int_b^{b+a} \left(\frac{NI}{2\pi\epsilon_0 c^2 r}\right)^2 r dr = \frac{N^2 I^2 a}{4\pi\epsilon_0 c^2} \ln\left(1 + \frac{a}{b}\right).$$

С другой стороны, энергия в катушке с коэффициентом самоиндукции L , по которой протекает ток I , равна $U = LI^2/2$. Приравнивая эти выражения для U и решая их относительно L , получим желаемый ответ.

$$(б) M = \frac{Na}{2\pi\epsilon_0 c^2} \ln\left(1 + \frac{a}{b}\right).$$

$$(в) L/M = N.$$

- 51.8. (а) $M = \frac{A^2}{8\pi\epsilon_0 c^2 r^3} [3\cos(\alpha_1 + \alpha_2) + \cos(\alpha_1 - \alpha_2)]$.

$$(б) \mathbf{F} = -(3M/r) \mathbf{e}_r$$

(в) Направление силы \mathbf{F} обратимо, если (только) один из токов потечет в другую сторону.

- 51.9. $M_{12} = M_{21} = \frac{N\pi r_1^2}{\epsilon_0 c^2 l \sqrt{1 + 4r_2^2/l^2}}$.

- 51.10. (а) $I = 1$ мА.

(б) Поток через рамку уменьшается. Следовательно, по закону Ленца наведенная ЭДС стремится повысить величину \mathbf{B} , что приводит к еще большей скорости изменения потока и требует соответственно дополнительного наведенного тока. Таким образом, ожидаемый наведенный ток возрастал бы, если бы мы не пренебрегали магнитным полем, вызываемым этим наведенным током.

(в) Если магнит двигался бы вместе с проводом, то это было бы, из соображений симметрии, аналогично случаю, когда и провод, и магнит неподвижны, в то время как рельс движется. Вы получили бы тот же самый ответ для наведенного тока.

(з) Собственная индуктивность контура, равная Φ/I , где Φ — магнитный поток через площадь, ограниченную контуром, уменьшается, поскольку ток и магнитное поле постоянны, а площадь рамки уменьшается.

51.11. (а) $\tau = 0$.

(б) Сила F направлена вдоль оси рамки; рамка (2) отталкивается рамкой (1).

(в) Самоиндукция снижает ток, наведенный в рамке (2), поэтому сила, действующая на рамку (2), уменьшается, в то время как крутящий момент остается равным нулю.

(д) Поток от рамки (1) не может пройти через рамку (2). Таким образом, в рамке (2) не будет наведенного тока, поэтому на рамку (2) не будут действовать ни сила, ни крутящий момент.

Глава 52

52.1. (а) Положим $\mathbf{E}_0 = E_x \mathbf{e}_x + E_y \mathbf{e}_y + E_z \mathbf{e}_z$ и рассмотрим компоненту x выражения $(\nabla^2 - \partial^2/\partial(ct)^2)\mathbf{E}$.

$$\left(\nabla^2 - \frac{1}{\hbar^2} \frac{\partial^2}{\partial t^2} \right) E_x e^{i(\omega t - kx)} = \left(\frac{\partial^2}{\partial x^2} - \frac{1}{c^2} \frac{\partial^2}{\partial t^2} \right) E_x e^{i(\omega t - kx)} = \left(-k^2 + \frac{\omega^2}{c^2} \right) E_x e^{i(\omega t - kx)}.$$

Это решение волнового уравнения, если $k^2 = \omega^2/c^2$, т. е., если $k = \pm\omega/c$. Компоненты по осям y и z являются точно такими же.

(б) Волна распространяется в положительном направлении оси x , если $k > 0$, и в отрицательном направлении, если $k < 0$.

(в) По определению $\nabla = \mathbf{e}_x \partial/\partial x + \mathbf{e}_y \partial/\partial y + \mathbf{e}_z \partial/\partial z$. Если поле на зависит от координат y и z , то $\nabla = \mathbf{e}_x \partial/\partial x$. Если эта компонента поля имеет вид Ae^{-ikx} , то $\nabla Ae^{-ikx} = \mathbf{e}_x \partial(Ae^{-ikx})/\partial x = -ik Ae^{-ikx} \mathbf{e}_x$, поэтому $\nabla = -ik \mathbf{e}_x$.

(г) $\partial/\partial t = i\omega$

(д) $\nabla \cdot \mathbf{E} = \rho/\epsilon_0 \rightarrow -ik E_x = \rho/\epsilon_0$;

$$\nabla \cdot \mathbf{B} = 0 \rightarrow B_x = 0;$$

$$\nabla \times \mathbf{E} = -\frac{\partial \mathbf{B}}{\partial t} \rightarrow k \mathbf{e}_x \times \mathbf{E} = \omega \mathbf{B};$$

$$c^2 \nabla \times \mathbf{B} = \mathbf{j}/\epsilon_0 + \frac{\partial \mathbf{E}}{\partial t} \rightarrow -ikc^2 \mathbf{e}_x \times \mathbf{B} = \mathbf{j}/\epsilon_0 + i\omega \mathbf{E}.$$

Связь между k и ω зависит от того, что представляют собой \mathbf{j} и ρ . В пустоте, где $\mathbf{j} = \rho = 0$, $k = \pm\omega/c$.

(е) Во всех вышеприведенных решениях $k \rightarrow -k$.

52.2. (а) $\omega' = \omega(1 - v/c)/(1 + v/c)$.

Глава 53

53.3. Используя обозначения и переменные, приведенные в задаче 53.2, и заменяя ρ на μ , где $\mu = pa^2 i_0$ — магнитный момент диполя, получим

$$B_\varphi = 0,$$

$$B_\theta = 1/c^2 (E_\theta \text{ для электрического диполя}),$$

$$B_r = 1/c^2 (E_r \text{ для электрического диполя}),$$

$$E_\varphi = -(B_\varphi \text{ для электрического диполя}),$$

$$E_\theta = E_r = 0.$$

53.4. (е) Поля, создаваемые диполем,

$$\mathbf{E} = \frac{Q_0 d \omega^2 \sin \theta}{4\pi \epsilon_0 c^2 r} \cos[\omega(t - r/c)] \mathbf{e}_\theta + O\left(\frac{1}{r^2}\right);$$

$$\mathbf{B} = \frac{1}{c} \mathbf{e}_r \times \mathbf{E} = -\frac{Q_0 d \omega^2 \sin \theta}{4\pi \epsilon_0 c^3 r} \cos[\omega(t - r/c)] \mathbf{e}_\phi + O\left(\frac{1}{r^2}\right).$$

Эти результаты согласуются с результатами, полученными в задаче 53.2 при $p = Q_0 d$.

53.5. (а) Если рассматривать короткий сегмент проволоки длиной Δz , который должен быть диполем такого же типа, как тот, который рассматривался в задаче 53.4, то заряд на каждом конце диполя равен $q = \int i dt$, так что дипольный момент равен

$$\Delta p = \left(\int -i_0 \sin(\omega t) \cos \frac{2\pi z}{\lambda} dt \right) \Delta z = \left(\frac{i_0}{\omega} \cos \frac{2\pi z}{\lambda} \cos(\omega t) \right) \Delta z.$$

(е) Полный дипольный момент антенны $p = \int_{-\lambda/4}^{\lambda/4} \Delta p / \Delta z dz = (2i_0 c / \omega^2) \cos(\omega t)$.

Одиночный диполь с таким моментом создает поле

$$\mathbf{E}' = -\frac{i_0}{2\pi \epsilon_0 c r} \sin \theta \cos[\omega(t - r/c)] \mathbf{e}_\theta + O\left(\frac{1}{r^2}\right).$$

Поэтому мы сравниваем $f(\theta) = \cos(\pi/2 \cos \theta) / \sin \theta$ с $g(\theta) = \sin \theta$.

	θ	0°	30°	60°	90°
Полуволновая антенна	$f(\theta)$	0	0,418	0,816	1
Одиночный диполь	$g(\theta)$	0	0,500	0,867	1

Примечание. $\lim_{\theta \rightarrow 0} f(\theta)/g(\theta) = \pi/4$.

53.6. (а) $\phi = \frac{q}{4\pi \epsilon_0 a}$.

(б) $\mathbf{A} = \frac{qv}{4\pi \epsilon_0 c^2 a} \left(\sin \frac{v}{c} \mathbf{e}_x + \cos \frac{v}{c} \mathbf{e}_y \right)$.

(в) $\mathbf{E} = -\frac{q}{4\pi \epsilon_0 a^2} \left(\left[\left(1 - \frac{v^2}{c^2} \right) \cos \frac{v}{c} + \frac{v}{c} \sin \frac{v}{c} \right] \mathbf{e}_x + \left[\frac{v}{c} \cos \frac{v}{c} - \left(1 - \frac{v^2}{c^2} \right) \sin \frac{v}{c} \right] \mathbf{e}_y \right),$

$\mathbf{B} = \frac{qv}{4\pi \epsilon_0 c^2 a^2} \mathbf{e}_z$.

Глава 54

54.1. Между соседними выводами $R = (7/12)$ Ом. Между выводами по диагонали квадрата $R = (3/4)$ Ом. Между выводами по диагонали куба $R = (5/6)$ Ом.

54.2. (а) $I = \frac{1 - \omega^2 LC}{\omega L [2 - \omega^2 LC]} V_0 \sin(\omega t)$.

(б) $I = \frac{1 - \omega^2 LC}{\omega(L \pm M) [2 - \omega^2(L \mp M)C]} V_0 \sin(\omega t)$.

54.5. (а) Используйте соотношение $|I| = E_0 \sqrt{\frac{1}{R^2} + \frac{(\omega^2 LC - 1)^2}{\omega^2 L^2}}$.
 (б) В обоих случаях $Q = 2K$.

54.6. $L = R^2 C$.

54.8. (а) $\hat{I} = \hat{V} / [Z_{RC} + Z_{RL}] = \hat{V} / \left[\frac{1}{1/R + i\omega C} + \frac{1}{1/R + 1/(i\omega L)} \right] =$
 $= \frac{\hat{V}}{R} \left[\frac{1 + R(i\omega C + 1/(i\omega L) + R^2 C/L)}{2 + R(i\omega C + 1/(i\omega L))} \right]$.

Очевидно, что если $R^2 C/L = 1$, то $\hat{I} = \hat{V}/R$ не зависит от ω .

(б) $\phi = -\arctg(\omega RC)$.

54.9. (а) $\langle P \rangle = \frac{(V_0^2 R) / 2}{R^2 + [\omega L - m/(\omega C)]^2}$.

(б) (1) $m = 2$.

(2) $(V_{R_0 P_2})_{\max} = 2V_0 / (\omega RC)$ и $(V_R)_{\max} = V_0$.

54.10. (а) $\frac{V_L}{V_0} = \frac{1}{(1 - \alpha)(R_I/R_L) + 1}$.

(б) Если $\beta \approx 1/(1 - \alpha)$, то ответ на часть (а) задачи принимает вид:

$$\frac{V_L}{V_0} = \frac{1}{(R_I/R_L)/\beta + 1};$$

Таким образом, если $R_I/R_L \ll \beta$, то $V_L/V_0 \approx 1$.

(в) $\frac{(V_L/V_0)}{(V'_L/V'_0)} \approx 10$.

(г) Используйте $\frac{(V_L)}{(V_0)} = \frac{1}{1 + j\omega R_I C_L / \beta}$ и $\frac{(V'_L)}{(V'_0)} = \frac{1}{1 + j\omega R_I C_L}$.

54.11. (а) $\frac{V_L}{V_0} = -\beta \frac{R_L}{R_I}$.

(б) Подставляя $i_0 = (i_E R_E - V_0)/R_I$ в $i_0 + i_E(1 - \alpha) = 0$ и делая перестановку, получаем

$$i_E \left[\frac{R_E}{R_I} + (1 - \alpha) \right] = \frac{V_0}{R_I}.$$

Поскольку $V_L = -\alpha i_E R_L$ и $\alpha \approx 1$, то

$$\frac{V_L}{V_0} = -\alpha \frac{R_L}{R_E} \cdot \frac{1}{1 + (1 - \alpha)(R_I/R_E)} \approx -\alpha \frac{R_L}{R_E} \cdot \frac{1}{1 + (R_I/R_E)/\beta}$$

таким образом, если $R_I/R_E \ll \beta$, то $V_L/V_0 \approx -\alpha(R_L/R_E)$.

- 54.12. (а) $I_L/I_0 = \alpha \approx 1$.
 (б) $Z_{\text{вых}} = \infty$.
 (в) Эквивалентная схема является источником тока, $I = \alpha V_0/R_f$.

54.13. (а) $Z_{AB} = \frac{n^2 R_E}{\alpha} \cdot \frac{1}{n+1/\beta}$.

(б) Для того чтобы величина Z_{AB} была отрицательной, необходимо, чтобы $n < 0$ и $|n| > 1/\beta$. Смысл отрицательного значения n заключается в том, что полярность трансформатора (т. е. одна из его обмоток) должна быть инвертирована.

Глава 55

55.1. (а) $\omega = \frac{c}{a} \sqrt{\frac{2d}{(b-a)\ln(b/a)}}$.

(в) При снижении температуры сжатие при охлаждении будет приводить к повышению частоты.

Глава 56

- 56.2. Для длины Δx емкость равна $C_0 \Delta x \approx \epsilon_0 (b\Delta x)/a$. Таким образом, $C_0 \approx \epsilon_0 b/a$.

Поскольку $c = 1/\sqrt{L_0 C_0}$, находим, что

$$z_0 = \sqrt{L_0/C_0} = \sqrt{L_0 C_0/C_0^2} = 1/(c C_0) \approx a/(\epsilon_0 c b).$$

- 56.3. (а) $\omega_1 = \pi c/l$.

(б) Выбирая ось z вдоль коаксиальной линии и приравнявая $E_0 = |E|$ в момент времени $t = 0$ в середине этой линии ($z = l/2$), получаем на поверхности центрального проводника (радиальное расстояние до которого $r = a$)

$$E = E_0 \frac{a}{r} \sin(k_n z) e^{i\omega_n t} e_r, \text{ где } k_n = n\pi/l \text{ и } \omega_n = n\pi c/l.$$

(в) $\omega_1/\omega_0 \approx \pi$.

56.4. (а) $E_0(x, z) = E_0 \sin \frac{\pi x}{a} \sin \frac{\pi z}{l}$.

(б) $\omega_0 = \pi c \sqrt{\frac{1}{a^2} + \frac{1}{l^2}}$.

- 56.5. (а) Используйте $V(x, t) = V_0 \cos(\omega t) \cos(kx)$, где $k = 5\pi/2l$.

(б) Амплитуда напряжения имеет максимальное значение при $x = 0, 2l/5, \text{ и } 4l/5$ (когда $\cos(\omega t) > 0$).

(в) $V_f(x, t) = \frac{1}{2} V_0 \cos(\omega t - kx)$;

$$V_r(x, t) = \frac{1}{2} V_0 \cos(\omega t + kx).$$

(г) $I(0, t) = 0$;

$$I(l/2, t) = -\frac{1}{\sqrt{2}} \cdot \frac{V_0}{z_0} \sin(\omega t);$$

$$I(l, t) = \frac{V_0}{z_0} \sin(\omega t), \text{ где } z_0 = \sqrt{L_0 / C_0}.$$

$$(\partial) \langle \tau \rangle = 0.$$

$$56.6. \quad (\delta) Z_S = iZ_0 \operatorname{tg}(\omega l \sqrt{LC}).$$

$$(\epsilon) Z_S = -iZ_0 \operatorname{ctg}(\omega l \sqrt{LC}).$$

$$(\zeta) Z_S = Z_0.$$

- 56.7. Рассмотрим произвольную падающую волну $V_{\text{пад}}$ в линии 1, ее отражение $V_{\text{отр}}$ от точки сопряжения с линией 2 (отражение также в линию 1) и прошедшую в линию 2 волну $V_{\text{прош}}$. В точке сопряжения данных линий передачи напряжения и токи должны удовлетворять условиям.

$$\begin{aligned} V_{\text{пад}} + V_{\text{отр}} &= V_{\text{прош}} \\ I_{\text{пад}} - I_{\text{отр}} &= I_{\text{прош}} \end{aligned}$$

(Токи падающей и отраженной волн складываются с противоположными знаками, поскольку соответствующие волны движутся в противоположных направлениях.) Деля эти уравнения на $V_{\text{пад}}$, при этом подставляя

$$I_{\text{пад}} = V_{\text{пад}}/Z_1, \quad I_{\text{отр}} = V_{\text{отр}}/Z_1 \text{ и } I_{\text{прош}} = V_{\text{прош}}/Z_2,$$

получаем систему линейных уравнений

$$\begin{cases} 1 + (V_{\text{отр}}/V_{\text{пад}}) = (V_{\text{прош}}/V_{\text{пад}}) \\ 1 - (V_{\text{отр}}/V_{\text{пад}}) = \frac{Z_1}{Z_2} (V_{\text{прош}}/V_{\text{пад}}), \end{cases}$$

одновременное решение которой дает желаемый результат.

$$56.8. \quad v_g/c \approx 0,845.$$

$$56.9. \quad (a) \mathbf{B} = \nabla \times \mathbf{A} = (\partial A_z / \partial y) \mathbf{e}_x - (\partial A_z / \partial x) \mathbf{e}_y, \text{ поскольку } \mathbf{A} = A_z \mathbf{e}_z; \text{ таким образом, } \mathbf{B} \cdot \mathbf{e}_z = 0.$$

(б) mn -мода не будет распространяться, если kz является чисто мнимой величиной, поскольку тогда $\exp(-ik_z z)$ есть $\exp(+|k_z|z)$ и будет возрастать безгранично, что не имеет физического смысла, либо эта величина есть $\exp(-|k_z|z)$ и будет спадать экспоненциально. Для чисто мнимых значений kz мы должны получить величину $(\omega/c)^2 - (m\pi/a)^2 - (n\pi/b)^2 < 0$, которая будет иметь физический смысл, если $\omega < c[(m\pi/a)^2 + (n\pi/b)^2]^{1/2}$.

Глава 57

$$57.1. \quad (a) A_{\mu} A_{\mu},$$

$$(\delta) -A_{\mu} A_{\mu}.$$

$$57.2. \quad E^{\gamma 2} = \frac{E^{\gamma 1}}{1 + (E^{\gamma 1}/m_e)(1 - \cos \theta)}.$$

$$57.3. \quad E^{\gamma} = 4m_e.$$

- 57.4. Если бы реакция $\gamma \rightarrow e^+ + e^-$ была возможна, то $p_\mu^+ = p_\mu^+ + p_\mu^-$. После возведения обеих частей в квадрат и упрощения с учетом равенств $(p_\mu^+)^2 = 0$ и $(p_\mu^-)^2 = m_e^2$ получаем $0 = m_e^2 + p_\mu^+ p_\mu^-$, что должно соблюдаться в любой системе координат. Рассмотрим систему, в которой e^- находится в покое, т. е. $p_\mu^- = (m_e, \mathbf{0})$; тогда $= m_e + m_e E$, или $E^+ = -m_e$, что не имеет физического смысла.

- 57.5. (а) При релятивистском подходе полная энергия частицы b

$$E_b = \sqrt{m_b^2 + p_b^2} \text{ и } m_c = \sqrt{m_a^2 + 2m_a E_b + m_b^2};$$

$$v_c = \frac{p_b}{m_a + E_b}.$$

- (б) При нерелятивистском подходе

$$m_c = m_a + m_b;$$

$$v_c = \frac{p_b}{m_a + m_b}.$$

Глава 58

- 58.1. Предполагая, что нормировка Лоренца дает $\nabla_\mu A_\mu = 0$, и дополнительно используя уравнение (25.22) из т. II «Лекций», получаем

$$\nabla_\mu F_{\mu\nu} = \nabla_\mu \nabla_\mu A_\nu - \nabla_\mu \nabla_\nu A_\mu = \square^2 A_\nu - \nabla_\nu (\nabla_\mu A_\mu) = \frac{j_\nu}{\epsilon_0}.$$

- 58.2. (а) $f_\mu = j_\nu F_{\mu\nu} = (\mathbf{j} \cdot \mathbf{E}, \rho \mathbf{E} + \mathbf{j} \times \mathbf{B})$.

(б) Зависящая от времени компонента f_μ является мощностью на единицу объема в системе «поле-заряды», а пространственные компоненты дают силу на единицу объема.

- 58.3. (а) Пусть $F_{\mu\nu}$ есть тензор электромагнитного поля, соответствующий $\mathbf{E}\mathbf{B}$. Тогда $\mathbf{B}^2 - \mathbf{E}^2 = (1/2) F_{\mu\nu} F_{\mu\nu}$ и $\mathbf{E} \cdot \mathbf{B} = F_{xI} F_{zy} + F_{yI} F_{xz} + F_{zI} F_{yx} = (1/8) \epsilon^{\alpha\beta\gamma\delta} F_{\alpha\beta} F_{\gamma\delta}$ (где $\epsilon^{\alpha\beta\gamma\delta}$ — символ Леви-Чивита); оба являются скалярными произведениями тензоров 4-го ранга и поэтому лоренцовски инвариантны.

(б) Для электромагнитного излучения, распространяющегося в пустом пространстве, оба эти инварианта равны нулю.

58.4.
$$\frac{v}{1+v^2} = \frac{\mathbf{E} \times \mathbf{B}}{\mathbf{E}^2 + \mathbf{B}^2}.$$

- 58.7. Выбираем в проводе ось z , параллельную вектору v , и точку поля в плоскости x, y .

(а) В рамке, неподвижной относительно проволоки, $\mathbf{E} = 0$, $\mathbf{B} = \frac{I}{2\pi\epsilon_0 c^2 r} \mathbf{e}_\phi$,

где r — радиус вектор точки поля; \mathbf{e}_ϕ — перпендикуляр к этому радиусу-вектору и к проводу ($\mathbf{e}_\phi = -\sin \phi \mathbf{e}_x + \cos \phi \mathbf{e}_y$).

(б) В рамке, неподвижной относительно электронов, $E'_z = B'_z = 0$,

$$\mathbf{E}' = \frac{\gamma v I}{2\pi\epsilon_0 c^2 r} \mathbf{e}_r \text{ и } \mathbf{B}' = \frac{\gamma I}{2\pi\epsilon_0 c^2 r} \mathbf{e}_\phi, \text{ где } \gamma = 1/\sqrt{1-v^2}.$$

58.8. (а) $\sigma = (q_e / 2\pi a^2) \sqrt{1 - v^2}$.
 (б) $\sigma_h / \sigma_l \approx 1/1000$.

58.9. $u_\mu = \gamma(1, v)$ и $f_\mu = (\mathbf{F} \cdot \mathbf{v}, \mathbf{F})$; следовательно $f_\mu u_\mu = f_\mu - \mathbf{f} \cdot \mathbf{u} = \gamma^2(\mathbf{F} \cdot \mathbf{v} - \mathbf{F} \cdot \mathbf{v}) = 0$

58.10. (а) $\mathbf{E} = \frac{q}{2\sqrt{3}\pi\epsilon_0 a^2} \mathbf{e}_y$.

(б) Ответ не изменится.

Глава 59

59.2. $U = 960$ Мт.

59.3. Вдоль провода имеется падение напряжения IR на единицу длины, что подразумевает существование на поверхности провода электрического поля \mathbf{E} напряженностью IR (в направлении протекания тока). У поверхности провода поле \mathbf{B} имеет величину $I/(2a\pi\epsilon_0 c^2)$, где a — радиус провода. Поскольку \mathbf{E} и \mathbf{B} перпендикулярны друг другу, $\mathbf{S} = \epsilon_0 c^2 \mathbf{E} \times \mathbf{B} = -[I^2 R / (2\pi a)] \mathbf{e}_r$. Поток вектора \mathbf{S} , направленный внутрь провода, на единицу его длины равен $2\pi a |\mathbf{S}| = I^2 R$ и имеет такую же величину, как и величина нагрева провода на единицу его длины.

59.4. В цилиндрических координатах (z, ϕ, r) , где ось z направлена вдоль оси кабеля, $\mathbf{B} = I \mathbf{e}_\phi / (2\pi\epsilon_0 c^2 r)$, а $\mathbf{E} = V \mathbf{e}_r [\ln(b/a)/r]$. Поэтому $\mathbf{S} = IV \mathbf{e}_z / (2\pi \ln(b/a) r^2)$, а полная величина потока энергии

$$dU/dt = \int_a^b |\mathbf{S}| 2\pi r dr = (IV / \ln(b/a)) \int_a^b dr/r = IV.$$

59.5. (а) $|\langle \mathbf{S} \rangle| = 2,6 \cdot 10^{-5}$ Вт/м².

(б) $|\mathbf{E}_{\max}| = 0,14$ В/м, $|\mathbf{B}_{\max}| = 5 \cdot 10^{-10}$ Вб/м².

59.6. (а) Граничные условия таковы, что нормальная составляющая вектора \mathbf{B} и тангенциальная составляющая вектора \mathbf{E} равны нулю вдоль проводящих поверхностей. Поскольку $\sin(\pi x/a) = 0$ для $x = 0$ и $x = a$, эти условия удовлетворяются.

(б) $\mathbf{S} = \epsilon_0 c^2 E_0^2 \left(\frac{k_z \sin^2 \frac{\pi x}{a} \cos^2(\omega t - k_z z)}{\omega} \mathbf{e}_z - \frac{\pi}{4\omega a} \sin \frac{2\pi x}{a} \sin 2(\omega t - k_z z) \mathbf{e}_x \right)$;

$$u = \epsilon_0 E_0^2 \left(\sin^2 \frac{\pi x}{a} \cos^2(\omega t - k_z z) + \frac{\pi^2 c^2}{4\omega^2 a^2} \left(\cos \frac{2\pi x}{a} - \cos 2(\omega t - k_z z) \right) \right)$$

(в) $\langle dU/dt \rangle = \epsilon_0 c^2 E_0^2 \frac{k_z}{\omega} \cdot \frac{ab}{4}$.

(г) $\langle u \rangle_{\text{ср. время}} = \frac{\epsilon_0 E_0^2}{2} \left(\sin^2 \frac{\pi x}{a} + \frac{\pi^2 c^2}{2\omega^2 a^2} \cos \frac{2\pi x}{a} \right)$.

(д) $v_g = \frac{\text{Средний поток}}{\text{Средняя запасенная энергия на единицу длины}} = \frac{\langle dU/dt \rangle}{\iint_{00}^{ba} \langle u \rangle_{\text{ср. время}} dx dy} = \frac{c^2 k_z}{\omega}$.

Но $k_z = \sqrt{\omega^2/c^2 - \pi^2/a^2}$, поэтому $v_g = c\sqrt{1 - \pi^2 c^2/a^2 \omega^2} = c\sqrt{1 - (\omega_c/\omega)^2}$, где $\omega_c = \pi c/a$.

59.7. Если поместить вектор \mathbf{p} в начало координат, ориентировать его вдоль оси z и использовать сферические координаты для задания точки поля (r, θ, ϕ) , то

$$\mathbf{S} = \frac{p^2 \omega^4}{16\pi^2 \epsilon_0 c^3 r^2} \sin^2 \theta \cos^2 [\omega(t - r/c)] \mathbf{e}_r.$$

(а) $\frac{\text{Поток}}{\text{Площадь}} = \mathbf{S} \cdot \mathbf{e}_r = \frac{p^2 \omega^4}{16\pi^2 \epsilon_0 c^3 r^2} \sin^2 \theta \cos^2 [\omega(t - r/c)].$

(б) $\langle P \rangle = 2\pi r^2 \int_0^\pi \langle \mathbf{S} \rangle \cdot \mathbf{e}_r \sin \theta d\theta = 2\pi r^2 \int_0^\pi \left[\frac{p^2 \omega^4}{16\pi^2 \epsilon_0 c^3 r^2} \sin^2 \theta \frac{1}{2} \mathbf{e}_r \right] \cdot \mathbf{e}_r \sin \theta d\theta =$
 $= \frac{p^2 \omega^4}{16\pi \epsilon_0 c^3} \int_0^\pi \sin^3 \theta d\theta = \frac{p^2 \omega^4}{12\pi \epsilon_0 c^3}.$

59.8. $\frac{\langle P_{\text{изл}} \rangle}{\langle P_{\text{пад}} \rangle} = \frac{8\pi}{3} \left(\frac{e^2}{m_e c^2} \right)^2$, где $e^2 = q_e^2 / 4\pi \epsilon_0$.

59.9. (а) $a \approx 6000 \text{ \AA}.$

59.10. (а) $U_B(t) = (N^2 K^2 r^2 / (4\epsilon_0 c^2 R)) t^2.$

(б) $\mathbf{S}(t) = -(N^2 K^2 r / (8\pi^2 \epsilon_0 c^2 R^2)) t \mathbf{e}_r$

(в) Площадь поверхности тороида есть $(2\pi R)(2\pi r)$, поэтому

$$dU / dt = \int \mathbf{S} \cdot \mathbf{n} da = 4\pi^2 R r \mathbf{S}(t) = (N^2 K^2 r^2 / (2\epsilon_0 c^2 R)) t.$$

$dU/dt = d(U_B + U_E)/dt = dU_B/dt$, поскольку электрическое поле E внутри тороида является неизменным. Таким образом, энергия, запасенная в электрическом поле, не изменяется.

Глава 60

60.1. Используя формулу (8.7) из т. II «Лекций» для сплошного заряженного шара, получаем $mc^2 = U_{\text{эл}} = (3/5)Q^2/(4\pi\epsilon_0 a) = (3/5)e^2/a$, что дает $a = (3/5)e^2/(mc^2) \approx 1,7 \cdot 10^{-15} \text{ м}.$

С другой стороны, по формуле (28.2) из т. II «Лекций» для сферической заряженной оболочки $U_{\text{эл}} = (1/2)e^2/a$, что дает $a = (1/2)e^2/(mc^2) \approx 1,4 \cdot 10^{-15} \text{ м}.$

60.2. (б) $\frac{L}{\mu} = \frac{2}{3} \frac{q}{4\pi\epsilon_0 c^2 a} = \frac{m_e}{q_e}$, где величина m_e задана.

(в) $v_{\text{макс}} = (3/2)\hbar/(ma)$. Тем не менее если мы положим $a = (1/2)e^2/(mc^2)$, как и в задаче 60.1, то $v_{\text{макс}} = 3\hbar c^2/e^2 \approx 3(137)c$, т. е. примерно в 400 раз больше скорости света c !

Глава 61

61.1. Используя $\alpha = qE/(mc)$, $\beta = \alpha/\gamma$, $\gamma = 1/\sqrt{1 - v_0^2/c^2}$, находим:

(а) $v_x = \frac{\alpha ct}{\sqrt{1 + \alpha^2 t^2}}$, $v_y = v_z = 0$, $x = \frac{c}{\alpha} \left(\sqrt{1 + \alpha^2 t^2} - 1 \right)$, $y = z = 0.$

$$(б) v_x = \frac{\beta ct}{\sqrt{1+\beta^2 t^2}}, v_y = \frac{v_0}{\sqrt{1+\beta^2 t^2}}, v_z = 0, x = \frac{c}{\beta} \left(\sqrt{1+\beta^2 t^2} - 1 \right),$$

$$y = \frac{v_0}{\beta} \ln \left(\beta t + \sqrt{1+\beta^2 t^2} \right), z = 0.$$

- 61.2. (а) При низких энергиях $\omega \approx q_p B/m_p$.
 (б) Частота уменьшается с ростом энергии.
 (в) $T = m_p c^2 / 100 \approx 9,4$ МэВ.

61.3. (а) $x = \frac{E}{B} t - \frac{E}{B\omega_{\text{ц}}} \sin(\omega_{\text{ц}} t), y = \frac{E}{B\omega_{\text{ц}}} [1 - \cos(\omega_{\text{ц}} t)], z = 0,$

где $\omega_{\text{ц}} = qB/m$ — частота циклотронного резонанса. (Это решение действительно только при $E/B \ll c$.)

(б) В случае $E/B < c$ движение происходит по циклоиде аналогично описанному в части (а), только оно растягивается в направлении оси x с коэффициентом

$$\gamma = 1 / \sqrt{1 - (E/Bc)^2}.$$

Для $E/B > c$ можно воспользоваться решением части (б) задачи 61.1, если перейти в систему координат S' , движущуюся со скоростью $V = Bc^2/E$ в положительном направлении оси x таким образом, чтобы $\mathbf{B}' = 0$, а затем идентифицировать наши оси $+x$ и $+y$ соответственно с осями $-y$ и $+x$ задачи 61.1, выбирая при этом величину $v_0 = -Bc^2/E$ в качестве начальной скорости частицы.

(в) При релятивистском подходе $B = \frac{\sqrt{2mV_0/q + (V_0/c)^2}}{d},$

при нерелятивистском подходе (предполагая $c \rightarrow \infty$) $B = \frac{\sqrt{2mV_0/q}}{d}.$

- 61.4. (а) $l = f(f - d)/d$
 (б) Действительное изображение для $l > 0$ (или $f > d$),
 мнимое изображение для $l < 0$ (или $f < d$)

Глава 62

- 62.1. По определению $\mathbf{D} = \epsilon_0 \mathbf{E} + \mathbf{P} = \kappa \epsilon_0 \mathbf{E}$. Таким образом, $\kappa = (E + P/\epsilon_0)/E$. Для поперечной волны с угловой частотой ω и волновым числом k , распространяющейся в направлении оси z , уравнение (32.23) из т. II «Лекций» дает $-k^2 E + (\omega^2/c^2) E = -(\omega^2/\epsilon_0 c^2) P$, что после преобразований приводит к равенству $n^2 = (E + P/\epsilon_0)/E$, где $n = kc/\omega$ — показатель преломления. Таким образом, $n^2 = \kappa$. [Здесь сделаны как раз те приближения, которые использовались для получения уравнения (32.23).]

- 62.2. $\rho \approx 4,5 \cdot 10^{11} \text{ м}^{-3}.$

62.3. При $\mathbf{E} = 0$, $\gamma = 1/\tau$ и $\omega_0 = 0$ (модель свободных электронов) уравнение (32.1) из т. II «Лекций» приобретает вид $0 = m(\dot{v} + v/\tau)$, решением которого является $v = v_0 e^{-t/\tau}$, где τ — время релаксации. Однако в случае $\mathbf{E} \neq 0$ (но без учета \mathbf{B}) на электроны действует сила $q_e \mathbf{E} = m(\dot{v} + v/\tau)$, т. е. если продифференцировать, то получим $\ddot{v} + \dot{v}/\tau = (q/m_e) \dot{E}$. Поскольку мы принимаем $\mathbf{B} = 0$, то получаем $c^2 (\nabla \times \mathbf{B}) = \mathbf{j}/\epsilon_0 + \dot{E} = 0$. Таким образом, $\dot{E} = -\mathbf{j}/\epsilon_0 = -Nq_e v/\epsilon_0$. Следовательно, $\ddot{v} + \dot{v}/\tau = (q_e/m_e)(-Nq_e v/\epsilon_0) = -\omega_p^2 v$, где ω_p — плазменная частота. Таким образом, $\ddot{v} + \dot{v}/\tau + \omega_p^2 v = 0$. Полагая $v = v_0 e^{i\omega t}$, получаем $-\omega^2 + i\omega/\tau + \omega_p^2 = 0$. Решения этого уравнения: $\omega = i/2\tau \pm \sqrt{\omega_p^2 - (1/2\tau)^2}$. Время релаксации является обратной величиной мнимой части ω и равно 2τ (поскольку $\omega_p > 1/\tau$).

62.4. (а) $\mathbf{B} = (kE_x/\omega)\mathbf{e}_y$,
 (б) $\theta = 90^\circ$.

(в) $|\mathbf{B}|_{\max} / |\mathbf{E}|_{\max} = \sqrt{\sigma / (\omega \epsilon_0 c^2)}$.

(г) $\phi = 45^\circ$.

62.5. Уравнение (32.42) из т. II «Лекций» приводит к соотношению

$$n^2 = 1 + \frac{\sigma / \epsilon_0}{i\omega(1 + i\omega\tau)} = 1 - \frac{\sigma / \epsilon_0}{\omega^2 \tau [1 - i / (\omega\tau)]} \approx$$

$$\approx 1 - \frac{\sigma / \epsilon_0}{\omega^2 \tau} (1 + i / \omega\tau) = 1 - \left(\frac{\omega_p}{\omega}\right)^2 - i \left(\frac{\omega_p^2}{\omega^3 \tau}\right),$$

где ω_p — плазменная частота. Таким образом, n переходит из разряда действительных чисел в мнимые, когда ω изменяется более чем в пределах $1/\tau$ относительно ω_p . (Точнее, фаза n равна $3\pi/8$, когда $\omega = \omega_p - 0,5\tau$, и фаза n равна $\pi/8$, когда $\omega = \omega_p + 0,5\tau$.)

Глава 63

63.1. (а) $\frac{I_l}{I_i} = \frac{1 + (r_{12}r_{23})^2 - r_{12}^2 - r_{23}^2}{1 + (r_{12}r_{23})^2 + 2r_{12}r_{23} \cos(4\pi l / \lambda_2)}$, где $r_{ij} = (n_i - n_j) / (n_i + n_j)$.

(б) Для $I_l/I_i = 1$ у нас должно быть $-r_{12}^2 - r_{23}^2 = 2r_{12}r_{23} \cos(4\pi l / \lambda_2)$, или $|r_{12} + r_{23} e^{i4\pi l / \lambda_2}| = 0$, что требует, чтобы $r_{12} = r_{23}$ и $4\pi l / \lambda_2 = n\pi$, где n — любое нечетное целое число. Равенство $r_{12} = r_{23}$ равносильно равенству $(n_1 - n_2)/(n_1 + n_2) = (n_2 - n_3)/(n_2 + n_3)$, которое выполняется, когда $n_2 = \sqrt{n_1 n_3}$. В то же время условие $4\pi l / \lambda_2 = n\pi$ выполняется при $n = 1$ и $l = \lambda_2/4$.

(в) $l \approx 1100 \text{ \AA}$.

(г) Это не составляет никакого различия для достаточно плоской линзы, где можно предполагать, что лучи падают нормально, так как уравнение для (I_l / I_i) в части (а) является симметричным относительно (индексов) «1» и «3».

63.2. (а) $d \approx 1350 \text{ \AA}$.

(б) Нет (ответ не зависит от поляризации \mathbf{E}).

Глава 64

64.1 (б) Мы должны сделать допущение, что частица движется практически по круговой орбите, что требует выполнения неравенства $|dB/dt| \ll qB^2/(2\pi m)$.

Глава 65

65.1. $g = 5,5.$

65.3. $(N_{\text{вверх}} - N_{\text{вниз}})/N \approx 0,22\%$ при комнатной температуре, 16 % при температуре жидкого гелия.

Глава 66

66.1. Помещая центр сферы в начало координат и используя сферические координаты, получаем

(а) $\mathbf{K} = M \sin \theta \mathbf{e}_\phi.$

(б) $\mu = \int_0^\pi K \pi (a \sin \theta)^2 a d\theta = \int_0^\pi M \pi a^3 \sin^3 \theta d\theta = \frac{4}{3} \pi a^3 M.$

66.2. (а) $B_{\text{зав}} \approx 1,2 \text{ Вб/м}^2.$

(б) В этом расчете предполагается, что поток вектора \mathbf{B} является постоянным через любое поперечное сечения сердечника; при этом игнорируются краевые эффекты в зазоре между полюсами.

66.3. $B_{\text{зав}} \approx 0,80 \text{ Вб/м}^2.$

66.4. (а) $\mathbf{B} = \mathbf{M}/(\epsilon_0 c^2), \mathbf{H} = 0.$

(б) $\mathbf{B}_\Pi = \mathbf{H}_\Pi = 0.$

Глава 67

67.1. (а) $r_{\text{Al}}/r_{\text{стали}} = 1,3.$

(б) $m_{\text{Al}}/m_{\text{стали}} = 0,59.$

67.2. $\omega = (1,32 \cdot 10^5) \cdot a^2 / \sqrt{mL^3}.$

67.3. (а) Уравнение (38.20) из т. II «Лекций» дает величину давления p , которое нужно приложить к концам стержня длиной L для того, чтобы изменить его длину на ΔL , в то время как его ширина и высота будут оставаться неизменными: $p = [(1 - \sigma)Y / (1 + \sigma) (1 - 2\sigma)] \Delta L/L$. Когда волны сжатия передаются через вещество (например, в направлении оси z) материал в любом данном месте будет испытывать только локальные напряжения сжатия $\partial L/\partial z$. Таким образом, давление, испытываемое материалом в точке z , будет

$$p(z) = \frac{(1 - \sigma)Y}{(1 + \sigma)(1 - 2\sigma)} \cdot \frac{\partial L}{\partial z}.$$

Результирующая сила, действующая на элемент объема $\Delta x \Delta y \Delta z$, будет равна

$$F(z + \Delta z) - F(z) = \Delta x \Delta y (\partial p / \partial z) \Delta z$$

и должна равняться произведению массы элемента на его ускорение, т. е. $(\rho \Delta x \Delta y \Delta z) (\partial^2 L / \partial t^2)$, где ρ — плотность материала. Таким образом, $\partial p / \partial z = \rho \partial^2 L / \partial t^2$. Подстановка приведенного выше выражения для $p(z)$ дает волновое уравнение сволновой скоростью для продольной волны $V_{\text{прод}} = \sqrt{(1 - \sigma)Y / (1 - 2\sigma)(1 + \sigma)\rho}$ в

следующем виде:
$$\frac{\partial^2 L}{\partial z^2} - \frac{1}{V_{\text{прод}}^2} \cdot \frac{\partial^2 L}{\partial t^2} = 0.$$

(б) Поскольку $p(z)$ зависит от ширины, а высота блока не изменяется, то эти размеры должны быть достаточно велики по сравнению с длиной волны продольных волн.

- 67.4. (а) Линейка изогнута в виде половины синусоиды с длиной волны $\approx 58,42$ см.
 (б) $F \approx 1,27$ кгс.

67.5.
$$P = \frac{\pi^2}{48} \cdot \frac{Y\omega t^3}{L^2}.$$

Глава 68

- 68.2. Выбираем z на оси цилиндра и r — на любом его радиусе.

(а) $z = (\omega^2/2g)r^2.$

(б) (См. задачу 38.5.) Поле скоростей равно $\mathbf{v} = \boldsymbol{\omega} \times \mathbf{r}$, где $\boldsymbol{\omega} = \omega \mathbf{e}_z$, $\mathbf{r} = x\mathbf{e}_x + y\mathbf{e}_y$. Поэтому $\mathbf{v} = \omega(-y\mathbf{e}_x + x\mathbf{e}_y)$. Таким образом,

$$\nabla \times \mathbf{v} = \omega \begin{vmatrix} \mathbf{e}_x & \mathbf{e}_y & \mathbf{e}_z \\ \partial/\partial x & \partial/\partial y & \partial/\partial z \\ -y & x & 0 \end{vmatrix} = \omega \mathbf{e}_z (1+1) = 2\boldsymbol{\omega}.$$

- 68.3. (б) $p_c = mv.$

Глава 69

- 69.1. Используйте символы M для массы, D для расстояния, T для времени. Для стационарного течения несжимаемой жидкости (с малым числом Рейнольдса) плотностью жидкости можно пренебречь, поэтому параметрами, определяющими силу трения, воздействующую на шарик, являются его радиус a [размерность D], скорость v [размерность D/T] и вязкость жидкости η [размерность $M/(DT)$]. Мы ищем целые степени $x, y,$ и z — такие, чтобы вязкая сила, действующая на шарик, была $F \propto a^x v^y \eta^z$. Размерность силы имеет вид MD/T^2 , поэтому $M^1 D^1 T^{-2} = [D]^x [D/T]^y [M/(DT)]^z = M^z D^{x+y-z} T^{-y-z}$ с единственным решением $x = y = z = 1$. Поэтому $F \propto av\eta$.

- 69.2. (б) $R = 8\eta L/(\pi a^4).$

69.3. $dU/dt = \eta v^2/d^2.$

Глава 70

- 70.1. (а) $\lambda = 2dx/L.$

- 70.2. (а) Если электронная пушка перемещается вверх на расстояние D , то P_1, P_2 и P_{12} все вместе сдвигаются вниз на $D(L/L')$, где L — расстояние от стены до экрана, а L' — расстояние от электронной пушки до стены.

(б) Если расстояние между щелями увеличить в 2 раза, то расстояния между максимумами и минимумами дифракционной картины уменьшатся вдвое.

(в) Если щель 1 сделать в 2 раза шире щели 2, то через щель 1 пройдет больше электронов, чем через щель 2, поэтому максимум P_1 будет в 2 раза выше, чем P_2 , в результате чего пик P_{12} будет асимметричным, причем слева он будет больше, что сдвинет дифракционную картину немного влево.

- 70.3.** В классическом представлении проходящее поле уменьшается по отношению к падающему в $\cos \theta$ раз, а так как интенсивность пропорциональна квадрату амплитуды волны, интенсивность прошедшей волны уменьшается в $\cos^2 \theta$ раз. В квантово-механическом подходе амплитуда фотона, прошедшего через поляризационный фильтр (а непоглотившегося) пропорциональна $\cos \theta$, поэтому (при условии, что фотоны всегда проходят, когда ось поляризационного фильтра вертикальна) вероятность прохождения фотона через фильтр становится равной $\cos^2 \theta$, а вероятность его поглощения соответственно $\sin^2 \theta$.
- 70.4.** Диаметр внутреннего кольца будет примерно 0,36 см, а диаметр следующего кольца составит около 0,72 см.
- 70.5.** (а) Если падающие электроны имеют импульс $\hbar k$ и $a_1 = |a_1| \exp(i\phi_1)$, $a_2 = |a_2| \exp(i\phi_2)$, то
$$I(x) = \frac{1}{L^2} \left[|a_1|^2 + |a_2|^2 + 2|a_1||a_2| \cos \left[\frac{kdx}{L} + (\phi_1 - \phi_2) \right] \right].$$
 (б) Амплитуда для электрона, достигающего точки x , равна $\phi = \langle x|1 \rangle a_1 + \langle x|2 \rangle a_2$. Как обсуждалось в гл. 7 из т. III «Лекций», состояния с определенной энергией E имеют временную зависимость вида $e^{-iEt/\hbar}$. Поскольку амплитуды $\langle x|1 \rangle$ и $\langle x|2 \rangle$ не зависят от времени, то амплитуды a_1 и a_2 определяют E . Выражение $E^2 = m^2 c^4 + p^2 c^2$ определяет импульс p , который связан с длиной волны $\lambda = h/p$.
- 70.6.** (а) $a = \lambda L/d = hL/(p_0 d)$. (б) Полная энергия частиц должна сохраняться, поэтому $p^2(x)/(2m) + V(x) = p^2(0)/(2m) + V(0)$, или $p(x) = \sqrt{p^2(0) + 2m(V(0) - V(x))}$. Когда $V(x)$ медленно меняется, разность $V(x) - V(0)$ будет небольшой, так что выполняется $p(x) \approx p(0) + (m/p(0))(V(0) - V(x))$; далее $V(x) - V(0) \approx (\partial V/\partial x)x = -Fx$, поэтому $p(x) \approx p(0) + (m/p(0))Fx$, что равносильно равенству $p(x) \approx p(0) + Fx/v$, так как начальная скорость частиц $v = p(0)/m$. (в) 1) Предполагая, что длина путей обоих лучей приблизительно равна L , получим, что разность фаз между этими путями будет равна $\Delta\phi \approx \Delta k L = (\Delta p/\hbar)L$, где Δk — разница в волновых числах, а Δp — соответствующая разница в импульсах. Средняя разница в высоте этих двух путей равна $d/2$. Таким образом, используя результат из части (б), получим, что средняя разница в импульсах $\langle \Delta p \rangle = F(d/2)/v$. Поэтому $\Delta\phi \approx [dF/(2v\hbar)]L$. 2) Подставляя результат, полученный в 1), в выражение, записанное в условии данной задачи в части (б), и используя $p_0 = mv$, получаем для сдвига дифракционной картины:
- $$S = +[dF/(2v\hbar)]L \frac{L}{d} \cdot \frac{\hbar}{mv} = \frac{1}{2} \frac{F}{m} \left(\frac{L}{v} \right)^2 = \frac{1}{2} \frac{F}{m} t^2.$$
- 70.7.** Пусть амплитуда для частицы, приходящей из S в точку x (без учета спина), равна $\phi = \langle x|1 \rangle \langle 1|S \rangle + \langle x|2 \rangle \langle 2|S \rangle$. Пусть полная вероятность того, что электрон пройдет через щель (без учета спина), равна $\gamma^2 = \alpha^2 + \beta^2$. Обозначим интенсивность для электронов, спины которых направлены вверх и вниз в точке x , соответственно как P_+ и P_- , так что суммарная интенсивность для электронов в точке x равна $P = P_+ + P_-$. Тогда
- (а) $P_+ = \alpha^2 \phi^2$, $P_- = \beta^2 \phi^2$, $P = \gamma^2 \phi^2$.
- (б) $P_+ = \beta^2 \phi^2$, $P_- = \alpha^2 \phi^2$, $P = \gamma^2 \phi^2$.
- (в) $P_+ = P_- = (1/2)\gamma^2 \phi^2$, $P = \gamma^2 \phi^2$.

70.8. Для того чтобы вероятность снизилась в 100 раз, соответствующая амплитуда вероятности должна уменьшиться в 10 раз; при этом амплитуда попадания частиц в какую-нибудь точку через диафрагмированное отверстие снижается в 10 раз. Если полную амплитуду попадания частиц в точку на экране через недиафрагмированное отверстие записать как $ae^{i\phi_1}$, то амплитуду поступления частиц через диафрагмированное отверстие можно записать как $0,1ae^{i\phi_2}$. Максимальная и минимальная вероятность будет тогда, когда эти амплитуды складываются в соответственно одинаковой или в противоположной фазе. Таким образом, отношение максимальной вероятности попадания частиц в точку на экране к минимальной вероятности будет $\left| \frac{a + 0,1a}{a - 0,1a} \right|^2 = 1,21/0,81 \approx 1,49$.

70.9. (а) Совпадение скорости счета p_{12} пропорционально вероятности совпадения показаний счетчиков. Существует четыре способа получить такое совпадение: 1) фотон от источника A придет на счетчик a в тот момент, когда фотон от источника B приходит на счетчик b ; 2) фотон от источника A придет на счетчик b в тот момент, когда фотон от источника B придет на счетчик a ; 3) два фотона от источника A придут на эти счетчики; 4) два фотона от источника B придут на эти счетчики. Первые два способа неразличимы, поэтому суммируются их амплитуды. Последние два способа различимы, поэтому суммируются их вероятности. Таким образом, вероятность совпадения в счетчиках равна

$$P = \left| \langle a|A \rangle \langle b|B \rangle + \langle b|A \rangle \langle a|B \rangle \right|^2 + \left| \langle a|A \rangle \langle b|A \rangle \right|^2 + \left| \langle a|B \rangle \langle b|B \rangle \right|^2.$$

Дано $\langle a|A \rangle = ce^{ikR_1}$, а $\langle b|A \rangle = ce^{ikR_2}$. Из соображений симметрии $\langle b|B \rangle = \langle a|A \rangle$, $\langle a|B \rangle = \langle b|A \rangle$. Подставляя эти амплитуды в формулу для P , после преобразований получим $P = 2|c|^4 (2 + \cos 2k(R_2 - R_1))$.

(б) Если расстояние R известно, то диаметр D может быть найден путем измерения p_{12} для различных расстояний d . Как функция d скорость счета совпадений p_{12} изменяется по закону косинуса.

Глава 71

71.1. (а) $E = 4,14 \cdot 10^{-9}$ эВ.

(б) $N = 1,51 \cdot 10^{27}$ квантов/цикл.

71.2. (а) $\Delta E(\omega)/\Delta\omega \approx kT\omega^2/(\pi^2c^3) + O(\omega^3)$ для малых ω ,
 $\Delta E(\omega)/\Delta\omega \approx \hbar\omega^3/(\pi^2c^3) - e^{\hbar\omega/(kT)}$ для больших ω .

(б) $\omega_{E_{\max}} = (3,69 \cdot 10^{11} \text{ с}^{-1} \text{ К}^{-1}) \cdot T$.

(в) $\lambda_{E_{\max}} = (2,9 \cdot 10^7 \text{ \AA} \cdot \text{К})/T$.

(г) $T = 5800 \text{ К}$.

71.3. $B = 2,12 \cdot 10^8 \text{ Гс}$.

71.4. (а) $N_1/N_0 = N_2/N_1 = n(\omega)/(n(\omega) + 1)$.

(б) $n(\omega) = 1/(e^{\Delta E/(kT)} - 1)$.

(в) 1) $n(\omega) \approx e^{-\Delta E/(kT)}$; 2) $n(\omega) \approx kT/\Delta E$.

- 71.5.** Все частицы — протоны, нейтроны и электроны — являются фермионами; атом, состоящий только из этих частиц, является бозоном, если общее число частиц в нем четно, и фермионом, если общее число частиц в нем нечетно. Атом азота N_{14} имеет 7 орбитальных электронов вокруг ядра с зарядом +7. Если бы ядро содержало только протоны и электроны, то оно содержало бы 14 протонов и 7 электронов (чтобы иметь правильную массу и заряд). Включая орбитальные электроны, этот атом должен бы иметь всего 28 фермионов, поэтому он должен быть бозоном. С другой стороны, если ядро имеет только протоны и нейтроны, то их должно быть по 7 единиц, поэтому такой атом имеет всего 21 фермион, что делает его частицей Ферми. Заметим, что ядро N_{14} было бы как раз наоборот — ферми-частицей, согласно первой гипотезе, и бозе-частицей — согласно второй.
- 71.6.** (а) Если атом возбуждается, то он имеет определенную скорость перехода в стационарное состояние (вероятность в единицу времени) путем испускания любого фотона данного типа (с данной частотой, направлением и поляризацией). Если уже имеется n фотонов одного типа, то возрастание вероятности эмиссии фотонов такого же типа определяется фактором $n + 1$. Это объясняет возникающий «лавиный» эффект. (На самом деле атомы не то чтобы «тренируются» испускать все фотоны одного типа; просто окружающее их море фотонов такого типа увеличивает эту вероятность.)
(б) Нейтрино являются фермионами, из которых никакие два фермиона не могут находиться в одном и том же состоянии (т. е. если существует одно нейтрино определенного типа, то вероятность, что будет испускаться другое нейтрино такого же типа, сводится к нулю). Поэтому нейтринный «лазер», подобный описанному в этой задаче, не может существовать.
- 71.7.** (а) $P_{a \rightarrow b} = |\langle b|a \rangle|^2$, $P_{c \rightarrow d} = |\langle d|c \rangle|^2$. Когда частицы неидентичны, то амплитуды совместных событий ($a \rightarrow b$ и $c \rightarrow d$) являются произведением их амплитуд, $\langle bd|ac \rangle = \langle b|a \rangle \langle d|c \rangle$. Таким образом, $P_{ac \rightarrow bd} = |\langle b|a \rangle \langle d|c \rangle|^2 = |\langle b|a \rangle|^2 |\langle d|c \rangle|^2 = P_{a \rightarrow b} P_{c \rightarrow d}$.
(б) Когда частицы являются идентичными, то совместные события ($a \rightarrow b$ и $c \rightarrow d$) невозможно отличить от событий ($a \rightarrow d$ и $c \rightarrow b$), так что соответствующие амплитуды складываются (возможно, с противоположной фазой); таким образом, $P_{ac \rightarrow bd} = |\langle b|a \rangle \langle d|c \rangle \pm \langle d|a \rangle \langle b|c \rangle|^2 = P_{a \rightarrow b} P_{c \rightarrow d} + P_{a \rightarrow d} P_{c \rightarrow b} \pm 2 \operatorname{Re} [\langle b|a \rangle^* \langle d|c \rangle \langle d|a \rangle \langle b|c \rangle]$.
- 71.8.** $P(\theta) = |f(\theta)|^2 + \frac{2}{3} \operatorname{Re} [f(\theta)^* f(\pi - \theta)] + |f(\pi - \theta)|^2$.
- 71.9.** (а) $P(\theta) = 4P_1(\theta) + 4P_2(\theta)$.
(б) $P(\theta) = 4P_1(\theta) + 4P_2(\theta) + 8 \operatorname{Re} [f_1^*(\theta) f_2(\theta)]$.
(в) Ответ зависит от относительной фазы f_1 и f_2 ; если f_1 и f_2 имеют одинаковую или близкую фазу (что является вполне вероятным в данном случае), то случай (б) будет давать большее рассеяние.
- 71.10.** I. (а) 0.
(б) $2|f - g|^2$.
(в) $|f - g|^2$.
(г) $|f - g|^2$.
II. $2|f|^2$.

- 71.11. (а) $\alpha \approx \theta / 2$.
 (б) $g(\theta) - f'(\pi - \theta)$.
 (в) $P(\theta) = (1/2) [|f(\theta) - f(\pi - \theta)|^2 + |f'(\theta) - g(\pi - \theta)|^2 + |g(\theta) - f'(\pi - \theta)|^2]$.
 (д) $A = 3/4, B = 1/4$.

71.12. (а) $U = \frac{3(3\pi^2)^{2/3} \hbar^2}{10m_e} \cdot \frac{N^{5/3}}{V^{2/3}}$.

(б) $P = \frac{(3\pi^2)^{2/3} \hbar^2}{5m_e} \left(\frac{N}{V} \right)^{5/3}$.

(в) $\gamma = 5/3$.

- 71.13. (а) $P = A\rho^{5/3}$ следует из решения задачи 71.12. Величина $dM(r)/dr = 4\pi r^2$ просто дает сумму масс dM в сферической оболочке радиусом R и толщиной dr . При условии сферической симметрии уравнение $dP/dr = -G\rho M(r)/r^2$ следует из гидростатического равновесия звезды под действием силы тяжести, которое требует, чтобы $-\nabla P - \rho \nabla \phi = 0$ [см. уравнение (40.1) из т. II «Лекций»], где $\phi = -GM(r)/r$ — гравитационный потенциал на единицу массы.

(б) $A = \frac{(3\pi^2)^{2/3} \hbar^2}{5m_e} (2M_p)^{-5/3}$.

Глава 72

- 72.1. Если $C = A \cdot B$, то мы можем вставить между A и B прибор T с широко раскрытой апертурой; тогда $C = A \cdot T \cdot B$, и при этом ничего не изменится. Амплитуда пучка в состоянии ϕ , проходящего через A , появляющемся в T в состоянии k и выходящего из B в состоянии χ , равна $\langle \chi | B | k \rangle \langle k | A | \phi \rangle$. Процессы, соответствующие трем состояниям в T , являются неразличимыми; следовательно, амплитуда $\langle \chi | C | \phi \rangle$ пучка в состоянии ϕ , который проходит через C и выходит в состоянии χ , является суммой амплитуд этих трех состояний:

$$\langle \chi | C | \phi \rangle = \sum_k \langle \chi | B | k \rangle \langle k | A | \phi \rangle.$$

- 72.2. (а) Нет.
 (б) Да.
 (в) Да.

72.3. (а) $N_2 = \frac{3}{4} N_1$.

(б) $N_3 = \frac{1}{16} N_1$.

(в) $N_2 = N_1$ и $N_3 = 0$.

- 72.4. (а) $N_{+S'} = N_{-S'} = 0$ и $N_{0S'} = N_0$.
- (б) $N_{+T} = N_{-T} = \frac{1}{2}N_0$, $N_{+S} = N_{-S} = \frac{1}{4}N_0$ и $N_{0S'} = \frac{1}{2}N_0$.
- (в) Не изменится.
- (г) $N_{+S'} = N_{-S'} = \frac{1}{8}N_0$ и $N_{0S'} = \frac{3}{4}N_0$.
- (д) $N_{+S'} = N_{-S'} = \frac{1}{6}N_0$ и $N_{0S'} = \frac{1}{3}N_0$.

Глава 73

- 73.1. (а) $N/2$.
- (б) $N/4$.
- (в) $N/4$.
- (г) $N/4$.
- (д) $(N/4)(1 + 1/\sqrt{2})$.
- (е) $N/4$.
- (ж) $(N/4)(1 + 1/\sqrt{2})$.
- (з) $N/2$.
- 73.2. (а) Пусть X и Y — амплитуды прихода частиц в данную точку соответственно со спином вверх и со спином вниз. Тогда полная амплитуда прихода в данную точку $aX + bY$, поэтому вероятность равна $|aX + bY|^2$.
- (б) $P = |X|^2$ для частиц со спином вверх по z , $P = |Y|^2$ для частиц со спином вниз по z .
- (в) $P = (1/2)|X+Y|^2$ для частиц со спином вверх по x , $P = (1/2)|X-Y|^2$ для частиц со спином вниз по x .
- (г) $P = |(\cos\theta/2)X - ie^{i\phi}(\sin\theta/2)Y|^2$.
- (д) $\langle P \rangle = \frac{1}{2}(|X|^2 + |Y|^2)$.
- 73.3. (а) $N = N_0|\langle +U|-S \rangle|^2$.
- (б) $\langle +T|-S \rangle = 1$, $\langle -T|-S \rangle = 0$.
- (в) $\langle +U|-S \rangle = i \sin \theta / 2$.
- (г) 1) $i \sin \theta / 2 = 0$; 2) $i \sin \pi / 2 = i$.
- (д) разница между амплитудами 1 и i характеризуется не имеющим значения фазовым коэффициентом; все вероятности остаются теми же самыми.

73.4. Кристалл кальцита расщепляет свет на два луча, линейно поляризованных в перпендикулярных направлениях, причем каждый прошедший через кристалл луч имеет примерно одинаковую интенсивность. Когда линейно поляризованный свет интенсивностью I_0 проходит через поляризатор с осью, повернутой на угол θ по отношению к направлению поляризации источника света, интенсивность прошедшего луча равна $I = I_0 \cos^2 \theta$ (закон Малюса). Из этого мы сразу можем заключить, что $\langle iT|jS \rangle = \begin{pmatrix} \cos \theta & \sin \theta \\ -\sin \theta & \cos \theta \end{pmatrix}$. Такой же результат может быть получен при рассмотрении падения электрического поля E на первый кристалл кальцита, который расщепляет его на линейно поляризованные поля E_x и E_y . Каждое из них проходит через второй кристалл кальцита, имеющий соответствующие оси x' и y' , повернутые на угол θ поля $E_{x'} = E_x \cos \theta + E_y \sin \theta$ и $E_{y'} = -E_x \sin \theta + E_y \cos \theta$.

В качестве проверки: для $\theta = 0$ мы будем иметь $\langle iT|jS \rangle = \begin{pmatrix} 1 & 0 \\ 0 & 1 \end{pmatrix}$, а для $\theta = \pi/2$ будем иметь $\langle iT|jS \rangle = \begin{pmatrix} 0 & 1 \\ -1 & 0 \end{pmatrix}$ и т. д. Отсюда видно, что луч с чистой поляризацией xS будет проходить в x -канале кристалла T , но будет блокироваться в y -канале, если $\theta = 0$, и наоборот — если $\theta = \pi/2$, и т. д. Мы можем получить закон Малюса путем рассмотрения таких вероятностей, как $|\langle xT|xS \rangle| = \cos^2 \theta$.

73.5. Пусть $x \rightarrow \begin{pmatrix} 1 \\ 0 \end{pmatrix}$, $y \rightarrow \begin{pmatrix} 0 \\ 1 \end{pmatrix}$. Тогда

(a) $\begin{pmatrix} 1 & 0 \\ 0 & 1 \end{pmatrix}$.

(б) $\begin{pmatrix} \cos^2 \theta & \cos \theta \sin \theta \\ \cos \theta \sin \theta & \sin^2 \theta \end{pmatrix}$.

(в) То же самое, что (a).

(г) То же самое, что (б).

(д) $\begin{pmatrix} e^{i\theta} & 0 \\ 0 & 1 \end{pmatrix}$.

(е) $e^{i\theta} \begin{pmatrix} 1 & 0 \\ 0 & 1 \end{pmatrix}$.

(ж) $\frac{1}{2} \begin{pmatrix} 1+i & -1+i \\ -1+i & 1+i \end{pmatrix}$.

(з) То же самое, что (д), где $\theta = \pi/2$: $\begin{pmatrix} i & 0 \\ 0 & 1 \end{pmatrix}$.

(и) $\begin{pmatrix} e^{i\omega t_x/c} & 0 \\ 0 & e^{i\omega t_y/c} \end{pmatrix}$, где ω — частота падающего света; n_x и n_y — показатели преломления вдоль осей x и y , а t — толщина материала.

(к) $\begin{pmatrix} \cos \theta & \sin \theta \\ -\sin \theta & \cos \theta \end{pmatrix}$.

(л) $\begin{pmatrix} 0 & 0 \\ 1 & 1 \end{pmatrix}$.

73.6. (а) $P_{+z} = (1 - v/c) \sin^2 \theta / 2$, $P_{-z} = (1 + v/c) \cos^2 \theta / 2$.

(б) $P_{\pm x} = \frac{1}{2} \left(1 + \frac{v}{c} \cos \theta \pm \sqrt{1 - v^2/c^2} \sin \theta \right)$.

(в) $P_{\pm y} = \frac{1}{2} \left(1 + \frac{v}{c} \cos \theta \right)$.

(г) Если нейтрино не наблюдается, то $\pm \begin{pmatrix} - \\ - \end{pmatrix}$.

Глава 74

74.1.

(а) Мы должны были бы обнаружить, что $\Delta \theta \approx \frac{m \mu_z}{p_0^2} \frac{\partial B_z}{\partial z} L$,

где m — масса частицы, а μ_z квантовано и может принимать значения $+\mu$, 0 , $-\mu$.

Глава 75

75.1.

(а) $B_0 = \pi \hbar / (2 \mu T)$.

(б) $P = 1/2$.

75.2.

$P_{+x}(t) = \frac{1}{2} \left(1 + \sin^2 \frac{\mu B}{\hbar} t \right)$;

$P_{+y}(t) = \frac{1}{2} \left(1 + \frac{1}{\sqrt{2}} \sin \frac{2 \mu B}{\hbar} t \right)$.

75.3.

(а) $P_{+z}(t) = \cos^2 \left(\frac{At}{\hbar} \right)$.

(б) $C_I = \frac{1}{\sqrt{2}} (C_{+z} + C_{-z}) = \frac{1}{\sqrt{2}} e^{+iAt/\hbar}$, $E = -A$;

$C_{II} = \frac{1}{\sqrt{2}} (C_{+z} - C_{-z}) = \frac{1}{\sqrt{2}} e^{-iAt/\hbar}$, $E = +A$.

(в) $\alpha = 2A/\hbar$, $\beta = \pi$, γ — любой (углы Эйлера).

Глава 76

76.1.

Если $g(\omega_0)$ — интенсивность излучения на резонансной частоте ω_0 , а μ — электрический дипольный момент молекулы аммиака, то

(а) $P(I \rightarrow II)$ в результате вынужденного излучения $= (\pi \mu^2 / \varepsilon_0 \hbar^2 c) g(\omega_0)$.

(б) $P(II \rightarrow I)$ в результате поглощения $= P(I \rightarrow II)$ в результате вынужденного излучения.

(в) $B_{I, II} = B_{II, I} = P(II \rightarrow I) / g(\omega_0)$ (и см. ниже).

(г) $A_{I, II} = (\hbar \omega_0^3 / \pi^2 c^2) B_{I, II}$

Глава 77

77.1.

(а) $\omega = (2 \mu B / \hbar) \cos \theta$.

(б) $P_{-z}(t) = \sin^2 [t (\mu B / \hbar) \sin \theta]$.

$$77.2. \quad P_{\parallel}(t) = \frac{\omega_n^2}{(\omega - \omega_0)^2 + \omega_n^2} \sin^2\left(\frac{t}{2} \sqrt{(\omega - \omega_0)^2 + \omega_n^2}\right),$$

где $\omega_0 = 2\mu B_0/\hbar$, а $\omega_n = 2\mu B_n/\hbar$.

Глава 78

78.1. (а) Подсказка. Воспользуйтесь табл. 11-2 из т. III «Лекций».

$$(б) \sigma_x \sigma_y \sigma_z = \begin{pmatrix} i & 0 \\ 0 & i \end{pmatrix}.$$

78.2. (а) Либо $E = E_0$, либо $E = (1/2)\left(E_0 + E_C \pm \sqrt{(E_0 - E_C)^2 + 8A^2}\right)$, где $-iA/\hbar$ — амплитуда вероятности перескока электрона с атома О на атом С за единицу времени.

(б) Либо $E = E_0$ и существует нулевая амплитуда вероятности нахождения электрона на атоме С, либо $E = E_0 \pm A\sqrt{2}$ и вероятность нахождения электрона на атоме С равна общей вероятности того, что электрон находится на *любом* из атомов О.

$$78.3. \quad \begin{vmatrix} A_0 - A_1 - E & 0 & 0 & 0 \\ 0 & A_0 - A_1 - E & 0 & 0 \\ 0 & 0 & A_0 - A_1 - E & 0 \\ A_1 & 2A_1 & 3A_1 & A_0 + 3A_1 - E \end{vmatrix} = 0,$$

где $-iA_1/\hbar$ и $-iA_0/\hbar$ — амплитуды вероятности соответственно перескока или отсутствия перескока «дырки» за единицу времени; $E_I = A_0 - A_1$, $E_{II} = A_0 + 3A_1$, $E = |E_I - E_{II}| = 4A_1$.

78.4. (б) $E_I = E_0 + 2A$, где E_0 — энергия дополнительного электрона на любом из атомов.

(в) Существует 6 стационарных состояний.

(г) $\delta = 0^\circ, 60^\circ, 120^\circ, 180^\circ, 240^\circ, 300^\circ$.

(д) Энергетические уровни: $E_0 \pm A$, $E_0 \pm A$, $E_0 \pm 2A$; интервалы между уровнями (энергии перехода): $A, 2A, 3A, 4A$.

78.5. (а) Энергетические уровни: $E_0 + A$, $E_0 + A$, $E_0 - 2A$, где E_0 — энергия лишнего электрона на любом из атомов; интервалы между уровнями: $3A$.

(б) Энергетические уровни: $E_0 + (1 + 2\varepsilon/3)A$, $E_0 + A$, $E_0 - (2 - \varepsilon/3)A$; интервалы между уровнями: $(2\varepsilon/3)A$, $(3 - \varepsilon/3)A$, $(3 + \varepsilon/3)A$.

Глава 79

79.1. (а) $f_{I,II} = 28$ Гц, $\lambda_{I,II} = 10^9$ см; $f_{I,III} = 14$ Гц, $\lambda_{I,III} = 2 \cdot 10^9$ см.

(б) $f_{I,II} = 1,4$ МГц, $\lambda_{I,II} = 2 \cdot 10^4$ см; $f_{III,II} = 0,7$ МГц, $\lambda_{III,II} = 4 \cdot 10^4$ см.

(в) $f_{I,II} = 2,8 \cdot 10^5$ МГц, $\lambda_{I,II} = 10^{-1}$ см; $f_{I,III} = 1130$ МГц, $\lambda_{I,III} = 27$ см.

Глава 80

- 80.1. (а) Предположим, что пространственная зависимость амплитуд конфигураций i и j имеет вид соответственно $e^{ik_i x}$ и $e^{ik_j x}$. Тогда разрешенные энергии системы
$$E = \frac{1}{2}[E(i) + E(j)] \pm \frac{1}{2}\sqrt{[E(i) - E(j)]^2 + 16A^2 \cos k_i b \cos k_j b},$$

где $E(i) = E_i - 2B \cos k_i b$; $E(j) = E_j - 2B \cos k_j b$.

Замечание. Если $A = 0$, так что i - и j -конфигурации не являются спаренными, то это уравнение имеет два решения: $E = E(i)$ и $E = E(j)$.

(б) Общий случай, когда $k_i \neq k_j$ трудно поддается анализу, поэтому рассмотрим случай локализованных частиц (волновые пакеты), для которых характеристические волновые числа $k = k_i = k_j$ могут быть связаны со скоростью (см. раздел 13-3 из т. III «Лекций»). Тогда $E = E_0 - 2B \cos kb \pm \frac{1}{2}\sqrt{[E_i - E_j]^2 + 16A^2 \cos^2 kb}$. Когда $A = 0$, у нас есть две косинусоидальные кривые с амплитудой $2B$, расстояние между которыми равно $|E_i - E_j|$. Когда $A \neq 0$, кривые дальше отстоят друг от друга (кроме случаев, когда $kb = \pi/2$). Если $|E_i - E_j| \ll 2B$, то две зоны перекрываются; а если $|E_i - E_j| \gg 2B$, то они перекрываются не будут.

- 80.2. (а) $E = E_0 \pm \sqrt{(\Delta E)^2 + 4A^2 \cos^2 kb}$.

(б) $-\pi/2b < k \leq \pi/2b$.

- 80.3. (а) $\beta = -\frac{G}{G - iB^2 \sin kb}$, где $G = (A^2 - B^2)\cos kb$; $\gamma = 1 + \beta$.

(б) β имеет вид $\beta = -d/(d - ie)$, где d и e — действительные числа. Таким образом, $|\beta|^2 = d^2/(d^2 + e^2)$; $|\gamma|^2 = |1 + \beta|^2 = |(d - ie - d)/(d - ie)|^2 = e^2/(d^2 + e^2)$, следовательно, $|\beta|^2 + |\gamma|^2 = 1$.

- 80.4. (а) $1 = |\beta|^2 + |1 + \beta|^2 = 1 + 2|\beta|^2 + 2\text{Re}[\beta]$, поэтому $|\beta|^2 + \text{Re}[\beta] = 0$.

Следовательно, $\text{Re}\left[\frac{\beta}{1 + \beta}\right] = \text{Re}\left[\frac{\beta(1 + \beta^*)}{|1 + \beta|^2}\right] = \frac{\text{Re}[\beta] + |\beta|^2}{|1 + \beta|^2} = 0$.

(б) Пусть $\beta = ce^{i\delta}$, где c и δ — действительные числа. $|\beta|^2 + \text{Re}[\beta] = 0$ подразумевает $c^2 + c \cos \delta = 0$, поэтому $c = -\cos \delta$. Пусть $\eta = \delta - \pi/2$. Тогда $c = -\cos(\eta + \pi/2) = \sin \eta$ и $e^{i\delta} = e^{i(\eta + \pi/2)} = ie^{i\eta}$, следовательно, $\beta = i \sin \eta e^{i\eta}$.

- 80.5. (б) $\beta = -\frac{P - e^{ikb}}{P - e^{-ikb}}$, где $P = \frac{B^2}{AA'} e^{ik'b'}$.

(в) Если $k'b'$ — мнимое число, то P является действительным и β имеет вид $-(r + is)/(r - is)$, где r и s — действительные числа. Следовательно $|\beta| = 1$. Амплитуды a_n имеют вид $e^{-|k'b'|n}$, а это означает отсутствие чистого пропускания частиц в область II. Соответствующая энергия $E = E'_0 - 2A' \text{ch}|k'b'|$, поэтому $E < E'_0 - 2A'$, т. е. энергия ниже «полосы пропускания» в области II.

Глава 81

81.1. (б) Средняя мощность равна

$$\langle P \rangle = \frac{1}{2} \operatorname{Re} [q E_x^* v_x] = \frac{1}{2} q \operatorname{Re} \left[E_x^* E_x \frac{v_x}{E_x} \right] = \frac{1}{2} q E_0^2 \operatorname{Re} \left[\frac{v_x}{E_x} \right].$$

81.2. (а) Решение описано в разд. 14-5 из т. III «Лекций»: $I_g = CN_p$ (n -область) и $I_r = CN_p$ (p -область) $e^{-qV/(kT)}$, где C — некоторая константа. При приложении обратного напряжения смещения V_e ток рекомбинации становится равным $I_r' = CN_p$ (p -область) $e^{-q(V-V_e)/(kT)} = I_g e^{qV_e/(kT)}$. Ток тепловой генерации не изменяется. Поэтому чистый ток дырок (на рисунке вправо) равен $I_g (e^{qV_e/(kT)} - 1)$.

(б) $I_{\text{полн}} = I_0 (e^{qV_e/(kT)} - 1)$, где I_0 — максимальное значение тока через переход при обратном напряжении смещения ($V \ll 0$, без пробоя).

Глава 82

82.1. $\lambda \approx 10^{-6}$ м.

82.2. $\Delta E \approx 3,1$ эВ/молекула.

82.3. (а) Если вероятность того, что спины, ориентированные вниз, не будут найдены в моде K , равна C , то вероятность нахождения n спинов вниз равна $C e^{-nE_K/(kT)}$. Среднее число атомов со спином вниз в моде K тогда будет

$$\bar{n}_K = \frac{\sum_{n=0}^{\infty} n C e^{-nE_K/(kT)}}{\sum_{n=0}^{\infty} C e^{-nE_K/(kT)}} = \frac{C e^{E_K/(kT)} / (e^{E_K/(kT)} - 1)^2}{C e^{E_K/(kT)} / (e^{E_K/(kT)} - 1)} = \frac{1}{e^{E_K/(kT)} - 1}.$$

(б) Если имеются только состояния, в которых все атомы спинами вниз принадлежат к одной и той же моде, то среднее общее количество атомов спинами вниз при температуре T равно $\sum_K \bar{n}_K$, что составляет $\int \bar{n}_K d^3K / (2\pi)^3$ на единицу объема, где $d^3K / (2\pi)^3$ является числом мод на единицу объема в диапазоне d^3K .

$$(c) \frac{4}{\sqrt{\pi}} \int_0^{\infty} \frac{x^2 dx}{e^{x^2} - 1} = \frac{4}{\sqrt{\pi}} \sum_{n=1}^{\infty} \int_0^{\infty} x^2 e^{-nx^2} dx = \frac{4}{\sqrt{\pi}} \sum_{n=1}^{\infty} \frac{\sqrt{\pi}}{4} \frac{1}{n^{3/2}} = \sum_{n=1}^{\infty} \frac{1}{n^{3/2}} = \zeta(3/2) \approx 2,61.$$

Глава 83

83.1. (а) Для $\psi(x, t) = u_0(x) e^{-iE_0 t/\hbar}$ уравнение Шредингера дает

$d^2 u_0 / dx^2 = (2m / \hbar^2) [V(x) - E_0] u_0(x)$. В тех областях, где $V(x) = V_0$ (при $V_0 \rightarrow \infty$), функция $|u_0(x)|$ при $|x| \rightarrow \infty$ стремилась бы к бесконечности и не могла бы описывать связанную частицу.

$$(б) u_n(x) = A \sin \left(\frac{\sqrt{2mE_n}}{\hbar} x \right);$$

$$E_n = \frac{\pi^2 \hbar^2}{2ma^2} (n+1)^2, \text{ где } A \text{ — постоянная; } n = 0, 1, 2, \dots$$

$$(\epsilon) E_0 = \pi^2 \hbar^2 / 2ma^2 \text{ и } u_0(x) = \begin{cases} A \sin(\pi x/a) & \text{для } 0 \leq x \leq a \\ 0 & \text{для } x < 0 \text{ и } x > a. \end{cases}$$

$$(\zeta) E_1 - E_0 = 3\pi^2 \hbar^2 / (2ma^2).$$

$$83.2. \quad (a) V_0 \approx 35\pi^2 \hbar^2 / (2ma^2).$$

(б) Волновая функция $u(x)$ первого возбужденного состояния для этой ямы должна иметь один узел и быть антисимметричной относительно $x = 0$. Мы можем удовлетворить уравнению Шредингера и граничным условиям с той же самой энергией $E = (0,9) \pi^2 \hbar^2 / (2ma^2)$, как и в части (а) выше, если

$$u(x) = \begin{cases} u_a(x) & \text{для } x \geq 0, \\ -u_a(x) & \text{для } x < 0, \end{cases}$$

где $u_a(x)$ — волновая функция, соответствующая части (а) при $x > 0$.

$$83.3. \quad (\delta) E_0 \approx 0,27 V_0 \text{ и } E_1 \approx 0,90 V_0.$$

(ε) Если $V_0 a^2 < \pi^2 \hbar^2 / (8m)$, то существует только одно связанное состояние.

$$83.4. \quad (a) \text{ Применяя уравнение Шредингера}$$

$$i\hbar \frac{\partial \Psi}{\partial t} = -\frac{\hbar^2}{2m} \cdot \frac{\partial^2 \Psi}{\partial x^2}$$

к функции $\Psi(x) = K e^{-[a(t)x^2 + c(t)]}$ и упрощая, получим

$$-i\hbar \left(\frac{da}{dt} x^2 + \frac{dc}{dt} \right) = -\frac{\hbar^2}{2m} (-2a + 4a^2 x^2).$$

Это должно иметь силу для всех x , поэтому соответствующие коэффициенты при степенях x можно приравнять. В частности, для x^2 получаем уравнение

$$-i\hbar \frac{da}{dt} = -\frac{\hbar^2}{2m} 4a^2 \text{ с решением в виде } \frac{1}{a(t)} = \frac{1}{a} + \frac{2}{m}.$$

(б) $c(t) = c_0 + (1/2) \ln [a_0/a(t)]$, где $c_0 = c(0)$.

(ε) Это растянется на область шириной примерно 2300 км.

$$(\zeta) |\phi(p)|^2 = K^2 \frac{\pi}{a_0} e^{-2c_0 - p^2 / (2\hbar^2 a_0)}.$$

(д) $\Delta p = \sqrt{a_0} \hbar$ (давление не изменяется со временем).

(е) Подставляя $c(t)$ и $a(t)$ из частей (а) и (б) в $\Psi(x)$, возводя в квадрат и упрощая, имеем

$$|\Psi(x)|^2 = K^2 |a(t) / a_0| e^{-2c_0 - x^2 / (1/2a_0 + 2a_0 \hbar^2 t^2 / m^2)}.$$

Ширина пространственной волновой функции, таким образом, равна

$$\Delta x = \sqrt{1 / (4a_0) + a_0 \hbar^2 t^2 / m^2}. \text{ Для больших } t \Delta x \approx (\hbar \sqrt{a_0} / m) t = (\Delta p / m) t = \Delta v t.$$

Глава 84

$$84.1. \quad A(\theta) \propto \sin \theta.$$

- 84.2. (а) $a = c = d = e = f = g = 0$.
 (б) $f^+(\theta) = |b|^2 \sin^2(\theta/2)$.
 (в) $f(\theta) = |b|^2 \sin^2(\theta/2) + |h|^2 \cos^2(\theta/2)$.
 (г) Из закона сохранения четности вытекает, что $b = \pm h$, поэтому $f(\theta) = |b|^2$.
- 84.3. (а) Начальные компоненты углового момента вдоль оси z равны $m = 1$ для фотонов и $m = \pm 1/2$ для исходных протонов. Таким образом, единственными доступными состояниями угловых моментов импульса для p^* являются $m = 1 + 1/2 = 3/2$; $m = 1 - 1/2 = 1/2$.
 Вдоль направления излучения суммарный момент количества движения конечного состояния соответствует конечному протону, поэтому $m' = \pm 1/2$.
 (б) $c = d$, потому что четность сохраняется при сильных взаимодействиях. Угловое распределение пионов (и протонов) имеет вид
- $$f(\theta) = \frac{1}{2} |c|^2 \left(\frac{3}{4} (|b|^2 - |a|^2) \sin^2 \theta + |a|^2 \right).$$
- 84.5. (а) Угловое распределение фотонов, когда поляризация не обнаруживается, пропорционально $(1 + \cos^2 \theta)$ независимо от четности начального состояния. Таким образом, четность первого возбужденного состояния не может быть определена.
 (б) Угловое распределение x' -поляризованных фотонов изотропно (не зависит от θ), если начальное состояние является четным, но оно пропорционально $\cos \theta$, если начальное состояние является нечетным. Следовательно, в этом случае легко может быть определена четность первого возбужденного состояния.

Глава 85

- 85.1. Спектр излучения имеет две линии равной интенсивности с длиной волны соответственно 1210 \AA и 6560 \AA .
- 85.2. (а) Энергия основного состояния является энергией Ридберга $E = -me^4/(2\hbar^2) = -e^2/(2r_B)$. Согласно классической теории, максимально возможным расстоянием для электрона R является расстояние, на котором кинетическая энергия равна 0, т. е. потенциальная энергия равна полной энергии $-e^2/R = -e^2/(2r_B)$. Значит, $R = 2r_B$.
 (б) $P(r > R) = 0,238$.
- 85.3. (а) $E_0 = 18,9 \text{ МэВ}$.
 (б) $\lambda_{1 \rightarrow 0} = 8,7 \cdot 10^{-4} \text{ \AA}$.
 (в) $r'_B = 3,1 \cdot 10^{-5} \text{ \AA}$.
 (г) $P(r \leq R) = 1 - (1 + 2s + 2s^2)e^{-2s}$, где $s = R/r'_B$.
 (д) $P(e \text{ в ядре}) \approx 1,8 \cdot 10^{-6}$; $P(\mu \text{ в ядре}) \approx 0,83$.
- 85.4. (а) Переход $n = 5 \rightarrow n = 2$ соответствует энергии $E_{5 \rightarrow 2} = 2,86 \text{ эВ}$, что находится в пределах заданного диапазона. Энергия $13,06 \text{ эВ}$ требуется для перехода из основного состояния в состояние $n = 5$.
 (б) Переход с излучением самой короткой длины волны — это переход $n = \infty \rightarrow n = 2$ с длиной волны $\lambda = 3650 \text{ \AA}$. Наибольшая длина волны получается при переходе $n = 3 \rightarrow n = 2$ с длиной волны $\lambda = 6560 \text{ \AA}$.
 (в) Энергия основного состояния He равна $E = -4E_R = -54,4 \text{ эВ}$.
 (г) Переход с излучением самой короткой длины волны в состояние $n = 4$ — это переход $n = \infty \rightarrow n = 4$ с длиной волны излучения $\lambda = 3650 \text{ \AA}$. Следует отметить, что это такая же длина волны, что и наименьшая длина волны серии Бальмера.

Минимальные системные требования определяются соответствующими требованиями программы Adobe Reader версии не ниже 11-й для платформ Windows, Mac OS, Android, iOS, Windows Phone и BlackBerry; экран 10"

Учебное электронное издание

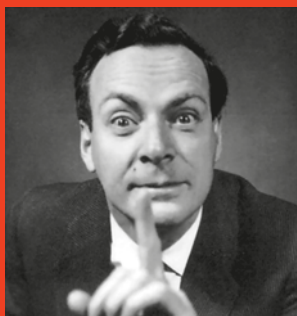
Фейнман Ричард Ф.
Лейтон Роберт Б.
Сэндс Мэтью

ЗАДАЧИ К ФЕЙНМАНОВСКИМ ЛЕКЦИЯМ ПО ФИЗИКЕ

Редакторы *Т. Г. Хохлова, Ф. Г. Хохлов*
Художник *В. Е. Шкерин*
Корректор *Л. И. Трифонова*
Компьютерная верстка: *Е. А. Голубова*

Подписано к использованию 11.08.16.
Формат 145×225 мм

Издательство «Лаборатория знаний»
125167, Москва, проезд Аэропорта, д. 3
Телефон: (499) 157-5272
e-mail: info@pilotLZ.ru, <http://www.pilotLZ.ru>



Лекции **Р. Фейнмана** по физике и задачи к ним настолько известны и любимы, что не нуждаются в особом представлении. Сборник задач к «Фейнмановским лекциям по физике», перевод которого вы держите в руках, значительно отличается от предыдущих изданий.

Редакторы-составители, профессор **М. А. Готтлиб** и профессор **Р. Пфайффер**, модернизировали и переработали материал, впервые собрав все задачи в одной книге. Сборник дополнен рядом новых задач, проведена тщательная проверка решений и ответов, обновлены иллюстрации. Это – всеобъемлющее и близкое по своему содержанию к современной практике собрание задач из всех наиболее важных областей физики – от механики Ньютона до теории относительности.

Авторы:

Ричард Фейнман, физик-теоретик, один из создателей квантовой электродинамики, лауреат Нобелевской премии по физике и очень остроумный человек, хорошо известен российскому читателю прежде всего как автор знаменитых «Фейнмановских лекций по физике». В предисловии к своим лекциям Р. Фейнман писал: «Как все-таки помочь студентам? Может быть, надо больше поработать над составлением комплекса задач, которые могли бы пролить свет на идеи, развиваемые в лекциях? Задачи дадут хорошую возможность расширить лекционный материал и помогут сделать эти лекции более осязаемыми и полными, лучше уложить их в голове». Фейнман был профессором физики в Калтехе (Калифорнийском технологическом институте) в период 1959–1988 гг. Благодаря своим популярным книгам Фейнман стал одним из наиболее любимых авторов XX века.

Роберт Лейтон, специалист в области физики и астрономии, прекрасный преподаватель и автор учебников, в течение многих лет был профессором Калтеха.

Мэтью Сэндс, профессор Калтеха, заместитель директора Центра Стэнфордского линейного ускорителя, был инициатором глубоких изменений в программе изучения физики в Калтехе, в результате чего и появился курс Фейнмановских лекций по физике.